



وزارة التعليم العالي والبحث العلمي

جامعة المثنى

كلية التربية للعلوم الانسانية

قسم الجغرافية

المقومات الجيومورفولوجية للتنمية المستدامة في بادية المثنى باستخدام نظم المعلومات الجغرافية والاستشعار عن بعد

أطروحة تقدم بها

أسامة فالح عبد الحسن المكتوب

الى مجلس كلية التربية للعلوم الانسانية - جامعة المثنى وهي جزء من
متطلبات نيل شهادة دكتوراه فلسفة في الجغرافية الطبيعية

بإشراف

الاستاذ الدكتور

سرحان نعيم الخفاجي

2023 م

1445 هـ

بِسْمِ اللَّهِ الرَّحْمَنِ الرَّحِيمِ

((أَوَلَمْ يَرِ الَّذِينَ كَفَرُوا أَنَّ السَّمَاوَاتِ وَالْأَرْضَ كَانَتَا رَتْقًا فَفَتَقْنَاهُمَا وَجَعَلْنَا مِنَ الْمَاءِ كُلَّ شَيْءٍ حَيٍّ أَفَلَا يُؤْمِنُونَ ﴿الأنبياء/30﴾ وَجَعَلْنَا فِي الْأَرْضِ رَوَاسِيَ أَنْ تَمِيدَ بِهِمْ وَجَعَلْنَا فِيهَا فِجَاجًا سُبُلًا لَعَلَّهُمْ يَهْتَدُونَ ﴿الأنبياء/31﴾ وَجَعَلْنَا السَّمَاءَ سَقْفًا مَحْفُوظًا وَهُمْ عَنْ آيَاتِهَا مُعْرَضُونَ ﴿الأنبياء/32﴾ وَهُوَ الَّذِي خَلَقَ اللَّيْلَ وَالنَّهَارَ وَالشَّمْسَ وَالْقَمَرَ كُلٌّ فِي فَلَكٍ يَسْبَحُونَ ﴿الأنبياء/33﴾)) صدق الله العلي العظيم

(سورة الأنبياء)

(الآيات 30 - 33)

إقرار المشرف العلمي

اشهد أن إعداد هذه الأطروحة الموسومة (المقومات الجيومورفولوجية للتنمية المستدامة في
بادية المثنى باستخدام نظم المعلومات الجغرافية والاستشعار عن بعد) التي تقدم بها
الطالب (أسامة فالح عبد الحسن المكتوب) قد جرت تحت إشرافي في قسم الجغرافية / كلية التربية
للعلوم الانسانية / جامعة المثنى وهي جزء من متطلبات نيل شهادة دكتوراه فلسفة في الجغرافية
الطبيعية.

التوقيع/

المشرف العلمي/ سرحان نعيم الخفاجي

المرتبة العلمية/ استاذ دكتور

كلية التربية للعلوم الانسانية/جامعة المثنى

التاريخ ٢٠٢٣/٢٠م

بناءً على التوصيات المقدمة أرشح هذه الرسالة للمناقشة .

التوقيع/


رئيس القسم/ لطيف كامل كليبوي

المرتبة العلمية/ استاذ دكتور

رئيس قسم الجغرافية

إقرار المقوم اللغوي

أشهد أن اعداد هذه الاطروحة الموسومة (المقومات الجيومورفولوجية
للتنمية المستدامة في بادية المثنى باستخدام نظم المعلومات الجغرافية
والاستشعار عن بعد) التي تقدم بها الطالب (أسامة فالح عبد الحسن المكتوب) قد
قومتها لغوياً، فوجدتها سليمة من الناحة اللغوية وصالحة للمناقشة .



التوقيع:

الاسم: د. أحمد حسين عبد السادة

الدرجة العلمية: استاذ

العنوان: جامعة المثنى / كلية التربية للعلوم الإنسانية

التاريخ: 2023 / ٦ / ١٦

إقرار المقوم العلمي

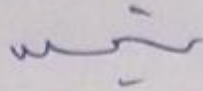
أشهد إن إعداد هذه الأطروحة الموسومة (المقومات الجيومورفولوجية للتنمية المستدامة في بادية المثنى باستخدام نظم المعلومات الجغرافية والاستشعار عن بعد) التي تقدم بها الطالب (أسامة فالح عبد الحسن المكتوب) قد قومتها علمياً، فوجدتها سليمة من الناحية العلمية وصالحة للمناقشة .

التوقيع /
الاسم / علي مجيد ياسين
مكان العمل / جامعة ذي قار
المرتبة العلمية / أ.م.د.
التاريخ /

التوقيع /
الاسم / كامل حمزة فليفل الأسدي
مكان العمل / جامعة الكوفة
المرتبة العلمية / أ.د.
التاريخ /

إقرار لجنة المناقشة

نشهد نحن اعضاء لجنة المناقشة أننا اطلعنا على الأطروحة الموسومة (المقومات الجيومورفولوجية للتنمية المستدامة في بادية المثنى باستخدام نظم المعلومات الجغرافية والاستشعار عن بعد) التي تقدم بها الطالب (أسامة فالح عبد الحسن المكتوب) وقد ناقشناه في محتوياتها ومما له علاقة بها ، فوجدناها جديرة بالقبول لنيل شهادة دكتوراه فلسفة في الجغرافية الطبيعية وتقدير (امتياز).

التوقيع/ 

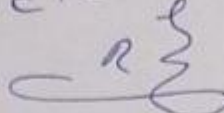
الاسم/ سفير جاسم حسين

المرتبة العلمية/ أ.د.

كلية التربية للعلوم الانسانية/جامعة المثنى

التاريخ ٢٠١٨/٢/٢٠

عضواً

التوقيع/ 

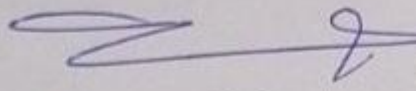
الاسم/ رافد عبد النبي ابراهيم

المرتبة العلمية/ أ.د.

كلية التربية للعلوم الانسانية/جامعة المثنى

التاريخ / / .

عضواً

التوقيع/ 

الاسم/ سرحان نعيم الخفاجي

المرتبة العلمية/ أ.د.

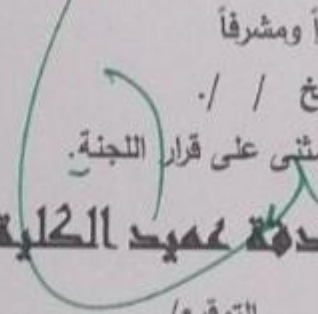
كلية التربية للعلوم الانسانية/جامعة المثنى

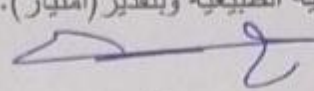
عضواً ومشرفاً

التاريخ / / .

صادق مجلس كلية التربية للعلوم الانسانية / جامعة المثنى على قرار اللجنة.

مصادقة عميد الكلية

التوقيع/ 

التوقيع/ 

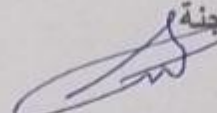
الاسم/ رحيم حميد عبد ثامر

المرتبة العلمية/ أ.د.

كلية الآداب/جامعة ذي قار

التاريخ / / .

رئيس اللجنة

التوقيع/ 

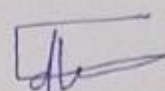
الاسم/ عدنان عودة فليح

المرتبة العلمية/ أ.د.

كلية التربية للعلوم الانسانية/جامعة المثنى

التاريخ / / .

عضواً

التوقيع/ 

الاسم/ ضياء الدين عبد الحسين عويد

المرتبة العلمية/ أ.م.د.

كلية التربية للعلوم الانسانية/جامعة واسط

عضواً

التاريخ / / .

الإهداء

إلى رسول رب العالمين محمد (صلى الله عليه واله)

من أذهب عنهم الرجس وطهرهم تطهيراً (عليهم افضل الصلاة والسلام)

إلى الشهداء الأحياء

إلى والدي اطل الله في عمره ووالدتي (رحمها الله) ينبوع العطاء والمحبة اسكنها

الله في جنات الخلد

حبا.. احساناً.. براً

الغالية ... رفيقة دربي ... شريكتي... وفاءً و إخلاصاً

عائلتي الحبيبة ... أملتي في الحياة ... امتدادتي

محمد.. مودة.. علي

فخراً واعتزازاً

من علمني حرفاً وزادني علماً

تقديراً واحتراماً

جميع من ساندني

أهدي هذا الجهد المتواضع

راجياً من الله تعالى القبول والتوفيق

اسامة

الشكر والتقدير

الحمد لله رب العالمين وافضل الصلاة واتم التسليم على سيد الانبياء والمرسلين محمد الامين وعلى اهل بيته الطيبين الطاهرين، يطيب لي أن أقدم خالص شكري وتقديري وامتناني واحترامي إلى أستاذي المفاضل الأستاذ الدكتور (سرحان نعيم الخفاجي) لأشرفه المتواصل على هذه الأطروحة وعلى ما أبداه من رعاية علمية مما كان له الأثر الاكبر في تسهيل المهمة وإنجاز العمل متمنياً له دوام الإبداع والتقدم.

وأتوجه بالشكر والاحترام والتقدير إلى جميع أساتذتي في قسم الجغرافية في مرحلتي البكالوريوس والماجستير وخلال المرحلة التحضيرية في الدكتوراه ، وأخص منهم بالذكر رئيس القسم الاستاذ الدكتور لطيف كامل كليوي والاستاذ الدكتور سفير جاسم لمرافقته في الدراسة الميدانية والاستاذ الدكتور رافد عبد النبي والاستاذ الدكتور قصي فاضل الحسيني والاستاذ الدكتور عدنان عودة الطائي والاستاذ المساعد الدكتور حميدة عبد الحسين والاستاذ الدكتور عدنان كاظم الشيباني والاستاذ الدكتور يحيى عبد الحسن والاستاذ المساعد الدكتور ماهر ناصر عبد الله والاستاذ الدكتور أنور محمد الكلابي والاستاذ الدكتور رعد عبد الحسين محمد والاستاذ الدكتور كريم عبيس لما قدموه اليّ من مساعدة ونصح وعلم.

وأخص بالشكر الأستاذ الدكتور جمعة محمد داود احد اعلام الهندسة المساحية – كلية الهندسة بشبرا – جامعة الزقازيق – مصر والمدرس المساعد حسين علي رشيد المزوري في كلية التربية للعلوم الانسانية جامعة الموصل لدورهم الكبير في هذه الدراسة ولا سيما الجانب العملي. ولا يفوتني أن اسجل شكري الى جميع اصدقائي وزملائي في جامعة المثنى واخواني موظفي كلية التربية للعلوم الانسانية، وموظفي مختبر التربة والمياه في كلية الزراعة وموظفي (الهيئة العامة للمسح الجيولوجي، مديرية الموارد المائية، فرع الهيئة العامة للمياه الجوفية في المثنى ، مديرية الزراعة ، الدفاع المدني) في محافظة المثنى.

واخيراً أتقدم بالشكر الخالص والتقدير للسادة أعضاء لجنة المناقشة لبذلهم الجهد في تقويم الأطروحة وإثرائها بالملاحظات العلمية الرصينة واسأل الله عز وجل أن يوفقنا جميعاً لما فيه الخير والصلاح والله ولي التوفيق.

الباحث

المستخلص

تعد دراسة المقومات الجيومورفولوجية من الدراسات ذات المساهمة الفعالة في التنمية المستدامة كهدف أساس في السياسات التنموية للدول المتقدمة، ويعد الاستشعار عن بعد ونظم المعلومات الجغرافية من أهم المرتكزات العلمية لتحقيق هذا الهدف من خلال تفعيل الجانب التطبيقي واستخدام التقنيات الحديثة في البحوث العلمية الجغرافية.

وتهدف الدراسة إلى الاستفادة من المقومات الجيومورفولوجية في بادية المثنى من أجل تحقيق التنمية المستدامة وتسلط الضوء على الأساليب التي يمكن من خلالها تنمية منطقة الدراسة تنمية مستدامة.

تناول الفصل الأول الاطار النظري وبيان بعض المفاهيم التي وردت في الدراسة وبعض التطبيقات العملية والمعالجات الرقمية للمرئيات الفضائية واهمية نظم المعلومات الجغرافية في الدراسات الجيومورفولوجية فضلاً عن خطوات العمل لبناء قاعدة بيانات جغرافية للمقومات الجيومورفولوجية .

ثم عرجت الدراسة في الفصل الثاني على دور المقومات الجيولوجية في التنمية المستدامة في المجالات (الصناعية والعمرانية والنقل والزراعية والمياه الجوفية فضلاً عن التنمية السياحية المستدامة).

وتطرقت الدراسة في الفصل الثالث إلى دور المقومات المناخية لبادية المثنى في (الطاقة والإنتاج) والتنمية المستدامة للجوانب (العمرانية والنقل والزراعة ولا سيما زراعة النخيل والزيتون فضلاً عن التنمية المستدامة للمياه الجوفية والسياحية).

وتناولت الدراسة في الفصل الرابع مفهوم التربة وتصنيفها بحسب بيورنك والطائي ثم اخرجت الدراسة خريطة لتصنيف التربة بحسب عوامل تكوينها بالاستعانة بالمرئيات الحديثة والدراسة الميدانية والخرائط الطبوغرافية لتحديد انواعها وتوزيعها المكاني ورسم خريطة الترب في بادية المثنى تمهيداً لتنميتها تنمية مستدامة في المجالات الصناعية والعمرانية والنقل والزراعية واقترحت الدراسة زراعة التين الشوكي نظراً لملاءمته لظروف منطقة الدراسة وقيمه الاقتصادية، ثم عرجت الدراسة على دور الترب في التنمية المستدامة للمياه الجوفية والسياحية.

وقد شمل الفصل الخامس تصنيف النبات الطبيعي واستخدام أهم المؤشرات النباتية للكشف عن الغطاء النباتي ومنها (NDVI-NDWI-IPVI-SAVI)، فضلاً عن دور النبات الطبيعي في

التنمية المستدامة في المجالات الطبية والرعوية والصناعية والطاقة، فضلاً عن التنمية الغذائية والسياحية المستدامة.

وقد صنف الفصل السادس الموارد المائية إلى موارد مائية سطحية وجوفية، وقد تم تناول الموازنة المائية المناخية ورسم خرائط للتوزيع المكاني لمكامن وأعماق والخصائص النوعية للمياه الجوفية في آبار منطقة الدراسة، وتناولت الدراسة دور الاستشعار عن بعد ونظم المعلومات الجغرافية في الكشف عن مكامن المياه الجوفية والحصاد المائي وتقدير الجريان السطحي بطريقة (SCS)، وتقييم صلاحية المياه الجوفية للاستخدام البشري والزراعي والاستهلاك الحيواني والصناعي والبناء والانشاءات.

وتناولت الدراسة في الفصل السابع أشكال السطح وخصائصه ورسم خرائط ظل التلال والخريطة الكنتورية وأقسام التضاريس وتصنيف المنحدرات حسب الشكل وحسب الدرجة (Zink) ورسم المقاطع الطولية والعرضية والمنحنى الهيسوغرافي ورسم خريطة اتجاه المنحدرات ورسم الخريطة الجيومورفولوجية لبادية المثنى تمهيداً لتنميتها تنمية مستدامة في المجالات السياحية وصياغة نموذج التحليل المكاني لاقتراح أفضل المناطق للتنمية الزراعية والعمرانية المستدامة، وتم في هذا الفصل تسليط الضوء على دور اشكال السطح وخصائصه في التنمية الصناعية وشبكات البنية الاساسية.

وقد تم التوصل إلى العديد من النتائج منها، امكانية التوسع في استثمار الثروات المعدنية والموارد الانشائية التي تتميز بنقائها من الشوائب وامكانيات لا حدود لها في مجال الطاقة المتجددة، وفرص كبيرة لزراعة العديد من اصناف المحاصيل، منها النخيل والزيتون والتين الشوكي فضلاً عن التوسع بالمحاصيل الاستراتيجية، وتوفر اصناف عديدة من النباتات الطبيعية التي يمكن الاستفادة منها في العديد من الجوانب ولا سيما دعم مربي الاغنام والابل، وتوفر مساحة (29181.58) كم² بنسبة (63.91)% يمكن الاستفادة منها في التنمية الزراعية والرعوية والطبية المستدامة، وان آبار منطقة الدراسة تتميز بصلاحية معظم مياهها للاستخدامات المختلفة، واتضح أن اغلب الجهات تتمتع بحجم جريان سطحي مرتفع نسبياً وامكانية توجيهها للمنخفضات الطبيعية المتوفرة، وتبين من خلال الدراسة تنوع أشكال السطح مما يوفر امكانية الاستثمار السياحي.

المحتويات

أولاً: - فهرست الموضوعات

رقم الفقرة	الموضوع	الصفحة
	الآية القرآنية الكريمة	-
	إقرار المشرف ورئيس القسم	أ
	إقرار المقوم اللغوي	ب
	إقرار المقوم العلمي	ت
	إقرار لجنة المناقشة	ث
	الإهداء	ج
	الشكر والتقدير	ح
	مستخلص الدراسة	خ-د
	فهرست المحتويات	ذ-ض
	قائمة الجداول	ط-غ
	قائمة الأشكال	غ-ق
	قائمة الخرائط	ق-هـ
	قائمة الصور	هـ-ي
	الفصل الأول: المقدمة	
	موضوع الدراسة	2
1-1	مشكلة الدراسة	3
2-1	فرضية الدراسة	3
3-1	أهمية الدراسة	4
4-1	أهداف الدراسة	4
5-1	حدود الدراسة	4
6-1	مبررات الدراسة	6
7-1	منهجية الدراسة	6
8-1	هيكلية الدراسة	6
9-1	مراحل الدراسة	8
10-1	الدراسات المماثلة	8
11-1	المفاهيم الواردة في الدراسة	12

13	الاستشعار عن بعد والمعالجات الرقمية للمرئيات الفضائية المستخدمة	12-1
18	المؤشرات الرقمية	13-1
21	التفسير البصري للمرئيات الفضائية	14-1
26	مفهوم نظم المعلومات الجغرافية وتطبيقاتها في دراسة المقومات الجيومورفولوجية ودورها في التنمية المستدامة في بادية المثنى	15-1
28	أهمية نظم المعلومات الجغرافية في الدراسات الجيومورفولوجية	1-15-1
29	مكونات نظم المعلومات الجغرافية	2-15-1
30	البرامج المستخدمة في الدراسة	16-1
34	خطوات بناء قاعدة البيانات الجغرافية للمقومات الجيومورفولوجية لبادية المثنى	17-1
79-41	الفصل الثاني: المقومات الجيومورفولوجية لبادية المثنى ودورها في التنمية المستدامة	
42	الوضع الجيولوجي	1-2
42	التتابع الطباقى	1-1-2
42	تكوينات الزمن الثلاثي	1-1-1-2
48	ترسبات الزمن الرباعي	2-1-1-2
52	التركيب البنيوي	2-1-2
62	دور المقومات الجيومورفولوجية في التنمية المستدامة في بادية المثنى	3-2
62	دور المقومات الجيومورفولوجية في التنمية الصناعية المستدامة	1-3-2
75	دور المقومات الجيومورفولوجية في التنمية العمرانية المستدامة	2-3-2
76	دور المقومات الجيومورفولوجية في النقل	3-3-2
77	دور المقومات الجيومورفولوجية في التنمية الزراعية المستدامة	4-3-2

78	دور المقومات الجيولوجية في التنمية المستدامة للمياه الجوفية	5-3-2
78	دور المقومات الجيولوجية في التنمية السياحية المستدامة	6-3-2
79	الخلاصة	
118-80	الفصل الثالث المقومات المناخية لبادية المثنى ودورها في التنمية المستدامة	
81	الظروف المناخية	1-3
83	الاشعاع الشمسي	1-1-3
88	درجة الحرارة	2-1-3
92	الرياح	3-1-3
96	الأمطار	4-1-3
96	الرطوبة النسبية	5-1-3
101	التبخر	6-1-3
104	الموازنة المائية المناخية	-
104	دور الخصائص المناخية في التنمية المستدامة في بادية المثنى	2-3
104	دور الخصائص المناخية في التنمية الصناعية المستدامة (الطاقة والإنتاج)	1-2-3
109	دور الخصائص المناخية في التنمية العمرانية المستدامة	2-2-3
113	دور الخصائص المناخية في النقل	3-2-3
115	دور الخصائص المناخية في التنمية الزراعية المستدامة	4-2-3
117	دور الخصائص المناخية في التنمية المستدامة للمياه الجوفية	5-2-3
118	الخلاصة	
185-119	الفصل الرابع المقومات البيولوجية في بادية محافظة ودورها في التنمية المستدامة	
120	مفهوم التربة	1-4
120	تصنيف التربة	2-4
120	تصنيف الترب بحسب بيورنك	1-2-4

122	تصنيف التربة بحسب الطائي 1968	2-2-4
124	تصنيف الترب في بادية المثنى	3-2-4
129	خصائص الترب في بادية المثنى	3-4
134	الخصائص الفيزيائية للتربة	1-3-4
142	الخصائص الكيميائية للتربة	2-3-4
159	المؤشرات الرقمية الخاصة بالترب	4-4
159	(مؤشر الكثبان الرملية والترب القاحلة) (NDSDI)	1-4-4
165	دور الترب في التنمية المستدامة في بادية المثنى	5-4
165	دور الترب في التنمية الصناعية المستدامة	1-5-4
175	دور الترب في التنمية العمرانية المستدامة	2-5-4
177	دور الترب في التنمية المستدامة للنقل	3-5-4
181	دور الترب في التنمية الزراعية المستدامة	4-5-4
184	دور الترب في التنمية المستدامة للمياه الجوفية	5-5-4
185	دور الترب في التنمية السياحية المستدامة	6-5-4
185	الخلاصة	
226-186	النبات الطبيعي في بادية المثنى ودوره في التنمية المستدامة	
187	تصنيف النبات الطبيعي	1-5
187	النباتات المعمرة	1-1-5
188	النباتات الحولية	2-1-5
193	نباتات الفيضانات	3-1-5
195	استخدام المؤشرات الرقمية (الكشف عن الغطاء النباتي)	2-5
195	دليل الاختلاف النباتي (NDVI)	1-2-5
201	دليل اختلاف الماء الطبيعي (NDWI)	2-2-5
203	دليل نسبة الغطاء النباتي بالأشعة تحت الحمراء	3-2-5
207	دليل الاختلاف النباتي المعدل للتربة (SAVI)	4-2-3
209	دور النبات الطبيعي في التنمية المستدامة في بادية المثنى	3-5
209	دور النبات الطبيعي في التنمية الطبية المستدامة	1-3-5
215	دور النبات الطبيعي في التنمية الرعوية المستدامة	2-3-5

218	دور النبات الطبيعي في التنمية الصناعية والطاقة المستدامة	3-3-5
220	دور النبات الطبيعي في التنمية الغذائية المستدامة	4-3-5
223	دور النبات الطبيعي في التنمية السياحية المستدامة	5-3-5
226	الخلاصة	
331-227	الفصل السادس الموارد المائية في بادية المثنى ودورها في التنمية المستدامة	
228	تصنيف الموارد المائية في بادية المثنى وتوزيعها	1-6
228	الموارد المائية السطحية	1-1-6
229	الأمطار	2-1-6
235	الموازنة المائية المناخية	1-2-1-6
238	المياه الجوفية	3-1-6
239	مكامن المياه الجوفية (بادية المثنى)	1-3-1-6
240	اعماق المياه الجوفية واتجاه حركتها	2-3-1-6
243	تركيز الاملاح المذابة في المياه الجوفية ونوعيتها في بادية المثنى	3-3-1-6
247	التوزيع المكاني للآبار والعيون المائية	4-3-1-6
249	اعماق الآبار في بادية المثنى	3-4-3-1-6
256	الخواص الفيزيائية لنماذج المياه الجوفية في بادية المثنى	4-4-3-1-6
262	الخواص الكيميائية لنماذج المياه الجوفية في بادية المثنى	5-4-3-1-6
277	اساليب الحصاد المائي التي يمكن تطبيقها في بادية المثنى	2-6
284	دور الاستشعار عن بعد ونظم المعلومات الجغرافية في حصاد المياه	1-2-6
285	تقدير حجم الجريان السطحي لبادية المثنى بطريقة (SCS)	1-1-2-6
306	دور نظم المعلومات الجغرافية والاستشعار عن بعد في الكشف عن مكامن المياه الجوفية	3-6

306	دور الموارد المائية (المياه الجوفية) في التنمية المستدامة في بادية المثنى	4-6
307	تقييم صلاحية المياه الجوفية لأغراض الاستخدام البشري (الشرب)	1-4-6
311	صلاحية المياه الجوفية للإرواء الزراعي	2-4-6
311	نسبة امتزاز الصوديوم (SAR)	1-2-4-6
316	النسبة المئوية للصوديوم (Na)%	2-2-4-6
320	تصنيف ريتشارد (Richard)	3-2-4-6
324	صلاحية المياه الجوفية لأغراض الاستهلاك الحيواني	3-4-6
324	تصنيف منظمة الأغذية والزراعة العالمية (FAO)	1-3-4-6
324	ملاءمة المياه لشرب الحيوانات وفقاً لتصنيف 1989 Ayers and Westcot	2-3-4-6
325	صلاحية المياه الجوفية للأغراض الصناعية	4-4-6
327	صلاحية المياه الجوفية لأغراض البناء والإنشاءات	5-4-6
329	الخلاصة	
386-332	الفصل السابع أشكال سطح الأرض وخصائصه في بادية المثنى ودورها في التنمية المستدامة	
333	الخصائص الانحدارية والتضاريسية العامة	1-7
333	الخصائص الانحدارية	1-1-7
333	ظل التلال: hill Shad:	1-1-1-7
336	تحليل الخرائط الرقمية التضاريسية	2-1-1-7
336	الخريطة الكنتورية	1-2-1-1-7
338	الأقسام التضاريسية	2-2-1-1-7
341	تصنيف المنحدرات	-3-2-1-1-7
341	تصنيف المنحدرات حسب الشكل	1-3-2-1-1-7
344	الخصائص التضاريسية	2-1-7
344	المقاطع الطولية العامة في بادية المثنى	1-2-1-7
349	المنحنى الهيسوغرافي	2-2-1-7
350	المقاطع العرضية العامة في بادية المثنى	3-2-1-7

354	تصنيف المنحدرات في بادية المثنى (حسب الدرجة) Zink	2-3-2-1-1-7
357	اتجاه الانحدار لبادية المثنى	4-2-1-1-7
360	الأشكال الجيومورفولوجية السائدة في بادية المثنى	2-7
360	الأشكال الأرضية ذات الاصل البنيوي - الحثي	1-2-7
364	الأشكال الأرضية ذات الاصل التعروي	2-2-7
371	الأشكال الأرضية ذات الاصل الارسابي	3-2-7
376	الأشكال الأرضية الناتجة عن حركة المواد	4-2-7
377	دور أشكال سطح الأرض وخصائصه في التنمية المستدامة في بادية المثنى	3-7
377	دور أشكال سطح الأرض وخصائصه في التنمية السياحية المستدامة في بادية المثنى	1-3-7
379	دور أشكال سطح الأرض وخصائصه في التنمية العمرانية المستدامة	2-3-7
379	صياغة معايير نموذج التحليل المكاني Spatial Analysis Model	-
382	دور أشكال سطح الأرض وخصائصه في التنمية الزراعية المستدامة	3-3-7
384	دور أشكال السطح وخصائصه في التنمية الصناعية المستدامة	4-3-7
385	دور أشكال سطح الأرض وخصائصه في شبكات البنية الأساسية	5-3-7
385	الخلاصة	
387	النتائج	
390	المقترحات	
394	المصادر	
A-B	Abstract	

أولاً: - فهرست الجداول

الصفحة	عنوان الجدول	رقم الفقرة
12	تاريخ الزيارات الميدانية لبادية المثنى	1-1
15	خصائص مرئيات (OLI) في القمر الاصطناعي Landsat 8-9	2-1
36	تاريخ ومواقع المرئيات الفضائية المعتمدة في الدراسة (Landsat)	3-1
45	تكوينات الزمن الثلاث في بادية المثنى	1-2
51	ترسبات الزمن الرباعي في بادية المثنى	2-2
53	النطاقات التركيبية والنسب المئوية في بادية المثنى	3-2
56	الفوالق والطيات في بادية المثنى	4-2
57	أعداد وأطوال الظواهر الخطية في بادية المثنى	5-2
60	مساحة ونسبة التراكيب الخطية في بادية المثنى	6-2
64	الخامات المعدنية اللافلزية واحتياطياتها في بادية المثنى	7-2
65	نوع الخامات والصخور الصناعية المترسبة في (بادية المثنى) حسب العصور الجيولوجية (الزمن الثلاثي)	8-2
66	نوع الخامات والصخور الصناعية المترسبة في (الزمن الرباعي)	9-2
70	المعادن غير المعتمدة ونسبتها من الترسبات الحديثة والكثبان الرملية (المعادن الثقيلة)	10-2
74	المقياس الحجمي للحصى ونوع الاستخدام	11-2
76	اعداد السكان في منطقة الدراسة وفق تقديرات سكان محافظة المثنى لسنة 2021	12-2
87	المعدلات الشهرية والسنوية لعدد ساعات السطوع الشمسي (ساعة/يوم) (طول النهار) النظري والفعلي للمحطات المعتمدة للمدة (1991-2021)	1-3
90	درجات الحرارة العظمى والصغرى والمدى للمحطات المعتمدة للمدة (1991-2021)	2-3
93	المعدلات الشهرية والسنوية لسرعة الرياح (م/ثا) للمحطات المعتمدة للمدة (1991-2021)	3-3

96	النسب المئوية الشهري والسنوية لاتجاهات الرياح % للمحطات المعتمدة للمدة 1991-2021	4-3
99	المعدلات الشهرية والسنوية للرطوبة النسبية (%) للمحطات المعتمدة للمدة (1991-2021)	5-3
102	المعدلات الشهرية والمجموع والمعدل السنوي للتبخر (ملم) للمحطات المعتمدة للمدة (1991-2021)	6-3
107	طاقة الرياح بـ (واط) للمحطات المعتمدة للمدة (1991-2021)	7-3
108	متطلبات وحدة الطاقة الريحية بقدرة (3) ميكا واط	8-3
126	أصناف الترب ومساحاتها في بادية المثني	1-4
130	نتائج تحليل الخصائص الفيزيائية والكيميائية للعينات المختارة في بادية المثني	2-4
144	تصنيف درجات ملوحة التربة استناداً إلى نظام قسم الزراعة الأمريكي	3-4
165	الكثبان الرملية المستخرجة بمؤشر (NDSI) بين 2013-2022	4-4
166	المساحات والنسب المئوية للترب الصناعية في بادية المثني	5-4
171	الخصائص الكيميائية والفيزيائية للمقالع ضمن بادية المثني	6-4
173	مساحات واستعمالات الترب في بادية المثني	7-4
179	طرق النقل (الموجودة) في بادية المثني	8-4
190	اهم انواع النباتات المعمرة في بادية المثني	1-5
191	اهم انواع النباتات الحولية في بادية المثني	2-5
199	فئات ومساحات نتائج مؤشر (NDVI) للموسمين الصيفي والشتوي لبادية المثني لعام 2022	3-5
203	فئات ومساحات نتائج مؤشر (NDWI) للموسم الشتوي لبادية المثني لعام 2022	4-5
207	فئات ومساحات نتائج مؤشر (IPVI) للموسمين الصيفي والشتوي لبادية المثني لعام 2022	5-5
217	أعداد الحيوانات الرعوية في محافظة المثني	6-5
232	معدل الأمطار الشهرية والمجموع السنوي (ملم) للمدة (1991-2021)	1-6
234	نوع المناخ ومعامل الجفاف لأشهر المطيرة وغير المطيرة بتطبيق معادلة	2-6

	ديمارتون على المحطات المعتمدة في الدراسة للمدة (1991-2021)	
237	الموازنة المائية المناخية (ملم) بحسب معادلة ايفانوف في محطات منطقة الدراسة للمدة (1991-2021)	3-6
240	مساحات مكامن المياه الجوفية (بادية المثني)	4-6
243	أعماق ومساحات والنسب المئوية للتكوينات الحاوية على المياه الجوفية (بادية المثني)	5-6
245	نسب الاملاح ونوعية المياه الجوفية ومساحتها في بادية المثني	6-6
245	مساحات ونسب العناصر الكيميائية في المياه الجوفية في بادية المثني	7-6
251	مستويات اعماق الابار الارتوازية في بادية المثني	8-6
252	الخصائص النوعية لمياه الآبار في بادية المثني	9-6
280	أهم المنخفضات ومساحتها ونسبتها المئوية في بادية المثني	10-6
284	أعداد ومواضع السدود المقترحة على الوديان الرئيسة في بادية المثني	11-6
288	تصنيف الغطاء الارضي في بادية المثني	12-6
292	اصناف الترب الهيدرولوجية في بادية المثني وفقاً لطريقة (SCS)	13-6
294	العلاقة بين الترب الهيدرولوجية والغطاء الارضي	14-6
296	فئات (CN) ومساحتها ونسبتها المئوية في بادية المثني	15-6
297	المساحات والنسب المئوية لفئات (Ia-S) في بادية المثني	16-6
301	فئات ومساحات والنسبة المئوية لـ (Q) في بادية المثني	17-6
304	حجم ومساحة والنسبة المئوية لحجم الجريان السنوي (Qv)م3	18-6
308	صلاحية المياه للشرب وفقاً (W.H.O) و (IQS)	19-6
314	صلاحية المياه الجوفية للأغراض الزراعية وفقاً لـ (SAR)	20-6
316	تصنيف (Todd) للمياه وحسب النسبة المئوية لـ (Na)	21-6
318	صلاحية المياه لأغراض الري وفقاً لقيمة (Na)%	22-6
320	دليل المياه الجوفية وفقاً لـ (Richard)	23-6
320	تصنيف المياه الجوفية وفقاً لـ (Richard)	24-6
322	صلاحية المياه الجوفية لأغراض الإرواء الزراعي وفقاً لتصنيف (Richard)	25-6
324	المواصفات القياسية لمنظمة الأغذية والزراعة العالمية (FAO) لصلاحية المياه لأغراض الاستهلاك الحيواني (الشرب)	26-6

325	صلاحية المياه الجوفية للاستهلاك الحيواني (الشرب) وفقاً لـ (Ayers and Westcot 1989)	27-6
326	صلاحية المياه الجوفية للأغراض الصناعية- تصنيف (Salvato1982)	28-6
327	صلاحية المياه الجوفية لأغراض البناء والإنشاءات وفق (Altoviske1962)	29-6
336	مساحات ونسب المناطق بحسب شدة الظل	1-7
341	أقسام التضاريس ومساحتها (بادية المثني)	2-7
354	تصنيف المنحدرات حسب الدرجة (Zink)	3-7
358	اتجاهات الانحدار بحسب الدائرة الاتجاهية في بادية المثني	4-7
380	مساحات ونسب درجات الملازمة العمرانية المستدامة حسب المعايير المختارة	5-7
384	مساحات ونسب درجات الملازمة الزراعية المستدامة حسب المعايير المختارة	6-7

ثالثاً- فهرست الأشكال

رقم الفقرة	عنوان الشكل	الصفحة
1-1	مراحل اعداد الدراسة	11
2-1	تغيير مسقط المرئية باستخدام برنامج (ERDAS 2014)	16
3-1	تغيير مسقط لنماذج الارتفاعات الرقمية (DEM) المستخدمة في الدراسة	17
4-1	عملية موزائيك (Mosaic) للوحات (Landsat9)	18
5-1	عملية موزائيك (Mosaic) لنماذج الارتفاعات الرقمية (DEM)	18
6-1	عملية القطع (Clip) للوحات (Landsat9)	19
7-1	عملية القطع (Clip) لنماذج الارتفاعات الرقمية (DEM)	19
8-1	تطبيق اشتقاق في دليل الغطاء النباتي (NDVI)	20
9-1	التفسير البصري (اللون)	23
10-1	التفسير البصري (الشكل)	23
11-1	التفسير البصري (الحجم)	24

25	التفسير البصري (النمط)	12-1	12
25	التفسير البصري (النسيج)	13-1	13
26	التفسير البصري (الظل)	14-1	14
27	التفسير البصري (التواجد)	15-1	15
39	التطبيق العلمي لاشتقاق الخرائط الطبوغرافية	16-1	16
40	التطبيق العلمي لاشتقاق خرائط العناصر المناخية	17-1	17
59	المخطط الاتجاهي للظواهر الخطية	1-2	19
84	المعدلات الشهرية والسنوية لعدد ساعات السطوع الشمسي (ساعة/يوم) (طول النهار) النظرية للمحطات المعتمدة للمدة (1991-2021)	1-3	23
84	المعدلات الشهرية والسنوية لعدد ساعات السطوع الشمسي (ساعة/يوم) (طول النهار) الفعلية للمحطات المعتمدة للمدة (1991-2021)	2-3	24
92	درجات الحرارة الصغرى للمحطات المعتمدة للمدة (1991-2021)	3-3	25
92	درجات الحرارة العظمى للمحطات المعتمدة للمدة (1991-2021)	4-3	26
95	المعدلات الشهرية والسنوية لسرعة الرياح (م/ثا) للمحطات المعتمدة للمدة (1991-2021)	5-3	27
98	وردة الرياح (Wind Rose) لمحطة النجف والسماوة ورفحاء والبصرة	6-3	28
101	المعدلات الشهرية والسنوية للرطوبة النسبية (%) للمحطات المعتمدة للمدة (1991-2021)	7-3	29
104	المعدلات الشهرية للتبخر (ملم) للمحطات المعتمدة للمدة (1991-2021)	8-3	30
197	تطبيق دليل الاختلاف النباتي (NDVI)	1-5	31
197	تطبيق دليل الاختلاف النباتي (NDVI)	2-5	32
230	معدل الأمطار الشهرية والمجموع السنوي (ملم) (1991-2021)	1-6	33

238	العلاقة بين الخزانات الارضية والمجاري السطحية	2-6	34
281	نماذج ثلاثية الابعاد (3D) لبعض منخفضات منطقة الدراسة	3-6	35
284	نماذج لمواقع بعض السدود	4-6	36
288	التصنيف الموجه للغطاء الارضي (Classification) (Supervised	5-6	37
303	تقدير حجم الجريان السطحي (Qv)(Runoff Rate)	6-6	38
343	مقطع انحداري (المنطقة السهلية)	1-7	39
343	مقطع انحداري (المنطقة المتهضبة)	2-7	40
344	مقطع انحداري (المنطقة المتهضبة)	3-7	41
345	مقطع انحداري (المنطقة المتهضبة)	4-7	42
346	المقطع العام الاول (بادية المثنى)	5-7	43
348	المقطع العام الثاني (بادية المثنى)	6-7	44
348	المقطع العام الثالث (بادية المثنى)	7-7	45
349	المنحنى الهيسوغرافي لبادية المثنى	8-7	46
351	المقطع العرضي العام الاول (بادية المثنى)	9-7	47
352	المقطع العرضي العام الثاني (بادية المثنى)	10-7	48
353	المقطع العرضي العام الثالث (بادية المثنى)	11-7	49

رابعاً:- فهرست الخرائط

الصفحة	عنوان الخريطة	رقم الفقرة	التسلسل
5	موقع بادية المثنى من العراق	1-1	1
44	تكوينات الزمن الثلاثي في بادية المثنى	1-2	2
50	ترسبات الزمن الرباعي في بادية المثنى	2-2	3
54	بنوية بادية المثنى	3-2	4
58	التراكيب الخطية في بادية المثنى	4-2	5
61	كثافة التراكيب الخطية في بادية المثنى	5-2	6
63	التوزيع المكاني للثروات اللافلزية في بادية المثنى	6-2	7
67	التوزيع المكاني للحقول النفطية والمحتملة منها	7-2	8

82	الموقع الفلكي للمحطات المناخية المعتمدة في بادية المثنى	1-3	9
86	المعدلات السنوية لعدد ساعات السطوع الشمسي (ساعة/يوم) (طول النهار) الفعلية للمحطات المعتمدة للمدة (1991-2021)	2-3	10
89	درجات الحرارة الصغرى للمحطات المعتمدة للمدة (1991-2021)	3-3	11
91	درجات الحرارة العظمى للمحطات المعتمدة للمدة (1991-2021)	4-3	12
94	المعدلات السنوية لسرعة الرياح (م/ثا) للمحطات المعتمدة للمدة (1991-2021)	5-3	13
97	اتجاهات الرياح % للمحطات المعتمدة للمدة (1991-2021)	6-3	14
100	المعدلات السنوية للرطوبة النسبية (%) للمحطات المعتمدة للمدة (1991-2021)	7-3	15
103	مجاميع قيم التبخر (مم) للمحطات المعتمدة للمدة (1991-2021)	8-3	16
110	المواقع المقترحة لمشاريع الطاقة المتجددة في بادية المثنى	9-3	17
121	تصنيف ترب بادية المثنى بحسب تصنيف بيورنك	1-4	18
123	تصنيف الترب بحسب الطائي	2-4	19
127	اصناف الترب في بادية المثنى	3-4	20
133	التوزيع المكاني لموقع عينات التربة في بادية المثنى	4-4	21
135	التوزيع المكاني لأصناف نسجة التربة في بادية المثنى	5-4	22
136	التوزيع المكاني للرمل في بادية المثنى	6-4	23
137	التوزيع المكاني للغرين في بادية المثنى	7-4	24
138	التوزيع المكاني للطين في بادية المثنى	8-4	25
140	لون سطح الترب في بادية المثنى	9-4	26
143	التوزيع المكاني للاس الهيدروجيني في بادية المثنى	10-4	27
145	التوزيع المكاني للتوصيلة الكهربائية في بادية المثنى	11-4	28
147	التوزيع المكاني المادة العضوية في بادية المثنى	12-4	29

149	التوزيع المكاني للأملح الذائبة في بادية المثنى	13-4	30
151	التوزيع المكاني للكلوريدات في بادية المثنى	14-4	31
153	التوزيع المكاني للبيوتاسيوم في بادية المثنى	15-4	32
155	التوزيع المكاني للصوديوم في بادية المثنى	16-4	33
157	التوزيع المكاني للمغنيسيوم في بادية المثنى	17-4	34
158	التوزيع المكاني للكالسيوم في بادية المثنى	18-4	35
160	نتائج مؤشر NDSI لسنة 2013 للكثبان الرملية في بادية المثنى	19-4	36
161	نتائج مؤشر NDSI لسنة 2022 للكثبان الرملية في بادية المثنى	20-4	37
163	الكثبان الرملية والاراضي القاحلة في بادية المثنى 2013	21-4	38
164	الكثبان الرملية والاراضي القاحلة في بادية المثنى لعام 2022	22-4	39
167	التوزيع المكاني لموارد الترب الصناعية المتاحة في بادية المثنى	23-4	40
168	التوزيع المكاني لمواقع استثمار موارد الترب الصناعية في بادية المثنى	24-4	41
170	مقالع الترب بحسب المادة المنتجة في بادية المثنى	25-4	42
172	الامكانات المتاحة للتنمية الصناعية المستدامة للترب في بادية المثنى	26-4	43
174	المواقع المقترحة لاستثمار الترب بحسب المادة المنتجة في بادية المثنى	27-4	44
176	المواقع المقترحة لنواة المدن بالقرب من معامل الاسمنت المقترحة	28-4	45
178	طرق النقل المهمة في بادية المثنى	29-4	46
180	طرق النقل المقترحة والامكانات المتاحة في بادية المثنى	30-4	47
189	التوزيع المكاني لبعض النباتات الصحراوية في بادية المثنى	1-5	48
194	التوزيع المكاني للفيضات في بادية المثنى	2-5	49
198	نتائج مؤشر (NDVI) للموسم الصيفي في بادية المثنى	3-5	50

200	نتائج مؤشر (NDVI) للموسم الشتوي في بادية المثنى	4-5	51
202	نتائج مؤشر NDWI للموسم الشتوي في بادية المثنى	5-5	52
205	نتائج مؤشر IPVI للموسم الصيفي في بادية المثنى	6-5	53
206	نتائج مؤشر IPVI للموسم الشتوي في بادية المثنى	7-5	54
208	نتائج مؤشر (SAVI) لعام 2021 في بادية المثنى	8-5	55
211	نبات الخباز (بادية المثنى)	9-5	56
211	نبات الحرمل (بادية المثنى)	10-5	57
211	نبات الحميض (بادية المثنى)	11-5	58
211	نبات الشيح (بادية المثنى)	12-5	59
213	نبات العفرج (بادية المثنى)	13-5	60
213	نبات البختري (بادية المثنى)	14-5	61
213	نبات الحنظل (بادية المثنى)	15-5	62
213	نبات الطرفة (بادية المثنى)	16-5	63
214	نبات الرمث (بادية المثنى)	17-5	64
214	نبات الغضا (بادية المثنى)	18-5	65
216	مناطق تنمية النباتات الطبية (بادية المثنى)	19-5	66
219	مناطق التنمية الرعوية والزراعية المستدامة في بادية المثنى	20-5	67
222	المراكز المقترحة لجمع وتسويق ثمار الكمأ	21-5	68
225	التوزيع المكاني للمناطق السياحية المقترحة بحسب المؤشرات الرقمية	22-5	69
231	المعدل السنوي لكميات الأمطار للمحطات المعتمدة	1-6	70
241	مكامن المياه الجوفية في بادية المثنى	2-6	71
244	أعماق واتجاهات المياه الجوفية في بادية المثنى	3-6	72
246	اتجاه حركة وتركيز الاملاح ونوعية المياه الجوفية في بادية المثنى	4-6	73
248	التوزيع المكاني للآبار والعيون المائية	5-6	74

250	اعماق الآبار في بادية المثنى	6-6	75
257	التوزيع المكاني لقيم درجات الحرارة لعينات الآبار في بادية المثنى	7-6	76
260	التوزيع المكاني للتوصيلة الكهربائية في بادية المثنى	8-6	77
261	التوزيع المكاني لقيم TDS في بادية المثنى	9-6	78
263	التوزيع المكاني لقيم الأس الهيدروجيني (pH)	10-6	79
265	التوزيع المكاني لفئات تركيز ايون الكالسيوم ملغم/لتر	11-6	80
266	التوزيع المكاني لفئات تركيز ايون الصوديوم ملغم/لتر	12-6	81
268	التوزيع المكاني لفئات تركيز ايون المغنسيوم ملغم/لتر	13-6	82
270	التوزيع المكاني لفئات تركيز ايون البوتاسيوم ملغم/لتر	14-6	83
272	التوزيع المكاني لفئات تركيز ايون الكلوريد ملغم/لتر	15-6	84
273	التوزيع المكاني لفئات تركيز ايون النترات ملغم/لتر	16-6	85
275	التوزيع المكاني لفئات تركيز ايون الكبريتات ملغم/لتر	17-6	86
277	التوزيع المكاني لفئات تركيز ايون البيكربونات ملغم/لتر	18-6	87
279	التوزيع المكاني للخرانات المائية المقترحة في بادية المثنى	19-6	88
283	مواضع السدود المقترحة في وديان بادية المثنى	20-6	89
289	التصنيف الموجه للغطاء الارضي Classification (Supervised)	21-6	90
291	تصنيف الترب الهيدرولوجية (بادية المثنى)	22-6	91
295	توزيع فئات قيم منحني الجدولة CN في بادية المثنى	23-6	92
298	توزيع فئات قيمة (S) في بادية المثنى	24-6	93
300	توزيع فئات قيمة (Ia) في بادية المثنى	25-6	94
302	توزيع قيم عمق الجريان السطحي (Q)	26-6	95
305	توزيع قيم حجم الجريان السطحي (Qv) م3	27-6	96
307	دلائل وجود المياه الجوفية (الصدوع)	28-6	97
310	المواقع الأكثر صلاحية لمياه الشرب وفقا (W.H.O) و (IQS)	29-6	98
313	التوزيع المكاني لنسبة أمتزاز الصوديوم (SAR) لآبار بادية	30-6	99

	المتنى		
317	النسبة المئوية لـ (Na) في مياه آبار بادية المتنى	31-6	100
321	التوزيع المكاني لصلاحية مياه الآبار حسب تصنيف Richard	32-6	101
328	صلاحية المياه الجوفية لأغراض البناء والإنشاءات وفق (Altoviske1962)	33-6	102
335	التوزيع المكاني لمناطق الظل في بادية المتنى	1-7	103
337	خطوط الارتفاعات المتساوية (بادية المتنى)	2-7	104
340	اقسام السطح (بادية المتنى)	3-7	105
355	تصنيف المنحدرات حسب الدرجة (تصنيف Zink)	4-7	106
359	اتجاه الانحدارات (بادية المتنى)	5-7	107
365	الخريطة الجيومورفولوجية (بادية المتنى)	1-7	108
381	الملاءمة المكانية العمرانية	2-7	109
383	الملاءمة المكانية الزراعية	3-7	110

ثالثاً:- فهرست الصور

الصفحة	عنوان الصورة	رقم الفقرة	التسلسل
47	صخور الدمام الاعلى جنوب غرب الشفلى	1-2	1
48	ترسبات ملء المنخفضات (رغلة)	2-2	2
49	الترسبات الريحية (منطقة الذهب)	3-2	3
69	احجار ترتفع بها نسبة الحديد (منطقة الساعة)	4-2	4
72	جانب من حجر الدولومايت (منطقة الوجاجية)	5-2	5
73	رواسب الجلاميد (اعالي وادي نهيلان)	6-2	6
74	رسوبيات الرمل (منطقة الساعة)	7-2	7
76	بعض مظاهر الاستيطان (منطقة الداريات)	8-2	8
77	الاراضي التي يصعب التنقل فيها (منطقة الزكل)	9-2	9
79	أشكال صخرية متفردة الجمال (العديد من الاماكن في بادية المتنى)	10-2	10
122	الترب الصحراوية الحجرية غرب بصية (أبو فناجين)	1-4	11

124	جانب من الكثبان الرملية(حمدة)	2-4	12
128	الكثبان الرملية (شرق منطقة الدراسة)	3-4	13
132	جمع وتحليل عينات الترب في بادية المثني	4-4	14
141	تمثل إحدى المزارع بادية السلطان (شمال السلحوية)	5-4	15
141	تمثل الصخور الجيرية السوداء (الزفراوية)	6-4	16
183	التين الشوكي	7-4	17
192	بعض اصناف النباتات الطبيعية في بادية المثني	8-4	18
193	نباتات المناطق المنخفضة في بادية المثني(السعادة)	1-5	19
217	النشاط الرعوي في منطقة الدراسة(أم الخيلان)	2-5	20
221	مزادات بيع ثمار الكما في قضاء السماوة	3-5	21
247	مناطق تم تهيئتها للزراعة اعتماداً على مياه الآبار بالقرب من (الدغير)	4-5	22
306	تمثل طبيعة الغطاء الأرضي في بادية المثني	1-6	23
311	تمثل إحدى المواقع المقترحة لنصب المحطات الخاصة بتحلية المياه	2-6	24
326	أحد معامل الجص (شمال وادي أبو جلود)	3-6	25
342	الانحدارات المنتظمة (بادية السلطان)	4-6	26
346	تمثل جرف وادي رئيس (أبو حضير) بالقرب من منطقة الشاوية	1-7	27
361	جانب من هضاب منطقة (كويني)	2-7	28
361	أحد الموائد الصخرية منطقة(مديسيس)	3-7	29
362	جانب من الجروف الصخرية منطقة(كرع)	4-7	30
363	توضح ظاهرة التلال منطقة (الحفاير)	5-7	31
364	توضح الكوستا منطقة (النفعات)	6-7	32
366	التعرية المائية(مسيل مائي) منطقة(رجلة الضبعة)	7-7	33
368	الاخاديد منطقة (الشاوية)	8-7	34
369	الاراضي الرديئة منطقة (الخديات)	9-7	35
370	جانب من ارض الحمادة منطقة (غدير الصفاوي)	10-7	36
371	توضح جانب من الارصفة الصحراوية منطقة(أم العكف)	11-7	37

372	ترسبات قاع الوادي في الجزء الاسفل (وادي الكصير)	12-7	38
373	جانب من سهول الاودية منطقة (أم الحباري)	13-7	39
375	احد كتبان النباك منطقة (سديد)	14-7	40
378	فيضة هدانية (بادية السلطان)	15-7	41

المقدمة

موضوع الدراسة

1-1- مشكلة الدراسة

1-2- فرضية الدراسة

1-3- أهمية الدراسة

1-4- أهداف الدراسة

1-5- حدود الدراسة

1-6- مبررات الدراسة

1-7- منهجية الدراسة

1-8- هيكلية الدراسة

1-9- مراحل الدراسة

1-10- المفاهيم الواردة في الدراسة

1-11- الاستشعار عن بعد والمعالجات الرقمية للمرئيات الفضائية

المستخدمة

1-12- المؤشرات الرقمية

1-13- التفسير البصري للمرئيات الفضائية

1-14- مفهوم نظم المعلومات الجغرافية وتطبيقاتها في دراسة المقومات

الجيومورفولوجية ودورها في التنمية المستدامة في بادية المثنى

1-15- خطوات بناء قاعدة البيانات الجغرافية للمقومات الجيومورفولوجية

لبادية المثنى

1-16- الدراسات المماثلة

موضوع الدراسة: Subject

تعد دراسة المقومات الجيومورفولوجية من أهم المواضيع ذات الدلالات الاقتصادية التي يمكن إن تُحرك بواذر التنمية المستدامة في بادية المثنى، كونها تتعلق بالموارد الطبيعية القابلة للنفاذ أو الهدر في حال استثمارها بشكل لا يرفع مصالح الاجيال اللاحقة، وقد حظيت بادية المثنى باهتمام الباحث كونها تتميز بمقومات جيومورفولوجية متنوعة تشكل حلقة اقتصادية مهمة فضلاً عن توفير فرص عمل لسكانها، وقد اتسعت مجالات علم الجيومورفولوجية لتكون عوناً لبقية العلوم ومنها علم الجيولوجيا، وتتكامل العلاقة بين الخرائط الجيولوجية التي تعمل على ابراز العلاقة بين الصخر ونظام بنائه والخصائص الفيزيائية والكيميائية والمعدنية وتحديد الازمنة الجيولوجية التي تشكلت خلالها، في حين ان الجيومورفولوجي يربط بينها وبين مراحل تطورها، وتقدم الدراسات الجيومورفولوجية معلومات لا حدود لها في مجال الاستغلال الزراعي والرعي وبناء على المعرفة بالخصائص الجيومورفولوجية لمنطقة الدراسة وخصائص سطحها ودرجة انحدارها وسمك ارساباتها، فضلاً عن دورها في تقديم معلومات عن خصائص السطح وطبيعة الرواسب وسمكها وأشكالها وانواعها وتوزيعها لغرض التهيئة لتخطيط المدن واستغلال الارض واقامة المراكز الصناعية، لذا فإن الدراسات الجيومورفولوجية المعاصرة قدمت لغيرها من العلوم حلول حقيقية عن طريق التحليل الكمي للمعلومات وباستخدام نظم المعلومات الجغرافية والاستشعار عن بعد، إذ تمثل نظم المعلومات الجغرافية أحد اهم مجالات الحاسب الآلي التطبيقية التي تساهم في دعم الدراسات الجيومورفولوجية عن طريق توفير أساليب التحليل المعلومات المكانية بعد ربطها بالمعلومات الوصفية واعطاء نتائج تتلاءم مع الثورة المعلوماتية والزيادة الهائلة في التطور الذي شهدته علوم الفضاء، إذ اصبحت الأقمار الصناعية ترصد وترقب بشكل مستمر وتؤشر حجم التغيرات بهدف قياس الظواهرات او تحديد اسبابها او الحد منها او التقليل من اثارها بغية الوصول إلى تحقيق التنمية المستدامة ورسم خرائط التغير.

وتعد الجغرافية إحدى العلوم التطبيقية التي تستخدم الحاسوب في رسم الخرائط إلى جانب توفير المعلومات الضخمة والأقل تكلفة من خلال الاستشعار عن بعد ونظم المعلومات الجغرافية وربطها بالعمل الميداني، وقد استندت الدراسة على المرنيات الحديثة وتوضيح اساليب معالجتها واستخلاص المعلومات منها بغية توظيفها في خدمة الدراسة.

1-1- مشكلة الدراسة: The Problem of Study

- تتمثل مشكلة الدراسة بتساؤل رئيس وهو: كيف يمكن الكشف عن دور المقومات الجيومورفولوجية في التنمية المستدامة في بادية المثني باستخدام نظم المعلومات الجغرافية والاستشعار عن بعد، ويمكن صياغة مشكلة البحث بالتساؤلات الثانوية الآتية:
- 1- ما هو دور المقومات الجيومورفولوجية في التنمية المستدامة في بادية المثني.
 - 2- ما هو دور المقومات المناخية في التنمية المستدامة في بادية المثني.
 - 3- ما هو دور المقومات البيولوجية في التنمية المستدامة في بادية المثني.
 - 4- ما هو دور الموارد المائية في التنمية المستدامة في بادية المثني.
 - 5- ما هو دور النبات الطبيعي في التنمية المستدامة في بادية المثني.
 - 6- ما هو دور أشكال السطح وخصائصه في التنمية المستدامة في بادية المثني.

1-2- فرضية الدراسة: The Hypothesis of Study

اعتمدت الدراسة على فرضية رئيسة وهي ان استخدام نظم المعلومات الجغرافية والاستشعار عن بعد في الكشف عن المقومات الجيومورفولوجية ودورها في التنمية المستدامة في بادية المثني يوفر كم هائل من المعلومات الدقيقة لمتخذي القرار وبأدنى كلف، وقد قامت هذه الدراسة على عدد من الفرضيات الثانوية التي يمكن البرهنة على مقدار صحتها من خلال نتائج الدراسة ويمكن اجمالها بالآتي :

- 1- للمقومات الجيومورفولوجية دور في التنمية المستدامة (الصناعية، العمرانية، النقل، الزراعية، المياه الجوفية، السياحة).
- 2- للمقومات المناخية دور في التنمية المستدامة (الطاقة والإنتاج، العمرانية، النقل، الزراعية، المياه الجوفية، السياحة).
- 3- للمقومات البيولوجية دور في التنمية المستدامة (الصناعية، العمرانية، النقل، الزراعية، المياه الجوفية، السياحة).
- 4- هناك دور النبات الطبيعي في التنمية المستدامة في المجالات (الطبية، الرعوية، الصناعية، الغذائية، السياحة).

5- هناك دور للموارد المائية في التنمية المستدامة في مجالات (الزراعي، والاغراض الصناعية، البناء والإنشاءات).

6- لأشكال سطح الأرض وخصائصه دور في التنمية (السياحية، العمرانية، الزراعية، الصناعية، شبكات البنية الأساسية) المستدامة في بادية المثني.

3-1- أهمية الدراسة: Important of Study

تأتي أهمية الدراسة كونها محاولة لتسليط الضوء على أهمية المقومات الجيومورفولوجية في بادية المثني، ودورها في التنمية المستدامة من خلال دراستها وتحليلها وتوزيعها واستثمارها، من أجل استغلالها بطريقة تحافظ على حقوق الأجيال القادمة، إذ تزخر بادية المثني بثروات هائلة يمكن الاستفادة منها في دفع عجلة التقدم وتوفير فرص عمل ومن ثم تحقيق الرخاء.

4-1- أهداف الدراسة: Aim of The Study

تهدف الدراسة إلى تحقيق أهداف محددة وكما يأتي:

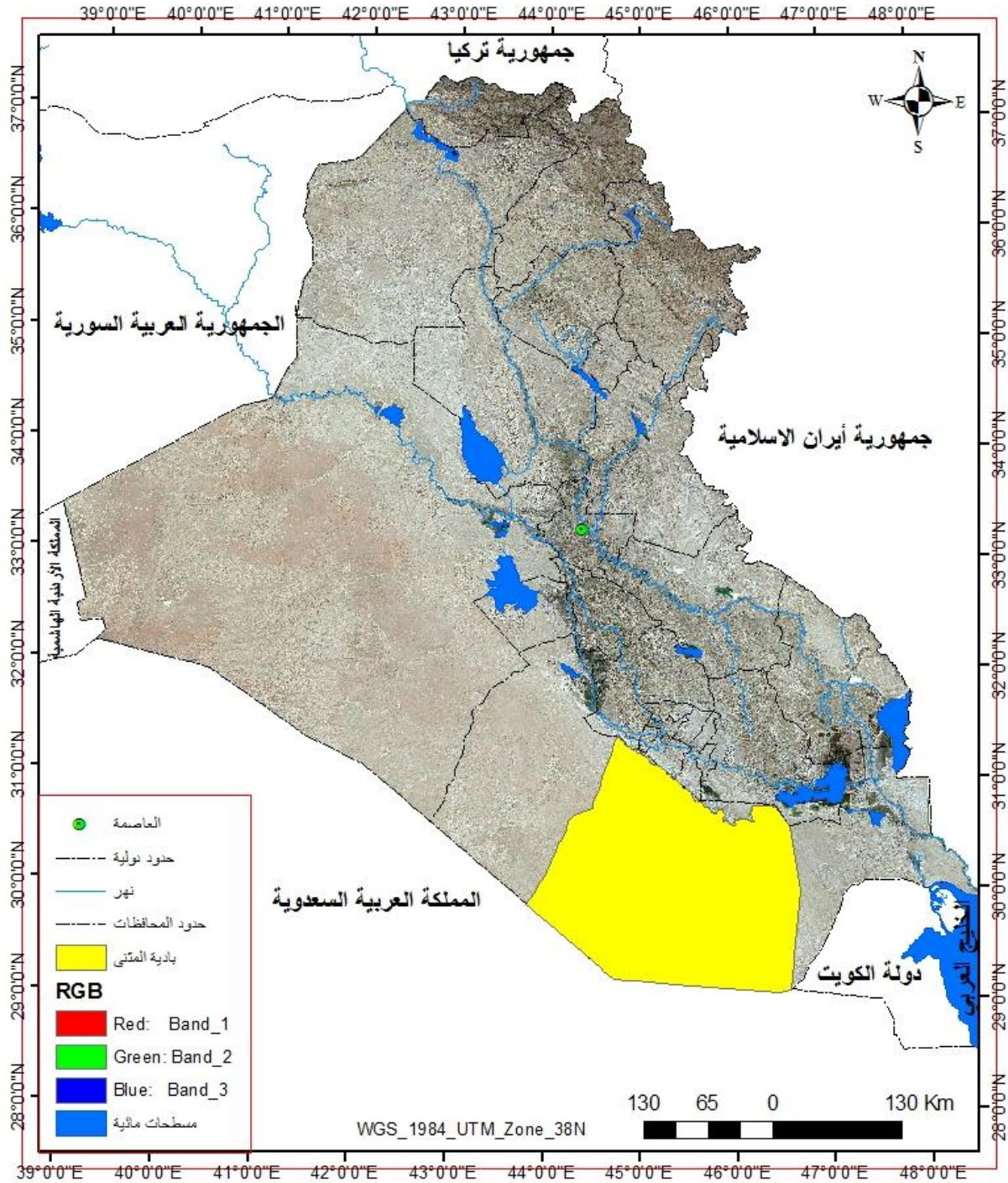
1- إبراز دور المقومات الجيومورفولوجية في التنمية المستدامة في بادية المثني، وتوظيف نظم المعلومات الجغرافية والاستشعار عن بعد في الكشف عن المقومات الجيولوجية والمناخية والطوبوغرافية والموارد المائية وأشكال سطح الأرض وخصائصها.

2- بناء قاعدة متكاملة لمقومات الجيومورفولوجية وسبل تنميتها تنمية مستدامة لبادية المثني بالاعتماد على برنامج نظم المعلومات الجغرافية والمرئيات الفضائية، ورسم خرائط للموارد المتاحة في بادية المثني لغرض تحقيق الجدوى الاقتصادية من هذه الدراسة للجهات الاتية: (مديرية الموارد المائية، الهيئة العامة للمياه الجوفية ومديرية الزراعة ومديرية البيئة في محافظة المثني ومركز دراسات البادية في جامعة المثني).

5-1- حدود الدراسة: Location of Study Area

فلكياً تمتد بادية المثني بين دائرتي عرض $29^{\circ} 4' 9.75''$ - $31^{\circ} 23' 51.99''$ شمالاً ، وقوسي طول $43^{\circ} 48' 51.22''$ - $46^{\circ} 40' 20.47''$ شرقاً، وجغرافياً تقع بالكامل ضمن حدود محافظة المثني، فتحدها محافظة البصرة من جهة الشرق، ومحافظة النجف من جهة الغرب، بينما يمثل السهل الرسوبي حداً طبيعياً لحدودها الشمالية، إذ يمثل صدع أبو جبر فاصلاً تكتونيا لها مع السهل الرسوبي، اما من جهة الجنوب فتحدها المملكة العربية السعودية، يلاحظ خريطة (1-1).

خريطة (1-1) موقع بادية المثنى من العراق



المصادر:

- 1-وزارة الموارد المائية، الهيئة العامة للمساحة، قسم انتاج الخرائط، خريطة العراق الادارية، بمقياس 1:1000 000، بغداد، 2022.
- 2- وزارة الموارد المائية، الهيئة العامة للمساحة، قسم انتاج الخرائط، خريطة محافظة المثنى، بمقياس 1:500 000، بغداد، 2022.
- 3-القمر الأمريكي (Landsat 9) مرئية (OLI) ، الحزم (2,3,4) ، 2022.

وتغطي حدود (45657.7) كم²، من مجموع مساحة محافظة المثني الكلية البالغة (51677.5) كم²، اي ما نسبة (88.35) % (*)

1-6-مبررات الدراسة: Justifications for The Study

جاءت هذه الدراسة بسبب عدم وجود دراسة جيومورفولوجية تفصيلية شاملة لبادية المثني، كما أن معظم الدراسات التي تناولت منطقة الدراسة ككل لم تستخدم نظم المعلومات الجغرافية والاستشعار عن بعد، فضلاً عن امكانات لا حدود لها من مقومات جيومورفولوجية للتنمية المستدامة في بادية المثني فيما لو استثمرت بالشكل الامثل، وتوظيف الاستشعار عن بعد ونظم المعلومات الجغرافية في الكشف عن هذه المقومات، وبناء قاعدة بيانات مكانية للمقومات الجيومورفولوجية في بادية المثني بأقل التكاليف واسهل الطرق لتكون مرجعاً لإصحاب القرار، فضلاً عن رفد الاطلس الخرائطي بخرائط توضح هذه المقومات الجيومورفولوجية.

1-7-منهجية الدراسة: Study methodology

اعتمدت الدراسة على المنهج الوصفي في وصف وتبيان المقومات الجيومورفولوجية لبادية المثني ومنهج النظام المغلق من خلال اتباع الطريقة التاريخية في البحث والصفة الحتمية في تفسير تأثير بيئة بادية المثني عند نشأة وتطور الأشكال الأرضية، والمنهج الاستقرائي والاستنتاجي اعتماداً على تسلسل الحقائق العلمية بترتيب منطقي بحيث تؤدي كل حقيقة إلى فهم ما يليها ومن ثم التوصل إلى النتائج، مستعيناً بالدراسة الميدانية وتوثيقها بالصور الفوتوغرافية، والمنهج التحليلي الذي أُستعمل في تحليل وتفسير المرئية الفضائية ونماذج الارتفاعات الرقمية للمنطقة (DEM) وتحليل الخرائط الطبيعية والجيولوجية، فضلاً عن المنهج الإحصائي (الخوارزميات) المطبقة في المؤشرات الرقمية (NDSI, NDVI, NDWI, IPVI) وفي المعادلات الرياضية المطبقة فضلاً عن الدراسة الميدانية.

1-8-هيكلية الدراسة: Structure of Study

تضمنت الدراسة سبع فصول بناءً على الخطة المنهجية التي أُعتمدت لدراسة المقومات الجيومورفولوجية في منطقة الدراسة ودورها في التنمية المستدامة وكما يأتي:

الفصل الأول: تضمن مقدمة عن الموضوع ومنهجيته والمفاهيم الواردة في الدراسة، ومعطيات الاستشعار عن بعد وبرامج نظم المعلومات المستخدمة.

(*) برنامج (Arc GIS 10.2.2) في حساب المساحات.

الفصل الثاني: أشتمل هذا الفصل على المقومات الجيولوجية التي تمثلت بالوضع الجيولوجي والتراكيب الخطية وتصنيفها ودورها في التنمية المستدامة في بادية المثني.

الفصل الثالث: تناول هذا الفصل المقومات المناخية ودورها في التنمية المستدامة في بادية المثني.

الفصل الرابع: أختص هذا الفصل في دراسة ومسح وتحليل التوزيع المكاني للتربة ودراسة خصائصها الكيميائية والفيزيائية، وبيان اهم التصنيف المستخدمة واعداد خريطة من (10) أصناف للتربة بالاعتماد على الخرائط الطبوغرافية وعينات التربة فضلاً عن المرئيات الفضائية للقمر الامريكي (Landsat 9)، والاشارة إلى دور ترب بادية المثني في التنمية المستدامة في بادية المثني.

الفصل الخامس: تناول الفصل الخامس التحليل المكاني للموارد المائية(الامطار، السطحية، الجوفية) ودراسة خصائصها النوعية، واهم اساليب الحصاد المائي وتطرق إلى إمكانية استخدام الاستشعار عن بعد في تحديد الجريان السطحي باستخدام (SCS)، ودور نظم المعلومات الجغرافية والاستشعار عن بعد في الكشف عن الموارد المائية الجوفية، وتقييم صلاحية الموارد المائية للاستخدامات المختلفة ودورها في التنمية المستدامة في بادية المثني.

الفصل السادس: تطرق هذا الفصل إلى التوزيع المكاني للنبات الطبيعي وأنواعه والكشف عنه باستخدام المؤشرات الرقمية (NDVI - NDWI - IPVI)، ودور النبات الطبيعي في التنمية المستدامة في بادية المثني.

الفصل السابع: اختص هذا الفصل بأشكال سطح الأرض والخصائص الانحدارية باستخدام خرائط الظل وتحليل الخرائط الرقمية (الكننورية) والأقسام التضاريسية وتصنيف المنحدرات (Zink) والمقاطع التضاريسية، وتناول هذا الفصل الاشكال الجيومورفولوجية السائدة ودور أشكال سطح الأرض وخصائصه في التنمية المستدامة في بادية المثني باستخدام نموذج التحليل المكاني(Spatial Analysis Model) وتحديد الملاءمة المكانية للتنمية المستدامة في بادية المثني.

1-9- مراحل الدراسة: Stages of Study

تطلب اكمال هذه الدراسة القيام بالمراحل الآتية، يلاحظ شكل(1-1):

- 1- الزيارات الميدانية وجمع البيانات عن بادية المثنى من خلال زيارة المؤسسات الحكومية المعنية، يلاحظ جدول(1-1).
- 2- جمع المصادر المكتبية والدراسات المماثلة لمنطقة الدراسة.
- 3- جمع الخرائط الطبوغرافية التي تخص بادية المثنى وبمقاييس مختلفة، والمرئيات الفضائية لسنة(2022) و(2013)للفصلين الجاف والرطب من القمر الأمريكي (Landsat 8-9) مرئية(OLI) ، ونماذج الارتفاعات الرقمية.
- 4- اختيار العينات ثم المباشرة بالعمل المختبري.
- 5- المباشرة بالرسم والتمثيل الخرائطي والتحليل.
- 6- عمل تصنيف للمرئيات الفضائية و (Index) للخرائط.
- 7- المباشرة بكتابة فصول الدراسة بعد اجراء معالجة للبيانات وتصنيفها والربط والمقارنة.

10-1- الدراسات المماثلة: Similar studies

على الرغم من الأهمية الكبيرة للتقنيات الحديثة في الدراسات الجيومورفولوجية، الا إن بادية المثنى ككل لم تحظ بدراسة جغرافية طبيعية جيومورفولوجية باستخدام نظم المعلومات الجغرافية والاستشعار عن بعد تعمل على تحليل المقومات الجيومورفولوجية للتنمية المستدامة، إذ كانت هناك دراسات متفرقة هنا وهناك درست موضوعات مختلفة عن بعضها البعض وأغلبها يتعلق بالأحواض المائية، وقد جاءت هذه الدراسة معتمدة على معطيات الاستشعار عن بعد المتمثلة المرئيات الحديثة وتحديث الخرائط المتوفرة وفق أحدث البيانات.

1-الهرود (2006) ⁽¹⁾: تناولت الدراسة الوحدات الجيومورفولوجية في منطقة السلطان - محافظة المثنى من حيث الأشكال الأرضية وصنفها إلى أصول متنوعة، فمنها تكتوني وتعروي وإرسابي وريحي وإذابي ، وآخر ناتج عن فعل الإنسان.

2-الجوهر (2011) ⁽¹⁾: تناولت هذه الدراسة الوديان الجافة في منخفض الصليبيات والعوامل والعمليات الطبيعية وخصائص الشبكة النهرية وما ينتج عنها من أشكال أرضية.

(¹) حسين عذاب خليف الهرود ، دراسة اشكال سطح الارض في منطقة السلطان جنوب غربي العراق اطروحة دكتوراه (غير منشورة)كلية التربية ، الجامعة المستنصرية ،2006.

- 3-الأسدي (2011) ⁽²⁾: أهتمت الباحثة بحركة الكثبان الرملية واصل تكوينها وانتشارها ودور العمليات الجيومورفولوجية في تكوينها وآثارها البيئية في الأنشطة والفعاليات البشرية.
- 4-الزبيدي (2014) ⁽³⁾: تضمنت هذه الدراسة الأشكال الأرضية في وادي الأشعلي والعمليات التي أدت إلى تكوين هذه الأشكال والخصائص المورفومترية للحوض.
- 5-فارس (2014) ⁽⁴⁾: أظهرت هذه الدراسة العوامل والعمليات الجيومورفولوجية السائدة والأشكال الأرضية الناتجة عنها في منطقة الرحاب .
- 6-الموسوي (2015) ⁽⁵⁾: أشارت الباحثة إلى العمليات الجيومورفولوجية والأشكال الناتجة عنها في وادي الكصير، فضلاً عن دراسة الخصائص المورفومترية والاستثمارات في منطقة الدراسة.
- 7-حسون (2016) ⁽⁶⁾: تناولت الباحثة الخصائص الطبيعية وتأثيرها في تشكيل مظاهر السطح وتحديد العوامل والعمليات المؤثرة في التوزيع المكاني للأشكال الأرضية في وادي ابو مريس، وتقدير حجم الجريان السطحي باستخدام طريقة (SCS- CN).
- 8-الجياشي (2017) ⁽⁷⁾: تناول الباحث مصادر وأنواع وأماكن وخصائص الموارد المائية في بادية المثني، ومدى ملائمتها للاستعمالات المختلفة، وعرج الباحث على الخصائص الطبيعية والتوزيع الجغرافي لرواسب الحصى في بادية المثني.

(¹) جاسب كاظم عبد الحسين الجوهر ، الاشكال الارضية لأحواض الوديان الجافة في منطقة بصية باستخدام نظم المعلومات الجغرافية GIS، اطروحة دكتوراه (غير منشورة) كلية الآداب ، جامعة البصرة، 2011.

(²) ولاء كامل الأسدي، الكثبان الرملية في محافظة المثني (دراسة جيومورفولوجية تطبيقية)، رسالة ماجستير (غير منشورة) كلية الآداب، جامعة بغداد، 2011.

(³) حسن قاسم اوحيد الزبيدي، أشكال سطح الأرض في حوض وادي الأشعلي باستخدام نظم المعلومات الجغرافية، رسالة ماجستير (غير منشورة) كلية التربية، الجامعة المستنصرية، 2014.

(⁴) علي حاكم عبد فارس، أشكال سطح الأرض في منطقة الرحاب غرب محافظة المثني، رسالة ماجستير (غير منشورة) كلية التربية ابن رشد ، جامعة بغداد، 2014.

(⁵) آلاء ابراهيم حسين الموسوي ، هيدروجيومورفولوجية وادي الكصير في قضاء سلمان ، اطروحة دكتوراه (غير منشورة) كلية الآداب ، جامعة الكوفة، 2015.

(⁶) إيمان شهاب حسون، هايدروجيومورفولوجية حوض وادي ابو مريس في محافظة المثني وأثره في التنمية الاقتصادية، أطروحة دكتوراه (غير منشورة)، كلية الآداب، جامعة بغداد، 2016.

(⁷) جاسم وحواح شاتي الجياشي، التحليل المكاني للموارد المائية والرسوبيات في بادية المثني واستثماراتها، رسالة ماجستير (غير منشورة) كلية التربية ، جامعة المثني، 2017.

9-المكتوب (2018) ⁽¹⁾:تناول الباحث في دراسته العوامل والعمليات الجيومورفولوجية ودورها في تشكيل مظاهر السطح، ثم عرجت الدراسة على امكانية استثمار حوض وادي الضباع للأغراض الاقتصادية.

10-الحجامي (2020) ⁽²⁾: ساهم الباحث بدراسة الخصائص الطبيعية لأحواض منطقة الدراسة ضمن لوحة (أم رحل)، ودورها في العمليات والأشكال الأرضية، ثم عرج الباحث على تحليل الخصائص المورفومترية والهيدرولوجية والتطبيقات الاستثمارية في منطقة الدراسة.

11-الزرفي (2021) ⁽³⁾: استهدفت الدراسة تعظيم الإيرادات المائية عن طريق التقييم الهيدرولوجي لحصاد المياه في وادي الغضاري لغرض الاستفادة من مياه الأمطار في الاستخدامات المختلفة.

12-الزيادي (2022) ⁽⁴⁾: أتخذ الباحث من (GIS-RS) أساساً في التمثيل الخرائطي للانحدارات الأرضية في منطقة الدراسة وتحليلها جيومورفولوجياً والاشارة إلى الصفات الانحدارية باعتماد بعض التصانيف في دراسة المنحدرات.

13-الحسيناوي (2022) ⁽⁵⁾: تناولت الباحثة تقنيات حصاد مياه الأمطار وسبل الاستفادة منها، منها، وقدمت حلول لغرض معالجة شحة المياه عن طريق خزنها في المنخفضات الطبيعية والفيضات، أو حقن مكامن المياه الجوفية.

ومما سبق من دراسات قيمة جاءت هذه الدراسة لتكون دراسة جغرافية طبيعية جيومورفولوجية استخدمت نظم المعلومات الجغرافية والاستشعار عن بعد ومرئيات حديثة، فضلاً عن تناول

(¹) اسامة فالح عبد الحسن المكتوب، جيومورفولوجية حوض وادي الضباع غرب ناحية بصية واستثماراته- باستخدام نظم المعلومات الجغرافية(GIS)، كلية التربية للعلوم الانسانية، جامعة المثنى، 2018.

(²) باسم عباس جودة الحجامي، التقييم الجيومورفولوجي لأحواض وديان أم رحل غرب العراق وآثارها في التنمية المستدامة، رسالة ماجستير(غير منشورة) كلية التربية للعلوم الانسانية، جامعة المثنى، 2020.

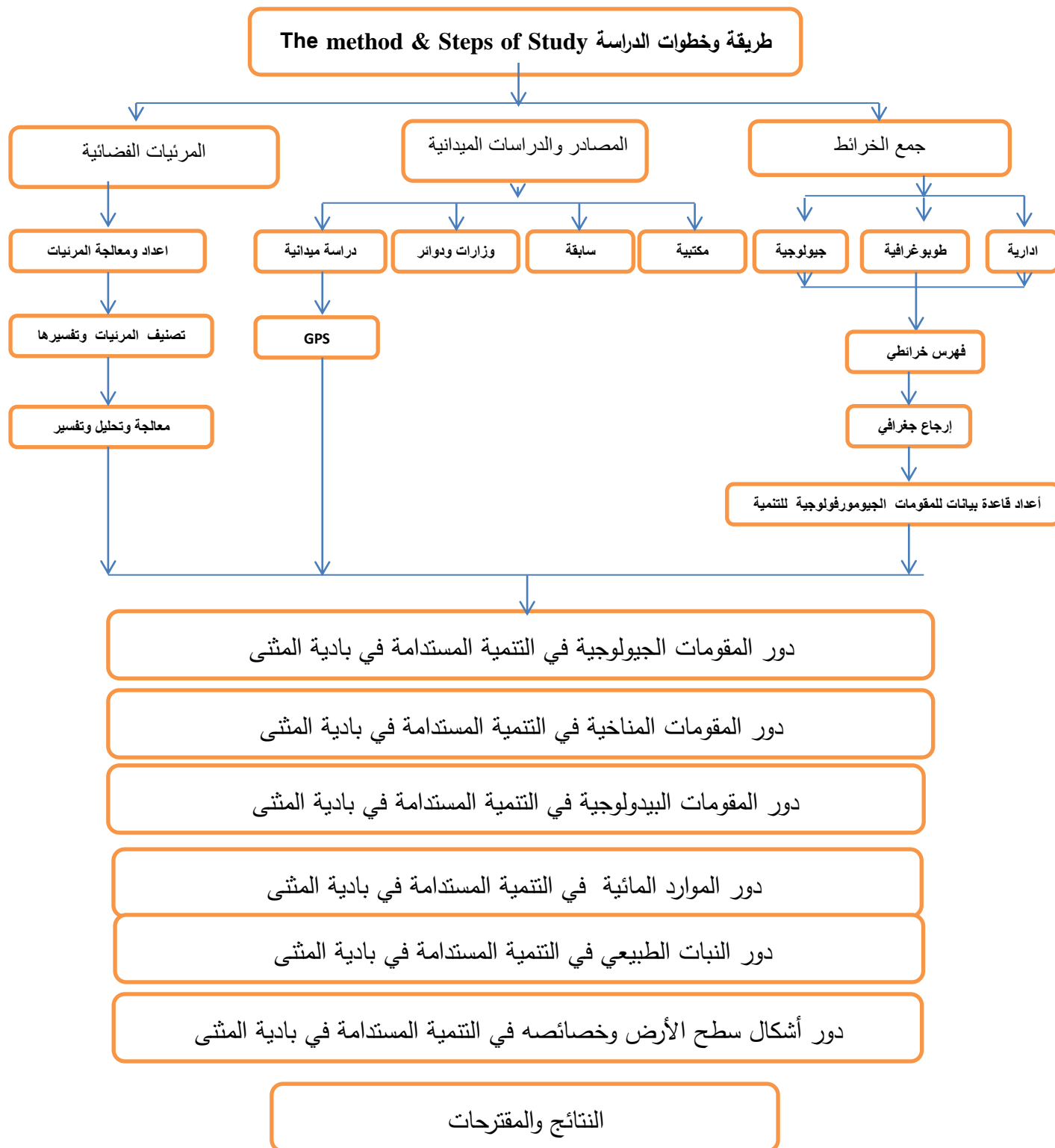
(³) نادية قاسم محمد الزرفي، التقييم الهيدرولوجي لإمكانية حصاد المياه في بادية المثنى(وادي الغضاري- دراسة تطبيقية)، رسالة ماجستير،(غير منشورة)، كلية التربية للعلوم الإنسانية، جامعة المثنى، 2021.

(⁴) إيهاب عزيز دفرش الزيايدي، التمثيل الخرائطي والتحليل الجيومورفولوجي للانحدارات الارضية في قضاء السلمان جنوب محافظة المثنى باستخدام المرئيات الفضائية ونظم المعلومات الجغرافية، اطروحة دكتوراه(غير منشورة)، كلية التربية للعلوم الانسانية، جامعة البصرة، 2022.

(⁵) علياء عبد الله عبد الحسيناوي، هيدرولوجية سيول الأمطار لحوض وادي أبو حضير في الهضبة العراق الجنوبية دراسة في تنمية الموارد المائية، أطروحة دكتوراه(غير منشورة)، كلية الآداب، جامعة ذي قار، 2022.

بعض الجوانب التي لم تتطرق لها الدراسات المماثلة، من خلال دراسة دور المقومات الجيومورفولوجية في التنمية المستدامة في بادية المثنى.

شكل (1-1) مراحل اعداد الدراسة



المصدر: الباحث

جدول (1-1) تاريخ الزيارات الميدانية لبادية المثني

التسلسل	التاريخ
1	2022-1-21
2	2022/2/25
3	2022/3/1
4	2022/10/11
5	2022/12/2

المصدر: الباحث

1-1-11- المفاهيم الواردة في الدراسة: تضمنت الدراسة بعض المفاهيم ومنها:

1-11-1- مفهوم البادية (Al-Badia) :

هي مفهوم اجتماعي يطلق على المناطق التي تسكنها المجتمعات البدوية والرعاة الذين يعتمدون مهنة الرعي وتربية الحيوانات بسبب عدم كفاية أمطارها للزراعة، وتختلف عن الصحراء التي تقل أو تنعدم فيها مظاهر الحياة، وهي بالمعنى الجغرافي التناقل من مكان الى اخر، والبادية هي المنطقة التي تفرض على قاطنيها نمطاً معيناً من الحياة بسبب الظروف الصعبة التي تكتنفها، ولكل قبيلة من قبائلها نصيب معلوم منها أو رقعة معينة من أرضها، وهذه الرقعة من الأرض واسعة بحيث تؤمن للقبيلة التي تسكنها موارد عيشها وتنتبت من العشب والكلأ ما يكفي، وتتناسب سعة رقعة الأرض مع مكانة العشيرة وسطوتها من حيث وفرة العدد وقوة الشكيمة والبأس.

1-11-2- التنمية المستدامة (Sustainable Development) :

يرجع مصطلح " المستدامة " في اللغة اللاتينية القديمة إلى كلمة " sustenere " ، التي تعني " الحفاظ والاحتفاظ بالشيء وصيانة استخدامه للإبقاء عليه "، وقد عرف روبرت سولو التنمية المستدامة بأنها عدم الاضرار بالطاقة الإنتاجية للأجيال القادمة والمحافظة على الوضع الذي ورثه الأجيال، وفي الأدب الاقتصادي استعمل العالم الأمريكي (D.H Meadows) مصطلح الاستدامة في كتابه " حدود التنمية " حيث بحث فيه الاستقرار البيئي والاقتصادي الذي يتصف بالاستدامة، وتناول أيضا المشكلة التي تنشأ بسبب الاستخدام المفرط للموارد الطبيعية المحدودة للكرة الأرضية⁽¹⁾، ويتمثل أهمية موضوع (التنمية المستدامة) في الاستخدام الرشيد للموارد الطبيعية المتوفرة دون الإساءة والتفريط والتعدي على هذه الموارد الأمر الذي يؤدي إلى ندرة أو نضوب المخزون الاستراتيجي، ومن ثم ضياع حقوق الأجيال القادمة ومتطلباتهم المستقبلية.

(1) Dixon and Fallon. (1989). The Concept of Sustainability: Origins Extensions, and Usefulness for Policy Washington , DC:TheWorld Bank. Environment Department, Division Working Paper No.1989-1

1-11-3- الاستشعار عن بعد والمعالجات الرقمية للمرئيات الفضائية المستخدمة:

الاستشعار عن بعد هو العلم الذي يمكن من خلاله توفير المعلومات عن سطح الأرض دون الاتصال المباشر، وتشمل التفاعل بين الاشعاع الساقط والظاهرة موضوع الدراسة، ومعالجتها وتحليلها والاستفادة منها، وهناك العديد من متطلبات عملية الاستشعار عن بعد ومنها، مصدر للطاقة (كهرومغناطيسية) أو الاضاءة، والاشعاع والغلاف الجوي التي تمر الطاقة من خلاله، ويتباين تفاعل هذه الطاقة بناء على خصائص الأهداف، ويُجمع الاشعاع الكهرومغناطيسي عن طريق مستشعر (Sensor)، ثم بعده يُرسل في صورة الكترونية ويُستقبل ويُعالج ويُحول إلى مرئية، وبعدها تتم عملية التفسير والتحليل البصري أو الرقمي اعتماداً على معلومات الباحث بهذا العلم وتفاصيله بهدف الحصول على النتائج التي تتعلق بموضوع البحث، ويتمثل التطبيق العنصر الأخير من عناصر عملية الاستشعار بهدف حل مشكلة تتعلق بموضوع الدراسة.

وبعد الاستشعار عن بعد من تقنيات البحث العلمي، وهو وسيلة فعالة في الدراسات الجغرافية التطبيقية، من خلال انتاج الخرائط وتحديد الاماكن والظواهر التي تُنشأ الخرائط منها من خلال احداثياتها، وكلها تنصب في صلب البحث العلمي الجغرافي⁽¹⁾، والاستشعار عن بعد من اهم ادوات البحث العلمي الجيومورفولوجي بسبب وفرة معطياته وقدرته على توفير بيانات لمساحات واسعة وقلة تكاليفه، وتعد البيانات الشبكية للأقمار الصناعية (Raster Data) المجانية أساس عمل منظومة الاستشعار عن بعد، وتتمثل بالمرئيات الرقمية المسجلة عن طريق مستشعر (Sensor) موجود في منصات فضائية (Platforms Spaceborne)، تتكون من صفوف (Row) وأعمدة (Columns) متقاطعة، وتمثل نقاط تقاطعها (Pixel) تحوي على عدد رقمي (Digital Number) سجل عن طريق الأشعة الكهرومغناطيسية المنعكسة من الاجسام، ويُحفظ على شكل صورة (Image) يطلق عليها البيانات الفضائية⁽²⁾.

1-12- الاستشعار عن بعد والمعالجات الرقمية للمرئيات الفضائية المستخدمة:

اعتمدت الدراسة بشكل كبير على بيانات القمر الامريكي (Landsat 8) الذي أطلق بتاريخ 2013-2-11 والقمر الامريكي (Landsat 9) الذي أطلق بتاريخ 2021-9-21 الذي يحمل متحسين هما (OLI/ TIRS) ويتألف من 11 باند، يلاحظ جدول (1-2)، وتغطي المرئية

(¹) أيمن عبد الكريم الطعاني، مدخل إلى علم الاستشعار عن بعد والصور الجوية، جامعة الملك فيصل، كلية الآداب، 2013، ص19.

(²) وسام الدين محمد عبدة، مقدمة في الاستشعار عن بعد وتطبيقاته، ط1، مكتبة المتنبى، السعودية، 2013، ص7.

الواحدة مساحة تبلغ (150) كم² وارتفاع القمر (705) كم وزيارة كل (16) يوم وبدقة تمييزية (30) م باستثناء الباند (8) فهو (15) م ، إما بالنسبة للباند (10-11) (100) م ثم يعاد معالجتها لتصبح (30) م، ويستخدم لزيادة الدقة التمييزية، وتبلغ الدقة الطيفية للمرئيات 16 Bit، وتسمح هيئة المسح الجيولوجية الامريكية بالتحميل المجاني للمرئيات بعد (24) ساعة، وتشتمل منطقة الدراسة على (7) لوحات، وملفات الارتفاعات الرقمية (DEM) العائد للمكوك الفضائي (SRTM 1) الذي بدأ العمل به (2014-10-8) بدقة مكانية (30).

وأفيد من هذه اللوحات بعد إن اخضعت لعدة معالجات، وتعد المرئيات ذات اهمية بالغة في عمليات التفسير البصري، وتتميز بانها متوسطة الدقة وتتطلب معالجة واستخلاص البيانات منها صعوبة بالغة، وقد تم في هذه الدراسة التوصل إلى العديد من المعطيات بعد اخضاع المرئيات الفضائية إلى سلسلة من المعالجات وأجراء عملية التصنيف الموجه والكشف عن التغيرات الحاصلة في الكثبان الرملية والترب القاحلة، فضلاً إن هذه المرئيات يمكن من خلالها التوصل إلى نتائج مهمة تتعلق بالمؤشرات الرقمية الخاصة بالغطاء الأرضي مثل (NDVI-NDWI) ولسنوات مختلفة لغرض دراسة التباينات المكانية، وقد تم في هذه الدراسة التوصل إلى نتائج تتعلق بطبيعة سطح بادية المثنى والمرحلة الجيومورفولوجية لمنطقة الدراسة.

جدول (1-2) خصائص مرئيات (OLI) في القمر الأمريكي Landsat-8-9 و (TIRS)

المتحسس (sensor)	رقم القناة (Bands)	طول الموجه (مكم) Wavelength (micrometers)	الوصف (the) (description)	درجة الوضوح Resolution (meters)	التطبيقات (Applications)
OLI	1	0.45-0.43	السواحل	30	دراسة السواحل والهباء الجوي
	2	0.51-0.45	ازرق مرئي	30	رسم خرائط الاعماق، وتمييز التربة عن الغطاء النباتي والنباتات المتساقطة الأوراق عن النباتات الصنوبرية
	3	0.59-0.53	اخضر مرئي	30	يؤكد ذروة الغطاء النباتي ، وهو أمر مفيد لتقييم قوة النبات
	4	0.67-0.64	احمر مرئي	30	يميز اصناف الغطاء النباتي
	5	0.88-0.85	تحت الحمراء القريبة	30	يؤكد محتوى الكتلة الحيوية والشواطئ
	6	1.65-1.57	تحت الحمراء المتوسطة	30	يميز محتوى الرطوبة في التربة والغطاء النباتي
	7	2.29-2.11	تحت الحمراء المتوسطة	30	تحسين محتوى الرطوبة في التربة والغطاء النباتي
	8	0.68-0.50	البانكروماتية	30	تمييز الظواهر ذات التفاصيل الدقيقة
	9	1.38-1.36	السمحاق/السحب	30	الكشف عن تلوث السحب الرقيقة
TIRS	10	11.19-10.60	تحت الحمراء الحرارية	100	رسم الخرائط الحرارية وتقدير رطوبة التربة
	11	12.51-11.50	تحت الحمراء الحرارية	100	رسم الخرائط الحرارية وتقدير رطوبة التربة

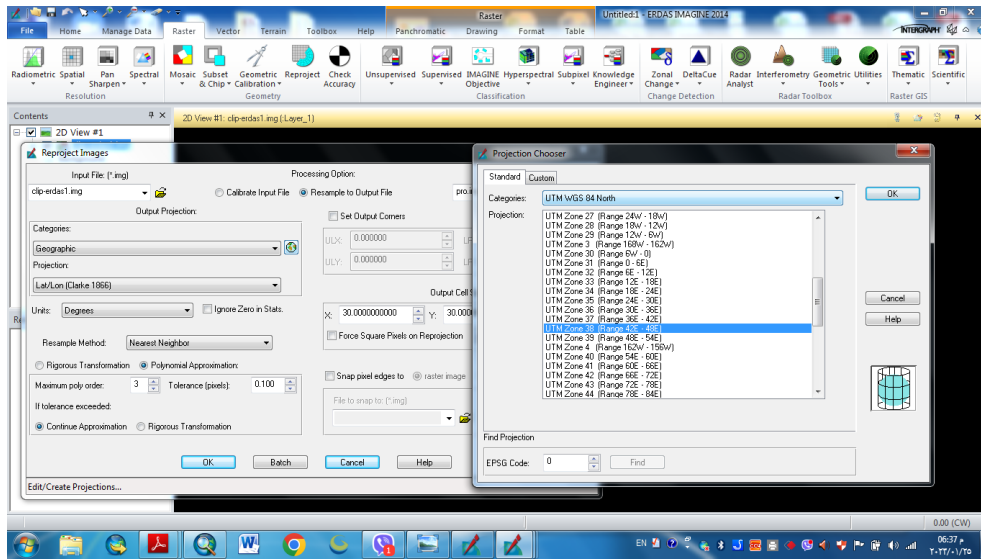
<https://www.usgs.gov/faqs/what-are-band-designations-landsat-satellites>

بالاستعانة بنماذج الارتفاعات الرقمية (DEM)، وقد خضعت بيانات الاستشعار عن بعد إلى سلسلة من المعالجات باستخدام برامج متخصصة التي نُصبت في وقت لاحق في الحاسب الآلي، ومن هذه الطرائق:

1-12-1- التصحيح الهندسي للمرئيات الفضائية: Geometric Correction

تشمل المعالجات الأولية استعادة وتقويم المرئية لتصحيح الأخطاء والتشوهات الراديومترية والهندسية للمستشعر والغلاف الجوي المؤثرة على البيانات، وتكون هذه التصحيحات ضرورية بسبب التغير في إضاءة المشهد وهندسة الرؤية وظروف الطقس وأخطاء المستشعر ذاته⁽¹⁾، وهذه الأخطاء تعمل على تشويش البيانات من المصدر ويقوم المستخدم بمهمة تصحيح الأخطاء عن طريق بعض المعادلات والصيغ الرياضية الخاصة، ونظراً لأن أغلب المرئيات التي حُمِلت تخلو من التشوهات الهندسية ومصححة من المصدر، لذا فقد اقتصر التصحيح الهندسي على تغيير المساقط من (Geographic) إلى (UTM) باستخدام برنامج (ERDAS 2014) تبعاً للنظام الجيوديسي (Datum WGS 1984) ومسقط ميركاتور المستعرض العالمي (UTM) في نطاق (Zone 38 N)، يلاحظ شكل (2-1)، واستخدمت أداة الإسقاط (Project Raster) من مجموعة أدوات الملفات الشبكية (Raster) من مجموعة أدوات الإسقاط والتحويل (Projections and Transformations) من مجموعة أدوات إدارة البيانات (Data Management Tools) في برنامج (Arc GIS 10.2.2)، يلاحظ شكل (3-1).

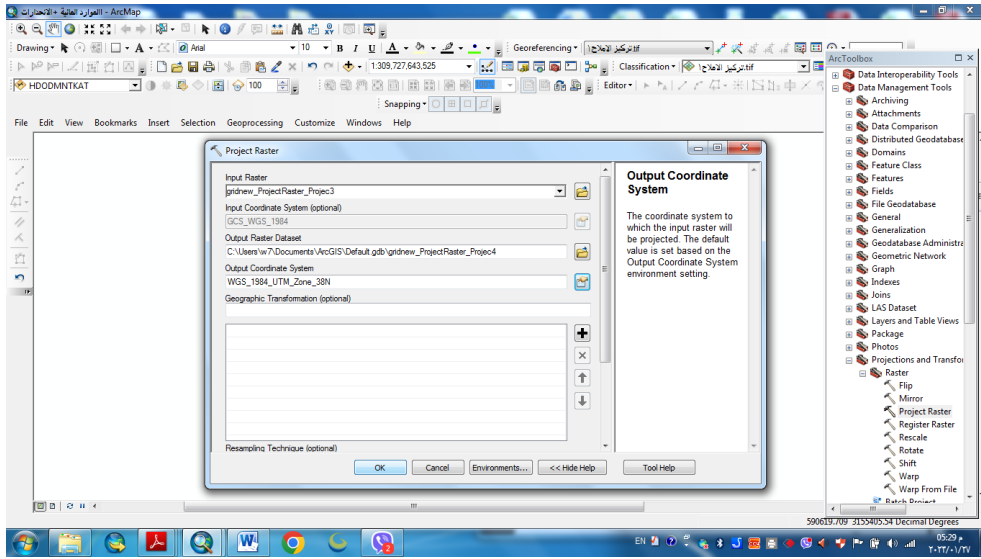
شكل (2-1) تغيير مسقط المرئية باستخدام برنامج (ERDAS 2014)



المصدر: باعتماد برنامج (ERDAS 2014)

(¹) جمعة محمد داود، أسس وتطبيقات الاستشعار عن بعد، القاهرة، جمهورية مصر العربية، 2015، ص 69.

شكل (3-1) تغيير مسقط لنماذج الارتفاعات الرقمية (DEM) المستخدمة في الدراسة



المصدر: باعتماد (DEM) وبرنامج (Arc GIS 10.2.2)

1-12-2-عملية الموزائيك: Image Mosaic

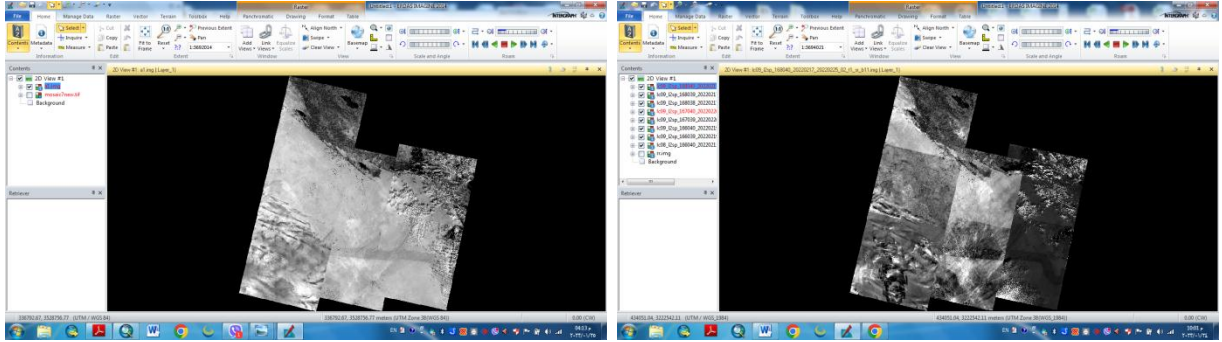
تطلب دراسة بادية المثني تحميل (7) لوحات من القمر الامريكي (Landsat)، فضلاً عن (10) لوحات لنماذج الارتفاعات الرقمية (DEM)، ولغرض تلافي التداخل وتقليص البيانات بهدف تسريع المعالجات، تطلب ضم هذه المرئيات الفضائية في لوحة واحدة، من خلال عمل (Mosaic) لكل باند وحفظه بصيغة (IMG) في برنامج (ERDAS 2014)، يلاحظ شكل (1-4)، ووضعت لوحات لنماذج الارتفاعات الرقمية (DEM) في مشهد واحد باستخدام برنامج (Arc GIS 10.2.2) بطريقة (Mosaic to New Raster)، يلاحظ شكل (1-5)، واستخدامه في اشتقاق الأحواض الرئيسة وخطوط الكنتور وخريطة الظل وحساب نسبة اتجاه المنحدرات والتضرس والخصائص الانحدارية فضلاً عن تطبيقات اخرى، بعد تحويل المسقط الجغرافي ليصبح (UTM) لتصبح القياسات دقيقة، ونظراً لكون كل اللوحات المعتمدة في الدراسة تضم مسقطين (الجغرافي-نظام الدرجات) و(المتري) لذا وُحِّدَت ضمن مسقط واحد هو (WGS-1984-UTM-Zone-38)، وتتم هذه العملية من خلال الخطوات الآتية:

Raster-Mosaic Pro-Add Image-Select Images-Process-Run Process.

1-12-3-عملية القطع: Clipping

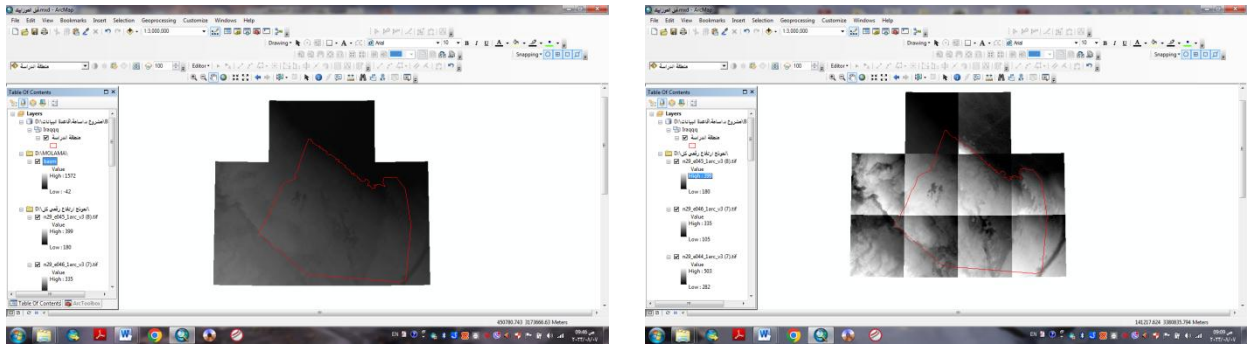
تساعد عملية القطع على استبعاد المناطق التي لا تدخل ضمن حدود بادية المثني بهدف تقليص البيانات وتسريع المعالجات وتقليل الوقت والتحليل خاصة مع اتساع مساحة منطقة الدراسة، وتتم

شكل(1-4) عملية موزائيك (Mosaic) للوحات (Landsat9)



المصدر: باعتماد القمر (Landsat8) الباند (Band7) وبرنامج (ERDAS 2014)

شكل(1-5) عملية موزائيك (Mosaic) لنماذج الارتفاعات الرقمية (DEM)



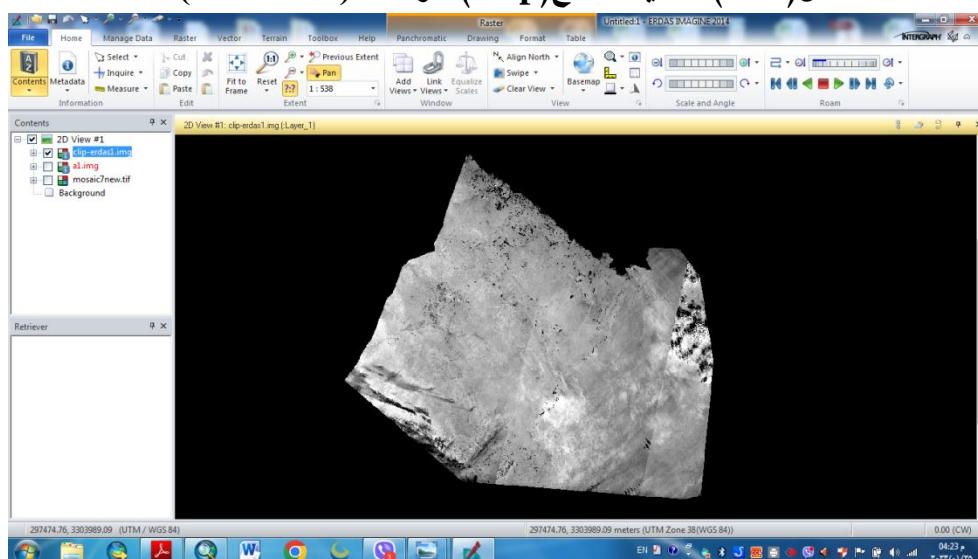
المصدر: باعتماد (DEM) وبرنامج (Arc GIS 10.2.2)

هذه العملية (Clipping) للمرئيات الفضائية عن طريق تحديد المنطقة (Area of Study) من نوع (Polygon) الذي تم استخراجه من برنامج (Arc GIS 10.2.2) بطريقة (Shape file) وتحويله إلى (Area of Interest) (AOI) من خلال برنامج (ERDAS 2014)، وتكون عملية القطع (Clipping) للبيانات كلاً على حدة لغرض تقليل البيانات وتيسير المعالجات، يلاحظ شكل(1-6)، وتمت عملية قطع نماذج الارتفاعات الرقمية (DEM) باستخدام برنامج (Arc GIS 10.2.2) من أدوات التحليل المكاني (Spatial analysis tools) عن طريق الاداة (Extract By Mask) من (Extraction)، يلاحظ شكل(1-7).

13-1- المؤشرات الرقمية: Digital Index

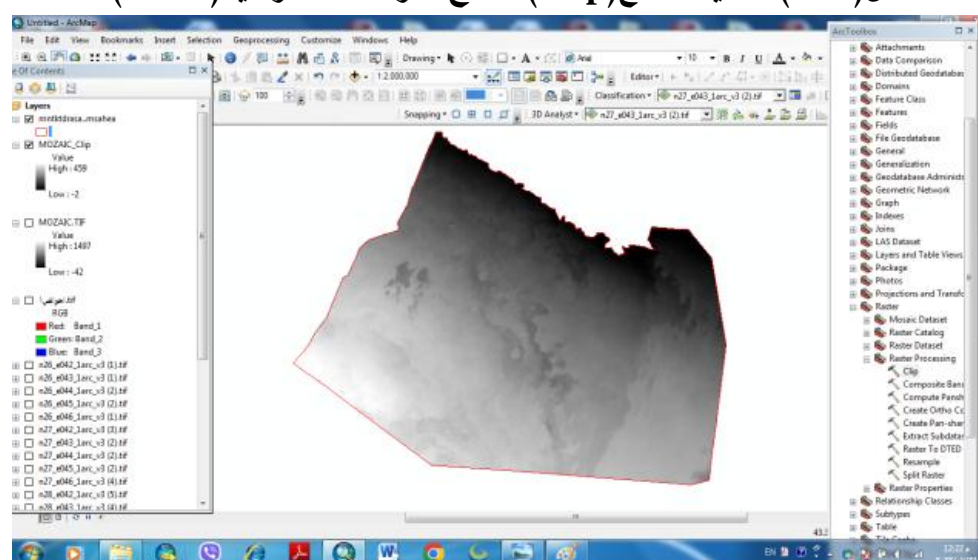
تعد عملية سحب المواد ميدانياً من أهم وسائل البحث العلمي لقياس كمية التغيرات الحاصلة ونوعيتها، ولا غنى عنها حتى في الوقت الحالي بالرغم من مشقة الحصول عليها وارتفاع كلفتها، وفي الآونة الأخيرة تعاضد دور نظم المعلومات الجغرافية والاستشعار عن بعد في تحديد الطرق المثلى للتنمية المستدامة للموارد الطبيعية، إذ تعد مرئيات النسب الطيفية من المرئيات المحسنة الناتجة عن تقسيم قيم الانعكاسية (Digital Number) في إحدى المجالات الطيفية على القيم

شكل (6-1) عملية القطع (Clip) للوحات (Landsat9)



المصدر: باعتماد القمر (Landsat9) الباند (Band7) وبرنامج (ERDAS 2014)

شكل (7-1) عملية القطع (Clip) لنماذج الارتفاعات الرقمية (DEM)



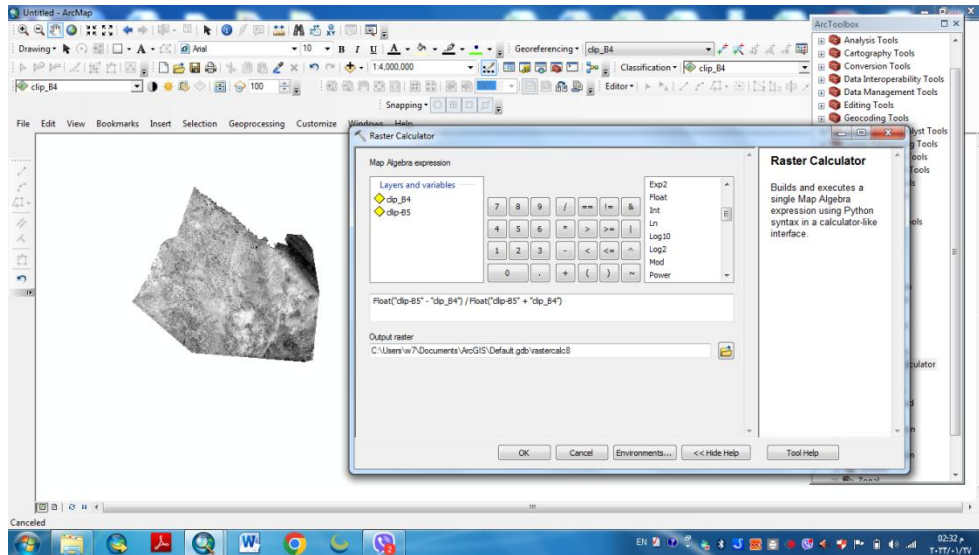
المصدر: باعتماد (DEM) وبرنامج (Arc GIS 10.2.2)

التي تقابلها في مجال طيفي آخر للإنتاج مرئية فضائية جديدة⁽¹⁾، وتعتمد المؤشرات الرقمية النباتية على الانعكاس الطيفي لاثنتين أو أكثر من النطاقات الطيفية، وفي الغالب ما يكون نطاقي الأشعة الحمراء (Red) وتحت الحمراء القريبة (NIR)، إذ يكون الاختلاف بينهما مؤشراً

(¹) Thiago P. de Araujo, Fernando Machado de Mello, Essaïd Bilal. Comparison between IHS-RGB transformations and ratio bands methods from LANDSAT imagery in the Rio de Janeiro region, Brazil. Carpathian Journal of Earth and Environmental Sciences, North University Center of Baia Mare, Romania, 2013, p102

مهماً لكمية الكتلة الحيوية الخضراء والتمثيل الضوئي النشط⁽¹⁾، وقد أفاد استخدام المؤشرات النباتية في التخفيف من تأثير الإضاءة الناتجة عن التغيرات الطبوغرافية، وإزالة ظلال الانحدارات والتغيرات الموسمية والاختلافات في كثافة أو زاوية الشمس، وتستخدم هذه الأدلة المشتقة من بيانات الاستشعار عن بعد في دراسة التباين المكاني للكتل الحيوية في منطقة الدراسة، وقد تم الاستفادة من هذا النمط في دليل الغطاء النباتي (NDVI) ومؤشر فرق المياه الطبيعي (NDWI) ومؤشر نسبة الغطاء النباتي للأشعة تحت الحمراء (IPVI)، ومؤشر الكشف عن حالة التصحر (NDSI) وغيرها من المؤشرات، وتعددت الاستخدامات لهذه المؤشرات لربط ديناميكيات الغطاء النباتي ومراقبة التصحر والفيضانات وتقييم الضرر في النباتات وتغيرات إنتاج المراعي الموسمية، ويمكن اشتقاق هذه الأدلة من بيانات الاستشعار عن بعد وفق معادلات رياضية خاصة بين النطاقات تشمل الضرب والقسمة والفرق المتعامد، إذ تعمل هذه الأدلة على توضيح الظواهر قيد الدراسة وتعظيمها في المرئية، وتقل في نفس الوقت من تأثير ظواهر أخرى اعتماداً على قيم الانعكاسية والقيم العددية للمرئية الفضائية، ويتم بعدها استخلاص المساحات لكل فئة من خلال النسبة المئوية ثم الرجوع إلى مساحة منطقة الدراسة الكلية لاستخراج المساحة كل فئة على حدة، وتتيح هذه المؤشرات الفرصة لأجراء مقارنات بين سنوات مختلفة، يلاحظ شكل (8-1).

شكل (8-1) تطبيق اشتقاق في دليل الغطاء النباتي (NDVI)



المصدر: باعتماد القمر (Landsat8) الباند (5-4) وبرنامج (Arc GIS 10.2.2)

(¹) Teillet, P.M; Staenx, K. and Williams, D.j, 1997, Effects of spectral, spatial, and radiometric characteristics on remote sensing vegetation indices of forested regions Remote Sensing of Environment, 61, pp. 139-149.

1-14- التفسير البصري للمرئيات الفضائية:

هي عملية فحص المرئيات الفضائية بهدف الحصول على معلومات مكانية، ويعتمد تفسير وتحليل الصور الجوية والمرئية الفضائية بالأساس على خبرة المستخدم وقدرته في التعرف على الظواهر المكانية وتفسيرها واستخدام برامج حاسوبية متخصصة لهذا الغرض⁽¹⁾، وهي عملية محددة لكشف وتحديد التوزيع المكاني للظواهر الجغرافية الملتقطة من المرئيات الفضائية وتكوين خرائط متعددة حسب نوع الدراسة⁽²⁾.

وتمر عملية التفسير البصري بعدة مراحل وكما يأتي:

1-قراءة الصورة: photo reading: تتضمن التفسير البصري المباشر والكشف (Detection) أي التحري عن ما تتضمنه المرئية من ظواهر جغرافية، والتمييز (Recognition) التعرف على النمط واللون والشكل لأدراك تفسير الظواهر ثم طريقة التشخيص (Identification) بتحديد الظاهرة من حيث الموقع والامتداد والتسمية، وتعتمد هذه المرحلة على وضوح الظواهر في المرئية الفضائية.

2- التحليل: Analysis: يقوم المستخدمون في هذه المرحلة بتمييز بعض الظواهر المعروفة (الأراضي الزراعية، المواقع الصناعية، المواقع السكنية) ثم تتم عملية الفرز والمقارنة مع الظواهر غير المعروفة.

3-الاستنتاج: (Deduction): عملية ربط الملاحظات المستخلصة من تفسير المرئية الفضائية بالمعلومات المتاحة للتوصل إلى نتائج وقرارات حول حدود بعض الظواهر غير المعروفة.

4- التصنيف: Classification: يتم بواسطة هذه العملية جمع وتنظيم وتنسيق الظواهر المتشابهة في مجموعات معينة⁽³⁾.

5-المطابقة القياسية: (Standard Matching): تتم خلال هذه المرحلة تمثيل نتائج التفسير خرائطياً بناءً على ما توصل اليه الباحث من خلال ربط المعلومات التي تم الحصول

⁽¹⁾ (لؤي عدنان حسون ،التحليل البصري والآلي للصور الجوية والمرئيات الفضائية، مجلة كلية التربية الأساسية، المجلد 23، العدد 99، 2017، ص 275.

⁽²⁾ H. Svatonova ,ANALYSIS OF VISUAL INTERPRETATION OF SATELLITE DATA,The International Archives of the Photogrammetry, Remote Sensing and Spatial Information Sciences, Volume XLI-B2, XXIII ISPRS Congress, Prague, Czech Republic, 2016,p675.

⁽³⁾ طارق جمعة علي المولى، التمثيل الخرائطي لتغيرات الغطاء الأرضي في محافظة البصرة باستخدام تقنياتي الاستشعار عن بعد ونظم المعلومات الجغرافية للمدة 1973-2013، اطروحة دكتوراه، غير منشورة، كلية التربية للعلوم الانسانية، الجامعة المستنصرية، 2014، ص 53.

عليها من خلال المرئيات الفضائية والمسح الميداني والخرائط الطبوغرافية لمنطقة الدراسة للوصول إلى نتائج يمكن تعميمها .

1-14-1- عناصر التفسير البصري:

إن تحديد الأهداف هو مفتاح عملية التفسير واستخراج المعلومات، وتتم معظم عمليات تفسير وتحليل المرئيات الفضائية بصورة بصرية أو بشرية، لذا فإن هناك أمور يجب مراعاتها منها (مستوى التدريب، الخبرة، ونوع ودقة المرئيات المستعملة في التفسير، الغرض من التفسير، توفر المعلومات فضلاً عن أهمية المشاهدات الميدانية)، وتبدأ عملية التفسير البصري للمرئيات الفضائية باكتشاف الظواهر المعرفة، ومن ثم استعمال هذه الظواهر في الكشف عن ظواهر أخرى وتحديد موقعها، ومن ثم تأتي عملية التصنيف للظواهر المكتشفة حسب نظام تصنيف معين تعتمد الدراسة، ولكي تتم الاستفادة من مميزات الاستشعار عن بعد والاستفادة من البيانات المستشعرة فيجب أن يكون المستخدم قادر على استخراج المعلومات المفيدة من المرئيات وهو ما يعرف باسم تفسير (interpretation) وتحليل (analysis) المرئيات، وتشمل هذه الخطوة تحديد أو تعريف الأهداف المختلفة من أجل استنباط معلومات مفيدة عنها، وقد تكون هذه الأهداف نقطة أو خط أو مساحة، وأن تكون الأهداف قابلة للتمييز (distinguishable).

وتتم عملية التفسير البصري للمرئيات الفضائية بناءً على عدة عناصر منها (درجة اللون، الشكل، الحجم، النمط، النسيج، الظل، التواجد) ⁽¹⁾.

1-درجة اللون: (tone)

هي اللعان النسبي (للمرئيات غير الملونة) أو اللون (للمرئيات الملونة)، وتتباين المظاهر الأرضية من حيث اللون في المرئيات الملونة والرمادية اعتماداً على قيم الانعكاسية الطيفية، فكل ظاهرة قدرة على عكس مقدار من الانعكاسية الطيفية ويبدو السطح قليل التضرس بلون رمادي فاتح ويزداد عتمة كلما زادت شدة التضرس بفعل انخفاض الانعكاسية الطيفية، يلاحظ شكل (1-9).

2-الشكل: The Shape :

يعد الشكل من العناصر المهمة في التفسير البصري للمرئيات الفضائية، إذ يستدل من خلال الحواف المستقيمة على الظواهر البشرية (المزارع، المناطق العمرانية)، في حين تكون حواف الظواهر الطبيعية غير منتظمة.

(¹) جمعة محمد داود، أسس وتطبيقات الاستشعار عن بعد، مصدر سابق، ص 66-62.

شكل (1-9) التفسير البصري (اللون)



المصادر: باعتماد :

1- القمر الامريكي Land Sat 8، مرئية OLI، دقة تمييزية 15م.

2- برنامج (Arc GIS 10.2.2).

ويمكن من خلال الشكل الاستدلال على نوعية الادوات في الري، مثل المزارع الدائرية الشكل تدل على استخدام المرشات فيها، يلاحظ شكل (1-10).

شكل (1-10) التفسير البصري (الشكل)



المصادر: بالاعتماد على :

1- القمر الامريكي Land Sat 9، مرئية OLI، دقة تمييزية 15م.

2- برنامج (Arc GIS 10.2.2).

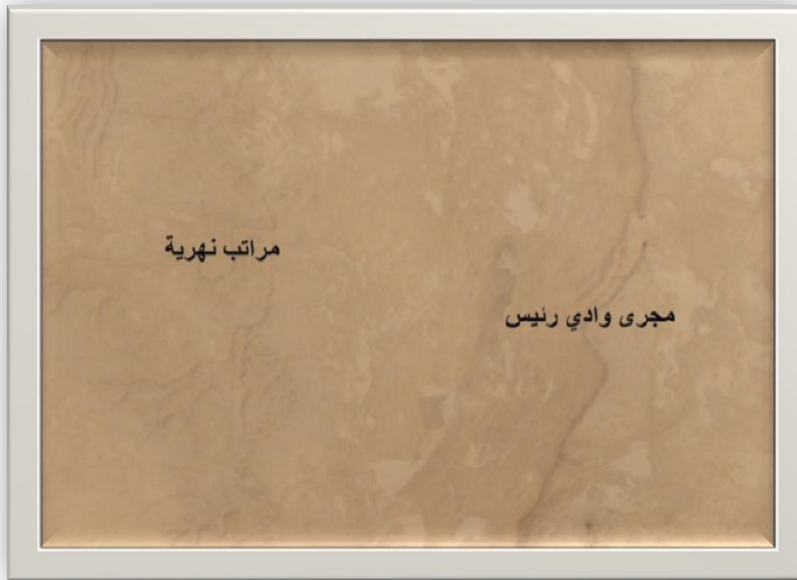
3-الحجم: The size

يقصد به أبعاد الأهداف ضمن معطيات التحسس النائي، وضمن اللوحة الواحدة يمكن ملاحظة الاختلاف في حجم أي مظهر أرضي، لذا فإن تقييم ومقارنة التباين في حجم الوديان الرئيسية ورتبتها النهرية يكون عاملاً مهماً في القدرة على التفسير، يلاحظ شكل(1-11).

4-النمط: The Pattern :

تتخذ الظاهرات نمطاً معين في توزيعها المكاني مما يسهل مهمة المفسر وتميز هذه الظاهرات بعضها عن بعض، والنمط هو الترتيب المكاني للأهداف القابلة للتمييز وتكرار لنفس درجات اللون والنسيج ، إذ يمكن من خلاله تمييز بين المناطق السكنية والمناطق الزراعية المحيطة بها في السلمان، يلاحظ شكل (1-12).

شكل(1-11) التفسير البصري (الحجم)



المصادر: بالاعتماد على:

1-القمر الامريكي 9 Land Sat،مرئية OLI، دقة تمييزية 15م.

2-برنامج (Arc GIS 10.2.2).

5-النسيج: (Texture):

يمثل ترتيب وتكرار التباينات في درجة اللون في المرئية الفضائية، ففي النسيج الخشن(الأراضي الزراعية) يكون التغير في درجة اللون مفاجئ بينما يكون التغير بسيط وتدرجي في النسيج الناعم(المناطق الصخرية) بسبب تباين انعكاسية وامتصاص، فكلما زادت قيم الامتصاص تظهر الظاهرة باللون القاتم ويقل التدرج اللوني كلما زاد الانعكاس ويمكن من خلال هذه الخاصية تمييز الصخور الجرداء عن المناطق الرطبة في منطقة الدراسة، يلاحظ شكل(1-13).

شكل (1-12) التفسير البصري (النمط)



المصادر: بالاعتماد على:

1-earthexplorer.usgs.

2-برنامج (Arc GIS 10.2.2.).

شكل (1-13) التفسير البصري (النسيج)



المصادر: بالاعتماد على:

1-القمر الامريكي Land Sat 8، مرئية OLI، دقة تمييزية 15م.

2-برنامج (Arc GIS 10.2.2.).

6-الظل: (Shadow):

يعد الظل واحد من المعايير المستخدمة من قبل المفسرين للمرئيات الفضائية، إذ يمكن من خلاله إعطاء فكرة عن الفرق بين الارتفاعات النسبية المشاهد من خلال امتداداته، ويصبح الظل عائقاً في تفسير المناطق التي تقع تحته، يلاحظ شكل (14-1).

شكل (14-1) التفسير البصري (الظل)



المصادر:

1- القمر الأمريكي (Quick Bird 2) بدقة تمييزية (0.60م)، 2009

2-برنامج (Arc GIS 10.2.2).

7- التواجد: (Association):

هي العلاقة بين الهدف موضوع البحث والأهداف المحيطة به، ويدل على ترابط ومصادقة وتواجد يميز هذه العلاقة، ويستفيد منه المفسر في استنتاج وجود بعض الظواهر أو الاستخدامات من خلال وجود ظواهر أخرى، يلاحظ شكل (15-1).

15-1- مفهوم نظم المعلومات الجغرافية وتطبيقاتها في دراسة المقومات الجيومورفولوجية ودورها في التنمية المستدامة في بادية المثنى:

تعد الحقبة العلمية الحالية بلا شك عصر الثورة المعلوماتية بسبب التدفق المعلوماتي الهائل في المجالات العلمية المختلفة، ومن الجدير بالذكر هو صعوبة التعامل مع التعريفات المختلفة التي تناولت مفهوم نظم المعلومات الجغرافية بسبب اختلاف الخلفية العلمية لأصحاب هذه التعاريف. وقد دخلت نظم المعلومات الجغرافية (GIS) (النتائج العلمية فأصبحت واحدة من أهم أدوات البحث العلمي في أي موضوع يرتبط بأي ظاهرة (Feature) تشغل حيزاً مكانياً، لما تقدمه من نتائج عبر معالجة قواعد المعلومات تكاد تمثل اعجازاً لا يستطيع الأسلوب التقليدي إدراك أي

شكل (1-15) التفسير البصري (التواجد)



المصادر: بالاعتماد على:

1- القمر الأوربي (Sentinel A2)، دقة تمييزية 10م، 2022.

2- برنامج (Arc GIS 10.2.2).

من جزئياته، مع ان (الاسلوب التقليدي) جزء من عوامل بنائها⁽¹⁾، وتعد نظم المعلومات الجغرافية (GIS) جزءاً مهماً من تقنيات نظم المعلومات بشكل عام وتقنيات المعلومات الجغرافية بشكل خاص⁽²⁾، وقد عُرفت نظم المعلومات الجغرافية باعتبارها علم (GIS Science) في بحث منشور للدكتور Michael Goodchild، ثم ظهرت بعد ذلك عدة مصطلحات تحمل المعنى نفسه مثل الجيوماتكس (Geomatics)⁽³⁾، ونظم المعلومات الجغرافية هي نمط تطبيقي لتكنولوجيا الحاسب الآلي بشقيه الأساسيين البرامج (Software) ومكونات الحاسب (Hardware)، يهدف إلى خزن ومعالجة بيانات متعددة المصادر (كمية-نوعية) مع إمكانية استرجاعها والتعديل عليها واستخلاص النتائج وتمثيلها (خرائطياً، رسم بياني، مجسمات، صور، جداول، تقارير علمية)⁽⁴⁾.

⁽¹⁾ (سميح احمد محمود عودة، أساسيات نظم المعلومات الجغرافية وتطبيقاتها في رؤية جغرافية، دار المسيرة، عمان، الطبعة الاولى، 2005، ص25.

⁽²⁾ (ثائر مظهر فهمي العزاوي، مدخل الى نظم المعلومات الجغرافية وبياناتها مع تطبيقات لبرنامج (ARCVIEW GIS)، الطبعة الاولى، دار الحامد للنشر والتوزيع، عمان، 2008، ص19.

⁽³⁾ (جمعة محمد داود، مبادئ علم نظم المعلومات الجغرافية GIS Science، الطبعة الاولى، مكة المكرمة، المملكة العربية السعودية، 2014، ص7.

⁽⁴⁾ (محمد الخزامي عزيز، نظم المعلومات الجغرافية- أساسيات وتطبيقات للجغرافيين، قسم الجغرافية، كلية الآداب، جامعة الملك سعود، نشر المعارف، الاسكندرية، 1998، ص15.

وعرّفت هذه الدراسة نظم المعلومات الجغرافية بأنها علم يمثل الجانب التطبيقي لتكنولوجيا حاسوبية تهتم بإنجاز وظائف خاصة في مجال معالجة وتحليل المعلومات المكانية، بما يتفق مع الهدف التطبيقي للدراسة بالاعتماد على كفاءة بشرية وإلكترونية متميزة، وتهدف هذه التكنولوجيا إلى حصر وتوفير البيانات المكانية (**Spatial Data**) المحدثة بالكمية والنوعية والوقت المناسب من أجل تخزينها وإدارتها ومعالجتها ضمن بيئة الحاسب الآلي وبناء قاعدة معلومات جغرافية دقيقة لدراسة محددة من أجل نمذجتها (**Modeling**) وتحليلها (**Analysis**) وعرض نتائجها وتمثيلها بشكل يساهم في إبراز المقومات الجيومورفولوجية للتنمية المستدامة في بادية المثني بهدف دعم القرار.

1-15-1- أهمية نظم المعلومات الجغرافية في الدراسات الجيومورفولوجية: تستخدم نظم المعلومات الجغرافية في تطبيقات متنوعة ومجالات مختلفة، وبالرغم من اختلافها إلا أنها تجمعها صفة البعد المكاني، الذي يعد العنصر الأساسي الذي منه تبدأ عملية التحليل، بعد توفر المعلومات على شكل خرائط أو طبقات، ولغرض تحقيق نتائج لا بد أن تتوفر المعلومات الأساسية التي تتعلق بالأرض، ومنها توفر مرجع جغرافي دقيق (خطوط الطول ودوائر العرض)، ووجود قاعدة بيانات طوبوغرافية يمكن بواسطتها ربط المعلومات فيما بينها، وتوفر بيانات عن مسح الأرض ميدانياً⁽¹⁾، ويمكن توضيح أهمية برنامج نظم المعلومات الجغرافية في الدراسات الجيومورفولوجية في بادية المثني من خلال التطرق إلى أهم استخدامات (**GIS**) في مجال تحليل سطح الأرض:

- 1- القدرة على تخزين وعرض وتحليل المعلومات المكانية الجيومورفولوجية وتقديم الحلول والاقتراحات عن الاستخدام الأمثل للمقومات الجيومورفولوجية.
- 2- القدرة على دراسة المنحدرات وسبل الاستفادة منها.
- 3- القدرة على دراسة الغطاء الأرضي ومتابعة تطورات التباين المكاني والزمني لحركة الكتلان الرملية والتوسع أو الانحسار في ظاهرة التصحر عن طريق تحليل المؤشرات الرقمية.
- 4- تستطيع نظم المعلومات الجغرافية تحليل وبناء نماذج ثلاثية الأبعاد لنماذج الارتفاعات الرقمية (**DEM**) وتحديد المرحلة الجيومورفولوجية لمنطقة الدراسة، إذ يمكن من خلال هذه البيانات إجراء تحليلات للظواهر واختيار أنسب المواقع وللمشاريع المختلفة التي تتأثر بالارتفاع أو الميل والتعرية والارساب.

(¹) خلف حسين علي الدليمي، علم أشكال الأرض التطبيقي (الجيومورفولوجيا التطبيقية)، ط1، 2012، دار

5- القدرة على دراسة الموارد المائية والخصائص الهيدرولوجية والهندسية لأحواض منطقة الدراسة.

6- استخدام (Arc GIS) في تحليل المرئيات الفضائية ونماذج الارتفاعات الرقمية (DEM) واستخلاص شبكة الاودية.

7- استخدام (Arc GIS) في رسم المقاطع العرضية والطولية التضاريسية.

8- تقليص الوقت والجهد والكلفة للتحليل والحصول على نتائج سريعة ودقيقة.

9- القدرة على تحديد أنسب المواقع للمشاريع المختلفة من خلال تحقيق الملاءمة المكانية المستقبلية.

10- رسم خرائط مختلفة بدقة عالية.

1-15-2- مكونات نظم المعلومات الجغرافية: بالرغم من تعدد مكونات نظم المعلومات الجغرافية واختلافها إلا أنها جميعاً تتكون من مجموعة من العناصر المترابطة يمكن أن تُقسم إلى أربعة عناصر أساسية، لتشكل نظاماً محدداً لتحقيق أهداف معينة وكما يأتي:

1-المعلومات Data : تشمل إدارة ومعالجة وتنظيم واستخدام وتحليل البيانات المكونة للحاسب الآلي والربط بالعنصر المكاني في هذا النظام، فضلاً عن المعلومات التي تم تخزينها ضمن قاعدة البيانات بإرجاع جغرافي (X.Y) بطريقة فيكتور Vector (خطي أو مساحي)، أو بطريقة الراستر Raster الذي يعنى بإدخال المعلومات في بيكسيل Pixel.

2- الأجهزة (Hardware): تشمل الأجهزة المستخدمة في مجموعة العمليات التي تتم في ضمن بيئة النظام، ولا تتوقف على أجهزة الحاسب الآلي فقط بل هناك عدد آخر من الأجهزة التي تقوم بدور فعال في هذه العمليات مثل أجهزة الإدخال، وأجهزة العمليات، وأجهزة الإخراج⁽¹⁾، وتميز داخلها ثلاثة أنواع أساسية وهي:

أ- أجهزة جمع البيانات الميدانية وتشمل:

- نظام تحديد المواقع العالمي GPS.
- محطات الرصد والقياس المتكاملة.
- الكاميرا الرقمية.

ب- أجهزة المعالجة: وتشمل الحاسب الآلي الشخصي الذي استخدام في هذه الدراسة.

3-أجهزة الإخراج: تشمل كل الأجهزة التي تظهر العمل بصيغته النهائية مثل(رسوم أو خرائط أو تقارير) القابلة للتعديل والاضافة مثل (الطابعة، الرسم الآلي، الشاشة).

(¹) نجيب عبد الرحمن الزبيدي، نظم المعلومات الجغرافية GIS، (متوفر على شبكة الانترنت) <http://alexir.org>، السنة بلا، ص42.

4-البرامج (Software): هي مجموعة من البرامج المتخصصة تقوم بمهام محددة في الحاسب الآلي، وتتنوع هذه البرامج تنوعاً واسعاً تتعدى 170 نظاماً، إلا أن القليل منها ممن تتوفر فيه المعايير الأساسية لإجراء الدراسات والأبحاث التطبيقية المناسبة، وعموماً تشكل نظم المعلومات المتمثلة بـ(Arc GIS) و(ERDAS) التي توفرها شركة أيزري(ISRI) وتعد أكثرها استخداماً.

5- المنظمات والمستخدمون: (Users and organisation): يعد الكادر البشري المختص هو الركيزة الأساسية، ويشمل المحللين والمبرمجين ومهندسي المساحة ورسمي الخرائط والقائمين على إدخال البيانات المكانية سواء (Vector) أو (Raster) أو البيانات الوصفية(Data Attributes) ⁽¹⁾.

وقد استخدم في هذه الدراسة كومبيوتر من نوع(Fujitsu E556) بمعالج (Core i5) الجيل السادس وبالمواصفات الآتية:

- وحدة معالجة مركزية(CPU) (INTEL® CORE™ I5-6300U) بسرعة 2.3 GHz

- مساحة تخزينية (Storage) بسعة(500) جيجا بايت مع هارد خارجي(2 تيرا بايت)

- ذاكرة عشوائية : 8 جيجا رام DDR4

- معالج رسومي : INTEL HD 520

- شاشة العرض 15.6 بوصة HD بدقة 1366 × 768 بكسل

- ماسح ضوئي (Scanner) كوحدة إدخال.

- طابعة نوع (Brother) خزائنها 150 ورقة امكانية طباعة حتى 15000 صفحة.

1-16-البرامج المستخدمة في الدراسة:

تعمل برمجيات نظم المعلومات الجغرافية على ربط المعلومات وتحليل الظاهرة موضوع الدراسة والكشف عن التباين المكاني والتغيرات زمانياً وربطها بالبيانات الوصفية، وتتعدد البرامج الخاصة برسم الخرائط ومنها:

1-16-البرامج المستخدمة في الدراسة: (Earth Resources Data Analysis)ERDAS IMAGIN 2014 System

أحد البرامج المستخدمة في الدراسة والمتخصصة في جمع وتحليل ومعالجة البيانات واستخلاص المعلومات والنتائج من المرئيات الفضائية.

(¹) كتاب جماعي، المركز الديمقراطي العربي للدراسات الاستراتيجية والسياسية والاقتصادية ، المانيا، توظيف

نظم المعلومات الجغرافية والاستشعار عن بعد في الدراسات المجالية، 2021، ط1، ص31-30

2- Global Mapper Pro 23.1.0-2 : يدعم هذا البرنامج أكثر من (250) صيغة ملف، ويستخدم على نطاق واسع في الدراسات الجيومورفولوجية، ومنها اجراء عمليات اشتقاق خطوط الكنتور وتحديد اتجاهات الحت النهري عن طريق استخلاص المقاطع العرضية والتعرف على المرحلة الجيومورفولوجية عن طريق استخلاص المقاطع الطولية، فضلاً عن الأشكال المجسمة من خلال نماذج الارتفاعات الرقمية (Dem).

3- PCI Geomatica 2017: برنامج كندي وهو عبارة عن حزمة برامج سطح مكتب للاستشعار عن بُعد والمسح التصويري لمعالجة بيانات مراقبة الأرض، تم تصميمها بواسطة شركة PCI Geomatics تمت من خلاله استخلاص التراكيب الخطية من المرئيات الفضائية للقمر الأمريكي (Landsat8) .

4- UniPDF Converter: وهو من البرامج المتخصصة في مجال تحويل الخرائط من صيغة (Pdf) إلى (jpg)، إذ يتميز هذا البرنامج بدقته عالية.

5- ArcGIS 10.2.2: استخدام هذا البرنامج على نطاق واسع في هذه الدراسة، ويعد البرنامج الرئيس لمجموعة Arc Map، تم انتاجه بتاريخ (15-04-2014) من معهد أبحاث الأنظمة البيئية (Esri)، يمثل ArcGIS 10.2.2 القائد في الحقل، ويُستخدم لإنشاء الخرائط والطبقات وتحليلها وعمل كل النقاط والخطوط والمضلعات بإحداثيات معينة، ويمكن من خلال البرنامج رسم الخرائط وتحليلها وعمل كل النقاط والخطوط والمضلعات بإحداثيات معينة، ويمكن من خلال البرامج الأخرى التابعة لشركة Esri ربطها ببرنامج Arc map وتجميع البيانات الجغرافية وتوظيفها، وتحليل ومشاركة واكتشاف المعلومات الجغرافية، واستخدام المعلومات الجغرافية والخرائط في مجموعة من التطبيقات وإدارة في قاعدة بيانات، ويسمح برنامج ArcGIS لتطوير نظم المعلومات الجغرافية الشاملة من خلال مجموعة برمجيات نظم المعلومات الجغرافية المتكاملة، أستخدم البرنامج على نطاق واسع في حساب المساحات والاطوال ومعالجة وتحليل وعمليات الإخراج، ولهذا البرنامج برامج فرعية ذات مهام منها:

- 1-(Arc Catalog): بناء وإدارة قواعد البيانات .
- 2-(Arc Globe): تحميل المرئيات الفضائية و عمليات الإرجاع الجغرافي.
- 3-(Arc Scene): عرض ثلاثي الابعاد ودمج الطبقات بشكل عمودي.
- 4-(Arc Reader): عرض الخرائط بصيغة (GIS) في الأجهزة التي لا تحتوي على البرنامج.
- 5-(Tools Box): مجموعة نظم أكثر من (300) تمكن المستخدم من استيراد وإدارة البيانات وتصديرها الى انماط أخرى، واجراء انواع التحليلات المكانية (Spatial Analysis Tools) والتحليل الاحصائي (Spatial Statistics toolbox) وإدارة البيانات (Management Tools)

(Data) والأدوات الخاصة بعمليات التحليل (Conversion Tools) فضلاً عن العديد من الأدوات التي تم استخدامها في الدراسة.

7- نظام التموضع العالمي : (GPS) (Global Positioning System) وهو نظام ملاحه عبر الاقمار الصناعية يقوم بتوفير معلومات الموقع والوقت في جميع الاحوال الجوية، ويتكون نظام تحديد الموقع من 24 قمر صناعي تدور حول الأرض على ارتفاع 20200 كم.

1-16-2-أنواع البيانات في نظم المعلومات الجغرافية:

لا يقصر لفظ (تطبيقات نظم المعلومات الجغرافية) على رسم الخرائط، بل لا نستطيع إن نطلق هذه العبارة الا إذا اشتمل هذا الاستخدام على معالجة وتحليل وتفسير البيانات للوصول إلى حلول مبتكرة للمشكلات التنموية ⁽¹⁾، ويعد نظم المعلومات الجغرافية من أهم البرامج التي يمكن من خلالها جمع كم هائل من البيانات التي يمكن الاستفادة منها في الدراسات الجيومورفولوجية وما تحتويها من معالم وظواهر، ومن هنا زادت الحاجة إلى الاستعانة بطرق التحليل للاستفادة من هذا الكم الهائل من البيانات والقياسات والرصد وتحويلها إلى معلومات قابلة للتطبيق في التنمية المستدامة في بادية المثلى.

أن التمثيل والتحليل المكاني للبيانات في بادية المثلى في إطار نظم المعلومات الجغرافية في هذه الدراسة يتم من خلال نموذجين: الأول يمثل البيانات الخطية أو الاتجاهية (Vector Data) والثاني يتمثل بالبيانات الشبكية أو الخلية (Raster Data)

1-نموذج البيانات الخطية Vector هو تمثيل كافة ظاهرات طبقة ما من خلال سلسلة متتابعة من الإحداثيات كما في الخريطة الورقية، ويتكون هذا النموذج من ثلاثة أنواع من طرق تمثيل الظاهرات :

- النقطة Point عبارة عن إحداثيين X، Y لموقع محدد وليس لها مساحة أو بعد.

- الخط Line or Arc عبارة عن سلسلة من النقاط المحددة الإحداثيات وله بعد (طول) وليس له مساحة.

- المضلع Polygon عبارة عن ظاهرة معينة تنتشر في مساحة محددة ويحيط بها خط.

ويتميز نموذج البيانات الخطية بالعديد من المميزات أهمها:

1-الدقة في تمثيل مواقع الظاهرات.

2-حجم تمثيل البيانات لا يتطلب مساحة تخزين كبيرة في الحاسوب سواء في الذاكرة RAM أو القرص الصلب (Hard Disk).

⁽¹⁾ (جمعة محمد داود، أسس التحليل المكاني في إطار نظم المعلومات الجغرافية (GIS)، النسخة

- 3- سهولة إجراء العمليات الحسابية مثل الطول و المساحة و المحيط.
- 4- إمكانية تصحيح المعلومات التي تم إدخالها أولاً بأول.
- وفي المقابل - يعاني من عيبين أساسيين:
 - 1-يتطلب جهداً ووقتاً كبيراً في إدخال البيانات.
 - 2- يتطلب خبرة جيدة ودقة عالية لمدخل البيانات ذاته.
- ومع ذلك فإن نموذج البيانات الخطية هو الأكثر استخداماً في نظم المعلومات الجغرافية ولا سيما في التطبيقات المساحية والهندسية بصفة عامة.
- 2-البيانات الشبكية Raster: يعتمد هذا النموذج علي فكرة وجود شبكة من المربعات موضوعة على خريطة، فإذا انطبق احد المربعات علي نوع معين من الظاهرات فسيحمل هذا المربع رقماً يماثل في قيمته كافة نظائره من المربعات التي انطبقت علي نفس الظاهرة، إما إذا انطبق احد مربعات الشبكة علي ظاهرة ثانية في الخريطة فسيحمل هذا المربع رقماً ثانياً مختلفاً عن رقم الظاهرة الأولى، أن حدود المربع الواحد أو الخلية pixel في ملف البيانات الشبكية تحدد دقة الوضوح المكاني أو القدرة التمييزية Resolution لهذا الملف، فكلما صغر حجم المربع زادت قدرة الوضوح وزادت قدرة تمثيل الظاهرات، ويتميز النموذج الشبكي بـ:
 - 1-قدرته على تمثيل الظاهرات المستمرة.
 - 2-سرعة إدخال البيانات إلى نظام المعلومات الجغرافية.
- أهم عيوب هذا النموذج:
 - 1-يتطلب سعة تخزينية كبيرة.
 - 2-دقته البسيطة نسبياً في التمثيل المكاني، إذ أنها تعتمد علي أبعاد المربع أو الخلية pixel.
 - 3- أن قدرته على التحليل المكاني أقل من النموذج الخطي.
- تم استخدام النموذج الشبكي في هذه الدراسة من خلال تحميل المرئيات الفضائية من القمر الأمريكي (Landsat 8-9) مرئية (OLI) و (ETM)، ونماذج الارتفاعات الرقمية للمنطقة (DEM) ⁽¹⁾، ويتم توضيح خصائص ومحتوى الخريطة عن طريق التفاعل بين البيانات الخطية (Vector Data) والبيانات الشبكية (Raster Data) مع البيانات الوصفية (Table) التي تتمثل بأسماء ووصف الظاهرة أو المواقع التي يتم الحصول عليها من خلال الدراسة الميدانية لبداية المثنى أو من خلال الدوائر المعنية، وتكون هذه البيانات الوصفية على شكل جداول تمثل الآبار أو مواقع عينات التربة أو أسماء المواقع التي تم معالجتها

(¹) جمعة محمد داود، أسس التحليل المكاني في إطار نظم المعلومات الجغرافية (GIS)، مصدر سابق ،

وربطها مكانياً، أو التي تُستخلص من البيانات (الخطية أو الشبكية) والعمليات الإحصائية التي جرت عليها.

1-17- خطوات بناء قاعدة البيانات الجغرافية للمقومات الجيومورفولوجية لبادية المثنى:

تعد مهمة بناء قاعدة البيانات الجغرافية من المهام التي تتطلب جهداً كبيراً، إذ يعتمد التحليل المكاني في بيئة نظم المعلومات الجغرافية على الخصائص المكانية لموقع الهدف قيد الدراسة، وقواعد البيانات الجغرافية تمثل الوعاء الذي يحتوي على مجموعة من البيانات المكانية والوصفية المترابطة بعضها ببعض، وهي قابلة لل تخزين والاسترجاع والتحليل والعرض، وتعني جمع البيانات ذات العلاقة وإدارتها بواسطة مجموعة من البرمجيات التي تقوم بإدارة ومعالجة هذه البيانات بطريقة سهلة سريعة.

وتعرف قاعدة البيانات (Data base) بأنها أي تجمع لبيانات متجانسة أو مترابطة سواء تم تسجيلها يدوياً أو إلكترونياً، أو هي تجمع متكامل منظم لسجلات البيانات وهيكل البرامج بأقل قدر تكراري يتيح البيانات للمستخدمين، أو هي مجموعة من الملفات المترابطة مخزنة على أقراص وأسطوانات مغناطيسية، تصمم من قبل المستخدمين بواسطة برامج متخصصة عن طريق إضافة وحذف واسترجاع أو قراءة ⁽¹⁾، وتحتوي قاعدة البيانات الجغرافية العديد من البيانات على شكل جداول مكونة أعمدة (Columns) وصفوف (Rows)، وتتسم باعتمادها على شقين أساسيين ومتكاملين ومتربطين هما البيانات المكانية (Spatial data) والبيانات غير المكانية (Descriptive data) ⁽²⁾، ويعتمد هذا الربط على رمز التعريف (ID) الذي يعد من أهم أسس استخدام قواعد البيانات الجغرافية في الدراسات الجغرافية المختلفة.

يتطلب إنشاء قاعدة بيانات منطقة الدراسة اعتماد مسقط ملائم، ويعد مسقط مريكتور العالمي (UTM Zone 38 N WGS84) هو المسقط المعتمد لإنشاء طبقات الظواهر المكانية المطلوب تمثيلها باعتماد بيانات المرئيات الفضائية التي توفرها وسائل وأجهزة الاستشعار عن بعد، التي وفرت بيانات مهمة والخرائط الطبوغرافية والإدارية والجيولوجية والبيانات الرقمية المناخية لمحطة السماوة والمحطات الساندة التي تم تمثيلها خرائطياً، وجمع عينات التربة وتحليلها وتمثيلها خرائطياً فضلاً عن الدراسة الحقلية والبيانات التي تم الحصول عليها من الجهات المختصة والدراسات المماثلة، وبيانات هيدرولوجية تتعلق بالآبار وخصائصها النوعية وتمثيلها خرائطياً، وتطلب رسم التوزيع المكاني للغطاء النباتي استخدام بعض المؤشرات الرقمية

(¹) نجيب عبد الرحمن الزبيدي، نظم المعلومات الجغرافية GIS، مصدر سابق، ص 173.

(²) محمد الخزامي عزيز، نظم المعلومات الجغرافية-أساسيات وتطبيقات للجغرافيين، مصدر سابق، ص 79.

ولفترات مختلفة باستخدام مرئيات فضائية حديثة، فضلاً عن تطبيق بعض المعادلات الخاصة بهذه المؤشرات ومنها (NDSI, NDVI, NDWI, IPVI) وتمييز الأشكال الأرضية والخصائص الانحدارية وتصنيفها، ونماذج الارتفاعات الرقمية (DEM) التي مدت الدراسة بالبيانات اللازمة لاشتقاق الخرائط الكنتورية وخرائط الظل وخرائط اتجاه السفوح واستخلاص الشبكة المائية وتحديد المناطق المنخفضة واقتراح مناطق السدود وغيرها الكثير من الخرائط المستخلصة منها، وتطلب إنشاء قاعدة البيانات الجغرافية لبداية المثنى عدة خطوات:

1- جمع البيانات (Data Collection)

تعد هذه المرحلة هي أساس بناء قاعدة البيانات، ويقصد به جمع البيانات الكافية والوافية والشاملة لكل الجوانب الخاصة، وتشمل البيانات المتعلقة بالجانب النظري والوثائقي⁽¹⁾، وتتمثل البيانات الخاصة بدراسة بالمقومات الجيومورفولوجية للتنمية المستدامة في بداية المثنى التي تتضمن ما يأتي:

أ- **بيانات المرئيات الفضائية:** تمتلك الأقمار الاصطناعية مجموعة خصائص مميزة تجعلها مفيدة وقليلة الكلفة في استشعار سطح الأرض عن بعد، وتعد مستشعرات لاندسات (Landsat 8-9) الأهم والأكثر شهرة وذات فترة الاستشعار الأطول في النقاط الصور من الفضاء، وقد استخدمت الدراسة (7) لوحات ولأعوام (2013-2022) ولموسمين من القمر الأمريكي (Landsat)، فضلاً عن (10) لوحات لنماذج الارتفاعات الرقمية (DEM) (Digital Elevation Model) العائد للمكوك الفضائي (SRTM 1) بدقة تمييزية (90,30)م، من موقع هيئة المسح الجيولوجية الأمريكية (USGS)، يلاحظ جدول (3-1).

ب- **الخرائط الطبوغرافية: Topographic MAPS:** تعد الخرائط منتجاً من منتجات عملية تحليل بيانات الاستشعار عن بعد، وهي مكوناً رئيساً من مكونات إدارة المقومات الجيومورفولوجية للتنمية المستدامة في منطقة الدراسة، وهي أداة بالغة الأهمية في الكشف وتوزيع المعلومات الجغرافية، فضلاً عن (الخرائط الإدارية، الخرائط الجيولوجية، خرائط التربة، خرائط الموارد المائية، وخرائط النبات الطبيعي، الخرائط البشرية) وغيرها.

(¹) محمد سرحان علي المحمودي، منهاج البحث العلمي، دار الكتب ، ط3، الجمهورية اليمنية، صنعاء،

جدول (1-3) تاريخ ومواقع المرئيات الفضائية المعتمدة في الدراسة (Landsat)

Path	Row	Date	Satellite
167	39	2021-03-06	Landsat 8-9
		2021-08-26	
		2013-08-04	
167	40	2021-03-06	Landsat 8-9
		2021-08-26	
		2013-08-04	
166	39	2021-02-27	Landsat 8-9
		2021-08-19	
		2013-07-28	
168	38	2021-03-05	Landsat 8-9
		2021-08-17	
		2013-07-26	
168	39	2021-03-05	Landsat 8-9
		2021-08-17	
		2013-07-26	
166	40	2021-03-07	Landsat 8-9
		2021-08-19	
		2013-07-28	
168	40	2021-02-25	Landsat 8-9
		2021-08-17	
		2013-08-06	

المصدر: باعتماد على: <http://landsat.usgs.gov/index.php>

وعُولجت هذه الخرائط بعد تحويلها إلى الحالة الرقمية بواسطة جهاز الماسح الضوئي لكي يُتَعامل معها في البرامج المختصة، وتعد هذه الخرائط ذات أهمية كبيرة كونها تحوي على بيانات ساعدت بشكل كبير في إعداد قاعدة البيانات الجغرافية للمقومات الجيومورفولوجية للتنمية المستدامة، ولكي تتحقق الفائدة التطبيقية لهذه الخرائط أُجريت عملية الإرجاع الجغرافي لغرض الوصول إلى النتائج المبتغاة.

ج- البيانات الوصفية: Attribute Table : هي إحدى مدخلات بناء قاعدة البيانات، ويطلق عليها البيانات (غير المكانية) التي ليس لها بعد مكاني أي أحداثيات على الأرض، وتتضمن البيانات التي تم الحصول عليها من مصادر مختلفة مثل (البيانات المناخية، نتائج تحليل التربة والمياه)، التي تطلب الحصول عليها مرجعة الدوائر الحكومية ومواقع الأنترنت والدراسات المماثلة، وتكون على شكل جداول (Excel)، استدعيت ضمن بيئة برنامج (Arc GIS 10.2.2) في صيغة (Shape file) .

٤- **الدراسة الميدانية:** هي إحدى أهم مصادر بناء قاعدة البيانات التي تشمل البيانات التي دونت وسُجلت بشكل مباشر بواسطة الشخص أو الجهة المعنية بجمع تلك المعلومات أو التي نُشرت⁽¹⁾، وتعد الدراسة الميدانية أحد أهم مرتكزات دراسة المقومات الجيومورفولوجية للتنمية المستدامة في بادية المثني، إذ تساعد على الاحتكاك المباشر مع الظواهر ولا سيما الأشكال الجيومورفولوجية والاستفادة منها في تفسير بعض المظاهر في المرئيات الفضائية، وقد حُددت نقاط ضبط أرضي في مواضع عينات التربة أو المياه باستخدام بيانات النظام العالمي لتحديد المواقع (GPS) الذي يتكون من الأقمار الصناعية ونظام التحكم الأرضي وجهاز الاستقبال، وهي من البيانات المعتمدة في الدراسة إذ تم تحديد مواقع الآبار والعيون والمنخفضات والودية والنباتات الطبيعية وبعض الأشكال الجيومورفولوجية.

2-تنظيم ومعالجة البيانات واشتقاق خرائط منطقة الدراسة: يتطلب بناء قاعدة البيانات منطقة الدراسة تنظيم البيانات التي تم الحصول عليها من مصادر مختلفة لغرض تحقيق هدف الدراسة، ومن ثم تأتي عمليات المعالجة والاشتقاق، إذ إن البيانات بحالتها الأولية غير مفيدة ولا بد من تحويلها إلى معلومات عن طريق خزنها ومعالجتها، وتعد أدوات التحليل المكاني (Analysis Spatial Tools) وأدوات المحلل الإحصائي (Geostatistical Analysis) الركيزة الأساسية للمعالجات الرقمية، والغرض منها ملء أو تقدير المناطق غير المعلومة، ويمكن توضيح أساسيات هذه الأدوات واستخداماتها وكما يأتي:

أ- **التطبيق العملي لاشتقاق الخرائط الطبوغرافية:** نموذج الارتفاع الرقمي (DEM) هو ملف يحتوي على مناسيب في صورة خطية (Vector) أو (Raster)، ويعد نموذج (SRTM) من أكثر النماذج استخداماً حول العالم وخاصة من حيث قدرة التمييز المكاني (Spatial resolution)⁽²⁾، واستخدام هذا النموذج في الدراسة بعد معالجته وتحويل المسقط من جغرافي إلى متري، وتضمن التطبيق العملي اشتقاق الخرائط الطبوغرافية وخريطة الارتفاع المتساوية (Contour Line) وخريطة مستويات السطح، وخريطة انحدار السطح واتجاهات الانحدار وخريطة الظل، واشتقت هذه الخرائط من خلال برنامج (ArcGIS 10.2.2) ونماذج الارتفاعات الرقمية (DEM) ولغرض تسهيل وإتمام هذه الخرائط يتطلب إجراء بعض المعالجات مثل تحويل صيغة امتداد الـ (DEM)

(¹) محمد سرحان علي المحمودي، منهاج البحث العلمي، مصدر سابق، ص121.

(²) جمعة محمد داود، أسس التحليل المكاني في إطار نظم المعلومات الجغرافية (GIS)، مصدر سابق،

من (TIF) إلى (GRID) من أجل تسريع التطبيق والحصول على نتائج أدق، وتلي هذه الخطوات عملية اشتقاق الخصائص الطبوغرافية التي سبق الكلام عنها وفق الخطوات الآتية، يلاحظ شكل (1-16):

Arc toolbox- Spatial Analyst Tools- Surface.

ب- التطبيق العملي لاشتقاق الخرائط المناخية:

تحدد مواقع المحطات المناخية على الخريطة من خلال (Go To XY) وبصيغة (Point)، تُستورد البيانات المناخية من جدول الأكسل الذي يحتوي على إحداثيات كل المحطات المناخية المستخدمة في الدراسة من خلال (Add data)، ثم الضغط على إضافة بيانات (Display XY Data)، ثم نختار الـ (X) و (Y)، ثم نختار الإحداثيات الجغرافية المطابق لمنطقة الدراسة (WGS_1984_UTM_Zone_38N) ثم الضغط على إيعاز (OK) ثم (OK)، ثم تحويله إلى (Shipfile) عن طريق الضغط على (DATA) ثم (Export) ثم نختار مكان الخزن، وتُستخلص الخرائط المناخية وفق الطرق الآتية، يلاحظ شكل (1-17):

1- خطوط الحرارة المتساوية: تم اشتقاق الخرائط المناخية الخاصة بدرجة الحرارة العظمى والصغرى باتباع الخطوات الآتية:

Arc toolbox- 3D Analyst Tools- Raster Interpolation- Spline.

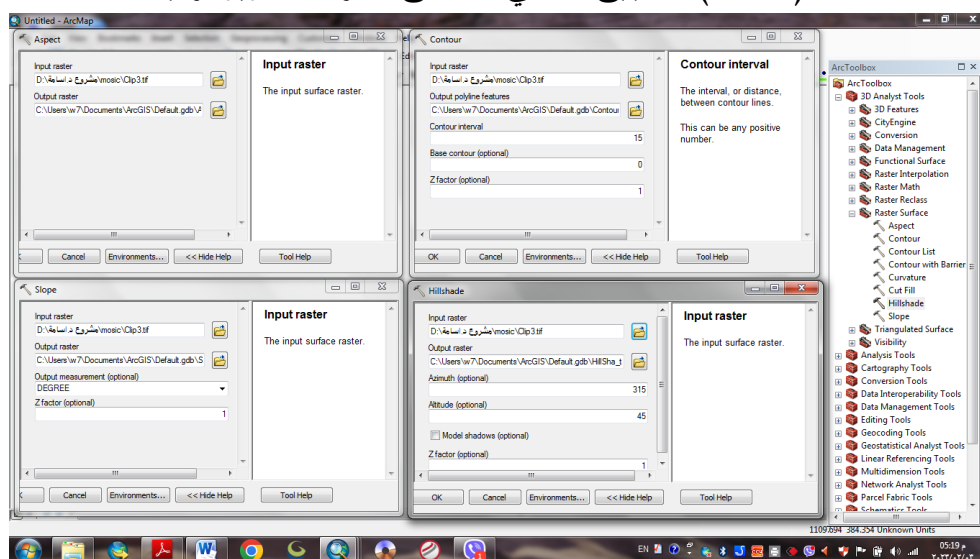
تكون الخريطة المستخرجة من الخطوات السابقة بصيغة (Raster)، ويتم استخلاص خريطة العناصر المناخية بخطوط التساوي من نوع (vector) باتباع الخطوات الآتية:

Arc toolbox- Raster Surface- Contour.

2- طريقة مقلوب المسافة الموزونة: (IDW): تُمثل هذه الخرائط بناء على العلاقة بين النقطة المعلومة والمسافة، إذ يقل التأثير بشكل تدريجي بالابتعاد التدريجي عن هذه نقطة العينة، استخدمت في تمثيل بعض الخرائط المناخية ومنها خريطة سرعة الرياح.

3- طريقة الشرائح: (Kriging): وهي إحدى الطرق المستخدمة في العديد من الخرائط ومنها خرائط التوزيع المكاني للتربة، تم استخدام هذه الطريقة في تمثيل بعض الخرائط المناخية ومنها خريطة الرطوبة النسبية.

شكل (16-1) التطبيق العلمي لاستنتاج الخرائط الطبوغرافية



المصدر: باعتماد برنامج (Arc GIS 10.2.2)

4-طريقة الشرائح: (Spline): تُستخدم هذه الطريقة في تمثيل خرائط مستويات الآبار والأمطار، وتتنبأ هذه الطريقة بالقيم المحيطة بالعينات ولا تمر فيها، ويمر في النقاط المعلومة ويقل التأثير بشكل تدريجي كلما ابتعدنا عنها، واستخدمت هذه الطريقة في تمثيل خريطة الأمطار، كما يأتي:

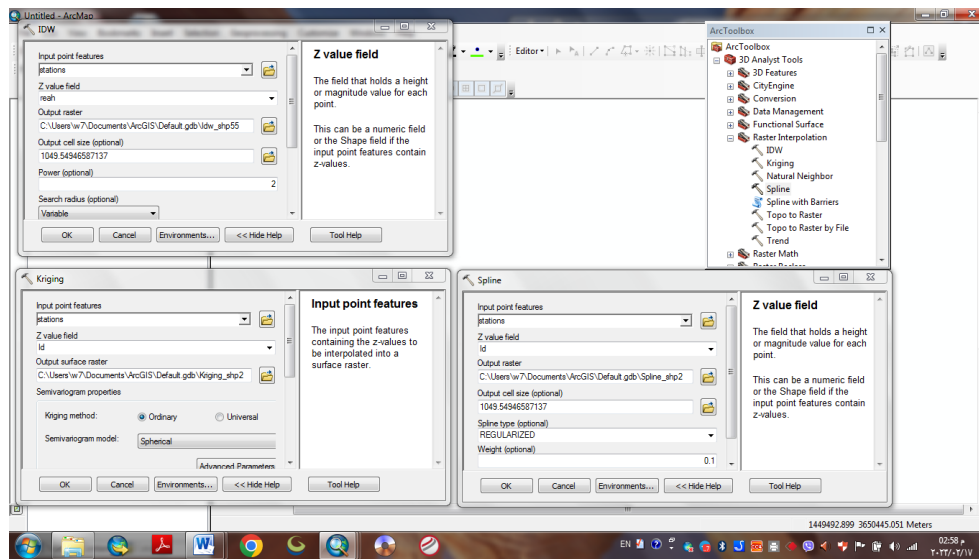
Arc toolbox- 3D Analyst Tools - Raster Interpolation- (IDW- Kriging-Spline).

يُستقطع المنتج السابق وإنتاج خريطة العناصر المناخية من خلال الاداة (Clip) من (Geoprocessing)، وتحدد مواقع المحطات المناخية على الخريطة من خلال (Go To XY)، تُشتق الخرائط المناخية لجميع العناصر المناخية باتباع الخطوات الآتية:

Arc toolbox- 3D Analyst Tools- Raster Interpolation- Spline.

يستقطع المنتج السابق وإنتاج خريطة العناصر المناخية من خلال الاداة (Clip) من (Geoprocessing).

شكل (1-17) التطبيق العلمي لاشتقاق خرائط العناصر المناخية



المصدر : باعتماد برنامج (Arc GIS 10.2.2)

المقومات الجيولوجية لبادية المثني ودورها في التنمية المستدامة

تمهيد

2-1- الوضع الجيولوجي

2-1-1- التتابع الطباقى

2-1-1-1- تكوينات الزمن الثلاثي (الميوسين الاوسط ، والبليوسين)

2-1-1-2- ترسبات الزمن الرباعي (البلايوسين ، الهولوسين)

2-1-2- التركيب البنيوي (الالتواءات ، الفوالق)

2-2-3- السطح.

2-3- دور المقومات الجيولوجية في التنمية المستدامة في بادية المثني

تمهيد:

2-3-1- دور المقومات الجيولوجية في التنمية الصناعية المستدامة:

2-3-2- دور المقومات الجيولوجية في التنمية العمرانية المستدامة:

2-3-3- دور المقومات الجيولوجية في النقل:

2-3-4- دور المقومات الجيولوجية في التنمية الزراعية المستدامة:

2-3-5- دور المقومات الجيولوجية في التنمية المستدامة للمياه الجوفية:

2-3-6- دور المقومات الجيولوجية في التنمية السياحية المستدامة :

الخلاصة:

تمهيد:

تعد دراسة الخصائص الجيولوجية المدخل الرئيس لدراسة المقومات الجيومورفولوجية للتنمية المستدامة في بادية المثني، كونها حجر الاساس للتعرف على انواع الصخور ومن ثم كيفية استغلالها وبيان الجدوى الاقتصادية لها، وتحديد المواضع المثلى للتنمية المستدامة لتنفيذ المشاريع التنموية، وبناءً على ذلك سوف يتم دراسة جيولوجية منطقة الدراسة كأحد المقومات الجيومورفولوجية للتنمية المستدامة.

2-1-الوضع الجيولوجي:(Geological Setting):

تعد البنية الجيولوجية من المقومات الطبيعية المؤثرة في التنمية المستدامة في بادية المثني، إذ تؤثر دلالاتها في تكوين أو وجود التلال والوديان والسهول، فضلاً عن توزيع وكثافة النبات الطبيعي والتكوينات الجيولوجية الحاوية على المياه الجوفية وامكانية استخراجها وأنواع الصخور والترب وامكانية استثمارها.

2-1-1- التتابع الطباقى :Stratigraphy:

تشكل تكوينات الزمن الثلاثي مساحة (35430.1) كم² ونسبة (77.6) % من المساحة الكلية لبادية المثني، وتتراوح أعمارها ما بين البليوسين والبلايوسين (Pliocene -Pleistocene) .

تتمثل هذه التكوينات بـ (أم أرضمة ، الزهرة، الدمام، الدبدبة، الغار، النفایل، الفرات) التي تكون مغطاة بترسبات الزمن الرباعي بمساحة (10227.6) كم² ونسبة (22.4) % ، (ترسبات البلايستوسين والهولوسين)(Pleistocene & Holocene) ، وتتمثل بـ (رواسب الكثبان الرملية ، رواسب متعددة الاصل ، رواسب المنحدرات ، الرواسب الريحية ، رواسب السهل الفيضي ، رواسب المدرجات النهرية ، رواسب المنخفضات الضحلة ، رواسب مصاطب الوديان) .

2-1-1-1- تكوينات الزمن الثلاثي Tertiary Deposits

تبلغ مساحة هذه التكوينات (35430.1) كم² ونسبة (77.6) % ، يلاحظ جدول (1-2)، وهي الأكثر انتشاراً، وسيتم تناول توزيع تلك التكوينات الجيولوجية والتتابع الطباقى من الأقدم إلى الاحدث يلاحظ خريطة (1-2) وكما يلي:

1-تكوين أم أرضمة Um Erradhuma Formation (بالْيوسين الاعلى): يعد امتداد لتكوين أم ارضمة في المملكة العربية السعودية، إذ يوازي الحدود العراقية -السعودية، بالقرب من

منطقة انصاب ثم يقل بشكل تدريجي من (3-53)م⁽¹⁾، ويتكون من حجر كلسي دولومايتي بسمك (30-80) م⁽²⁾ وحجر جيرى دولومايتي عالي التبلور بسمك حوالي (40) م مع وجود انهيدرأيت وحجر الصوان في اجزائه العليا⁽³⁾، إما بيئته الترسيبية فهي بحرية متأثرة ببعض الظروف اللاغونية⁽⁴⁾، ويشغل مساحة تقدر (2089.1) كم² وتبلغ نسبة هذا التكوين (4.58)٪.

2- تكوين الدمام Dammam Formation (أيوسين): يغطي أجزاء واسعة عدا بعض الأماكن التي تغطيها الترسبات الحديثة، والمساحات الصغيرة التي ينكشف فيها تكوين الزهرة، إذ ينكشف في الأجزاء الوسطى والجنوبية والجنوبية الغربية والغربية من منطقة الدارسة مثل (أم قطع، رضيمة، أم العكف).

(1) Sissakian et.al (2014), Al-Batin Alluvial Fan, Southern Iraq, Scientific, Research, Vol.6, No.699-711.

(2) Anwar M.Barwary & Nasira A.Selwa (2012) (1) Ministry of Industry, Minerals Geological Survey and Mining, Geological Report, the Geology of Samawa ,scale 1:250 000, Baghdad..335:8

(3) Duraid B. Deikran (1994) (2) Ministry of Industry , Minerals Geological Survey and Mining, Geological Report, The Geology of Ansab, scale 1:250000, Baghdad.,1994: 8

(4) كريم محمد حسن ، صباح يوسف يعقوب ، التقرير الجيولوجي لرقعة السلمان ، لوحة (NH-638, GM36)

(مقياس 1 : 2500000، تعريب ازهار علي غالب، المنشأة العامة للمسح الجيولوجي والتعدين 1996،



جدول (1-2) تكوينات الزمن الثلاث في بادية المثنى

الزمن الجيولوجي (الثلاثي)	التكوين الجيولوجي	المساحة كم ²	النسبة %
بالوسين الاعلى	تكوين ام أرضمة	2089.1	4.58
أيوسين الاسفل	الدمام الاسفل	4870.6	10.66
أيوسين الاوسط	الدمام الاوسط	13233.9	28.99
أيوسين الاعلى	الدمام الاعلى	2262.1	4.95
المايوسين الاسفل	تكوين الغار	2319.3	5.08
المايوسين الاسفل	تكوين الفرات	511.8	1.12
المايوسين الاوسط	تكوين النفايل	274.8	0.60
بلايوسين - بلايستوسين	تكوين الزهرة	702.8	1.55
بلايوسين - بلايستوسين	تكوين الدببة	9165.7	20.07
المجموع		35430.1	
المساحة الكلية		45657.7	77.6

المصدر :- بالاعتماد خريطة (1-2) وبرنامج Arc GIS 10. 2.2

- أ- الدمام الأسفل Lower Member (الايوسين الاسفل): يتألف من ثلاث وحدات : ⁽¹⁾
- (Wagsa: Lower presian) تتكون من حجر جيرى طباشيري جيد التطبيق وحجر جيرى دولومايتي وسمكه من (8-11)م.

⁽¹⁾ Duraid B. Deikran (1994) ,Ministry of Industry ,Minerals Geological Survey and Mining, Geological Report,The Geology of Ansab, scale 1:250 000, Baghdad.:9.

- (Sharaf unit): يتكون من المارون الاخضر بسمك (1-2)م ، وحجر جير رمادي بسمك (2-3) م.
- (Shbicha-Lower Huwaimi) : يتكون من دولومايت وحجر كلسي ، يصل سمكه إلى (62)م .

يقع هذا التكوين في الاجزاء الجنوبية والجنوبية الغربية، وتبلغ مساحته (4870.6) كم² ونسبة(10.66)% من المساحة الكلية.

ب-الدمام الأوسط **Middle Member** (الأبوسين الاوسط) :هو من أكثر الأعضاء التابعة لتكوين الدمام انتشاراً في منطقة الدراسة، يتوزع في جنوب ووسط وغرب بادية المثنى، ويتألف من حجر الكلس الدولوميتي الطباشيري، يتراوح سمكه ما بين (50-60) م⁽¹⁾، وتبلغ مساحته (13233.9) كم² ، ويشغل نسبة (28.99)% من المساحة الكلية.

ت-الدمام الأعلى **Upper Member** (الايوسين الأعلى) : يظهر بشكل واضح بين تكوين الغار من الشرق وتكوين الدمام الاوسط بمساحة (2262.1) كم² ونسبة(4.95) %، ومغطى برواسب من الرمل ويتكون من الحجر الجيري معاد التبلور مع حجر كلسي صلب كغطاء مقوس، ويتراوح سمكه المكشوف بين (7-12) م ، يلاحظ صورة(2-1).
3-تكوين الغار **Ghar Formation** (المايوسين الأسفل): يظهر بشكل واضح بالقرب من تكوينات الدمام، على عمق يتراوح (40-60)م، وهو مغطى بالأحجار الكلسية والرمليّة الكلسية والترسبات الهوائية⁽²⁾ ، يشغل مساحة تقدر بـ(2319.3) كم² ونسبة تقدر بـ(5.08)%.

4-تكوين الفرات **AL Phorat Formation** (المايوسين الأسفل):

يتراوح سمكه المكشوف (6)م⁽³⁾ ، ويشغل الأجزاء الغربية بمساحته الكلية(511.8) كم² ويشكل نسبة(1.12) % من المساحة الكلية.

(¹) دريد بهجت ديكران، عبد الحق إبراهيم مهدي ، التقرير الجيولوجي لمنطقة الناصرية ، اللوحة (NH-38-3) مقياس 1: 2500000 ، ترجمة ندى عبد الكريم محمد ، الشركة العامة للمسح الجيولوجي والتعدين ، 1993 ، ص 3 .

(²) دريد بهجت ديكران ، ازهار علي غالب ، التقرير الجيولوجي لرقعة سوق الشيوخ ، المنشأة العامة للمسح الجيولوجي والتعدين ، قسم المسح الجيولوجي والتعدين ، بغداد ، 1997 ، ص 13.

(³) نصير حسن البصراوي، دراسة هيدروكيميائية للوحة الناصرية، NH 3-38 ، مقياس 1:250000 ، 2000 ، ص5.

صورة(1-2) صخور الدمام الاعلى جنوب غرب الشفلحية



30° 25' 16.71" N 44° 28' 35.93" E

المصدر: الدراسة الميدانية بتاريخ 2022/1/21

5-تكوين النفایل Al Nfayil Formation (المایوسین الأوسط): يتألف هذا التكوين من قسمين هما:

- القسم الاسفل : يحتوي على طبقات رسوبية من الطفل الاخضر المتعاقب مع الحجر الجيري وعلى متحجرات من المحار .
- القسم العلوي : تتعاقب صخور من الطين والغرين ذات اللون الاحمر والبني مع طبقات خفيفة جداً من الاحجار الجيرية في أجزائه السفلى، وتتراوح سمك طبقاته (35-45)م⁽¹⁾، تبلغ مساحته (274.8)كم² ويشكل نسبة (0.60 %).

6-تكوين الزهرة Zahra Formation (بلايوسين-بلايستوسين): مر هذا التكوين بمراحل متعددة تحول فيها من حجر رملي إلى حجر طيني مرصع بالحجر الجيري، تراوح سمك طبقات الرمل فيه ما بين (2-4)م⁽²⁾، ويتوزع في اماكن محدودة، وتبلغ مساحة هذا التكوين (702.8) كم²، ويشكل نسبة (1.55%) من المساحة الكلية.

7-تكوين الدببة Dibdibba Formation (بلايوسين-بلايستوسين): يتكون من صخور فتاتية خشنة من ترسبات الرمل والرمل الحصى وقليل من ترسبات الحجر الجيري الرملي

(¹) قيس جواد سعود و رضا أحمد محمد، تقرير عن هيدروجيمورفولوجية وهيدروكيميائية بادية المثنى، وزارة .

الصناعة والمعادن، الهيئة العامة للمسح الجيولوجي والتعدين، بغداد، 2007 ص 6 .

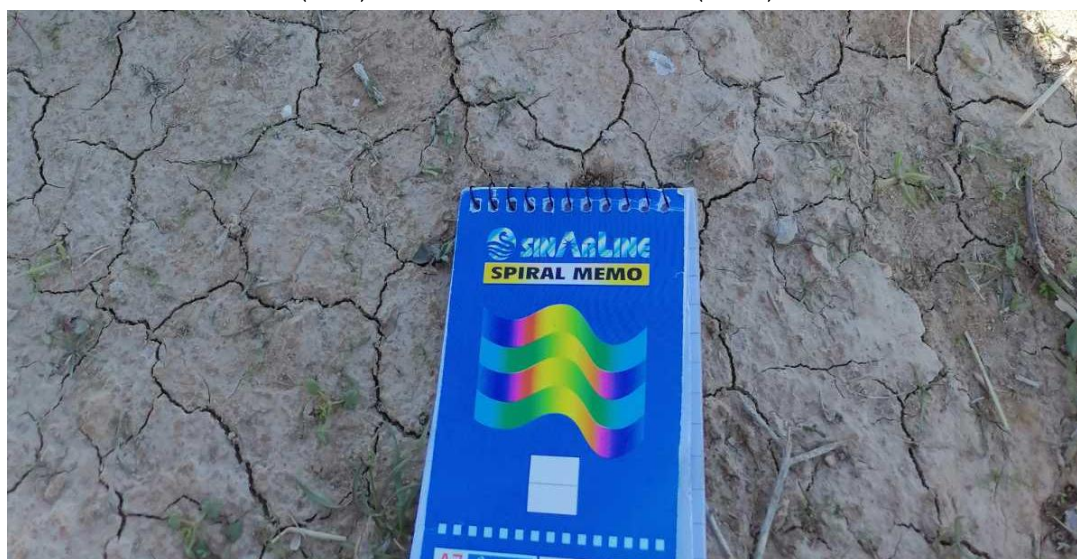
(²) Sissakian et.al (2014), Al-Batin Alluvial Fan, Southern Iraq, Scientific Research , Vol.6, No.699-711.

والمارل وسمك هذا التكوين يتراوح بين (25-35)م⁽¹⁾، وينكشف هذا التكوين في نطاق واسع، وبمساحة (9165.7) كم² ونسبة (20.07) %، وتتألف هذه التكوينات من الرمل والحصى وقليل من الطين والغرين، فضلاً عن تكونها من مواد معدنية غير قابلة للذوبان في الماء كالكوارتز والمايكا⁽²⁾.

2-1-1-2-ترسبات الزمن الرباعي(Quaternary Deposits): يلاحظ من معطيات الخريطة (2-2) إن هذه الترسبات توزعت بمساحة (10227.6) كم² ونسبة (22.4) %، يلاحظ جدول(2-2) وتتمثل بالاتي:-

1-ترسبات ملء المنخفضات Depression Fill Deposits(الهولوسين): تتكون من ترسبات فتاتية من (الطين والغرين والرمل) ذات صفات مختلفة، يلاحظ صورة (2-2)، ويقدر سمك طبقاتها بين(1-2)م⁽³⁾، وبمساحة كلية (1978.3) كم²، ونسبة (4.31) %، ينتشر هذا التكوين في معظم أجزاء منطقة الدراسة في المنخفضات الرئيسية.

صورة (2-2) ترسبات ملء المنخفضات (رغلة)



30° 16' 41.10" N 44° 29' 3.44" E

المصدر: الدراسة الميدانية بتاريخ 2022/1/21

(¹) دريد بهجت ديكران ، ازهار علي غالي ، التقرير الجيولوجي لرقعة الرخيمية (NH-38-11)، بغداد ، 1995، ص 5.

(²) داود جاسم الربيعي، محافظة البصرة دراسة في الجغرافية القديمة ، مجلة كلية الآداب، جامعة البصرة ، مطبعة دار الحكمة في البصرة ، العدد/22 ، 1991، ص 52.

(³) قيس جواد سعود و رضا أحمد محمد، تقرير عن هيدروجيمورفولوجية وهيدروكيميائية بادية المثنى ، مصدر سابق، ص 7.

2-رواسب ملء الوديان **Valley Fill Deposits** (الهولوسين): ترسبت هذه التربة عند قيعان الوديان مع امتداد الأودية الرئيسية والفرعية⁽¹⁾ ، وتقدر مساحتها (200.6) كم² ونسبة (0.43) %، وتشغل بطون الأودية، ويتباين سمك وحجم هذه الترسبات حسب حجم وعمق الوادي ، وتعد ذات أصل محلي من (طين ، طمي ، رمل ، حصى) ، يتراوح سمكها بين (5-1) م⁽²⁾ .

3-رواسب الكثبان الرملية **Aeolian Sand Dunes** (الهولوسين): تتوزع ضمن تكوين الدببة في أجزائه الشمالية، بمساحة (385.2) كم² ونسبة (0.85) %، تنشأ هذه الرواسب بفعل عمليات التعرية الريحية، وتتكون من الغرين والرمل، وتتباين أشكالها فهي إما صفائحية رملية متقطعة، أو حقول رملية منجرفة، يلاحظ صورة (2-3) ، ويتجمع البعض منها حول النباتات ليكون كثبان النباك، وقد يتطور البعض منها ليكون كثبان رملية هلالية.

صورة (2-3) الترسبات الريحية (منطقة الذهب)



30° 17' 41.10" N 44° 30' 3.44" E

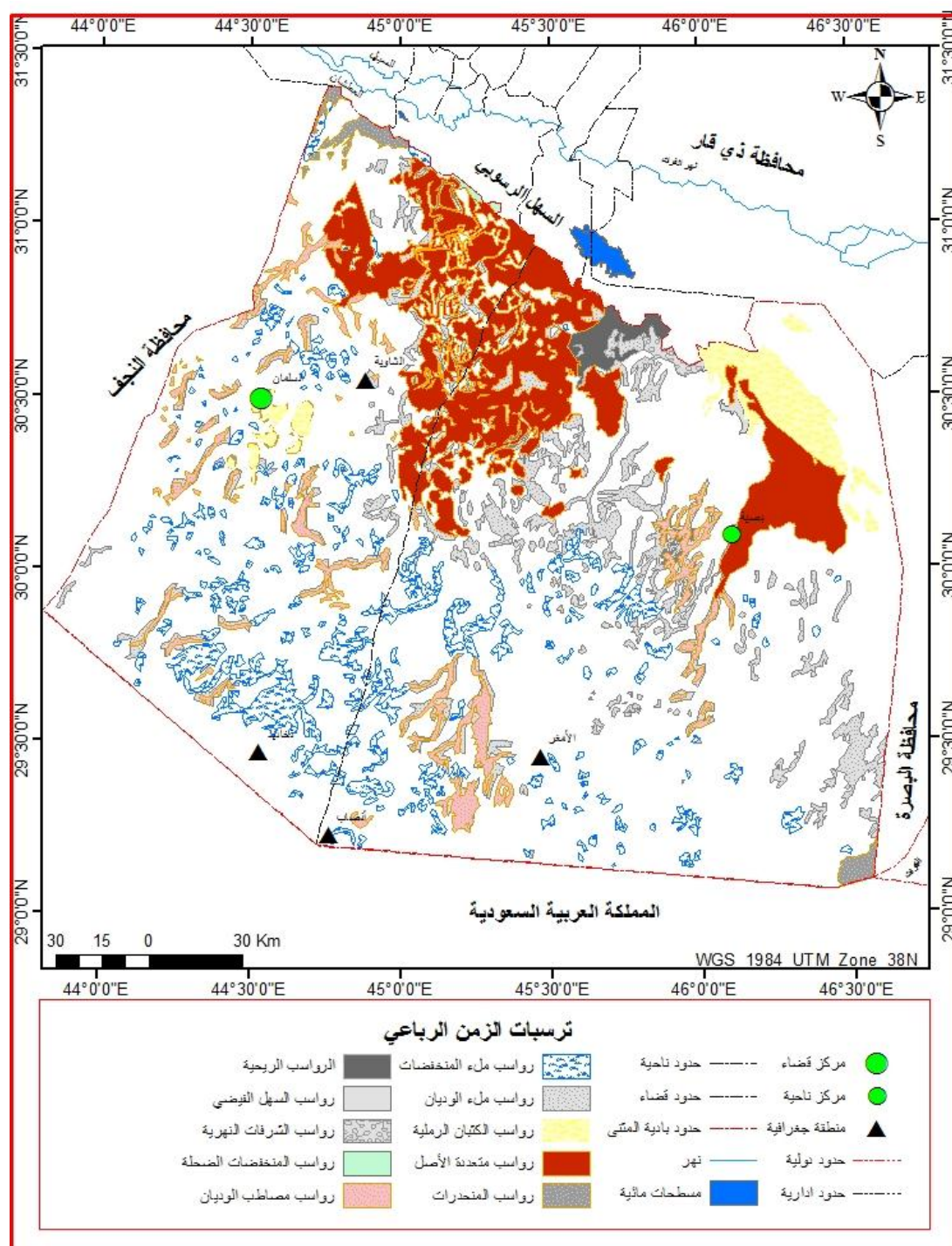
المصدر: الدراسة الميدانية بتاريخ 2022/1/21

4-رواسب متعددة الاصل **Polygenetic Deposits** (هولوسين بلايستوسين): تبلغ مساحة هذا التكوين (5622.2) كم² ونسبة (12.32) %، وتتوزع إلى الشمال من بادية المثنى بالقرب من منخفض الصليبات، ويتكون من (رمال وطين ملحي)، فضلاً عن فتات صخري متشطي، لا يتعدى سمك هذا التكوين (0.1) م.

(¹) رافد عبد النبي الصائغ، اسامة فالح عبد الحسن المكتوب، أثر الخصائص المورفومناخية في التوزيع المكاني للتربة الصحراوية في الهضبة الغربية (2007-2017)، مجلة اوروك، العدد 3، ج2، المجلد الخامس عشر، 2022 ص2268.

(²) Ajar et.al, 2012: 36 Ajar et.al, (1992) Ministry of Industry , Minerals Geological Survey and Mining, Geological Report, the Geology of Karbala ,scale 1:250 000, Baghdad.

خريطة (2-2) ترسبات الزمن الرباعي في بادية المثنى



المصادر:

- 1-وزارة الصناعة والمعادن ،الهيئة العامة للمسح الجيولوجي والتعدين خرائط جيولوجية (البصرة ، الناصرية ، سوق الشيوخ ، الرخيمة ، كربلاء ، النجف ،
- 2-وزارة الصناعة والمعادن ، الهيئة العامة للمسح الجيولوجي والتعدين،خريطة جيولوجية العراق،بمقياس 1:1000000،بغداد،2000

جدول (2-2) ترسبات الزمن الرباعي في بادية المثنى

النسبة %	المساحة كم ²	الترسبات الجيولوجية	الزمن الجيولوجي (الرباعي)
4.31	1978.3	رواسب ملء المنخفضات	هولوسين
0.43	200.6	رواسب ملء الوديان	هولوسين
0.85	385.2	رواسب الكثبان الرملية	هولوسين
12.32	5622.2	رواسب متعددة الاصل	هولوسين- بلايستوسين
1.53	699.2	رواسب المنحدرات	هولوسين- بلايستوسين
0.86	389.9	الرواسب الريحية	بلايستوسين
0.13	57.1	رواسب السهل الفيضي	هولوسين
0.25	110.4	رواسب الشرفات النهرية	بلايستوسين
1.19	544.1	رواسب المنخفضات الضحلة	هولوسين
0.53	240.6	رواسب مصاطب الوديان	بلايستوسين
	10227.6	المجموع	
22.4	45657.7	المساحة الكلية	

المصدر:- بالاعتماد على خريطة (2-2) وبرنامج Arc GIS 10. 2.2

5-رواسب المنحدرات Slope deposits (هولوسين-بلايستوسين) تتحصر في أقصى الجنوبي الشرقي، وبمساحة (699.2) كم²، وبنسبة (1.53) %، وهي رواسب من الحصى والرمل قد يصل ارتفاعها إلى (10) م⁽¹⁾.

6-الرواسب الريحية Sheet Run-off Deposits (بلايستوسين): كان للمناخ الجاف وتباين سرعة الرياح دور في تكوين هذه الترسبات، وهي متطابقة مع الاتجاه العام للرياح وتتكون من الكوارتز والسليكا، وتشغل مساحة محدودة من منطقة الدراسة تبلغ (389.9) كم² وبنسبة (0.86) %.

(1) Duraid B. Deikran (1995) Ministry of Industry , Minerals Geological Survey and Mining, Geological Report, The Geology of Suq Al-Shyukh, scale 1:250 000, Baghdad:14 .

7-رواسب السهل الفيضي Flood Plain Deposits (هولوسين): يغلب على ترسبات السهل الفيضي الرمل والطين والغرين ويكون حجم الرمل من الناعم إلى متوسط الحبيبات وذو لون رمادي والطين الغريني يكون في طبقات السهل الفيضي العليا⁽¹⁾، ويتراوح سمك طبقاته بين (2-4)م، تظهر هذه الترسبات إلى الجنوب من منخفض الصليبات ضمن حدود منطقة الدراسة، تبلغ مساحته الكلية (57.1) كم²، ونسبة (0.13) %.

8-الشرفات النهرية River Terraces Deposits (بلايستوسين): يغطي هذا التكوين مساحة (110.4) كم² ونسبة (0.25) %، وتتوزع بالقرب من منطقة الكثنان الرملية، وهي رواسب من الحصى المخلوط بالرمل، ويتراوح قطرها ما بين (20-5)سم، وهي صخور كاربونية⁽²⁾.

9-رواسب المنخفضات الضحلة Shallow Depression Deposits (هولوسين): تتوزع بمحاذاة السهل الرسوبي بمساحة (544.1) كم² ونسبة (1.19) %، وتكونت بفعل رواسب المنخفضات ومصاببات الاودية، أو بسبب فيضانات نهريّة سابقة.

10-رواسب مصاطب الوديان Valley Terraces (بلايستوسين): تغطي مساحة (240.6) كم² ونسبة (0.53) % من المساحة الكلية، وتتألف من (حصى وصخور رسوبية مغطاه بتربة محلية) .

2-1-2- التركيب البنيوي Tectonic Structural: ترتبط دراسة المقومات الجيومورفولوجية للتنمية المستدامة في بادية المثنى بالوضع البنيوي، لكونها اصل موارد التربة والمياه الجوفية والصخور وأنواعها، ولها دور في المخاطر الجيومورفولوجية، فضلاً عن دورها في طبيعية الطبقات الحاملة للمياه الجوفية، وتحديد مناطق الضعف التي تنفذ من خلالها مياه العيون مما يؤدي إلى تصريف المياه الجوفية من بادية المثنى تبعاً لوجود منظومة ابو الجبر، التي كونت مناطق الضعف وانحدار المياه نحو مصبات الوديان.

(¹) قيس جواد سعود ، رضا احمد محمد ، ، تقرير عن هيدروجيولوجيا وهيدروكيميائية بادية المثنى ،مصدر سابق ، ص7.

(²)Duraid B. Deikran (1995) Ministry of Industry , Minerals Geological Survey and Mining, Geological Report, The Geology of Suq Al-Shyukh, scale 1:250 000, , Baghdad:14 .

الفصل الثاني.....المقومات الجيولوجية لبادية المثنى ودورها في التنمية المستدامة

وتقع أغلب بادية المثنى ضمن الرصيف المستقر (حزام السلطان) وغير المستقر ضمن (حزام الزبير، حزام السماوة- الناصرية) إلى الشمال الشرقي من منطقة الدراسة، وتشمل بنيوية بادية المثنى من الاقسام الاتية بما توضحه خريطة (3-2) وجدول (3-2):

1-الرصيف المستقر (Stable Platform): يتمثل بنطاق بنيوي واحد(حزام السلطان):

أ- حزام السلطان: (Al-Salman Subzone): يشمل معظم بادية المثنى باتجاه عام (شمالي-غربي، جنوبي- شرقي)، وبمساحة (42583.7) كم² ونسبة (93.27)% من مجموع المساحة الكلية.

2-الرصيف غير المستقر (Unstable Platform): يشمل مجموعتين:

أ- حزام السماوة -الناصرية: يقع هذا الحزام ضمن الرصيف غير المستقر، إلى شمال غرب من حزام الزبير، ويشغل أقل المساحات تمثيلاً (388.12) كم² ونسبة (0.85)%.

ب-حزام الزبير (Zubair Subzone): يتألف من الصخور السجيلية الرملية والسلتية المتداخلة والمتبادلة، ويبلغ سمكه (280- 400)م ويعد هذا التكوين من أهم مصادر النفط والغاز في حقول جنوب العراق⁽¹⁾، يبلغ مساحته ضمن حدود منطقة الدراسة (2685.88) كم² ونسبة (5.88)%.

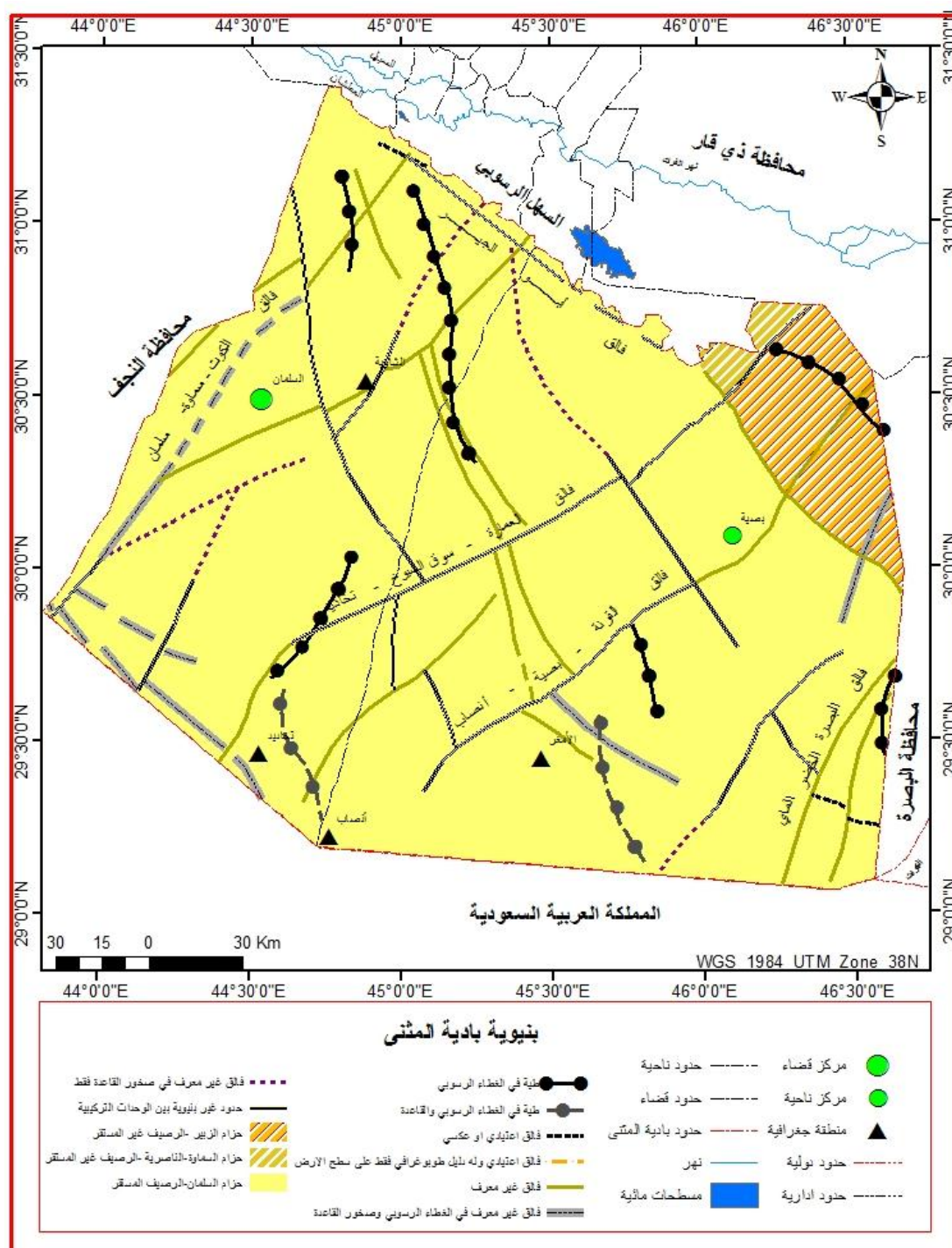
جدول (3-2) النطاقات التركيبية والنسب المئوية في بادية المثنى

النطاقات التركيبية	المساحة	النسبة المئوية	الوحدة الجيومورفولوجية
حزام السلطان/الرصيف المستقر	42583.7	93.27	نطاق السلطان-الحضر
حزام السماوة -الناصرية/الرصيف غير المستقر	388.12	0.85	نطاق السهل الرسوبي
حزام الزبير/ الرصيف غير المستقر	2685.88	5.88	
المجموع الكلي	45657.7	100	

المصدر: باعتماد خريطة (3-2) وبرنامج (Arc GIS 10.2.2) في حساب المساحات

(¹) عبد الله السياب وآخرون، جيولوجيا العراق، جامعة الموصل، مديرية دار الكتب للطباعة والنشر، 1982، ص90.

خريطة (2-3) بنيوية بادية المثنى



المصادر :

- 1-وزارة الصناعة والمعادن، الهيئة العامة للمسح الجيولوجي والتعدين، خريطة بنيوية العراق، بمقياس، 1:1000 000، بغداد، 2013.
- 2-القمر الأمريكي (Landsat 8)، مرئية (OLI)، دقة تمييزية 15، الحزم (5-7)، 2022.
- 3-وزارة الصناعة والمعادن، الهيئة العامة للمسح الجيولوجي والتعدين، خريطة بنيوية العراق، بمقياس، 1:1000 000، بغداد، 1996.

ومن خلال تحليل خريطة (2-3) يمكن تصنيف التراكيب البنيوية إلى ما يأتي:

1-الطيات: Folds : تحدث الطية الجيولوجية عندما تتحني الطبقات المرنة، بسبب القوى الضاغطة، وتختلف الطيات في الصخور في الحجم من التضرس ذات الامتداد المحدود إلى الطيات ذات الحجم الجبلي، وتشكل مجموعة الطيات الموزعة على نطاق إقليمي حُزماً مطوياً، وترتبط أحزمة الطي عادةً بحدود صفائح متقاربة وضغط موجه، وتعد منخفضات (الساعة، هدانية) الموجودة في القسم الشرقي أمثلة لهذا النوع من الطيات المقعرة، وتتمثل الطيات بـ:

أ- **طية في الغطاء الرسوبي:** يبلغ أطوالها (270.5) كم ونسبة (19.63) %، ويكون معظم اتجاهها شمالي غربي.

ب- **طية الغطاء الرسوبي والقاعدة:** يبلغ أطوالها (95.97) كم ونسبة (2.89) % وبعدد (3) طيات، ويكون أثنان منها باتجاه شمالي غربي وواحدة شمالي شرقي.

2-الفوالق: Faults : هي انقطاعات فيزيائية للصخور بسبب شدة الضغوط التكتونية، وتُعزى هذه الانقطاعات إلى الاسترخاء المفاجئ للطاقة المرنة المخزنة في الصخر والضغط الشديد المفاجئ⁽¹⁾، والفوالق الجيولوجية لها أهمية اقتصادية، إذ يوفر النفاذية اللازمة لهجرة وتراكم السوائل (المياه الجوفية، النفط)، وغالبًا ما تؤدي إلى ظهور رواسب خام أو عن طريق إعادة بلورة المعادن الأصلية.

أ- **فالق أبو جبر:** هو الفاصل التكتوني الذي يمثل الحدود الشمالية للمنطقة، ويفصل بين الهضبة الغربية والسهل الرسوبي، ويمتد بمسافة (80.32) كم وشكل نسبة (2.43) % من مجموع أطوال التراكيب الخطية في بادية المثنى.

ب- **فالق القرنة-بصية-أنصاب:** يمتد في وسط بادية المثنى باتجاه شمالي شرقي بطول (199.68) كم ونسبة (6.04) % من مجموع أطوال التراكيب الخطية.

ت- **فالق العمارة-سوق الشيوخ-تخايد:** يبلغ طول هذه التراكيب (202.51) كم ونسبة (6.11) % وباتجاه شمالي شرقي.

ث- **فالق الكوت-الساواة-السلمان:** يتقطع في اجزائه الوسطى ويكون امتداده من الجهة الجنوبية (الحدود السعودية) وحتى حدود بادية المثنى الشمالية (السهل الرسوبي) باتجاه شمالي شرقي، بطول (161.89) كم ونسبة (4.89) % من مجموع أطوال التراكيب الخطية.

(¹) Ralph M. Feather Jr, Dinah Zike, Earth Materials and Processes, United States of America, The McGraw-Hill Companies, 2005. P24.

الفصل الثاني.....المقومات الجيولوجية لبادية المثنى ودورها في التنمية المستدامة

ج- وهناك تراكيب أخرى منها اعتيادي أو عكسي وفالق له دليل طوبوغرافي فقط على سطح الأرض وفالق غير معرف وغير معرف في الغطاء الرسوبي وصخور القاعدة وآخر فالق غير معرف في صخور القاعدة فقط، يلاحظ جدول(2-4).

جدول(2-4) الفوالق والطيات في بادية المثنى

النوع	اصناف التراكيب الخطية	الطول كم	النسبة%
الطيات	حدود غير بنيوية بين الوحدات التركيبية	649.5	19.63
	طية في الغطاء الرسوبي	270.5	8.18
	طية في الغطاء الرسوبي والقاعدة	95.97	2.89
الفوالق	فالق أبو جبر	80.32	2.43
	فالق القرنة- البصية- أنصاب	199.68	6.04
	فالق العمارة -سوق الشيوخ-تخايد	202.51	6.11
	فالق الكوت-السماوة-السلمان	161.89	4.89
	فالق اعتيادي او عكسي	39.84	1.21
	فالق اعتيادي وله دليل طوبوغرافي فقط على السطح	190.72	5.77
	فالق غير معرف	943.89	28.51
	فالق غير معرف في الغطاء الرسوبي وصخور القاعدة	215.99	6.52
	فالق غير معرف في صخور القاعدة فقط	258.87	7.82
		3309.68	100
المجموع			

المصدر : الباحث باعتماد خريطة (2-3) وبرنامج (Arc GIS10.2.2) في حساب المساحات

1-الظواهر الخطية: Lineament : تكمن اهمية دراسة الظواهر الخطية من خلال دورها في تشكيل بعض الظواهر الجيومورفولوجية، فضلاً عن التنبؤ بمسارات ومكامن وحركة النفط والغاز والمياه الجوفية ومواقع الخامات المعدنية، وعن طريق تحليل المرئيات الفضائية تم تثبيت الظواهر الخطية على الخريطة وقياس أطوالها ومعرفة اتجاهاتها، وتستخرج الخطيات باستخدام الحزم(5-7) وبرنامج(PCI Geomatica 2017)، يلاحظ خريطة(2-4) و جدول(2-5) وشكل(2-1)، إذ بلغ اعداد الظواهر الخطية (51) ظاهرة، وتبين إن نسب تكرار الظواهر الخطية الشمالية الشرقية(43.14)% وإن نسبة تكرار الظواهر الخطية الشمالية الغربية (56.86)%، وبلغ المجموع الكلية لأطوال الظواهر الخطية (1791.49)كم، وإن نسبة أطوال الظواهر الخطية الشمالية الشرقية(45.67)%، في حين بلغت نسبة أطوال الظواهر الخطية الشمالية الغربية (54.33)%، ويلاحظ إن عدد الظواهر الخطية التي تتجه إلى الشمال الشرقي بالزاوية(51-60) بلغت (6) وهي تمثل أعلى نسبة (11.77)%، وبلغ مجموع أطوالها(196.66) كم ونسبة(11.29)%، وتقع في الجهة الشمالية الشرقية.

الفصل الثاني.....المقومات الجيولوجية لبادية المثنى ودورها في التنمية المستدامة

وتمثل الخطيات الشمالية الغربية التي تتجه بزاوية (121-130) أكثر عدداً، إذ بلغت (7) ونسبة (13.72) %، وسجلت أعلى طول لها في زاوية (111-120)، إذ بلغ (288.06) كم ونسبة (16.54) % من مجموع أطوال الظواهر الخطية.

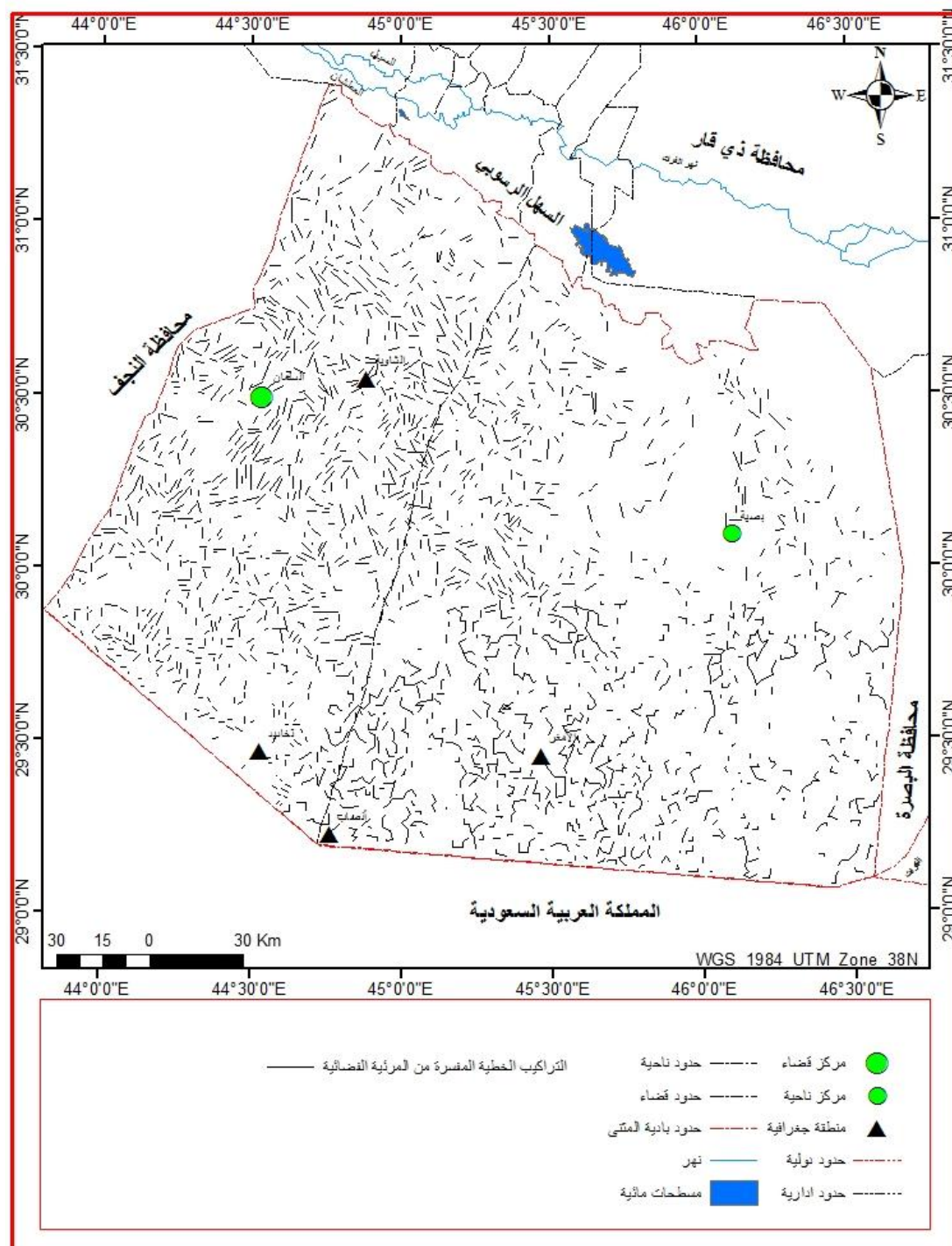
وإن النسبة المئوية لأعداد واطوال الظواهر الخطية الشمالية الغربية أعلى من الظواهر الخطية الشمالية الشرقية المتمثلة بالفالق الاعتيادي والعكسي والفالق غير المعروف الناتج عن الحركة التكتونية والضغط الشديد للقوى الأفقية، الناشئة من حركة (نجد-الأورجينية) والضغط الأفقي الشديد الناتجة عن تصادم اللوح العربي من جهة واللوحين الإيراني والتركي من جهة أخرى، أما ما يخص الظواهر الشرقية فهي نتيجة الحركة التقاربية للدرع العربي مع الدرع الأفريقي والذي تعد شبه الجزيرة العربية امتداد له، فضلاً عن التشوهات الضعيفة الناتجة عن عمليات الرفع التكتوني.

جدول (2-5) أعداد وأطوال الظواهر الخطية في بادية المثنى

التسلسل	الاتجاه بالدرجات	العدد	النسبة المئوية % من المجموع الكلي	الطول كم	النسبة المئوية % من الطول الكلي
شمالي شرقي					
1	10-0	1	1.96	3.23	0.19
2	20-11	1	1.96	25.36	1.46
3	30-21	1	1.96	105.36	6.05
4	40-31	1	1.96	50.03	2.88
5	50-41	5	9.81	183.96	10.57
6	60-51	6	11.77	196.66	11.29
7	70-61	4	7.84	148.43	8.52
8	80-71	2	3.92	61.2	3.51
9	90-81	1	1.96	21.06	1.2
شمالي غربي	المجموع	22	43.14	795.29	45.67
1	100-90	1	1.96	19.16	1.11
2	110-101	2	3.92	21.73	1.25
3	120-111	3	5.88	288.06	16.54
4	130-121	7	13.72	94.63	5.44
5	140-131	5	9.81	114.3	6.56
6	150-141	2	43.92	137.46	7.89
7	160-151	4	7.85	87.53	5.02
8	170-161	3	5.88	106.7	6.12
9	180-171	2	3.92	76.7	4.4
	المجموع	29	56.86	946.27	54.33
	المجموع الكلي	51	100	1741.56	100

المصدر: باعتماد خريطة (2-4) وبرنامج (Arc GIS10.2.2) وبرنامج (PCI Geomatica 2017)

خريطة (2-4) التراكيب الخطية في بادية المثنى

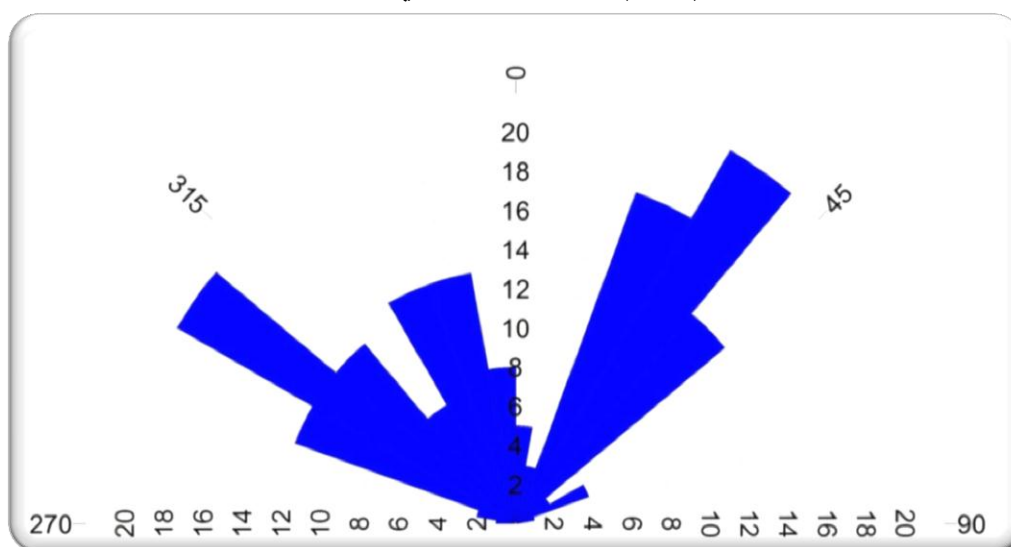


المصادر: بالاعتماد على:

1- القمر الأمريكي Landsat 8 مرئية OLI الحزم (5-7)، بدقة 30م، 2022.

2- برنامج PCI Geomatica 2017

شكل (2-1) المخطط الاتجاهي للظواهر الخطية



المصدر: باعتماد برنامج (Arc GIS10.2.2) وبرنامج (PCI Geomatica 2017)، وجدول (2-5)

وتكتسب أهمية دراسة هذه التراكيب في الكشف عن مكامن النفط والمياه الجوفية وتحديد مناطق الضعف لتوجيه مياه السيول الى الخزانات الجوفية، ويعد نظم المعلومات الجغرافية والاستشعار عن بعد أحد أهم طرق الكشف عن مكامن تواجد النفط، إذ توفر العوامل التركيبية والصخرية والطباقية الموجودة في اطار الأراضي قيد الدراسة والملاءمة لتكوين مناطق تراكمات المياه الجوفية، وكذلك حقول ومكامن البترول والغاز، فضلاً عن تواجد التراكيب الجيولوجية الظاهرة على السطح كالطيات المحدبة والقباب والفوالق ومعرفة ميل الطبقات واتجاه ميلها وكذلك مراقبة تواجد النضوحات النفطية التي قد تظهر على السطح في بعض الأحيان، والتراكيب الخطية مواقع ضعف في البنية الجيولوجية وهي مؤشراً مهماً للكشف عن مناطق التشققات والصدوع والطيات، ويتم الاستدلال على كثافة هذه التراكيب باستخدام أداة (Density Line) من صندوق أدوات برنامج (Arc GIS 10.2.2) لتنتج خريطة توضح شدة تركيز التراكيب الخطية، وتحسب الكثافة الخطية من أطوال وكثافة التراكيب الخطية ضمن وحدة المساحة، ومن خلال تحليل خريطة (2-5) وجدول (2-6) نستنتج ما يأتي:

1- كثافة خطية قليلة جداً: يحتاج الكشف عن الطيات والصدوع في هذه المنطقة إلى مرئيات دقيقة، ويرجع قلة الكثافة الخطية في هذه المنطقة إلى تأثير الرواسب التي حملتها السيول في المواسم المطيرة وضمت أجزاء من بصية وأجزاء من المناطق الشمالية ومنطقة محدودة تقع إلى شمال تخايد، وشغلت هذه الفئة مساحة (7713.43) كم² ونسبة (16.9)%.

2- كثافة خطية قليلة: تتوزع هذه المنطقة في أغلب مناطق بادية المثني بمساحة (14816.84) كم² (32.45)%.

الفصل الثاني.....المقومات الجيولوجية لبادية المثنى ودورها في التنمية المستدامة

3- كثافة خطية متوسطة: تشغل مساحة (11945.05) كم² ونسبة (26.16) %، وتكثر في هذه المناطق التشققات والصدوع عن الفئة السابقة وتتنوع في العديد من اجزاء منطقة الدراسة.

4- كثافة خطية عالية: نظم كثافة عالية للتراكيب الخطية تؤثر على مسارات الأودية، وتشغل مساحة (9141.22) ونسبة (20.02) %، وهي من المناطق المرشحة لوجود المكامن النفطية.

5- كثافة خطية عالية جداً: شغلت هذه الفئة مساحة (2041.16) كم² ونسبة (4.47) %، ويستدل من خلال هذه الفئة على شدة كثافة التراكيب الخطية وتقاربها وتتنوع هذه الفئة في المنخفضات، ويمكن ملاحظة ان هناك تركيز للتراكيب الخطية في المناطق الغربية، ويستدل من ذلك إلى وجود حقول محتملة ولا سيما في بادية السلمان.

ويجدر الإشارة إلى إن من المتوقع وجود كميات هائلة من الغاز الطبيعي المصاحب في بادية المثنى، والذي يعول عليه مستقبلاً في بناء اقتصادي محلي ووطني، إذ يعد من الثروات الطبيعية المهمة والعمود الفقري لاقتصاد بعض الدول، فضلاً عن كونه يصاحب وجود المكامن النفطية.

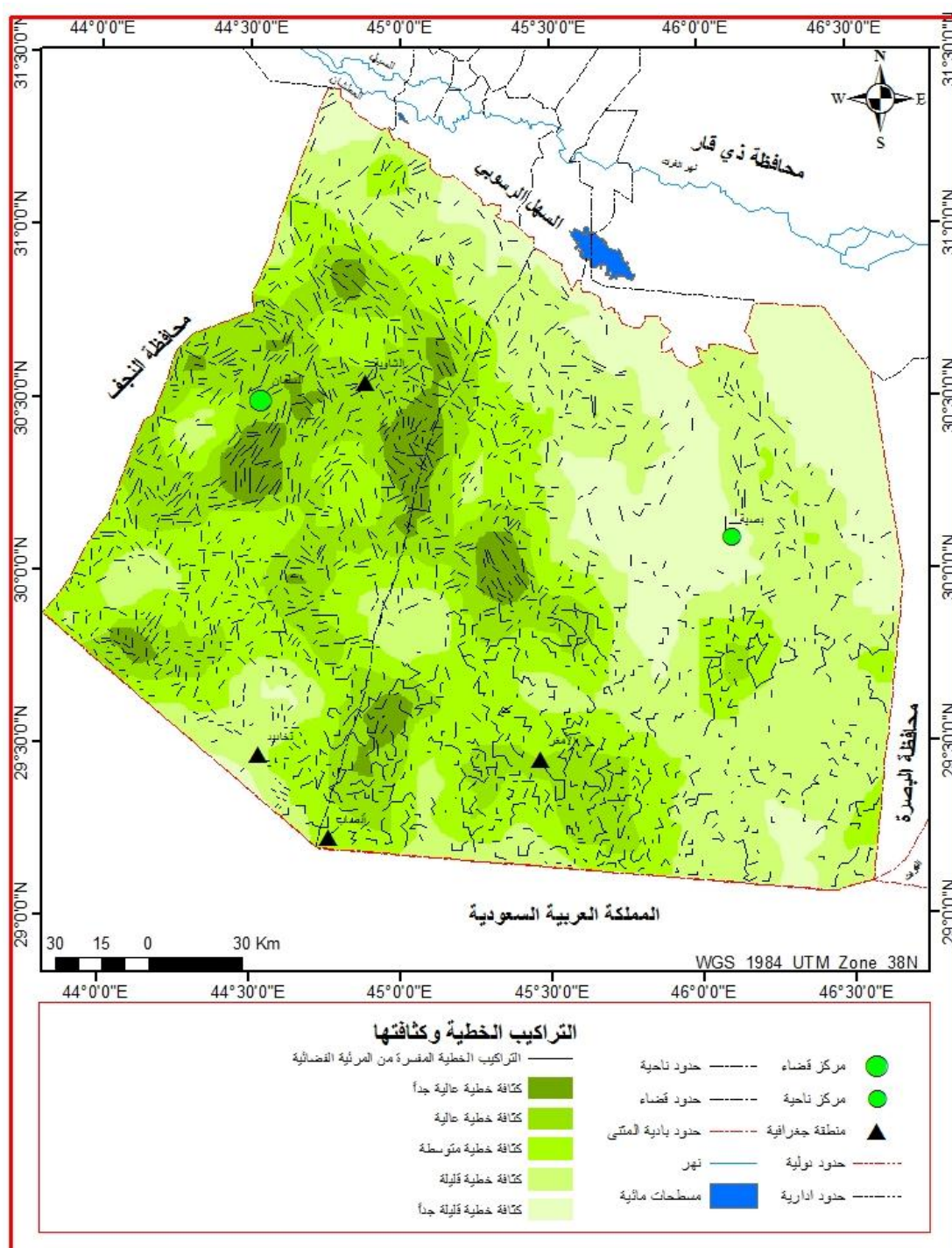
جدول (2-6) مساحة ونسبة التراكيب الخطية في بادية المثنى

التسلسل	الفئة	المساحة كم ²	النسبة المئوية %
1	كثافة خطية قليلة جداً	7713.43	16.9
2	كثافة خطية قليلة	14816.84	32.45
3	كثافة خطية متوسطة	11945.05	26.16
4	كثافة خطية عالية	9141.22	20.02
5	كثافة خطية عالية جداً	2041.16	4.47
	المجموع	45657.7	100

المصدر : الباحث باعتماد خريطة (2-5) وبرنامج (Arc GIS10.2.2) في حساب المساحات

2-2-3- السطح: The Surface : تأتي أهمية دراسة معالم السطح او المظهر الطبوغرافي والمنحدرات باعتبارها أهم الأنظمة الجيومورفولوجية نتاجاً للعديد من المظاهر الأرضية المختلفة الناتجة عن زحف المواد الصخرية والرواسب والانزلاقات الأرضية والسقوط الصخري التي تحدث نتيجة الجاذبية كعامل رئيس، فالانحدار يعمل على التحكم في اتجاه المسالك والمجاري المائية وحركة التربة باتجاه الاراضي المنخفضة ولا سيما في بطون الوديان ومن ثم تكوين ترب خصبة يمكن استغلالها في الزراعة، وتوفير فرص عمل وزيادة إيرادات المحافظة، فضلاً عن تثبيت التربة المزروعة، وتعد هذه المناطق من افضل المناطق

خريطة (2-5) كثافة التراكيب الخطية في بادية المثني



المصادر: بالاعتماد على:

1-خريطة (2-4)

2-القمر الأمريكي (Landsat 9)، مرئية (OLI)، دقة تمييزية 15، الحزم (7)، 2022.

التي يمكن استغلالها بسبب جودة تربتها وقربها من المياه الجوفية، وسوف يتم تناول هذا الموضوع ضمن الفصل (السابع).

2-3- دور المقومات الجيولوجية في التنمية المستدامة في بادية المثني:

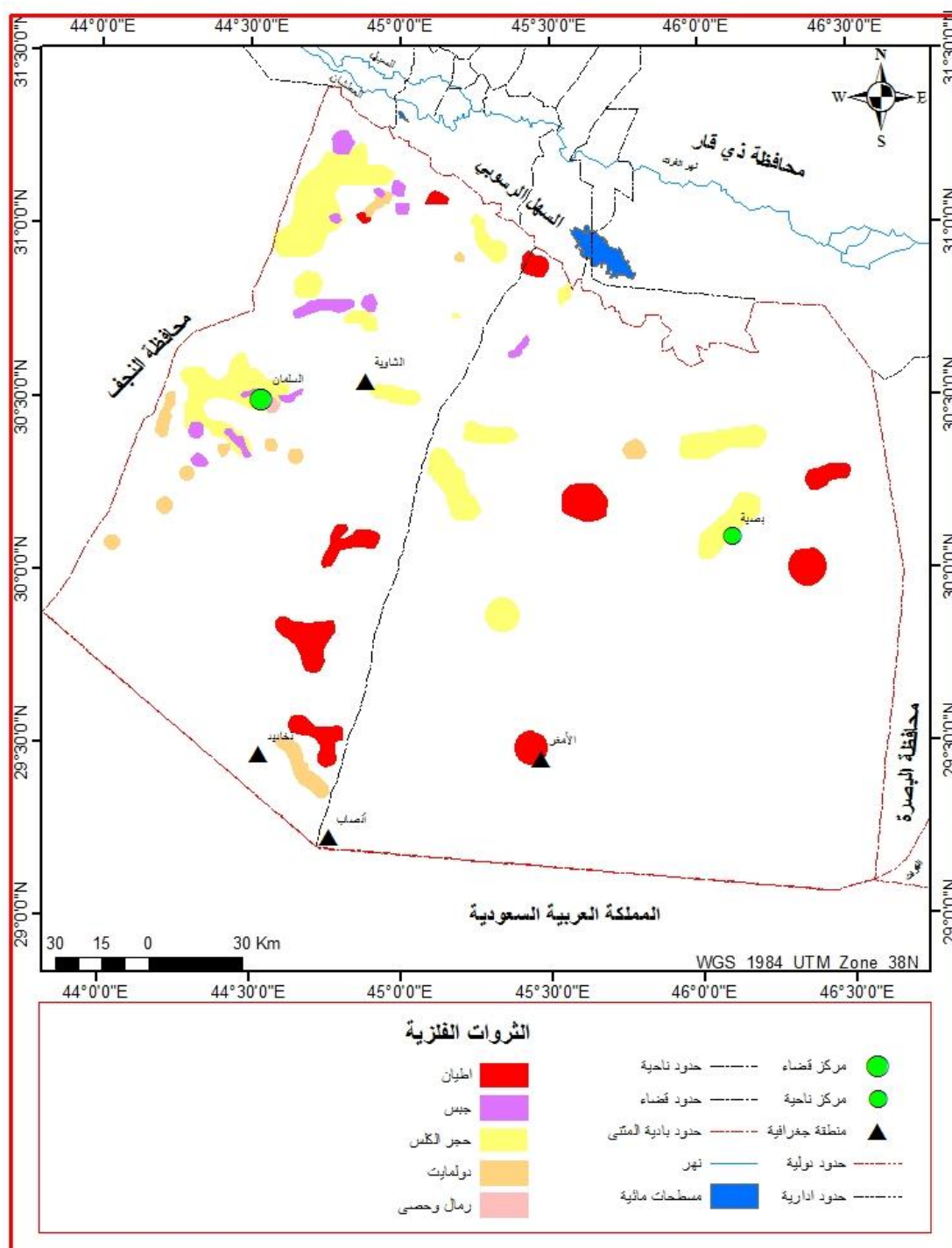
للمقومات الجيولوجية دور في طبيعة ونمط التنمية المستدامة لبادية المثني، من خلال نمط استغلال الأرض ونوعية الخامات المتوفرة، وقد تحوي الطبقات الجيولوجية على تراكيب تحوي ثروات معدنية قد تسهم في تغيير نمط الاستغلال والتوجه بقوة نحو استثمار المنطقة.

2-3-1- دور المقومات الجيولوجية في التنمية الصناعية المستدامة:

يمكن هذا الدور من خلال تحديد طبيعة الصخور وبنيتها، ومن ثم أنواع المعادن المتاحة للاستثمار الصناعي والقدرة على الانتاج، كما وتعد بالغة التأثير في التوطن الصناعي.

وتتسم منطقة الدراسة بتوفر العديد من التكوينات الجيولوجية التي يمكن استثمارها حالياً ومستقبلاً، يلاحظ خريطة (2-6)، وجدول (2-7)، ورُتبت الخامات المعدنية والصخور الصناعية حسب تسلسل الازمنة الجيولوجية، يلاحظ جدول (2-8) وجدول (2-9)، وتضم منطقة الدراسة العديد من أصناف الثروة المعدنية، فضلاً عن الاحتياطيات الوفيرة ولاسيما المعادن اللافلزية التي تعد مرتكزات للتنمية المستدامة والتوطن الصناعي في بادية المثني، ومن اهم أنواعها (حجر الكلس والدولمايت والرمل والحصى والاطيان والجبس) فضلاً عن النفط، يلاحظ خريطة (2-7) وتتنوع على مواقع مختلفة، ويشغل حجر الكلس مساحة (2139.9) كم²، ونسبة (58.62) %، في حين بلغت المساحة المشغولة من الرمل والحصى (16.35) كم² ونسبة (0.44) %، وشغل الجبس مساحة (262.58) كم² ونسبة (7.19) %، في حين شغلت الاطيان مساحة (262.58) كم² ، ونسبة (7.19) %، وشغل الدولومايت مساحة (902.54) كم²، ونسبة (24.72) % من المساحة الكلية لبقية الثروات اللافلزية، وقد بلغ احتياطي بادية المثني من معادن (حجر الكلس والرمل والحصى والجبس والأطيان والدولومايت) بحدود (676 ، 100 ، 150000 ، 45 ، 270) مليون /طن على التوالي.

خريطة (2-6) التوزيع المكاني للثروات اللافلزية في بادية المثنى



المصادر: بالاعتماد على:

- 1-وزارة الصناعة والمعادن ، الشركة العامة للمسح الجيولوجي والتعدين ، قسم الاستثمار المعدني ، خريطة الشواهد المعدنية في محافظة المثنى ، بمقياس 1-50000 ، بغداد ، 2012.

جدول(2-7) الخامات المعدنية اللافلزية واحتياطاتها في بادية المثنى

المعدن	الموقع الجغرافي	حجم الاحتياطي (مليون/طن)	نوع الصناعة	المساحة/ كم ²	النسبة %
حجر الكلس	السلمان ،الشاوية، بصرية،(ومناطق اخرى)	676	الإسمنت ، الصناعات الانشائية	2139.9	58.62
الرمل والحصي	ابو غار ، السلمان	100	الابنية الجاهزة للبلط ، الرخام	16.35	0.44
الجبس	الاجزاء الشمالية الغربية ، قرب السلمان	150000	الإسمنت ، الجص	262.58	7.19
الأطيان	منخفض الصليبات ، الأمغر ،تخايد، وفي اقسام اخرى	45	الإسمنت ، الطابوق	902.54	24.72
الدولومايت	السلمان، تخايد،انصاب ، واجزاء اخرى	270	الفولاذ ، الطابوق الناري ، صناعة الزجاج	328.83	9.03
المجموع				3650.2	100

المصادر: بالاعتماد على :

- 1- جمهورية العراق، الهيئة العامة للاستثمار، هيئة استثمار المثنى، قسم المتابعة، بيانات غير منشورة، 2021 .
- 2- جمهورية العراق وزارة التخطيط، دائرة التنمية الإقليمية والمحلية، مديرية تخطيط المثنى، محافظة المثنى، بيانات عن .البادية غير منشورة، 2018 ، ص5 .
- 3-بالاعتماد خريطة (2-6) وبرنامج Arc GIS 10. 2.2 في حساب المساحات.

جدول (2-8) نوع الخامات والصخور الصناعية المترسبة في (بادية المثنى) حسب العصور الجيولوجية(الزمن الثلاثي)

الزمن	العصر	اسم التكوين الجيولوجي	نوع الخامات والصخور الصناعية
الزمن الثلاثي	باليوسين الاعلى	تكوين ام أرضمة	حجر رملي كوارتيزي، حجر كلس دولومايتي، حجر جيرى عالي التبلور
	بلايوسين - بلايستوسين	تكوين الزهرة	حجر جيرى، رملي، حجر رملي، حصوي، غرين ،كلس طفلي، حجر كلس
	أيوسين الاسفل	الدمام الاسفل	حجر كلس طيني حجري، حجر طباشيري، صخور جيرية
	أيوسين الاوسط	الدمام الاوسط	
	أيوسين الاعلى	الدمام الاعلى	
	بلايوسين - بلايستوسين	تكوين الدببة	حجر رملي حصوي، حجر جيرى رملي ورملي ومارل مع تكوينات مفككة
	المايوسين الاسفل	تكوين الغار	أحجار ملحية، أحجار جيرية، حجر طيني رملي، حصى، الجبس، الطين
	المايوسين الاوسط	تكوين النفايل	القسم الاسفل : طبقات رسوبية من الطفل الاخضر المتعاقب مع الحجر الجيري وعلى متحجرات من المحار . القسم العلوي : تتعاقب صخور من الطين والغرين وذات اللون الاحمر والبني مع طبقات خفيفة جداً من الاحجار الجيرية في أجزائه السفلى
	المايوسين الاسفل	تكوين الفرات	حجر جيرى، حجر رملي، حصى، متحجرات

المصدر : بالاعتماد:

- 1-كريم محمد حسن وآخرون، التقرير الجيولوجي لرقعة السلطان لوحة(جي ام) 36 مقياس 1:250000 ، المنشأة - العامة للمسح الجيولوجي والتعدين، 1995 ، ص 3- 5.
- 2-ماجد عبد الأمير كاظم وآخرون، تقرير فني عن مسح لمكونات التربة والطبقات الجيولوجية في محافظة المثنى، تقرير - الشركة العامة للمسح الجيولوجي والتعدين، قسم الجيولوجيا، شعبة المسح الجيولوجي، بغداد، 2011 ، ص 14- 15.

جدول (2-9) نوع الخامات والصخور الصناعية المترسبة في (الزمن الرباعي)

الزمن	العصر	اسم التكوين الجيولوجي	نوع الخامات والصخور الصناعية
الزمن الرباعي	هولوسين	رواسب ملء المنخفضات	طين، غرين، رمل، ترسبات ريفية، فتات حجري
	هولوسين	وروااسب ملء الوديان	
	هولوسين	رواسب الكثبان الرملية	الغرين والرمل
	هولوسين - بلايستوسين	رواسب متعددة الاصل	رمال وطين ملحي) ، فتات صخري متشطي
	هولوسين - بلايستوسين	رواسب المنحدرات	الحصى والرمل
	بلايستوسين	الرواسب الريفية	الكوارتز
	هولوسين	رواسب السهل الفيضي	الرمل والطين والغرين
	بلايستوسين	رواسب الشرفات النهرية	الحصى المخلوط بالرمل
	هولوسين	رواسب المستنقعات الضحلة	طين ، طمي ، رمل ، حصى
	بلايستوسين	رواسب مصاطب الوديان	حصى وصخور رسوبية مغطاه بتربة محلية

المصدر : بالاعتماد على:

- 1-كريم محمد حسن وآخرون، التقرير الجيولوجي لرقعة السلطان لوحة (جي ام) 36 مقياس 1:250000 ، المنشأة - العامة للمسح الجيولوجي والتعدين، 1995 ، ص 3-5.
- 2-ماجد عبد الأمير كاظم وآخرون، تقرير فني عن مسح لمكونات التربة والطبقات الجيولوجية في محافظة المثنى، تقرير - الشركة العامة للمسح الجيولوجي والتعدين، قسم الجيولوجيا، شعبة المسح الجيولوجي، بغداد، 2011 ، ص 14-15.

[illegible]

الصناعي، وعرض هذه الفرص الاستثمارية على شركات محلية أو عالمية رصينة (مع وضع شرط تشغيل الأيدي العاملة المحلية)، ويمكن تقسيم المعادن في منطقة الدراسة إلى:

1-المعادن الثقيلة:

تشمل ترسبات المعادن ذات الكثافات العالية والمقاومة لظروف التآكل والاحتكاك، إذ يمكن أن تحوي الرسوبيات والكتبان الرملية على مؤشرات اقتصادية مهمة، وبلغ معدل المعادن الثقيلة في الترسبات الحديثة (1.14) % ، في حين يصل إلى (3.9) % في الكتبان الرملية ⁽¹⁾.

ويمكن تقسيم المعادن الثقيلة إلى قسمين:

أ- المعادن المعتممة (Opaque Minerals):

تحتوي هذه المعدن على نسبة من الحديد ، وهي احياناً تميل إلى اللون الأسود أو البني، يلاحظ صورة (2-4) ، وقد بلغ نسبة هذه المعادن للترسبات الحديثة (37.3) % ، أما نسبتها ضمن الكتبان الرملية (38.3) % ⁽²⁾.

ب-المعادن غير المعتممة (Non-Opaque Minerals):

يمكن من خلال جدول (2-10) ملاحظة التباين في نسبة المعادن الثقيلة من الترسبات الحديثة والكتبان الرملية، إذ بلغ معدن الزركون اعلى نسبة ضمن الترسبات الحديثة (19.3) % في حين بلغت النسبة ضمن الكتبان الرملية (5.54) % ، ويعد معدن الزركون من المعادن المستقرة بسبب مقاومته لمختلف عمليات التجوية، وبلغت أدنى نسبة ضمن الترسبات الحديثة التورمالين (0.12) %.

(¹) ماجد عبد الأمير كاظم وآخرون، تقرير فني عن مسح لمكونات التربة والطبقات الجيولوجية في محافظة المثلث، تقرير - الشركة العامة للمسح الجيولوجي والتعدين، مصدر سابق ، ص 207.

(²) ماجد عبد الأمير كاظم وآخرون، المصدر نفسه، ص 64-27.

صورة(2-4) احجار ترتفع بها نسبة الحديد (منطقة الساعة)



30° 20' 59.25" N 44° 30' 16.41" E

المصدر: الدراسة الميدانية بتاريخ 2022/1/21

2-الصخور الكلسية:

تحتوي على نسبة عالية من كاربونات الكالسيوم (CaCO_3) وهو من اصل بحري، وتنتشر هذه الصخور ضمن تكوين الدمام، ويتميز هذا باللون الرصاصي إلى رصاصي مصفر، ويتباين سمك طبقاته من مكان إلى اخر وهو عموماً ليس كبيراً ففي تكوينات الدمام تتراوح ما بين (7-12)م⁽¹⁾، وتدخل الصخور الكلسية في العديد من الصناعات ك (صناعة الورق، الصناعات الكيميائية ، ولأغراض البناء ، رصف الطرق) فضلاً عن اهميتها في صناعة الجص بأنواعه المختلفة وصناعة الإسمنت، إذ تعد هذه الصخور من المواد الاولية الرئيسة في هذه الصناعة، وتشكل نسبة (70)% من مجمل المواد الاولية الداخلة في هذه الصناعة، وتعد المنطقة من المناطق المهمة في توفير المواد الاولية الانشائية لتمويل معامل الاسمنت ، ومن ثم توفير فرص العمل المناسبة في داخل محافظة المثنى، وتحتوي اراضي بادية المثنى ثروات هائلة، كالإسمنت الابيض ولا سيما في المراحل الاخيرة من انتاجه، إذ يدخل في صناعة الخزف والرخام وفي إنتاج حامض الكبريتيك، فضلاً عن دخوله في صناعة الأسمدة الكيميائية، واستخدامه في تغليف الابنية بعد تنظيفه وصقله وتحويله إلى أحجار صالحة للبناء والديكور، وفي صناعة الاصباغ وصهر المعادن ويدخل في اعمال الطرق والسكك الحديدية، وتوجد في المحافظة ثلاث معامل لصناعة الاسمنت (معمل اسمنت السماوة ومعمل الدوح ومعمل اسمنت الجنوب بالقرب من مدينة السماوة).

(¹) ماجد عبد الامير كاظم وآخرون ،المسح لمكونات التربة والطبقات الجيولوجية في ناحية بصية ، مصدر

سابق ، ص35.

جدول (2-10) المعادن غير المعتمة ونسبتها من الترسبات الحديثة والكثبان الرملية

(المعادن الثقيلة)

نسبته في المعادن الثقيلة		اسم المعدن المعتم
الكثبان الرملية (%)	الترسبات الحديثة (%)	
5.54	19.3	الزركون Zircon
5.67	0.12	التورمالين Tourmaline
1.3	4.5	الروتابل Rutile
(5.77-17.6) على التوالي	(2.72-11.3) على التوالي	مجموعة البايروكسين Pyroxenes الكلاينوبايروكسين الأورثوبايروكسين
6.6	2.69	الهورنبلند Hornblende
4.76	1.2	مجموعة الزيوسايت-إبيدوت Epidote Zeolite-
5.47	1.71	الغارنيت Garnet
2.13	1.9	الشتورولايت Staurolite
2.35	1.7	الكلوريت Chlorite
1.56	1.1	السلسايت Celestine
0.56	0.43	البايوتايت Biotite
1.35	0.93	المعادن المتغيرة Alterite Minerals

المصدر : بالاعتماد على ماجد عبد الأمير كاظم وآخرون ، تقرير فني عن مسح لمكونات التربة والطبقات الجيولوجية في محافظة المثنى ، تقرير الشركة العامة للمسح الجيولوجي والتعدين ، قسم الجيولوجيا ، شعبة المسح الجيولوجي ، حزيران ، 2011، ص31-64.

ويتوفر الجبس في أغلب تكوينات المنطقة، وهو مغطى بترسبات الزمن الرباعي، ويتباين سمكها ضمن التكوينات الحاوية عليها، وقد يصل إلى (120) م ضمن تكوين الدمام، وقد ينكشف هذا التكوين بفضل شدة عمليات التعرية المائية ولا سيما في الجهات العليا من الأحواض، وبذلك تؤدي التعرية هنا دور مهم في الكشف عن هذا التكوين وإزالة ترسبات الزمن الرباعي، وتسهم في التقليل من تكاليف استخراج واستثماره، وتوجد هناك بعض مقالع حجر الكلس وتستثمر من قبل المستثمرين وعلى شكل عقود حكومية أو بشكل غير رسمي، ومن أهم مناطق تجمعات الصخور الكلسية ضمن منطقة الدراسة (حول منخفض السلطان، شمال وغرب ناحية بصية، شمال قضاء السلطان)، وهذا مؤشر جيد نحو بناء قاعدة صناعية في منطقة الدراسة.

3-الأطيان :

تنتشر ضمن تكوينات (النفائل، الغار،الدمام) فضلاً عن أغلب ترسبات الزمن الرباعي، وهي ملاءمة لصناعة الإسمنت⁽¹⁾، وتنتشر هذه الاطيان (شرق وجنوب ناحية بصية ضمن تكوين الغار والنفائل ، فضلاً عن جنوب قضاء السلمان ، ضمن الفيضات وملء الوديان).

4-صخور الدولومايت:

تستخدم هذه الصخور في العديد من الصناعات منها، صناعة الزجاج وصناعات البتروكيميائيات وصناعة الإسمنت الأبيض، فضلاً عن استخدامه في أعمال البناء المختلفة، وله استخدامات في المجال الزراعي (تحسين التربة)⁽²⁾، وتتكون هذه الصخور من كربونات الكالسيوم والمغنيسيوم، وتتواجد هذه الصخور في تكوين أم أرضمة والزهرة والدمام من بادية المثنى، ويتراوح سمك هذه الطبقات ما بين (0.5-4.5) م، اما سمك الطبقة الغطائية فيتباين تبايناً شديداً فيها ومن مقطع إلى آخر، إذ يتراوح سمك الطبقة الغطائية ما بين (0.0-14)م فوق مستوى سطح الارض⁽³⁾، وتواجد هذا النوع من الصخور بشكل مكشوف او مغطى برواسب من الزمن الرباعي ، يلاحظ صورة(2-5) .

5-الصخور الجبسية:

تنتشر بشكل واسع في بادية المثنى، وهي متبخرات من كبريتات الكالسيوم المترسبة من جراء عمليات التبخر ضمن البيئات الجافة، ويتزامن وجوده مع الحجر الجيري والدولومايت والطين، ويتداخل مع معدن الانهيدرايت وبفعل عمليات التجوية والتميو يتحول الانهيدرايت إلى جبس، ويترك الجبس اثراً سيئاً على الجانب الزراعي، لكنه يعد مورداً مهماً إذ يمكن أن توفر موارد مهمة وفرص عمل لا يستهان بها، وتدخل هذه الصخور في العديد من الاستخدامات ومن اهمها صناعة الجص، ويضاف إلى خلطة الاسمنت لتنظيم سرعة تصلبها، ويعد مخفضاً لنسبة الملوحة في التربة (سماد)، ويدخل في صناعة الاصباغ

(¹) ماجد عبد الأمير كاظم وآخرون، المسح لمكونات التربة والطبقات الجيولوجية في ناحية بصية،مصدر سابق ، ص64-42.

(²) طلال مصطفى قاضي ، المعادن والصخور الصناعية ، كلية علوم الارض ، جامعة الملك عبد العزيز ، بحث منشور 2010 ، ص807.

(³) ماجد عبد الأمير كاظم وآخرون ،المسح لمكونات التربة والطبقات الجيولوجية في ناحية بصية، مصدر سابق، ص35.

والصمغ ، وتتواجد صخور الجبس مغطاة بترسبات الزمن الرباعي بسمك يتراوح ما بين (0.5-1.5) م ⁽¹⁾.

صورة (2-5) جانب من حجر الدولومايت (منطقة الوجاجية)



30° 21' 59.26" N 44° 31' 16.42" E

المصدر: الدراسة الميدانية بتاريخ 2022/1/21

6-المواد الانشائية :

تعد الترسبات التي يمكن استخدامها في مجال صناعة المواد الانشائية ذات قيمة اقتصادية بسبب تعدد استخداماتها، وهي بذلك تعد فرصة استثمارية لتشغيل اليد العاملة سواء في المراحل الاولى لعملية استثمارها أم في المراحل الاخرى اي في مرحلة البناء والاعمار، فضلاً عن طبيعية الموارد الاقتصادية التي تسهم في دعم الناتج المحلي لمحافظة المثنى، وتنتشر المواد الانشائية من حصى ورمل وجماميد بكثرة في بادية المثنى، وتظهر على شكل ترسبات متجمعة في بطون الاودية الرئيسة بفعل عوامل التعرية المائية، وتوجد مكونات الحصى مختلطة مع الرمل في تكوينات المدرجات النهرية، وتتكون الرواسب الحصوية من حبيبات منفردة تختلف في احجامها بفعل الفرز التفاضلي، وتتميز مكاشف الحصى والرمل في تكوين الدمام باللون الاسمر الداكن، وينتشر الحجر الرملي في مناطق متفرقة من بادية المثنى، ويتباين سمك هذه الترسبات في احجامها واشكالها ابتداءً من الحصى الناعم الذي يتمركز في مصبات الاودية وانتهاءً بالحص الخشن والجماميد في الاجزاء العليا من احواض الاودية وجوانبها وبتونها، يلاحظ صورة(2-6)، وعلى جوانب الاودية توجد رواسب من الحصى والرمل الناعم، التي تشير وبوضوح إلى طبيعة الازمنة المطيرة ودورها في

(¹) طلال عبد الحسين عبد الكريم ، رواسب الحصى والرمل في العراق ، الشركة العامة للمسح الجيولوجي والتعدين ، بغداد ، رقم التصنيف 1979، ص10.

تكوين هذه الترسبات، ويتباين سمك هذه الترسبات من مكان إلى آخر، ويتراوح سمك ترسبات الرمل في الجهات الدنيا من الوديان ما بين (3-7) م، في حين نلاحظ ان سمك ترسبات الحصى في الاجزاء الوسطى من الوديان ما بين (1-3.5) م، اما ترسبات الجلاميد التي يكون مقرها في الجهات العلوية من وديان منطقة الدراسة فيتراوح سمكها بين (0.5-2) م، وللحصى استخدامات متعددة فهو يدخل ضمنيا في هياكل المباني وفي الاستخدامات الواسعة في اعمال السدود والري والتبليط⁽¹⁾، فضلاً عن استخدامات اخرى، يلاحظ جدول(2-11).

صورة(2-6)رواسب الجلاميد (اعالي وادي نهيلان)



29° 18' 41.72" N 44° 39' 34.24" E

المصدر: الدراسة الميدانية بتاريخ 2022/1/21

ويعد الحصى من المواد الاساسية في اعمال الخرسانة وقوتها تعتمد على طبيعتها (الفيزيائية والكيميائية)، منها انخفاض نسبة الشوائب والمواد الناعمة كالطين والغرين والمواد العضوية التي تعمل على ضعف تلاحم حبيبات الخرسانة، وتتماز حبيبات الرمل والحصى بتمائل أحجامها نسبياً، وكروية وخشونة سطحها، فضلاً عن متانة حبيبات الحصى والرمل وقلة الشقوق والفواصل فيها⁽²⁾، وعند تطبيق هذه المعايير على رواسب منطقة الدراسة نجد ان هذه الموصفات القياسية لا تنطبق على رسوبيات منطقة الدراسة بسبب زيادة الاحجام الخشنة في المنطقة الشمالية من وديان منطقة الدراسة، في حين نجد ان ترسبات الحصى في الأجزاء الجنوبية منها تكون ممزوجة مع ترسبات ناعمة من الرمل والطين والغرين وهي غير متجانسة من الناحية الفيزيائية

(1) طلال عبد الحسين عبد الكريم ، رواسب الحصى والرمل في العراق ، مصدر سابق، ص10.

(2) مقدار حسين علي وآخرون ، الجيولوجيا الهندسية ، دار الكتب للطباعة والنشر، جامعة الموصل ، الموصل، 1991، ص373.

الفصل الثاني.....المقومات الجيولوجية لبادية المثنى ودورها في التنمية المستدامة

والكيميائية، وتتواجد رواسب الحصى والرمل في الانحدارات السفلى للوديان والمراتب النهرية ولا سيما الترسبات الرملية يلاحظ صورة(2-7)، في حين نجد ان رسوبيات الحصى والجلاميد تتمركز في الاقسام العليا من الوديان، وتعد هذه الرسوبيات من اهم الموارد الانشائية في بادية المثنى التي لها اثر كبير في عمليات التنمية المستدامة، وهي من الروافد المهمة التي تزود الكثير من المعامل التي ينتشر البعض منها داخل منطقة الدراسة، مثل معامل البلوك والكاشي والاشتاكر والطابوق الجيري فضلاً عن صناعة الكونكريت، وتستخدم في اعمال التبليط ورصف الطرق.

جدول (2-11)المقياس الحجمي للحصى ونوع الاستخدام

ت	المقياس الحجمي(لم)	نوع الاستخدام
1	10-5	صناعة البلوك والاشتاكر .
2	20-5	تبطين الابار الارتوازية .
3	اكثر من 20	تبليط الشوارع بعد تكسيه وخلطه مع مواد اخرى والمتمثلة بالإسمنت والاسفلت والرمل.
4	40-5	صناعة الخرسانة.
5	75-2	السبيس.

المصدر : صباح حمود غفار السامرائي ، التباين المكاني للرواسب الحصوية في مجرى نهر دجلة ببين بيجي وبلد واستثمارها ، رسالة ماجستير (غير منشورة) ، كلية التربية ابن رشد ، جامعة بغداد ، 2005، ص115.

صورة(2-7) رسوبيات الرمل (منطقة الساعة)



30° 20' 6.26" N 44° 30' 17.42" E

المصدر: الدراسة الميدانية بتاريخ 2022/1/21

ومن خلال التوزيع الجغرافي لمناطق تواجد هذه الرواسب، تقترح الدراسة ان يكون استثمار الحصى الناعم والمتوسط وذو الشكل الدائري في الاجزاء الوسطى والدنيا من الأحواض، كون مواصفاته القياسية مناسبة للأعمال الانشائية.

2-3-2- دور المقومات الجيولوجية في التنمية العمرانية المستدامة:

يعد نشوء المستوطنات البشرية وتطورها نتيجة للتفاعل البشري مع البيئة من خلال توافر الموارد الطبيعية فضلاً عن طبيعة العمليات الجيومورفولوجية والمظاهر الناتجة عنها التي تؤثر فيها ⁽¹⁾، وللتكوينات الجيولوجية دور كبير في التوزيع السكاني ومدى انتظامه بسبب دورها في انتظام التوزيع المكاني للموارد الطبيعية.

ويمكن ملاحظة خلو المنطقة من الكثبان الرملية الا في بعض المناطق المحدودة جداً، إذ تنتزع ضمن تكوين الدببة في أجزائه الشمالية، يلاحظ خريطة (2-2) ، بمساحة (385.2) كم² وبنسبة (0.85) % من مجموع مساحة ترسبات الزمن الرباعي، وهذه السمة تعمل على تسهيل

عملية التنمية العمرانية المستدامة، وتوفير بيئة بعيدة عن المشكلات البيئية التي ترتبط باستثمار المناطق الجافة، وهذا يعطيها موقع افضل للاستثمار في اطار الاستراتيجيات العامة التي يفترض بالحكومة انتهاجها، وتعد البادية من المناطق المناسبة للاستيطان البشري، ولا سيما في الاجزاء الدنيا وتحديدًا في منطقة المصب للوديان، بسبب توفر التربة الزراعية الملائمة فضلاً عن امكانية حفر الآبار، ولا توجد إحصائيات دقيقة لأعداد السكان، بسبب طبيعة البدو الرحل، كما وان المزارعين يقومون باستبدال أراضيهم مرات متعددة بسبب انخفاض إنتاجياتها أو تدني مستوى المياه في الآبار يلاحظ صورة (2-8)، وحسب تقديرات سكان قضاء السلمان من الذكور إذ بلغ عدد حوالي (6526) نسمة في حين بلغ عدد الاناث (6589) نسمة، وبمجموع كلي(13115) نسمة، وبلغ سكان ناحية بصية من الذكور (780) نسمة، في حين بلغ عدد الإناث (636) نسمة، وبمجموع كلي (1416)⁽²⁾ يلاحظ جدول (2-12)، ولغرض جعل المنطقة بيئة جاذبة للسكان لابد من الاهتمام بمد وصيانة شبكة طرق المواصلات لغرض ربط اجزاءها من جهة وتسهيل الوصول اليها ويحد من عزلتها، فضلاً عن تسهيل نقل المحاصيل في المواسم الزراعية، وتعد بادية المثنى بيئة يمكن استثمارها في توطين البدو بعد توفير الخدمات

(¹) سفير جاسم حسين ، جيومورفولوجية مجرى نهر الغراف ، اطروحة دكتوراه ،(غير منشورة)، كلية الآداب ، جامعة بغداد ، 2007، ص122.

(²) الجهاز المركزي للإحصاء في محافظة المثنى ، بيانات غير منشورة 2021.

المناسبة ومنها بناء بعض القرى النموذجية وتوفير بعض الخدمات الضرورية والتوسع بحفر الآبار نظراً لما تحتويه المنطقة من خزين جوفي وفير .

صورة (2-8) بعض مظاهر الاستيطان (منطقة الداريات)



30° 38' 56.44" N 44° 47' 34.76" E

المصدر: الدراسة الميدانية بتاريخ 2022/1/21

جدول (2-12)

اعداد السكان في منطقة الدراسة وفق تقديرات سكان محافظة المثنى لسنة 2021

المجموع	الاناث	ذكور	الوحدة الادارية
13115	6589	6526	قضاء السلطان
1416	636	780	ناحية بصرية

المصدر: جمهورية العراق ، هيئة التخطيط ، الجهاز المركزي للإحصاء في المثنى ، تقديرات اعداد السكان لعام (2021) .

2-3-3- دور المقومات الجيولوجية في النقل:

يتمثل النقل في بادية المثنى بطرق قصيرة ترابية حصوية تربط القرى، وتتأثر طرق النقل بطبيعة التكوينات الجيولوجية التي تؤدي إلى صعوبة التنقل باستثناء بعض انواع السيارات التي يمكنها التنقل، يلاحظ صورة(2-9) ، ويرى الباحث ان من الضروري شق شبكة من الطرق المعبدة التي توفر سهولة الاتصال بالمناطق المجاورة وجعلها بيئة جاذبة للسكان، ومن الضروري ان تكون هذه الطرق في مناطق ذات التكوينات الجيولوجية الصلبة، وان تراعى أماكن حركة الكثبان الرملية من خلال تثبيتها، وقد اتضح ومن خلال الدراسة الميدانية ان منطقة الدراسة تقتصر إلى طرق النقل، واغلب المتوفر منها هي طرق ترابية يطلق عليها تسمية

الطرق(الميسمية)، وتكون هذه الطرق عرضة للقطع عند سقوط الامطار الفجائية وحدوث السيول، وعموماً تتصف التكوينات الجيولوجية في بادية المثنى بصلابتها في فيما عدا بعض رواسب الزمن الرباعي (رواسب ملء المنخفضات ورواسب الكثبان الرملية و رواسب السهل الفيضي و رواسب المستنقعات الضحلة) التي تستلزم بعض المعالجات فيما لو كان من الضروري مرور طرق النقل من خلالها.

صورة(2-9) الاراضي التي يصعب التنقل فيها(منطقة الزكل)



30° 29' 17.44" N 44° 29' 59.76" E

المصدر: الدراسة الميدانية بتاريخ 2022/1/21

2-3-4- دور المقومات الجيولوجية في التنمية الزراعية المستدامة:

ترتبط نوع الترب بالتكوين الجيولوجي ونوع المناخ السائد في منطقة الدراسة، ومن خلال دراسة التكوينات الجيولوجية تبين سيادة التكوينات الجيرية والرمل والحصى والاطيان، وتعد مناطق الفيضات والاجزاء الدنيا من الأحواض من اهم المناطق التي يمكن تنميتها للأغراض الزراعية فضلاً عن دور هذه النباتات في تثبيت التربة، وقد بادرت مديرية الزراعة ومديرية حفر الآبار في محافظة المثنى بتنظيم عقود إلى المزارعين، ووفق القانون الخاص بنظام العقود قامت بتأجيرها على ان تجديد هذه العقود كل خمس سنوات، ولغرض تنمية بادية المثنى زراعياً لابد من التوسع في حفر الآبار، كما ويمكن الاستفادة من عمليات الحصاد المائي لمياه الامطار، وسوف يتم تناول هذا الموضوع بالتفصيل في الفصل السادس.

ويرى الباحث بضرورة الدعم الحكومي لقطاع الزراعة في بادية المثنى والاستفادة من تجارب دول الجوار (المملكة العربية السعودية) التي شهدت مناطقها المحاذية لمنطقة الدراسة(الحائل، تبوك، حفر الباطن، رفحاء) استثمارات زراعية جيدة، إذ تتوفر في المنطقة مقومات نجاح الزراعة

واهمها توفر التربة الصالحة للزراعة، مثل تربة الفيضات والمناطق السهلية في بطون الاودية، إذ يمكن استثمارها من قبل المزارعين بالأصناف الجيدة من أشجار النخيل والزيتون، ومن ثم توفير موارد جيدة للمحافظة فضلاً عن دور هذه الأشجار في عميلة التخفيف من التطرف الحراري وتثبيت التربة والحد من انجرافها، ويتوفر في تربة بادية المثنى العناصر الرئيسة اللازمة لنمو النباتات كالحديد والكالسيوم والكبريت، فضلاً عن وجود كميات مناسبة من المياه المتجمعة في الخباري والفيضات وتوفر المياه الجوفية .

2-3-5- دور المقومات الجيولوجية في التنمية المستدامة للمياه الجوفية:

تتواجد المياه الجوفية في منطقة الدراسة ضمن تكوينات جيولوجية معينة، وسوف يتم تناول هذا الموضوع بالتفصيل ضمن الفصل السادس.

2-3-6- دور المقومات الجيولوجية في التنمية السياحية المستدامة :

يبرز هذا الدور من خلال التفاعل المستمر بين التكوينات الجيولوجية وعوامل التعرية والتجوية لتكون أشكالاً صخرية متفردة الجمال، يمكن أن تشكل منظراً سياحياً جذاباً، يلاحظ صورة (2-10)، وتتميز منطقة الدراسة بصفاء سمائها ونقاء هوائها وسعة مساحاتها، ومن الممكن اجراء العديد من الفعاليات اسوة ببقية دول الخليج وذلك من خلال اقامة المسابقات المختلفة فضلاً عن رياضة الصيد وبشكل منظم، وعلى الرغم مما ذكر فان منطقة الدراسة تعد غير مستغلة في الجانب السياحي بشكل كبير وهي مؤهلة لذلك نظراً لتباين أشكال سطح الأرض المميزة فيها لجذب أعداد من السياح المحليين أو السياح من دول الجوار، لذا يتوجب على الحكومة المحلية الاهتمام بهذا الجانب وفتح فرص الاستثمار السياحي في منطقة الدراسة اسوة بدول الجوار.

صورة(2-10) أشكال صخرية متفردة الجمال(العديد من الاماكن في بادية المثنى)



30° 19' 10.44" N 44° 29' 20.76" E

المصدر : الدراسة الميدانية بتاريخ 2022/1/21

الخلاصة:

تتميز بادية المثنى بشكل عام ببساطة تكويناتها الجيولوجية، إذ تشغل تكوينات الزمن الجيولوجي الثالث مساحة (35430.1) كم² ونسبة (77.60) % من مساحة التكوينات السائدة بينما تتمثل تكوينات الزمن الرابع بمساحة (10227.6) كم² ونسبة (22.40) % ، وقد كان لهذه التكوينات دوراً كبيراً في تشكيل سطح المنطقة، أما عن دور المقومات الجيولوجية في التنمية المستدامة في بادية المثنى، فقد كان لهذه التكوينات دوراً مهماً في توفير فرص تنمية مستدامة في العديد من المجالات الصناعية والعمرانية، فضلاً عن دورها في النقل الذي يعد أساس كل عمليات التنمية المستدامة، وكان للخصائص الجيولوجية تأثيراً على التنمية الزراعية من خلال تحكمها في طبيعة مكونات ترب منطقة الدراسة، فضلاً عن تأثيرها على الطبقات الحاوية للمياه الجوفية واتجاهات حركتها، ويتوقف هذا التأثير على طبيعة الأشكال الصخرية لمنطقة الدراسة وتوفير أشكالاً صخرية جميلة يمكن ان توفر موارد سياحية مهمة.

المقومات المناخية لبادية المثنى ودورها في التنمية المستدامة

3-1- الظروف المناخية

3-1-1- الاشعاع الشمسي

3-1-2- درجة الحرارة

3-1-3- الرياح

3-1-4- الأمطار

3-1-5- الرطوبة النسبية

3-1-6- التبخر

3-2- دور الخصائص المناخية في التنمية المستدامة في بادية المثنى

3-2-1- دور الخصائص المناخية في التنمية الصناعية المستدامة (الطاقة والإنتاج) :

3-2-2- دور الخصائص المناخية في التنمية العمرانية المستدامة:

3-2-3- دور الخصائص المناخية في النقل:

3-2-4- دور الخصائص المناخية في التنمية الزراعية المستدامة:

3-2-5- دور الخصائص المناخية في التنمية المستدامة للمياه الجوفية:

الخلاصة:

3-1- الظروف المناخية: Climate Conditions

تمهيد:

تعد الدراسات المناخية إحدى الأسس المهمة التي تقوم عليها الدراسة الجيومورفولوجية بشكل عام، وتأتي أهمية دراسة المناخ وعناصره من خلال دورها في تحديد نوعية وتوزيع وكثافة الغطاء النباتي وكميات التصريف ونمط عمليات الحت والنقل والارساب، الذي ينعكس على رسم الخريطة الجيومورفولوجية لمنطقة الدراسة.

وتعد معظم أشكال السطح انعكاس للظروف المناخية القديمة والحالية، ولا سيما دور عنصر المطر⁽¹⁾، وقد شهد العراق والجزيرة العربية أربعة عصور مطيرة (Pluvial Period) بالتزامن مع العصور الجليدية الأربع التي مرت بها المناطق الشمالية من أوروبا وآسيا وأمريكا، إذ تماثل الفترات المطيرة في كل من أفريقيا وشرق البحر المتوسط، وتتميز تلك العصور بكثرة الإيرادات المائية بشكل عام، مما أدى إلى رفع مستوى المياه الجوفية التي كانت تنساب إلى الأنهار، ومن ثم اتساع مجاريها وارتفاع مناسيبها القاعدية (Bases level)⁽²⁾، وقدرت كمية التساقط في وادي الرافدين خلال هذه الفترة بـ (1000 – 1500) ملم وذلك وفقاً للعديد من الدراسات⁽³⁾.

وقد اعتمد الباحث في دراسة حالة المناخ على البيانات المناخية للمدة من (1991-2021) لمحطة النجف التي تقع عند الإحداثيات (19° 44' شرقاً - 31° 57' شمالاً) وبارتفاع (32) م عن مستوى سطح البحر، ومحطة السماوة الواقعة عند الإحداثيات (16° 45' شرقاً - 31° 16' شمالاً) وبارتفاع (11.4) م عن مستوى سطح البحر، وبيانات محطة رفحاء التي تقع عند الإحداثيات (48° 43' شرقاً - 29° 61' شمالاً)، وبارتفاع (29.61) م، ومحطة البصرة التي تقع عند الإحداثيات (47° 47' شرقاً - 30° 57' شمالاً) وبارتفاع 2.4 م عن مستوى سطح البحر، يلاحظ خريطة (1-3) (4).

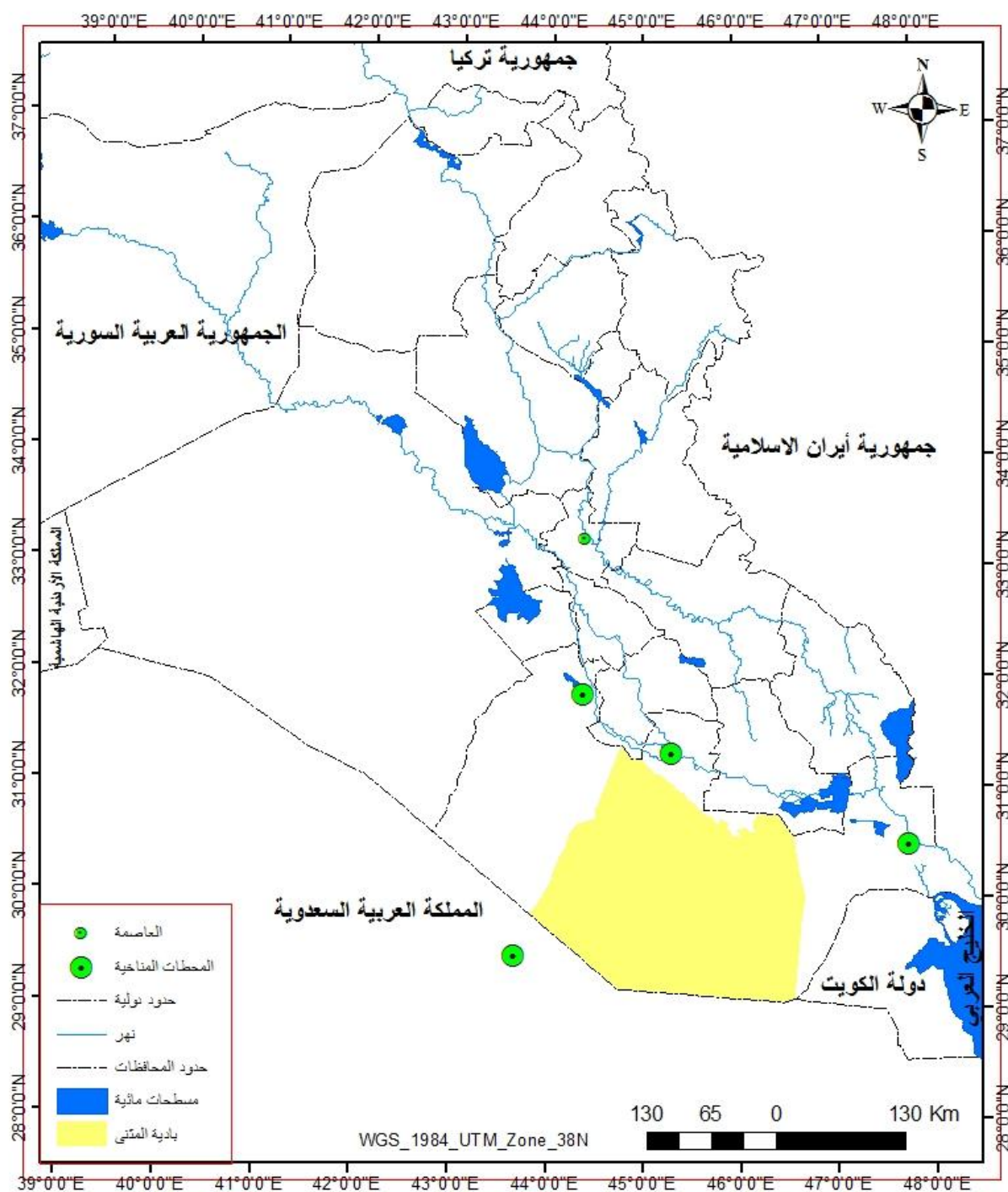
(1) رحيم حميد عبد ثامر العبدان، التعرية المطرية لسفوح تلال حميرين باستخدام تقنية نظم المعلومات الجغرافية ، مجلة كلية الآداب ، 2008 ، العدد 81، ص30. الانترنت <https://www.academia.edu>

(2) سرحان نعيم الخفاجي ،هيدروجيومورفولوجية نهر الفرات بين قضائي الخضر -القرنة ، اطروحة دكتوراه ، (غير منشورة) ، كلية الآداب ، جامعة بغداد ، 2008، ص47.

(3) فاضل باقر الحسني ، تطور مناخ العراق عبر الازمنة الجيولوجية والعصور التاريخية ، مجلة الجمعية الجغرافية العراقية ، 1964 ، ص 381 .

(4) جمهورية العراق ، وزارة النقل، الهيئة العامة للأتواء الجوية والرصد الزلزالي ، قسم المناخ ، بغداد ، (بيانات غير منشورة)، 2021.

خريطة (1-3) الموقع الفلكي للمحطات المناخية المعتمدة في بادية المثنى



المصادر : بالاعتماد على:

1- الموقع الفلكي لمحطات منطقة الدراسة.

2- جمهورية العراق ، وزارة النقل ، الهيئة العامة لأنواء الجوية والرصد الزلزالي ، قسم المناخ ، بغداد ، بيانات غير منشورة 2021.

3- الهيئة العامة للأرصاد وحماية البيئة ، البيانات المفتوحة ، مكتبة البيانات المفتوحة ، إدارة تلبية الطلبات المعلوماتية ، 2021.

واختيرت هذه المحطات للأسباب الآتية:-

- 1- كونها الأقرب إلى منطقة الدراسة .
 - 2- أنها تقع على ارتفاع مقارب لبادية المثنى.
 - 3- تعد ضمن الإقليم الجغرافي نفسه المناطق المحيطة بها.
 - 4-توفر بعض البيانات والحصول على القسم الآخر من دائرة الانواء الجوية/قسم المناخ.
- ومن خلال تحليل البيانات المسجلة لهذه العناصر المأخوذة من المحطات المناخية المذكورة ولمعرفة الخصائص المناخية سوف يتم التطرق إلى كل عنصر من عناصر المناخ وتكوين صورة عن نوع وطبيعة المناخ السائد وعلى النحو الآتي:-

3-1-1- الأشعاع الشمسي: Solar Isolation :

يسهم الأشعاع الشمسي بنحو (99.7) % من طاقة سطح الأرض وغلافها الجوي، وتعرف كمية الطاقة الشمسية الواردة الى سطح الأرض بالتشميس⁽¹⁾، إن لموقع منطقة الدراسة الفلكي بين دائرتي (N 29° 4' 9.75") و (N 31° 23' 51.99") وقوسي طول (43° 48' 51.22" E) و (E 46° 40' 20.47")، دوراً في مقدار الأشعاع الشمسي الواصل الى سطح الأرض، وذلك من خلال تحكمه في مقادير زوايا سقوط الإشعاع وطول النهار النظري.

3-1-1-1- السطوع الشمسي(Solar Radiation)

تشمل ساعات السطوع النظرية وساعات السطوع الفعلية، ويقصد بالأولى معدل ساعات طول النهار المضئية، في حين تعني الثانية معدل عدد ساعات سطوع الشمس التي يمكن قياسها بالأجهزة الخاصة⁽²⁾.

ونظراً لقلّة التباين في التوزيع المكاني في المعدلات السنوية لساعات السطوع النظرية للمحطات المعتمدة لذا لم تُمثل خرائطياً، ويوضح الشكل (3-1) و (3-2) بأن الزيادة في معدل ساعات السطوع النظرية والفعلية تبدأ في فصل الصيف من شهر آذار تزامناً مع حركة الشمس الظاهرية على خط الاستواء في هذا الشهر، وتبلغ فيه معدل ساعات السطوع النظرية لشهر آذار في

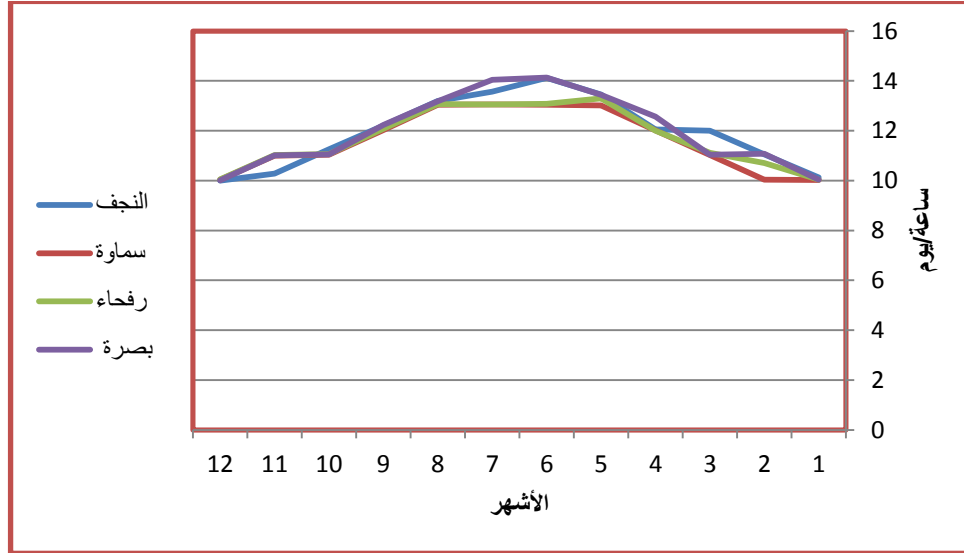
(¹) رافد عبد النبي الصائغ ، المناخ العسكري ، جامعة المثنى -كلية التربية للعلوم الانسانية ،العالمية للطباعة ، النجف الاشرف، 2019، ص57.

(²) عبد الاله رزوقي كربل ،وماجد السيد ولي محمد ،علم الطقس والمناخ ،جامعة البصرة ،كلية الآداب ،مطبعة جامعة البصرة، 1986، ص43.

الفصل الثالث.....المقومات المناخية لبادية المثنى ودورها في التنمية المستدامة

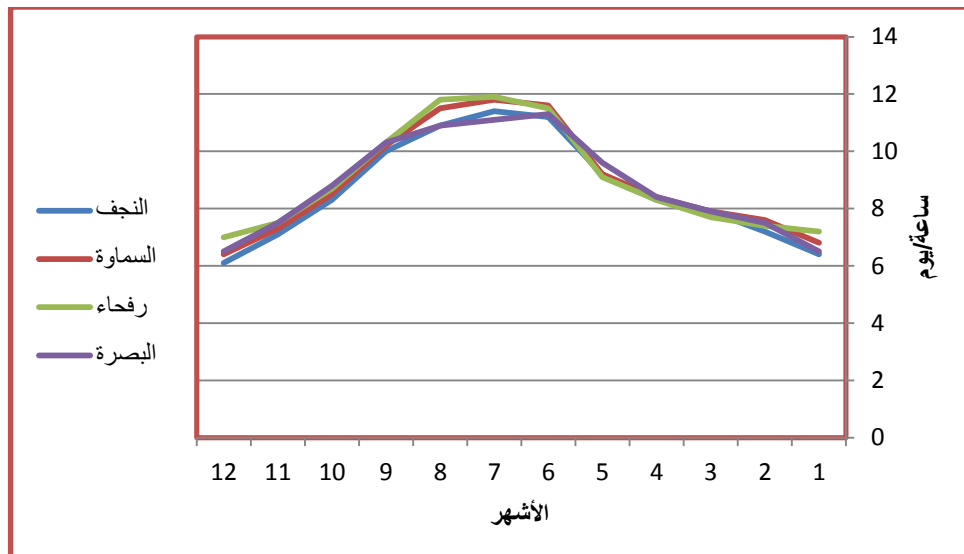
محطة النجف (12) ساعة/يوم، وفي محطة السماوة (11.03) ساعة/يوم وفي محطة رفحاء (11.12) ساعة/يوم، وفي محطة البصرة (11.04) ساعة/يوم، وتوضح الخريطة (2-3) بأن معدل ساعات السطوع الفعلية للشهر نفسه في محطة النجف (7.9) ساعة/يوم.

شكل (3-1) المعدلات الشهرية والسنوية لعدد ساعات السطوع الشمسي (ساعة/يوم) (طول النهار) النظرية للمحطات المعتمدة للمدة (1991-2021)



المصدر: بالاعتماد على جدول (3-1).

شكل (3-2) المعدلات الشهرية والسنوية لعدد ساعات السطوع الشمسي (ساعة/يوم) (طول النهار) الفعلية للمحطات المعتمدة للمدة (1991-2021)



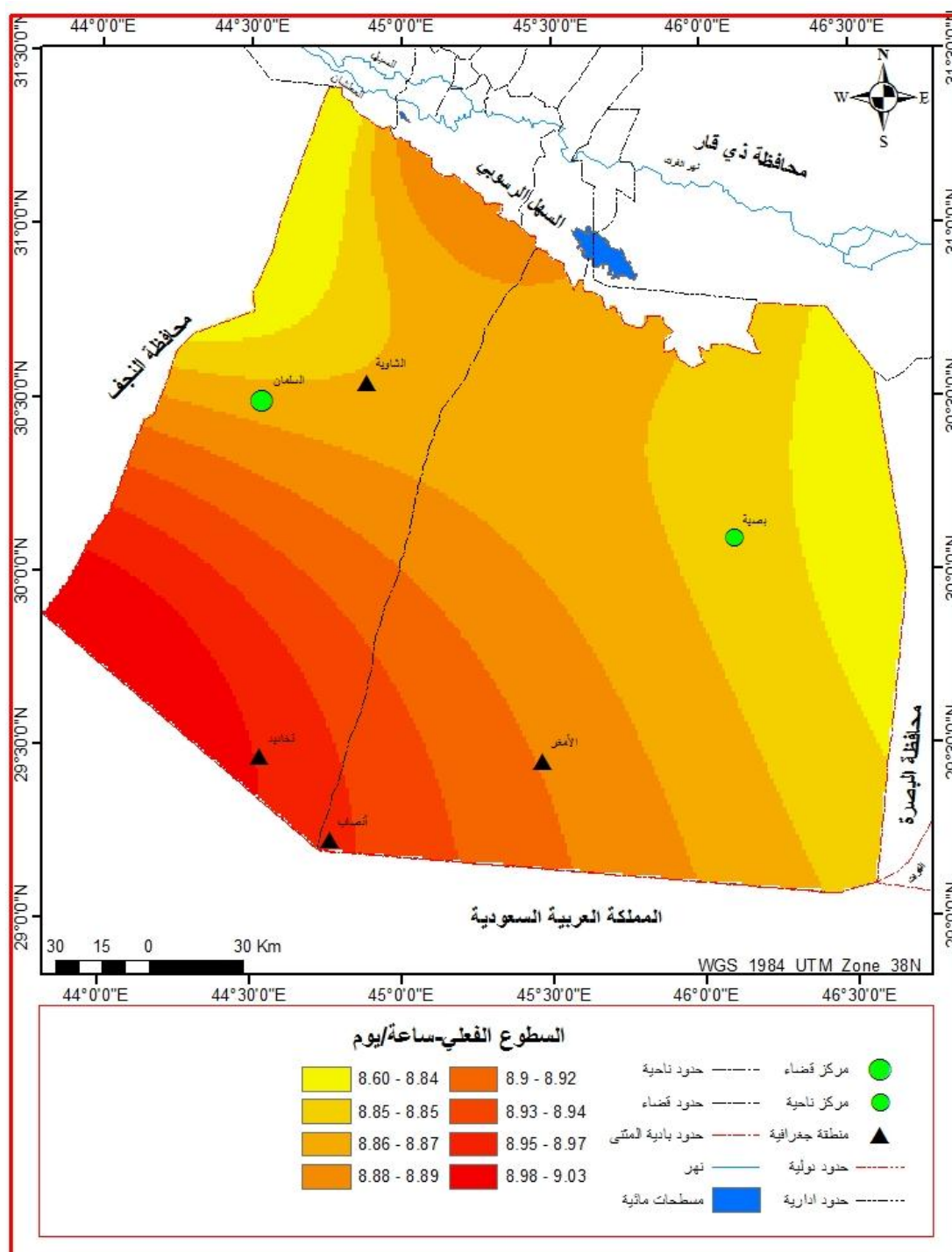
المصدر: بالاعتماد على جدول (3-1).

وفي محطة السماوة (7.9) ساعة/يوم، وفي محطة رفحاء(7.7) ساعة/يوم، وفي محطة البصرة (7.9) ساعة/يوم، وتستمر الزيادة في معدل ساعات السطوع خلال شهر نيسان وشهر مايس لتصل الى أعلى معدل لها خلال شهر حزيران، بسبب عمودية الشمس على مدار السرطان في هذا الشهر، إذ وصلت معدل ساعات السطوع النظري في محطة النجف (14.12) ساعة/يوم، وفي محطة السماوة(13.04) ساعة/يوم، وفي محطة رفحاء (13.08) ساعة/يوم، وفي محطة البصرة (14.13) ساعة/يوم، ومعدل ساعات السطوع الفعلية في محطة النجف(11.2) ساعة/يوم ، وفي محطة السماوة(11.6) ساعة/يوم، وفي محطة رفحاء(11.5) ساعة/يوم، وفي محطة البصرة (11.3) ساعة/يوم، وتستمر معدلات ساعات السطوع النظرية والفعلية بالارتفاع خلال اشهر تموز وآب وأيلول، ثم تبدأ بالانخفاض التدريجي حتى تصل إلى ادنى معدل لها في شهر كانون الأول ، إذ بلغ معدل ساعات السطوع النظرية في محطة النجف (10) ساعة/ يوم، وفي محطة السماوة(10.03) ساعة/يوم، وفي محطة رفحاء (10.05) ساعة/يوم ، وفي محطة البصرة (10.01) ساعة/يوم، وبلغ معدل ساعات السطوع الفعلية النجف(6.1) ساعة/يوم ، وفي محطة السماوة(6.4) ساعة/يوم ، وفي محطة رفحاء(7) ساعة/يوم، وفي محطة البصرة(6.5) ساعة/يوم، يلاحظ جدول (3-1).

ومما تقدم يمكن ان نستنتج ما يلي:

إن منطقة الدراسة تستلم كميات كبيرة من الإشعاع الشمسي خلال السنة الواحدة بسبب الموقع الفلكي وزاوية سقوط الاشعاع وطول النهار الفعلي والنظري وارتفاع كمية الاشعة الشمسية الواصلة في معظم ايام السنة لاسيما في فصل الصيف قياساً بفصل الشتاء بسبب عمودية اشعة الشمس في هذا الفصل وصفاء السماء فضلاً عن طبيعة السطح المستوي تقريباً يُمكن الاستفادة من الكميات الكبيرة من الإشعاع الشمسي في مجال الاستثمار في الطاقة المتجددة وتوليد الطاقة الكهربائية والاستفادة منها في العديد من الاستخدامات المنزلية وفي تشغيل مكائن سحب المياه الجوفية للأغراض المختلفة، فضلاً عن الجانب الصناعي، سيما وان هناك العديد من معامل الإسمنت في منطقة الدراسة التي تتطلب تشغيلها بكميات كبيرة من الطاقة الكهربائية، فضلاً عن تقليل التلوث الناتج عن المحطات التقليدية.

خريطة (2-3) المعدلات السنوية لعدد ساعات السطوع الشمسي (ساعة/يوم) (طول النهار) الفعلية للمحطات المعتمدة للمدة (1991-2021)



المصدر: بالاعتماد على جدول (1-3).

جدول (3-1) المعدلات الشهرية والسنوية لعدد ساعات السطوع الشمسي (ساعة/يوم) (طول النهار) النظري والفعلي للمحطات المعتمدة للمدة (1991-2021)

المحطة	النجف		السمامة		رفحاء		البصرة	
	النظري	الفعلي	النظري	الفعلي	النظري	الفعلي	النظري	الفعلي
طول النهار الأشهر								
كانون الثاني	10.13	6.4	10.02	6.8	10.04	7.2	10.04	6.5
شباط	11.05	7.2	10.03	7.6	10.7	7.4	11.07	7.5
آذار	12	7.9	11.03	7.9	11.12	7.7	11.04	7.9
نيسان	12.05	8.3	12.02	8.4	12	8.3	12.57	8.4
مايس	13.45	9.2	13.01	9.2	13.3	9.1	13.44	9.6
حزيران	14.12	11.2	13.04	11.6	13.08	11.5	14.13	11.3
تموز	13.57	11.4	13.05	11.8	13.05	11.9	14.04	11.1
آب	13.19	10.9	13.04	11.5	13.07	11.8	13.18	10.9
ايلول	12.2	10	12.03	10.2	12.08	10.3	12.23	10.3
تشرين الاول	11.25	8.3	11.04	8.5	11.06	8.7	11.05	8.8
تشرين الثاني	10.28	7.1	11	7.3	11.03	7.5	11.01	7.5
كانون الاول	10	6.1	10.03	6.4	10.05	7	10.01	6.5
المعدل السنوي	11.9	8.6	11.6	8.9	11.7	9.03	11.9	8.8
المجموع السنوي	4346.4	3141.1	4236.9	3250.7	4273.4	3298.2	4346.4	3214.2

المصدر :- بالاعتماد على:

- 1- جمهورية العراق ، وزارة النقل ، الهيئة العامة للأتواء الجوية والرصد الزلزالي ، قسم المناخ ، بغداد ، بيانات غير منشورة 2021.
- 2- الهيئة العامة للأرصاد وحماية البيئة ، البيانات المفتوحة ، مكتبة البيانات المفتوحة ، إدارة تلبية الطلبات المعلوماتية ، 2021.

3-1-2- درجة الحرارة: Temperature

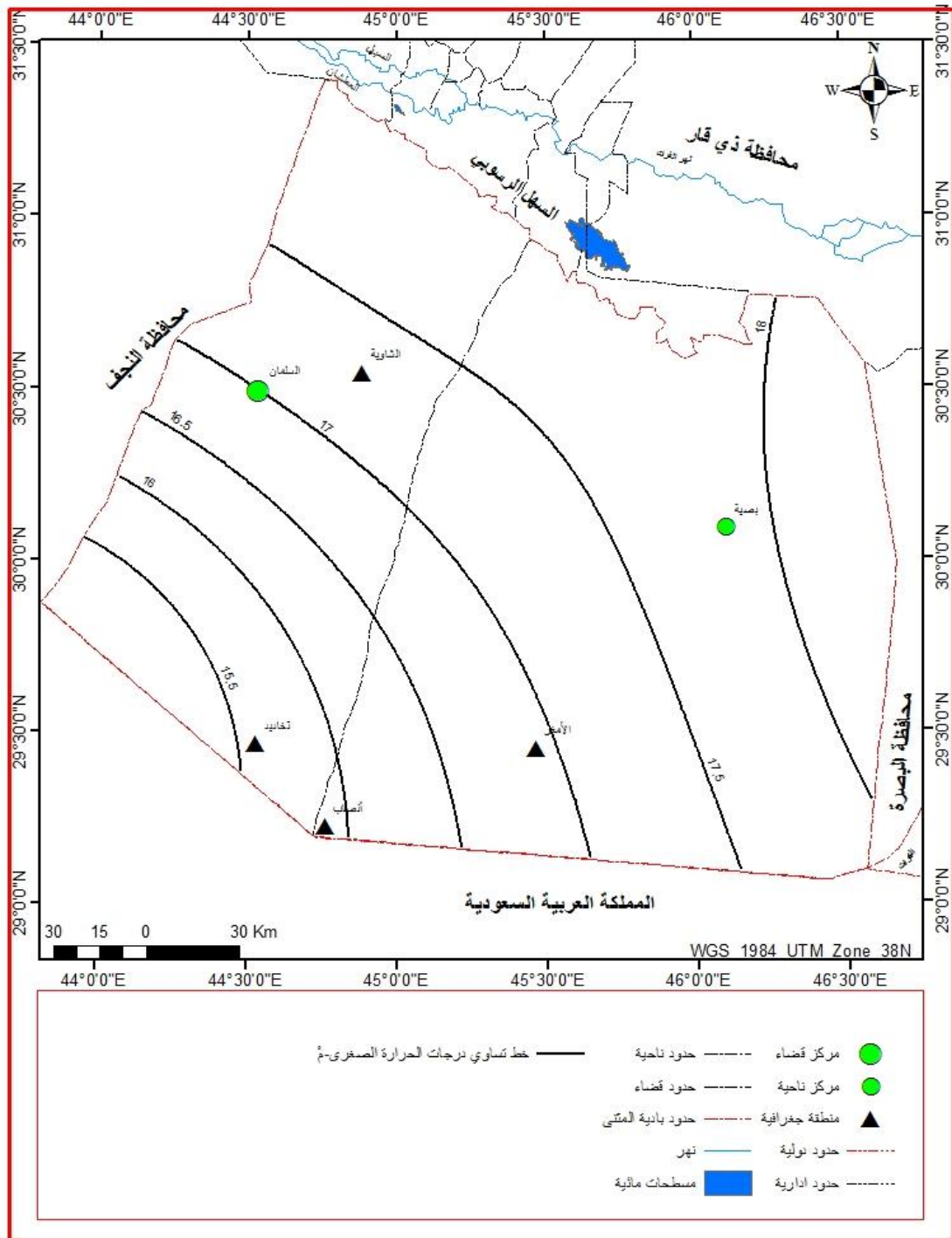
يوثر هذا العنصر على جميع العناصر المناخية الاخرى، فضلاً عن التأثير وبشكل واضح على أشكال سطح الأرض من خلال التحكم بعمليات التجوية الكيميائية والفيزيائية والحياتية، وتوضح الخريطة (3-3) والجدول (2-3) والخريطة (4-3)، أن المعدل السنوي لكل من متوسط درجة الحرارة ودرجة الحرارة العظمى والصغرى في محطة النجف (24.6، 31.45، 17.9) م° على التوالي، وفي محطة السماوة (25.03، 32.2، 17.7) م° على التوالي، وفي محطة رفحاء (25.05، 35.3، 14.8) م° على التوالي، أما في محطة البصرة فكانت (26.4، 33.4، 19.4) م° على التوالي.

يمكن ملاحظة أن درجات الحرارة تبدأ بالارتفاع وبشكل تدريجي من شهر آذار بسبب حركة الشمس الظاهرية إلى مدار السرطان وزيادة زاوية السقوط وعدد ساعات النهار وكمية الاشعاع المستلمة ومن ثم ارتفاع درجات الحرارة وصفاء الجو وقلة الالبيدو، وتستمر الزيادة التدريجية لتصل أعلى معدلاتها خلال شهر تموز إذ بلغ في محطة البصرة (38.05) م° وأقلها في محطة رفحاء (35.85) م°.

وتدريجياً تتناقص هذه المعدلات بعد شهر ايلول، لتصل أدنى قيمة لها في شهر كانون الثاني (11.1) م° في محطة النجف، وفي محطة السماوة (11.55) م°، وفي محطة رفحاء (12.6) م°، أما محطة البصرة فقد بلغت (13.05) م°، وقد سجلت المعدلات السنوية لدرجات الحرارة العظمى أعلى قيمة لها في محطة رفحاء (35.3) م° وأدنى قيمة لها في محطة النجف (31.45) م°، أما المعدلات السنوية لدرجة الحرارة الصغرى فقد سجلت أعلى قيمة لها في محطة البصرة (19.4) م° وأدنى قيمة لها (14.8) م° في محطة رفحاء بسبب طول النهار الذي يصل الى (13) ساعة في فصل الصيف، وقصره في فصل الشتاء (9.5) ساعة، أدى ذلك الى زيادة الأشعة المكتسبة في فصل الصيف وقلتها في فصل الشتاء، ومن ثم الى التباين الكبير في معدل درجة الحرارة العظمى والصغرى بين فصلي الصيف والشتاء، يلاحظ شكل (3-3) وشكل (4-3).

مما سبق ذكره يمكن ان نستنتج أن هناك تباين يومي وسنوي في معدلات درجات الحرارة العظمى والصغرى في بادية المثنى، بسبب قارية المنطقة الذي كان له دور في التأثير وبشكل واضح على بقية العناصر المناخية الأخرى، وتنوع العمليات الجيومورفولوجية ومن ثم تكوين بعض الأشكال الجيومورفولوجية المتميزة.

خريطة (3-3) درجات الحرارة الصغرى للمحطات المعتمدة للمدة (1991-2021)



المصدر: بالاعتماد على جدول (2-3).

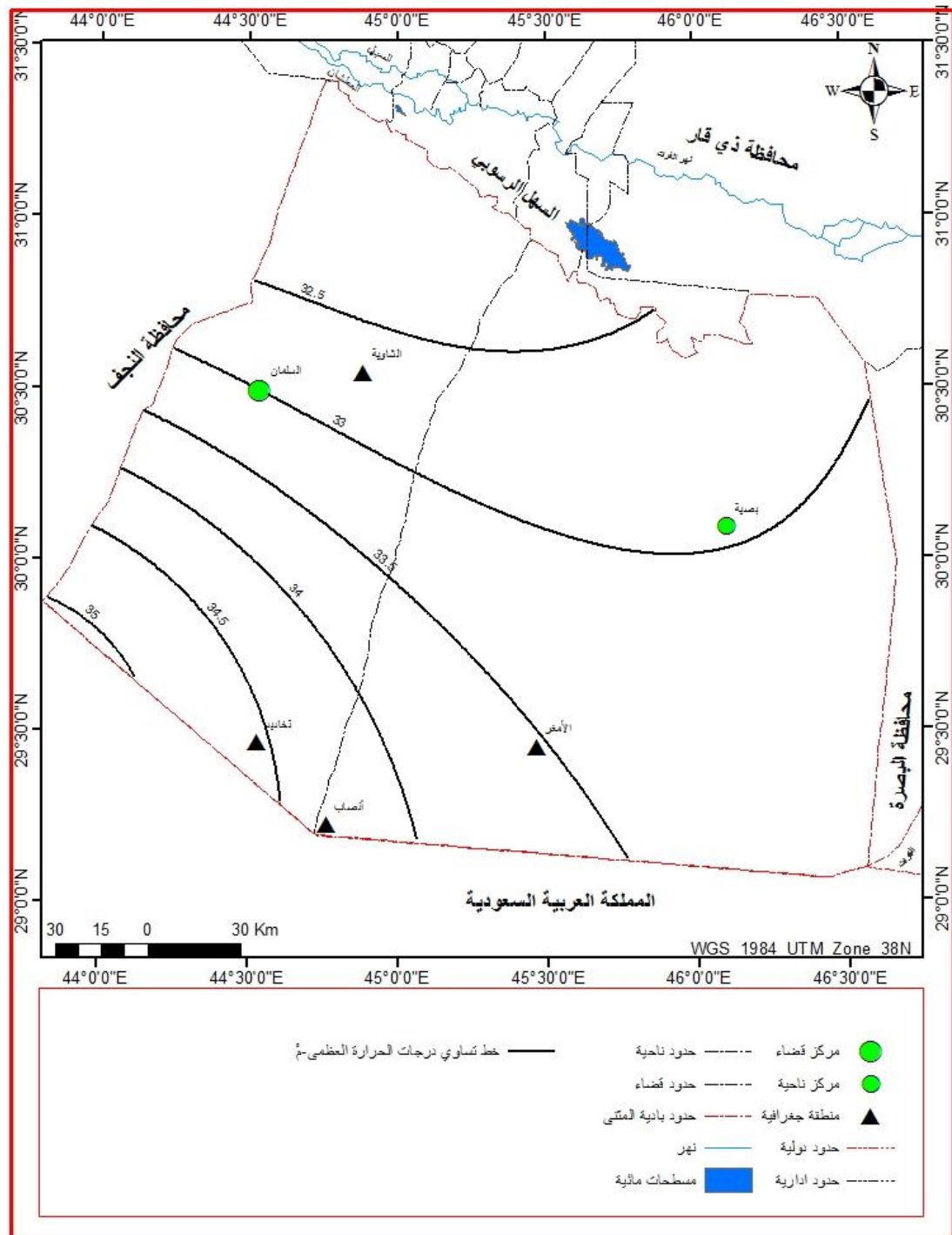
جدول (2-3) درجات الحرارة العظمى والصغرى والمدى للمحطات المعتمدة للمدة (1991-2021)

المحطة الشهر	النجف				الساوة				رفحاء				البصرة			
	العظمى	الصغرى	المعدل	المدى	العظمى	الصغرى	المعدل	المدى	العظمى	الصغرى	المعدل	المدى	العظمى	الصغرى	المعدل	المدى
ك 2	16.6	5.6	11.1	11	17.1	6	11.55	11.1	22.7	2.5	12.6	20.2	18.3	7.8	13.05	10.5
شباط	19.6	7.6	13.6	12	20.4	7.9	14.15	12.5	25.7	4.7	15.2	21	21.1	9.6	15.35	11.5
آذار	24.8	11.8	18.3	13	25.6	12.2	18.9	13.4	31.9	8.3	20.1	23.6	26.2	14	20.1	12.2
نيسان	31.2	17.7	24.45	13.5	32	17.8	24.9	14.2	35.9	14	24.95	21.9	32.9	19.8	26.35	13.1
مايس	37	23.3	30.15	13.7	38.7	23.7	31.2	15	40.7	18	29.35	22.7	39.7	25.7	32.7	14
حزيران	42.3	27	34.65	15.3	42.8	26.6	34.7	16.2	43.7	24.9	34.3	18.8	44.2	28	36.1	16.2
تموز	44.7	29.3	37	15.4	44.7	28.3	36.5	16.4	45	26.7	35.85	18.3	46.3	29.8	38.05	16.5
آب	44.3	28.7	36.5	15.6	44.7	27.7	36.2	17	45.5	26.9	36.2	18.6	46.3	28.9	37.6	17.4
ايلول	40.6	24.9	32.75	15.7	41.4	23.8	32.6	17.6	42.8	22.8	32.8	20	42.8	25.2	34	17.6
ت 1	33.6	19.5	26.55	14.1	34.9	19.3	27.1	15.6	37.7	17.6	27.65	20.1	36.4	20.7	28.55	15.7
ت 2	24.4	12.2	18.3	12.2	25.7	12.6	19.15	13.1	29.1	7.5	18.3	21.6	26.7	14	20.35	12.7
ك 1	18.3	7.2	12.75	11.1	19.3	7.6	13.45	11.7	23.3	3.5	13.4	19.8	20.2	9.2	14.7	11
المعدل السنوي	31.45	17.9	24.6	13.5	32.2	17.7	25.03	14.4	35.3	14.8	25.05	20.5	33.4	19.4	26.4	14.03

المصادر: بالاعتماد على: 1-جمهورية العراق ، وزارة النقل، الهيئة العامة للأمناء الجوية والرصد الزلزالي ، قسم المناخ ، بغداد ، بيانات غير منشورة 2021.

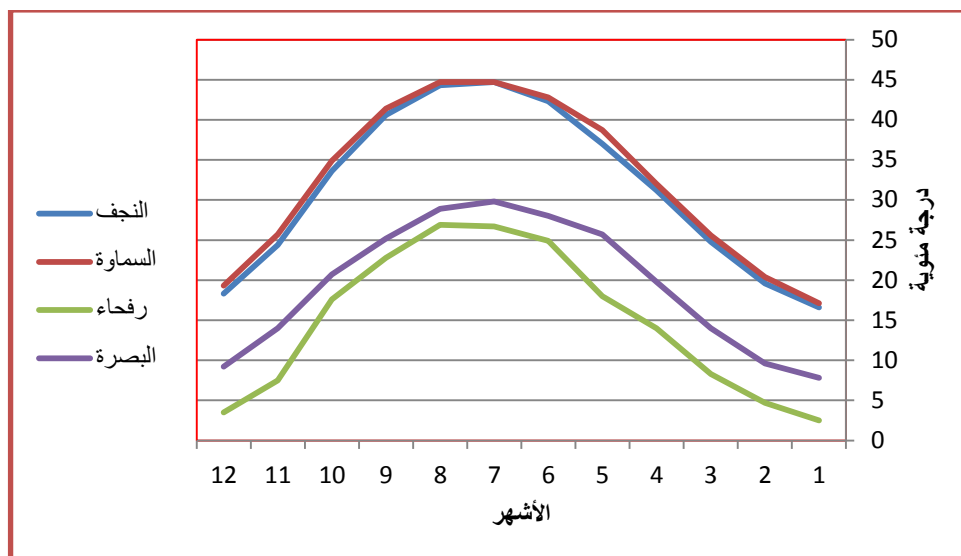
2- الهيئة العامة للأرصاد وحماية البيئة ، البيانات المفتوحة ، مكتبة البيانات المفتوحة ، إدارة تلبية الطلبات المعلوماتية ، 2021.

خريطة (3-4) درجات الحرارة العظمى للمحطات المعتمدة للمدة (1991-2021)



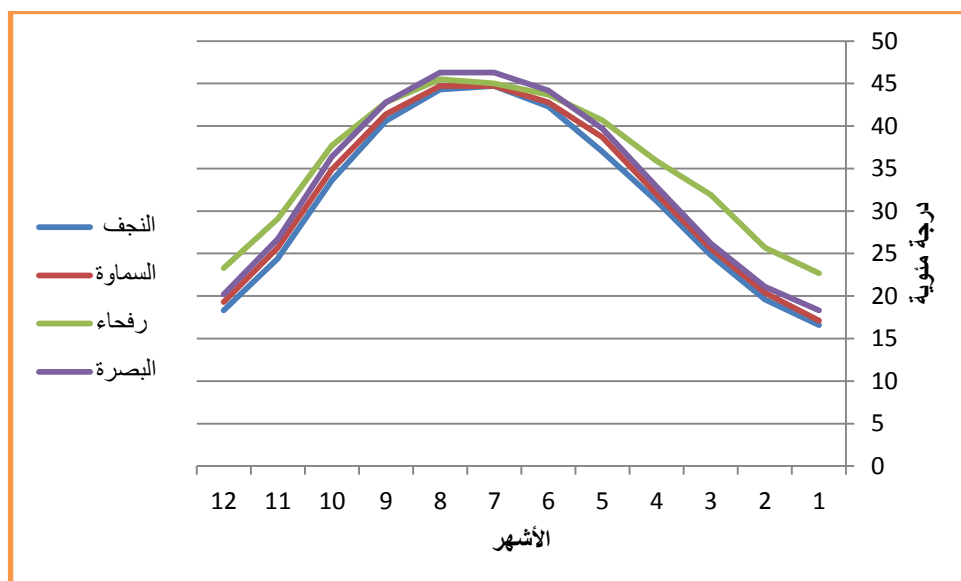
المصدر: بالاعتماد على جدول (2-3).

شكل (3-3) درجات الحرارة الصغرى للمحطات المعتمدة للمدة (1991-2021)



المصدر: بالاعتماد على جدول (2-3).

شكل (3-4) درجات الحرارة العظمى للمحطات المعتمدة للمدة (1991-2021)



المصدر: بالاعتماد على جدول (2-3).

3-1-3- الرياح: Winds:

تعد الرياح أحد العناصر المناخية التي لها دور واضح في مجمل عمليات التبريد والنقل والارساب لمواد السطح الهشة وتكوين المظاهر الجيومورفولوجية المختلفة في بادية المثنى، ويتضح من خلال تحليل جدول (3-3) وخريطة (5-3) وشكل (3-5) أن هناك تباين زمني ومكاني في سرعة الرياح في المحطات المعتمدة، وتتراوح معدلاتها السنوية بين 1.9، 3.3 ،

الفصل الثالث.....المقومات المناخية لبادية المثني ودورها في التنمية المستدامة

7.3، 3.96) م/ثا في محطات (النجف ، السماوة ، رفحاء ، البصرة) على التوالي، وتتباين تبعاً لذلك خلال اشهر السنة، إذ تنصدر الاشهر الحارة (حزيران) إذ بلغت (2.9، 4.1، 7.5، 5.5) م/ثا، وشهر (تموز) الذي بلغ (2.8، 3.9، 7.5، 5.2) م/ثا في محطات (النجف ، السماوة ، رفحاء ، البصرة) على التوالي، ويمكن ملاحظة أن هناك تناسب طردي بين ارتفاع درجة الحرارة وسرعة الرياح.

جدول (3-3)

المعدلات الشهرية والسنوية لسرعة الرياح (م/ثا) للمحطات المعتمدة للمدة (1991-2021)

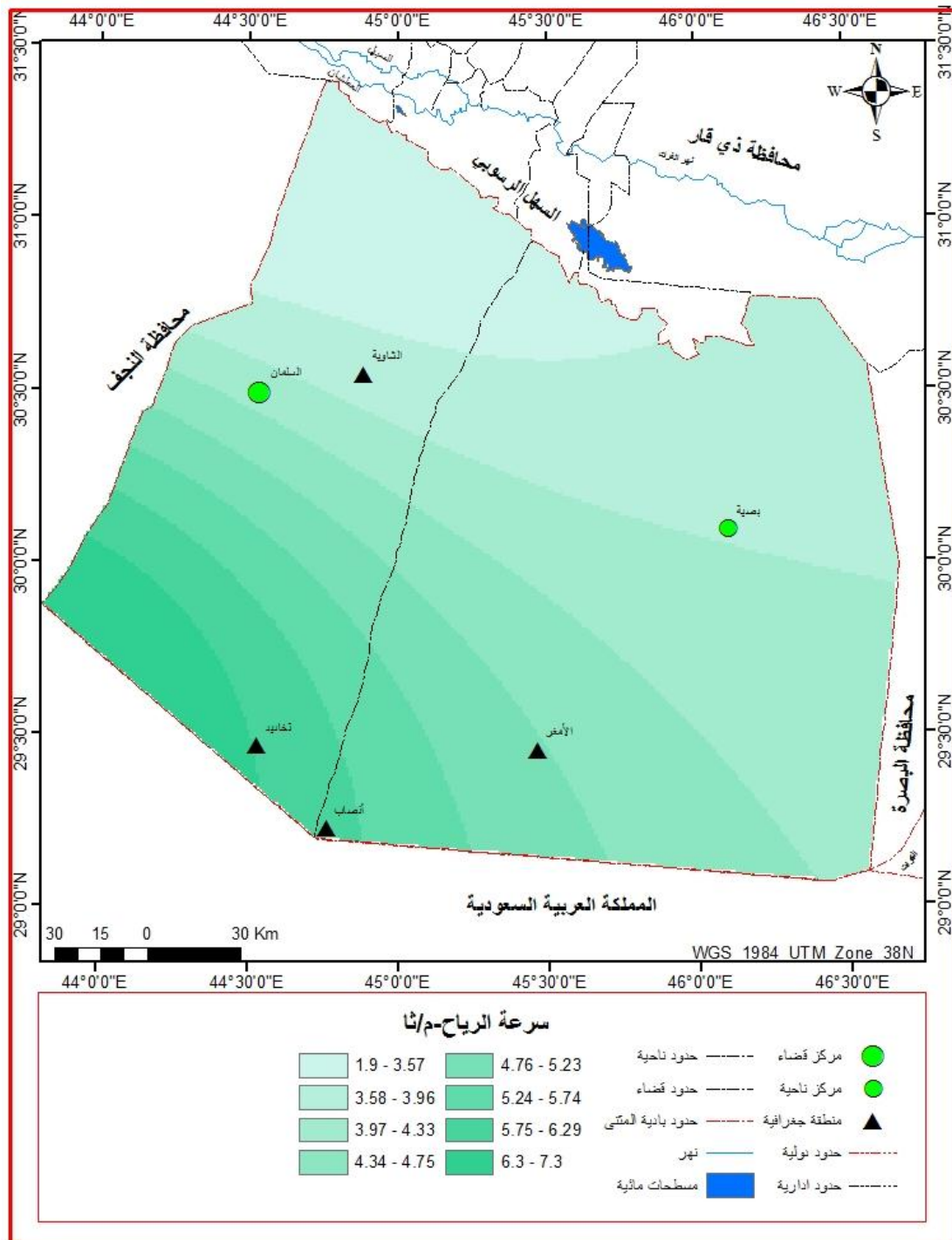
المحطة	النجف	السماوة	رفحاء	البصرة
الشهر				
كانون الثاني	1.3	2.7	7	3.4
شباط	1.8	3.2	7.8	3.7
آذار	2.1	3.6	8.2	4
نيسان	2.2	3.7	8.5	4
مايس	2.2	3.8	8	4.2
حزيران	2.9	4.1	7.5	5.5
تموز	2.8	3.9	7.5	5.2
آب	2.2	3.6	6.6	4.6
ايلول	1.7	3.2	6.2	3.8
تشرين الأول	1.4	2.8	7	3.1
تشرين الثاني	1.2	2.5	6.8	3.1
كانون الأول	1.3	2.6	6.6	3
المعدل السنوي	1.9	3.3	7.3	3.96

المصادر: 1- وزارة النقل، الهيئة العامة للأشياء الجوية والرصد الزلزالي، قسم المناخ ، بيانات غير منشورة ، 2021.

2- الهيئة العامة للأشياء وحماية البيئة ، البيانات المفتوحة ، مكتبة البيانات المفتوحة ، إدارة تلبية الطلبات المعلوماتية ، 2021.

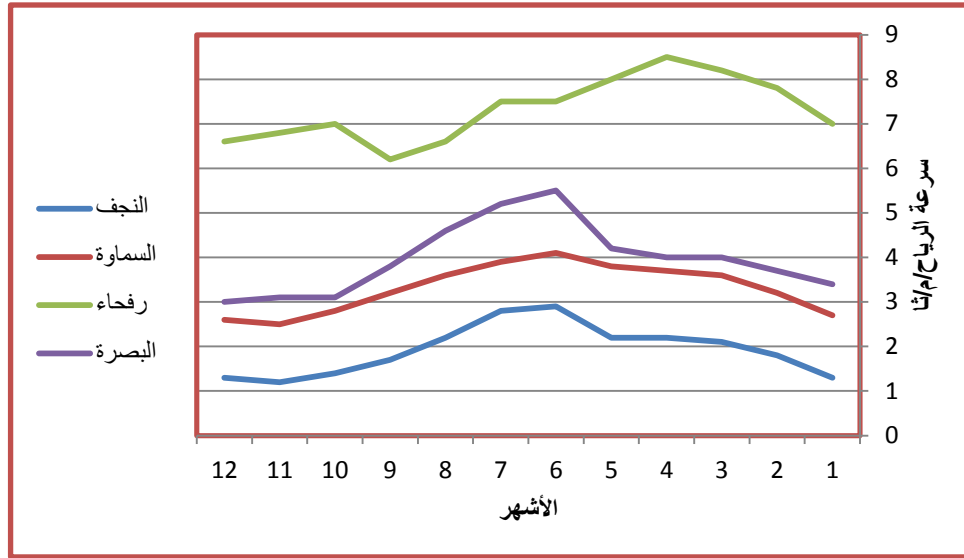
خريطة (3-5) المعدلات السنوية لسرعة الرياح (م/ثا) للمحطات المعتمدة للمدة

(2021-1991)



المصدر: بالاعتماد على جدول (3-3).

شكل (3-5) المعدلات الشهرية والسنوية لسرعة الرياح (م/ثا) للمحطات المعتمدة للمدة (1991-2021)



المصدر: بالاعتماد على جدول (3-3).

أما فيما يخص اتجاهات الرياح فهي في الغالب شمالية غربية جافة خصوصاً خلال اشهر الجفاف وقت زيادة تكرار هبوبها الذي يقترن بزيادة سرعتها فضلاً عن دور عامل السطح، أما الاتجاه الآخر للرياح فهو الرياح (الجنوبية الغربية - الغربية) التي يزداد تكرار هبوبها ضمن الفترة التي تمتد من شهر تشرين الاول حتى نهاية شهر مايس، بسبب تكرار المنخفضات الجوية المتوسطة الرطوبة، ويزداد تكرار هبوب الرياح الشمالية الشرقية ابتداء من شهر تشرين الأول ولغاية شهر مايس، أما الرياح الدافئة الرطوبة التي تهب في الشتاء فهي الرياح الجنوبية والجنوبية الشرقية التي تأتي في مقدمة المنخفضات الجوية المارة في القسم الاوسط والجنوبي من البلاد، وتهب في فصل الصيف الرياح الجنوبية الحارة والرطوبة والمغبرة (السموم)، يلاحظ جدول (3-4) وخريطة (3-6) وشكل (3-6).

مما سبق يتضح بأن هناك تناسب طردي بين ارتفاع درجة الحرارة وسرعة الرياح، وإن الاتجاه الغالب هو الشمالي الغربي ولا سيما في فصل الجفاف، ومن ثم إمكانية الاستفادة منها كمصدر للطاقة المتجددة نظراً للمزايا التي تتميز بها من حيث السرعة والاستقرار في اتجاه واحد أغلب أشهر السنة، فضلاً عن أهميتها في تعزيز النشاط السياحي من خلال تكوين مظاهر جيومورفولوجية تنتج عن عمليات التعرية والنقل والارساب لمواد السطح.

جدول (3-4)

النسب المئوية الشهري والسنوية لاتجاهات الرياح % للمحطات المعتمدة للمدة 1991-
2021

المحطة	النجف	السماوة	رفحاء	البصرة
الاتجاه				
شمالية	19.1	12.3	17	13.4
شمالية شرقية	7.7	5.2	5.2	3.4
شرقية	6.9	7	9.1	4.7
جنوبية شرقية	2.7	5.8	8.3	6.7
جنوبية	2.8	2.7	3.7	7
جنوبية غربية	1.9	4.8	5.2	2
غربية	9.7	21.8	14.3	14.3
شمالية غربية	35.5	28.4	22.2	35.1
السكون	13.7	12	15	13.3

المصادر بالاعتماد على: 1- وزارة النقل، الهيئة العامة للأبنواء الجوية والرصد الزلزالي، قسم المناخ ، بيانات غير منشورة ، 2021.
2- الهيئة العامة للأرصاد وحماية البيئة ، البيانات المفتوحة ، مكتبة البيانات المفتوحة ، إدارة تلبية الطلبات المعلوماتية ، 2021.

3-1-4- الأمطار: Rainfall : سوف يتم تناول هذا الموضوع بالتفصيل في الفصل السادس.

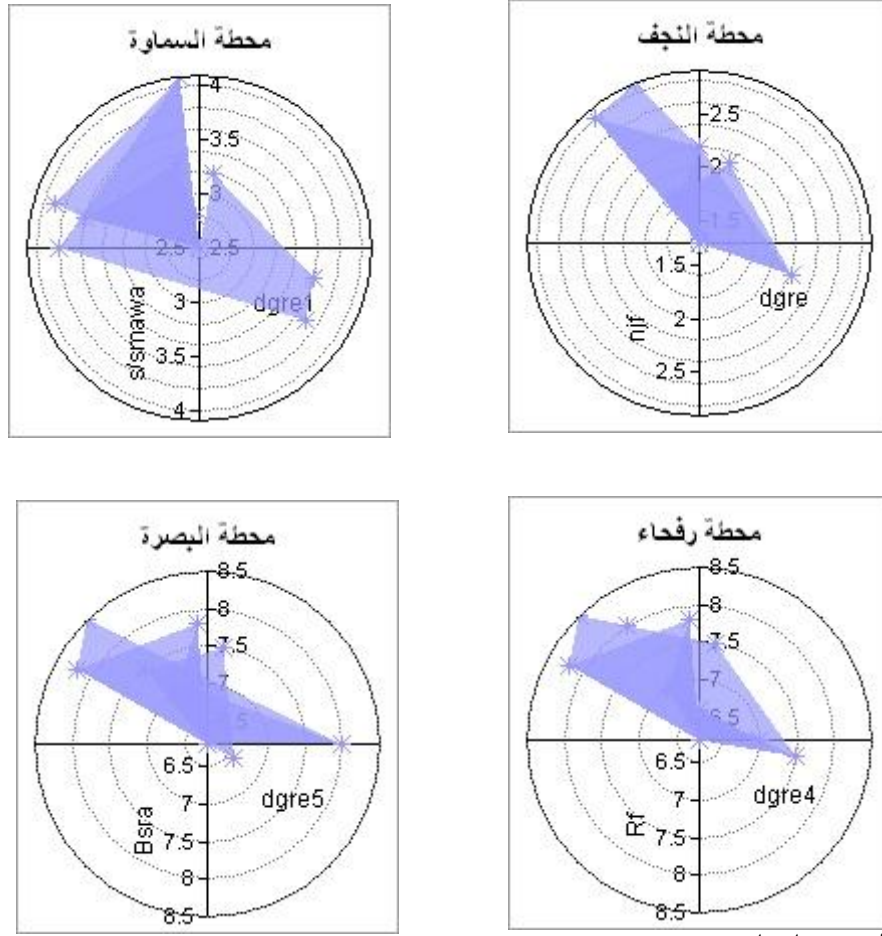
3-1-5- الرطوبة النسبية Relative Humidity

هي نسبة بخار الماء في وحدة حجم معينة من الهواء ومقدار ما يمكن أن يتحملة هذا الحجم من بخار الماء وصولاً إلى درجة التشبع دون تغيير درجة حرارة الهواء أو مقدار ضغطه⁽¹⁾، ويكون الهواء جافاً إذا كانت النسبة أقل من (50) %، ومتوسط الرطوبة إذا كانت النسبة تتراوح بين (60-70) % وشديد الرطوبة إذا كانت نسبته أكبر أو يساوي (70) %⁽²⁾، وللرطوبة النسبية أهمية كبيرة كونها تعد عنصراً من عناصر المناخ التي لها دور كبير في تماسك التربة، وفي حالة زيادة

(¹) حسن سيد احمد ابو العينين ، اصول الجغرافيا المناخية ، الطبعة الثالثة ، دار النهضة العربية ، بيروت ، 1985 ، ص 312.

(²) فهمي أبو العطا ، الطقس والمناخ دراسة في طبيعة الجو وجغرافية المناخ ، دار المعرفة الجامعية، الإسكندرية، 1985، ص 188.

شكل(3-6) وردة الرياح(Wind Rose) لمحطة النجف والسماوة ورفحاء والبصرة



المصدر: باعتماد:

1- المصدر: بالاعتماد على جدول (3-4).

2-برنامج (Arc GIS 10.2.2).

يتضح من جدول (3-5) وخريطة(3-7) وشكل(3-7) إن معدل الرطوبة النسبية هو (39.7) %، وترتفع الرطوبة في أشهر الشتاء من بداية تشرين الثاني حيث بلغت (56.2 ، 52.7 ، 50.7 ، 53.9) % في محطات (النجف ، السماوة ، رفحاء ، البصرة) على التوالي ، وتم تسجيل أعلى نسبة لها في أشهر (كانون الأول ، كانون الثاني، شباط) لتصل الى (65.4 ، 67 ، 56.9) % على التوالي في محطة النجف، ومحطة السماوة (61.4 ، 64.5 ، 56.4) % على التوالي، و(58.7 ، 60.9 ، 53.3) % على التوالي في محطة رفحاء، و(65.4 ، 67.4 ، 57.9) % على التوالي في محطة البصرة.

يمكن تفسير هذا الارتفاع في معدلات الرطوبة إلى زيادة كمية الأمطار المتساقطة خلال هذه الأشهر وازياد سرعة الرياح، فضلاً عن زيادة كثافة الغطاء النباتي ودوره في زيادة عمليات النتج، وتستمر الرطوبة النسبية بالانخفاض خلال شهر (نيسان، ماي، حزيران) حتى تصل إلى أدنى

الفصل الثالث.....المقومات المناخية لبادية المثنى ودورها في التنمية المستدامة

مقدار لها خلال شهري (تموز، آب) ، إذ بلغت الرطوبة النسبية في محطة النجف (21.6 ، 22.8)% على التوالي وبلغت في محطة السماوة (21.9 ، 23.5) %على التوالي وفي محطة رفحاء (19.3 ، 20.1)% على التوالي وبلغت في محطة البصرة (21.8 ، 23.9)% على التوالي .

جدول (3-5)

المعدلات الشهرية والسنوية للرطوبة النسبية (%) للمحطات المعتمدة للمدة (1991-2021)

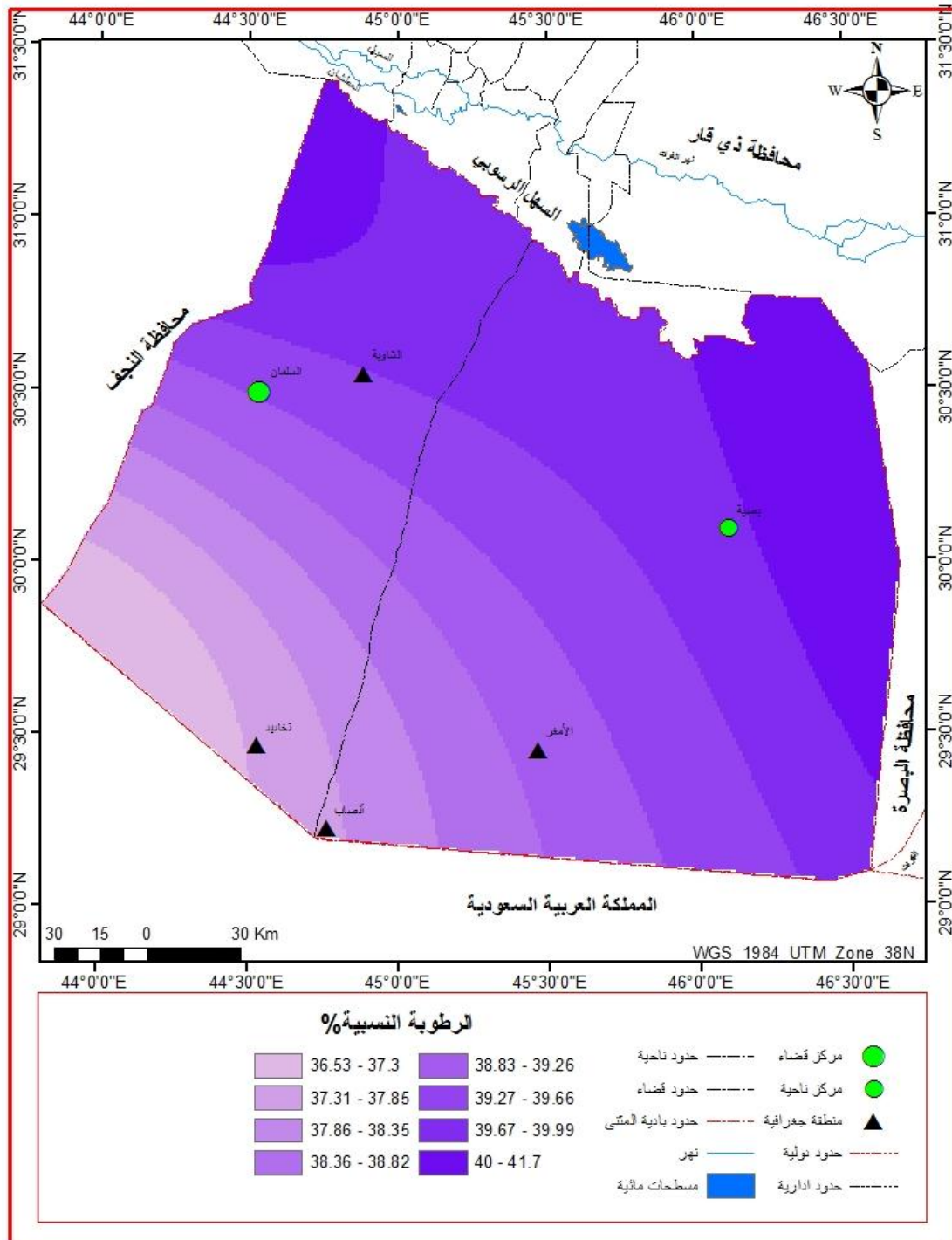
المحطة	النجف	السماوة	رفحاء	البصرة
الشهر				
كانون الثاني	67	64.5	60.9	67.4
شباط	56.9	56.4	53.3	57.9
آذار	48.2	46.5	38.7	48
نيسان	40.8	37.4	34.8	39.1
مايس	30.8	28.2	26.2	27.6
حزيران	23.8	22.5	20	21.4
تموز	21.6	21.9	19.3	21.8
اب	22.8	23.5	20.1	23.9
ايلول	27.7	26.7	22.7	27.2
تشرين الاول	39.2	36.8	30.8	38.4
تشرين الثاني	56.2	52.7	50.7	53.9
كانون الاول	65.4	61.4	58.7	65.4
المعدل السنوي	41.7	39.8	36.35	41

المصادر: بالاعتماد على 1- وزارة النقل، الهيئة العامة للأبناء الجوية والرصد الزلزالي، قسم المناخ ، بيانات غير منشورة ، 2021.
2- الهيئة العامة للأرصاد وحماية البيئة ، البيانات المفتوحة ، مكتبة البيانات المفتوحة ، إدارة تلبية الطلبات المعلوماتية ، 2021.

ويمكن تفسير هذا التراجع في معدلات الرطوبة إلى انعدام التساقط وقلة الغطاء النباتي ومن ثم انخفاض عمليات النتح وهبوب الرياح الجافة، مما يزيد من قدرة الخلايا الشمسية على توليد الطاقة الكهربائية وتحديداً في فصل الصيف الجاف الحار الطويل، في حين إن الرطوبة تزداد خلال فصل الشتاء مما يعزز نمو النباتات الطبيعية والمحاصيل الزراعية.

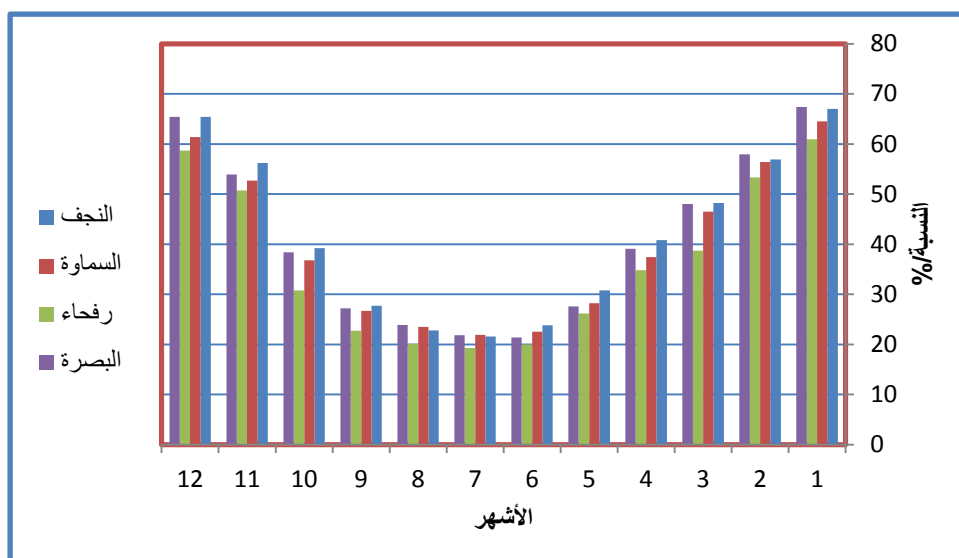
خريطة (3-7) المعدلات السنوية للرطوبة النسبية (%) للمحطات المعتمدة للمدة

(2021-1991)



المصدر: بالاعتماد على جدول (3-5).

شكل (3-7) المعدلات الشهرية والسنوية للرطوبة النسبية (%) للمحطات المعتمدة للمدة (1991-2021)



المصدر: بالاعتماد على جدول (3-5).

3-1-6- التبخر: Evaporation

يعد التبخر من العناصر المناخية التي لها أهمية كبيرة في طبيعة الوضع المائي وحساب الموازنة المائية واحد اركانها المهمة، من خلال المساهمة في تحديد كمية المياه الجارية في أحواض التغذية وتطوير مجاري الشبكة المائية وخصائصها المورفومترية، وهناك عوامل تسهم في تباين شدة التبخر منها (مقدار الإشعاع الشمسي ودرجة الحرارة وسرعة الرياح وطول ساعات النهار وانخفاض معدلات الرطوبة وصفاء الجو وانعدام التساقط ونشاط الرياح الجافة خلال فصل الصيف وقلة الغطاء النباتي ونوعية التربة وانحدار السطح).

عند تحليل جدول (3-6) يتبين أن هناك تبايناً في معدلات التبخر شهرياً وفصلياً في معظم فصول السنة، وتبدأ الزيادة التدريجية في معدلات التبخر في شهر آذار، إذ بلغ فيه مجموع قيم التبخر (195.9 ، 196.1 ، 184،208.7) ملم في محطات النجف والسماءة ورفحاء والبصرة على التوالي، ويستمر معدل التبخر بالزيادة بالتزامن مع زيادة معدلات درجات الحرارة ، وصولاً إلى أعلى قيمة له في شهر تموز، إذ بلغ معدل مجموع التبخر في محطات النجف والسماءة ورفحاء والبصرة (553.8 ، 506.3 ، 532.5 ، 540) ملم على التوالي، ثم تبدأ معدلات التبخر بالتناقص وصولاً إلى أدنى قيمة له في شهر كانون الثاني، إذ بلغت قيم التبخر في محطات النجف والسماءة ورفحاء والبصرة (83.5 ، 86.6 ، 88.2 ، 73.6) ملم على التوالي، أما المعدل

الفصل الثالث.....المقومات المناخية لبادية المثنى ودورها في التنمية المستدامة

الشهري العام في منطقة الدراسة فقد بلغ (282.18) ملم ، ومعدل المجموع السنوي العام لمنطقة الدراسة (3386.4) ملم سنوياً، يلاحظ خريطة (8-3) وشكل (8-3).

جدول (6-3)

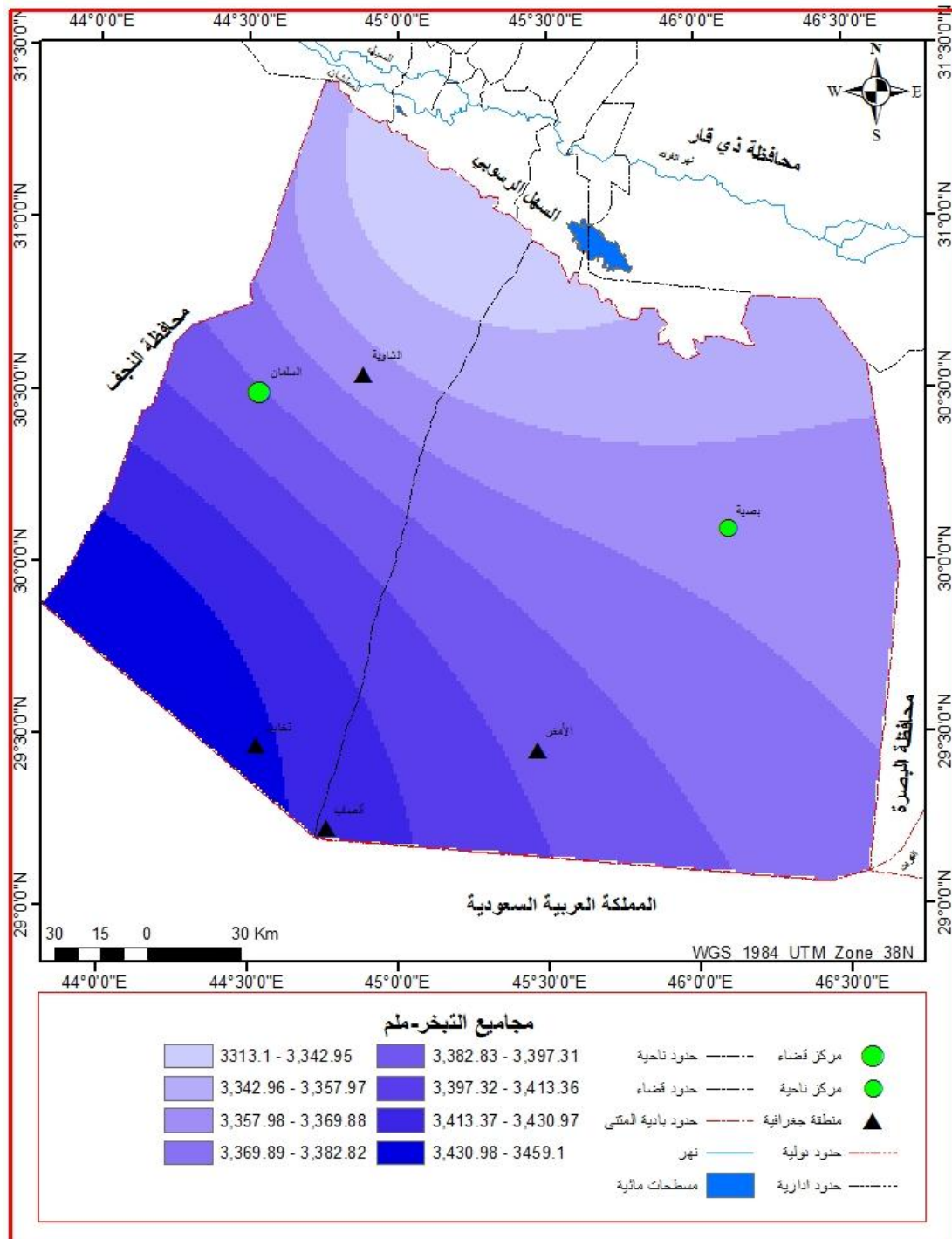
المعدلات الشهرية والمجموع والمعدل السنوي للتبخر (ملم) للمحطات المعتمدة للمدة (1991-2021)

المحطة	النجف	السماوة	رفحاء	البصرة
الشهر				
كانون الثاني	83.5	86.6	88.2	73.6
شباط	117.7	120.7	120.1	104
آذار	195.9	196.1	208.7	184
نيسان	274.2	258.4	297.2	267.3
مايس	387.8	360.5	384.2	394.4
حزيران	462.6	464.1	482.3	501.9
تموز	553.8	506.3	532.5	540
آب	502.3	469.9	484.3	472.2
ايلول	364.3	365	372.1	374.9
تشرين الاول	253.6	263.4	268.2	236.9
تشرين الثاني	133.2	134.9	132.1	126.4
كانون الاول	89.2	87.2	89.2	79.7
المجموع السنوي	3418.1	3313.1	3459.1	3355.3
المعدل السنوي	284.8	276.09	288.25	279.6

المصادر بالاعتماد على: 1- وزارة النقل، الهيئة العامة للأتواء الجوية والرصد الزلزالي ، قسم المناخ ، بيانات غير منشورة ، 2021.

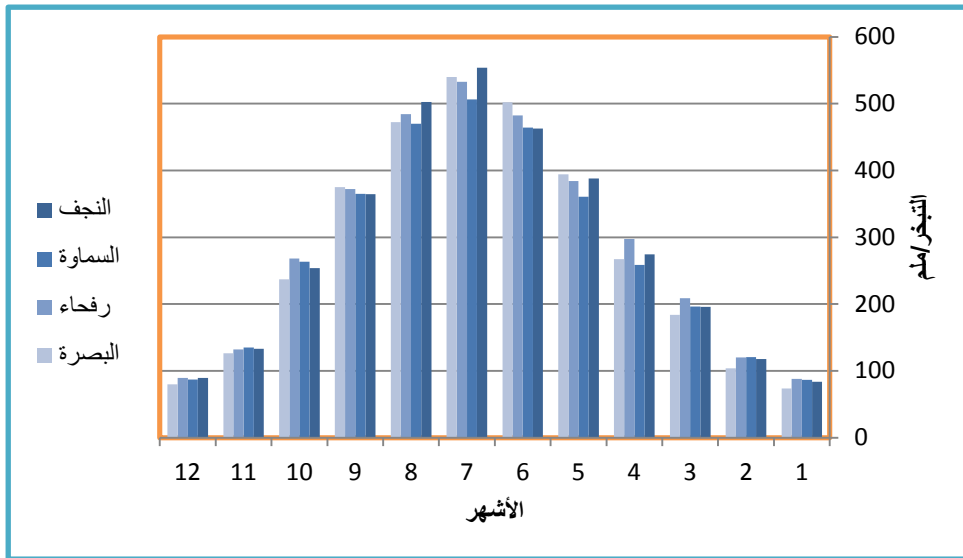
2- الهيئة العامة للأرصاد وحماية البيئة ، البيانات المفتوحة ، مكتبة البيانات المفتوحة ، إدارة تلبية الطلبات المعلوماتية ، 2021.

خريطة (3-8) مجاميع قيم التبخر (ملم) للمحطات المعتمدة للمدة (1991-2021)



المصدر: بالاعتماد على جدول (3-6).

شكل (8-3) المعدلات الشهرية للتبخر (مم) للمحطات المعتمدة للمدة (1991-2021)



المصدر: بالاعتماد على جدول (6-3).

مما تقدم يتضح ارتفاع نسبة التبخر في المنطقة بسبب طول ساعات النهار وسقوط أشعة الشمس بشكل عمودي او شبه عمودي، وللتبخر دور أساسي في عملية الدورة العامة للماء وتزويد الغلاف الجوي بالرطوبة، ويعد جزءاً مهماً في عملية تخفيف التباين في درجات الحرارة وعملية توزيع وتبادل الطاقة بين الغلاف الجوي والأرض، فضلاً عن دوره في تشكيل الطقس والمناخ على الأرض.

-الموازنة المائية المناخية Budget of Climatic Water

سوف يتم تناول الموازنة المائية المناخية بالتفصيل ضمن الفصل السادس.

3-2- دور الخصائص المناخية في التنمية المستدامة في بادية المثني:

للخصائص المناخية دور في التنمية المستدامة لبادية المثني، ويعد الاشعاع الشمسي ودرجة الحرارة وكميات الامطار من أكثر العناصر المناخية دوراً في تحديد نمط استغلال الأرض وكثافة النباتات الطبيعية المتوفرة ، والإمكانات الرعوية والزراعية.

3-2-1- دور الخصائص المناخية في التنمية الصناعية المستدامة (الطاقة والإنتاج) :

تمهيد

إن لعناصر المناخ دور مهم في تحديد امكانيات التنمية المستدامة، وتعد الطاقة الشمسية وطاقة الرياح من أهم مصادر الطاقة، وجدير بالذكر إن راحة الإنسان وصحته تتأثر بالعناصر

المناخية، وتوفر بيئة مناسبة للنشاط والإبداع والإنتاج، إن مشروع عمل المنظومات الكهربائية يجب أن يسبقه عملية تنقيفية واسعة للمواطنين عبر وسائل الاعلام تبين من خلالها اهمية وفوائد استخدام هذه الطاقة النظيفة والمحافظة على البيئة وصحة الانسان من الملوثات البصرية والسمعية والملوثات الهوائية الناتجة عن عميات توليد الطاقة (الدخان، الغازات، الزيوت، والاصوات، المناظر)، ويعد تنفيذ مشروع منظومات الطاقة الكهربائية باستعمال تقنية الألواح الشمسية واستغلال طاقة الرياح من المشاريع ذات الاهمية الكبرى في اشاعة استخدام هذه التكنولوجيا المتقدمة (الطاقة المتجددة) وتوسيع مفاهيمها، لا سيما وإنها سهلة التطبيق في البنايات والمنازل ولا تتطلب صيانة بشكل مستمر، فضلاً عنها تتناسب مع احتياجات المواطنين بمنظومة تغطي عدة ساعات، وتعد اشاعة وترويج استخدام هذه التقنية الحديثة ذات اثار مهمة، من ضمنها اشاعة الاستغناء عن استخدام المولدات الاهلية والخاصة، والتخلص من الكميات الهائلة من الملوثات الناتجة عنها وتوفير المبالغ المدفوعة كتكاليف لهذه الخدمة.

ولعل أهم العناصر المناخية التي لها دور في عملية الإنتاج والطاقة ما يلي:

3-2-1- دور الاشعاع الشمسي في الطاقة والانتاج:

أوضحت العديد من الدراسات الافتراضية في حال وضع خلايا تعمل بكفاءة (5%) على مساحة (1600) كم² في الصحراء الغربية من العراق لأصبح بإمكاننا توليد طاقة تساوي (4800000) ميكا واط / ساعة في اليوم، وهذه الطاقة كبيرة جداً تفوق احتياجات العراق، واحتياجات الدول العربية جمعاء⁽¹⁾، وتتراوح عدد ساعات السطوع الشمسي في المناطق التي تعد مثالية لاستخدام الطاقة الشمسية المباشرة ما بين (2000-2500) ساعة/سنة⁽²⁾، وعند تحليل جدول (3-1) نجد ان المنطقة تتميز بصفاء جوها وارتفاع ساعات السطوع الشمسي في اغلب شهور السنة فلا تقل عن (3141.1) ساعة /سنة، ومن ثم فان الاستثمار في الطاقة المتجددة (الشمسية) مناسب جداً من حيث القدرة على الإنتاج، والتقليل بشكل فعال من العديد من اشكال التلوث الناتج عن استخدام الوقود الاحفوري سواء في المحطات الرئيسة او في المولدات الاهلية او المنزلية، ويجدر الذكر بأن هذه الخلايا تحتاج بين فترة وأخرى عملية تنظيف الألواح الشمسية من الغبار العالق الذي يؤدي إلى خفض كفاءة عملها وهي عملية منخفضة التكاليف.

(1) رضا عبد الجبار الشمري ورحمن الإدامي ، الطاقة الشمسية في الوطن العربي بين محفزات الاستثمار ومعوقاته ، مجلة البحوث الجغرافية، كلية التربية للبنات، جامعة الكوفة ، العدد ، 7، 2007 ، ص20.

(2) رضا عبد الجبار الشمري ورحمن الإدامي ، نفس المصدر، ص20.

3-2-1- دور الرياح في الطاقة والإنتاج:

يعد توفر سرعة ريحية بين (3.6 – 37) م/ثا مناسبة لعمل منظومة الطواحين الهوائية لتوليد الطاقة الكهربائية عن طريق استغلال الطاقة الهوائية⁽¹⁾، وتعد Nordex_ N43/ 600^(*) و N06 2500^(*) من أشهر انواع التوربينات المستخدمة في مجال توليد الطاقة الكهربائية عن طريق الرياح، وتتميز المنطقة بوقوعها ضمن نطاق الضغط العالي شتاءً والمنخفض الحراري صيفاً، لذا فان سرعة الرياح عموماً متوسطة، عدا الفترات التي تقع تحت تأثير الرياح المصاحبة لحركة المنخفضات الجوية المتوسطة وغيرها، ومن خلال ذلك يتبين ان سرعة الرياح وتحديدًا في فصل الصيف مناسبة لهذه المشاريع تنموية.

عند تحليل جدول(3-4) يلاحظ الثبات النسبي لاتجاهات هبوب الرياح في عموم بادية المثنى، الامر الذي يُمكن من الاستثمار في مجال توليد الطاقة الكهربائية بواسطة نشر مزارع الرياح في المنطقة، ويتضح من خلال هذه المعطيات ان منطقة الدراسة تتميز بكونها منطقة مناسبة للاستثمار في مجال الطاقة المتجددة وخصوصاً في فصل الصيف الذي يتزامن مع زيادة معدلات سرعة الرياح من جهة وزيادة استهلاك الطاقة الكهربائية من جهة اخرى، وامتدادها في الهضبة الغربية وتوافر مساحات شاسعة وقلة العوائق الطبيعية والبشرية جعلها بيئة مثالية للاستثمار والتنمية في قطاع الطاقة المتجددة فضلاً عن توفير فرص عمل جيدة.

ولتحليل الوضع الفني لطاقة الرياح في بادية المثنى لغرض تحديد الجدوى الاقتصادية من استغلال هذه الطاقة تم استخراج معامل قدرة (طاقة) الرياح من خلال العلاقة الآتية⁽²⁾:

$$CP=1/2pv^3$$

حيث إن:

CP = طاقة الرياح ب الواط

P = كثافة الهواء (1.29) كغم /م³

(¹) عادل سعيد الراوي وقصي عبد المجيد السامرائي ، المناخ التطبيقي، جامعة بغداد ، 1990 ، ص293.
(*) تتميز ببداية معتدلة لسرعة الرياح (3م/ثا) ، وهي أدنى سرعة لازمة لتبدأ التوربينات بالدوران أما السرعة العظمى تصل إلى 25م/ثا ، والطاقة الرياحية المتولدة ب 600 كيلو واط ، وارتفاع البرج 50م وقطر التوربين 43م والتكلفة 965 الف دولار .
Rehman et all, 2003 p33.

(*) تبدأ عند 4م/ثا ، وسرعة تشغيلية تقدر ب 14 م/ثا ، وقطر الريشة 80م ، وتبلغ الطاقة المتولدة 2500 ك.واط.

(²) سامي حسن الجبوري، الوضع الفني لطاقة الرياح، وقائع الحلقة الدراسية حول خزن الطاقة المتولدة عن تطبيقات الطاقة الجديدة والمتجددة، الامانة العامة لمجالس البحث العلمي العربية، بغداد، 1993، ص152.

$$V = \text{سرعة الرياح م/ثا}$$

وبتطبيق العلاقة السابقة أمكن حساب طاقة الرياح بالواط في المنطقة، يلاحظ جدول (3-7).

جدول (3-7) طاقة الرياح ب (واط) للمحطات المعتمدة للمدة (1991-2021)

طاقة الرياح ب الواط	معدل سرعة الرياح م/ثا	محطات منطقة الدراسة
		الشهر
30.09	3.6	كانون الثاني
45.10	4.12	شباط
57.60	4.47	آذار
62.78	4.6	نيسان
58.77	4.5	مايس
80.62	5	حزيران
73.5	4.85	تموز
49.51	4.25	آب
33.20	3.72	ايلول
29.34	3.57	تشرين الأول
25.35	3.4	تشرين الثاني
24.68	3.37	كانون الأول
47.55	4.10	المعدل السنوي

المصدر : بالاعتماد على الجدول (3-3)

يتبين من خلال تحليل جدول(3-7) إن معدلات طاقة الرياح، احتلت المرتبة الاولى خلال اشهر الصيف إذ بلغت اقصاها في شهر حزيران (80.62) واط، في حين كانت ادناها في كانون الاول إذ بلغت (24.68) واط، ويعزى ذلك إلى العلاقة الطردية بين ارتفاع درجة الحرارة وزيادة معدلات سرعة الرياح، وهذه الخاصية لها دور ايجابي في زيادة معدلات انتاج الطاقة الكهربائية الريحية في اشهر ذروة استهلاك هذه الطاقة (اشهر الصيف) ومن ثم تتحقق الجدوى الاقتصادية من هذا المشروع، ولتصميم مشروع لطاقة الرياح بقدرة (3) ميكا واط يجب مراعاة معطيات جدول (3-8) .

جدول (3-8) متطلبات وحدة الطاقة الريحية بقدرة (3) ميكا واط

المادة	ارتفاع مركز الأذرع	عدد الأذرع	السرعة النسبية العظمى	السرعة الصغرى اللازمة للدوران	القدرة الميكانيكية النوعية لوحدة المساحة	السعة النوعية للقدرة الخارجة من المواد	مساحة الدوران	قطر الدوران	السعة التصميمية لتوليد القدرة
Steel	100م	2	24.2 م/ثا	4.5 م/ثا	242 واط/م ²	382 واط/م ²	7854م ²	100م	3 ميكاواط

المصدر: سامي حسن الجبوري، الوضع الفني لطاقة الرياح، الأمانة العامة لمجالس البحث العلمي العربية، بغداد، 1993، ص153.

ويقترح الباحث مواقع لإنشاء محطات لتوليد الطاقة الكهربائية (الشمسية) شمال قصبه المملحة الذي يبعد (38) كم عن مدينة السماوة ، بهدف تغذية المناطق المجاورة لبحيرة ساوة لتنشيط السياحة في تلك المنطقة، فضلاً عن قربها من معامل السمنت المقامة هناك، إذ تستهلك هذه المعامل طاقة كهربائية كبيرة، وتجهيز سكان المملحة والطريق الرابط بين المملحة ومدينة السماوة وبين المملحة باتجاه مركز القضاء (السلمان)، كون هذه المنطقة هي المدخل الرئيس لبادية المثنى من جهة السماوة، ويقترح الباحث استغلال المنطقة الواقعة شمال الشحيات التي تبعد (18) كم عن مركز القضاء (السلمان) بالقرب من موقع مطار السلطان العسكري سابقاً، إذ يخدم هذا الموقع سكان مركز القضاء والمناطق المجاورة باتجاه ناحية بصية، اما بخصوص استثمار طاقة الرياح، فيقترح الباحث انشاء مزارع الرياح شمال غرب ناحية بصية، كون هذه المنطقة هي مفتوحة ومرتفعة نسبياً قياسياً بالأراضي المطلة على السهل الرسوبي والنشاط الريحي لها، فضلاً عن قربها من الطريق الذي يربط ناحية بصية بقضائي الخضر والسماوة، ومن ثم خدمة المناطق المحيطة وتعزيز انتاج الطاقة الكهربائية الوطنية، يلاحظ خريطة (3-9) .

ومن خلال هذه المعطيات يتبين ان منطقة الدراسة تتميز بكونها منطقة مناسبة للاستثمار في مجال الطاقة المتجددة وخصوصاً في فصل الصيف الذي يتزامن مع زيادة معدلات الاشعة الشمسية وسرعة الرياح من جهة وزيادة استهلاك الطاقة الكهربائية من جهة اخرى، وتوافر مساحات شاسعة وقلة العوائق الطبيعية والبشرية في بادية المثنى جعلها بيئة مثالية للاستثمار والتنمية في قطاع الطاقة المتجددة فضلاً عن توفير فرص عمل جيدة.

3-2-1-3 دور الأمطار في الطاقة والإنتاج:

من خلال تحليل جدول (6-1) في الفصل السادس يتضح ان الأمطار موسمية، الامر الذي ينعكس على امكانات لا حدود لها في استثمار الطاقة المتجددة كون اغلب الشهور هي شهور

تتصف بصفاء سماءها ومن ثم زيادة معدلات استقبال الطاقة الشمسية واستثمارها الامثل، وان انخفاض معدلات سقوط الامطار له دور ايجابي في مجال التقليل من ادامة الخلايا الشمسية بسبب تراكم الاتربة على هذه الخلايا ومن ثم عملها بشكل مناسب، فضلاً عن اهمية المياه وبمصادرها المختلفة ومنها الامطار في العديد من الصناعات ومنها صناعة الاسمنت، إذ إن انتاج الطن الواحد من الاسمنت يحتاج إلى (3100) لتر من الماء.

3-2-1-4 دور الرطوبة النسبية في الطاقة والانتاج:

تؤثر الرطوبة النسبية في حالة ارتفاع نسبها على كفاءة عمل الألواح الشمسية بسبب ان ارتفاع الرطوبة تتزامن مع زيادة معدلات سقوط الامطار، وان زيادة معدلات الرطوبة يؤدي إلى تشتيت الاشعة الشمسية وتقليل نسبة الاشعاع الشمسي الواصل الى الخلايا وخفض انتاجها، وعموماً ومن خلال تحليل جدول (3-5) يمكن ملاحظة انخفاض معدلاتها طوال السنة بسبب كون منطقة الدراسة تقع ضمن المناطق الجافة .

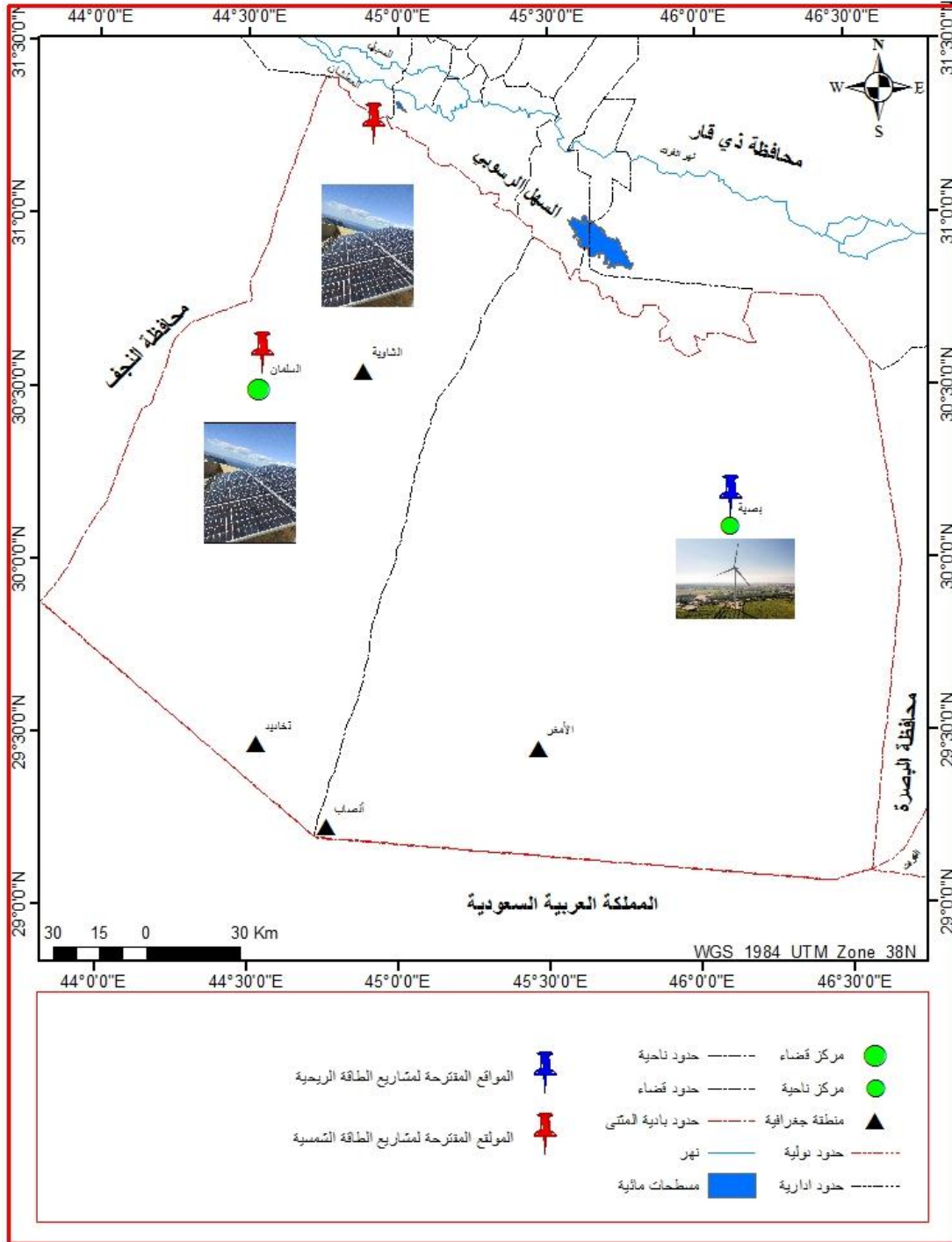
مما تقدم يتبين إن المنطقة بيئة مثالية لتطبيق هذه التقنية بسبب توافر جميع الظروف المناسبة لتنمية هكذا مشاريع، من توفر كميات مناسبة للإشعاع الشمسي وهبوب رياح مناسبة ولفترات جيدة، فضلاً عن صفاء الجو في اغلب شهور السنة، وان تطبيق هذه التقنية يساهم في توفير فرص عمل كبيرة، فضلاً عن التقليل من استهلاك الوقود الاحفوري والحد من استيراد الطاقة الكهربائية من دول الجوار لما فيه من هدر للمال العام فضلاً عن المخاطر السياسية.

3-2-2 دور الخصائص المناخية في التنمية العمرانية المستدامة:

تمهيد:

يتأثر الإنسان بالعناصر المناخية ويختلف هذا التأثير من عنصر لآخر، ويعمل الإنسان على محاولة تهيئة الظروف المناسبة له وحسب طبيعة التكنولوجيا المتاحة، وقد تكون وسائل آنية كالاختباء في الظل او من خلال تصاميم منزلية تراعى فيها طبيعة الاشعاع الشمسي، وقد كانت هناك محاولات لتصميم المنازل في العراق بشكل يراعي الإشعاع الشمسي ودرجات الحرارة واتجاه الرياح، ولكن مع دخول التصاميم الهندسية الحديثة قل هذا الاهتمام وتحولت التصاميم إلى الشكل العام العصري.

خريطة (3-9) المواقع المقترحة لمشاريع الطاقة المتجددة في بادية المثنى



توفير الراحة للإنسان للوصول الى إبداع الانسان، إذ من المعروف إن انتاجية الإنسان تعتمد على طبيعة المناخ ومدى الراحة التي يوفرها له، وسوف تناقش الدراسة أهم العناصر المناخية التي لا بد من وضعها ضمن الاولويات عند التخطيط المستقبلي المستدام للتوسع العمراني في بادية المثنى:

3-2-1- دور الإشعاع الشمسي في التنمية العمرانية المستدامة:

هناك عدة عوامل تتحكم في الإشعاع الشمسي ومنها سطوع الشمس واختلاف زاوية سقوط اشعة الشمس، فكلما كان مقدار الزاوية التي يسقط بها الاشعاع مائلاً كانت قوته أقل، وفي منطقة الدراسة يكون تأثير الإشعاع الشمسي كبير وخصوصاً في اشهر الصيف، ومن ثم تزداد كمية الاشعاع الشمسي المكتسبة، مما يحتم على المهندس المصمم تحديد واجهات المباني وإسقاطات الظلال ومواقع وحجم النوافذ، لكي يقلل من تعرض المباني لأشعة الشمس خلال أشهر الصيف قدر الامكان لضمان حد مناسب لراحة السكان، ومن خلال متابعة جدول (3-1)، يمكن ملاحظة ارتفاع معدل الاشعاع الشمسي في اشهر الصيف، في حين تكون ادناها خلال اشهر الشتاء، لذا يراعى عند تخطيط الوضع العمراني الاشعاع الشمسي الساقط على المبنى والاستفادة منه وفقاً لمتطلبات راحة الانسان في منطقة الدراسة، والحد بقدر الامكان من استهلاك الطاقة الكهربائية في الاستخدامات المختلفة، ويفضل إن تكون المساكن متقاربة لغرض الاستفادة من ظلالها، فضلاً عن احاطتها بحزام أخضر لغرض تلطيف الجو، وقد صيغت معايير نموذج التحليل المكاني (Spatial Analysis Model) للتنمية العمرانية المستدامة في الفصل السابع.

3-2-2- دور درجة الحرارة في التنمية العمرانية المستدامة:

تتجه الدول المتقدمة للتقليل من استهلاك الطاقة إلى ادنى حدودها، ولاختيار نوع وسمك ولون جدران المباني علاقة بنوع المناخ السائد في بادية المثنى وتحديدًا عنصر الحرارة، فضلاً عن اختيار ألوان واجهات المنازل، إذ اثبتت الدراسات الحديثة إن واجهات المباني ذات اللون الأبيض تنخفض درجة حرارتها بمعدل (6)°م عن المباني ذات اللون الرمادي⁽¹⁾، لذا يراعى ذلك عند تصميم المباني من خلال استخدام مواد بناء ذات كفاءة حرارية عالية، مثل الحجر الجيري والطين (وهي متوفرة في منطقة الدراسة)، التي لها خاصية عدم السماح باختراق الجدران بسبب سمكها، فضلاً عن خشونتها من الخارج، ويفضل عند طلائها استخدام الالوان الفاتحة كون هذه الالوان تعكس نسبة عالية من الاشعاع الشمسي بعكس الالوان الفاتحة، ويفضل زراعة حدائق

(1) عادل سعيد الراوي وقصي السامرائي، المناخ التطبيقي، مصدر سابق، ص271.

المنازل كونه يعطي جمالاً للنسيج العمراني فضلاً عن أهميته في التقليل من اثر ارتفاع درجة الحرارة في منطقة الدراسة.

3-2-2-3 دور الرياح في التنمية العمرانية المستدامة:

تعد الرياح من أهم العناصر المناخية تأثيراً في التخطيط العمراني، إذ تؤثر في تحديد مواقع استعمالات الأرض، ومن خلال حركتها تعمل على توزيع درجات الحرارة داخل المساحات السكنية، لذا فإن دراسة حركتها واتجاهاتها بشكل مفصل يعمل على تحقيق التهوية السليمة والتخفيف من درجات الحرارة المتطرفة من خلال التحكم في توجيه المباني والشوارع ، فضلاً عن تحديد مواقع النوافذ في المباني المختلفة، ويعد الاتجاه السائد للرياح في المنطقة هو الرياح الشمالية الغربية يلاحظ جدول (3-3)، لذا يكون التوجيه الأمثل للشوارع هو بنفس هذا الاتجاه لغرض تهوية شوارع المناطق السكنية وأن تكون المباني متقاربة والممرات مستقيمة وزراعة النباتات التي تلائم الظروف المناخية لمنطقة الدراسة للتقليل من التطرف في درجات الحرارة، فضلاً عن امكانية إقامة مجمعات عمرانية سياحية على شكل قرى كعامل جذب سياحي.

3-2-2-4 دور الأمطار في التنمية العمرانية المستدامة:

بالرغم من قلة الأمطار في المنطقة يلاحظ جدول(6-1) في الفصل السادس، الا ان سقوطها بصورة فجائية تدفع امامها سيول يصعب مواجهتها والتحكم بها، لذا يجب ان يراعى هذا الجانب عند البدء بمشاريع عمراني، لتجنب تداعيات تقويض الأساسات فضلاً عن تدمير الطرق المتوفرة، ويفضل تسقيط المباني بعيداً عن مسارات السيول وتصميمها بشكل موازي لخط السيول لتقليل مخاطرها التدميرية، فضلاً عن الدور التعريوي للأمطار من خلال تشويه واجهات المباني، وقد تم تناول مسارات السيول كمعيار لنموذج التحليل المكاني (Spatial Analysis Model) للتنمية العمرانية المستدامة في الفصل السابع، وتزداد فعالية التعرية المطرية مع ازدياد نسبة الاملاح في المواد المستخدمة في البناء لذا يجب مراعاة ذلك، وللسيول دور ايجابي في مجال توفير كميات لا بأس بها من المياه، لذا يجب مراعاة ذلك وتوجيه السيول لغرض الاستفادة منها في عمليات الحصاد المائي لتوفير المياه لهذه المجمعات السكنية أو القرى العصرية أو السياحية، وسوف يتم تناول هذا الموضوع في الفصل السادس.

3-2-2-5 دور الرطوبة النسبية في التنمية العمرانية المستدامة:

يتمثل اثر الرطوبة النسبية في مدى شعور الانسان بالراحة الحرارية من ناحية، كونها تحجب جزءاً لا بأس به من أشعة الشمس⁽¹⁾، وعموماً تتميز المنطقة بانخفاض معدلات الرطوبة النسبية في ما عدا اشهر الشتاء القصيرة، يلاحظ جدول(3-5)، وتجدر الإشارة إلى ضرورة أخذ عامل الرطوبة النسبية في الاعتبار في حالة البدء في التخطيط العمراني بسبب تحكمه في شعور الإنسان بالراحة وتأثير ذلك على البناء نفسه، ويفضل أن تكون المباني متباعدة ويكون اتجاه الشوارع مع الاتجاه العام للرياح.

3-2-3 دور الخصائص المناخية في النقل:

يتأثر النقل بشكل عام بالعناصر المناخية، سيما طرق النقل البري من خلال وجودها وانشائها وعملها والمحافظة عليها، ومن اهم العناصر المناخية التي لها دور في النقل البري :

3-2-3-1 دور الحرارة في النقل:

تتصف المنطقة بارتفاع درجة الحرارة بشكل عام، ولاسيما في فصل الصيف، يلاحظ جدول(2-3)، وقد كانت مشكلة ارتفاع درجات الحرارة تمثل مشكلة تواجه النقل في السابق، ولكن بسبب التطور العلمي الهائل قلل من أهمية هذه المشكلة من خلال اختراع اجهزة التبريد في السيارات، فضلاً عن استخدام مواد في تبليط الطرق تزيد من مقاومة درجات الحرارة المرتفعة.

3-2-3-2 دور الضغط الجوي والرياح والعواصف الترابية في النقل:

ترتبط سرعة واتجاه الرياح بالضغط الجوي، إذ يقود الانخفاض الشديد في معدلات الضغط الجوي إلى زيادة المنحدر الضغطي ومن ثم ازدياد سرعة الرياح وخصوصاً في اشهر الصيف، وتكوين العواصف الغبارية والرملية، وتؤثر الرياح في قطاع النقل والمواصلات البرية ويزداد خطرها بزيادة سرعتها وما تحمله من أتربة وغبار وعوايق، فضلاً عن عدم وضوح الرؤيا، إذ تكون محدودة ولمسافة قصيرة جداً، مما ينعكس سلباً على حركة النقل وتسبب حوادث مرورية فضلاً عن تأخير وصول المسافرين والبضائع، وقد يؤدي ذلك إلى تلف هذه البضائع، فضلاً عن دورها في التراكم التدريجي والزحف للكتبان الرملية على هذه الطرق، الأمر الذي يتسبب بحوادث

(1) حمدي صادق أحمد، تأثير العوامل المناخية في المناطق الصحراوية على التشكيل المعماري للسكن الإسلامي وأثره في تشكيل المسكن الصحراوي المعاصر في شمال أفريقيا، أطروحة دكتوراه(غير منشورة) قسم العمارة، كلية الهندسة والتكنولوجيا، جامعة حلوان، المطرية، القاهرة، 1994، ص20.

مرورية، وهناك علاقة طردية بين ارتفاع درجة الحرارة وازدياد سرعة الرياح، وعند ملاحظة جدول(3-3) نجد إن سرعة الرياح في المنطقة ليست مرتفعة جداً، كما وإن التطور العلمي الهائل في مجال الاستشعار عن بعد مكن من الحصول على صور من الأقمار الصناعية عن حركة العواصف الغبارية والترابية، ويمكن اجراء بعض المعالجات للحد من ظاهرة زحف الكثبان الرملية في بادية المثني من خلال تثبيت التربة عن طريق اجراء عمليات تحسين خصائص التربة وزراعتها، أو تثبيتها بمواد مثبتتها أو حفر خنادق جانبية للحد من زحفها.

3-2-3 دور الأمطار في النقل:

تزداد الحوادث المرورية بنحو (10%) بعد سقوط الأمطار، وأن (48%) من الحوادث تحدث أثناء سقوط الأمطار إذ أن بلل الشوارع يؤدي إلى ضعف احتكاك الاطارات بالشوارع فضلاً عن تباطؤ سرعة السير⁽¹⁾، وتعاني الطرق الترابية من تأثير الامطار الواضح وتقل او تتعدم عمليات النقل فيها أثناء وبعد سقوط الأمطار، فضلاً عن تجمع المياه في الاماكن المنخفضة مما يتسبب في صعوبة التنقل وقد تسبب انغراس اطارات السيارات، وعند مرجعة جدول(6-1) يمكن ملاحظة إن أغلب شهور السنة تفتقر للأمطار وإن فصل التساقط ينحصر في فترات معينة، ومن ثم لا يشكل ذلك عائقاً في حركة السيارات، كما يمكن اجراء بعض المعالجات للطرق المهمة في بادية المثني من خلال تحسين خصائص التربة او تغييرها ورصفها، من خلال استخدام المواد المتاحة ضمن منطقة الدراسة.

3-2-3-4 دور الضباب والصقيع في النقل:

يتكون الضباب عندما تنخفض درجة حرارة الهواء فوق سطح الأرض إلى درجة الندى، فتتكون قطرات مائية او بلورات جليدية بحجم أقل من (0.1) ملم معلقة في الهواء، وتقلل الرؤيا إذ تنخفض مدى الرؤيا إلى أقل من (200)م، ويتكون هذا النوع من الضباب فوق الياوس خلال فصول الخريف والشتاء والربيع في اواخر ساعات الليل، وخلال الساعات الاولى من الصباح الباكر، ويصل سمكه إلى مسافة عمودية (800) قدم⁽²⁾، ويعد الصقيع من الظاهر المناخية المؤثرة سلباً على حركة النقل للسيارات الكبيرة منها والصغيرة، إذ تؤدي هذه الظاهرة إلى ضعف احتكاك الإطارات مما يؤدي إلى حوادث مؤسفة، ويسهم الضباب في محدودية الرؤيا مما ينعكس سلباً على حركة وسائط النقل المختلفة، ومن ثم تأخر وصول البضائع والاشخاص في الوقت

(1) سلام هاتف احمد الجبوري ، علم المناخ التطبيقي ،كلية التربية / ابن رشد للعلوم الانسانية ، قسم الجغرافية / جامعة بغداد ، الطبعة الاولى ، 2014 ، ص205.

(2) سلام هاتف احمد الجبوري ،نفس المصدر ، ص203.

المناسب، وعموماً تحصل هذه الظاهرة في منطقة الدراسة في فترات محدودة بسبب طبيعة المناخ السائد.

3-2-4 دور الخصائص المناخية في التنمية الزراعية المستدامة:

تمهيد:

تعد الخصائص المناخية ذات أهمية كبيرة في الإنتاج الزراعي، وتتباين تأثيراتها بحسب نوع المحصول الزراعي، فكل منتج زراعي متطلبات مناخية خاصة وبعكسها يتعذر أو يقل انتاجه، ويشكل المناخ احد الركائز الأكثر تأثيراً في توزيع استعمالات الأراضي الزراعية، وسوف يتم التركيز على التنمية الزراعية للنخيل والزيتون نظراً لقابلية هذه الاشجار على تحمل الظروف المناخية لبادية المثنى والمردود المادي لها، ولاسيما عند اختيار الاصناف الجيدة، والتقليل من أثر العواصف الترابية وثبثت التربة والتخفيف من ارتفاع درجات الحرارة وتوفير فرص عمل.

3-2-4-1 دور درجة الحرارة في التنمية الزراعية المستدامة لأشجار النخيل والزيتون:

تتراوح درجات الحرارة المثلى للنخيل بين (18-44) درجة م°، إذ يبدأ بالازدهار عند (18) م° في الظل في حين تتكون ثماره عند (25) م°⁽¹⁾، ويعد الزيتون من الاشجار الدائمة الخضرة ويتباين معدلات نموها من حيث درجات الحرارة، وتعد (18-37) درجة م° الحدود الحرارية الملائمة لنموها⁽²⁾، وعند مراجعة جدول (3-2) نجد إن المعدل السنوي لكل من متوسط درجة الحرارة ودرجة الحرارة العظمى والصغرى في محطة النجف (17.9، 31.45، 24.6) م° على التوالي، وفي محطة السماوة (25.03، 32.2، 17.7) م° على التوالي، وفي محطة رفحاء (25.05، 35.3، 14.8) م° على التوالي، أما في محطة البصرة فكانت (26.4، 33.4، 19.4) على التوالي، لذا فان درجة حرارة بادية المثنى مناسبة لزراعة هذه الاشجار.

3-2-4-2 دور الأمطار في التنمية الزراعية المستدامة لأشجار النخيل والزيتون:

عند مراجعة جدول (6-1) نجد إن مدة سقوط الأمطار الفعلية يكون بداية شهر تشرين الأول ليصل إلى نهاية شهر مايس، ويلاحظ ان هناك تفاوت في كمية الأمطار المتساقطة في الأشهر المطيرة، فتكون في البداية قليلة في شهر تشرين الاول (4.3، 4، 1.4، 5) ملم، في محطات

(¹) جواد صندل البدران، زراعة النخيل وانتاج التمور في محافظة البصرة للفترة (1950-1980) دراسة في جغرافية الزراعة، رسالة ماجستير غير منشورة، قسم الجغرافية، كلية التربية، جامعة البصرة، 1988، ص 66.

(²) مخلف شلال مرعي و ابراهيم حسون، الجغرافية الزراعية، الموصل، 1996م، ص 276.

النجف والسماوة ورفحاء والبصرة على التوالي في حين سُجلت أعلى كمية لها في شهر كانون الثاني (12.9 ، 18.4 ، 8.5 ، 26.8) ملم، والظروف المذكورة مناسبة لزراعة النخيل وأثماره، ويظهر بان وقت التلقيح ونضوج التمر خالي من تساقط الأمطار، فهو يضر النخلة فضلاً عن إثمارها قبل وقت النضوج، ويسهم تساقط الأمطار في الشتاء في سقي النخلة ويزيل الأتربة عنها، وتتميز اشجار الزيتون بقدرتها على تحمل العطش والجفاف بدرجة كبيرة، وتمتاز الأصناف التركية (أيفوليك، حيكرا، أورمجيكا) بقابليتها على تحمل المناخ الصحراوي والمياه المالحة⁽¹⁾، وتتميز شجرة الزيتون بكثرة التفرع الجذري لمسافات طويلة تبلغ (8) متر⁽²⁾، وفي بادية المثنى يصبح توفير المياه الري بالتنقيط امر مهم، سيما في فترة عقد الثمار حتى لا تتكمش وتتساقط⁽³⁾، لذا يحتاج الزيتون إلى ريات تكميلية ولا سيما خلال اشهر الصيف⁽⁴⁾.

3-2-3 دور الرطوبة النسبية في التنمية الزراعية المستدامة لأشجار النخيل والزيتون:

هناك بعض التأثيرات السلبية لارتفاع نسبة الرطوبة على اشجار النخيل بسبب زيادة معدلات الإصابة بحشرة الدوباس، فضلاً عن الإصابة بمرض خياس طلع النخيل في فترة الازدهار⁽⁵⁾، واشجار الزيتون حساسة لزيادة الرطوبة الارضية⁽⁶⁾، ولم يجد الباحث تأثير لانخفاض الرطوبة الجوية على هذه الاشجار ويمكن الاستعانة بالريات عند الحاجة، وعند مرجعة جدول (3-5) نلاحظ إن معدل الرطوبة النسبية العام (39.7)% ويرتفع هذا المعدل خلال اشهر الشتاء وينخفض خلال اشهر الصيف، وتعتبر هذه النسبة مقبولة لزراعة هذه الاشجار.

(¹) www.scos-syria.org/webwater/water/abstracts3.html

(²) عبد اللطيف رحيم حسن وآخرون ، الفاكهة المستديمة الخضرة ، الموصل، دار الكتب للطباعة والنشر
جامعة الموصل، 1990، ص159.

(³) عدنان اسماعيل ، دور العوامل البيئية في زراعة الزيتون في العراق وافاق تطورها، مجلة الاستاذ، العدد 2،
مطبعة الارشاد، بغداد، 1988 ، ص26.

(⁴) فؤاد طه مهدي ، زراعة الزيتون عالي الزيت ،وزارة الزراعة ،الشركة العامة للبستنة والغابات ، شركة الدايني
اخوان للطباعة والنشر المحدودة ، 2004 ، ص9.

(⁵) علي عبد الحسين ، النخيل والتمور وأقائها ، البصرة ، مطبعة جامعة البصرة ، 1985، ص84.

(⁶) عبد اللطيف رحيم حسن وآخرون ، الفاكهة المستديمة الخضرة ، مصدر سابق ، ص159.

3-2-4-4 دور الرياح في التنمية الزراعية المستدامة لأشجار النخيل والزيتون:

تعد الرياح الشمالية الغربية هي السائدة، يلاحظ جدول (3-4)، اما بالنسبة إلى المعدل السنوي لسرعة الرياح في بادية المثنى (4.10) م/ثا، يلاحظ جدول (3-3) وتزداد خلال اشهر الصيف وتكون هذه الرياح حارة جافة، إذ تعمل على تخفيض معدلات الرطوبة النسبية فتزداد معدلات التبخر /النتح الامر الذي ينعكس على تقارب فترات الري، وتجدر الاشارة إلى ان للنخلة قدرة على مقاومة الجفاف والعطش مدة طويلة، إذ انها تحتاج (10-40) رية بالسنة⁽¹⁾، وللرياح الخفيفة والمعتدلة السرعة أهمية في عملية التلقيح اشجار الزيتون، وتؤثر سرعتها العالية على الازهار وتعمل على اسقاطها، وعموماً لا تعد منطقة الدراسة من المناطق التي تتميز بسرع رياح عالية، ويقترح الباحث زراعة الفيضات وبطون الاودية بسبب طبيعة تكوينات الترب في تلك المناطق وزيادة سمك التربة، إذ تكون ترب صالحة للإنتاج الزراعي بشكل عام وزراعة اشجار النخيل والزيتون بشكل خاص، والاستفادة من مناطق تواجد المياه الجوفية التي سوف يتم تناولها في الفصل السادس عند السقي خلال اشهر الصيف على ان تتم استخدام الطرق الحديثة بالري مثل الري بالتنقيط لغرض الاستثمار الامثل لهذه الثروة، ويتبين مما سبق ان منطقة الدراسة بيئة مناسبة لزراعة هذه الاشجار.

3-2-5 دور الخصائص المناخية في التنمية المستدامة للمياه الجوفية:

تمهيد:

يتصف مناخ بادية المثنى بارتفاع درجات الحرارة وتذبذب كميات التساقط ووضوح الفصلين الحار والبارد أكثر من فصلين الربيع والخريف، لذا فإن الدراسات الهيدرولوجية تعتمد اساساً على مناخ منطقة الدراسة.

3-2-5-1 دور الحرارة والسطوع الشمسي في التنمية المستدامة للمياه الجوفية:

عند مراجعة جدول (1-3) و (2-3)، نجد تدني كميات الإشعاع وانخفاض درجات الحرارة وانخفاض معدلات التبخر في فترات التساقط، مما يعطي فرصة كبيرة لتعزيز المخزون الجوفي من الأمطار المتساقطة التي سرعان ما تتحول إلى سيول تسهم في تزويد الخزانات الجوفية بالمياه المتسربة.

(¹) علي عبد الحسين، افات النخيل والتمور وطرق مكافحتها في العراق، مطبعة الادارة المحلية، جامعة بغداد، كلية الزراعة، 1963، ص39.

3-2-5-2 دور الامطار والرطوبة النسبية في التنمية المستدامة للمياه الجوفية:

يكون امتداد سقوط الأمطار بداية شهر تشرين الأول ليصل إلى نهاية شهر مايس مما يعزز منسوب المياه الجوفية في تلك الفترة ، يلاحظ جدول(6-1)، وعند مراجعة جدول (3-5) يلاحظ ارتفاع معدلات الرطوبة النسبية في أشهر التساقط ومن ثم التقليل من فواقد المائية بالتبخر في فصل الشتاء.

3-2-5-3 دور الرياح في التنمية المستدامة للمياه الجوفية:

لسرعة واتجاه الرياح دور في المياه الجوفية بصورة غير مباشرة عن طريق عملية التبخر والنتح وما ينتج عنها من ضياع للمياه، ومن خلال جدول (3-3) يمكن ملاحظة أن هناك تناسب طردي بين ارتفاع درجة الحرارة وسرعة الرياح في المنطقة، إذ تؤثر قوة وسرعة الرياح إلى زيادة عملية التبخر وجفاف سطح التربة على هذه الأساس يصبح نشاط الخاصية الشعرية أكثر فعالية في جذب الماء الجوفي، وعموماً لا تتصف بادية المثنى بسرّح ربحية عالية في فصل الشتاء فضلاً عن ارتفاع الرطوبة النسبة، ومن ثم تقل قدرتها على حمل الرطوبة بسبب الاقتراب من التشبع ويصبح التبخر أقل، فضلاً عن انخفاض درجات الحرارة في فصل الشتاء ومن ثم تقل المساحة التخزينية لبخار الماء.

الخلاصة:

تعد الخصائص المناخية من أهم مقومات التنمية المستدامة في بادية المثنى، بسبب دورها في كافة الأنشطة الاقتصادية الرئيسة التي تشكل الركيزة الأساسية للتنمية المستدامة، فقد حددت تلك العناصر الجدوى الاقتصادية للتنمية المستدامة للطاقة والانتاج، إذ اسفرت الدراسة عن امكانية استثمار الطاقة الشمسية والريحية لإنتاج الطاقة الكهربائية النظيفة وتعويض النقص في ساعات التجهيز، كما وتبين من خلال الدراسة دور الخصائص المناخية في امكانية نجاح زراعة اشجار النخيل والزيتون وتوفير مردود مالي للمحافظة وتثبيت التربة والحيلولة دون فقدانها، فضلاً عن توفير فرص عمل والتقليل من العواصف الغبارية والتطرف في درجات الحرارة، وأوضحت الدراسة اهمية اعتماد المنهج العلمي في الاستفادة القصوى من الخصائص المناخية في مجال التخطيط العمراني.

المقومات البيدولوجية في بادية محافظة ودورها في التنمية المستدامة

تمهيد

4-1- مفهوم التربة

4-2- تصنيف التربة

4-3- توزيعها المكاني في منطقة الدراسة

4-3- خصائص الترب في بادية المثنى

4-3-1- الخصائص الفيزيائية للتربة

4-3-2- الخصائص الكيميائية للتربة

4-4- المؤشرات الرقمية الخاصة بالترب

4-4-1- مؤشر الكتبان الرملية والترب القاحلة: (NDSDI)

4-5- دور الترب في التنمية المستدامة في بادية المثنى:

4-5-1- دور الترب في التنمية الصناعية المستدامة:

4-5-2- دور الترب في التنمية العمرانية المستدامة:

4-5-3- دور الترب في التنمية المستدامة للنقل:

4-5-4- دور الترب في التنمية الزراعية المستدامة:

4-5-5- دور الترب في التنمية المستدامة للمياه الجوفية:

4-5-6- دور الترب في التنمية السياحية المستدامة :

الخلاصة:

تمهيد:

يأتي اهتمام الجغرافيين بالتربة كونها مورد طبيعي مهم، فضلاً عن أن تكوينها يتطلب فترات طويلة جداً، إذ يرجع إلى سلسلة من العوامل والعمليات الجيومورفولوجية، وتأتي أهمية التربة من خلال تأثيرها المباشر في جميع الكائنات الحية، والتربة هي القلب النابض ومصدر الغذاء حيث تغرس النباتات جذورها لتكون مصدراً للبقاء لبقية الكائنات الحية، ويمتد دور التربة إلى ما بعد هلاك هذه الكائنات فهي البيئة التي تُدور فيها العناصر الأولية لهذه الكائنات عن طريق سلسلة من التفاعلات الكيميائية.

4-1- مفهوم التربة :

يعد علم التربة (Pedology) علم مستقل بذاته وتعد الدراسات التي تناولت هذا الموضوع من الدراسات الحديثة نسبياً، وتعددت التعريفات الخاصة بالتربة بسبب تعدد التخصصات التي تناولت هذا الموضوع. ويمكن تعريف التربة بأنها المزيج المتكون من مواد معدنية وعضوية وماء وهواء وفرغات بيئية⁽¹⁾.

4-2- تصنيف التربة Soil Classification

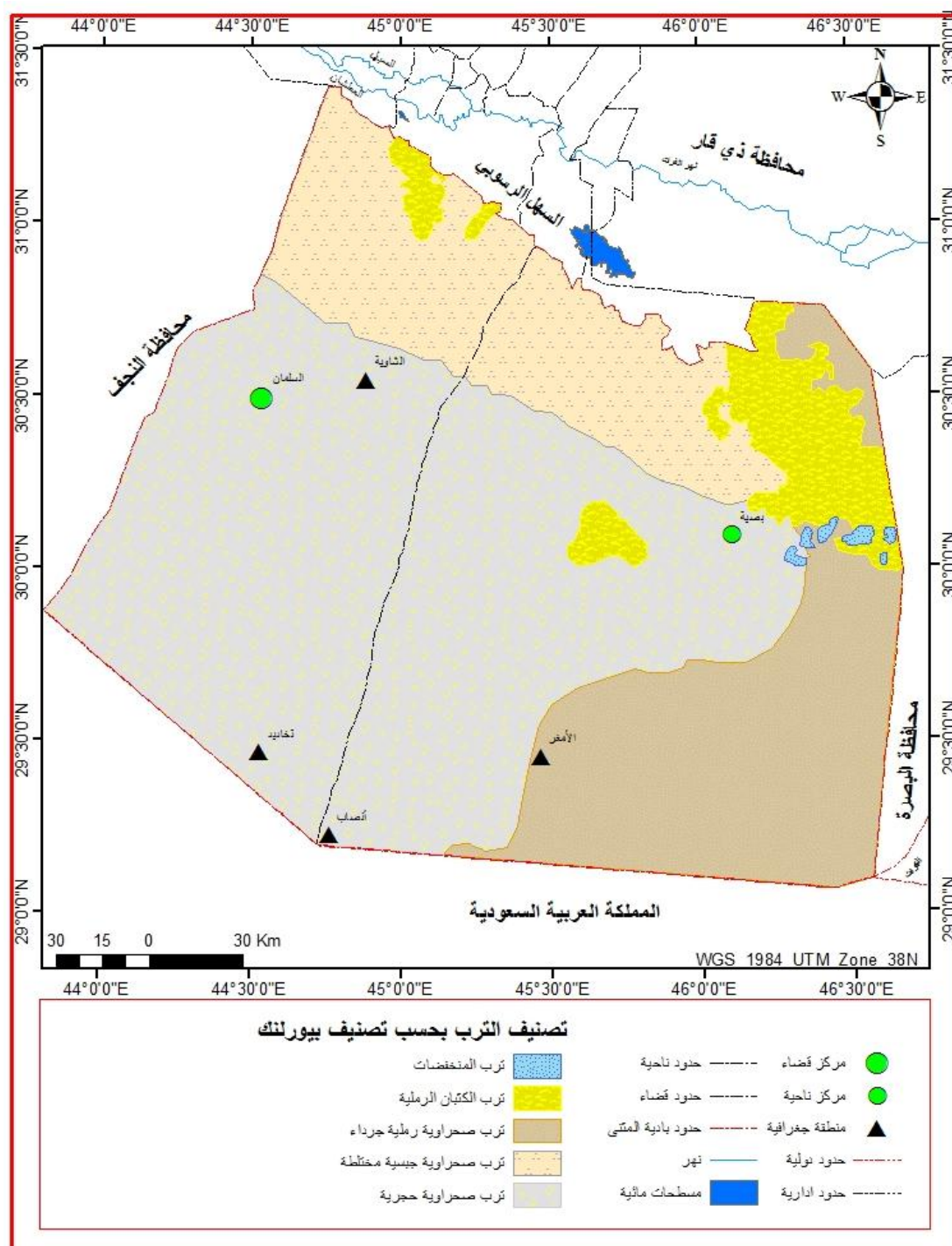
تصنف ترب بادية المثنى حسب التصنيف الأمريكي ضمن الترب الصحراوية، وتهدف عملية التصنيف إلى تسهيل امكانية المقارنة وحصر انواعها وتسهيل دراستها، ولأهمية هذا المورد سيتم تناول أهم تصانيف التربة في منطقة الدراسة :

4-2-1- تصنيف الترب بحسب بيورك:

ان معظم ترب منطقة الدراسة تعود إلى الترب الصحراوية حسب تصنيف (Buringh, 1960) ، بسبب طبيعة الظروف السائدة وفي مقدمتها الظروف المناخية، يلاحظ صورة (4-1)، ويمكن ملاحظة ان الترب الصحراوية الحجرية تشغل المساحة الأكبر، بدأ من ناحية بصرية شرقاً إلى قضاء السلطان غرباً لتمتد حتى الحدود الإدارية لمحافظة المثنى، وتحدها من الشمال الترب الصحراوية المختلطة، في حين تكون الترب الصحراوية الرملية الجرداء في الجزء الشرقي، اما ترب الكثنان الرملية فتكون إلى الجانب الشرقي والشمال الغربي والوسط الغربي، يلاحظ خريطة (4-1).

(¹) خالص حسني الاشعب ، انور مهدي صالح ، الموارد الطبيعية وصيانتها ، جامعة بغداد ، 1988

خريطة (1-4) تصنيف ترب بادية المثنى بحسب تصنيف بيورنك



المصدر:

1-P. Buringh, Exploratory Soil Map of Iraq Scale1: 1000 000, Baghdad,1960

صورة(4-1) الترب الصحراوية الحجرية غرب بصية(أبو فناجين)



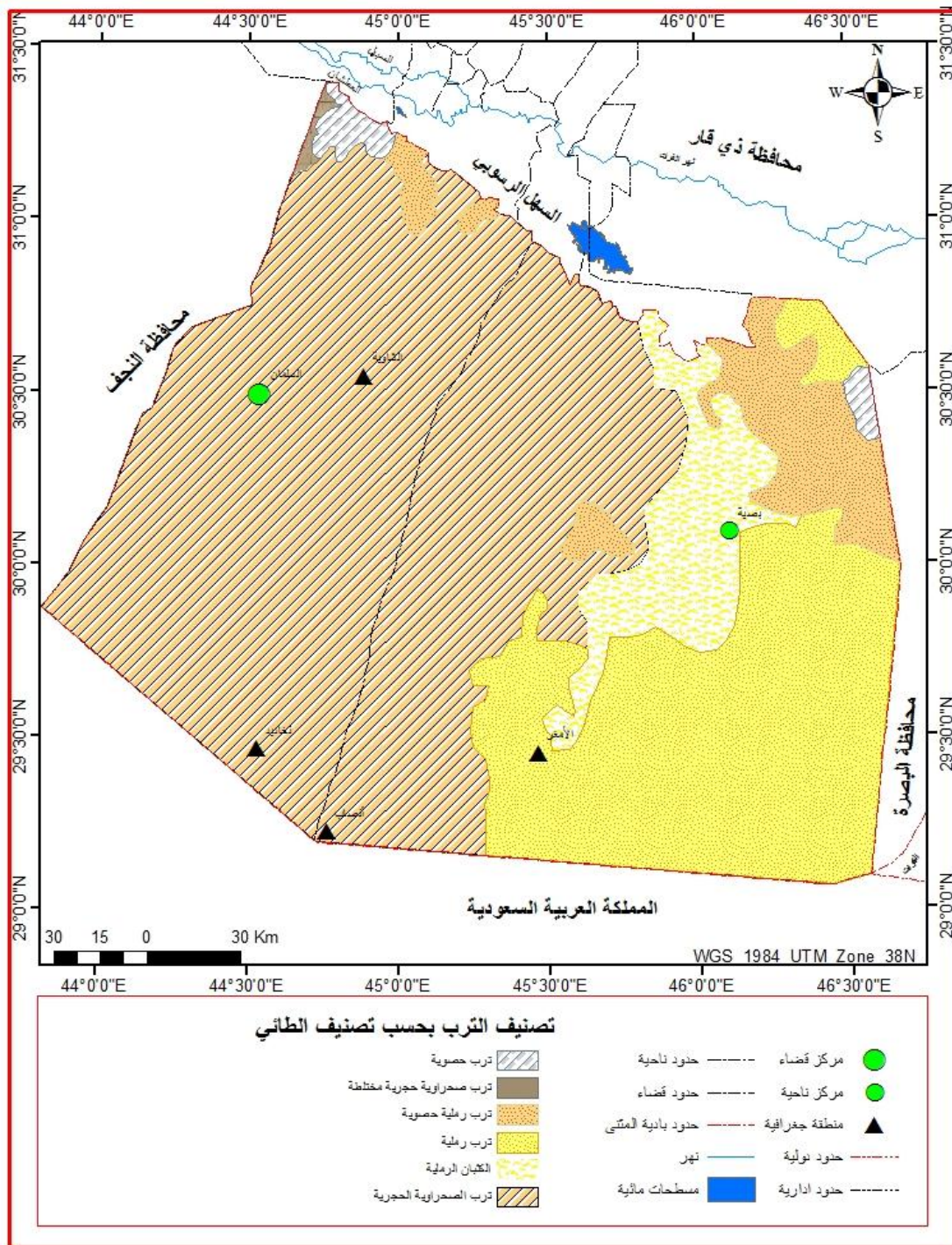
30° 24' 32.902" N 45° 34' 42.851" E

المصدر: الدراسة الميدانية بتاريخ 2022/1/21

4-2-2- تصنيف التربة بحسب الطائي 1968:

صنف الطائي ترب بادية المثني إلى ست اصناف، وهي ذات محتوى منخفض من المادة العضوية وتنتمي إلى نطاق الصحراء الغربية وهي الترب الصحراوية الحجرية التي تحتل مساحة واسعة، والترب الحصوية التي تحتل مساحات محدودة في اقصى الشمالي الشرقي، واقصى الشمالي الغربي، وترب الكثبان الرملية التي تتوزع إلى الشرق من الترب الصحراوي الحجرية، يلاحظ صورة(4-2)، وترب رملية احتلت المرتبة الثانية بعد الترب الصحراوية الحجرية من حيث المساحة، وتحتل الجزء الجنوبي والجنوبي الشرقي، وتحتل مساحة محدودة في القسم الشمالي الشرقي، والنوع الاخر هي الترب الصحراوية الحجرية المختلطة، إذ تحتل مساحة محدودة من اقصى الشمال الغربي، والترب الرملية الحصوية، وتتوزع بمساحات متفرقة في الشمال الشرقي والوسط الغربي والشمالي الشرقي من منطقة الدراسة، يلاحظ خريطة (4-2) .

خريطة (2-4) تصنيف التربة بحسب الطائي



المصدر:

1-Flayeh Hassan Al-Taie Soil and Soil As sociations Map of Iraq Scale 1:1000 000, Baghdad 1968.

صورة (4-2) جانب من الكثبان الرملية(حمدة)



30° 27' 0.577" N 45° 43' 49.356" E

المصدر : الدراسة الميدانية بتاريخ 2022/2/25

4-2-3- تصنيف الترب في بادية المثني: يُعتمد في دراسة خرائط الترب وتصنيفها تبعاً لعوامل تكوينها⁽¹⁾، وقد تمت الاستعانة بالمرئيات الفضائية والدراسة الميدانية والخرائط الطبوغرافية وتصنيف الترب لتحديد أنواعها وتوزيعها المكاني ورسم خريطة الترب لبادية المثني، يلاحظ جدول(4-1) وخريطة (4-3):

4-2-3-1- ترب صحراوية جبسية مختلطة: Gypseous Desert soil

ترب ضحلة قليلة السمك ومعظم تكويناتها هي من حجر الكلس والدولومايت، ذات نسجة خشنة غير متماسكة بسبب استمرار تعرضها للعوامل المناخية⁽²⁾، وتتراوح بين تربة رملية ومزيجية ذات نفاذية عالية، وتنخفض فيها نسبة الملوحة نسبياً بسبب عدم سقوط كميات كافية من الأمطار لغسلها من سطح التربة، وبالتالي زادت نسبة الجبس في هذه الترسبات⁽³⁾، وتنخفض فيها نسبة الملوحة نسبياً، وتحتوي على نسبة عالية من الجبس بسبب عدم سقوط كميات كافية من الأمطار لغسل الجبس من سطح التربة وابعاده، وتؤثر هذه النسبة العالية في إنتاجيتها إذ تكون ذات تأثير مباشر في صفات التربة ومنها تقليل قابلية التربة للاحتفاظ بالماء، فضلاً عن حفظ محتوى التربة

(1) فلاح شاكر أسود، علم الخرائط، نشأته وتطوره ومبادئه، دار الكتب للطباعة الأولى، دار أسامة للنشر والتوزيع، عمان، الأردن، 1989، ص488.

(2) سرحان نعيم الخفاجي ، الخصائص المورفومترية لحوض وادي قرين الثماد في بادية العراق الجنوبية - بادية النجف ، كلية التربية الاساسية ، جامعة بابل العدد 23، 2015، ص626.

(3) أسامة فالح عبد الحسن المكتوب، سرحان نعيم الخفاجي، الخصائص المورفومترية لحوض وادي الضباع باستخدام نظم المعلومات الجغرافية (GIS)، مجلة اوروك، العدد الاول، المجلد الثاني عشر، 2019، ص240.

من الدقائق الغروية، وتتألف هذه التربة من مكونات كلسية وطينية ورملية مختلفة، وتكون دقائقها مفككة مما أدى إلى تعرضها بمرور الزمن لعمليات التعرية، شغلت هذه التربة مساحة (15801.23) كم² ونسبة (34.61)%.

4-2-3-2-ترب صحراوية رملية Sandy Desert Soil

تعد الرياح من اهم العوامل المؤثرة في تكوين هذه التربة، يساعدها الجفاف وندرة الغطاء النباتي ، وتتميز بأن لها حبيبات مختلفة الحجم (جيدة التدرج ، سيئة الفرز، خشنة ، جافة ، مفككة ، ذات نفاذية عالية ، قلة المواد العضوية)، بلغت مساحتها (9274.62) كم² ونسبة (20.31)%.

4-3-2-3-ترب صحراوي حجرية Stone Desert Soil

تتواجد ضمن تكوين الدمام الاسفل في القسم الجنوبي الغربي، ويمكن استثمار هذا النوع من التربة في إقامة مقالع خاصة للمواد الانشائية لا سيما الحصى والرمل والسييس وحجر البناء، تشغل (5707.62) كم²، ونسبة (12.51)%.

4-3-2-4- تربة حصوية رملية: Gravel Sandy Soils

تتمركز هذه التربة ضمن البيئة الترسيبية في الاقسام الوسطى والسفلى من الوديان، وهي ترب حصوية مغطاة بالرمال، وتشغل مساحات محدودة في الوسط والشمال والشمال الشرقي، وتبلغ مساحتها (1908.7) كم² ، ونسبة (4.18)%، وتستعمل لإنتاج الحصى ومواد البناء .

4-3-2-5-ترب طينية: Clay Soils

تحتل هذه التربة الاقسام الشمالية من منطقة الشاوية وإلى الجنوب من بحيرة ساوة ، وهي مناسبة للصناعات الانشائية(الإسمنت) ، وتشغل مساحة (884.73) كم² ونسبة (1.93)%.

4-3-2-6- ترب الاودية: Valleys Soil

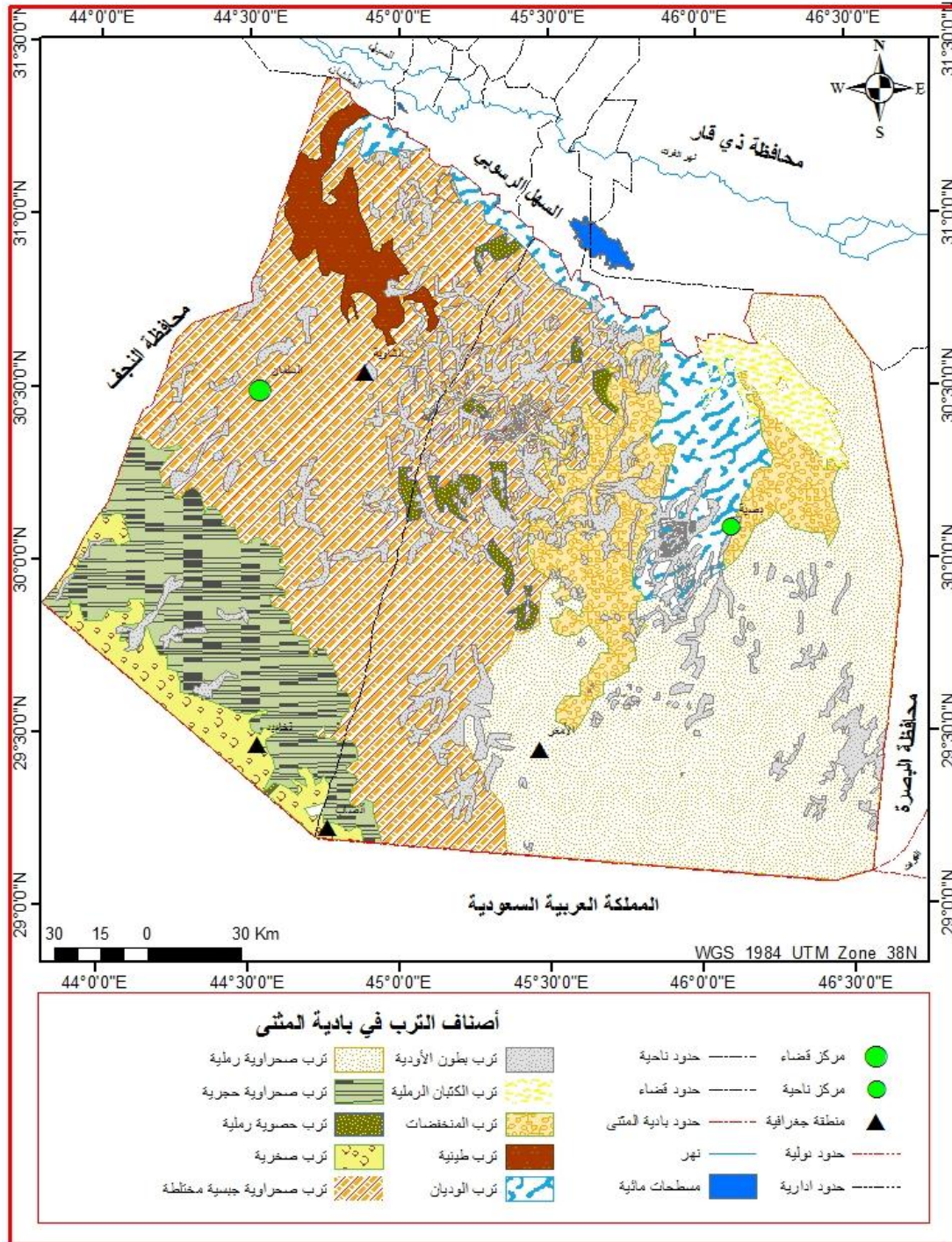
توازي هذه التربة السهل الرسوبي في الاجزاء الدنيا من الاودية عند مصباتها، وتشغل مساحة (2849.41) كم²، ونسبة (6.24) %، وتعد هذه التربة من احسن انواع التربة للأغراض الزراعية.

جدول (4-1) أصناف الترب ومساحاتها في بادية المثنى

النسبة %	مساحتها	نوع التربة
34.61	15801.23	ترب صحراوية جبسية مختلطة
20.31	9274.62	ترب صحراوية رملية
12.51	5707.62	ترب صحراوية حجرية
8.33	3802.45	ترب صخرية
6.24	2849.41	ترب الاودية
4.18	1909.7	ترب حصوية رملية
5.6	2556.51	ترب المنخفضات
5.2	2375.03	ترب بطون الاودية
1.93	884.73	ترب طينية
1.09	496.4	ترب الكثبان الرملية
100	45656.7	المجموع

المصدر: باعتماد خريطة (4-3) وبرنامج (Arc GIS 10.2.2) في حساب المساحات

خريطة (3-4) اصناف التربة في بادية المثنى



4-2-3-7-ترب بطون الاودية: Valley Fill Soils

تشغل هذه التربة قيعان الوديان الرئيسة والفرعية التي ترسبت انتقائياً وتمتاز بنسجة مزيجية، وتتكون من الحصى والرمل والمواد الجبسية والكلسية المختلطة مع الغرين والطين، ويمكن

استثمارها زراعياً بسبب اعتدال ملوحتها وعمقها المناسب، فضلاً عن توفر المواد العضوية، وتشغل مساحة (2375.03) كم² ونسبة (5.2) %.

4-2-3-8-ترب المنخفضات: Depression Soils

هي ترب طينية او طينية مزيجية ذات سطح غريني، تكونت بفعل ترسبات جرفتها السيول واستقرت في مناطق المنخفضات ويمكن استغلالها لزراعة المحاصيل الاستراتيجية، وتشغل مساحة (2556.51) كم² ونسبة (5.6) %.

4-2-3-9- الترب الصخرية: Rocky Soils

تتمثل في تكوين أرمضة وتتكون من صخور كلسية دولوماتية في جزئها العلوي يليه حجر جيري ثم حجر كلسي⁽¹⁾، ويشار إليها على أنها جيدة لدعم المباني ولا ينصح بها لزراعة المحاصيل الزراعية تشغل مساحة (3802.45) كم² ونسبة (8.33) %.

4-2-3-10- ترب الكثبان الرملية: Sand dunes Soils

تربة عالية المسامية تظهر على شكل كثبان والواح رملية وتتجمع نتيجة وجود عائق او انخفاض سرعة الرياح، وصفة عدم الاستقرار من صفات الطبقة العليا فيها بسبب شدة التعرية الريحية، يلاحظ صورة (3-4)، تنتشر في الجزء الشرقي بمساحة (496.4) كم² ونسبة (1.09) % .

صورة (3-4) الكثبان الرملية (شرق منطقة الدراسة)



30° 26' 32.300" N 46° 0' 45.900" E

المصدر: الدراسة الميدانية بتاريخ 2022/2/25

(1)Anwar M. Barwary & Naseira A. Slewa (1993) , The Ggeology of Al-Ma'aniya , State Establishment of Geological Survey and Mining , Baghdad,B8 .

مما سبق يمكن ملاحظة ان الترب الصحراوية الجبسية المختلطة احتلت المرتبة الاولى بين الترب من حيث المساحة بنسبة (34.61)% تلتها الترب الصحراوية الرملية بنسبة (20.31)% ، ثم بقية الترب تباعاً، ويمكن تفسير التوزيع المكاني لهذه الترب إلى دور العناصر المناخية في تكوينها (درجة الحرارة والرياح والرطوبة)، إذ ان هناك تفاوت كبير في درجات الحرارة ليلاً ونهاراً وصيفاً وشتاءً، ومن ثم توفير فرص تنمية مهمة في مجال الصناعة وال عمران والنقل والزراعة والسياحة فضلاً عن المياه الجوفية.

4-3- خصائص الترب في بادية المثني: Characteristics of Soil

تعد التربة مصدراً رئيساً من مصادر الثروات الطبيعية وعنصراً مهماً لا يمكن تجاهله في عمليات الإنتاج المختلفة، ودراسة الترب هي محاولة لفهم العوامل والعمليات التي تؤدي إلى تكوينها، لتشكل بذلك مكونات نظام التربة (phase interaction) الذي تتم فيه عمليات التفاعل والتبادل الأيوني (lon exchange phenomana)، وتتباين خصائص الترب تباعاً لعمليات وعوامل التجوية الفيزيائية والكيميائية والحياتية، فضلاً عن دور (صخور الأم، المناخ، النبات الطبيعي، الزمن) وعليه فإن تكوين التربة يمر من خلال سلسلة من العمليات الجيومورفولوجية .

اعتمد الباحث في دراسة ترب بادية المثني على تحليل بعض الخصائص الفيزيائية والكيميائية لـ(22) عينة بعمق من (0-30) سم موزعة على عموم منطقة الدراسة، وقد ظهرت النتائج في جدول (4-2)، والصور (4-4)، وخريطة (4-4).

جدول (2-4) نتائج تحليل الخصائص الفيزيائية والكيميائية للعينات المختارة في بادية المثنى

Ca	Mg	Na	K	CL	TDS	Om	Ec	pH	نسجة	طين	غرين	رمل	X	Y	العينة
غم / كغم					ملغرام/كغم	%	مليموز / سم			%					
2	1.9	0.28	1.25	0.65	2.9	0.8	0.7	7.2	مزيجية رملية	10	9	81	46° 29' 42.674" E	30° 1' 12.805" N	S1
6.7	0.54	2.5	1.4	3.5	0.27	1.91	8.1	8.5	مزيجية رملية	13	7	80	45° 29' 27.087" E	30° 46' 5.146" N	S2
1.9	1.74	1.55	1.62	1.9	0.27	0.74	2.34	8	رملية مزيجية	13.5	6.5	80	46° 14' 13.010" E	29° 19' 40.566" N	S3
2	1.9	0.26	1.28	0.8	0.25	0.77	0.7	7.3	رملية مزيجية	10	4	86	45° 45' 47.221" E	29° 24' 11.512" N	S4
0.3	2.8	1.88	1.5	0.7	2.3	1.2	0.7	6.9	مزيجية رملية	13	14	73	45° 5' 38.141" E	29° 24' 34.746" N	S5
0.9	0.9	2	0.95	1.4	2.32	1	2	8.1	مزيجية رملية	13	9	79	45° 50' 59.130" E	29° 46' 54.683" N	S6
3.3	0.25	1.9	0.99	0.99	2.2	0.8	2.56	7.2	مزيجية رملية	19	5	76	46° 3' 49.432" E	30° 12' 44.843" N	S7
1.8	0.9	5.3	0.88	0.77	3.1	0.81	6.33	7.7	مزيجية رملية	9.5	19.4	71.6	44° 35' 26.317" E	30° 26' 21.752" N	S8
5.7	0.96	2.4	2.4	0.93	2.3	0.33	6.22	7.8	مزيجية رملية	15.9	22.6	61.5	44° 15' 21.181" E	30° 15' 14.600" N	S9
3.25	0.3	2.2	1.3	0.76	1.9	0.95	3.9	8	رملية مزيجية	24	12.7	63.3	44° 15' 1.282" E	29° 53' 36.567" N	S10
4.36	0.22	6.7	1.9	0.82	2.1	0.94	4.3	7.5	مزيجية رملية	13	5.3	81.7	45° 12' 57.712" E	31° 0' 33.321" N	S11
4.5	3.3	5.6	2.5	1.45	4.2	0.4	6.2	7.6	رملية مزيجية	8	20.6	71.4	44° 37' 29.895" E	30° 49' 38.817" N	S12

الفصل الرابع.....المقومات البيدولوجية في بادية المثنى ودورها في التنمية المستدامة

2.3	3	1.6	1.8	0.6	0.2	1.3	0.7	7.3	مزيجية رملية	11.1	7.3	81.6	45° 51' 32.249" E	30° 31' 49.087" N	S13
0.18	0.2	4.2	2.56	0.71	4.1	0.91	8.42	4.5	رملية مزيجية	20.5	25.2	54.3	45° 3' 32.938" E	30° 33' 25.184" N	S14
1.9	0.7	5.3	0.76	0.22	1.9	0.88	16.1	7.6	رملية	13.2	6.4	80.4	44° 52' 39.392" E	30° 7' 20.644" N	S15
2.4	2.8	1.3	1.81	0.34	0.27	1.6	0.61	7.4	رملية مزيجية	12.5	7.5	80	46° 30' 49.148" E	29° 42' 6.885" N	S16
2.4	2.8	1.5	1.77	0.4	1.8	1.3	0.65	7.3	مزيجية رملية	6.1	3.2	90.7	46° 7' 28.109" E	30° 35' 46.751" N	S17
0.18	0.21	2.5	0.91	1.16	1.23	2.2	5.2	7.7	مزيجية رملية	13	14.5	82.5	46° 23' 10.300" E	30° 22' 14.113" N	S18
3.2	2.55	1.66	1.1	0.81	0.35	1.9	0.6	6.9	مزيجية رملية طينية	25.1	12.4	62.5	44° 47' 48.814" E	31° 17' 31.834" N	S19
0.8	0.9	1.99	0.91	0.8	2.6	0.99	2.4	8.3	مزيجية رملية	12	15.5	72.5	44° 42' 18.693" E	29° 54' 43.221" N	S20
0.2	2.76	0.88	1.7	0.6	2.9	1	0.65	8	مزيجية طينية رملية	21	26.5	52.5	45° 20' 12.579" E	30° 16' 38.010" N	S21
1.2	1.7	1.6	1.5	1.3	2.7	0.77	2.52	8	مزيجية رملية طينية	25	12.5	62.5	45° 10' 44.390" E	29° 42' 24.698" N	S22

المصادر باعتماد:

- 1-تحليلات عينات التربة مختبر يوساينس u-science العلمي ، الديوانية ، منطقة ام الخيل، 2022.
- 2-اسامة قالح عبد الحسن المكتوب، جيومورفولوجية حوض وادي الضباغ غرب ناحية بصرية واستثماراته-باستخدام نظم المعلومات الجغرافية(GIS)، كلية التربية للعلوم الانسانية، جامعة المثنى، 2018، ص57.
- 3- جاسم وحواح شاتي الجياشي، التحليل المكاني للموارد المائية والرسوبيات في بادية المثنى واستثماراتها، مصدر سابق، ص 61.
- 4-علي حاكم عبد فارس الجبوري، الاثار الجيومورفولوجية والهيدرولوجية للانحدارات في منطقة بصرية جنوبي غرب العراق باستخدام نظم المعلومات الجغرافية،كلية التربية للعلوم الانسانية جامعة واسط، 2021، ص85.

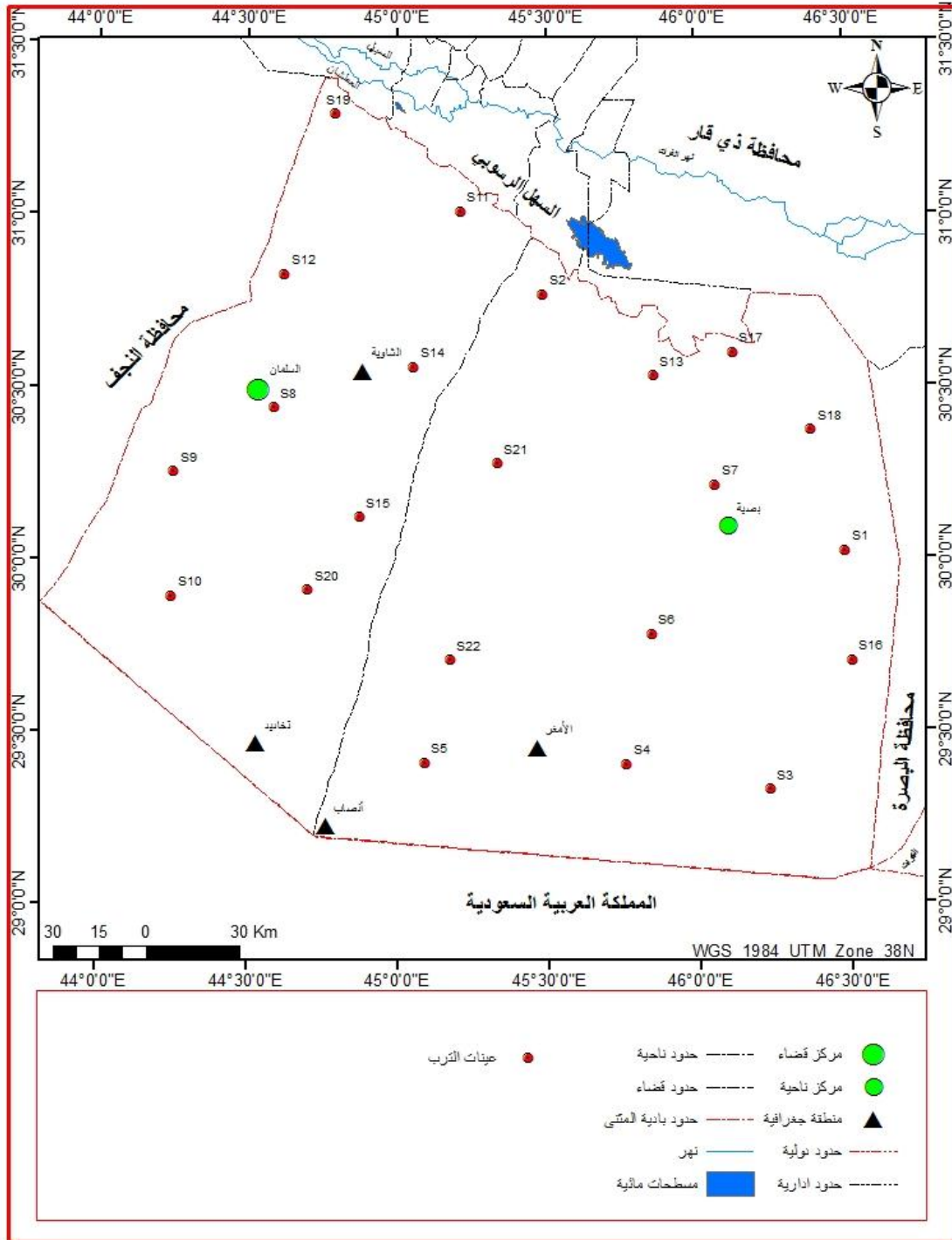
صور (4-4)

جمع وتحليل عينات التربة في بادية المثنى



المصدر: الدراسة الميدانية ومختبر التحليلات.

خريطة (4-4) التوزيع المكاني لمواقع عينات التربة في بادية المثنى



المصادر : بالاعتماد على بيانات جدول (2-4)

4-3-1- الخصائص الفيزيائية للتربة: Soil Physical Properties

1-نسجة التربة: Soil Texture

هي التركيب الميكانيكي للترب ويعتمد هذا التركيب على التوزيع النسبي للأحجام المختلفة من مفصولات الترب (رمل، غرين، طين)، ويستدل من خلالها على نعومة او خشونة الترب⁽¹⁾، التي يمكن من خلالها تخمين نفاذية هذه الترب، يلاحظ خريطة(4-5).

حددت مفصولات الترب حسب النظام العالمي الذي يصنف حجم المفصولات التي يتراوح قطرها بين (2-0.02) ملم رمل، اما التي يتراوح قطرها بين (0.002-0.02) ملم تصنف على انها غرين، في حين جزيئات الطين يكون قطرها اقل من (0.002) ملم، وتعد الجزيئات التي يزيد قطرها عن (2) ملم احجار وحصى⁽²⁾.

حدد توزيع فئات الرمل بين (54.3-90.7) %، وتوزعت اعلى النسب في الجزء الشرقي بسبب نشاط عمليات التعرية ولا سيما الهوائية وطبيعة الكثبان الرملية والترسبات الهوائية، وتكون هذه الترسبات ذات مسامية ونفاذية وتهوية عالية، يلاحظ خريطة (4-6).

وتشير الفحوصات المختبرية إلى ان نسبة الغرين منخفضة في اغلب العينات المختارة، إذ تراوحت بين (3.20-26.5) %، وتزداد هذه النسب بين بصية والسلمان بسبب طبيعة الانحدار الذي ساهم في تجميعها ضمن هذه المستويات في بطون ونهاية الاودية، بينما تقل شرقاً ضمن نطاق الكثبان الرملية وشمال منطقة الدراسة وتزداد شرقاً باتجاه بادية البصرة، يلاحظ خريطة (4-7).

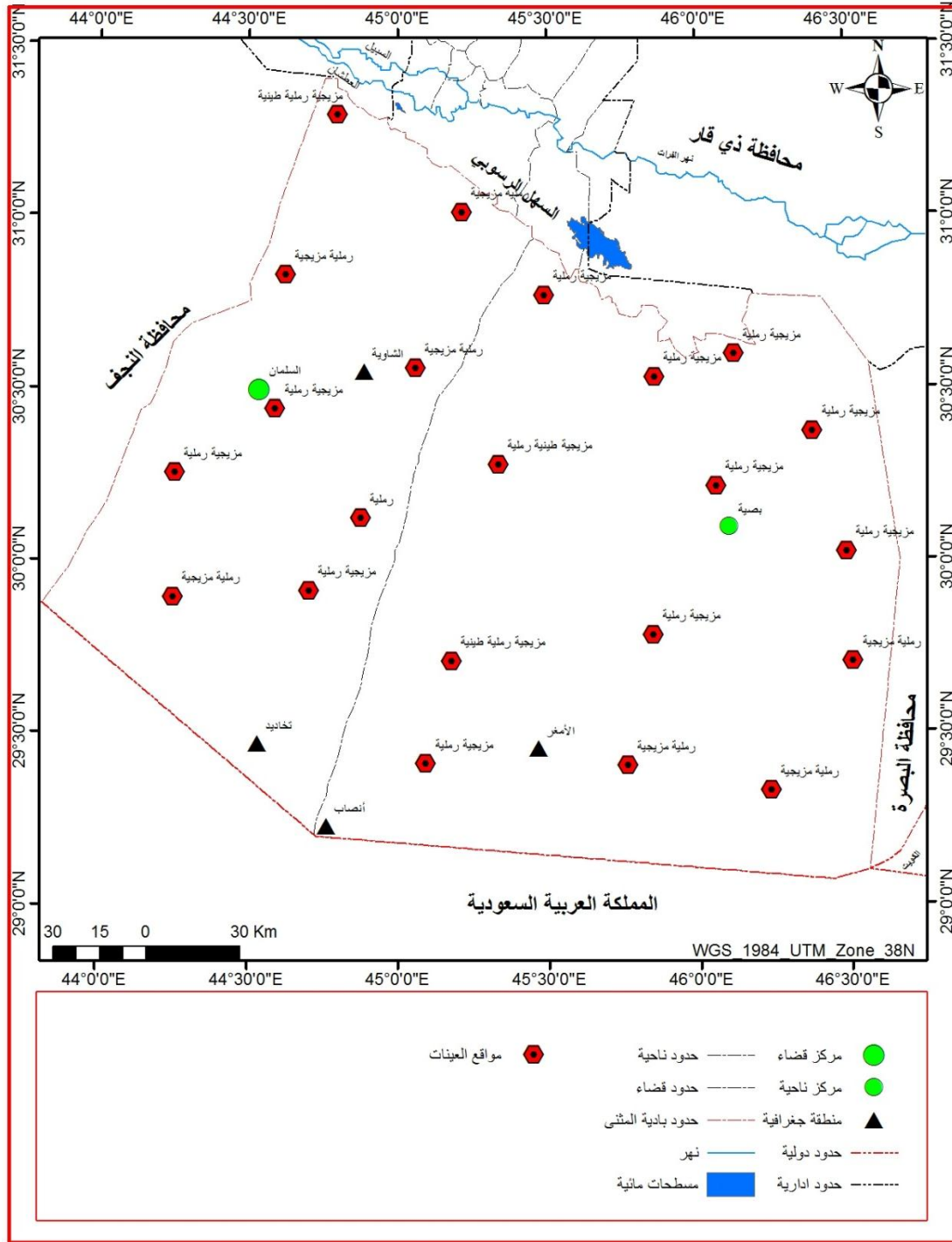
ويتباين توزيع نسب الطين، إذ تزداد نسبته إلى الجنوب من بحيرة ساوة وشمال شرق وشمال غرب منطقة تخايد، وإلى الجنوب الغربي من منطقة الشاوية وبالقرب من بصية، وتتنخفض بشكل تدريجي في بقية المناطق بسبب انخفاض سمك التربة، فضلاً عن نشاط عمليات التعرية وانجراف سطح التربة، وتتراوح نسب الطين ضمن حدود منطقة الدراسة بين (6.10-25.10) %، يلاحظ خريطة (4-8).

(1) أ زاد محمد أمين، تغلب جرجيس داود، جغرافية الموارد الطبيعية، مطابع دار الحكمة، 1990، ص63.

(2) محمد خضر عباس، نشوء ومورفولوجيا التربة، الموصل، مديرية دار الكتب للطباعة والنشر، جامعة

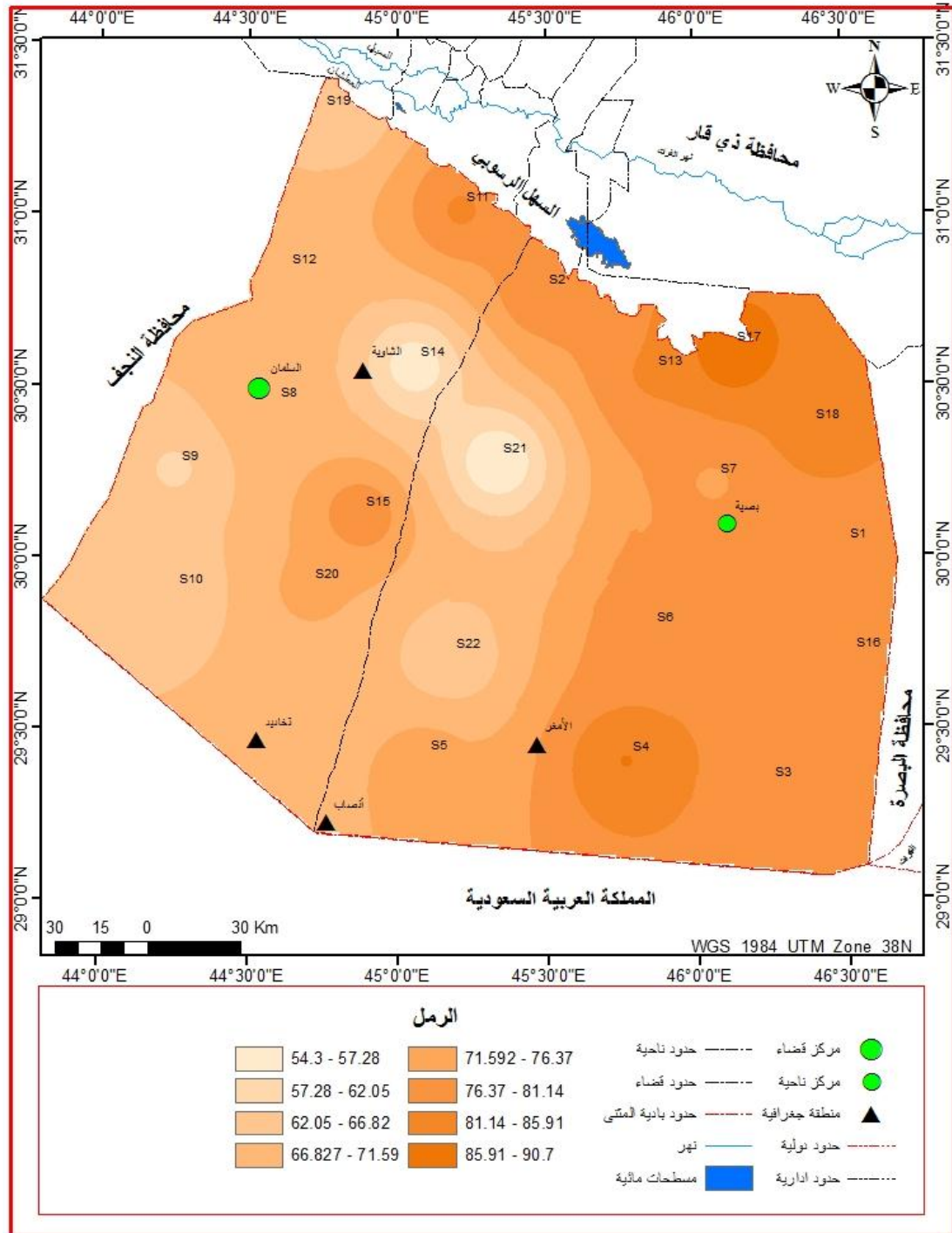
الموصل، 1989، ص32-30.

خريطة (4-5) التوزيع المكاني لأصناف التربة في بادية المثنى



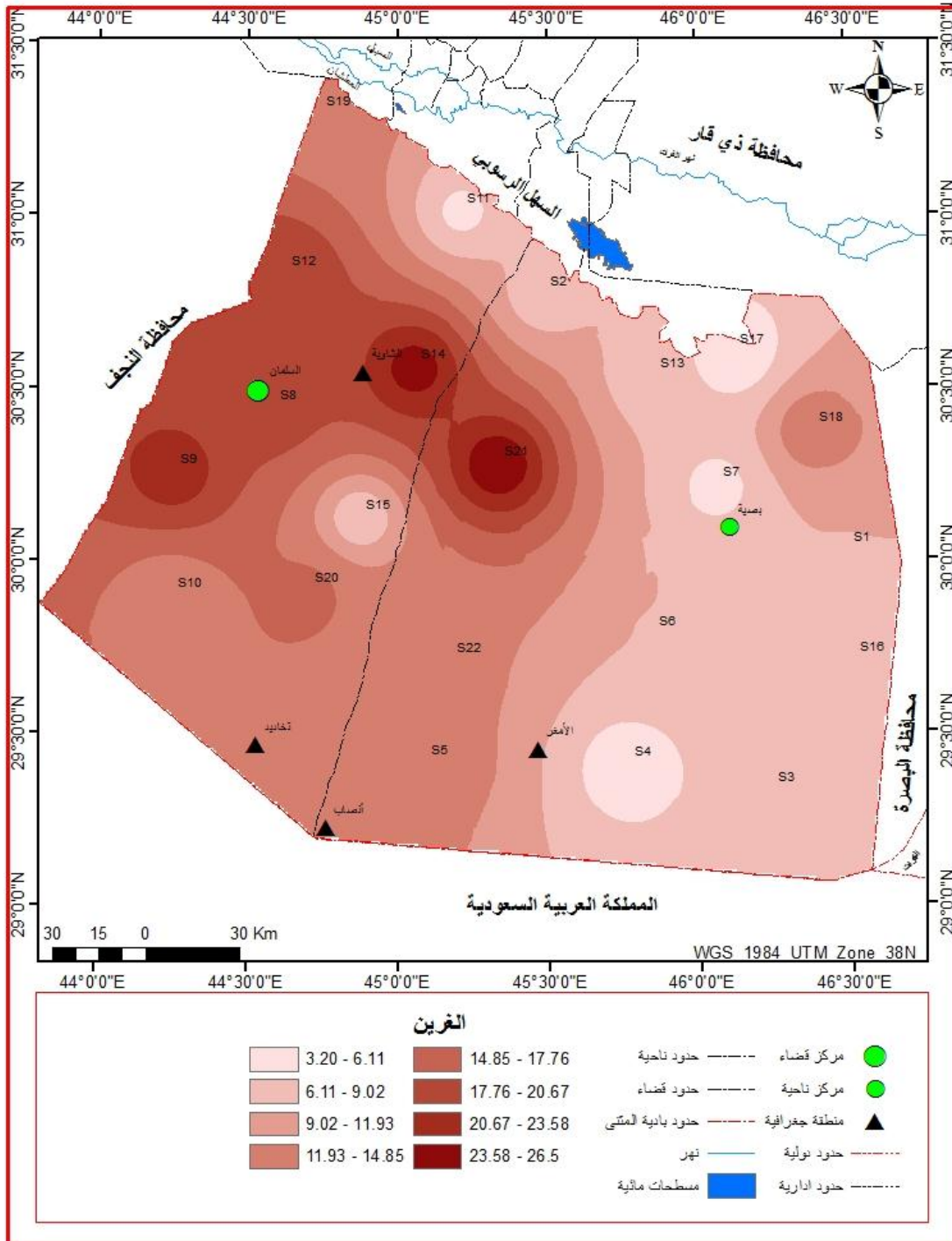
المصادر : باعتماد بيانات جدول (4-2)

خريطة (4-6) التوزيع المكاني للرمل في بادية المثنى



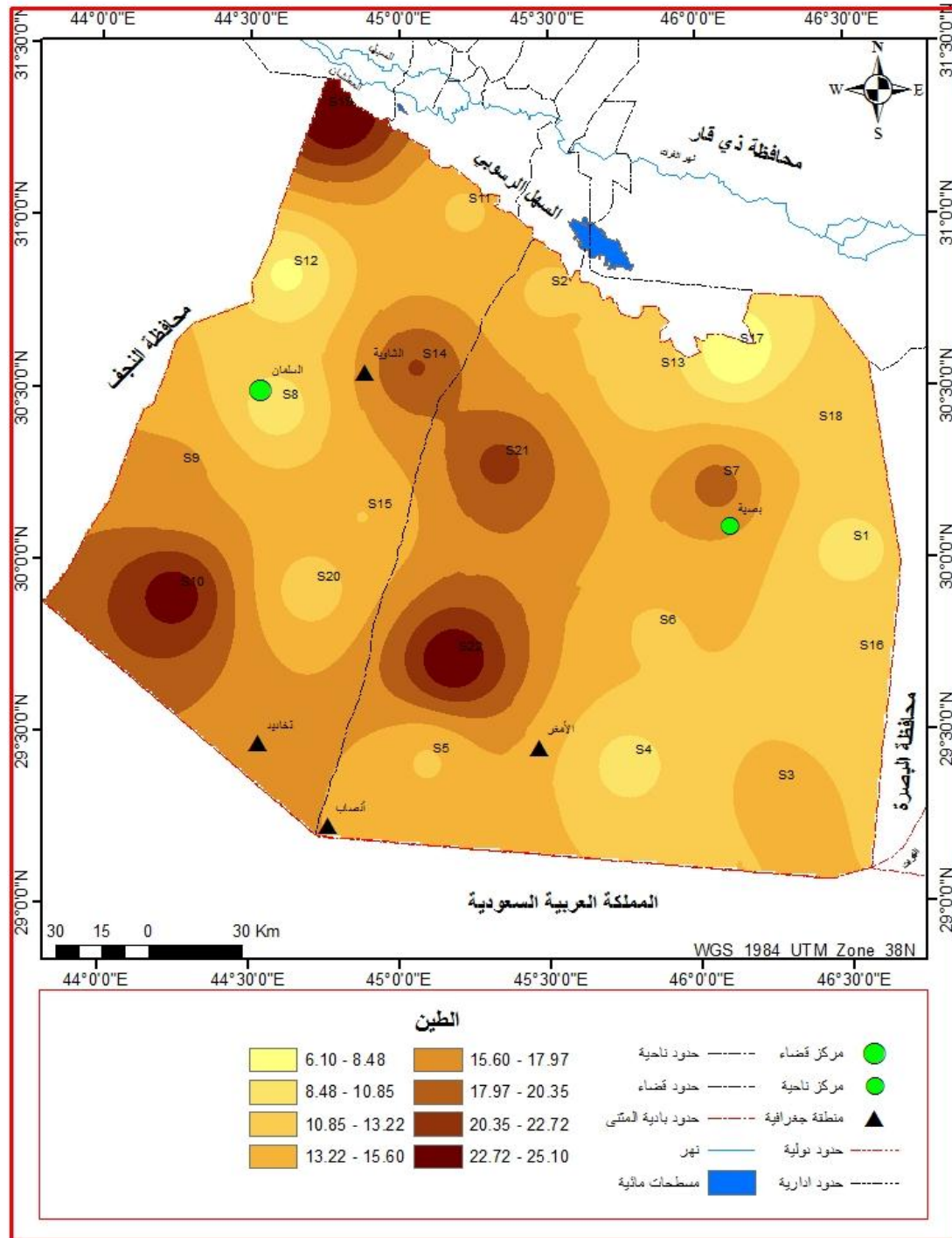
المصادر : باعتماد بيانات جدول (4-2)

خريطة (4-7) التوزيع المكاني للغرين في بادية المثنى



المصادر : باعتماد بيانات جدول (4-2)

خريطة (4-8) التوزيع المكاني للطين في بادية المثنى



المصادر : باعتماد بيانات جدول(4-2)

2- عمق التربة : Soil Depth

تتكون الترب بفعل عمليات فيزيائية وكيميائية، وتزداد سمك التربة في مناطق الترسيب وتنخفض عندما تتفوق عمليات الهدم والنقل على عمليات البناء والترسيب، وعموماً تتصف ترب منطقة الدراسة بعمقها في المناطق الشمالية والمناطق المنخفضة وبطون الاودية، بفعل استمرار العمليات البنائية فيها، وتقل في المناطق المرتفعة والمكاشف الصخرية.

3-لون التربة: Soil Color

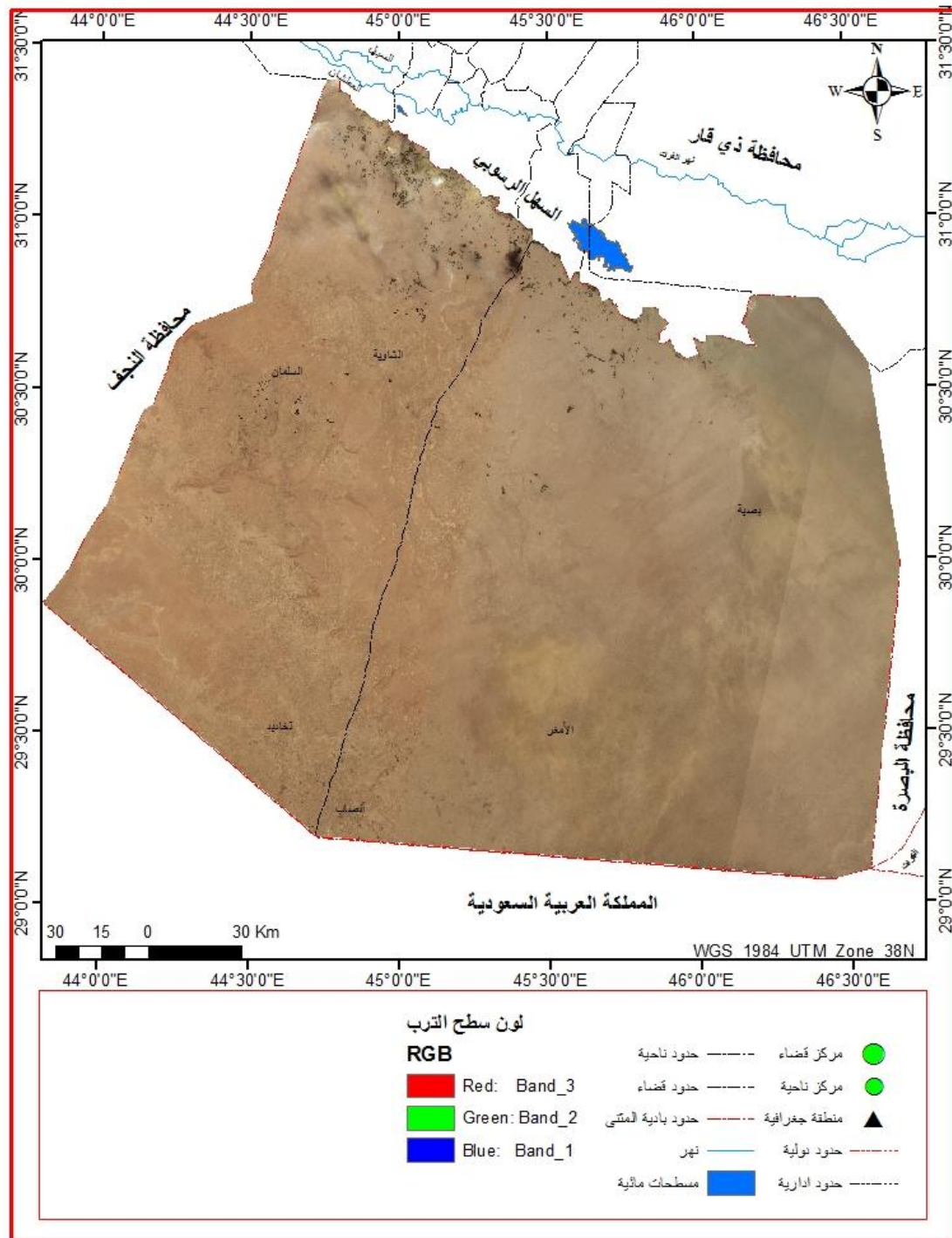
يمثل لون التربة انعكاساً لما تحتويه التربة من مواد عضوية أو معدنية، ويعد هذا المتغير من الخصائص الفيزيائية المهمة للتربة، وهو معياراً لتمييز درجة التفاعل الهيدروجيني (pH)، وتدل الترب الحمراء على وجود أكاسيد الحديد، وهي ترب جيدة الصرف، بينما يعد اللون الاصفر دليل على وجود اكاسيد الحديد المائية، ويكون اللون الاخضر دليل تتواجد سيليكات البوتاسيوم والحديد المائية، وتعد الالوان الرمادية أو الزرقاء دليل سوء التهوية وتغدق الترب، أما الترب الفاتحة فهو دليل على ترب جيرية أو ملحية تنخفض فيها المادية العضوية⁽¹⁾.

أُستخلص لون التربة من المرئيات الفضائية متعددة الاطياف (MSS) من خلال الخلطة اللونية (B-2)، (G-3)، (R-4)، وتكون الترب الحاوية على كمية معينة من المياه لحظة التقاط الصورة الفضائية باردة بسبب التبخر، وتظهر داكنة اللون في الحزمة المرئية، في حين تمتص الترب الحاوية على نسبة كبيرة من المواد العضوية والجافة كمية كبيرة من الطاقة الشمسية مما يرفع من معدل درجات حرارتها مقارنة بالترب الرملية التي تظهر فاتحة اللون في الحزمة الحرارية⁽²⁾، ويمكن من خلال خريطة (4-9) ملاحظة ظهور اللون الداكن الذي يعد دليل تواجد المناطق الزراعية وارتفاع المحتوى الرطوبي في الاقسام الشمالية من بادية المثنى بالقياس لبقية المناطق، يلاحظ صورة (4-5)، واللون الفاتح دلالة على ارتفاع درجات الحرارة فيها، وتغطي هذه الترب بطون الاودية وشمال منطقة الدراسة التي تظهر باللون الابيض، في حين تتوزع الصخور الحجرية السوداء في بعض المناطق في جنوب ناحية بصية والسلمان، يلاحظ صورة (4-6).

(¹) محمد ازهر السماك ، باسم عبد العزيز الساعاتي ، جغرافية الموارد الطبيعية ،الموصل ، جامعة الموصل ، 1988، ص58.

(²) نبيل صبحي الداغستاني ، الاستشعار عن بعد ، الاساسيات والتطبيقات ، ط1،، دار المناهج للنشر والتوزيع ،عمان ، الاردن . 2003. ، ص157 ،

خريطة (4-9) لون سطح التربة في بادية المثنى



1-القمر الامريكي LandSat 8 ، مرئية OLI ، دقة تمييزية 30 م ، الباندات (2,3,4) ، 2022.

صورة (4-5) تمثل إحدى المزارع بادية السلطان (شمال السلحوبية)



30° 54' 20.97" N 45° 2' 54.79" E

المصدر: الدراسة الميدانية بتاريخ 2022/1/21

صورة (4-6) تمثل الصخور الجيرية السوداء (الزفراوية)



30° 35' 58.017" N 44° 16' 56.994" E

المصدر: الدراسة الميدانية بتاريخ 2022/1/21

4-3-2- الخصائص الكيميائية للتربة: **Soil Chemical Properties** : تشمل العديد من الخصائص، يلاحظ، جدول (4-2).

1- الأس الهيدروجيني pH :

تعد معرفة نسبة أيون الهيدروجين في التربة ذات أهمية أساسية في دراسة عملية التجوية كظاهرة جيومورفولوجية، وترتبط أعمار الأشكال الأرضية المكشوفة بتغيرات أيون الهيدروجين، فانخفاض أيون الهيدروجين دليل على قدم هذه الأشكال بالمقارنة مع الأشكال التي يكون فيها أيون الهيدروجين مرتفعاً حيث يدل على حداثة تكوينها⁽¹⁾ ، وتصنف التربة على اساس تركيز ايون الهيدروجين (pH) إلى ترب حامضية وترب قاعدية ومحايدة فإذا كان مقدار (pH) اقل من (7) فان التربة حامضية اما إذا كان مقدار (pH) اكثر من (7) فان التربة قاعدية في حين إذا كان مقدار الـ (pH) (7) فان التربة محايدة او ما تسمى بالترب المتعادلة.

تصنف اغلب ترب منطقة الدراسة وحسب العينات المختارة إلى ترب قاعدية، بسبب سيادة ظروف الجفاف، وتتنخفض قيم الـ (pH) في منطقة الشاوية بسبب تجمع المياه فيها عند تساقط المطر وزحف السيول، ومن ثم ترتفع نسبة الرطوبة فيها، يلاحظ خريطة (4-10).

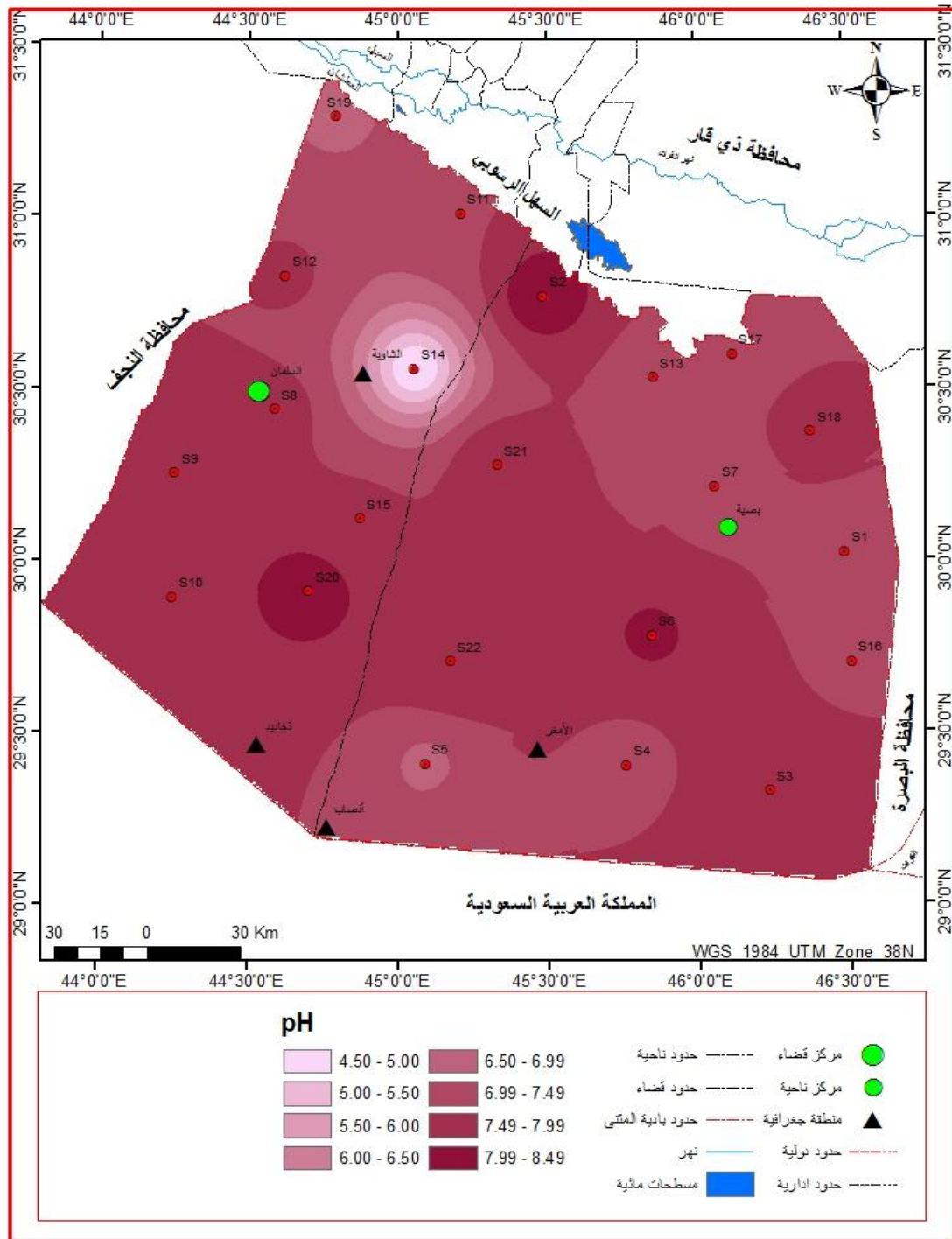
2-الايصال الكهربائي (ملوحة التربة) EC:

تعد ملوحة التربة مصطلحاً يستعمل للتعبير عن الأيونات الموجبة والسالبة في التربة⁽²⁾، وتختلف قيم ملوحة التربة فالترب التي تتراوح ملوحتها (0- 4 مليموز / سم) هي تربة غير ملحية اما الترب التي تكون ملوحتها (اكتر من 15) فتعد ترب قوية الملوحة ، يلاحظ جدول (4-3).

⁽¹⁾ فلاح حسن شنون، دراسة جيومورفولوجية للال الطار، رسالة ماجستير غير منشورة، كلية التربية (ابن رشد)، جامعة بغداد، 1988، ص 88 .

⁽²⁾ سالار علي خضر ، دور العوامل الجغرافية في تكوين التربة وتغير صفاتها في ناحيتي الراشدية والزهور ، رسالة ماجستير (غير منشورة) ، جامعة بغداد ، 2001 ، ص 87 .

خريطة (4-10) التوزيع المكاني للأس الهيدروجيني في بادية المثنى



المصدر : باعتماد بيانات جدول (4-2)

جدول (3-4) تصنيف درجات ملوحة التربة استناداً إلى نظام قسم الزراعة الأمريكي

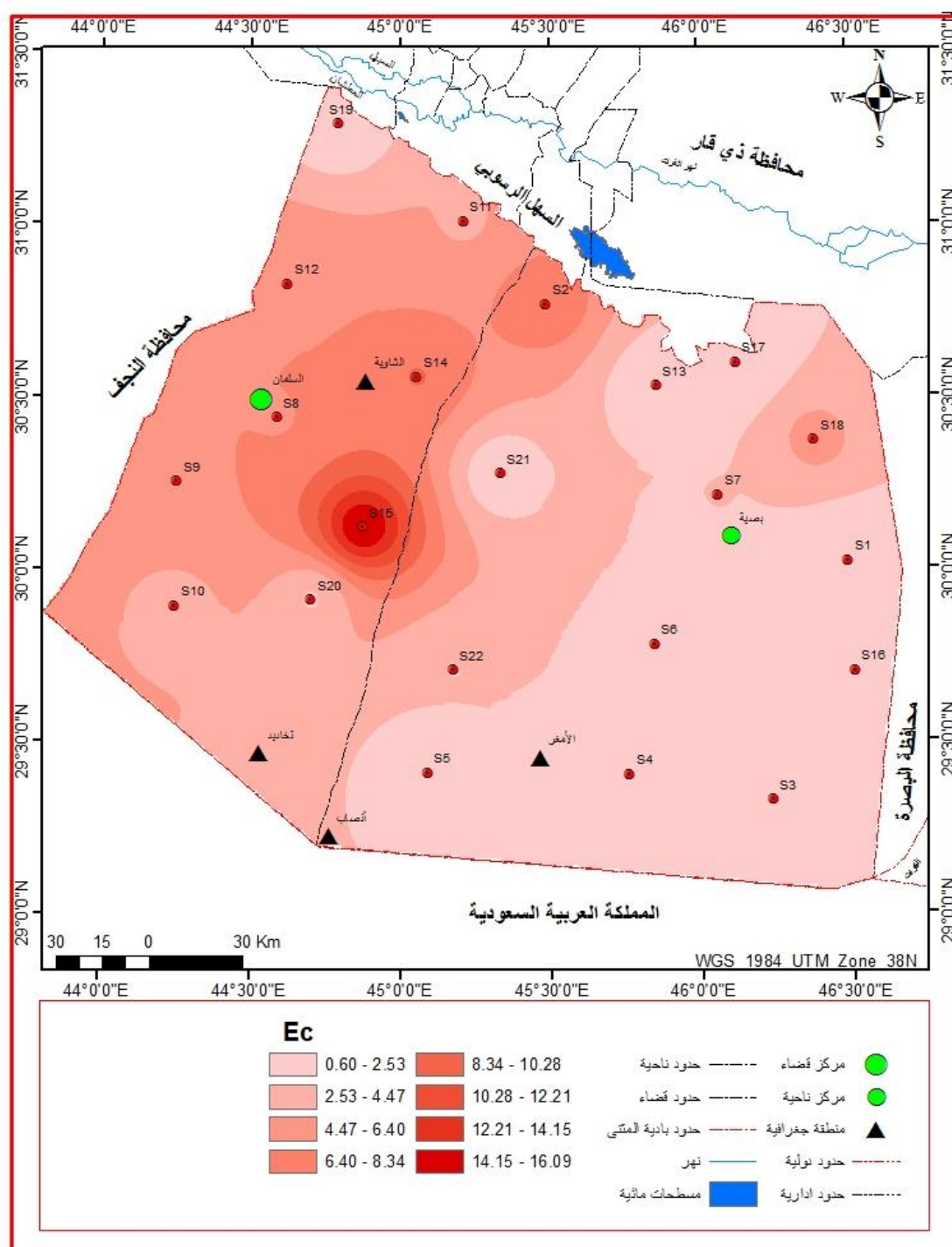
المنصف	قيمة الملوحة (مليموز/سم)	نوع التربة
0	4 - 0	غير ملحية
1	8 - 4	ضعيفة الملوحة
2	15 - 8	متوسطة الملوحة
3	أكثر من 15	قوية الملوحة

المصدر :

FAO, Report Regional seminar on methods of Amelioration of salin and water Logged soils in Baghdad - Iraq, 1971.

وتراوحت نسب ملوحة التربة من (0.60-16.09) مليموز/ سم وتشير الفحوصات المختبرية إلى ارتفاع نسب ملوحة التربة في العينة المختارة إلى الجنوب من منطقة الشاوية بسبب انخفاض مستوى السطح فيها، ومن ثم تجمع المياه فيها في اوقات تساقط المطر وزحف السيول إلى المناطق المنخفضة ونشاط الخاصية الشعرية، وعند تبخرها تترك الاملاح بالقرب من سطح الارض، وعند مراجعة تصنيف درجات ملوحة التربة استناداً إلى نظام قسم الزراعة الأمريكي، يمكن ملاحظة انخفاض قيمة الملوحة في اغلب العينات المختارة، بسبب ارتفاع سطح الارض النسبي لمناطق العينات المختارة، وانخفاض تساقط الامطار وعدم تجمع المياه الا في المنخفضات الذي يؤدي إلى ضعف نشاط الخاصية الشعرية، فضلاً عن طبيعة الترب الرملية، يلاحظ خريطة(4-11).

خريطة (4-11) التوزيع المكاني للتوصيلة الكهربائية في بادية المثنى



المصدر : باعتماد بيانات جدول (4-2)

3-المادة العضوية OM :

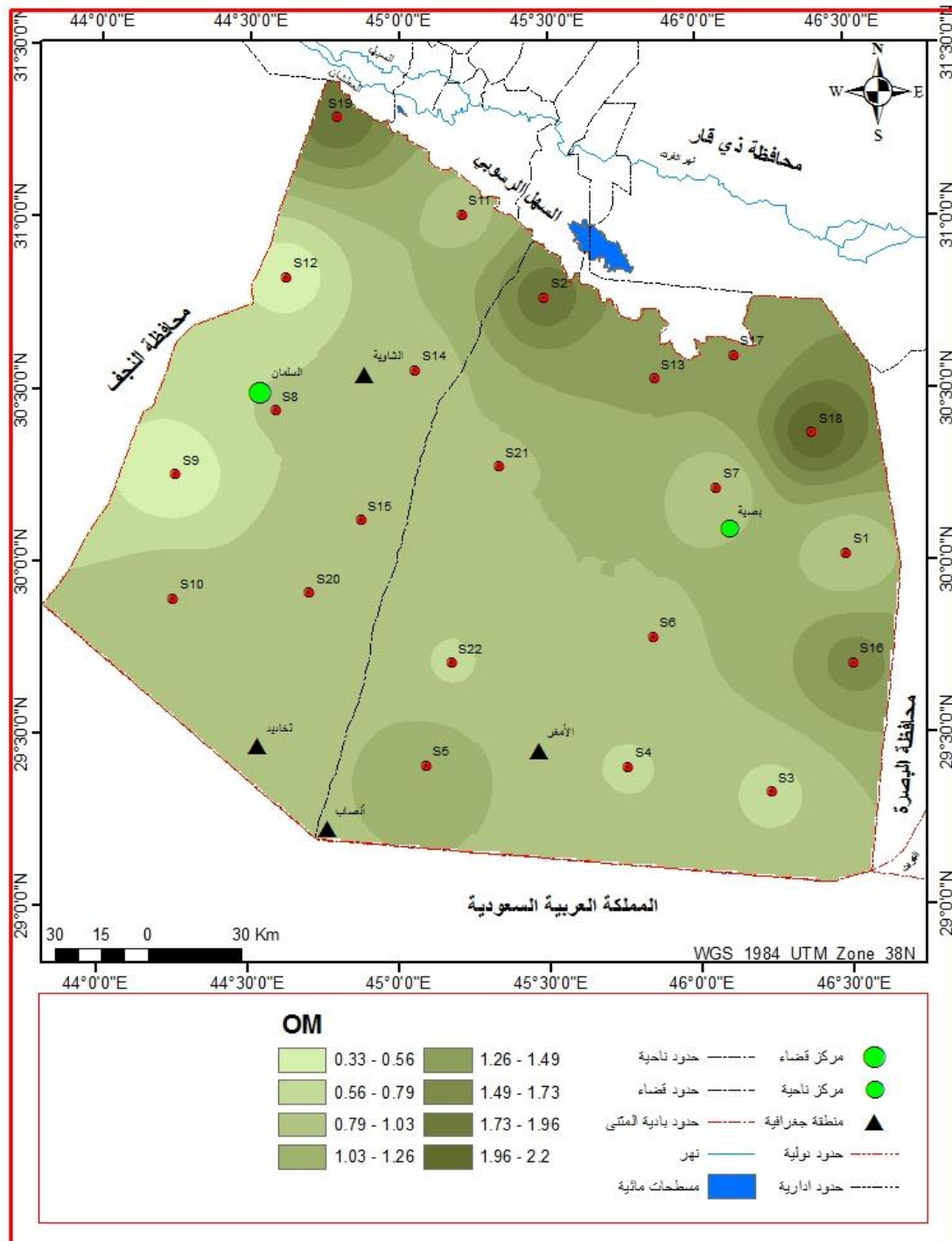
تبرز اهمية دراسة المادة العضوية في التربة من خلال دورها في حمايتها من عمليات الانجراف والتعرية بسبب دورها في تماسك حبيبات التربة، وللمادة العضوية أثر مهم بوصفها مصدراً من المصادر الغذائية، إذ تتحرر منها بأشكالها المتيسرة خلال عملية تحللها، كذلك الدور غير

المباشر الذي تؤديه في التربة بوصفها عاملاً فعالاً في حالة وفرتها إذ تعد دليل على وجود بناء جيد للتربة، وتؤثر المادة العضوية على صفات فيزيائية أخرى في التربة لزيادة قابليتها على الاحتفاظ بالماء، وتحافظ على حرارة التربة وتحدد إلى درجة كبيرة السعة التبادلية للكاتيونات⁽¹⁾.

يمكن ملاحظة انخفاض نسبة المادة العضوية في عموم العينات المختارة، إذ تراوحت بين (0.33-2.2) % ، وتوافق زيادة نسبة المادة العضوية مع اتجاه الانحدار العام في الأقسام الشمالية وامتداد بادية المثنى باتجاه بادية محافظة البصرة، ومن ثم تجمع مياه الأمطار والسيول التي تعمل على إذابة المواد العضوية ونقلها إلى المناطق المنخفضة، في حين تنخفض في مواقع العينات المختارة في المناطق الجنوبية والجنوبية الغربية، يلاحظ خريطة (4-12).

(1) حسن كريم حمد الساعدي ، هيدروولوجية احوار الدلمج والشويجة والسعدية وبيئاتها الحيوية (دراسة مقارنة)، اطروحة دكتوراه، (غير منشورة) ، جامعة بغداد ، كلية الآداب، 2014، ص 73 .

خريطة (4-12) التوزيع المكاني المادة العضوية في بادية المثنى



المصدر : باعتماد بيانات جدول(4-2)

4-مجموعة الاملاح الذائبة : T.D.Sمليغرام /كغم

من خلال الخريطة(4-13) يتضح إن قيم (T.D.S) توزعت بين (0.20-4.2) مليغرام /كغم وتزداد نسب الاملاح في منطقة الشاوية وشمال قضاء السلطان بين (3.70-4.19) مليغرام /كغم بسبب التبخر الشديد للمياه وخاصة في المناطق التي تقترب المياه الجوفية من السطح، وتقل هذه النسب إلى الجنوب من ناحية بصية والجنوبي الغربي من منطقة الأمغر بين (0.20-0.70) مليغرام /كغم بسبب ضعف نشاط الخاصية الشعرية لانخفاض معدلات التساقط.



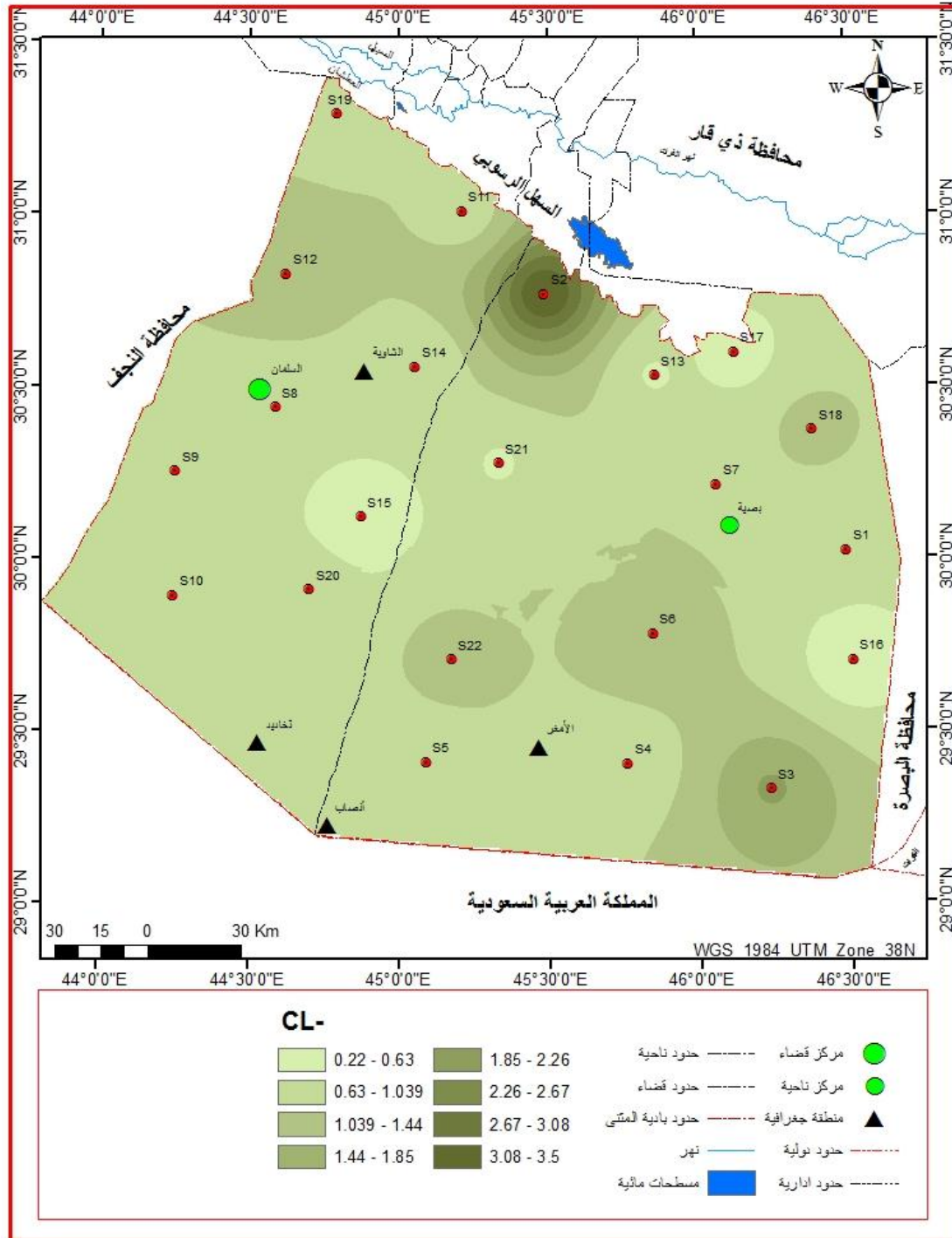
وهناك مجموعة من العناصر التي يستفاد منها النبات في غذائه وتشمل بعض الأيونات وكما يأتي :-

5-الكلوريدات: CL^- chloride

يتوفر بمدى واسع من التركيز في مياه الري، وتنخفض نسبته في الترب غير الملحية بسبب سرعة ذوبانه وغسله ⁽¹⁾، يتراوح تركيز هذا الايون بين (0.22-3.5) غم / كغم، وتبين من خلال ملاحظة التوزيع المكاني للكلوريدات للعينات المختارة، تركز ايون الكلوريدات إلى الجنوب من منخفض الصليبات، بسبب طبيعة الانحدار العام الذي يساعد على تجمع المياه في تلك المناطق فضلاً عن ما موجود اصلاً في تلك المناطق، يلاحظ خريطة (4-14).

(1) أ. ي . فوربو تسكايا ، كيمياء التربة ، الطبعة الثالثة المنقحة تحت إشراف البروفسور د . ل. أسكينازي ، ترجمة ، احمد حيدر الزبيدي ، قسم التربة ، كلية الزراعة ، جامعة بغداد ، دار النشر (فيشا شكولا) ، موسكو 1968 ، طبع على نفقة دار الحرية للطباعة ، بغداد ، 1977 . ، ص 395 .

خريطة (4-14) التوزيع المكاني للكلوريدات في بادية المثنى

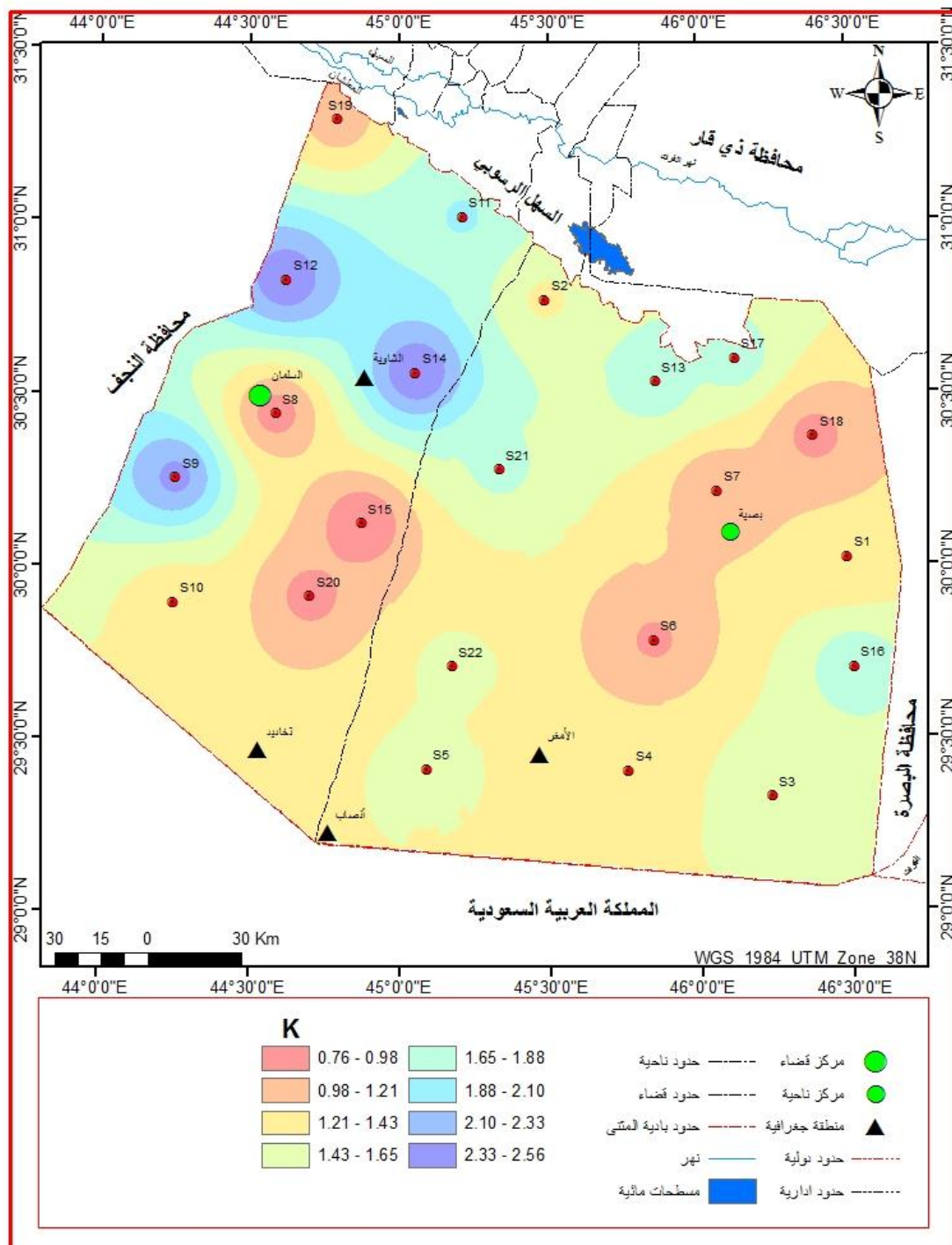


المصادر : باعتماد بيانات جدول (4-2)

6-البوتاسيوم (K) Potassuim :-

عموماً تحوي ترب المناطق الجافة على كميات اكبر من البوتاسيوم مقارنةً مع الترب المشابهة لها في النسجة في المناطق الرطبة، فضلاً عن ان محتوى الترب الناعمة منه أعلى من محتوى الترب الخشنة النسجة، بسبب زيادة محتوى الترب الناعمة من مادة الطين، وتتراوح نسب هذا العنصر بين (0.76-2.56) غم / كغم، ويتوزع البوتاسيوم في العديد من اجزاء منطقة الدراسة، وترتفع تراكيزه في منطقة الشاوية وشمال شرق بادية المثنى بسبب زيادة محتواها من الطين حسب العينات المختارة ، يلاحظ خريطة(4-15).

خريطة (4-15) التوزيع المكاني للبوتاسيوم في بادية المثنى



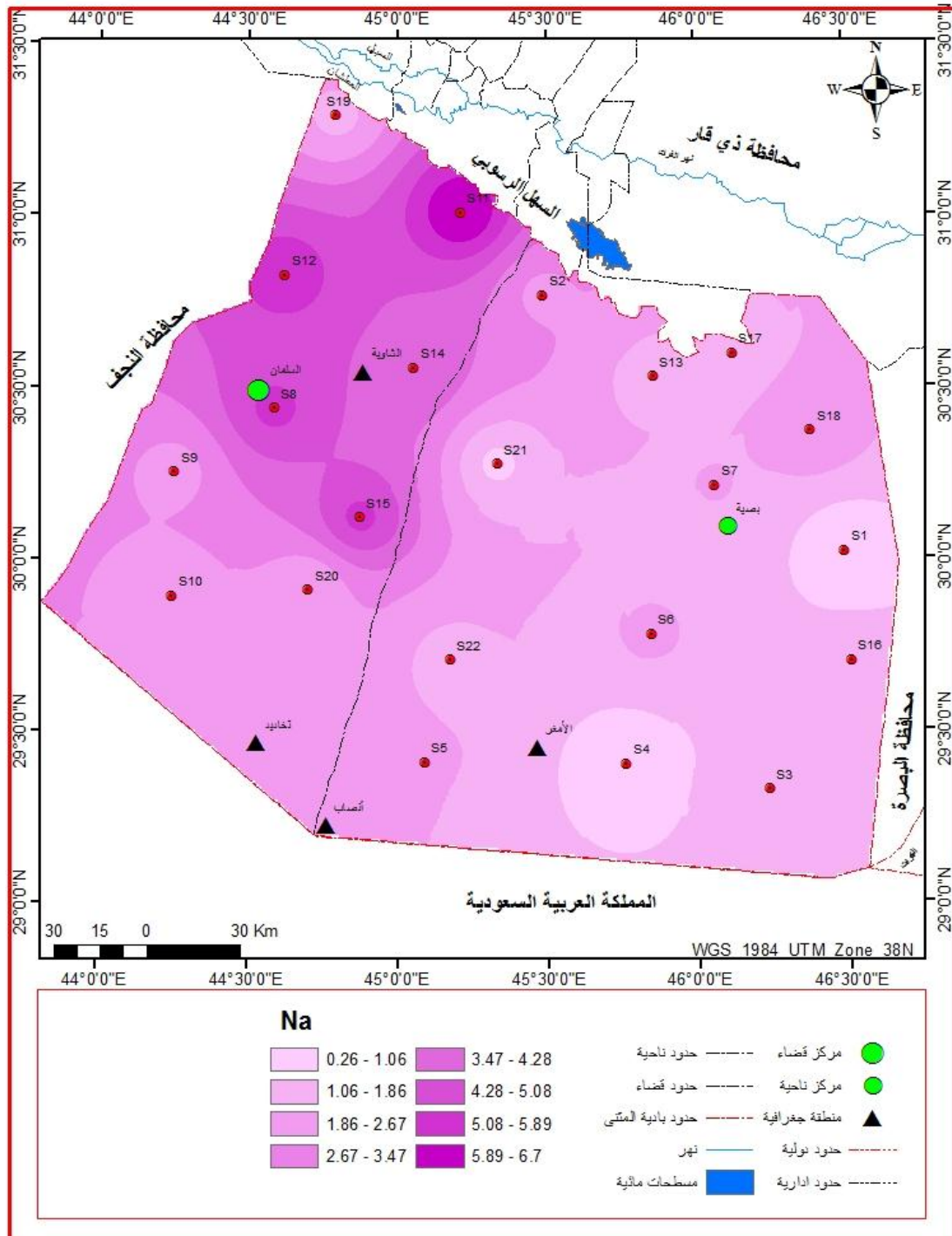
المصادر : باعتماد بيانات جدول (4-2)

7-الصوديوم (Na) Sodium :-

يعد وجود أيون الصوديوم مشكلة من المشاكل التي تواجه ترب المناطق الجافة وشبه الجافة، فعند تراكم نسبة الصوديوم المتبادل (ESP) بالتربة إلى (15%) أو أكثر يمكن ان يؤدي ذلك إلى تدهور في بناء التربة الفيزيائي، وتتأثر الترب الرملية بدرجة أقل نسبياً بالصوديوم بسبب انخفاض محتواها الطيني⁽¹⁾، وعند ملاحظة التوزيع المكاني لهذا العنصر يمكن ملاحظة انخفاض تراكيزه في اغلب اجزاء منطقة الدراسة بسبب اتساع مساحات الترب الرملية وتتراوح تراكيز هذا العنصر ما بين (0.26-6.7) غم / كغم، يلاحظ خريطة(4-16).

(1) - دي . دبيلو ، جيمنز وآر .جي . هانكز وجي . جي . جوريناك ، الجديد عن الترب المروية ، جامعة يوتا الرسمية ، أمريكا ، 1982 ، ترجمة ، مهدي إبراهيم عودة ، كلية الزراعة ، جامعة البصرة ، مطبعة جامعة البصرة ، 1982 ، ص 222 .

خريطة (4-16) التوزيع المكاني للصوديوم في بادية المثنى



المصادر : باعتماد بيانات جدول (4-2)

8- المغنيسيوم (Mg) :- Magnesium

تعد التربة المشتقة من الصخور الرسوبية الرملية فقيرة من حيث محتواها من المغنيسيوم الكلي⁽¹⁾ ، ومن خلال الخريطة (4-17) يتضح إن نسب هذا العنصر تتراوح ما بين (0.02-3.3) غم / كغم ، ويمكن ملاحظة تجانس التوزيع المكاني لهذا العنصر ضمن العينات المختارة.

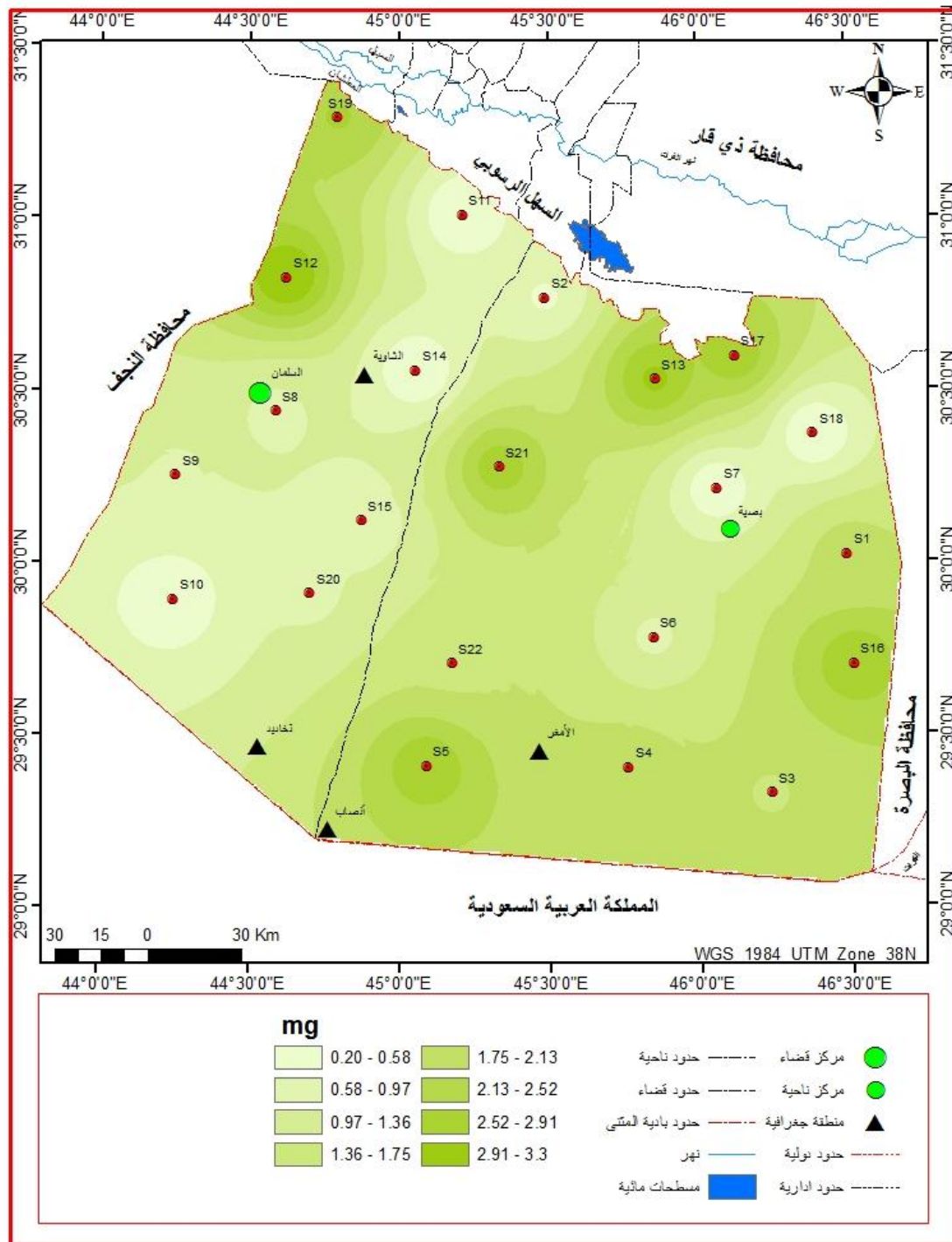
9-الكالسيوم (Ca) :- Calcium

يعد الكالسيوم المكون الرئيسي لصخور حجر الفوسفات ومعادن الفلدسبار والدولومايت والجبس والكلس، ويتباين محتوى التربة منه تبعاً لنوعية التربة ومادة الأصل والظروف المناخية السائدة⁽²⁾، وتتراوح نسب الكالسيوم في العينات المختارة بين (0.18,6.7) غم / كغم ، يلاحظ خريطة (4-18)، ويتبين من خلال التوزيع المكاني لنسب الكالسيوم تباين نسب هذا العنصر في العينات المختارة، إذ ينخفض في الاجزاء الشرقية بسبب طبيعة التربة الرملية التي تسمح للمياه بنقل تلك العناصر بعيداً عن متناول جذور النباتات، في حين يرتفع في الاجزاء الشمالية والغربية بسبب طبيعة التكوينات الجيولوجية، إذ ان معظم تكويناتها هي من حجر الكلس والدولومايت ، ذات تربة ضحلة وغير متماسكة ، فضلاً عن احتوائها على نسبة عالية من الجبس، بسبب عدم سقوط كميات كافية من الامطار لغسل الجبس من سطح الارض وابعاده .

(1) عبد الفتاح العاني ، أساسيات علم التربة ، عبد الفتاح العاني ، أساسيات علم التربة ، بغداد ، مؤسسة المعاهد الفنية ، 1984 ، ص 161 .

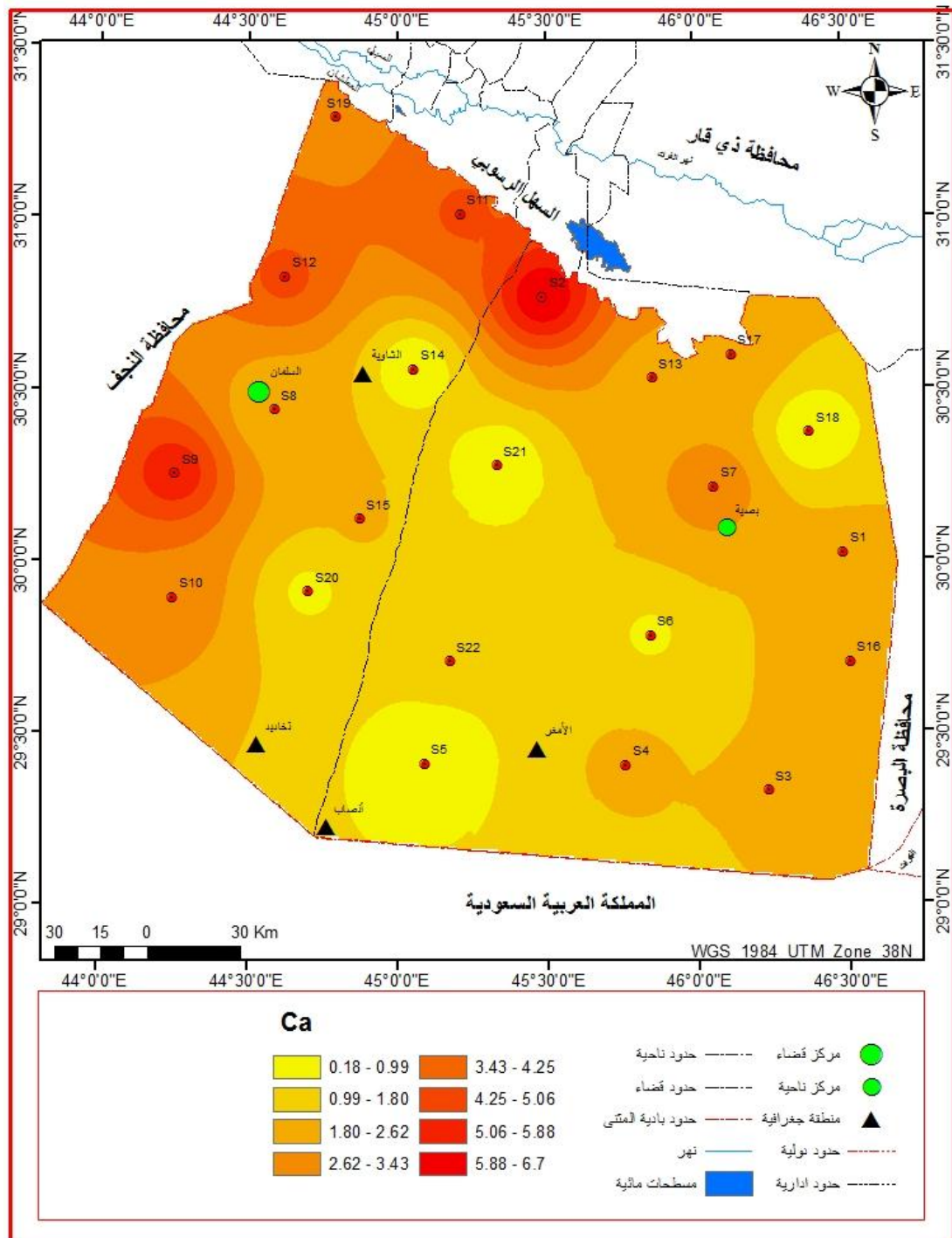
(2) عبد الفتاح العاني ، أساسيات علم التربة ، نفس المصدر، ص 156-159 .

خريطة (4-17) التوزيع المكاني للمغنيسيوم في بادية المثنى



المصادر : باعتماد بيانات جدول(4-2)

خريطة (4-18) التوزيع المكاني للكالسيوم في بادية المثنى



المصادر : باعتماد بيانات جدول (4-2)

4-4- المؤشرات الرقمية الخاصة بالترب : تستخدم بعض المؤشرات في الكشف عن الترب وانواعها، ومن اشهر هذه المؤشرات :

4-4-1- مؤشر الكثبان الرملية والترب القاحلة : **Index of sand dunes and arid soils (NDSDI)**

إن قيمة هذا المؤشر تعبر عن شدة وخطورة الكثبان الرملية وانتشارها وكثافتها ⁽¹⁾، ويتم حسابها على أساس العلاقة المتبادلة بين الحزمة الثالثة (Band3) والحزمة السابعة (Band7)، من خلال المعادلة الآتية ⁽²⁾:

$$NDSDI = \frac{Band3 - SWIR2Band}{Band3 + SWIR2Band}$$

حيث ان :

NDSDI = مؤشر الكثبان الرملية والترب القاحلة

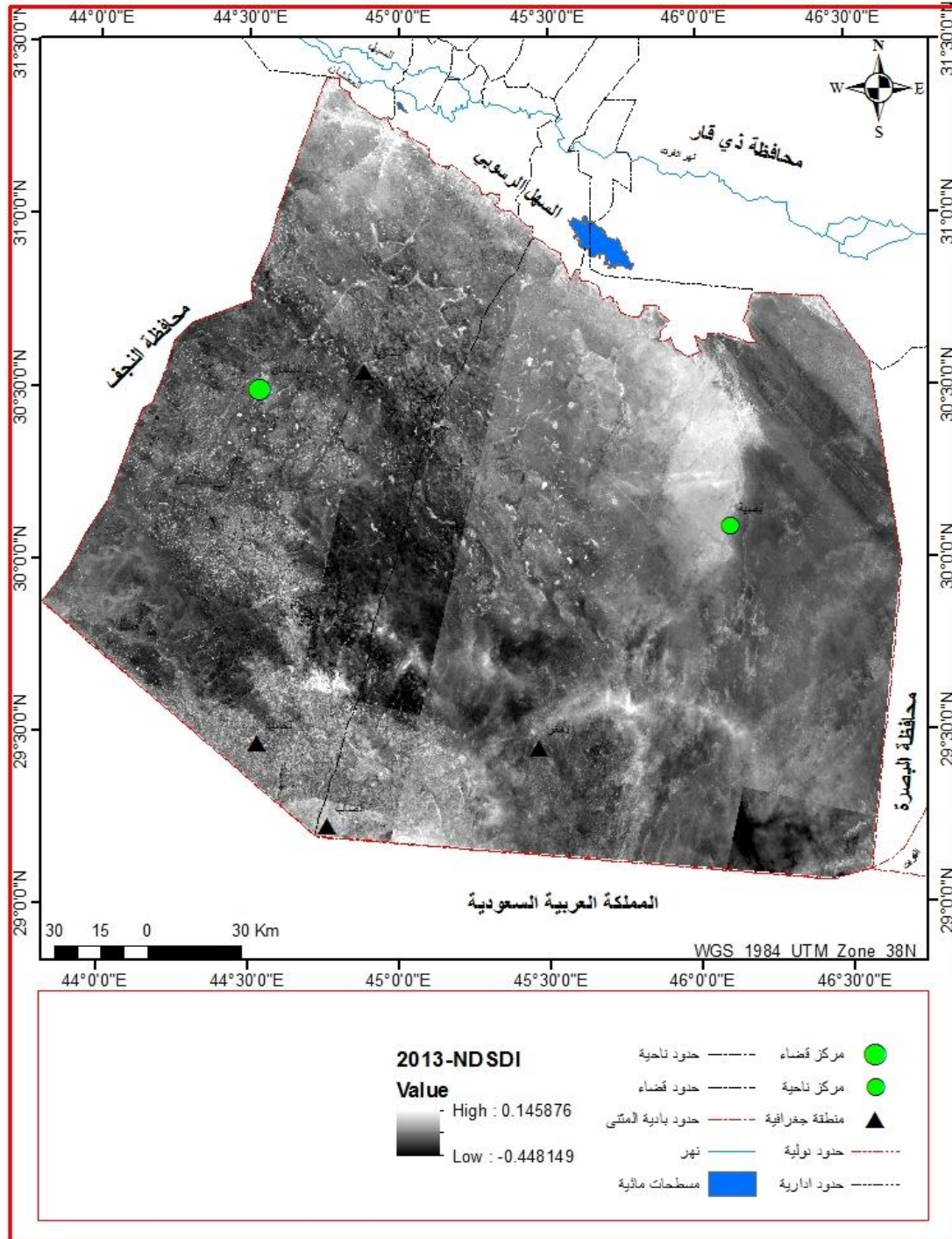
R = الحزمة الخضراء المرئية Band3 بطول موجي 0.53-0.59 ميكروميتر .

SWIR = الاشعة تحت الحمراء المتوسطة Band7 بطول موجي 2.11-2.29 ميكروميتر .

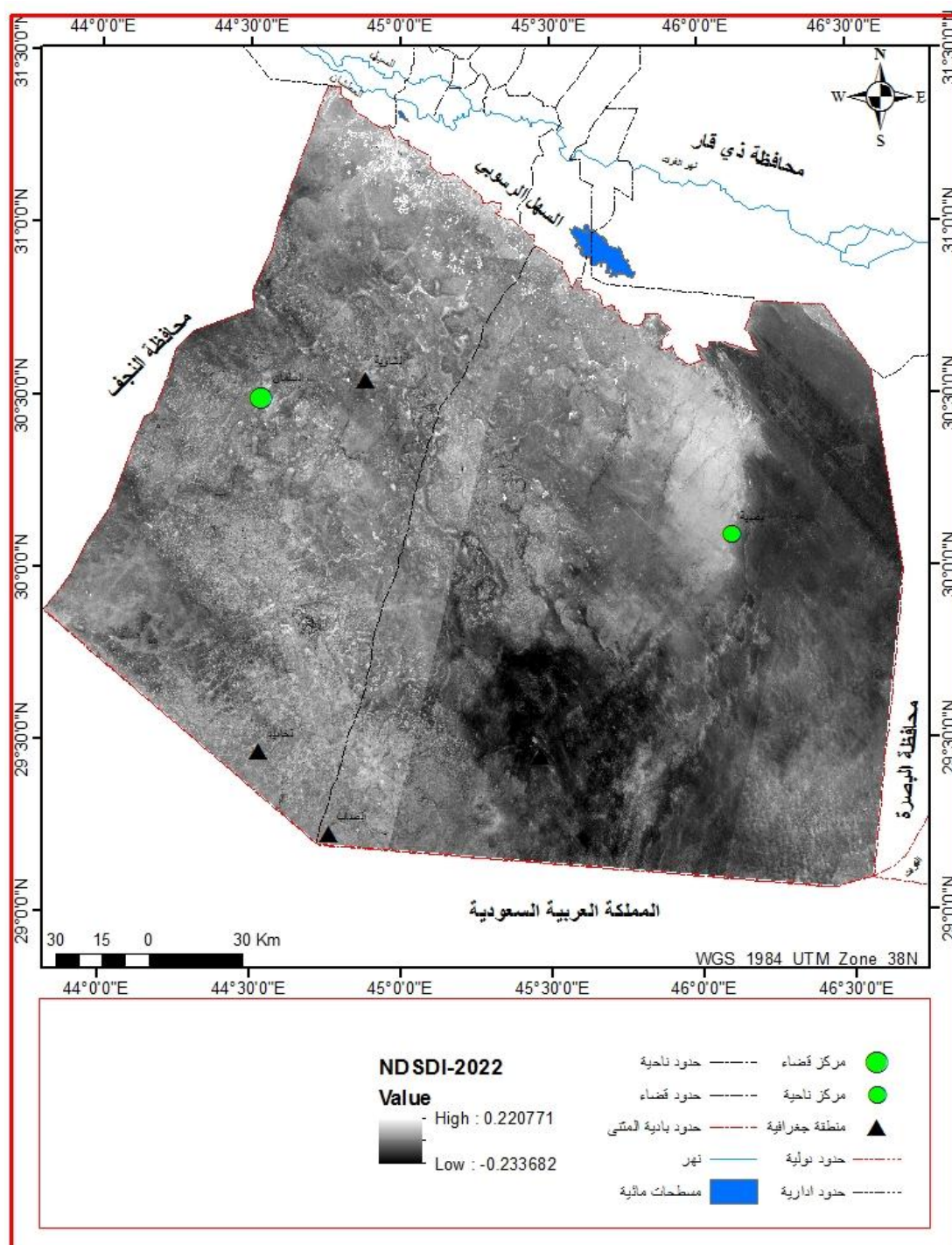
عند تطبيق المعادلة على منطقة الدراسة واستخراج نتائجها اتضح في خلال خريطة (4-19)، قيم الانعكاسية الطيفية تراوحت ما بين (0.145876-0.448149) لسنة 2013، ويوضح اللون الغامق أو الاسود كثافة الكثبان الرملية ضمن نطاق (-0.448149) ميكروميتر، بينما يوضح اللون الابيض الناصع الغطاء النباتي والرطوبة، بينما تراوحت قيم الانعكاسية ما بين (0.220771-0.233682) لسنة 2022، ويوضح اللون الاسود كثافة الكثبان الرملية ضمن نطاق (-0. 0.233682) ميكروميتر، يلاحظ خريطة(4-20).

(¹) اياد عبد الله خلف الدليمي، استخدام دليل الاختلاف الخضري الطبيعي (NDVI) وبعض المؤشرات النباتية لرصد التصحر والكثبان الرملية في بيجي/العراق، مجلة تكريت للعلوم الصرفة، 20(1) 2015، ص 113.
(²) طارق جمعة علي المولى ، التمثيل الخرائطي لتغيرات الغطاء الارضي في محافظة البصرة باستخدام الاستشعار عن بعد ونظم المعلومات الجغرافية للعدة 2013-1974مصدر سابق، 2014، ص 306 .

خريطة (4-19) نتائج مؤشر NDSDI لسنة 2013 للكثبان الرملية في بادية المثنى



خريطة (4-20) نتائج مؤشر NDSDI لسنة 2022 للكثبان الرملية في بادية المثنى



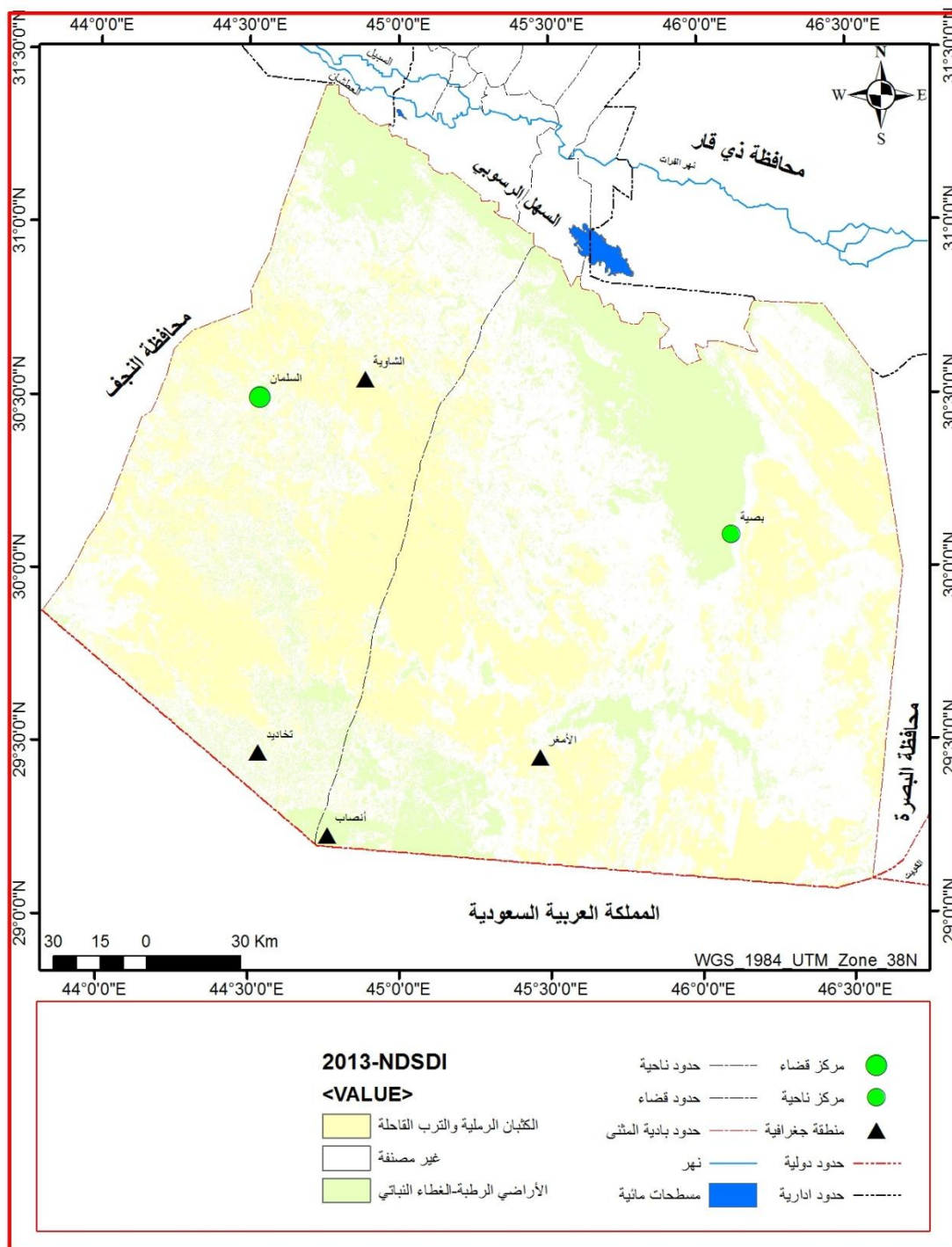
المصادر:

(1) القمر الامريكي Landsat 8-9 ، مرئية ETM+ ، الحزم (3-7) ، بدقة 30 م ، 2022

تبين من خلال تحليل نتائج مؤشر **NDSDI** الخاص بالكثبان الرملية والترب القاحلة إلى تزايد مساحة هذه الترب من (17311.92) كم² عام 2013 ، وبنسبة (37.91)% إلى (23049.95) كم² ، وبنسبة (50.49)% عام 2022 ، وتعد هذه النتائج مؤشر لتزايد المساحات

المتأثرة بالتصحّر بسبب طبيعة الظروف المناخية السائدة، ولا يخفى أن اتساع الكثبان الرملية والترّب القاحلة يوفر فرص للتنمية المستدامة في بادية المثنى وفي مجالات عدة منها الصناعية والسياحية، وتبين من خلال تحليل نتائج مؤشر **NDSI** الخاص بالكثبان الرملية والترّب القاحلة في المناطق ذات اللون الأبيض الناصع إلى إمكانية التوسع في الغطاء النباتي وتعدد الفرص الاستثمارية للتنمية الزراعية في بادية المثنى وزيادة الرغبة في الاستثمار في مجال الزراعة، يلاحظ خريطة (4-21 و 4-22) وجدول (4-4) .

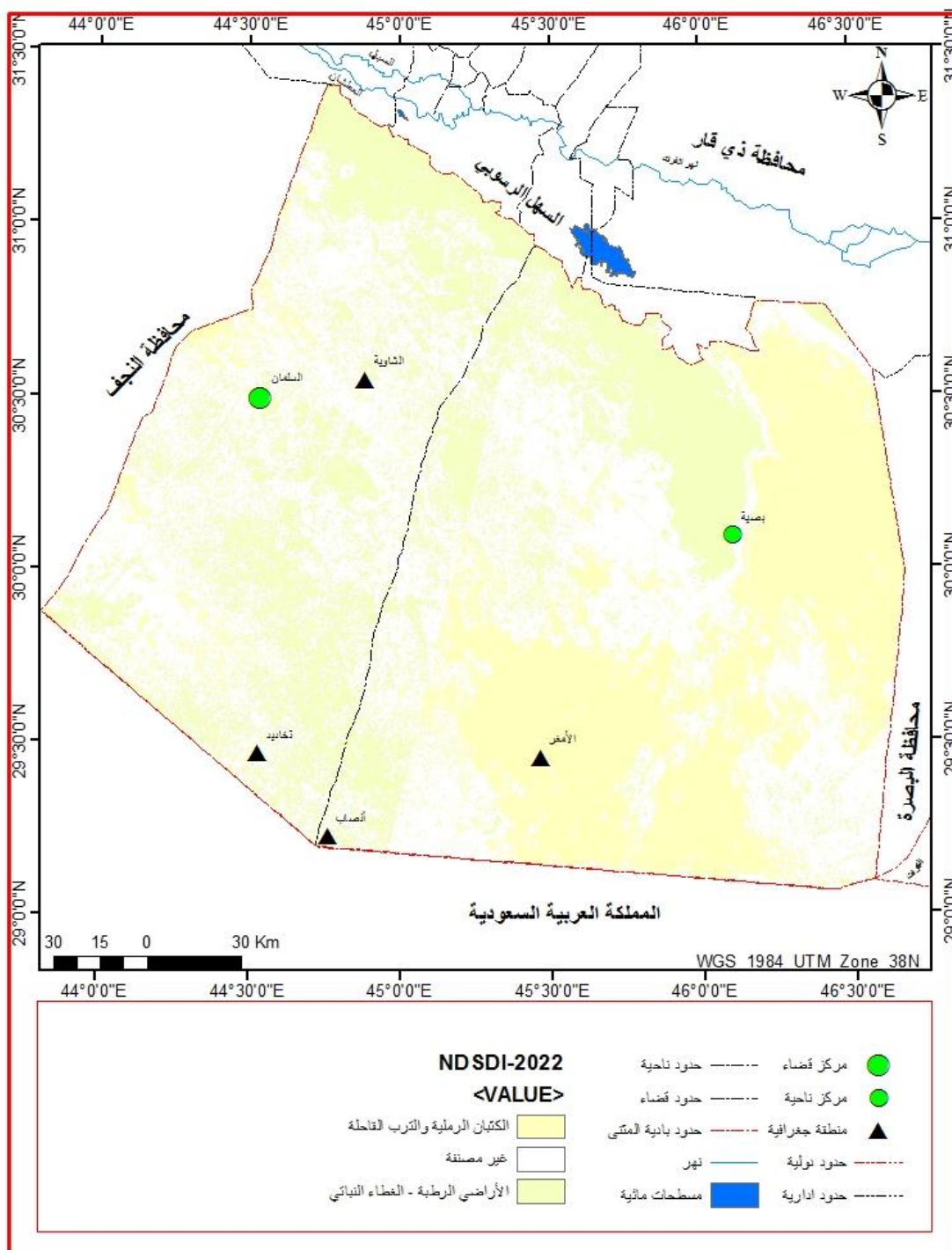
خريطة (4-21)الكثبان الرملية والاراضي القاحلة في بادية المثنى 2013



المصادر:

- (1) القمر الامريكي Landsat 8-9 ، مرئية ETM+ ، الحزم (7-3) ، بدقة 30 م ، 2013
- (2) الخريطة(4-19).

خريطة (4-22) الكثبان الرملية والاراضي القاحلة في بادية المثني لعام 2022



المصادر:

- (1) القمر الامريكي Landsat 9 ، مرئية ETM+ ، الحزم (7-3) ، بدقة 30 م ، 2022
- (2) الخريطة (4-20).

جدول(4-4)

الكثبان الرملية المستخرجة بمؤشر (NDSI) بين 2013-2022

الصف	2013		2022	
	المساحة كم ²	النسبة %	المساحة كم ²	النسبة %
الكثبان الرملية والاراضي القاحلة	17311.92	37.91	23049.95	50.49
غير المصنفة	21157.08	46.34	19113.03	41.86
رطبة	7188.7	15.75	3494.72	7.65
المجموع الكلي	45657.7		45657.7	

المصدر: باعتماد الخرائط(4-21و4-22) وبرنامج Arc GIS

4-5- دور الترب في التنمية المستدامة في بادية المثنى:

تمهيد:

تعد التصنيف والمسوحات مرتكزاً أساسياً للتنمية المستدامة للترب في بادية المثنى من خلال اتباع المنهج العلمي التطبيقي، لغرض الاستخدام الامثل لهذا المورد المهم، كونه يمثل الحيز الذي يتفاعل فيه ومعه اغلب الكائنات الحية لتحقيق ديمومة الحياة، وتتأثر التربة بالعديد من العوامل الجغرافية كالتكوين الجيولوجي والمناخ والسطح ، فضلاً عن دور الانسان.

4-5-1- دور الترب في التنمية الصناعية المستدامة:

تعد رواسب(الرمل ، الكلس ، الطين والجبس) من أهم الموارد الاقتصادية لرواسب الزمن الرباعي في بادية المثنى، وتدل نتائج مؤشر **NDSI** للكثبان الرملية والترب القاحلة إلى تزايد نسب مساحة هذه الترب من (37.91)% عام 2013 إلى (50.49)% عام 2022، وعند تحليل جدول (4-5) وخريطة(4-23 و4-24) يمكن ملاحظة التوزيع المكاني لترسبات الزمن الرباعي والامكانات المتاحة للتنمية الصناعية المستدامة ومواقع استثمار الترب، إذ يشغل الرمل الاقسام الشمالية الشرقية ضمن مواقع الكثبان الرملية بمساحة (1411.54) كم² ونسبة(3)% وللکثبان الرملية دور في التنمية الصناعية المستدامة، إذ تدخل كمورد صناعي مهم ومادة اولية في صناعة الزجاج أو خزانات المياه الجوفية، فضلاً عن دخولها في مجالات البناء والزراعة.

واحتلت ترسبات الرمل والحصى الاقسام الشرقية، إذ شغلت (12780.23) كم² ونسبة(28)%، ولهذه الترسبات استخدامات واسعة في اكساء قواعد الابنية، ويستخدم النوع النقي منه في الخرسانة الكونكريتية .

الفصل الرابع....المقومات البيدولوجية في بادية المثنى ودورها في التنمية المستدامة

وشغل حجر البناء والتحكيم مساحات محدودة من الاقسام الجنوبية ضمن تكوينات الدمام الاسفل بمساحة ب (1276.89) كم² ونسبة (3%) ، ولهذه الاحجار دور في التنمية المستدامة إذ تدخل كمادة اولية في البناء والرصف.

واحتل الجبس مساحة محدودة من اقصى الشمال الشرقي بمساحة (404.43) كم² ونسبة (1%) وتستخدم في البناء والصناعات المختلفة منها الجبائر الطبية والديكورات والجبص.

وشغلت ترسبات الاطيان الاقسام الشمالية بمساحة (6936.35) كم² ونسبة (15%)، وتستعمل هذه الترسبات في صناعة الطابوق والإسمنت، وتعد هذه الترسبات من النوع النقي الذي يساعد على تماسك وقوة الطين بعد الفخر والتجفيف.

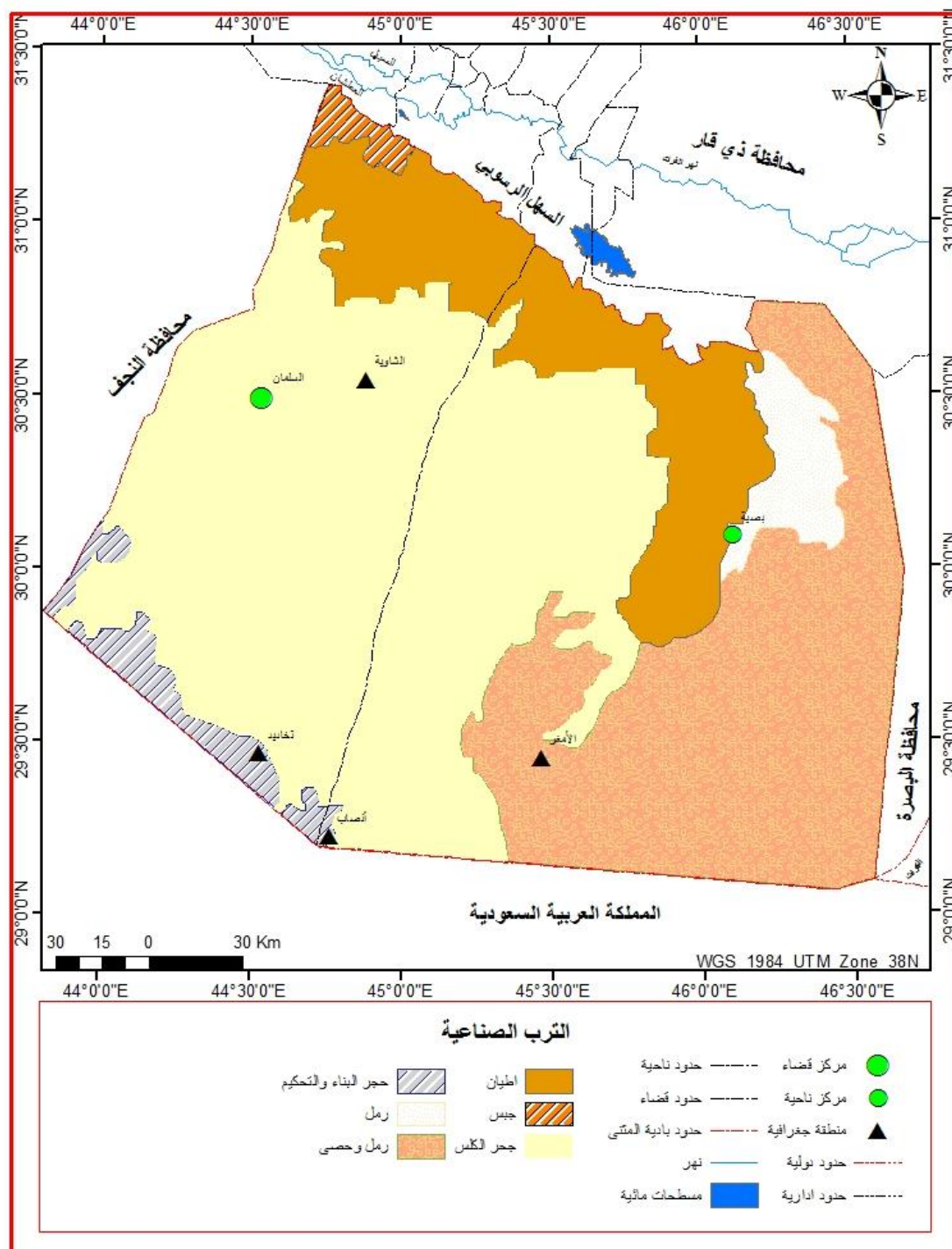
واحتل حجر الكلس مساحة واسعة تقدر ب (22848.26) كم² ونسبة (50%) ، وتعد هذه الاحجار ذات اهمية كبيرة في العديد من الصناعات ومنها الإسمنت والبناء والرخام .

جدول (4-5) المساحات والنسب المئوية للترب الصناعية في بادية المثنى

المورد الصناعي	رمل	رمل وحصى	حجر البناء والتحكيم	جبس	اطيان	حجر الكلس	المجموع
المساحة كم ²	1411.54	12780.23	1276.89	404.43	6936.35	22848.26	45657.7
النسبة المئوية	3%	28%	3%	1%	15%	50%	100%

المصدر: باعتماد خريطة (4-23) وبرنامج Arc GIS 10.2.2 في حساب المساحات.

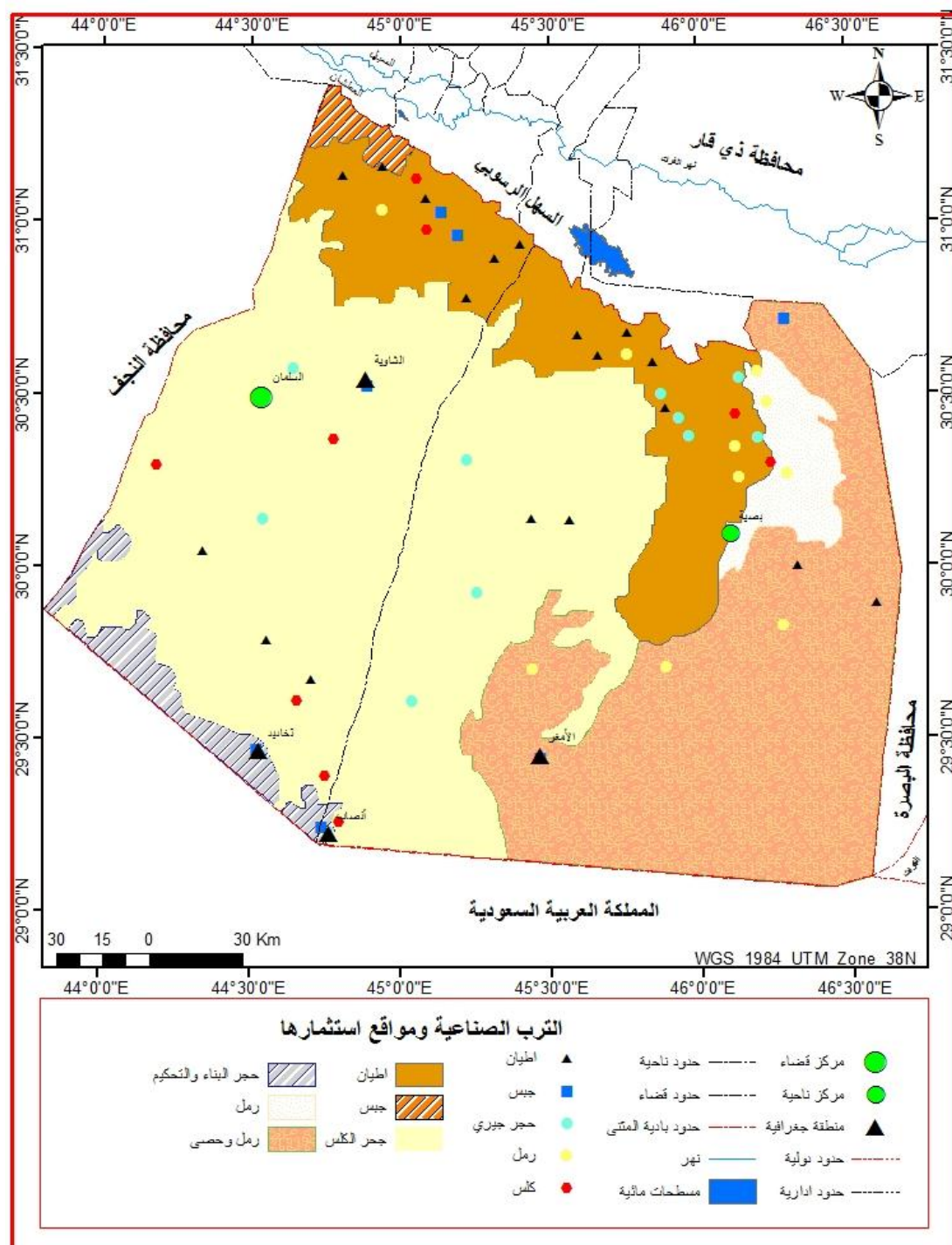
خريطة (4-23) التوزيع المكاني لموارد الترب الصناعية المتاحة في بادية المثنى



المصادر: بالاعتماد على:

- 1-وزارة الصناعة والمعادن ، الشركة العامة للمسح الجيولوجي والتعدين ،خريطة الشواهد المعدنية بمقياس 1: 1000 , 000, بغداد ، 2007.
- 2-وزارة الصناعة والمعادن ، الشركة العامة للمسح الجيولوجي والتعدين ،خريطة العراق الجيولوجية والاقتصادية بمقياس 1: 1000 000 ,بغداد ، 2018.

خريطة(4-24) التوزيع المكاني لمواقع استثمار موارد الترب الصناعية في بادية المثنى



المصادر: بالاعتماد على:

- 1-وزارة الصناعة والمعادن ، الشركة العامة للمسح الجيولوجي والتعدين ،خريطة الشواهد المعدنية بمقياس: 1: 1000 ، 000بغداد ، 2007.
- 2-وزارة الصناعة والمعادن ، الشركة العامة للمسح الجيولوجي والتعدين ،خريطة العراق الجيولوجية والاقتصادية بمقياس: 1: 1000 000 ،بغداد ، 2018.

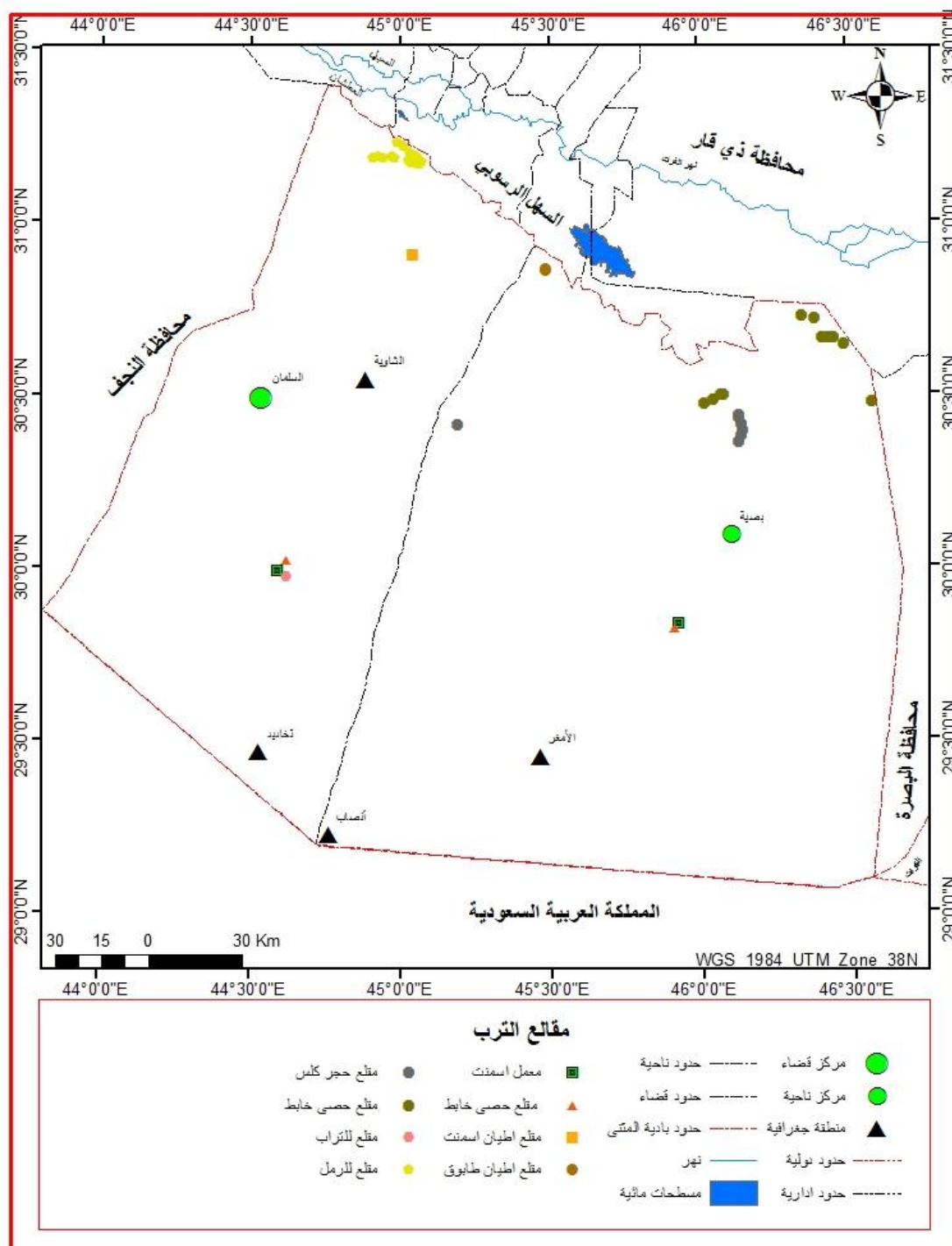
وتعد بادية المثنى من المناطق الغنية برواسب الزمن الرباعي، إذ حملت وديانها العديد من الرواسب التي تدخل في الصناعات الانشائية، وقد كانت هذه الرواسب احدى مقومات التنمية المستدامة في بادية المثنى من خلال انتشار المقالع ومنها مقالع الحصى التي تدخل ضمن أعمال الخرسانة الإسمنتية، وتعتمد الاستفادة القصوى من هذه الترسبات على نوعية وصفات خصائصها الفيزيائية والكيميائية، إذ تتطلب الجدوى الاقتصادية من استثمارها عمليات غسل ونخل للتخلص من الاملاح المصاحبة التي تسبب ضرر على الخرسانة الإسمنتية، وبلغ عدد مقالع الحصى والرمل (54) مقلعاً، ويستخدم لأغراض البناء أو الردم، يلاحظ خريطة(4-25).

ويوجد مقلع للتراب ويستخدم لأغراض الردم، وتصل نسبة الاملاح الذائبة فيه إلى (1.96)% وقدرة تحمل تصل إلى (99)كغم/سم³، يلاحظ خريطة(4-25).

أما ترسبات الرمل فتنتشر ضمن تكوين الدببة حيث تتركز الكثبان الرملية، وتكثر هذه الترسبات في الاقسام الشرقية، إذ بلغ عدد المقالع (17) مقلعاً، أما اطيان الاسمنت فتوجد (5) منها، وتمتاز أطيان منطقة الدراسة بقدرتها على تحمل ضغط بمقدار (99) كغم/سم³، كما تصل نسبة أوكسيد السيلكون إلى (40.21)%، أما اطيان الطابوق فيوجد مقلعين لصناعة الطابوق، يلاحظ خريطة(4-25)، وتصل قدرة امتصاصها إلى (27)% ، وهي من نوع عالية التزهير، يلاحظ جدول(4-6).

وتعد مقالع حجر الكلس ذات اهمية اقتصادية، كونها توفر مادة اولية للأغراض الصناعية (صناعة الاسمنت)، ويستخدم بعد تكسيهه لأغراض التحكيم في سكك الحديد، وتحتل ترسبات الكلس المساحة الاكبر، وتتوزع مقالع الكلس الى الشمال من بصية وشرق الشاوية، يلاحظ خريطة(4-25).

خريطة (4-25) مقالع التربة بحسب المادة المنتجة في بادية المثنى



المصادر: بالاعتماد على:

- 1-وزارة الصناعة والمعادن ، الشركة العامة للمسح الجيولوجي والتعدين ،قسم الاستثمار المعدني ، بغداد ، بيانات غير منشورة ،2022.
- 2-وزارة الموارد المائية، الهيئة العامة للمساحة ، قسم انتاج الخرائط ، خرائط طوبوغرافية منطقة الدراسة بمقياس 100 000؛1 ، بغداد ،2016.
- 3- الدراسة الميدانية في (2022/12/2-2022/10/11-2022/3/1-2022/2/25-2022-1-21).

جدول (4-6) الخصائص الكيميائية والفيزيائية للمقالع ضمن بادية المثنى

المادة	الاستعمال	%TDS	%SO3
حصى خابط	البناء	0.42	0.20
أترية	الردم	0.72	0.4
تحمل الضغط كغم/سم ³			
		99	التزهر
		27	الامتصاص %
		99	عالي
		27	عالي

المصدر: وزارة الصناعة والمعادن ، الهيئة العامة للمسح الجيولوجي والتعدين ، قسم الاستثمار المعدني، بيانات غير منشورة ، 2022.

3-5-1-1-الامكانيات المتاحة للتنمية الصناعية المستدامة للترب في بادية المثنى:

ترتبط الامكانيات المتاحة للتنمية الصناعية المستدامة للترب بالجدوى الاقتصادية لاستثمارها، وتبين من خلال خريطة (4-26) وجدول (4-7) أن مساحة موارد الترب الكلية بلغت (1007.19) كم²، وبنسبة (2.20) %، إذ توزعت مساحة (485.74) كم² بنسبة (1.07) % من أطيان الاسمنت التي تنتشر ضمن قيعان الوديان والمنخفضات والفيضات، في شمال بضية والشاوية، اما الاطيان التي تستخدم في صناعة الطابوق وتبطين معامل الاسمنت وصناعة الزجاج فشغلت مساحة (10.72) كم² وبنسبة (0.02) %، وتتركز مقالع للحصى والرمل في ترب المراوح الغربية بمساحة (214.36) كم² بنسبة (0.59) %.

أما الرمل فيتركز إلى الجنوب من بحيرة ساوة بمساحة (24.39) كم² بنسبة (0.05) %، وله استخدامات متعددة في مجال البناء وكأرضية للزراعة .

وتحتل أحجار الكلس مساحات كبيرة إذ بلغت (271.36) كم² بنسبة (0.59) % من مجموع المساحة الكلية، ويستخدم كمادة اساسية في صناعة الاسمنت، ورصف الطرق وكبديل للرخام وصناعة الزجاج .



10

جدول (4-7) مساحات واستعمالات الترب في بادية المثنى

نوع الترب	المساحة كم ²	النسبة المئوية%	الاستعمال
أطيان الاسمنت	485.74	1.07	الاسمنت ومعامل الاقران
أطيان الطابوق	10.72	0.02	الطابوق
الرمل	24.39	0.05	البناء
حجر الكلس	271.36	0.59	الاسمنت والبناء
حصى ورمل	214.98	0.47	البناء والثرمستون
المجموع	1007.19	2.20	

المصدر: باعتماد خريطة (4-26) ، وبرنامج Arc GIS10.2.2 في حساب المساحات.

ويرتبط التوزيع المكاني للترب بالتكوين الجيولوجي، ويهدف تحقيق التنمية الصناعية المستدامة للترب في بادية المثنى إلى الاستفادة القصوى من الموارد المتاحة دون الحاق الأذى بالأجيال القادمة، وبناء على المعطيات السابقة والمساحات المتوفرة من هذه الموارد، يقترح الباحث مواقع لمقالع هذا المورد حسب خريطة (4-27)، منها استثمار مواقع أطيان الاسمنت في بادية المثنى من خلال بناء معامل للإسمنت بالقرب من هذه المقالع لتقليل كلف النقل، فضلاً عن ضرورة التوسع في استغلال أحجار الكلس كونها تتوفر وعلى مساحات واسعة وذلك من خلال بناء (10) مقالع جديدة، وتقترح الدراسة التوسع بإنتاج الطابوق المحلي والتقليل من استيراد هذا المنتج بسبب توفر الاطيان التي تستخدم في إنتاجه ببناء (2) مقلع لأطيان الطابوق، وبسبب توفر مادة الحصى والرمل في المنخفضات والوديان يقترح الباحث بناء (15) مقلعاً للرمل الخابط، واستغلال توفر الكتبان الرملية شرق منطقة الدراسة وبناء (15) مقلعاً للرمل .



•

4-5-2- دور الترب في التنمية العمرانية المستدامة:

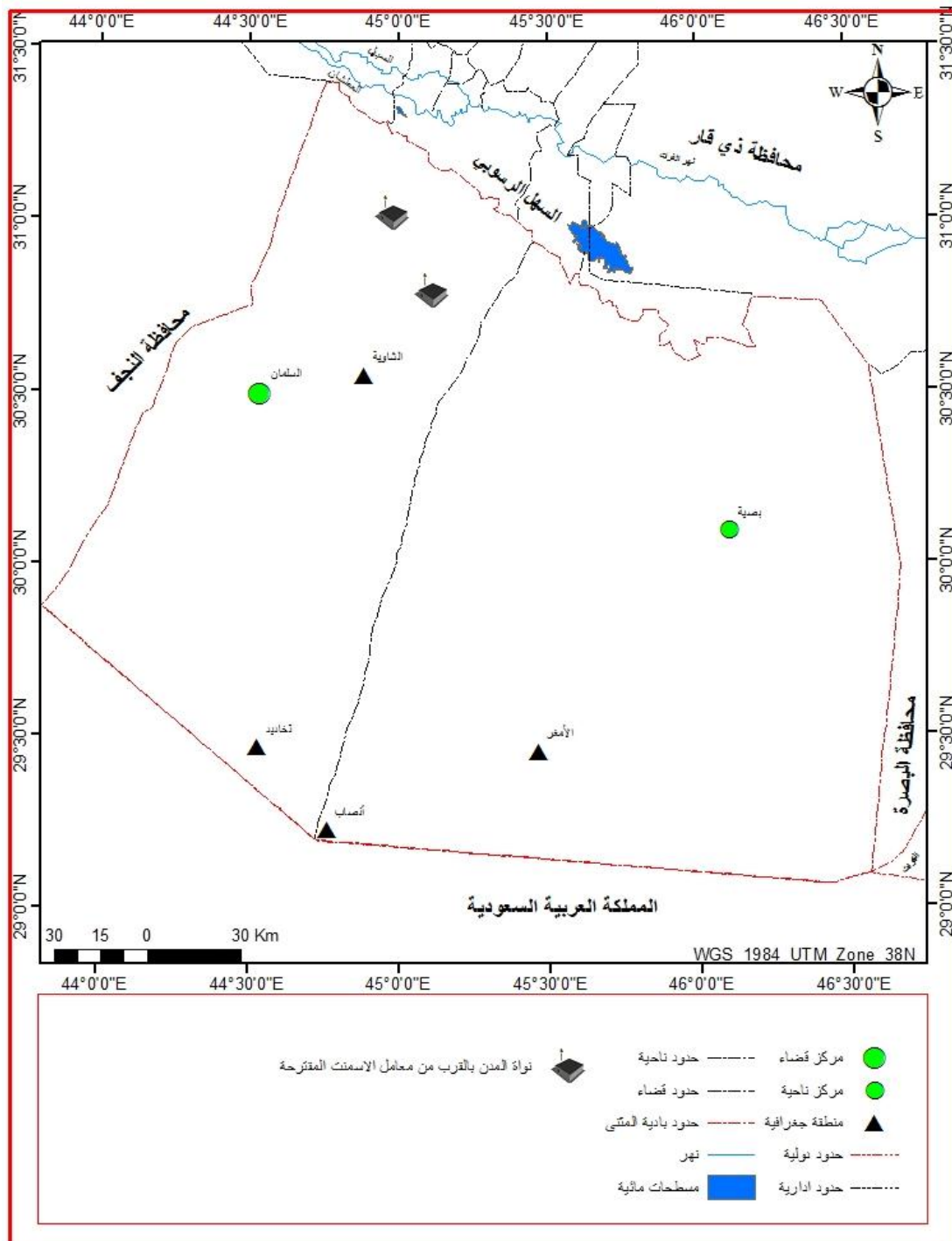
يعد الباحث الجيومورفولوجي أحد الاعضاء المهمين في فريق التخطيط، إذ يتحمل عبئاً كبيراً في توفير معلومات متنوعة تخص نوع التربة في موقع المشروع وطبيعة انتشارها وخصائصها الكيميائية والفيزيائية تسهم بشكل فعال في انجاح التنمية العمرانية المستدامة، وتعد الترب نظاماً بيئياً مفتوحاً تكون بفعل عدة عوامل، وترتبط التنمية العمرانية المستدامة في بادية المثنى بمدى ملائمة الارض لبناء المساكن، إذ تختلف اعمال تخطيط المدن باختلاف نوع الترب السائدة وخصائصها الفيزيائية والكيميائية، فضلاً عن الموارد الطبيعية المتاحة في موقع المشروع (الرمل، الحصى، والصخور والطين) التي تعد حجر الاساس لأي مشروع عمراني تنموي، ومما سبق تناوله تبين توفر الموارد الطبيعية لإقامة مشاريع عمرانية في منطقة الدراسة.

وتبين من خلال اجراء التحليلات المختبرية تجانس الترب المعدني، ومن ثم تشابه اغلب اجزاء سطح البناء وبالتالي استجابة موحدة لعمليات التجوية، وتقل نسب الصخور ذات المعامل التمدد الحراري الكبير الذي يؤدي إلى تفكك الكتل، ويرى الباحث بضرورة استعمال مواد من نفس النوع الصخري في مراحل البناء المختلفة.

ان قلة الترب المتأثرة بالتجوية الكيميائية التي سرعان ما تتعرض حبيباتها إلى الانفراط بسبب الإذابة عزز من صلابة هذه الترب، وان شدة نفاذية ترب المنطقة تقلل من فرص تجمع المياه، إذ تسبب هذه المياه تشويه ارضيات وجدران الابنية، ونشاط الخاصية الشعرية وتفاعل الاملاح مع معادن مواد البناء وتدمير الاسس.

ويقترح الباحث ان تكون هنا نواة مدينة تقع بالقرب من مواقع معامل الاسمنت المقترحة شمال الشاوية لسكن عوائل العاملين في هذه المعامل على غرار المساكن التي اقيمت في السابق بالقرب من معامل الاسمنت المقامة لكي تكون نواة لمدينة صناعية يمكن ان تتوسع في المستقبل، إذ تمتاز هذه المنطقة ببعدها عن الكثبان الرملية الموجودة إلى اقصى شرق منطقة الدراسة فضلاً عن مناسبة تربتها لتحمل الضغط، إضافة إلى قربها من المواد الاولية لأغراض البناء والتوسع يلاحظ خريطة(4-28).

خريطة (4-28) المواقع المقترحة لنواة المدن بالقرب من معامل الاسمنت المقترحة



المصادر: بالاعتماد على:

- 1-وزارة الصناعة والمعادن، الشركة العامة للمسح الجيولوجي والتعدين، قسم الاستثمار المعدني، بغداد، بيانات غير منشورة، 2022.
- 2-وزارة الموارد المائية، الهيئة العامة للمساحة، قسم انتاج الخرائط، خرائط طوبوغرافية منطقة الدراسة بمقياس 1:100 000، بغداد، 2016.

4-5-3- دور الترب في التنمية المستدامة للنقل:

يعد النقل عاملاً حيوياً من عوامل التوطن الصناعي ولا سيما في الصناعات الانشائية، إذ ترتبط هذه الصناعات ارتباطاً وثيقاً بالمواقع بسبب كبر حجمها وتدني قيمة موادها الأولية (حجر وطين وحصي) .

ولهذا العامل وظيفتين حيويتين الأولى كونه خدمة عامة يساعد الصناعات القائمة على النمو والثانية يسهم في قيام وتطوير صناعات جديدة ⁽¹⁾، وتتراوح كلفة النقل في الصناعات الانشائية (عدا الاسمنت) ما بين (20-30) % في حين تبلغ في صناعة السمنت (39) % من كلفة الانتاج ⁽²⁾، وقد اعتمدت الدراسة تصنيف دليل التصاميم لعام (1982)، وهو التصنيف المعمول به حالياً في العراق والصادر عن الهيئة العامة للطرق والجسور، إذ تصنف الطرق بموجبة على أساس طبيعة استخدامها ومستوى أهميتها في الدولة ⁽³⁾.

إلى ما يلي : الطرق البرية (السيارات) وتشمل :

(الطرق السريعة، الطرق الرئيسية، الطرق الثانوية)، وما يهمنها في هذه الدراسة الطرق الرئيسية التي تنحصر مهمتها في ربط محافظة المثنى مع المحافظات المجاورة، والثانوية التي ترتبط هذه الطرق مع شبكة الطرق الرئيسية في المحافظة لا سيما عند مفارق الطرق المؤدية منها إلى الاقضية والنواحي ، يلاحظ خريطة(4-29) وجدول (4-8).

(1) James H.Johnson . urban Geography , second edition.the pergamon textbook inspection copy service .1977 .p.4o.

(2) عبد الزهرة علي الجنابي ، دور النقل في تحديد مواقع صناعة السمنت المخطط والتنمية العدد (10) سنة 2001 ، ص 65 .

(3) علي علي حسن الحبيمي ، الحوادث المرورية في محافظة ذي قار للمدة من 2006-2012 دراسة في جغرافية النقل ، رسالة ماجستير ، كلية الآداب ، جامعة ذي قار ، 2014 ، ص33.



جدول(4-8) طرق النقل(الموجودة) في بادية المثنى

ت	اسم الطريق	الطول (كم)	العرض(م)	المسافة المبلطة	سنة الانشاء
1	السلمان-بصية	35	7.3	35	1970
2	السلمان-الحدود السعودية	110	8	110	1987
3	المملحة-السلمان	112	8	112	1987

المصدر :جمهورية العراق، وزارة الإسكان والأعمار والبلديات، مديرية طرق وجسور محافظة المثنى، بيانات

عام 2022

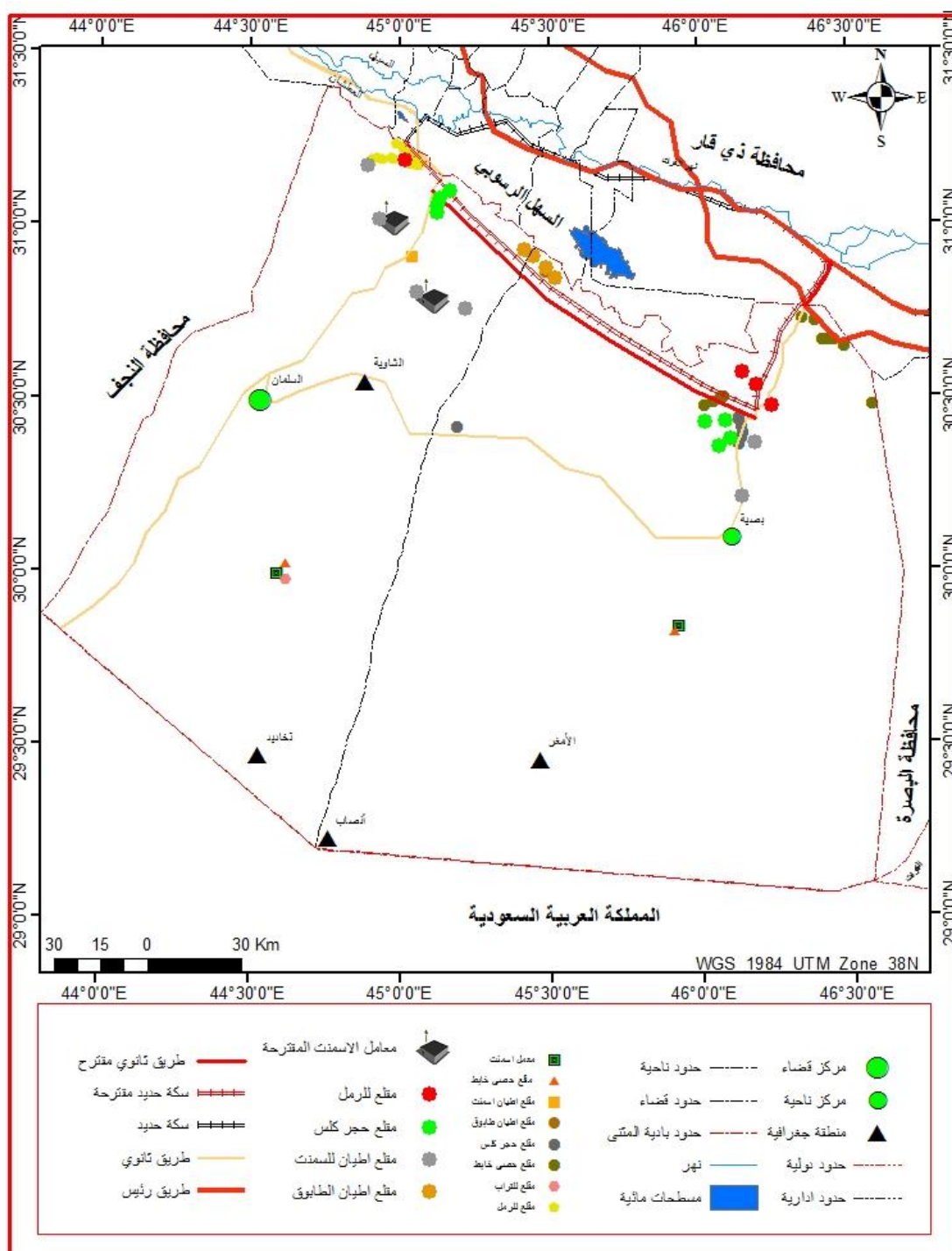
يتضح من خلال جدول(4-8) الطرق المنجزة هي الطريق الذي يربط بين السلمان وبصية بطول (35) كم وعرض(7.3) م وبمسافة مبلطة (35)كم سنة الانشاء (1970)، والطريق الذي يربط بين السلمان والحدود السعودية بطول(110) كم وعرض(8) م وبمسافة (110) كم وسنة الانشاء هي (1987)، وطريق يربط بين المملحة والسلمان بطول(112) كم وعرض(8) م وبمسافة (112) كم وكانت سنة الانشاء هي (1987) ، ويمكن ملاحظة ان اغلب طرق النقل المتوفرة هي طرق انشأت في فترات سابقة ولا تتناسب مع ضرورة النهوض بواقع بادية المثنى وحجم الاستثمارات الحالية والمقترحة .

وتعد منطقة الدراسة من المناطق التي تتميز بسطح مثالي لتنفيذ مشاريع البنى الارتكازية بشكل عام وطرق النقل البري بشكل خاص بسبب استواء وتجانس سطحها، ومن ثم فانه يعطينا دائماً طرقاً مستقيمة، ويقترح الباحث اقامة شبكة من الطرق تقوم بمهمة ربط المواقع الصناعية المقترحة بطرق ثانوية وربطها بالطرق الرئيسة من اجل تقليل تكاليف الانتاج وتسهيل توفير السلع للأسواق المحلية من خلال انشاء خط بري يربط المقالع المقترحة شمال بصية-بالخط الذي يربط السلمان بالمملحة بطول (133.3) كم ⁽¹⁾ وبعرض (8) م، إذ يوفر هذا الطريق مرونة كبيرة في نقل المواد الاولية من المقالع (المقترحة) إلى الطريق الذي يربط طريق(المملحة-السلمان)، وبسبب انخفاض تكاليف النقل السككي، وكبر حجم وقلة الأسعار نسبياً للمواد الانشائية، لذا يقترح الباحث اضافة خط سككي يربط هذه المقالع بالخط السككي الرئيس بطول(142.7) كم ⁽²⁾، وبذلك توفر هذه الخطوط مرونة عالية في نقل المواد الاولية من مصادرها إلى الاسواق، يلاحظ خريطة (4-30).

⁽¹⁾ برنامج Arc GIS 10.2.2 ، في حساب المسافات.

⁽²⁾ برنامج Arc GIS 10.2.2 ، في حساب المسافات.

خريطة (4-30) طرق النقل المقترحة والامكانات المتاحة في بادية المثنى



المصادر: بالاعتماد على:

- 1-وزارة الصناعة والمعادن ، الشركة العامة للمسح الجيولوجي والتعدين ،قسم الاستثمار المعدني ، بغداد ، بيانات غير منشورة،2022
- 2-وزارة الموارد المائية،الهيئة العامة للمساحة،قسم انتاج الخرائط، خرائط طوبوغرافية منطقة الدراسة بمقياس 1:100 000 ،بغداد،2016
- 3-جمهورية العراق، وزارة التخطيط، مديرية التخطيط العمراني في محافظة المثنى، بمقياس 1:100 000 ، بغداد ، 2016.

4-5-4- دور الترب في التنمية الزراعية المستدامة:

أصبح موضوع التنمية الزراعية المستدامة من اهم المرتكزات التي تستحوذ على اهتمام الدول، من خلال احداث تنمية في استخدام الموارد والطاقات المتاحة بشكل متوازن، وتعد الترب المجال الحيوي للنباتات فالتربة السليمة مهمة لضمان استمرار نموها، وهناك علاقة تبادل للمنفعة بين التربة والنبات، فالتربة تزود النباتات بالعناصر الغذائية وكخزان يحتفظ بالماء، وفي المقابل يحول الغطاء النباتي دون تدهور التربة والتصحر والحد من التعرية الناتجة عن تأثير المياه والرياح فضلاً عن تدوير المغذيات، وتعد التقلبات المناخية في العقود الاخيرة من المشاكل التي دارت حولها العديد من الأسئلة، ويرى العديد من العلماء إن سبب هذه الظاهرة يعود إلى تأثيرات الأنشطة البشرية وزيادة ضخ الغازات الدفيئة الامر الذي ينذر بكارث بيئية⁽¹⁾، ويعد العراق من الدول الهشة التي لا تمتلك ادوات لمواجهة التغيرات المناخية، لذا يرى الباحث ان على المستثمرين في المجال الزراعي ان يقوموا ببعض التغيرات في الاستثمار الزراعي تتناسب مع التغيرات المناخية التي تهدد العديد من الدول وبضمنها العراق، من خلال الابتعاد عن زراعة المحاصيل التقليدية ويكون التوجه نحو زراعة المحاصيل التي يمكن عن طريقها تحقيق ارباح أكثر وبتكاليف أقل وبتقنين استخدام الموارد المائية، فضلاً عن المحافظة على التربة والتقليل من فقدانها وزيادة رطوبتها وتعزيز توفر المادة العضوية فيها، لذا يقترح الباحث التوجه نحو زراعة التين الشوكي، إذ يمتاز هذا المحصول بملائمته لبيئة بادية المثنى فضلاً عن القيمة المادية له.

3-4-5-1 التين الشوكي:

تصنف انواع التين الشوكي إلى العديد من الاصناف منها، يلاحظ صورة (4-7) :

3-4-5-1-1-1- صنف الشامية: يتميز هذا الصنف بلون لحم الثمرة أصفر او أبيض أو أبيض مصفر، متوسطة الحجم وتصلح للاستهلاك الطازج.

3-4-5-1-2- صنف الفراولة: يتميز بلون لحم الثمرة أحمر والثمار ذات حلاوة عالية وحجم الثمرة متوسط وتصلح للاستهلاك الطازج.

(¹) قصي فاضل الحسيني، اسامة فالح عبد الحسن المكتوب، التكيف للتغيرات المناخية في مجال الموارد المائية في العراق، بحث منشور في مجلة (e International Journal for Environment & Global Climate Change)، ص 88، 2021 (ISSN 2310-6743).

3-5-4-1-3-متطلبات زراعة التين الشوكي:

يتناسب زراعة التين الشوكي مع الاراضي الصحراوية والاراضي الرملية، ويتطلب نموه تربة خفيفة جيدة التهوية والصرف، لا تزيد نسبة الطمي عن (20)% ذات مستوى مائي مناسب، ولا تزيد نسبة الصوديوم عن (70) ملليمتر، ويفضل احتوائها على نسبة من الكالسيوم للحصول على إثمار جيد، ويرتبط التوزيع المكاني لأشجار التين الشوكي بشتاء معتدل وصيف حار جاف، حتى تنمو الأشجار وتثمر بنجاح، وتتحمل الأشجار الجفاف صيفاً، لذلك تتجح زراعتها في المناطق تحت الاستوائية، أو الأراضي الصحراوية المستصلحة، إذ تتطلب زراعة التين الشوكي شتاء دافئ متوسط درجة الحرارة فيه من (14-18)°م ،وصيف حار ممطر أو يتم الري خلاله حيث لا تقل كمية المياه عن (75-95) ملليمتر للدونم الواحد سنوياً، ومتوسط درجة حرارة اثناء نمو الثمار من (15-26)°م و(14-18)°م اثناء نضجه، ويتم اعداد الارض للزراعة بحرث الارض وتنظيفها لعمق (60-80) سم، وذلك لتحسين الصرف مع تسويتها، وتُعمل شبكة ري بالتقطيع لتقليل استهلاك المياه، ويمكن استخدام السماد الحيواني عن طريق حفر التربة بعمق (70×70×70) سم ، ويكون موعد زراعة التين الشوكي في شهر آذار أو أيلول ويفضل التوقيت الاول لتوفر رطوبة كافية في التربة تسمح بنمو الجذور، وتتنوع استخدامات هذا المحصول ويستهلك عادة بالصورة الطازجة، او تحول إلى عصير وذلك بعد نزع القشرة من الثمرة، ويستخدم القشور كعلف للماشية (طازج أو كعلف مخزن)، ويستخدم كسياج لصد الرياح وتثبيت التربة .

3-5-4-1-4- القيمة الاقتصادية للتين الشوكي :

3-5-4-1-4-1- الثمرة: ثمرة التين الشوكي ذات قيمة غذائية للإنسان، وتُحول قشورها إلى اعلاف ذات قيمة غذائية عالية للحيوانات، وهناك دول تزرع هذا المحصول من اجل انتاج الاعلاف فقط.

3-5-4-1-4-2-البذور: تُحول إلى زيوت عالية الجودة لها استخدامات متعددة(الاعراض الطبية، علاج البشرة، علاج للشعر) وتباع بأسعار باهظة إذ يصل اللتر الواحد من هذا الزيت إلى (1000\$) ، ويستخرج لتر الزيت من حوالي طن من هذا المحصول.

3-5-4-1-4-3-السيقان: تستخدم في بعض الدول اللاتينية مثل المكسيك والبرازيل كخضروات طازجة البلدان بطهيها والتغذي عليها، وفي دول اخرى تُربى حشرة الكوشينيال على

سيقانها لإنتاج صبغة الكارمن القرمزية، وهي صبغة باهظة الثمن وتدخل في العديد من الصناعات (الغذائية، المنسوجات ، مستحضرات التجميل، الادوية)⁽¹⁾.

وبالرجوع إلى التحليلات المختبرية في جدول(4-2) نجد ان الترب الرملية هي الترب السائدة للتحليلات المختبرية الفيزيائية الخاصة بنسجة التربة، ولا تزيد نسبة الطمي في العينات المختارة عن (20)% الا في العينة (25-21-19-14-10)، وان التحليلات المختبرية الكيميائية تشير إلى إن عنصر الصوديوم لا يزيد عن (70) ملليمتر، وتشير ايضاً إلى توفر عنصر الكالسيوم الذي يسهم في الحصول على ثمار جيدة .

وعند الرجوع إلى جدول (3-2) نجد إن المحطات المناخية المختارة تشير إلى ان متوسط الحرارة فيه(24.6-26.4) °م، لذا تعد متوسطات الحرارة ضمن الحدود المناسبة لنمو ونضج ثماره، وبالرغم من الاحتياج المائي المحدود لهذا المحصول (75-95) ملليمتر للدونم الواحد سنوياً، الا إن الباحث يفضل استخدام الوسائل الحديثة في الري (الري بالتنقيط) في فترة عدم سقوط المطر اما عند نزول الغيث فيكون الاعتماد على ما تجود به السماء.

صورة(4-7)التين الشوكي



المصدر : <https://www.webteb.com/multimedia/slideshows>

(¹) سمر محمود عبد العظيم القاضي، دراسة الجدوى الاقتصادية لإنتاج التين الشوكي في الاراضي الصحراوية(دراسة حالة في محافظة مطروح) مجلة الاقتصاد الزراعي والعلوم الاجتماعية ، المجلد 13 ، (2) : 47-52-2022، ص48-49.

4-5-5- دور الترب في التنمية المستدامة للمياه الجوفية:

تُعد المياه الجوفية من اهم الموارد المائية المتاحة في منطقة الدراسة بسبب استمرارية وجودها طوال ايام السنة، وتتكون هذه المياه بفعل عملية رشح مياه الامطار والسيول فوق سطح الأرض إلى باطن الارض، ويتطلب ذلك أن تكون الصخور تحت سطحية على درجة عالية من النفاذية لنقل هذه المياه وسرعة الرشح تكفي لإشباع الطبقة الخازنة للمياه⁽¹⁾، وتعد الترب ذات اهمية في الدراسات الهيدرولوجية، إذ انها من أكثر الموارد الطبيعية تأثراً على الخزين الجوفي للمياه، كونها تعكس الاحوال الطبيعية (الهيدرولوجية، الجيومورفولوجية، جيولوجية) إذ تعمل على تغذية او افقار الموارد المائية تحت السطحية معتمدة على خصائص هذه الترب، فالترب المسامية تزيد من حصة المياه المترشحة من الامطار والسيول، اما الترب التي تقل فيها المسامية (الترب الطينية) فإنها تقلل من كميات المياه المتسربة بسبب انخفاض نفاذيتها، ومن ثم تزيد من الجريان السطحي وتقلل من مقدار ما ينفذ إلى جوف الارض، إن الخصائص الفيزيائية والكيميائية للترب ومحتواها من الرطوبة يؤثر في جريان المياه السطحية وكميات المياه المتسربة إلى باطن الارض، ومن خلال مراجعة جدول(4-2) نجد توفر التربة الرملية الحجرية وتربة الكثبان الرملية اللتان تتميزان بالنفاذية والمسامية العالية وعدم القدرة على حفظ الماء، إذ تتصف التربة الرملية بأنها خفيفة ومفككة ومحتواها من المادة العضوية قليل، فضلاً عن قلة المادة الطينية ودقتها ذات نفاذية عالية مما جعلها غير قادرة على الاحتفاظ بالماء وتسارع الرشح فيها، والترب الصحراوية الصخرية تكون هذه تربة ذات نطاق خشن وذات قوام حصوي رملي وذات نفاذية عالية، إذ يصل الحد الأدنى لنفاذيتها يصل إلى(10) ملم/ساعة⁽²⁾، لذا فترب منطقة الدراسة لها دور كبير في زيادة المخزون الارضي من المياه السيول والامطار المترشحة من السطح .

ويعد تكوين الدمام الخزان الرئيس للمياه الجوفية، وخزانات تكوين ام ارضمة وتكويني الفرات الجيري والغار، اما تكوين الزهرة وتكوين الدببة فتكون المياه الجوفية فيه قليلة وبأعماق بعيدة، وإذ يساعد في ترشيح مياه الامطار إلى الخزانات الجوفية التي تقع اسفل منه⁽³⁾.

(¹) عبد العباس فضيح الغريبي، سعدية عاكول الصالحي، البيئة والمياه ،دار الصفاء للنشر والتوزيع ، عمان ، 2008، ص143

(²) باسم رزاق عبد سوادى الزيايدي ، تغير استعمالات الأرض الزراعية وعلاقته بالموارد المائية في محافظة المثنى ، رسالة ماجستير ، كلية التربية ، جامعة واسط ، 2013 ، ص 46.

(³) ضياء الدين كاظم عجر، تقرير عن جيولوجية وهيدرولوجية بادية المثنى، هيئة المسح الجيولوجي العراقي، 2014 ، ص 24.

4-5-6- دور الترب في التنمية السياحية المستدامة :

تحتل بادية المثني بمساحات من الكثبان الرملية حيث ترسم بطبيعتها لوحات فنية كهيئة الأمواج المتحركة على سطح الكثبان التي يمكن استثمارها سياحياً، ويمكن استثمارها رياضياً من خلال إقامة سباقات الرالي التي تقام في الطرق الصحراوية الوعرة للغاية التي تكون تضاريسها صعبة تتراوح ما بين المرتفعات الصخرية والكثبان الرملية، مما يجعل المنافسين يخوضون المنافسات بمعدات مجهزة خصيصاً لهذه الطرق، فضلاً عن استثمارها طبياً كمعالج بيئي بالدفن في الرمال، مما يوفر فرص استثمارها كمورد مهم في التنمية المستدامة في بادية المثني.

الخلاصة:

تبين من خلال الدراسة أهمية ترب منطقة الدراسة وتنوع الفرص التنموية المستدامة لها في التنمية الصناعية المستدامة (الرمل ، الكلس ، الطين والجبس) فضلاً عن دور الترب في التنمية العمرانية المستدامة إذ تبين من خلال اجراء التحليلات المختبرية تجانس الترب المعدني، ومن ثم تشابه اغلب اجزاء سطح البناء، وبالتالي استجابة موحدة لعمليات التجوية، فضلاً عن توفر المواد الانشائية النقية القريبة، ومن ثم انخفاض الكلفة الاجمالية للتنمية العمرانية، اما بالنسبة إلى دور الترب في التنمية المستدامة للنقل، فتعد منطقة الدراسة من المناطق التي تتميز بسطح مثالي لتنفيذ مشاريع البنى الارتكازية بشكل عام وطرق النقل البري بشكل خاص، بسبب تجانس الترب واستواء سطحها، ومن ثم فانه يعطينا دائماً طرقاً مستقيمة، وتبين من خلال الدراسة دور الترب في التنمية الزراعية المستدامة إذ ان هناك العديد من المحاصيل الزراعية التي يزدهر انتاجها في البيئات المماثلة لبيئة المنطقة، وقد اقترح الباحث زراعة محصول التين الشوكي بسبب ملاءمته مع الطبيعة البيئية، وهناك العديد من التجارب الناجحة لزراعة هذا المحصول في الدول العربية (جمهورية مصر العربية)، وقد كانت طبيعة ترب بادية المثني ذات النفاذية العالي دور في تزويد باطن الارض بمخزون مائي مما عزز امكانية التنمية المستدامة لجميع المشاريع التنموية، وتتطلع الدراسة لإمكانية استثمار الترب في التنمية السياحية المستدامة، من خلال إقامة منتجعات سياحية في مناطق الكثبان الرملية، وتوفير الخدمات السياحية والترويج لها، فضلاً عن بقية الاستخدامات لهذه الترب سواء في المجالات الرياضية او العلاجية.

النبات الطبيعي في بادية المثنى ودوره في التنمية المستدامة

تمهيد

5-1- تصنيف النبات الطبيعي

5-2- استخدام المؤشرات الرقمية في الكشف عن الغطاء النباتي:

5-3- دور النبات الطبيعي في التنمية المستدامة في بادية المثنى:

5-3-1- دور النبات الطبيعي في التنمية الطبية المستدامة:

5-3-2- دور النبات الطبيعي في التنمية الرعوية المستدامة:

5-3-3- دور النبات الطبيعي في التنمية الصناعية والطاقة المستدامة:

5-3-4- دور النبات الطبيعي في التنمية الغذائية المستدامة:

5-3-5- دور النبات الطبيعي في التنمية السياحية المستدامة:

الخلاصة

النبات الطبيعي: Natural Vegetation

تمهيد:

تعد النباتات الطبيعية من اهم مقومات التنمية المستدامة في بادية المثنى، ويرتبط نمو المجموعات النباتية وتصنيفها وكثافتها وتوزيعها بالعديد من الاسباب، من أهمها الظروف المناخية السائدة التي تؤثر في نوعية التربة وملوحتها ورطوبتها وخصائصها والامكانات والعناصر الغذائية المتاحة فيها ومن ثم نوع النبات الطبيعي السائد، ويتصف النبات الطبيعي في الاقاليم الجافة بندرته وتبعثره وتفرزه وقابليته على تحمل درجات الحرارة المرتفعة ومعدلات عالية من التبخر، فضلاً عن مقاومة الجفاف ولـ (8) اشهر، وتكمن أهمية النبات الطبيعي في الدراسات الجيومورفولوجية من خلال دوره في تماسك وعدم تفكك واعاقة تعرية وانجراف التربة، فضلاً عن استخداماته المختلفة كغذاء ودواء ووقود لاسيما نبات الغضا، وقد يستخدم لأغراض صناعية، كما ويستخدم بعضها في مكافحة الحشرات الضارة.

وتم الاعتماد على أهم القرائن والمؤشرات النباتية التطبيقية المعروفة (Vegetation Index) (SAVI, NDWI, IPVI, NDVI) في دراسة توزيع وكثافة الغطاء النباتي ضمن منطقة الدراسة لسنة 2020 (الموسم الصيفي والشتوي) باستخدام برنامج (Arc GIS) من خلال مرئيات القمر (Landsat 9) ومقارنة النتائج، لغرض بيان مقدار التغير في الغطاء النباتي وتمثيل مخرجات هذا التحليل خرائطياً، من اجل تحديد دور هذا المورد الطبيعي في التنمية المستدامة في بادية المثنى.

5-1- تصنيف النبات الطبيعي:

تصنف النباتات الطبيعية في بادية المثنى إلى ثلاث مجموعات رئيسية:

5-1-1- النباتات المعمرة: Perennials Ephemerides

تتميز هذه النباتات بجذور طويلة تساعدها على الوصول إلى المخزون المائي، ومنها ما يمتلك قابلية خزن الماء في اجزائها، والبعض الآخر ذات اوراق ابرية مكسوة بالشمع لتقليل النتح والحد

من الفاقد الرطوبي، وهي ذات فائدة كبيرة للرعي في فصل الصيف والخريف، إذ تبدأ بالإزهار وتكوين البذور في فصل الخريف مع بداية تساقط الأمطار عند اختفاء الاعشاب الخضراء⁽¹⁾.

ومن أهم النباتات المعمرة في بادية المثني (الحنظل والسدر والغضا والشيح والرمث والشنان والطرفة والكيصوم والصريم والنيثول والعرفج والروثة والارطة وجعده ولحية التيس والطلح والعرفج والرمث وخمران) وغيرها من الانواع الاخرى، وتنمو هذه النباتات في المناطق المنخفضة وبطون الأودية بسبب امتداد الفترة الزمنية للرطوبة فيها كونها مناطق لتجمع مياه الامطار والسيول، وتتسم هذه النباتات بإمكانياتها في خزن والمحافظة على الرطوبة المتيسرة، وتوفر هذه النباتات بيئة مناسبة للرعي فضلاً عن اهميتها في المجالات الاخرى ومنها الاستخدامات الطبية، يلاحظ خريطة (1-5) وجدول (1-5).

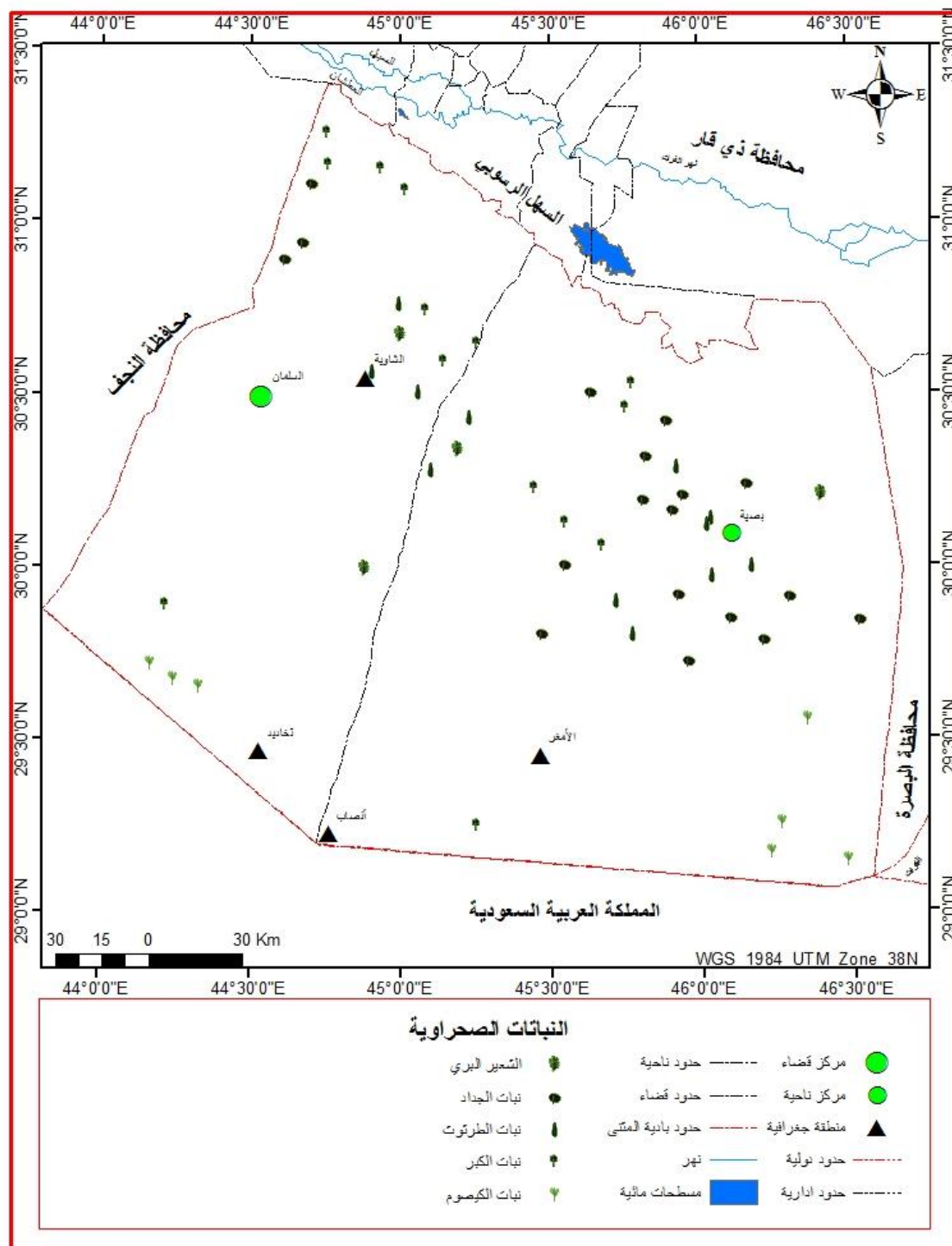
5-1-2- النباتات الحولية: Annuals Ephemerals

هي النباتات التي يتزامن انباتها ونموها مع التساقط المطري (تشرين الثاني - مايس)، وتنتشر بذورها بالقرب من مناطق انباتها وقد تحملها الرياح او الكائنات الحية بعيداً لتتبت في الموسم القادم، ولهذه النباتات دور في توفير الاعلاف للحيوانات، إذ يقوم اصحاب الحيوانات بالاستفادة من وقت انباتها لغرض اطعام حيواناتهم في فصل الربيع، وتعد ثمار نبات (الكما) ذات قيمة مادية عالية، إذ يعد مصدراً للدخل للعديد من سكان محافظة المثني بشكل عام ولأغلب سكان بادية المثني بشكل خاص، ولهذه النباتات دور في الحفاظ على التربة والتقليل من الانجراف.

ويكثر تواجد هذه النباتات في اماكن تجمع المياه في الاراضي المنخفضة، إذ تنمو بعد سقوط الأمطار بمدة قصيرة وتنتهي حياتها عند حلول موسم الجفاف، وتتماز بصغر حجمها وتشعب جذورها الكثيفة والدقيقة وقدرتها على تحمل الملوحة العالية، ومن أهم انواع النباتات الحولية في بادية المثني (الحمض والخباز والكرط والدوسر والحنكريص والبابونك البري وسنيسلة والعلندة والهندكوك والأشعرة ولسان الثور والشعير البري والصمعة والشقيقة وأشعرة وشعيرية ومنقار اللقلق والخردل والخافور والجيرانيوم) وغيرها من النباتات الطبيعية الحولية يلاحظ جدول (2-5) وصور (1-5).

⁽¹⁾ محمد محي الدين الخطيب ، المراعي الصحراوية في العراق، وزارة الزراعة ، مطبعة السلام ، بغداد ،

خريطة (5-1) التوزيع المكاني لبعض النباتات الصحراوية في بادية المثنى



المصادر: بالاعتماد على:

- 1- محمد محي الدين الخطيب، المرعي الصحراوية في العراق ، مطبعة أوفسيت سرمد ، بغداد ، 1978 ، ص377.
- 2- صادق نغمش جاسم الجياشي، الإمكانات التنموية الطبيعية في بادية محافظة المثنى، أطروحة دكتوراه ، غير منشورة، كلية الآداب جامعة القادسية، 2020، ص146.
- 3- الدراسة الميدانية في (2022/12/2-2022/10/11-2022/3/1-2022/2/25-2022/1-21).

جدول (5-1) اهم انواع النباتات المعمرة في بادية المثنى

وقت الرعي	الاستساعة			الاسم العلمي	الاسم المحلي	
	الجمال	الماعز	الاغنام			
كل الفصول	++	+++	+	Artmisi Herb-alba	شيج	1
الشتاء والربيع	+++	+++	+	Achillea fragrantissima	كيصوم	2
الخريف والصيف	+++	++	++	Atriex Lbucokado	رغل	3
كل الفصول	+	-	-	Colocynthic Schar	حنظل	4
الخريف والصيف	+++	++	+	Haloxylon Salicornicum	رمث	5
الشتاء والربيع	+++	++	+	Salsola Rigida	روثة	6
الشتاء والربيع	-	++	-	Cari Stenophlla	نميص	7
الشتاء	-	++	+++	Poa Sinaica	قبا (كبة)	8
الربيع	++	++	+	Anvillda Garcini	نكد	9
الربيع والصيف	+	+	-	Fagonia Bruguieri	عويجيلة	10
الربيع	-	++	++	Medicago Spp	لحية التيس	11
الربيع	-	+	+	Lri Sisyrinchium L.	عنصلان	12
الربيع	++	++	+	Heliotropium Ramosissimum	رمرام	13
الربيع	-	++	+	Leontice Leontopetalum	مهد	14
الربيع	+++	+	+	Rhanterium Epapposum	عرفج	15
الشتاء والربيع	+	++	+	Rheum Ribes	إذن الحمار	16
الربيع	++	++	+++	Teucrium Polium	جعدة	17
الربيع	++	+	++	Aristida Plumosa	نصي	18
الربيع	++	+	-	Calligonum Conosmsum	ارطة	19
الخريف والصيف	++	-	-	Cornulaca Spp.	جيجاب	20
الربيع والصيف	+++	+	+	Suaeda Spp.	طرطيع	21
كل الفصول	++	++	+	Tamarix Articulata	اثل	22
الربيع والصيف	++	+	-	Tamarix Passorinoides Del	طرفة	23
الربيع	+	-	-	Zilla Spinosa(Turra)	ضعرس	24
كل الفصول	+	-	-	Zizyphus Numalariae	سدر	25
الربيع	++	++	-	Haloxylon Ammodendron	غضا	26
الربيع	+	+	-	Lycium Barbarum L.	صريم	27

المصادر بالاعتماد على :

1-محمد محي الدين الخطيب، المرعي الصحراوي في العراق، ط2، مطبعة اوفسيت سرمد، بغداد 1978 ،ص377-380.

2-الدراسة الميدانية في (2022/2/25) و(2022-1-21) و(2022/3/1) و (2022/10/11).

(*) درجة استساعتها للرعي وفق العلامات الاتية: (-) لا تصلح للرعي ، (+)صالحة للرعي في الادوار الاولى ، (++)صالحة للرعي

بدرجة جيدة، (+++) للرعي بدرجة جيدة جدا.

جدول (5-2) اهم انواع النباتات الحولية في بادية المثنى

وقت الرعي	الاستساغة(*)			الاسم العلمي	الاسم المحلي	
	الجمال	الماعز	الأغنام			
الربيع	-	+++	+++	Plantago spp	عليج الغزال	1
الربيع	-	++	++	Sisymbrium Runcinatum	حويرة	2
الشتاء والربيع	+	++	++	Arena Barbara pott	دوسر	3
الربيع	+	+	+	Bromus Danthoniae	سنبسلة	4
الربيع	-	++	++	Horeum Glaucum	شعير بري	5
الربيع	-	++	+	Phalaris Minor	كنبوع	6
الربيع	-	+	+	Stipa Torilis	صمعة	7
الربيع	-	++	++	Alyssum Homaloar Pum	دريهمية	8
الربيع	+	++	+	Arubia	جحل	9
الربيع	-	++	+++	Helianthemum Salicifolium	جريد او وسم	10
الربيع	-	+++	+++	Erodium Spp	بخنري	11
الربيع والصيف	-	++	++	Filago Spathulata(presel)	كطينة	12
الربيع	-	++	++	Hippocrepis Biflora	كرية	13
الشتاء والربيع	++	++	++	Malva L.Mallow	خباز	14
الربيع	-	++	++	Matricaria Aurea	بابونك	15
الربيع والصيف	-	++	+++	Medicago Spp	كرط	16
الربيع	-	++	++	Onobrychis Spp	كطب	17
الربيع	-	+++	+++	Plantago Ovata	العلندة	18
الربيع	-	++	++	Torularia Torlosa	حسار	19
الربيع	-	+++	+++	Trigonella Arabica	حلبة	20
الشتاء والربيع	-	+++	+++	Ttigonella Stellata	نفل	21
الربيع	-	++	+++	Factorovskyi	حنكريص	22
الربيع	-	++	+	Anchusa Italica	لسان الثور	23
الشتاء والربيع	-	+	++	Bromus Tectorium	حنبطة	24
الربيع	-	+++	+++	Melilotus Spp	حندكوك	25
الربيع والصيف	+	+	-	Cappares Spinosal	شفلح	26
الربيع	-	++	++	Rumex Vesicarius	حمض	27

المصادر: بالاعتماد على:

1- محمد محي الدين الخطيب، المرعي الصحراوية في العراق ، مطبعة أوفسيت سرمد ، بغداد ، 1978 ، ص377.

2-الدراسة الميدانية في (2022/2/25) و(2022-1-21) و(2022/3/1) و (2022/10/11).

(*) درجة استساغتها للرعي وفق العلامات الاتية:-

(-) لا تصلح للرعي ، (+)صالحة للرعي في الادوار الاولى ، (++)صالحة للرعي بدرجة جيدة ،(+++) للرعي بدرجة جيدة جدا.

صور (1-5) بعض اصناف النباتات الطبيعية في بادية المثنى

أ-نبات الشوك(الشفلحية) ب-نبات الحرمل(المزبر)



30° 59' 0.230" N--44° 55' 1.079" E



30° 25' 16.717" N--44° 28' 35.939" E

د - نبات الحنظل(الخديات)



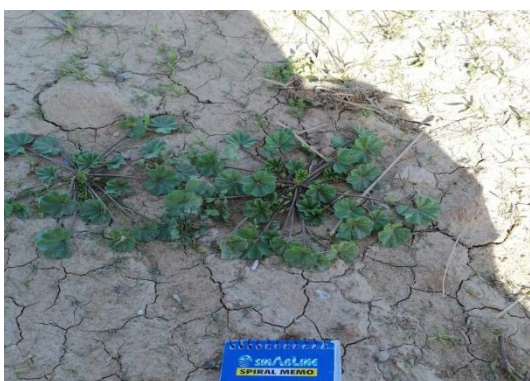
29° 56' 15.649" N--45° 33' 18.939" E

ج-نبات السدر (أم الطوب)



30° 7' 4.366" N--45° 7' 0.566" E

و - نبات الخباز (لية)



29° 53' 14.475" N--45° 59' 36.214" E

هـ-نبات الكسوب (رغلة)



30° 16' 41.107" N--44° 29' 3.440" E

المصدر : الدراسة الميدانية في (2022/2/25) و(2022-1-21) و(2022/3/1) و (2022/10/11).

5-1-3-نباتات الفيضات (المنخفضات): تظهر هذه النباتات حيث تجمع مياه السيول والامطار في المناطق المنخفضة في بطون الوديان، يلاحظ صورة(5-2)، فضلاً عن توفر الرطوبة بفعل المياه الجوفية التي تكون قريبة من السطح، وتستفيد هذه النباتات من التربة المزيجية الغرينية التي حملتها السيول إلى هذه المنخفضات، وهي اعشاب صغيرة تختفي عند جفاف الفيضات وتترك بذورها قريباً او قد تحملها الرياح بعيداً لتتبت مرة اخرى متى ما توفرت الظروف المناسبة للإنبات، وتعد هذه المناطق من افضل مناطق الرعي في منطقة الدراسة بسبب القيمة الغذائية لها فضلاً عن توفر المياه التي يحتاجها الرعاة بالقرب منها، خريطة(5-2) توضح توزيع المكاني لهذه الفيضات ، وتعد هذه الفيضات مناطق ممتازة لجني فطر الكمأ الذي ينمو بعد سقوط المطر.

صورة(5-2) نباتات المناطق المنخفضة في بادية المثنى(السعادة)



المصدر: الدراسة الميدانية بتاريخ(2022/3/1) (30° 18' 9.876" N -- 44° 45' 8.804" E)

— "The first thing I did was to get out of bed at five o'clock, and go down stairs, and see what was going on."



(c) *See* *supra* note 1.

5-2- استخدام المؤشرات الرقمية (الكشف عن الغطاء النباتي) :

يعد الاستشعار عن بعد من الوسائل الفعالة في مراقبة طبيعة التغيرات البيئية باستخدام العديد من المؤشرات الرقمية النباتية (Vegetation Index)، بهدف الكشف عن البعد المكاني والامتداد المساحي وكثافة الغطاء النباتي في المناطق الجافة وشبه الجافة بشكل عام وبادية المثنى بشكل خاص، وتأتي أهمية استخدام الاستشعار عن بعد في هذه الدراسة من خلال الامكانيات الهائلة التي توفرها هذه التقنية من خلال توفيره لسجل وفهرس وتوفير المرئيات الفضائية ولفترات زمنية متباينة، وللمناطق التي تتصف بالأتساع المساحي كما هو الحال في منطقة الدراسة، ومن ثم معرفة تطورات الغطاء النباتي في بادية المثنى ومراقبة التغيرات.

5-2-1- دليل الاختلاف النباتي (NDVI) Normalized Difference Vegetation Index

قدم Tucker (1979) هذا الدليل كمؤشر نباتي يعبر عن النمو النباتي ، وقد استخدم NDVI بشكل واسع على المستوى العالمي والاقليمي لتحديد دور التأثيرات الطقسية على حالات نمو الغلال والمحاصيل الزراعية، بسبب إن المناخ بعناصره هو الاكثر تأثيراً في الاختلاف النباتي (1)، ويعد هذا المؤشر دليلاً فعالاً في مراقبة الجفاف ضمن أنظمة الانذار لظاهرة اتساع التصحر (2).

تبرز أهمية هذا الدليل من خلال امكانية مقارنة مستوى التغير في كثافة الغطاء النباتي بين سنوات متعددة، وحسب طبيعة الدراسة للكشف عن مستوى التغير، ويمكن حساب هذا الدليل من خلال الفرق بين الطول الموجي 0.88-0.85 للأشعة تحت الحمراء (NIR) والأشعة الحمراء (Red) ذات الطول الموجي 0.67-0.64 مقسومة على حاصل جمعهما، ويتراوح قيم الناتج بين -1 إلى +1 ، فإذا كانت النتيجة باتجاه الموجب كان النبات أكثر كثافة، أما اتجاهه إلى علامة السالب دليل على المعالم غير الخضراء (3)، ويُستخرج هذا الدليل عن طريق تحميل

(1) VICENTE-SERRANO, S.; CUADRAT-PRATS, J. M.; ROMO, A. Early prediction of crop productivity using drought indices at different time scales and remote sensing data: application in the Ebro valley (north east Spain). International Journal of Remote Sensing, 27, 2006, 511-518.

(2) MARTINY, N.; CAMBERLIN, P.; RICHARD, Y.; PHILIPPON, N. Compared regimes of NDVI and rainfall in semiarid regions of Africa. International Journal of Remote Sensing, 27, 2006, 5201-5223.

(3) ابتهاج تقي حسن الخاقاني ، استخدام الادلة (NDVI),(NDBI),(NDWI) ، لكشف التغيرات في غطاء الارض لمناطق مختارة من محافظة النجف للحقبة بين (2001-2006) باستخدام بيانات الاستشعار عن بعد ، مجلة الكوفة للفيزياء ، المجلد6، العدد2، 2014، ص14.

(Band5) – (Band4) مباشرةً من USGS للسنوات المراد دراسة الاختلاف النباتي بينهما، ثم تجري معالجة هذه الحزم ضمن بيئة برنامج (Arc GIS10.2.2)، واستخدام الأداة (Raster Calculate) من فرعية (Map Algebra) ضمن صندوق الادوات (Arc Tool Box)، شكل (1-5) – (2-5) وبحسب المعادلة الآتية⁽¹⁾:

$$1 - NDVI = \frac{Band\ NIR - Band\ Red}{Band\ NIR + Band\ Red}$$

حيث ان

NDVI = دليل الاختلاف الخضري

Band NIR = الحزمة تحت الحمراء القريبة Band5 بطول موجي 0.85-0.88 ميكروميتر.

Band Red = الحزمة الحمراء المرئية Band4 بطول موجي 0.67-0.64 ميكروميتر.

ظهرت نتائج المعادلة أعلاه بعد تطبيق المعادلة على الفصلين الصيفي والشتوي من سنة (2021) وللشهرين (3-8) بعد تصنيفها إلى أربع مستويات وتمثيلها بطريقة التدرج اللوني في بادية المثنى للموسم الصيفي، وبحسب الفئات الآتية، يلاحظ خريطة (3-5).

1- فئة (-0.055 - 0.223): بلغت مساحتها (4704.36) كم² ونسبة (10.3) %، وقد مثلت باللون الابيض وتشمل المناطق الجرداء او المناطق الصخرية.

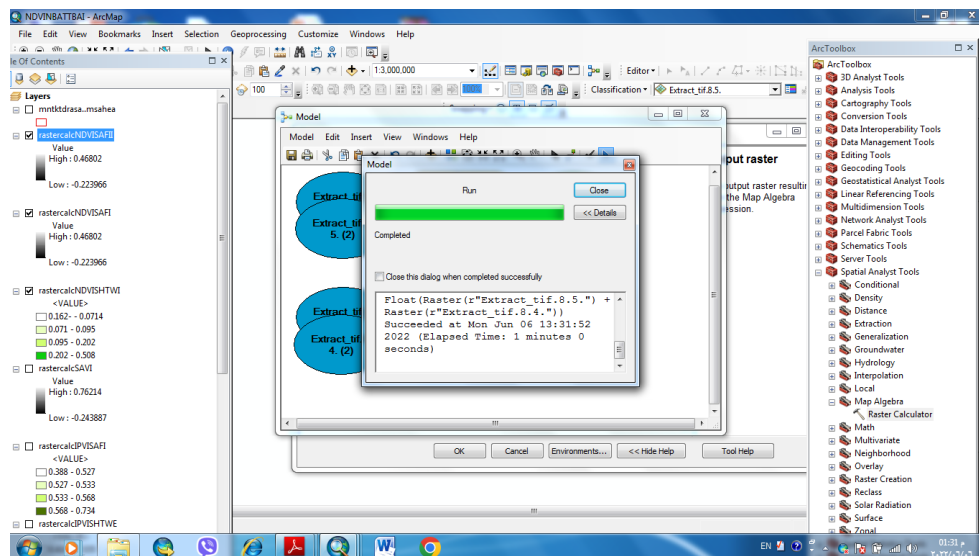
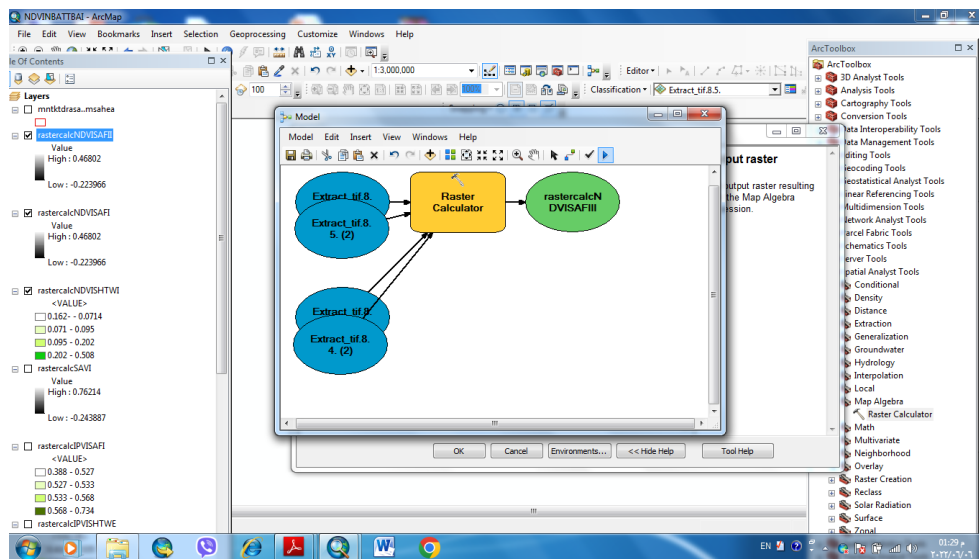
2- فئة (0.055-0.066): يبدأ في هذه الفئة التوجه نحو القيم الموجبة، وتجاور الفئة السابقة من حيث التوزيع المكاني وبلغت مساحتها (19670.23) كم² ونسبة (43.08) %، تشمل قسم كبير من منطقة الدراسة.

3- فئة (0.066-0.136): بلغت مساحتها (21270.45) كم² ونسبة (46.59) %، وتشمل معظم منطقة الدراسة، هي اكثر كثافة من الفئة السابقة.

4- فئة (0.136-0.468): بلغت مساحتها (12.66) كم² ونسبة (0.03) %، وهي المناطق الأكثر كثافة، وتشمل المزارع شمال بادية المثنى، فضلاً عن مناطق متفرقة، يلاحظ جدول (3-5).

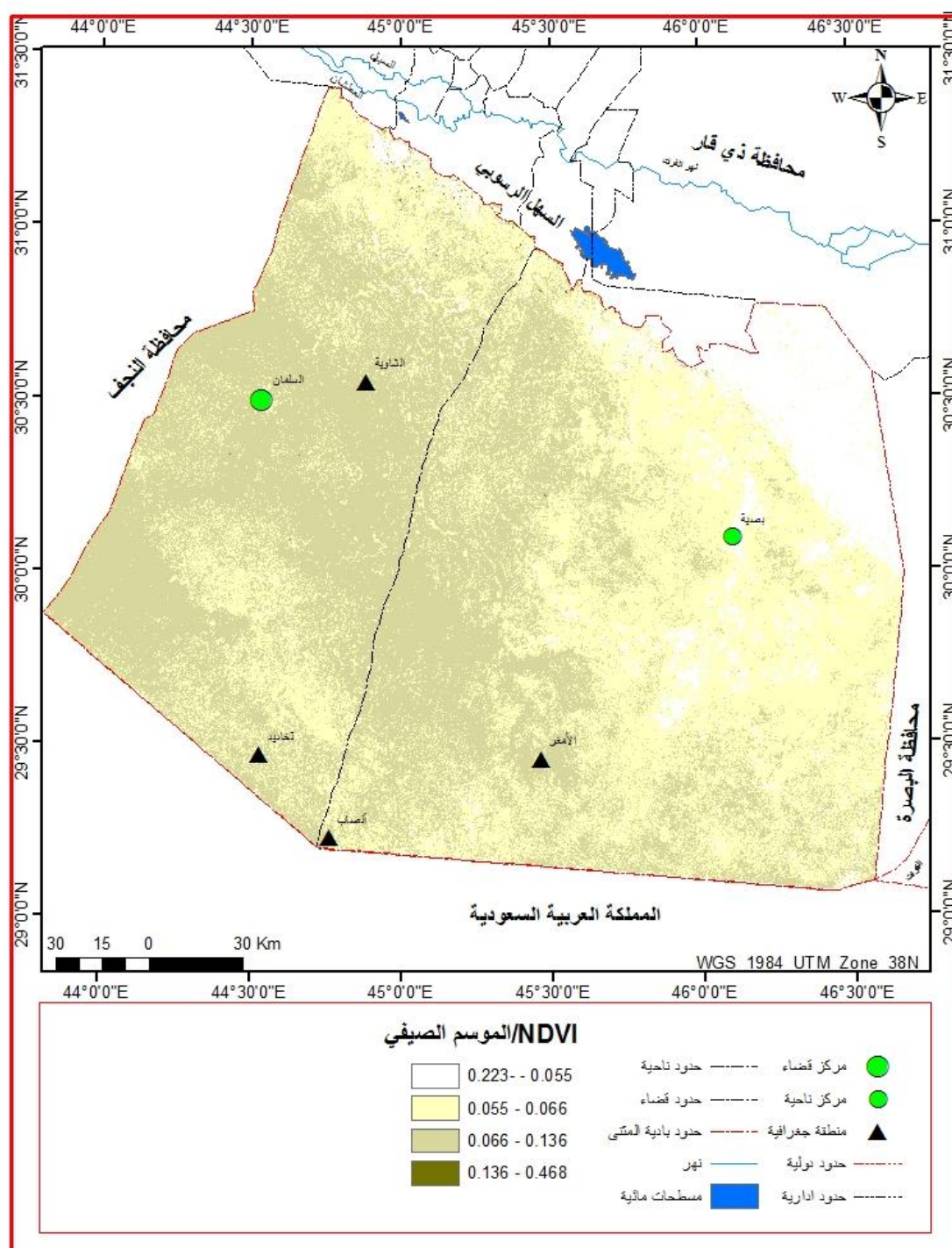
(¹) Meera Gandhi alt.(2015) NDVI Vegetation Change Detection using Remote Sensing and GIS-A case study of Vellore District Procedia Computer Science 57 , Elsevier,2015,P1201.

شكل (1-5) - (2-5) تطبيق دليل الاختلاف النباتي (NDVI)



المصدر: باعتماد برنامج Arc GIS10.2.2.

خريطة (3-5) نتائج مؤشر (NDVI) للموسم الصيفي في بادية المثنى



المصادر: بالاعتماد على:

1- القمر الامريكي 9 LandSat ، مرئية OLI، دقة تمييزية 15 م ، الحزم 4-5، 2022.

2- برنامج Arc GIS10.2.2.

جدول (3-5) فئات ومساحات نتائج مؤشر (NDVI) للموسمين الصيفي والشتوي لبادية المثنى لعام 2022

الموسم الشتوي			الموسم الصيفي		
النسبة %	المساحة كم ²	الفئات	النسبة %	المساحة كم ²	الفئات
35.52	16218.07	0.162--0.071	10.3	4704.36	0.223--0.055
51.91	23704.86	0.071-0.095	43.08	19670.23	0.055-0.066
12	5476.72	0.095-0.202	46.59	21270.45	0.066-0.136
0.57	258.05	0.202-0.508	0.03	12.66	0.136-0.468
100	45657.7		100	45657.7	المجموع

المصدر: باعتماد خريطة (3-5) و (4-5) وبرنامج Arc GIS

اما فئات الموسم الشتوي وبعد تصنيفها إلى اربع مستويات وتمثيلها بطريقة التدرج اللوني، وبحسب الفئات الآتية، يلاحظ خريطة (4-5) وجدول (3-5)، وكما يأتي:

1- فئة (0.162--0.071): تأتي بالمرتبة الثانية من حيث المساحة، إذ بلغت مساحتها (16218.07) كم² ونسبة (35.52) % ، وقد مثلت باللون الابيض وتشمل المناطق الجرداء او المناطق الصخرية.

2- فئة (0.071-0.095): تأتي بالمرتبة الاولى من حيث المساحة إذ بلغت مساحتها (23704.86) كم² ونسبة (51.91) %، ويبدأ في هذه الفئة التوجه نحو القيم الموجبة.

3- فئة (0.095-0.202): بلغت مساحتها (5476.72) كم² ونسبة (12) % ، وتأتي بالمرتبة الثالثة من حيث المساحة.

4- فئة (0.202-0.508): بلغت مساحتها (258.05) كم² ونسبة (0.57) %، وتشمل المناطق التي تم استثمارها زراعياً في القسم الشمالي من بادية المثنى.

من خلال نتائج مؤشر (NDVI) نستنتج توفر الغطاء النباتي والعديد من اصناف النباتات الطبيعية بعد فصل التساقط(الشتاء)، إذ يزداد نموها بشكل كثيف ومن ثم دعم مربي الاغنام والابل، ولكثافة الغطاء النباتي خلال هذا الفصل دور في الحد من التعرية المائية المطرية، ويرى الباحث ضرورة تحديد الاماكن الرعوية ضمن فئة الثانية والثالثة على ان تتناسب اعداد الحيوانات الرعوية مع حجم المتوفر من الغطاء النباتي، وإن يكون للمؤشرات الرقمية المستخدمة في الكشف عن الغطاء النباتي (NDVI) دور كبير في الكشف عن هذه الامكانات وسبل تنميتها المستدامة.



5-2-2- دليل اختلاف الماء الطبيعي (NDWI) Normalized Difference Water Index

يستخدم هذا المؤشر لتمييز مناطق الماء عن باقي معالم سطح الارض ويمكن حسابه من خلال المعادلة الآتية⁽¹⁾:

$$2 - NDWI = \frac{Band\ Green - Band\ NIR}{Band\ Green + Band\ NIR}$$

حيث ان

NDWI = دليل اختلاف الماء الطبيعي

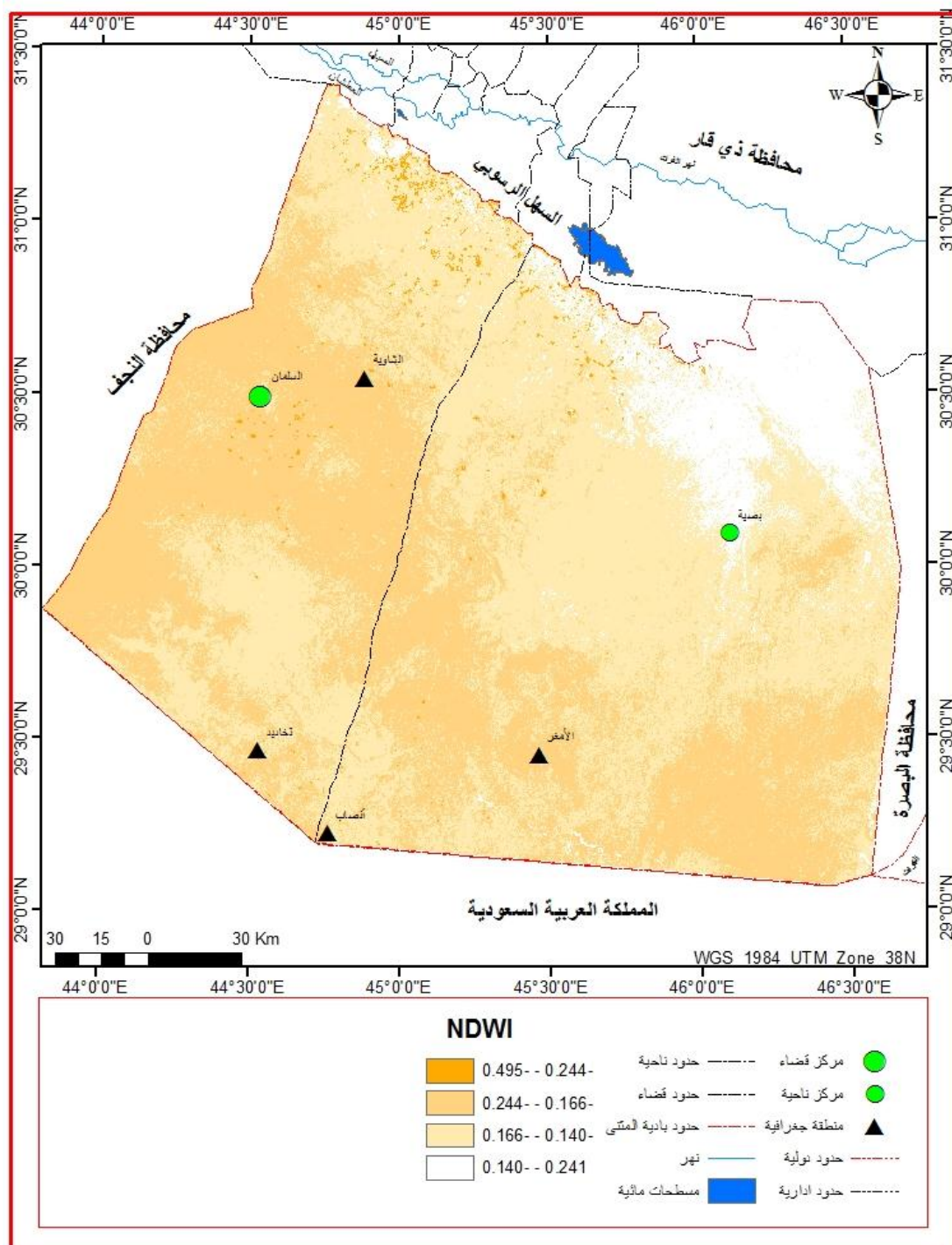
Band NIR = الحزمة تحت الحمراء القريبة Band5 بطول موجي 0.85-0.88 ميكروميتر .
Band Green = الحزمة تحت الخضراء المرئية Band3 بطول موجي 0.59 - 0.53 ميكروميتر .

أستنتج هذا الدليل باستعمال نفس مبدأ NDVI ، حيث ان الانعكاسية الطيفية للماء تكون عالية في المدى الموجي الاخضر (0.53- 0.59) ميكروميتر وقليل جداً في مدى الطول الموجي تحت الاحمر القريب (0.85- 0.88) ميكروميتر، وان الانعكاسية العالية للنبات والتربة في مدى الطول الموجي تحت الاحمر تجعل من قيم الـ NDWI موجبة فيما يخص المناطق المائية التي تبدو مضيئة وذو قيم موجبة في حين تكون المناطق الخضراء داكنة ومظلمة وذات قيم سالبة او صفر⁽²⁾، واشتقت الخريطة (5-5) للموسم الشتوي كون هذا المؤشر يستخدم درجة الماء في قياس كثافة الغطاء النباتي، وقد قسمت إلى اربع فئات وانحصرت بين (-0.241-0.495) (يلاحظ جدول (4-5)).

(1) Gao, B.-C. 1996. NDWI - A normalized difference water index for remote sensing of vegetation liquid water from space. Remote Sensing of Environment 58: 257-266.

(2) Hanqiu X. ,Modification of normalized difference water index (NDWI) to enhance open water features in remotely sensed imagery. International Journal of Remote Sensing. Vol. 27, No. 14 p(3026) ,(2006).

خريطة (5-5) نتائج مؤشر NDWI للموسم الشتوي في بادية المثنى



المصادر: بالاعتماد على:

1- القمر الامريكي 9 LandSat ، مرئية OLI، دقة تمييزية 15 م ، الحزم 3-5 ، دقة تمييزية 30 م، 2022.

2- برنامج Arc GIS10.2.2.

جدول (5-4) فئات ومساحات نتائج مؤشر (NDWI) للموسم الشتوي لبادية المثنى

لعام 2022

الموسم الشتوي		
النسبة %	المساحة كم ²	الفئات
0.56	252.09	0.495- -0.244-
40.2	18354.09	0.244- -0.166-
48.96	22357.7	0.166- -0.140-
10.28	4693.82	0.140- -0.241
100	45657.7	

المصدر: باعتماد خريطة (5-5) وبرنامج Arc GIS

يتضح من خلال خريطة (5-5) وجدول (5-4) إن اللون الابيض الناصع يمثل المناطق المنخفضة التي تتجمع فيها المياه في موسم التساقط التي يمكن الاستفادة منها في مجال الحصاد المائي كمناطق لخرن المياه، ويمثل الجزء الابيض في الجزء الشرقي بمساحة (4693.82) كم² ونسبة (10.28) %، فيما تمثلت بقية منطقة الدراسة باتساع مساحة التدرج اللوني الغامق الذي يشير إلى تدرج كثافة المناطق الخضراء من الفئة الثانية والثالثة بمساحة (40711.79) كم² ونسبة (89.16) %، وتمثلت المناطق الزراعية بمساحة (252.0) كم² ونسبة (0.56) %، ومن خلال هذه النتائج يتبين اهمية اعتماد نظم المعلومات الجغرافية والاستعانة بالاستشعار عن بعد في دراسة تطورات واستخدام العديد من المؤشرات الرقمية النباتية (NDWI)، والاستفادة من الامكانيات الهائلة التي توفرها هذه التقنية في التعامل مع الأتساع المساحي لمنطقة الدراسة، ومن ثم معرفة تطورات اختلاف الماء الطبيعي وتأثيره على الغطاء النباتي وامكانية المراقبة للتغيرات.

5-2-3- دليل نسبة الغطاء النباتي بالأشعة تحت الحمراء (IPVI) Vegetation

Index Infrared Percentage : قدم هذا المؤشر لتحسين حساب مؤشر الغطاء النباتي ، إذ إن نطاق قيم IPVI هو 0-1 فقط ويختلف عن NDVI ، والذي يتراوح من -1 إلى 1⁽¹⁾، ويمكن حسابه عن طريق المعادلة الاتية⁽²⁾:

⁽¹⁾ M.DKL Gunathilaka. Modeling the behavior of DVI and IPVI vegetation indices using multiple time remotely sensed data, INTERNATIONAL JOURNAL OF ENVIRONMENT, ENGINEERING & EDUCATION, Vol. 3, No. 1, 2021,P11.

⁽²⁾ Modher H.Abd et.al, Using Vegetation Indices(NDVI, RVI, IPVI, And DVI) to Detect Physical and Chemical Parameters from Landsat-8(Oli) Image when Pixel Mixing Soil, Vegetation, and Water, Scholars Journal of Engineering and Technology (SJET), No 5(11)) 2017P 627.

$$3 - \text{IPVI} = \frac{\text{Band NIR}}{\text{Band NIR} + \text{Band Red}}$$

حيث ان:

IPVI = دليل نسبة الغطاء النباتي بالأشعة تحت الحمراء.

Band NIR = الحزمة تحت الحمراء القريبة Band5 بطول موجي 0.85-0.88 ميكروميتر .

Band Red = الحزمة الحمراء المرئية Band4 بطول موجي 0.67-0.64 ميكروميتر .

يتضح من خلال الخريطين (5-6) و (5-7) بعد تطبيق المعادلة للموسمين الصيفي والشتوي التي قسمت إلى اربع فئات ومن خلال الجدول (5-5) يتضح ما يأتي:

1- فئة (0.388-0.568)-(0.418-0.535) : بلغت مساحتها في الموسم الصيفي (4704.34) كم² ونسبة (10.31) %، في حين بلغت مساحتها في الموسم الشتوي (16218.05) كم² ونسبة (35.52) % وقد مثلت باللون الابيض وهي المناطق التي تقتقر إلى مقومات الانبات فيها مثل المناطق الجرداء والمناطق الصخرية .

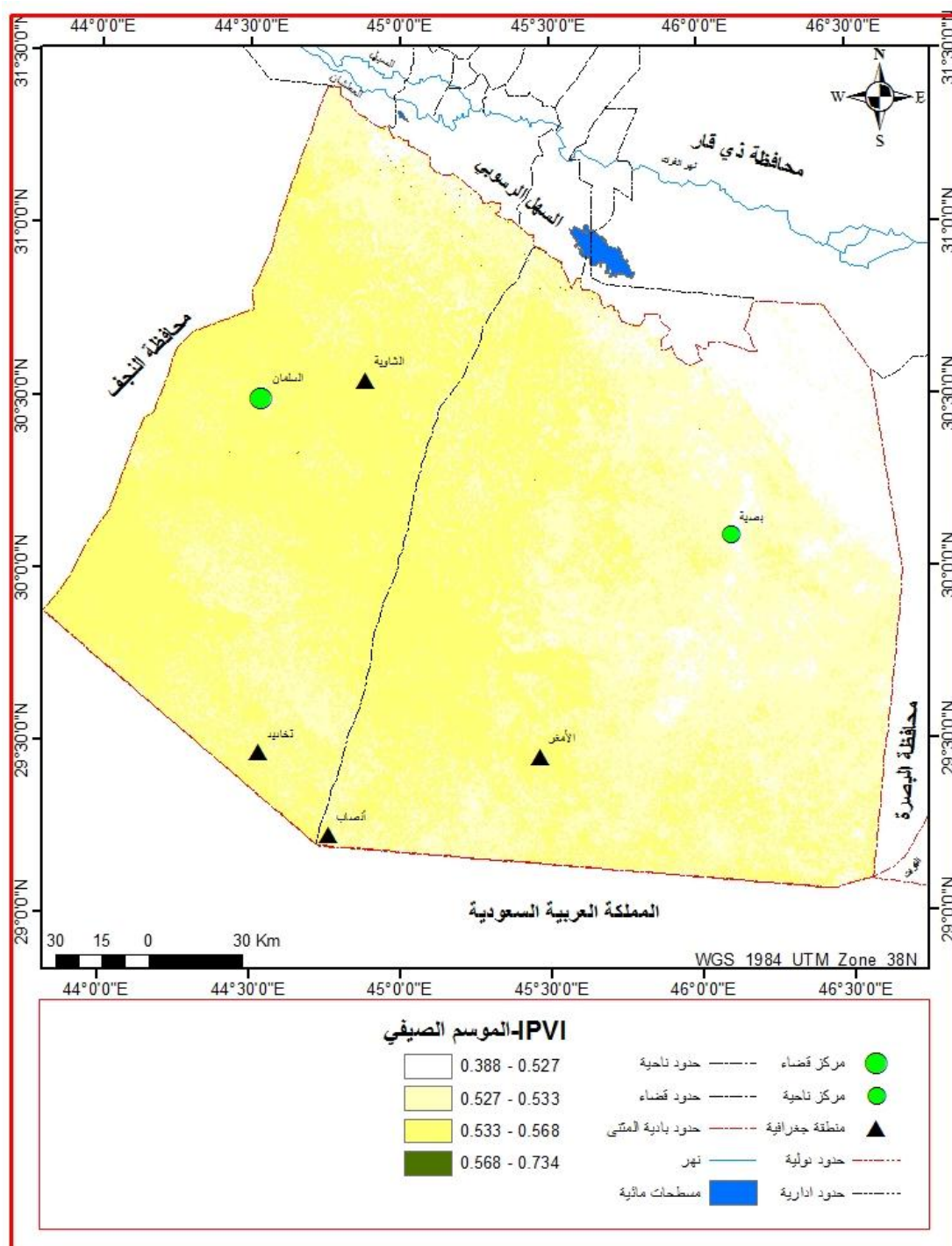
2- فئة (0.527-0.533)-(0.535-0.547) : بلغت مساحتها في الموسم الصيفي (19670.22) كم² ونسبة (43.08) %، في حين ارتفعت مساحتها في الموسم الشتوي (23704.91) كم² ونسبة (51.91) % .

3- فئة (0.533-0.568)-(0.547-0.601) : بلغت مساحتها في الموسم الصيفي (21270.48) كم² ونسبة (46.58) % ، في حين بلغت مساحتها في الموسم الشتوي (5476.71) كم² ونسبة (12) %.

4- فئة (0.568-0.734)-(0.601-0.754) : بلغت مساحتها في الموسم الصيفي (12.66) كم² ونسبة (0.03) %، في حين بلغت مساحتها في الموسم الشتوي (258.03) كم² ونسبة (0.57) %، وتشمل المناطق التي تم استثمارها زراعياً في القسم الشمالي من بادية المثنى، فضلاً عن مناطق متفرقة.

ويمكن تفسير التباين في مساحات هذه الفئات بين الموسم الصيفي والشتوي إلى انخفاض التساقط ومن ثم انخفاض كثافة الغطاء النباتي حسب هذا المؤشر، في حين يمكن ملاحظة زيادة مساحة فئة النبات الكثيف بسبب التوسع في الاستثمار الزراعي بالاعتماد على المياه الجوفية، وهذا بدوره يمثل عامل مهم للحد من تأثير التعرية المائية، ويعمل على عرقلة مياه الأمطار ومن ثم نفاذها إلى داخل التربة، ومن ثم رفع منسوب المياه الجوفية.

خريطة (5-6) نتائج مؤشر IPVI للموسم الصيفي في بادية المثنى



المصادر:

1- القمر الامريكي LandSat 9 ، مرئية OLI، دقة تمييزية 15 م ، الحزم 4-5 ، دقة تمييزية 30 م ، 2022.

2- برنامج Arc GIS10.2.2.



جدول (5-5) فئات ومساحات نتائج مؤشر (IPVI) للموسمين الصيفي والشتوي لبادية

المثنى لعام 2022

الموسم الشتوي			الموسم الصيفي		
النسبة %	المساحة كم2	الفئات	النسبة %	المساحة كم2	الفئات
35.52	16218.05	0.418-0.535	10.31	4704.34	0.388-0.568
51.91	23704.91	0.535-0.547	43.08	19670.22	0.527-0.533
12	5476.71	0.547-0.601	46.58	21270.48	0.533-0.568
0.57	258.03	0.601-0.754	0.03	12.66	0.568-0.734
100	45657.7		100	45657.7	المجموع

المصدر: باعتماد خريطة (6-5)(7-5) وبرنامج Arc GIS

3-2-4- دليل الاختلاف النباتي المعدل للتربة (SAVI) Soil Vegetation Index Adjusted

يُحسن هذا المؤشر من الكشف عن الغطاء النباتي عن طريق التخفيف من قيم الانعكاسية من خلال معامل المعايرة (L) (0.5) الاكبر من انعكاسية الحزمة الحمراء ليعمل على تخفيف ضجيج التربة⁽¹⁾.

المعادلة⁽²⁾:

$$4 - SAVI = \frac{Band\ NIR - Band\ Red}{Band\ NIR + Band\ Red} * (1 + L)$$

حيث ان

SAVI = دليل الاختلاف النباتي المعدل للتربة.

Band NIR = الحزمة تحت الحمراء القريبة Band5 بطول موجي 0.88-0.85 ميكروميتر.

Band Red = الحزمة الحمراء المرئية Band4 بطول موجي 0.64-0.67 ميكروميتر.

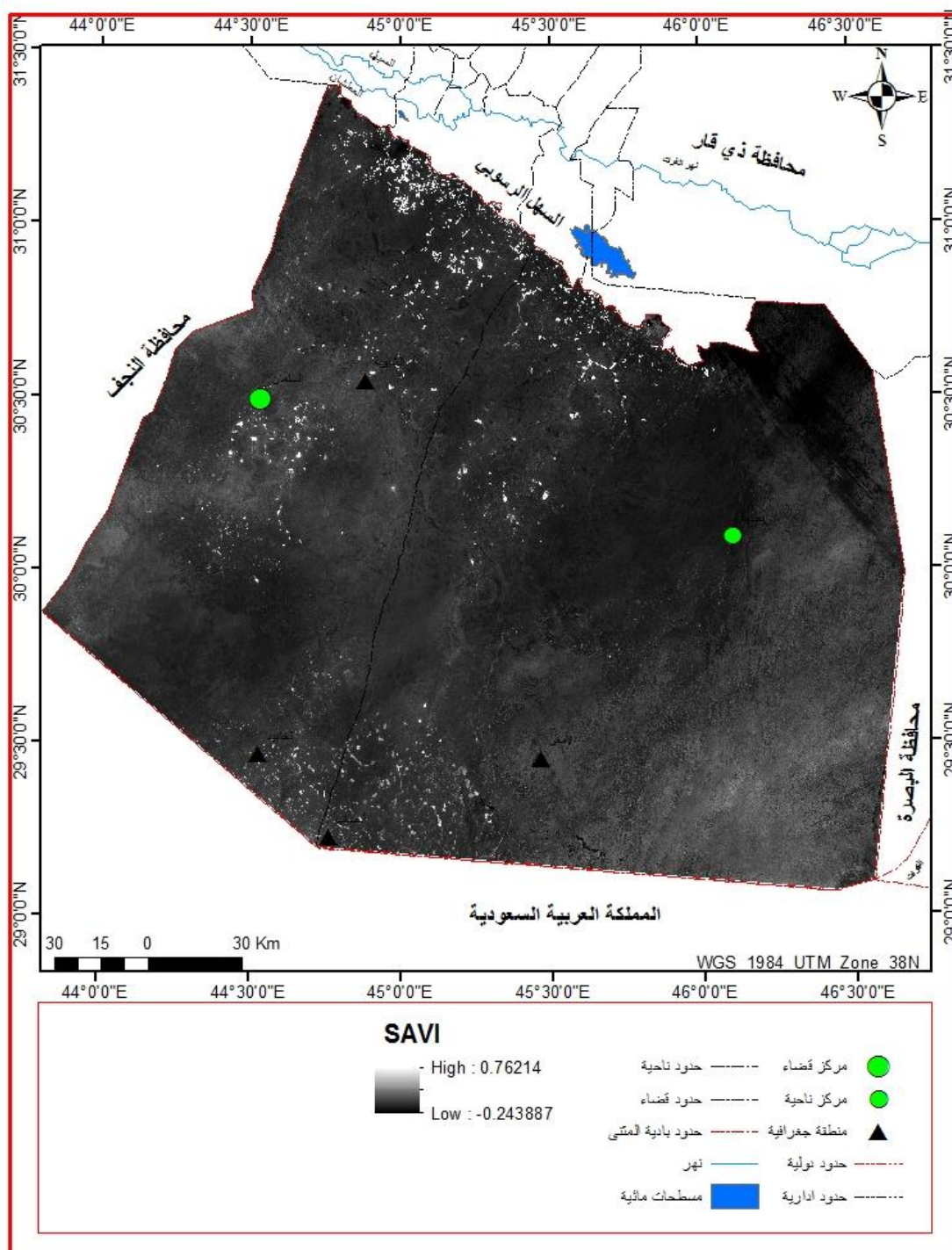
L = معامل المعايرة (Adjusted Factor) ويساوي 0.5

يتضح من خريطة (5-8) قابلية هذا المؤشر على عزل المناطق الزراعية بلون ابيض ناصع، كما انه اكثر قابلية على تبيان الاطيان الموجودة في بطون الاودية التي تظهر باللون الرصاصي ومن ثم امكانية استثمارها.

⁽¹⁾ Huete, A. R, Soil Adjusted Vegetation Index, (SAVI).Remote Sensing of Environment, (1988) 25,pp:295-309.

⁽²⁾ Kaushik Gupta.et. al, An index for discrimination of mangroves from non-mangroves using LANDSAT 8 OLI imagery, imagery, Method Article, Elsevier, 2018,P 1135

خريطة (5-8) نتائج مؤشر (SAVI) لعام 2022 في بادية المثنى



المصادر : بالاعتماد على:

- 1- القمر الامريكي 9 LandSat ، مرئية OLI، دقة تمييزية 15 م ، الحزم 4-5 ، دقة تمييزية 30 م ، 2022.
- 2- برنامج Arc GIS10.2.2.

5-3- دور النبات الطبيعي في التنمية المستدامة في بادية المثنى:

تمهيد:

تبرز أهمية النبات الطبيعي من خلال دوره الواضح في التقليل من ظاهرة التصحر وتثبيت التربة والمحافظة على رطوبتها، فضلاً عن تعدد استعمالاته وفوائده فهو غذاء للإنسان ويوفر بيئة مناسبة للحيوانات، وهو مصدر مهم للأدوية والعطور فضلاً عن العديد من المجالات الصناعية والحرفية، ولا بد هنا من الإشارة إلى أهمية العناية بطرق النقل المتاحة وإنشاء المقترحة منها كونها أساس مشروع التنمية المستدامة للنبات الطبيعي في بادية المثنى.

5-3-1- دور النبات الطبيعي في التنمية الطبية المستدامة:

تمهيد:

لا تتوقف التنمية المستدامة للنبات الطبيعي على توفير العلف للحيوانات، بل تمتد إلى العديد من الاستخدامات ومنها الطبية، إذ كانت هذه النباتات من أهم المركبات العلاجية التي لا غنى عنها في الماضي، واستمرت الحاجة لها إلى الوقت الحالي.

5-3-1-1- النباتات الطبية: عرف العالم (Dragendroof) النبات الطبي على أنه كل شيء من أصل نباتي ويستعمل طبياً⁽¹⁾، ويمكن تعريف النباتات الطبية بأنها النباتات التي تحتوي على جزء واحد أو أكثر على مواد لها قدرة علاجية لمرض معين أو عدة أمراض، أو قد تكون لها القدرة على تخفيف آثار هذا المرض بغض النظر عن نوع الكائن الحي المريض، وقد تتحول بعض أنواع هذه النباتات إلى نباتات سامة فيما لو تم تعاطيها بجرعات زائدة مثل نبات الحنظل ، ومن أهم النباتات الطبيعية التي يمكن استخدامها للأغراض الطبية ما يأتي:

1-الخباز: يستخدم كمطهر وقاقل للبكتريا والفطريات وطارد للديدان المعوية التي تعيش في الجهاز الهضمي (الاسكارس والانكلوستوما) وغيرها⁽²⁾، ويستخدم غرغرة لأمراض الفم والبلعوم

(1) محمد السيد هيكل وعبد الله عبد الرزاق عمر ، النباتات الطبية والعطرية كيمياؤها - انتاجها -

فوائدها، 1988، ص13.

(2) عباس وآخرون (وليد س ، جبار ف ، وائل ع) القابلية التطهيرية والمضادة لتطهير المستخلص المائي لنبات الخبيزة Malva parviflora باستخدام نظام بكتيري ، المجلد (8) ، 2011، ص1.

وقطورا للعين وللسعال، ويفيد النزلات المعوية كالإسهال ومضاد للحكة وحرقة البول⁽¹⁾، ويعد من النباتات المليئة او المسهلة.

2-الحرمل : نبات مخدر وتستخدم ابخرته لتقليل الصداع ولعلاج الازمات الصدرية ويستخدم لعلاج بعض امراض العيون والامراض الجلدية ولزيادة إدرار الحليب عند المرضعات وتقوية القدرة الجنسية عند الرجال وللتخلص من الديدان الشريطية، ويستخدم لعلاج الإسهال والدوسنتاريا⁽²⁾، وينفع في معالجة عرق النسا ووجع الورك ويستخدم في معالجة الصرع⁽³⁾.

3-الحميض : نباتات مدرة منظفة للدم تصلح لعلاج الدمل وحب الشباب وفتح الشهية والامساك والبشرة والعطش، وترفع نسبة كريات الدم الحمراء⁽⁴⁾.

4-الشيح : نبات يستعمل لطرد الديدان بسبب احتوائه على مادة السانتونين، ويستخدم لعلاج المغص وعلاج الظهر⁽⁵⁾، وداء الثعلب والحزاز وينفع للرمد وعسر النفس ويدر الفضلات ويذهب الحميات مطلقا ويسكن الاورام والدمامل ويدر الطمث والبول، وينفع من لدغ العقارب وهو مفيد لعلاج التهابات الجهاز التنفسي، يلاحظ الخرائط(5-9)-(5-10)-(5-11)-(5-12). كما ويعد علاج لعسر النفس شربا ويفيد في علاج تساقط الشعر وعلاج الانفلونزا⁽⁶⁾.

5-العفج: نافع لمرضى السكر وسوء الهضم وبرد الرئة، كما يؤخذ مسحوقا مع العسل أو زيت الزيتون أو براشيم ضد البرد⁽⁷⁾.

6-البختري: نبات يوقف نزيف الدم والتنام الجروح وقابض ويساعد في عملية الولادة⁽⁸⁾.

(1) محمد بدر الدين زيتوني، الطب الشعبي و التداوي بالأعشاب، دار الايمان للنشر، دمشق، 1984، ص102.
(2) جامعة الدول العربية، المنظمة العربية للتنمية الزراعية، النباتات الطبية والعطرية والسامة في الوطن العربي، الخرطوم، 1988، ص 57 - 58.

(3) حلومي عبد القادر النباتات الطبية، الجمهورية الجزائرية الديمقراطية الشعبية، وزارة الفلاحة والصيد البحري، الوكالة الوطنية لحفظ الطبيعة A.A.N، الاتحاد العالمي لحفظ الطبيعة I.U.C.N، 1997، ص207.

(4) حلومي عبد القادر النباتات الطبية، الجمهورية الجزائرية الديمقراطية الشعبية، مصدر سابق، ص 229.

(5) ميخائيل ابو غزالة وآخرون، التراث النباتي في فلسطين، سلسلة دراسات الوعي البيئي، معهد الابحاث التطبيقية، المجلد السابع، مؤسسة ابو زيان، القدس 1992، ص61.

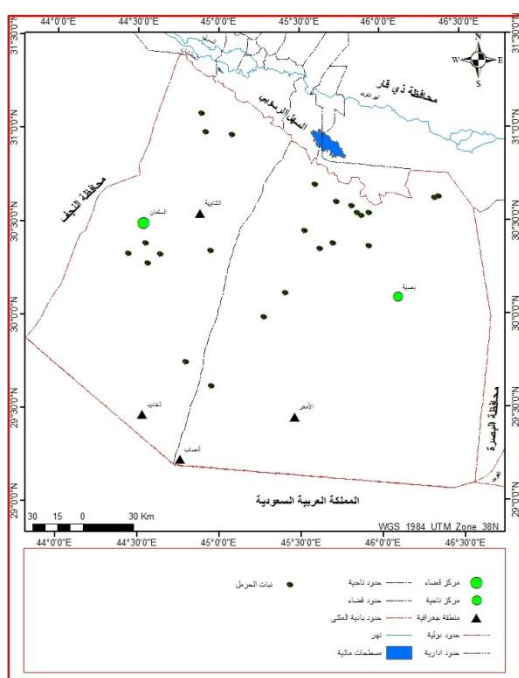
(6) الصيدلي ابراهيم علي ابو رمان، وزارة الصحة <http://www.alrai.com>

(7) حلومي عبد القادر النباتات الطبية، الجمهورية الجزائرية الديمقراطية الشعبية، مصدر سابق، ص55.

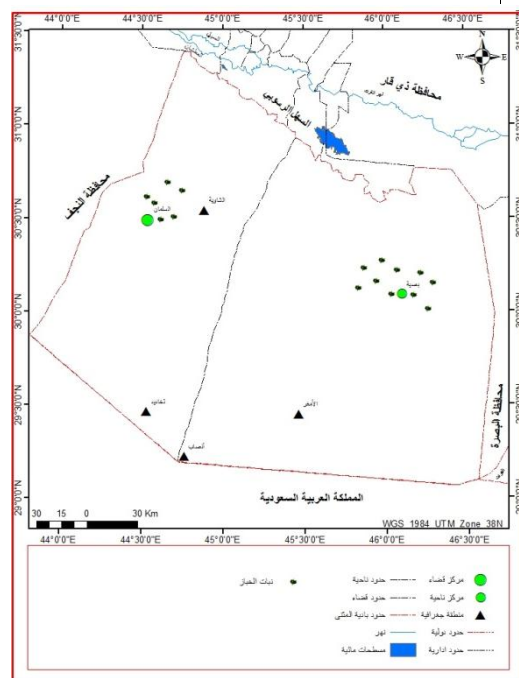
(8) جامعة الدول العربية، المنظمة العربية للتنمية الزراعية، النباتات الطبية والعطرية والسامة في الوطن العربي، الخرطوم، 1988، مصدر سابق، ص108.

الفصل الخامس.....النبات الطبيعي في بادية المثني ودوره في التنمية المستدامة

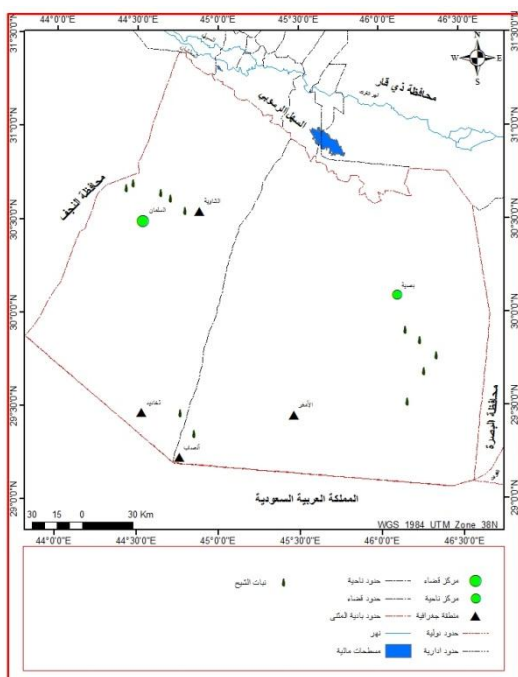
خريطة (5-10) نبات الحرمل (بادية المثني)



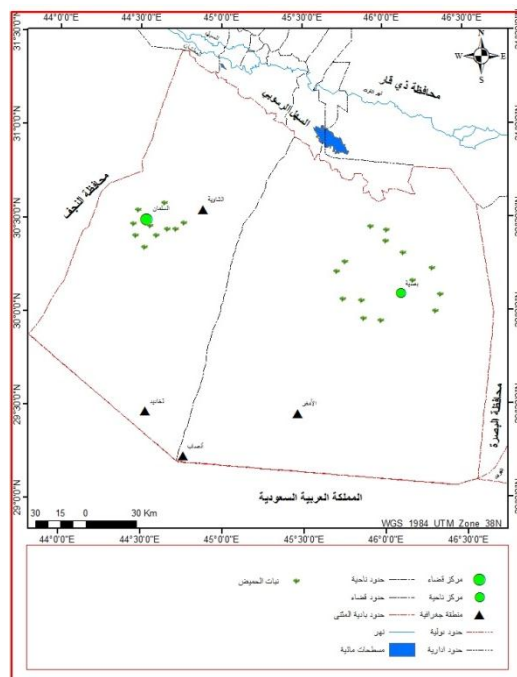
خريطة (5-9) نبات الخباز (بادية المثني)



خريطة (5-12) نبات الشيح (بادية المثني)



خريطة (5-11) نبات الحميض (بادية المثني)



المصادر: بالاعتماد على:

- 1- محمد محي الدين الخطيب، المرعي الصحراوية في العراق ، مطبعة أوفسيت سرمد ، بغداد ، 1978 ، ص 377.
- 2- صادق نغمش جاسم الجياشي، الإمكانات التنموية الطبيعية في بادية محافظة المثني، أطروحة دكتوراه ، غير منشورة، كلية الآداب جامعة القادسية، 2020، ص 146.
- 3- الدراسة الميدانية في (2022/12/2-2022/10/11-2022/3/1-2022/2/25-2022/1-21).

7-**الحنظل:** يعد هذا النبات من النباتات المسهلة او المليئة، ويستعمل المستخلص المقطر من بذوره كعلاج للجرب الذي يصيب الجمال، ويضيف سكان البدو الثوم إلى مغلي جذور الحنظل كعلاج لدغة الافاعي، ويستعمل كعلاج للجروح، وتعد الكميات الكبيرة منه سامة (1).

8-**الطرفة:** نبات لعلاج مرض السيلان والامراض الجلدية والاسهال والمغص المعوي (2)، ولعلاج ولعلاج مرض الطحال ووجع الاسنان والزكام وارتخاء اللثة وقرح حرق النار (3).

9-**الرمث والغضا:** يستعملان لعلاج الزكام والجروح ولعلاج الوهن والحمى ووجع الجسم الناتج عن تغير الجو، ويستخدم بخار ماء الرمث لعلاج الروماتيزم، ولعلاج بعض حالات السكر (4) يلاحظ خريطة (5-13)(5-14)(5-15)(5-16)(5-17)(5-18).

فضلاً عن العديد من النباتات الطبيعية الاخرى التي لها استخدامات طبية مثل نبات الجعدة الذي يقاوم الحمى وشاف للجروح ويستخدم لورم الطحال وينفع للنسيان ويدبر البول والطمث ويفيد المفاصل وعلاج عرق النسا (5)، ونبات العنودة وهو من النباتات المضادة للتشنج ونافع للتنفس والربو "اللهاث" (6)، وتستخدم بعض انواع النباتات الطبيعية للتخلص من الحشرات والآفات الزراعية والمنزلية، عن طريق استعمال بعض الأعشاب والنباتات بطرائق متعددة التي تعتمد بشكل اساسي على استعمال النباتات الطبيعية في القضاء على الحشرات في مكافحة ومن اهمها: القيصوم الذي يستخدم كبخور ويحرق في المنازل لطرد الحشرات ولاسيما الذباب (7)، وتستخدم الجعدة لطرد الزواحف ولاسيما الثعابين، ويعد الحنظل من النباتات الطبيعية الطاردة للحشرات والديدان (8).

(1) جامعة الدول العربية، المنظمة العربية للتنمية الزراعية، النباتات الطبية والعطرية والسامة في الوطن العربي، الخرطوم، 1988، مصدر سابق، ص96.

(2) جامعة الدول العربية، المنظمة العربية للتنمية الزراعية، نفس المصدر، ص192.

(3) محسن عقيل، العلاج بالأعشاب، ط 2، مؤسسة الأعلى للمطبوعات، بيروت، 2006، ص67.

(4) مي محمد الوحش، موسوعة الاعشاب والنباتات الطبية، دار دجلة، عمان، 2014، ص89.

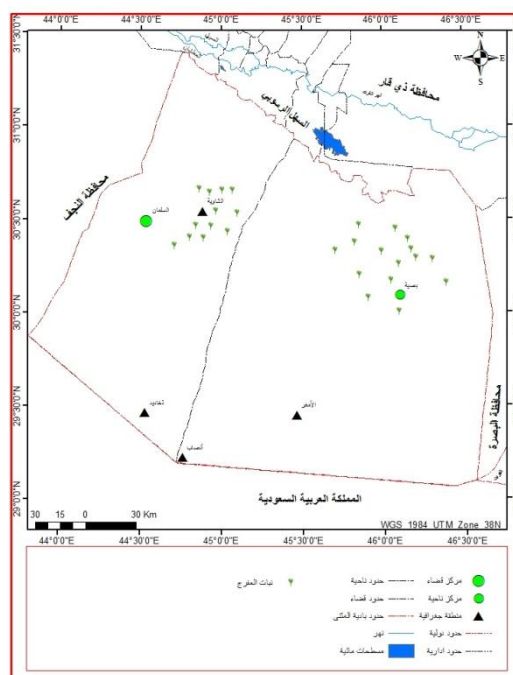
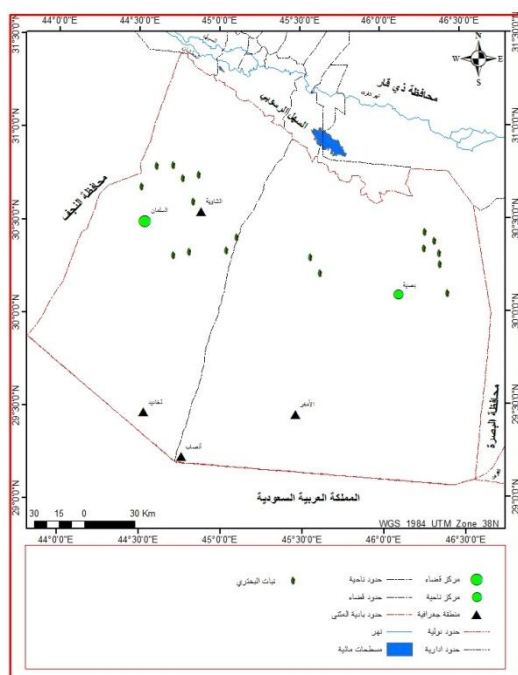
(5) حسان قبيسي، معجم الاعشاب والنباتات الطبية، ط 6، دار الكتب العلمية للنشر، بيروت، 2004، ص223.

(6) حسان قبيسي، نفس المصدر، ص214.

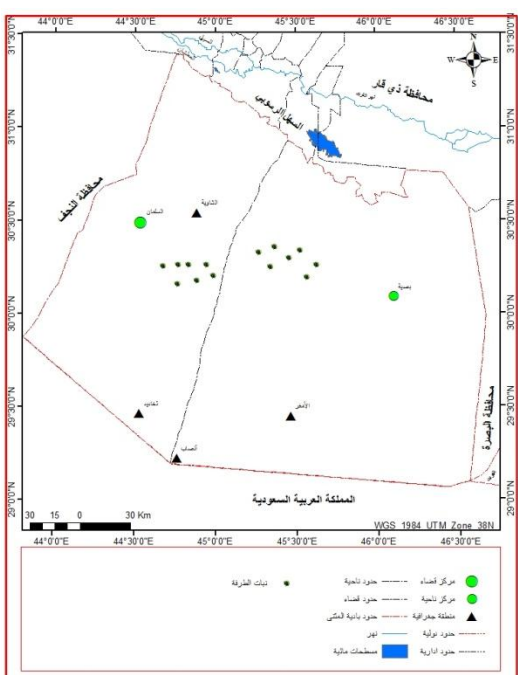
(7) كواكب عبد الامير، التحري عن بعض النباتات العراقية الحاوية على مواد سامة او جاذبة او طاردة للحشرات، رسالة ماجستير، غير منشورة، كلية الزراعة، جامعة بغداد، 1981، ص83.

(8) علي الدهوي، موسوعة النباتات الطبية والعطرية، المكتبة الزراعية، مكتبة مدبولي في القاهرة، 1996، ص401.

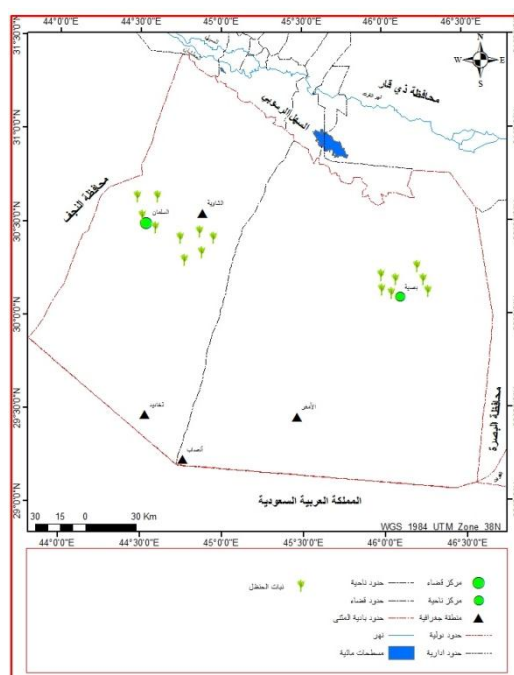
خريطة(5-13)نبات العفج(بادية المثنى) خريطة(5-14)نبات البختري(بادية المثنى)



خريطة(5-16)نبات الطرفة(بادية المثنى)



خريطة(5-15)نبات الحنظل(بادية المثنى)

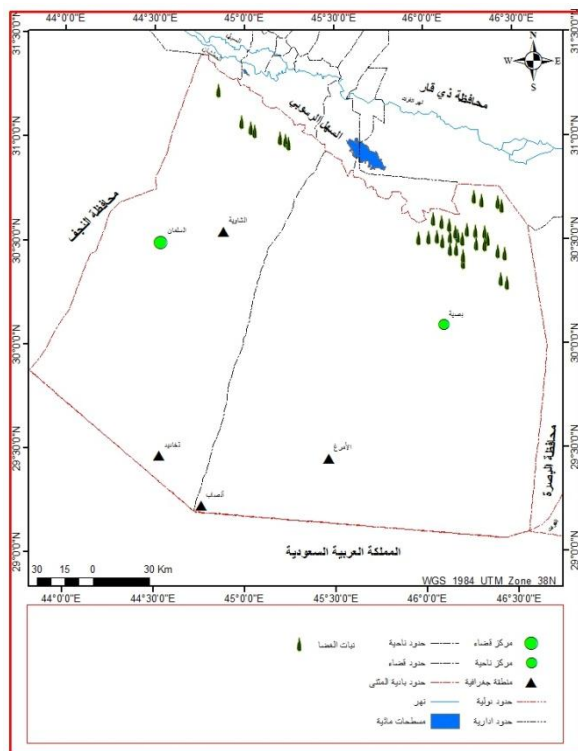


المصادر: بالاعتماد على:

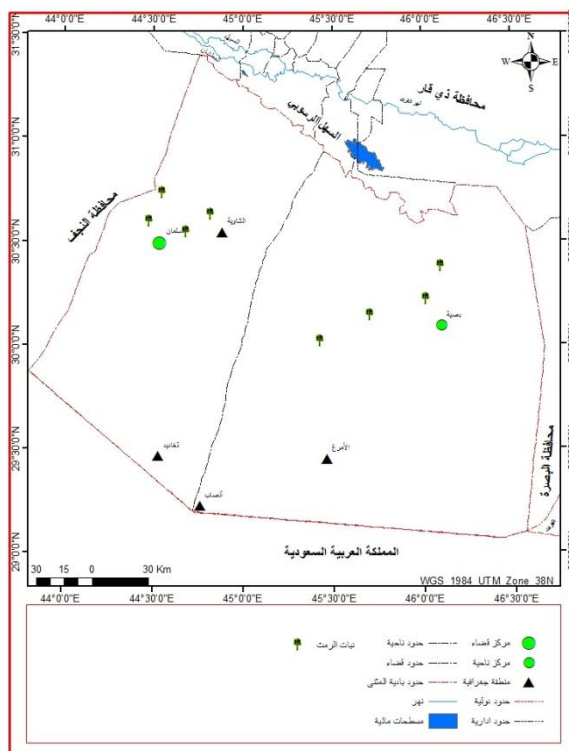
1-صادق نغمش جاسم الجياشي، الإمكانات التنموية الطبيعية في بادية محافظة المثنى، أطروحة دكتوراه ، غير منشورة، كلية الآداب جامعة القادسية، 2020،ص146.

2- الدراسة الميدانية في (2022/12/2-2022/10/11-2022/3/1-2022/2/25-2022-1-21).

خريطة (5-18) نبات الغضا (بادية المثنى)



خريطة (5-17) نبات الرمث (بادية المثنى)



المصادر: بالاعتماد على:

- 1- محمد محي الدين الخطيب، المرعي الصحراوية في العراق ، مطبعة أوفسيت سرمد ، بغداد ، 1978 ، ص377.
 - 2- صادق نغميش جاسم الجياشي، الإمكانات التنموية الطبيعية في بادية محافظة المثنى، أطروحة دكتوراه ، غير منشورة، كلية الآداب جامعة القادسية، 2020، ص146.
 - 3- الدراسة الميدانية في (2022/12/11-2022/10/11-2022/3/1-2022/2/25-2022/1-21).
- ويمكن زراعة نبات الشيح كسياجاً دافعا لها لطرد الذباب من المنزل، وللنباتات الطبيعية اهمية جمالية، ومنها ما يكون على شكل اعشاب موسمية مثل الخشخاش ذات الازهار الحمراء او الملونة ونبات السدر⁽¹⁾.

ويرى الباحث ضرورة التنمية المستدامة لهذا المورد المهم وخصوصاً كونه على تماس بصحة الانسان، وله دور كبير في تلطيف الجو وزيادة الرطوبة عن طريق عملية النتح، ويساعد النبات الطبيعي بشكل عام على حفظ التربة من عوامل التعرية الريحية والمائية وزيادة نفاذ مياه الأمطار إلى التربة، ومن ثم تغذية المياه الجوفية، ويوفر الغطاء النباتي والحيوي بيئة مناسبة للطيور والحيوانات البرية فضلاً عن قيمته الجمالية، ويقترح الباحث الاستفادة من طرق النقل المتاحة

(¹) عبد الله صبار عبود ، حسام كنعان وحيد ، اهمية النباتات الطبية في الحضارات القديمة، مجلة الآداب، جامعة بغداد ،العدد 123،كانون الاول، 2017 ، ص388 .

والمقترحة من خلال دعم المحميتين المقترحتين للنباتات بأنواع مختارة من النباتات الطبية المشار إليها بالدراسة وحسب العرض والطلب، وإنشاء مركزين لجمع الثمار في ناحية بصية وقضاء السلطان بهدف تنمية هذه المناطق، فضلاً عن إنشاء مركزين للتسويق شمال منطقة الدراسة، يلاحظ خريطة(5-19) وحماية النباتات المتوفرة وزراعة الاصناف التي يكثر عليها الطلب والاستفادة من المياه الجوفية وباستخدام الطرق الحديثة في الري، وتشغيل الايدي العاملة من سكان تلك المناطق الذين تتوفر فيهم الخبرة في انواع وامكن توفر هذه النباتات والتنبيه إلى استخدام البذور المحسنة الخاصة بالنباتات المختارة، فضلاً عن استخدام الاسمدة والمبيدات والمكائن الزراعية الحديثة، وينبغي الاستفادة من الصيادلة والمتخصصين في مجال النباتات الطبية والتداوي بالأعشاب في المحافظة او من خارجها، ويفضل الاستفادة من تجارب جمهورية مصر العربية في مجال الزراعة في الصحراء وخصوصاً في مجال الاستفادة من طموح واندفاع الشباب من الخريجين الجدد من كلية الزراعة في الاشراف على المزارعين، ويجب ان ننوه إلى ان هناك امكانية توسع المشروع إلى اكثر من محميتين طبيعيتين في المستقبل.

5-3-2- دور النبات الطبيعي في التنمية الرعوية المستدامة:

تمهيد:

المراعي الطبيعية هي اراضي شاسعة ينبت فيها العشب والشجيرات والاشجار تلقائياً دون جهد بشري، وهي غير صالحة للزراعة لأسباب مناخية وبيدولوجية، ويمكن الاستفادة من نباتاتها للإنتاج الرعوي، وتعد بادية المثنى من اهم المناطق الرعوية في العراق، إذ تتوفر فيها العديد من المقومات الطبيعية التي تحتاجها الحيوانات الرعوية، وتبرز اهمية التنمية الرعوية المستدامة في بادية المثنى من خلال كونها بيئة طبيعية ذات نباتات متنوعة لا سيما بعد موسم التساقط، وعند مراجعة جدول(5-1)(5-2) نجد تنوع النباتات المستساغة لحيوانات الابل والماعز والاغنام، يلاحظ صورة(5-3)، لذا فان المنطقة تشكل مصدر مهم من مصادر العلف الحيواني لرعاة محافظة المثنى، ولا توجد احصائيات دقيقة لأعداد الحيوانات في منطقة الدراسة ولأسباب مختلفة يلاحظ جدول(5-6).

1-الدراسة الميدانية في (2022-1-21) و (2022/3/1).

صورة(5-3) النشاط الرعوي في منطقة الدراسة(أم الخيلان)



30° 4' 18.62" N

46° 3' 49.88" E

المصدر: بالاعتماد على الدراسة الميدانية بتاريخ 2022/2/25

جدول(5-6)أعداد الحيوانات الرعوية في محافظة المثنى 2022

الابل	الماعز	الاعنام	الشعبة الزراعية
13199	9897	594310	محافظة المثنى

المصدر: وزارة الزراعة/مديرية زراعة المثنى/قسم الثروة الحيوانية، بيانات غير منشورة، 2022.

وعند تحليل خرائط المؤشرات الرقمية النباتية السابقة، تبين ان النبات الطبيعي يغطي مساحة (29181.58) كم² بنسبة (63.91) %، ومن خلال هذه المعطيات توصي الدراسة بضرورة اعتبار حدود المحافظة الادارية كحدود رعوية بين المحافظات للحد من الرعي الجائر، وتنظيم خرائط خاصة للرعاة من اجل المحافظة على هذا المورد الاقتصادي وتنميته تنمية مستدامة، وتقسيم منطقة الدراسة إلى خمس مناطق رعوية تتناسب مع نتائج المؤشرات الرقمية النباتية المعتمدة في هذه الدراسة، فضلاً عن منطقتين للاستقرار الرعوي تقع الاولى بالقرب من ناحية بصية والاخرى بالقرب من قضاء السلمان، وتنمية مستدامة للمناطق الرعوية بمجموع (5660.17) كم²، فضلاً عن مناطق للزراعة والرعي المختلط في شمال بادية المثنى بمساحة (5886.45) كم²، وذلك لتوفير إيرادات للمحافظة فضلاً عن تثبيت الكثبان الرملية شرق منطقة الدراسة، واستكمال طرق النقل بين هذه المناطق التنموية بهدف تعزيز طرق المواصلات والحد من العزلة، وتقترح الدراسة الاستفادة من الاعلاف التي تنمو بشكل طبيعي في

اقامة محميتين طبيعيتين الاولى إلى الجنوب الغربي من ناحية بصية والاخرى بالقرب إلى الجنوب من قضاء سلمان ، يلاحظ خريطة(5-20).

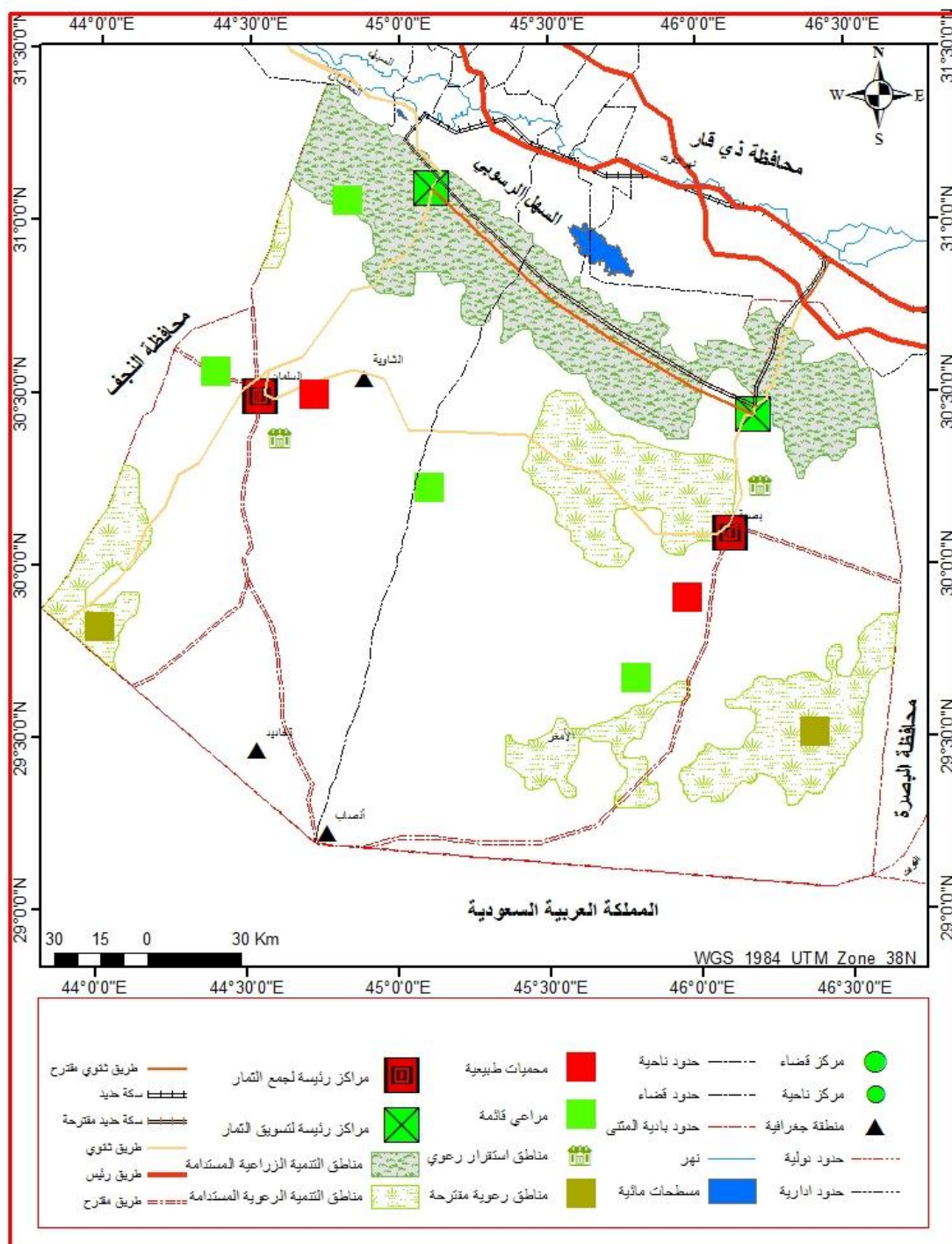
5-3-3- دور النبات الطبيعي في التنمية الصناعية والطاقة المستدامة:

للصناعات التقليدية دور مهم في الحفاظ على مقومات الشخصية الوطنية والهوية الثقافية المحلية للمجتمع البدوي، فضلاً عن دوره الفعال في توفير موارد اقتصادية وتوفير فرص عمل جديدة، ومن ثم تعتبر مصدر دخل لأفراد البادية بشكل عام والمرأة البدوية بشكل خاص، وتدعيم وتطوير الصناعات الحرفية وحمايتها ووضع اليات التنمية المستدامة لمجتمع البادية، من خلال فتح اسواق لاستهلاك هذه المنتجات، ويُستخدم بعض انواع النباتات الطبيعية لاسيما الصناعات التقليدية، فضلاً عن استخدامها في سقوف المساكن في منطقة الدراسة، إذ يُستخدم السدر لعمل سقوف الغرف داخل البيت ومناير القراء، ويُستخدم السدر في صناعة (سيور القوارب) ووظيفتها حفظ التوازن، ويستخدم سكان البادية النباتات الطبيعية كوقود (الطبخ والتدفئة) فضلاً عن صناعة الخبز، ومن اهم النباتات المستخدمة كوقود ولشرب الاركيلة الطرفة، ويُستخدم السدر كمادة للوقود، اما نبات الطرطيع فيُستخدم لتدفئة الاشجار في فترات البرد والصقيع، ويُستخدم الرمث ايام الجفاف وشدة البرد في الطبخ والتدفئة.

وبسبب توفر المواد الاولية يرى الباحث أهمية البدء في التخطيط لبناء مصنع للأدوية في منطقة الدراسة والاستفادة من توفر المواد الاولية لهذه الصناعة فضلاً عن توفر الأيدي العاملة والكفاءات المتخرجة من المجموعة الطبية لغرض ادارة هذا المشروع.

وضرورة دعم هذه الصناعات التقليدية من خلال فتح ورش لهذه الصناعات في مركز القضاء والناحية واستقطاب الايدي العاملة التي تتوفر لديها الخبرة في الصناعات الحرفية ، واقامة بعض المهرجانات وتسليط الضوء عليها من قبل وسائل الاعلام، وتوفير اسواق لتسويق هذه المنتجات الفلكلورية.

خريطة (5-20) مناطق التنمية الرعوية والزراعية المستدامة في بادية المثنى



المصادر: بالاعتماد على:

- 1-وزارة الموارد المائية،الهيئة العامة للمساحة، قسم أنتاج الخرائط، الخطة الاستراتيجية للصحراء الغربية ،بمقياس1: 10000 ،بغداد ،2009.
- 2-القمر الأمريكي 9 LandSat ، مرئية OLI، دقة تمييزية 15 م ، حزم 4-5 ، دقة تمييزية 30 م ،2022.
- 3- الدراسة الميدانية في (2022/2/25) و(2022-1-21) و(2022/3/1) و (2022/10/11).

5-3-4- دور النبات الطبيعي في التنمية الغذائية المستدامة:

تعد النباتات الطبيعية من المصادر الغذائية ذات القيمة الغذائية العالية، ولا يقتصر استخدامها على السكان الذين يسكنون المناطق التي ينمو فيه النبات الطبيعي بل يمتد إلى مناطق أخرى، ويعد فطر الكمأ من أهم الموارد الاقتصادية الغذائية.

وفطر الكمأ (الفقع-الفقع بالكاف الفارسية): ينمو بشكل طبيعي في بادية المثنى بعد سقوط المطر وحدوث البرق بحوالي 60 يوماً⁽¹⁾، ويعد أحد الموارد الطبيعية المهمة التي لها دور كبير في التنمية المستدامة في بادية المثنى إذ يتميز بقيمته المادية والغذائية العالية، فضلاً عن دوره في توفير فرص العمل، يلاحظ صورة (5-4)، وقد بينت التحاليل الكيميائية خلو الكمأ من الكوليسترول والدهون الضارة واحتواءه على معادن مشابهة لتلك التي يحتويها جسم الإنسان مثل الفوسفور والصوديوم والكالسيوم والبوتاسيوم، ويحتوي على فيتامين (B1، B2، B6، B12) وهو غني بفيتامين (A) ويحتوي على كمية من النيتروجين بجانب الكربون والأكسجين والهيدروجين، وهذا ما يجعل تركيبه شبيهاً بتركيب اللحم، ويحتوي على أحماض أمينية ضرورية لبناء خلايا الجسم، ووقد بينت التحاليل الكيميائية احتواء الكمأ على البروتين بنسبة (9%) ومواد نشوية بنسبة (13%) ودهن بنسبة (1%)⁽²⁾، وللكمأ أنواع متعددة (الزيدي، الأرجاوي، الاحرق، الجبا)، وتتباين أسعارها بحسب العرض والطلب والنوع.

وهنا ينوه الباحث إلى ضرورة تحسين طرق النقل المتاحة وإنشاء المقترحة منها كونها تهدف إلى تحقيق التنمية الاقتصادية المستدامة الشاملة لبادية المثنى التوسع في تسويق هذا المورد الطبيعي والاستفادة من مواسم إنتاجه، وأن يتم تحسين سوق بيع المفرد الواقع قرب دائرة الزراعة كونه يعد واجهة للمحافظة بسبب ازدياد المتبضعين من بقية المحافظات فضلاً عن دول الجوار، وإنشاء مركزين رئيسيين لجمع الثمار يقع الأول في ناحية بصية والآخر في قضاء السلمان بهدف استقطاب تجار الجملة وأحياء هذه المناطق وتوفير فرص عمل لسكان المنطقة، فضلاً عن إبعاد آثار تواجد سيارات الحمل الكبيرة عن مركز المدينة وما تسببه من مشاكل متعددة، وإنشاء مركزين للتسويق في شمال منطقة الدراسة، عند تقاطع طرق النقل المتاحة والمقترحة

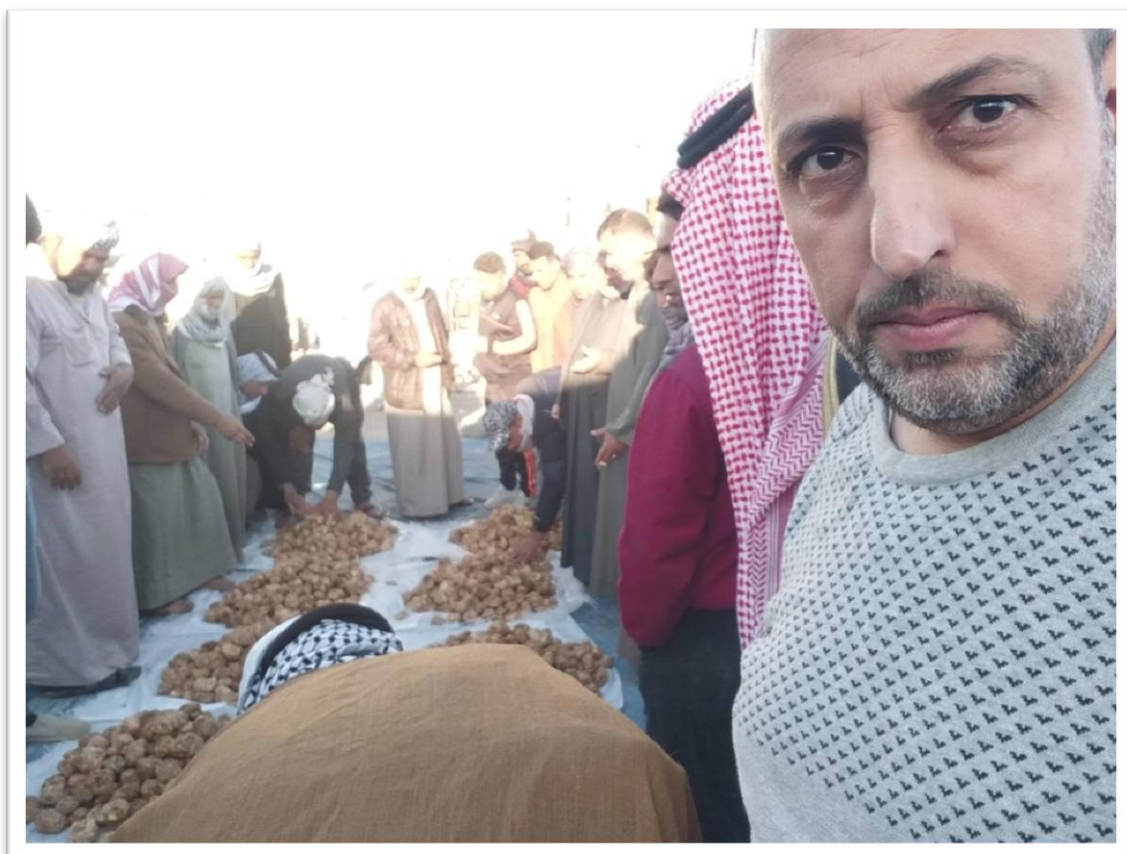
(1) أحمد حمدان الجشعي، ثقافة الرمال، الطبعة الأولى، مطبعة ادیان لخدمات التصميم والطباعة والنشر، المثنى، 2018، ص29.

(2) ثامر عبد الشهيد محسن، مقالة بعنوان (زراعة فطر الكمأ Truffles)، قسم علوم الحياة/ كلية التربية للعلوم

الصرفة /إبن الهيثم، ص3، 2019. <https://ihcoedu.uobaghdad.edu.iq/wp-content/uploads/sites/27/2019/03/>

للبيع بالجملة للمراكز الفرعية (العلوات)، ويمكن الاستفادة من هذه المراكز لاحقاً لبيع منتجات النباتات الطبية او غير ذلك ، يلاحظ خريطة (5-21).

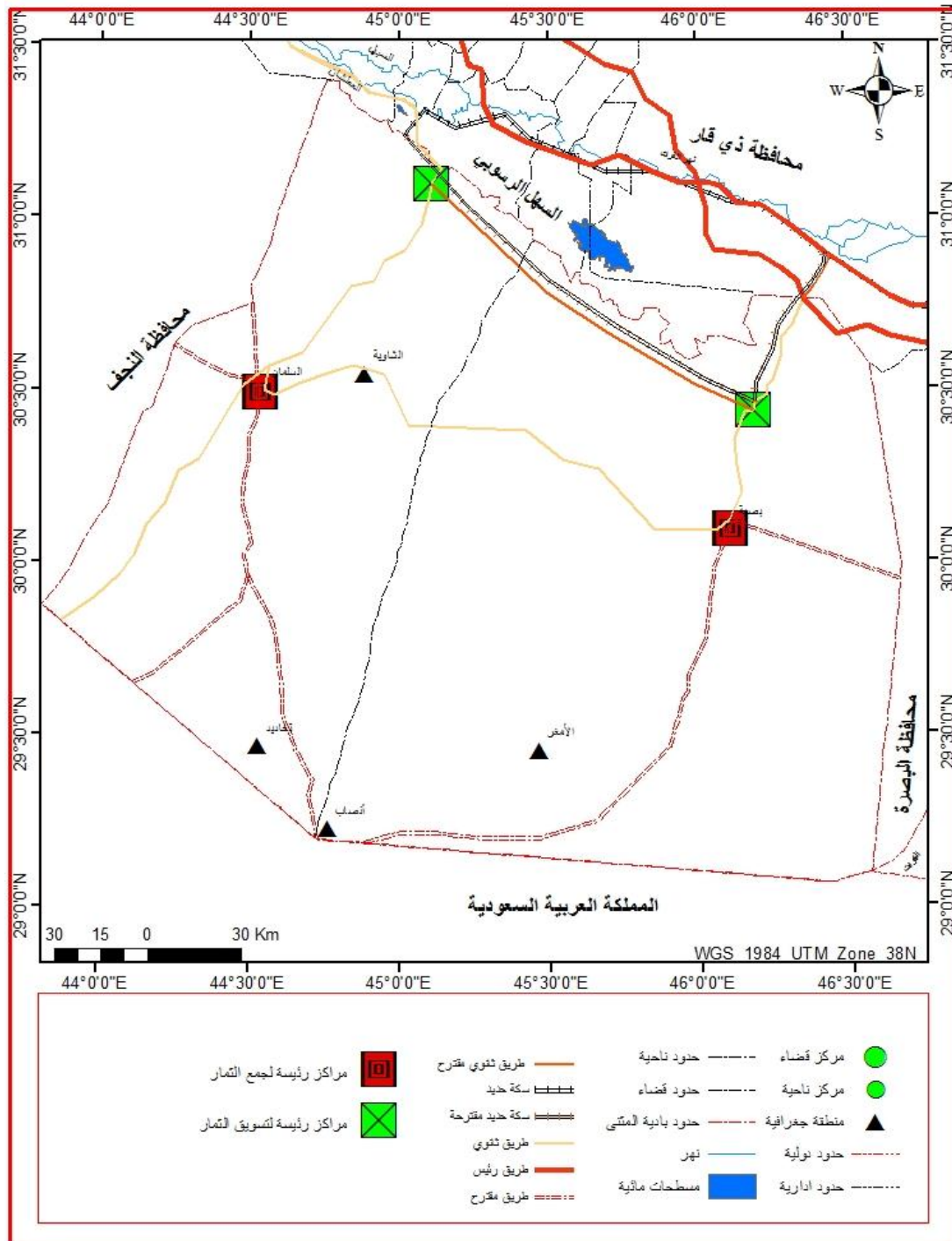
صورة(5-4) مزادات بيع ثمار الكما في قضاء السماوة



المصدر: بالاعتماد على: الدراسة الميدانية في (2023/3/17)

وهناك العديد من انواع النباتات الطبيعية التي تستخدم لأغراض غذائية وهي في الغالب تستخدم من قبل السكان المحليين ومنها الخبز الذي يُستخدم في عمل الحساء او المرققة وتؤكل ثمار السدر (النبق) وهي من الثمار طيبة المذاق، ويعد مورداً اقتصادياً جيداً، فضلاً عن العديد من النباتات الطبيعية التي تستخدم كغذاء للإنسان.

خريطة (5-21) المراكز المقترحة لجمع وتسويق ثمار الكأ



المصادر: بالاعتماد على:

- 1-وزارة الموارد المائية ، الهيئة العامة للمساحة ، قسم أنتاج الخرائط ، الخطة الاستراتيجية للصحراء الغربية ، بمقياس 1: 10000 ، بغداد ، 2009.
- 2-القمر الامريكي LandSat 9 ، مرئية OLI، دقة تمييزية 15 م ، حزم 4-5 ، دقة تمييزية 30 م ، 2022.
- 3- الدراسة الميدانية في (2022/2/25) و(2022-1-21) و(2022/3/1) و (2022/10/11).

5-3-5- دور النبات الطبيعي في التنمية السياحية المستدامة:

تمهيد:

تعد السياحة الترفيهية من المرتكزات المهمة إذ تعتمد العديد من الدول في موازاناتها على هذا النوع من السياحة كمورد رئيس، وتعد البيئة الطبيعية الخلابة للنبات الطبيعي بما تحويه من تنوع حيوي ومناظر جميلة وتحديداً بعد موسم التساقط، فرصة كبيرة للتنمية السياحية المستدامة، ولا يقتصر دور النبات الطبيعي في التنمية السياحية المستدامة في بادية المثنى على السياحة الترفيهية، إذ إن هناك العديد من اقسام السياحة ومنها (السياحة البيئية- رياضة الصيد- السياحة العلمية- السياحة العلاجية).

وسوف تتناول الدراسة بعض الاصناف السياحية لمنطقة الدراسة فضلاً عن بعض المقترحات :

1- السياحة البيئية: تتمثل بالاستمتاع بالمناظر الطبيعية (النبات الطبيعي)، إذ تعد منطقة الدراسة في كثير من مناطقها من البيئات البكر التي لم تعبت بها يد الانسان، ومن خلال مراجعة نتائج المؤشرات الرقمية التي تناولتها الدراسة، يقترح الباحث موقعين لهذا النوع من انواع السياحة، يقع الاول منه إلى الشرق من ناحية بصية بالقرب من فيضة (الابطية)، والآخر يقع إلى الشمال الغربي من قضاء سلمان بالقرب من فيضة (الزفراوية)، بسبب الكثافة المتوسطة للغطاء النباتي في هاتين المنطقتين ووجود بعض الظواهر الجيومورفولوجية الناتجة عن التعرية المائية والهوائية فضلاً عن قربهما من طرق النقل، يلاحظ خريطة (5-22).

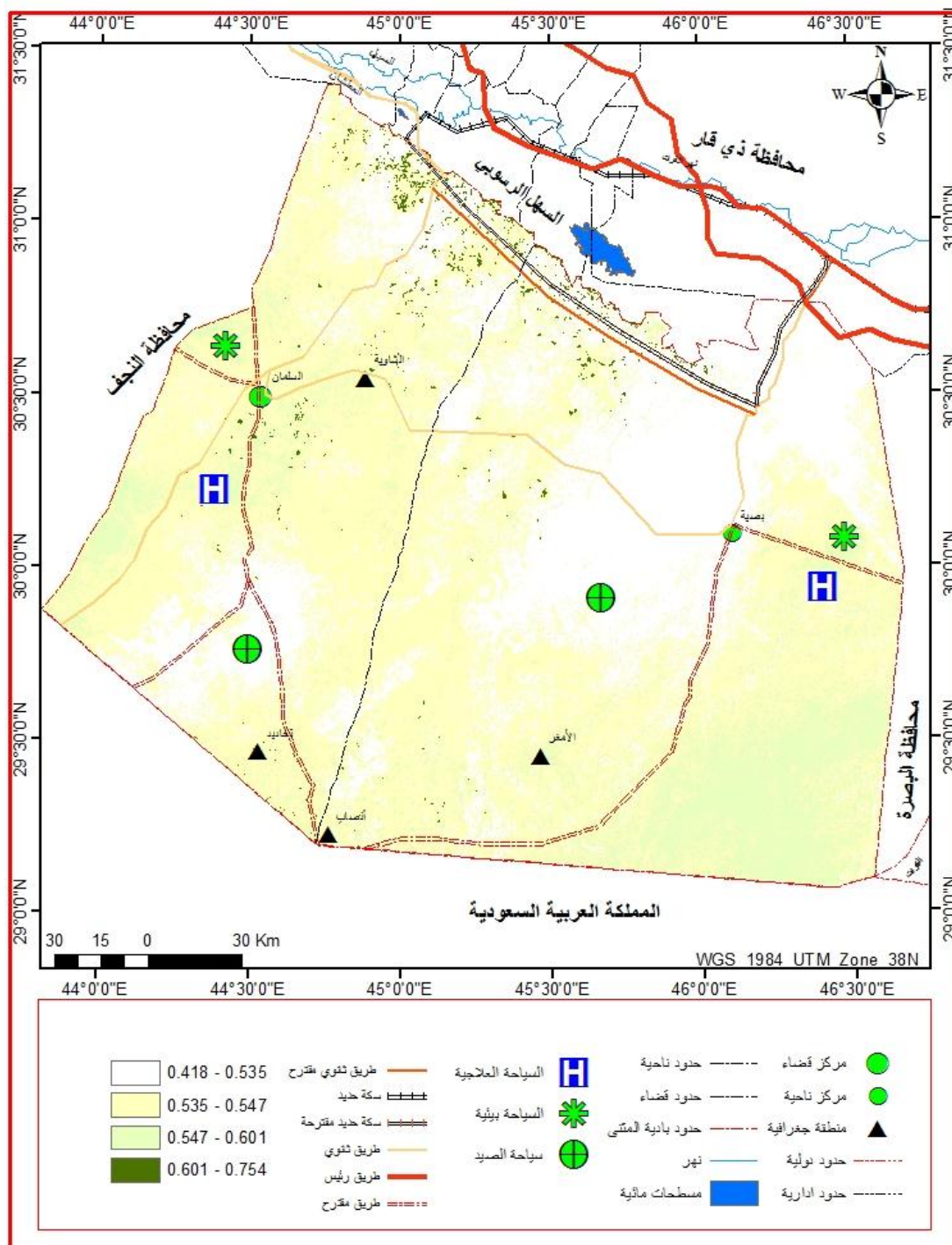
2- رياضة الصيد: ترتبط هذه الرياضة بالتنوع الحيوي للطيور والحيوانات التي تعيش مستفيدة ومتحصنة في البيئة الطبيعية للنبات الطبيعي، وتشكل هذه الرياضة مرتكزاً من المرتكزات الاقتصادية المهمة، وتتسم المنطقة باتساع مساحتها مما عزز التنوع الحيوي للعديد من الحيوانات والطيور المهاجرة، ومن اهم انواع هذه الطيور (الحباري، الحمام البري، الهدهد، القرونك، الشهيبي وغيرها)، فضلاً عن الحيوانات ومنها (الذئب، الضب الصحراوي، الضبع، والافاعي وغيرها)، وعند مراجعة نتائج المؤشرات الرقمية المعتمدة في هذه الدراسة، وبسبب استعمال رواد هذه الرياضة انواع معينة من السيارات السريعة ذات الدفع الرباعي وبهدف المحافظة على الغطاء النباتي المتوفر، يقترح الباحث اقامة هذا النوع من الرياضة في منطقتين، تقع الاولى إلى الشرق من فيضة (الخديات) والآخرى إلى الشمال من فيضة (أم مجرون)، يلاحظ خريطة (22-5).

3-السياحة العلمية: وتشمل هذه السياحة العديد من الدراسات التي تتضمن دراسة انواع النبات الطبيعي واتساعه او انحساره، فضلاً عن دراسة امكانية الاستفادة منه خدمة للبشرية، وتزخر بادية المثني بالعديد من اصناف النباتات الطبيعية التي يتهافت الباحثون من اجل دراستها، من خلال تنظيم رحلات علمية لطلبة المراحل الاولى والدراسات العليا، وتتوزع مناطق هذا النوع من السياحة العلمية بحسب نوع الدراسة.

4-السياحة العلاجية: خلال عقود ماضية ظهرت العديد من دراسات حول تأثير الطبيعة في العلاج النفسي والعضوي للإنسان، وهي نوع من انواع السياحة التي تتطلب مناخ صحي ملائم حيث يتوفر الهواء النقي والمناظر الطبيعية الخلابة المتمثلة بالنباتات الطبيعية، وتعد منطقة الدراسة بما تحويه من تنوع للنباتات الطبيعية بعد موسم التساقط فضلاً عن هوائها النقي يؤهلها لان تكون من اهم المشافي في المنطقة، وتتشابه من حيث كثافة الغطاء النباتي مع مناطق السياحة البيئية، لكنها تختلف من حيث ضرورة توفر الهدوء والابتعاد عن مناطق التي يكثر فيها الضوضاء، ويقترح الباحث منطقتين تناسب هذا النوع من انواع السياحة، تقع الاولى إلى الشرق من فيضة (صالح) والاخرى إلى الشمال من فيضة (عجلان) لما تتميز به هذه المناطق من كثافة متوسطة للغطاء النباتي وجمال الطبيعة، فضلاً عن تمتعها بالهدوء وقربها من طرق النقل يلاحظ خريطة (5-22).

يتبين من ذلك توفر المقومات الطبيعية للتنمية السياحية المستدامة للنبات الطبيعي في البادية، فضلاً عن الاستقرار السياسي الذي يعد البوابة الرئيسة للتنمية الشاملة، ويرى الباحث ضرورة تقديم تسهيلات للمستثمرين وتشجيع القطاع الخاص بما يمتلك من رؤوس الاموال اللازمة للتنمية المستدامة للنشاط السياحي في بادية المثني، والاستفادة من مخرجات اقسام الجغرافية ونظم المعلومات الجغرافية والاستشعار عن بعد في عملية التنمية المستدامة في بادية المثني، ودعم سكان منطقة الدراسة من خلال الاستعانة بهم كمرشدين للمناطق السياحية، وتشكيل جهات متخصصة بالأمن السياحي، فضلاً عن عقد ندوات خاصة لتسليط الضوء على اهم المناطق السياحية في منطقة الدراسة وسبل العناية بها بهدف تشجيع السياحة البيئية دون الحاق ضرر، وتوعية المواطنين بأهمية الحفاظ على البيئة، وتوفير الخدمات والبنى التحتية والخدمات اللازمة لإقامة هذا المشروع التنموي .

خريطة (5-22) التوزيع المكاني للمناطق السياحية المقترحة بحسب المؤشرات الرقمية



المصادر: بالاعتماد على:

- 1- القمر الأمريكي 9 LandSat ، مرئية OLI، دقة تمييزية 15 م ، حزم 4-5، 2022.
- 2- الدراسة الميدانية في (2022/2/25) و(2022-1-21) و(2022/3/1) و (2022/10/11).

الخلاصة:

تبين من خلال هذه الدراسة ان هناك مقومات للتنمية المستدامة للنبات الطبيعي في بادية المثنى من خلال توفر العديد من اصناف النباتات الطبيعية وتعدد استخداماتها ولأغراض مختلفة، منها الطبية مثل الخباز والحرمل والحميض والحنظل والبختري والعفرج والشيخ، وتبين من خلال تحليل خرائط المؤشرات الرقمية النباتية، ان النبات الطبيعي يغطي مساحة (29181.58) كم² بنسبة (63.91)% من المساحة الكلية لمنطقة الدراسة، وهي بذلك تشكل مساحة شاسعة يمكن الاستفادة منها في التنمية الرعوية المستدامة، ومن اولويات الدراسة تنظيم خرائط خاصة للرعاة من اجل المحافظة على هذا المورد الاقتصادي وتنميته تنمية مستدامة، وتنمية المناطق الرعوية تنمية مستدامة بمجموع (5660.17) كم²، فضلاً عن مناطق للزراعة والرعي المختلط في شمال بادية المثنى بمساحة (5886.45) كم²، ومد بعض طرق النقل الثانوية المقترحة بهدف الحد من العزلة، واقامة محميتين طبيعيتين الاولى إلى الجنوب الغربي من ناحية بصية والآخرى بالقرب من السلطان .

واظهرت الدراسة امكانية استخدام بعض النباتات الطبيعية لأغراض صناعية والطاقة مثل السدر الذي يستخدم في صناعة (سيور القارب) فضلاً عن (الطبخ والتدفئة) وصناعة الخبز .

وتبين من خلال البحث ان بعض النباتات الطبيعية تعد مصدر غذائي ذات قيمة، إذ يعد الكمأ بانواعه (الزبيدي، الارجاوي، الاحرق، الجبا) من أهمها إذ يتميز بقيمة غذائية عالية فضلاً عن القيمة النقدية له، من خلال توفير فرص عمل كبيرة للعديد من العاملين في هذا المجال. ولا يقتصر دور النبات الطبيعي في التنمية المستدامة في بادية المثنى على ذلك، بل يمتد إلى الجانب السياحي ، وتعد(السياحة البيئية- رياضة الصيد- السياحة العلمية- السياحة العلاجية) من اهم اصناف السياحة في بادية المثنى.

الموارد المائية في بادية المثني ودورها في التنمية المستدامة

تمهيد

6-1- تصنيف الموارد المائية في بادية المثني وتوزيعها

6-1-1-الموارد المائية السطحية

6-1-2- الأمطار

6-1-3- المياه الجوفية

6-2- اساليب الحصاد المائي التي يمكن تطبيقها في بادية المثني

6-2-1- دور الاستشعار عن بعد ونظم المعلومات الجغرافية في حصاد المياه

6-3- دور نظم المعلومات الجغرافية والاستشعار عن بعد في الكشف عن مكامن

المياه الجوفية

6-4- دور الموارد المائية (المياه الجوفية) في التنمية المستدامة في بادية

المثني:

6-4-1- تقييم صلاحية المياه الجوفية لأغراض الاستخدام البشري(الشرب):

6-4-2- صلاحية المياه الجوفية للإرواء الزراعي:

6-4-3- صلاحية المياه الجوفية لأغراض الاستهلاك الحيواني:

6-4-4- صلاحية المياه الجوفية للأغراض الصناعية :

6-4-5- صلاحية المياه لأغراض البناء والإنشاءات:

الخلاصة

تمهيد: Preface

تتعرض بادية المثني لفقدان مورد مهم من الموارد الطبيعية (التربة)، بسبب قلة الإيرادات المائية التي تنعكس على ندرة الغطاء النباتي وانكشاف سطح الأرض مما يؤدي إلى سيادة عمليات التعرية والتجوية، وتعد الموارد المائية مدخلاً مهماً للمحافظة على التربة، فضلاً عن كونها مورداً أساسياً بالغ الأهمية فهي المحرك الرئيس لجميع الأنشطة البشرية، ونظراً لهذا الترابط فإن إدارة هذا المورد الحيوي يتطلب منهجاً متكاملًا يضمن توافرها بالكمية والنوعية والجودة المناسبة في الوقت الحالي وديمومتها للأجيال القادمة، بهدف تحقيق التوازن بين التنمية الاقتصادية والموارد المتاحة.

سيتم في هذا الفصل تصنيف الموارد المائية الى موارد مائية سطحية، التي تتمثل بالأودية الجافة التي تتمثل بالمسارات المائية التي تقطعها السيول عند نزول المطر، وسوف يتم تحميل (Dem) من (usgs) وعمل (Mosaic) ثم (Extract By Mask) واشتقاقه باستخدام أداة (Hydrology) المنسدة من (Spatial Analyst Tools) ، ثم يتم تمثيلها خرائطياً وتحديد موقع كل مجموعة حوضية وطبيعة الانحدار وعدد الأودية، فضلاً عن تمثيل الموارد المائية الجوفية، وتحليل بعض الخصائص الهيدرولوجية، وتمثيل التوزيع المكاني لكميات الامطار المتساقطة وحساب الموازنة المائية المناخية، وتمثيل الموارد المائية الجوفية وتحليل بعض الخصائص النوعية لمياه الآبار، والاستفادة من الاستشعار عن بعد ونظم المعلومات الجغرافية في تقدير الجريان السطحي في منطقة الدراسة بطريقة (SCS)، والكشف عن مكامن المياه الجوفية باستخدام التقنيات الحديثة وتقييم صلاحية المياه الجوفية للاستخدامات المختلفة.

6-1- تصنيف الموارد المائية في بادية المثني وتوزيعها:

تأتي أهمية دراسة الموارد المائية في بادية المثني من خلال دورها في تشكيل المظاهر الارضية، فضلاً عن دورها الحيوي في مختلف عمليات التنمية الاقتصادية، وقد تنامت الحاجة لتنمية هذه الموارد الذي يشكل عامل رئيس في العديد من الاستخدامات البشرية فضلاً عن اهميته في المشاريع الإنتاجية سواء الزراعية والصناعية والسياحية.

6-1-1- الموارد المائية السطحية : Surface Water Resources

تعد الموارد المائية السطحية من اهم الموارد الطبيعية التي ترتبط بشكل مباشر في جميع النشاطات البشرية لسكان بادية المثني، وشبكة التصريف السطحي هي مظاهر طوبوغرافية

تتركز فيها مياه الجريان السطحي⁽¹⁾، ويتمثل الجريان السطحي بالأودية التي تخترق المنطقة متتبعة طبيعة الانحدار السطحي من جنوب بادية المثنى باتجاه نهر الفرات، ويمثل حاصل طرح كمية المطر المتساقط في منطقة الدراسة ومياه السيول في المناطق المجاورة من كميات المياه المستهلكة سواء بالتبخر او بالاستخدام المباشر فضلاً عن كميات المياه المتغلغلة التي تتحول الى مياه جوفية، وتتمثل بالعديد من الأودية الجافة ولا سيما وادي(أبو غار، العاذر، نبعة، سدير، خنكة، أبو حضير، الكصير، الشويجة، الأشعلي)، ولم تتناول الدراسة هذه الأحواض الجافة بسبب تناولها بعناوين مستقلة في العديد من الدراسات ولا سيما الدراسات الجيومورفولوجية والهيدرولوجية والدراسات المورفومترية.

6-1-2- الأمطار : Rainfall:

مناخياً تقع بادية المثنى ضمن الاقاليم الجافة وشبه الجافة التي تتسم بقلة التساقط، ويكون امتداد سقوط الأمطار بداية شهر تشرين الأول ليصل إلى نهاية شهر مايس، وتتباين معدلات كمية الأمطار المتساقطة من شهر إلى آخر، بسبب التباين في تكرار المنخفضات الجبهوية المؤثرة خلال شهري تشرين الأول وتشرين الثاني⁽²⁾، وللأمطار دور كبير في تشكيل مظاهر سطح الأرض من خلال (كمية التساقط وطول الانحدار وشدته، ونوع الصخور والغطاء النباتي)، حيث تعمل الأمطار الغزيرة على تزايد معدلات التعرية، وبفعل قطرات المطر يصبح السطح أكثر انضغاطاً، مما يؤدي إلى اغلاق فراغات التربة ومساحاتها ومنع تسرب مياه الأمطار إلى أعماق التربة وزيادة جاهزية السطح لعمليات التعرية⁽³⁾، وتعزيز جريان الموارد المائية في هذا الوقت، وبالرغم من قلة الأمطار إلا إن بادية المثنى تتميز بسقوط امطار فجائية إذ تندفع المياه المتجمعة من الأودية الفرعية وصولاً إلى المجرى الرئيس لتشكل خطراً وضرراً.

وتتميز بادية المثنى بترتبتها الرملية الفقيرة وفي اجزاء كبيرة منها صخرية ساعد ذلك على انسياب الجريان إلى المناطق المنخفضة والفيضات ويطون الاودية، وبالرغم من التذبذب في التساقط المطري، إلا ان هذه المياه تتجمع لتشكل سيولاً خلال فترة تساقط الامطار بكميات كبيرة، وبسبب انعدام الجريان المائي الدائم، لذا يتم التوجه للاستفادة القصوى من هذه الكميات المائية

(¹) Soill,P, and C, Graton, 1994, An efficient algorithm for drainage network extraction on DEMs. Journal of Visual Communication and Image representation 5,(2);181-189.

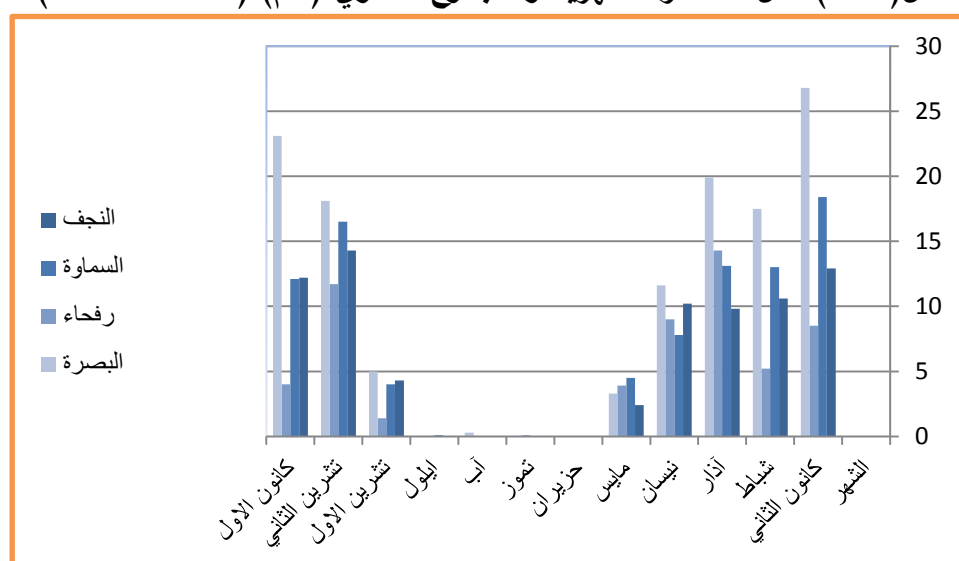
(²) كاظم عبد الوهاب الاسدي ، تكرار المنخفضات الجوية واثرها على طقس العراق ومناخه ،رسالة ماجستير ، (غير منشورة) ، كلية الآداب، جامعة البصرة ، 1991 ، ص20.

(³) فوزي سهاونة، وآخرون، مدخل إلى الجغرافية، مطبعة الأردن، الطبعة الأولى، 2002 ، ص60.

المتاحة باعتبارها عصب الحياة لسكان البادية، فضلاً عن كونها احد اهم اسس التنمية الاقتصادية المستدامة في بادية المثنى.

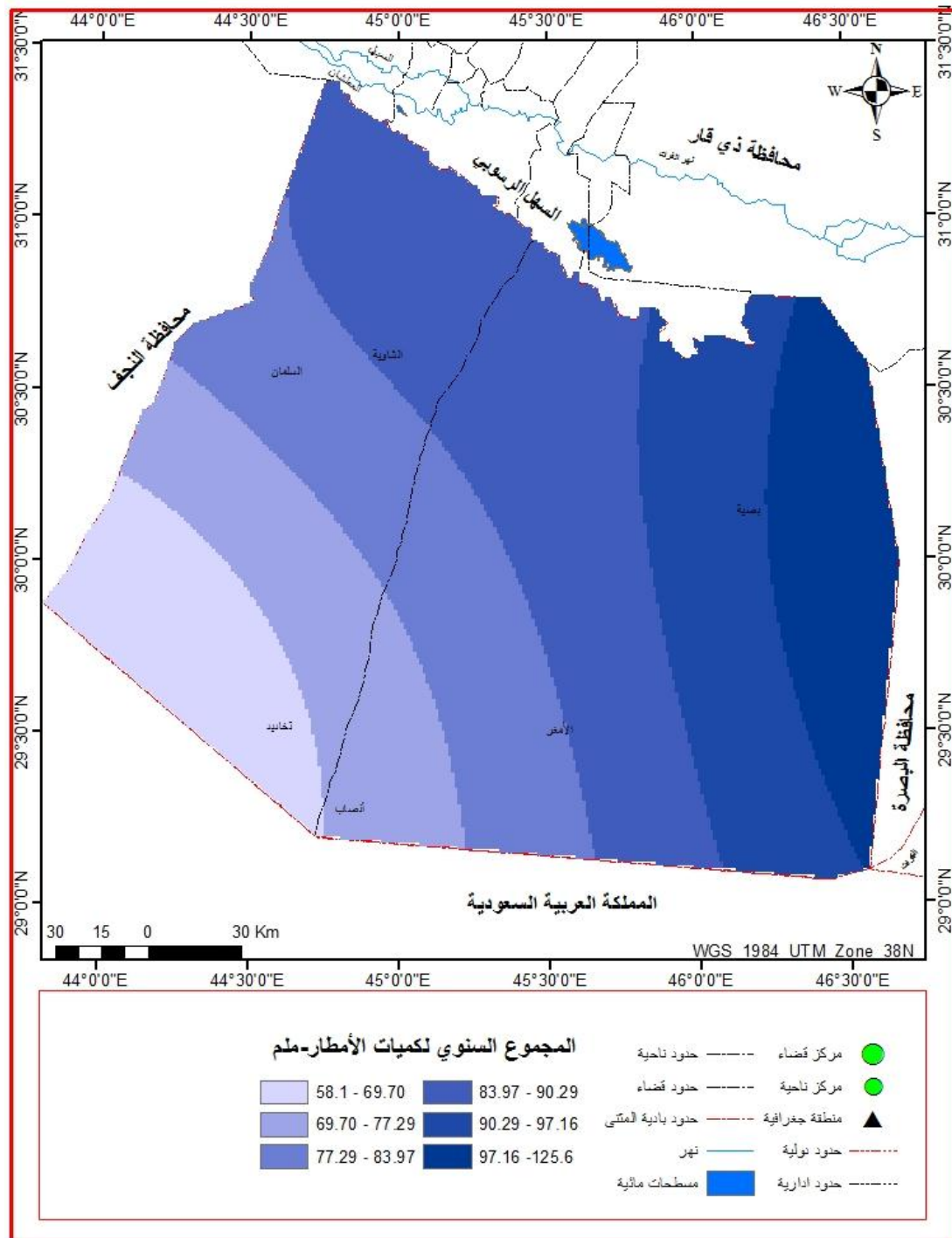
يتضح من خلال شكل(1-6) وخريطة(1-6) وجدول(1-6)، ان مجموع الأمطار السنوي قد بلغ(76.7 ، 89.5 ، 58.1 ، 125.6) ملم في محطات النجف والساوة ورفحاء والبصرة على التوالي، وان معدل المجموع السنوي لمنطقة الدراسة السنوي بلغ(87.47) ملم، ويُلاحظ التفاوت في كمية الأمطار المتساقطة في الأشهر المطيرة، فتكون في البداية قليلة في شهر تشرين الاول (4.3، 4 ، 1.4 ، 5) ملم ، في محطات النجف والساوة ورفحاء والبصرة على التوالي في حين تم تسجيل اعلى كمية لها في شهر كانون الثاني(12.9 ، 18.4 ، 8.5 ، 26.8) ملم، في محطات النجف والساوة ورفحاء والبصرة على التوالي، وتسجل درجات الحرارة في فترة هطول الأمطار ادنى مستويات لها وأعلى معدلات للرطوبة النسبية، وبعدها تتضاءل كميات الأمطار المتساقطة في نهاية شهر مايس، حيث تصل الى(2.4 ، 4.5 ، 3.9 ، 3.3) ملم في محطات النجف والساوة ورفحاء والبصرة وعلى التوالي، وتتعدم الأمطار كلياً في أشهر الصيف(حزيران، تموز، آب، أيلول) فضلاً عن شهري (تشرين الاول ومايس) التي تكون قليلة الأمطار بالمقارنة مع الأشهر الأخرى من السنة، وقد كان لسقوط الأمطار في هذا الموسم دور مهم في تجمع وامتلاء المنخفضات بالمياه في جهات كثيرة من أحواض وفيضات للبكسات منطقة الدراسة، اضافة الى امكانية استثمار هذه الامطار في الزراعة الديمية في كثير من مناطق بادية المثنى ولاسيما في بطون الاودية والفيضات .

شكل(1-6)معدل الأمطار الشهرية والمجموع السنوي (ملم) (1991-2021)



المصدر: بالاعتماد على البيانات المناخية لمحطات منطقة الدراسة، جدول(1-6)

خريطة (6-1) المعدل السنوي لكميات الأمطار للمحطات المعتمدة



المصادر: بالاعتماد على:

- 1-وزارة النقل، الهيئة العامة للأنواء الجوية والرصد الزلزالي، قسم المناخ، بيانات غير منشورة، 2021.
- 2-الهيئة العامة للأرصاد وحماية البيئة، البيانات المفتوحة، مكتبة البيانات المفتوحة، إدارة تلبية الطلبات المعلوماتية، 2021.
- 3-برنامج Arc GIS 10.2.2.

جدول (6-1) معدل الأمطار الشهرية والمجموع السنوي (ملم) للمدة (1991-2021)

المحطة	النجف	السماوة	رفحاء	البصرة
الشهر				
كانون الثاني	12.9	18.4	8.5	26.8
شباط	10.6	13	5.2	17.5
آذار	9.8	13.1	14.3	19.9
نيسان	10.2	7.8	9	11.6
مايس	2.4	4.5	3.9	3.3
حزيران	0	0	0	0
تموز	0	0	0.1	0
آب	0	0	0	0.3
ايلول	0	0.1	0	0
تشرين الاول	4.3	4	1.4	5
تشرين الثاني	14.3	16.5	11.7	18.1
كانون الاول	12.2	12.1	4	23.1
المجموع السنوي	76.7	89.5	58.1	125.6

المصدر: بالاعتماد على:

- 1- وزارة النقل، الهيئة العامة للأشياء الجوية والرصد الزلزالي، قسم المناخ، بيانات غير منشورة، 2021.
 - 2- الهيئة العامة للأشياء وحماية البيئة، البيانات المفتوحة، مكتبة البيانات المفتوحة، إدارة تلبية الطلبات المعلوماتية، 2021.
- وقد أسهمت (قلة الأمطار والارتفاع في درجات الحرارة صيفاً فضلاً عن ارتفاع المدى الحراري) ، في زيادة معدلات التبخر وانخفاض معدلات الرطوبة النسبية وجعل المنطقة في عجز مائي وجفاف، وأن نسبة ما يتبخر منها تفوق مقدار ما يسقط عليها من أمطار ويمكن ملاحظة ذلك بوضوح في جدول (6-2) ، وباستخدام معادلة ديمارتون(*) (معامل الجفاف) Index of (Aridity)، تبين أن الأشهر ابتداءً من آذار وانتهاءً بشهر تشرين الاول هي أشهر جافة، إذ بلغ معامل الجفاف فيها لمحطة النجف على التوالي (-3.55-0.71-0-0-0-0-1.41) (4.15) أما في محطة السماوة فكانت الأشهر جافة ابتداءً من شهر نيسان وانتهاءً بشهر تشرين الاول (2.68-0.31-0-0-0.02-1.29) على التوالي، أما في محطة رفحاء فقد كان

معدل امطار ذلك الشهر (ملم)

$$(*) \text{ معامل الجفاف لشهر معين} = \frac{12 \times \text{معدل درجة الحرارة لنفس الشهر (م)}}{10}$$

ويمثل الرقم (10) معامل ثابت في المعادلة، يمثل الرقم (12) عدد الاشهر، يُعد شهراً جافاً اذا كان الناتج اقل من (5)، (5-10) شبه جاف، واذا كان اكثر من (10) يعتبر رطب.

جافاً في اغلب شهور السنة في ما عدا شهر آذار وتشيرين الثاني وكانون الاول إذ بلغ معامل الجفاف (2.05-4.96-5.70) على التوالي، اما في محطة البصرة فقد كانت الاشهر (نيسان ، مايس ، حزيران ، تموز ، آب ، ايلول ، تشيرين الاول) هي الاخرى جافة أيضاً وفقاً لتصنيف ديمارتون، أما الأشهر التي تعدّ شبه جافة هي (كانون الاول ، شباط ، تشيرين الثاني ، كانون الاول) ، حيث بلغ فيها معامل الجفاف (6.43 - 6.06 - 5.38-7.33) لمحطة النجف على التوالي، وبلغ (6.19- 6.79- 5.43- 6.45) لمحطة السماوة للأشهر (شباط ، آذار، تشيرين الثاني ، كانون الاول) على التوالي، ولمحطة رفحاء (آذار وتشيرين الثاني وكانون الاول) تعتبر شبه جافة (2.05- 4.96 - 5.70) على التوالي واخيراً (8.28 - 7.93- 7.15) لمحطة البصرة (شباط ،آذار ، تشيرين الثاني) على التوالي، ويعد شهر كانون الثاني هو الشهر الوحيد الذي كان رطباً فهو في محطات (السماوة ،البصرة) بمعامل جفاف بلغ(10.24 - 13.95) على التوالي، وتتسم الأمطار في المناطق الجافة إنها قد تسقط معظم كمياتها السنوية في مدة ساعات أو يوم واحد، ولهذه السمة أخطارها حيث تكون الفيضانات المحلية التي تجرف التربة، ولسرعة جريانها فأن مساهمتها في المياه الجوفية تكون قليلة جداً ⁽¹⁾، عدا المناطق التي تحتوي على عوائل.

مما تقدم يمكن ان نستنتج أن هناك تبايناً في كمية الأمطار المتساقطة، كون منطقة الدراسة تقع ضمن المناطق الجافة، إذ إن الأمطار تسقط على شكل زخات سرعان ما تتحول إلى سيول جارفة تؤدي إلى تكوين مجاري مائية في الوديان، وإن هذا التباين ينعكس بشكل مباشر على حدوث عمليات التجوية الكيميائية، التي تكون ضعيفة نظراً لقلّة سقوط الأمطار، ومن جهة اخرى ان قلّة كميات الأمطار وسقوطها في ساعات او يوم واحد يؤدي إلى قلّة مساهمتها في المياه الجوفية والسطحية عدا المناطق المنخفضة التي تتجمع فيها مياه الامطار، فضلاً عن المناطق المتضرسة في الجنوب الغربي التي يتعرض فيه الجريان السطحي للإعاقة مما يوفر فرصة لتعزيز منسوب المياه الجوفية، وتتحدّر السيول باتجاه المنخفضات والفيضات وتكون بذلك عبارة عن تجمع مياه الأمطار، وقد شهدت منطقة الدراسة في بداية الموسم الشتوي ندرة سقوط الأمطار، الأمر الذي أدى إلى نشاط عمليات التعرية الفيزيائية في بادية المثنى، في حين شهد الموسم الشتوي في نهايته سقوط كميات جيدة من الأمطار ونشاطاً للتعرية المائية ونقل الرواسب، فضلاً عن تغذية خزانات المياه الجوفية التي يمكن الاعتماد عليها في كثير من جهات منطقة الدراسة ولمختلف الاستعمالات الزراعية وإرواء الحيوانات وغيرها من الاستعمالات .

(1) قصي عبد المجيد السامرائي، عبد مخور الريحاني، جغرافية الأراضي الجافة، جامعة بغداد، مطبعة دار

الفصل السادس.....الموارد المائية في بادية المثني ودورها في التنمية المستدامة

جدول (2-6) نوع المناخ ومعامل الجفاف للأشهر المطيرة وغير المطيرة بتطبيق معادلة ديمارتون على المحطات المعتمدة في الدراسة للمدة (1991-2021)

الأشهر	محطة النجف				محطة السماوة				محطة رفحاء(*)				محطة البصرة			
	معدل درجة الحرارة	معدل الأمطار	معامل الجفاف	التصنيف	معدل درجة الحرارة	معدل الأمطار	معامل الجفاف	التصنيف	معدل درجة الحرارة	معدل الأمطار	معامل الجفاف	التصنيف	معدل درجة الحرارة	معدل الأمطار	معامل الجفاف	التصنيف
ك2	11.1	12.9	7.33	شبه جاف	11.55	18.4	10.24	رطب	12.6	8.5	4.51	جاف	13.05	26.8	13.95	رطب
شباط	13.6	10.6	5.38	شبه جاف	14.15	13	6.45	شبه جاف	15.2	5.2	2.47	جاف	15.35	17.5	8.28	شبه جاف
أذار	18.3	9.8	4.15	جاف	18.9	13.1	5.43	شبه جاف	20.1	14.3	5.70	شبه جاف	20.1	19.9	7.93	شبه جاف
نيسان	24.45	10.2	3.55	جاف	24.9	7.8	2.68	جاف	24.95	9	3.09	جاف	26.35	11.6	3.82	جاف
مايس	30.15	2.4	0.71	جاف	31.2	4.5	1.31	جاف	29.35	3.9	1.18	جاف	32.7	3.3	0.92	جاف
حزيران	34.65	0	0	جاف	34.7	0	0	جاف	34.3	0	0	جاف	36.1	0	0	جاف
تموز	37	0	0	جاف	36.5	0	0	جاف	35.85	0.1	0.02	جاف	38.05	0	0	جاف
أب	36.5	0	0	جاف	36.2	0	0	جاف	36.2	0	0	جاف	37.6	0.3	0.07	جاف
أيلول	32.75	0	0	جاف	32.6	0.1	0.02	جاف	32.8	0	0	جاف	34	0	0	جاف
ت1	26.55	4.3	1.41	جاف	27.1	4	1.29	جاف	27.65	1.4	0.44	جاف	28.55	5	1.55	جاف
ت2	18.3	14.3	6.06	شبه جاف	19.15	16.5	6.79	شبه جاف	18.3	11.7	4.96	شبه جاف	20.35	18.1	7.15	شبه جاف
ك1	12.75	12.2	6.43	شبه جاف	13.45	12.1	6.19	شبه جاف	13.4	4	2.05	شبه جاف	14.7	23.1	11.22	رطب

المصدر:- بالاعتماد على جدول (2-3) ، جدول (1-6) ، تطبيق معادلة ديمارتون.

6-1-2-1-الموازنة المائية المناخية Budget of Climatic Water : هي

العلاقة الكمية بين التساقط والتبخر/ النتح، والغرض منها هو تقدير كمية الفائض المائي (Water Surplus) أو العجز المائي (Water Deficit)، فضلاً عن تحديد الحاجة الزمانية والمكانية لاستعمال تلك المياه، وقد استخدم الباحث طريقة ايفانوف في حساب الموازنة المائية المناخية⁽¹⁾، بسبب توفر بيانات كاملة عن عناصر المعادلة، فضلاً عن ملائمتها للظروف المناخية السائدة في المنطقة. وتتمثل طريقة ايفانوف بالمعادلة الآتية⁽²⁾:-

$$PE = 0.0018 (T + 25)^2 (100 - A)$$

إذ تمثل:

PE :- التبخر - النتح الممكن (ملم).

T :- متوسط الحرارة الشهرية ب(م).

A :- معدل الرطوبة النسبية الشهرية.

أما العجز او الفائض المائي، وفق المعادلة (P-PE) ، إذ تمثل (P) كمية التساقط (ملم) ، (PE) تمثل التبخر - النتح الممكن (ملم).

من خلال تحليل بيانات جدول (3-6)، تبين أن المجموع السنوي لمعدلات التبخر - النتح المحتمل للمحطات المعتمدة قد بلغ (3524.7 - 3639.81 - 3813.95 - 3789.03) ملم في محطات النجف والساوة ورفحاء والبصرة، على التوالي وبلغ اعلى مجموع سنوي لها في محطة رفحاء وكان اقلها في محطة النجف، وقد كان المعدل السنوي العام للتبخر-النتح الممكن في المنطقة (3691.87) ملم، وسُجل معدل المجموع السنوي العام للأمطار في المنطقة (87.47) ملم، والمعدل السنوي العام للعجز المائي (3604.4) ملم، ويعود السبب في ذلك إلى (انخفاض نسبة التساقط وشدة التبخر، فضلاً عن زيادة ساعات السطوع الشمسي، وارتفاع الحرارة ، وصفاء السماء ، وقلة الغيوم)، وكان ادنى قيمة للتبخر-النتح الممكن في شهر كانون الثاني (77.41 - 85.36 - 99.50 - 84.95) ملم لمحطات النجف والساوة ورفحاء والبصرة على التوالي، بسبب (انخفاض درجات الحرارة وارتفاع الرطوبة النسبية وقلة التبخر فضلاً عن زيادة كميات الأمطار

(¹) عدنان عودة فليح الطائي، هيدرولوجيا حوض الفرات وأثره في تحديد الوارد المائي للعراق، أطروحة دكتوراه (غير منشورة) كلية التربية-ابن رشد، جامعة بغداد 2012، ص225.

(²) عبد الله سالم المالكي ، عبد الامام نصار ديري ، تقدير الموازنة المائية المناخية في العراق - دراسة في المناخ التطبيقي ، مجلة آداب البصرة ، العدد 38، 2005 ، ص173 .

في هذا الشهر)، الامر الذي يُمكن من زيادة توسيع الغطاء النباتي لمساحات واسعة من البادية في الفيضات والمناطق السهلية وبطون الاودية خلال هذه الاشهر والتقليل من مخاطر فقدان التربة وزيادة الرطوبة سيما المحاصيل الشتوية الاستراتيجية ومنها (الحنطة والشعير) والعمل على تنمية المنطقة تنمية مستدامة.

تشير بيانات (3-6)، إلى وجود عجز مائي في كل أشهر السنة وعدم وجود فائض، بسبب طبيعة المناخ الجاف، وترتفع قيم هذا العجز في اشهر الصيف، حيث سُجلت اعلى القيم للعجز المائي في شهر تموز (542.46 - 531.7 - 537.75 - 559.56) ملم، في محطات النجف والساوة ورفحاء والبصرة على التوالي، وكانت اعلى قيمة في محطة البصرة، في حين كانت اقلها في محطة الساوة، وكلما انخفضت الحرارة وزادت الرطوبة وقلت نسبة التبخر ينخفض هذا العجز تدريجياً، وتكون اقل قيمة له في شهر كانون الثاني (64.51 - 66.96 - 91 - - 58.15) ملم لمحطات النجف والساوة ورفحاء والبصرة على التوالي، وكانت اعلى مجموع سنوي للعجز المائي في محطة رفحاء (3755.85-) ملم، واقلها في محطة النجف (3448-) ملم.

إنّ وقوع المنطقة ضمن المناخ الجاف، أدّى إلى ارتفاع قيم التبخر وحدوث عجز مائي كبير فيها وزيادة فترة الجفاف، انعكس سلباً على الايراد المائي في احواض الوديان والخزين الجوفي، فضلاً عن قلة وتبعثر الغطاء النباتي الطبيعي، بسبب قلة تساقط الأمطار مما اثر على طبيعة خصائص التربة والصخور ورطوبة التربة وتماسك دقائقها، إذ أدّى إلى تفكك طبقتها السطحية، وجعلها عرضة للتعرية والنقل والترسيب وتحديدًا خلال اشهر الصيف، لذا فأن منطقة الدراسة تحتاج إلى إدارة مائية حقيقية من أجل المحافظة على التربة من اخطار الانجراف والفقدان.

وعلى الرغم من وجود عجز مائي كبير في المنطقة الا إنه يمكن الاستفادة من توفر المياه الجوفية في مختلف النشاطات الزراعية مما ينعكس على زيادة الرطوبة في التربة وتثبيتها ومنع انجرافها، وفي بعض السنوات الرطوبة (المائية) تتسع المساحات الخضراء وتنتعش المراعي، وتزداد رطوبة التربة، سيما في مناطق الفيضات وبطون التربة ومصباتها ومن ثم تعزيز قدرة التربة على الثبات والتماسك.

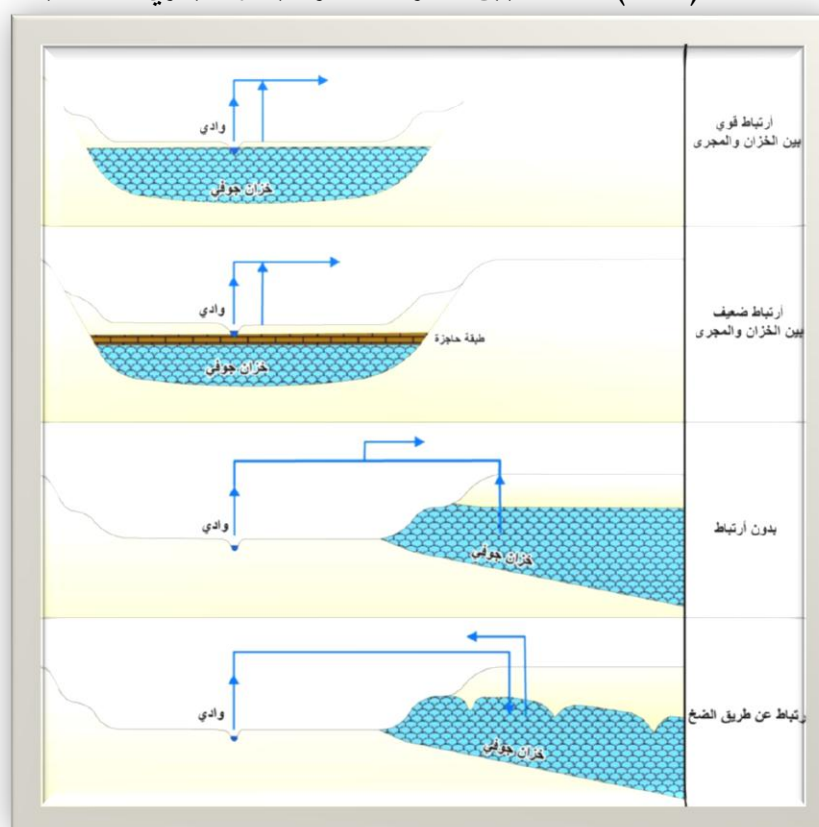
جدول (3-6) الموازنة المائية المناخية (ملم) بحسب معادلة ايفانوف في محطات منطقة الدراسة للمدة (1991-2021)

الاشهر	محطة النجف				محطة السماوة				محطة رفحاء				محطة البصرة			
	كمية الأمطار	كمية التبخر المحتمل	العجز المائي	نسبة العجز %	كمية الأمطار	كمية التبخر المحتمل	العجز المائي	نسبة العجز %	كمية الأمطار	كمية التبخر المحتمل	العجز المائي	نسبة العجز %	كمية الأمطار	كمية التبخر المحتمل	العجز المائي	نسبة العجز %
ك2	12.9	77.41	-64.51	1.88	18.4	85.36	-66.96	1.88	8.5	99.50	-91	2.43	26.8	84.95	-58.15	1.59
شباط	10.6	115.59	- 104.99	3.05	13	120.28	-107.28	3.02	5.2	135.84	-130.64	3.48	17.5	123.37	-105.87	2.89
آذار	9.8	174.81	- 165.01	4.78	13.1	185.59	-172.49	4.85	14.3	224.43	-210.13	5.59	19.9	190.38	-170.48	4.65
نيسان	10.2	260.57	- 250.37	7.27	7.8	280.57	-272.77	7.68	9	292.81	-283.81	7.55	11.6	289.04	-277.44	7.57
مايس	2.4	378.85	- 376.45	10.91	4.5	408.19	-403.69	11.37	3.9	392.39	-388.49	10.35	3.3	433.87	-430.57	11.75
حزيران	0	488.03	- 488.03	14.16	0	497.19	-497.19	14.02	0	506.37	-506.37	13.48	0	528.17	-528.17	14.42
تموز	0	542.46	- 542.46	15.74	0	531.70	-531.7	14.97	0.1	537.85	-537.75	14.32	0	559.56	-559.56	15.27
اب	0	525.58	- 525.58	15.24	0	515.74	-515.74	14.53	0	538.66	-538.66	14.34	0.3	536.79	-536.49	14.65
ايلول	0	434.02	- 434.02	12.58	0.1	437.74	-437.64	12.33	0	464.84	-464.84	12.37	0	456.15	-456.15	12.45
ت1	4.3	290.82	- 286.52	8.3	4	308.79	-304.79	8.59	1.4	345.28	-343.88	9.15	5	317.95	-312.95	8.54
ت2	14.3	147.81	- 133.51	3.87	16.5	165.95	-149.45	4.21	11.7	166.37	-154.67	4.12	18.1	170.65	-152.55	4.17
ك1	12.2	88.75	-76.55	2.22	12.1	102.71	-90.61	2.55	4	109.61	-105.61	2.82	23.1	98.15	-75.05	2.05
المجموع	76.7	3524.7	-3448	100	89.5	3639.81	- 3550.31	100	58.1	3813.95	- 3755.85	100	125.6	3789.03	- 3663.43	100

المصدر:- بالاعتماد على جدول (2-3) ، جدول (3-5) و جدول(6-2)

6-1-3- المياه الجوفية: Groundwater :يرتبط توزيع المياه الجوفية وغازاتها وندرتها ونوعها بالعديد من العوامل منها (البنية الجيولوجية، التربة، السطح، المناخ)، وتمتد الخزانات الجوفية الرئيسية في بادية المثنى ضمن الصخور الجيرية والدولومانية لتكوينات (الدمام وأم أرضة)، ويمكن تقسيم مصادر المياه الجوفية إلى عدة اصناف، **الاول** مياه نهر الفرات المتسربة، **والثاني** مياه الامطار، اما **المصدر الثالث** فهو السيول القادمة من خارج منطقة الدراسة التي ترسم اودية بادية المثنى **وهناك** المياه الاحفورية القديمة⁽¹⁾، وتعد المياه الجوفية من اهم الموارد المائية بسبب توفرها على طول السنة مما يعزز دورها في التنمية المستدامة في بادية المثنى، ويمكن توضيح العلاقة الهيدروليكية بين مجرى الوادي والخزان الجوفي من خلال شكل(6-2)، ففي الحالة الأولى يكون الارتباط قوي بين الخزان والمجرى السطحي بسبب اتفاق الخزان الجوفي مع المجرى السطحي، بينما في الحالة الثانية يكون الارتباط ضعيف بسبب وجود طبقة حاجزة، أما الحالة الثالثة فتكون بدون ارتباط، وتحتاج الحالة الأخيرة إلى وسيلة لضخ المياه.

شكل(6-2) العلاقة بين الخزانات الارضية والمجري السطحية



المصدر : باعتماد البنك الدولي، 2006، 3 .

(¹) عدنان عودة الطائي، الخصائص الكمية والنوعية للمياه الجوفية في بادية العراق الجنوبية، مجلة كلية التربية، العدد 42، ج2، شباط، جامعة واسط، 2021، ص292.

تتواجد المياه الجوفية في عدد من التكوينات الجيولوجية وهي من الاقدم الى الاحداث:-

6-1-3-1-مكامن المياه الجوفية (بادية المثنى): يمكن من خلال ملاحظة جدول(4-6)، وخريطة(2-6) مكامن المياه الجوفية في بادية المثنى:

6-1-3-1-مكامن ام أرضمة Um-Erradhuma Aquifer:

يبلغ اعلى سمك للخران جنوب منطقة السلطان (400) م ويتناقص سمكه باتجاه شرق وشمال غرب السلطان الى(213م) ⁽¹⁾ ، يبلغ مساحة هذا المكن (1253.5) كم².

6-1-3-2-مكن الدمام Dammam Aquifer:

يعد هذا المكن من اهم خزانات المياه الجوفية في منطقة الدراسة لمساحته الكبيرة، وتتفاوت اعماق الآبار فيه باختلاف المواقع بين(90- 220) م، اما سمكه يتراوح ما بين (73- 131م)⁽²⁾، ويقدر حجم المياه المخزونة في تكويني الدمام وام ارضمة ما بين(5.341 - 23.918 مليار م³)⁽³⁾ ، يبلغ مساحة هذا المكن (23274.7) كم².

6-1-3-3-مكن الغار - الفرات Euphrates Aquifer

تتعرض مياه هذا المكن إلى الضغط الذي يؤدي إلى رفعها ارتوازيًا، ويتداخل مع تكوين الغار في بعض المناطق نتيجة للاتصال الهيدروليكي بينهما، مما يتسبب في زيادة ملوحة المياه الصاعدة، يتراوح سمكه ما بين (30-50)م ، يبلغ مساحة هذا المكن (5791.8) كم².

6-1-3-4-مكن الدببة Dibdiba Aquifer

تُكون المياه القريبة من (منطقتي خرنج وخرانج) التي تتغذى من وادي الباطن، وتكون نسبة الملوحة معتدلة، إذ تتراوح نسبة الاملاح المذابة من (75-2500) ميكروموز/سم³، وإنتاجيات آبارها تتراوح من (1-4) لتر/ثا، إن طوبوغرافية المنطقة (فيضة) تسمح بتجمع ونفاذ مياه السيول

(¹) عبد العالي عبد الحسين حنتوش الدباج، شهلة نجم الدين عبد الله الخشاب دراسة ، -NH-83) وهيدروكيميائية لمنطقة السلطان اللوحة(6-NH-83) تقرير الشركة العامة للمسح الجيولوجي والتعدين، 2001، ص23.

(²) عبد العالي عبد الحسين حنتوش ، شهلة نجم الدين عبد الله الخشاب ، نفس المصدر ، ص10.

(³) محمد فليح عواد الجنابي ، اثر الموارد المائية في انتاجية بعض الاراضي الزراعية في قضاء السلطان (محافظة المثنى - العراق)، رسالة ماجستير ، (غير منشورة) ، كلية الآداب، جامعة البصرة ، 1991، ص131.

والأمطار فيها مما يعزز المخزون الجوفي⁽¹⁾، وهي مستوى قاعدة محلي للوديان المجاورة، ومن ثم تتأثر كمية ونوعية المياه الجوفية فيها، وتصلح المنطقة لزراعة الحبوب معتمدة على المياه الجوفية⁽²⁾، وتبلغ مساحة هذا المكن (12589.7) كم².

6-1-3-1-5 مكن الزمن الرباعي Quaternary Aquifers

تتغذى مياهه مباشرة من مياه الأمطار والسيول المترشحة والنضوحات، ويتراوح سمكه ما بين (10-20)م، ويتكون من الرمل الناعم والغرين والصلصال ورسوبيات الفيضات وإملاءات المنخفضات والرسوبيات الناتجة عن الرياح (الكثبان الرملية)⁽³⁾، ويمتاز بضخالة عمقه وتباين مستويات المياه الجوفية وارتفاع نسب الاملاح فيه، إذ تصل الى (50000) ملغم/لتر⁽⁴⁾، ويُشكّل طبقة مائية حرة وتتواجد هذه المكامن في اغلب اجزاء منطقة الدراسة سيما المنخفضة منها، يلاحظ خريطة (6-2)، وتبلغ مساحة هذا المكن ضمن حدود منطقة الدراسة (2766.8) كم².

جدول (6-4) مساحات مكامن المياه الجوفية (بادية المثنى)

المكن	أم أرضمة	الدمام	الغار - الفرات	الدبدبة	الزمن الرباعي	المجموع
المساحة	1253.7	23274.7	5791.8	12589.7	2766.8	45676.7

المصدر: بالاعتماد على خريطة (6-2) وبرنامج Arc GIS 10. 2.2 في حساب المساحات

نستنتج ما تقدم بأن مكن الدمام هو من اهم واكبر التكوينات الحاوية على المياه الجوفية، إذ ينكشف في اجزاء واسعة من المنطقة مما ساعد على تواجد اغلب الآبار فيه.

6-1-3-2-1-2 اعماق المياه الجوفية واتجاه حركتها:

تتحرك المياه الجوفية حركة عمودية وباتجاهين (قانون دارسي)، الاولى تكون هابطة تساهم في تغذية ورفع المنسوب الارضي للخران الجوفي في طبقات المياه الحرة، والحركة الثانية هي حركة صاعدة وتحدث نتيجة لحدوث التصريف في الطبقة المائية العليا، فيحدث فرق في الضغط للطبقات المائية السفلى فيترشح الماء من الصدوع والتكسرات، ويتمثل ذلك في مياه العيون والينابيع والآبار السائدة في البادية، وتتحدر المياه الجوفية الى ثلاث اتجاهات افقية، الاولى

(¹) دريد بهجت ديكران ، عبد الحق إبراهيم مهدي وآخرون ، تقرير مقدم عن لوحة الناصرية (3-38-NH) ،

الشركة العامة للمسح الجيولوجي والتحري المعدني، مصدر سابق، ص4.

(²) سالم خليل اسماعيل ، 2000،تقرير عن المياه الجوفية في محافظة البصرة ، وزارة الري، الشركة العامة

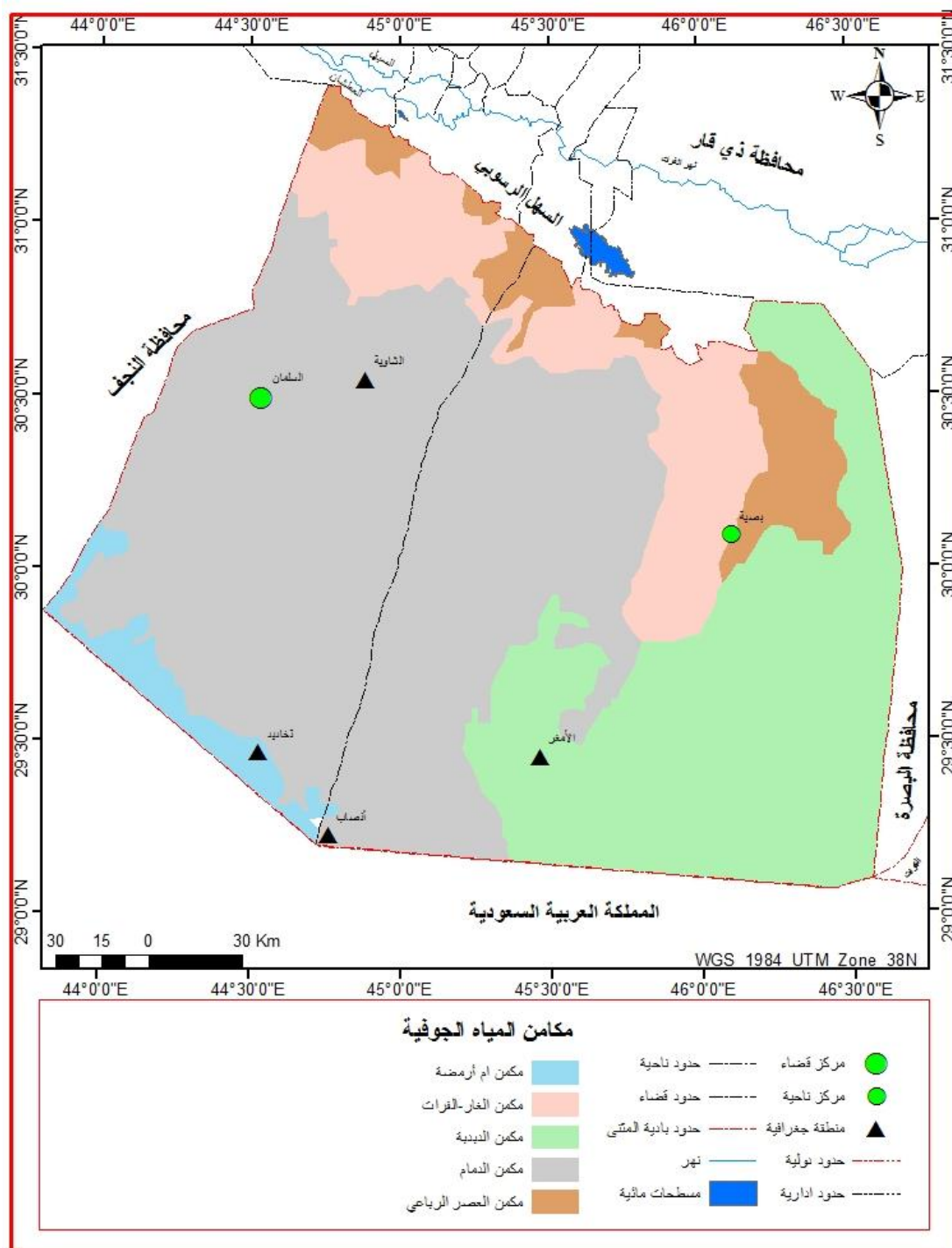
لحفر الآبار المائية، ص 3.

(³) سالم خليل اسماعيل ، 2000،تقرير عن المياه الجوفية في محافظة البصرة ،نفس المصدر ،ص2.

(⁴) كامل حمزه فليفل الأسدي ، عايد جاسم حسين الزامل، تباين خصائص المياه الجوفية في الهضبة الغربية

لمحافظة النجف باستخدام نظم المعلومات الجغرافية، 2014، ص222.

خريطة (2-6) مكامن المياه الجوفية في بادية المثنى



المصادر: بالاعتماد على:

- 1- جمهورية العراق ، وزارة الصناعة والمعادن ، الشركة العامة للمسح الجيولوجي والتعدين ، خريطة هيدرولوجية العراق ، بمقياس 1:1000000، بغداد، 2013.
- 2- جمهورية العراق ، وزارة الموارد المائية ، الهيئة العامة للمساحة ، قسم انتاج الخرائط ، خرائط طوبوغرافية لمنطقة الدراسة ، بمقياس 1:100000 ، بغداد ، سنوات مختلفة.

باتجاه (وادي الخر) والثانية باتجاه وادي الباطن، والاخيرة باتجاه السهل الرسوبي الذي تنخفض فيه اعماق الخزانات الارضية بشكل تدريجي كلما اتجهنا نحوه، ومن المتوقع أن تكون التغذية الرئيسية لمكمن الدمام عن طريق التسرب العمودي الى الاسفل (امطار وسيول) نتيجة لاتساع المكاشف لمكمن الدمام في منطقة الدراسة، ومن النضح العمودي الى الاعلى من خلال مكمن أم رضمة، الذي تتغير طبيعته في البادية من مكمن حر في بعض مناطق انكشافه في الجنوب الغربي الى مكمن محصور بالشمال الشرقي، وتتبع حركة المياه الجوفية شكل تضاريس منطقة الدراسة، فضلاً عن دور الجاذبية الأرضية، أي تتحرك باتجاه الضغط الهيدرولوجي الأقل، وتتحرك المياه الجوفية ببطيء شديد يقدر ما بين عدة آلاف من السنتيمترات في اليوم الواحد في الطبقات المسامية إلى عدة آلاف من الأمتار في اليوم الواحد عبر الشقوق والفواصل، ويتباين مستوى المياه الجوفية، إذ قدر بين (300-350) م فوق مستوى سطح البحر في اقصى جنوب غرب بادية المثنى ويصل إلى (2.5) م فوق مستوى سطح البحر في شمال منطقة الدراسة⁽¹⁾. ويمكن ملاحظة التباين في منسوب العمق للمياه الجوفية في بادية المثنى، إذ ان اعماق خزان للمياه الجوفية يتمثل بخزان أم أرضمة إذ يصل عمقه الى أكثر من (350)م فوق مستوى سطح البحر بمساحة (6455.3) كم² ونسبة (14.14) %، ويقل العمق كلما توجهنا شمالاً إلى ان يصل العمق في خزانات الزمن الرباعي في الحد الفاصل بين بادية المثنى والسهل الرسوبي (10-29) م بمساحة (990.98) كم² ونسبة (2.17) % بسبب الانخفاض التدريجي للسطح، يلاحظ جدول (5-6) وخريطة (3-6).

(¹) جمهورية العراق، وزارة الموارد المائية، الهيئة العامة للمياه الجوفية في المثنى، قسم حفر الآبار، بيانات غير منشورة، 2022.

جدول(5-6) أعماق ومساحات والنسب المئوية للتكوينات الحاوية على المياه الجوفية

(بادية المثنى)

اسم المنطقة	العمق/م	المساحة	النسبة %
أم أرضمة	فأكثر-350	6455.3	14.14
الدمام	300-349	9183.52	20.12
الدمام	250-299	8974.99	19.66
الدمام	200-249	5594.48	12.26
الدمام	150-199	5248.48	11.5
الدبدبة	100-149	4427.29	9.69
الدبدبة	50-99	3537.14	7.74
الفرات والغار	30-49	1245.52	2.72
الزمن الرباعي	10-29	990.98	2.17
		45657.7	100

المصدر: باعتماد على خريطة(3-6) وبرنامج Arc GIS 10.2.2 في قراءة المساحات

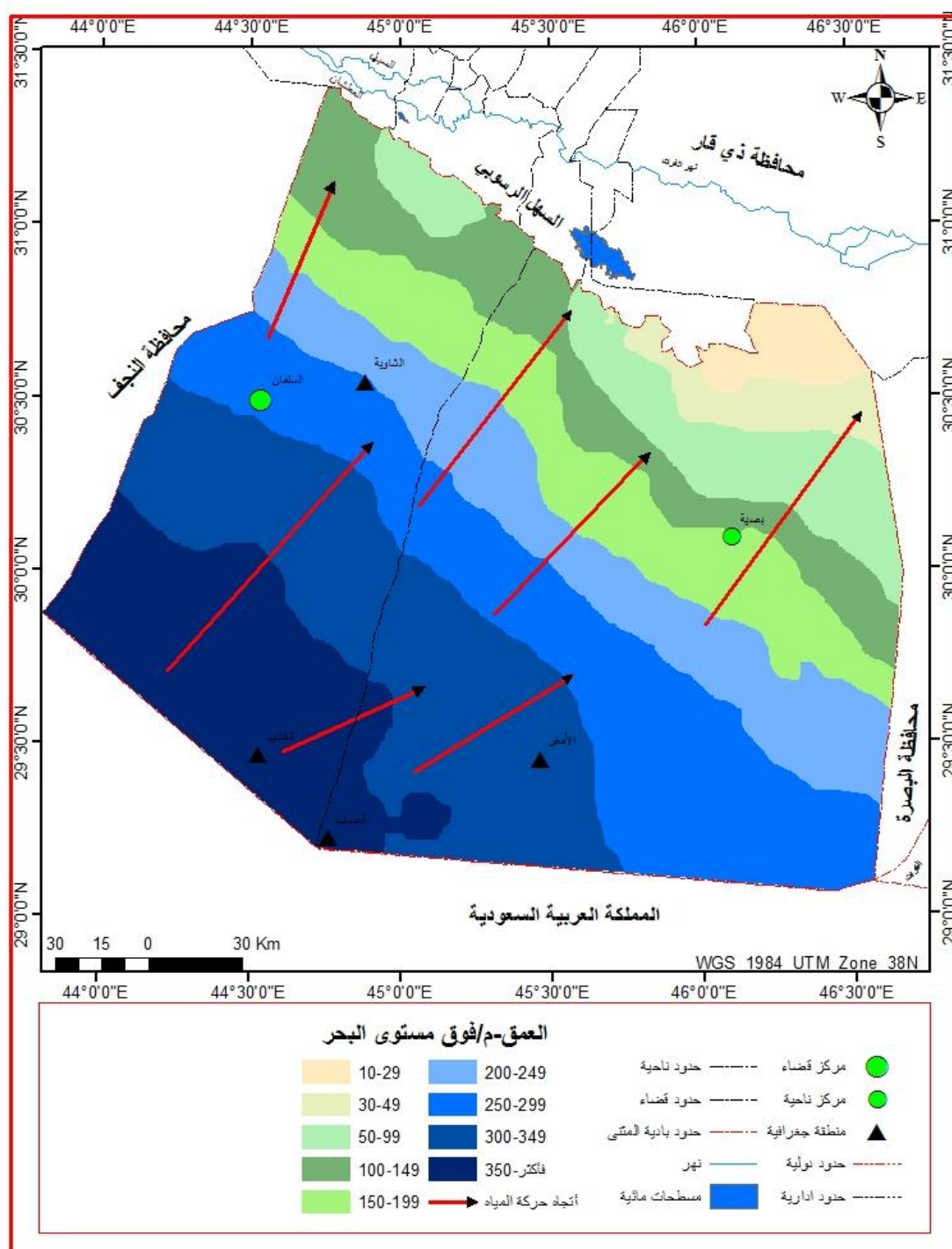
وعند تحليل خريطة(3-6) والجدول(5-6) نجد ان هناك إمكانية للحد من عمليات التعرية عن طريق استثمار مساحات كبيرة كأراضي زراعية في المنطقة المحصورة بين (250-30)م فوق مستوى سطح البحر، ضمن خزانات (الدمام، الدبدبة، الفرات والغار)، إذ بلغت (29027.9)كم²، وشكلت نسبة(63.57) %، إذ يستغل العمق المناسب لحفر الآبار في هذه المنطقة، وبسبب شحة الايرادات المائية لذا يجب متابعة مواعيد الحراثة من أجل المحافظة على التربة من التذرية، فضلاً عن فرض وسائل الري الحديثة وعدم حفر الآبار بشكل عشوائي والتأكيد على الجهات المعنية متابعة ذلك من اجل المحافظة على التنوع الحيوي في منطقة الدراسة وعدم تكرار انحسار بحيرة ساوة بسبب شدة الضخ والحفر العشوائي للآبار.

6-1-3-3-تركيز الاملاح المذابة في المياه الجوفية ونوعيتها في بادية المثنى:

تعد المياه الجوفية في بادية المثنى حديثة نسبياً، الا ان ما يلاحظ عند تحليل نسب الملوحة في جدول(6-6)، نجد هناك ارتفاع في هذه النسب، اذ تصل الى (50000) ملغم/لتر، وتتباين مكانياً تبعاً لنوعية الصخور الملامسة، اذ يصل تراكيزها في السلمان(5000) ملغم/لتر، في حين تقل هذه التراكيز في مكن أم أرضمة ، إذ تتراوح ما بين (1000-3000) ملغم/لتر، وعند تحليل خريطة(4-6) يمكن ملاحظة ما يأتي:

1-مياه مالحة جداً (10000-35000)ملغم/لتر: تشكل مساحة(68.9)كم²، ونسبة(0.15) %.

خريطة (3-6) أعماق واتجاهات المياه الجوفية في بادية المثنى



المصدر: بالاعتماد على:

1-وزارة الصناعية والمعادن ، الهيئة العامة للمسح الجيولوجي والتعدين، خريطة هيدرولوجية للعراق، بمقياس 1:1000 000، بغداد ، 2013.

2-مياه مالحة (3000-10000) ملغم/لتر تشغل مساحة (6614.5) كم² ونسبة (14.49) % .

3-مياه متوسطة الملوحة (2000-3000) ملغم/لتر تشغل مساحة (29256.2) كم² ونسبة (64.07) % .

4-مياه قليلة الملوحة (1000-2000) ملغم/لتر تشغل مساحة (9641.8) كم² ونسبة (21.12) % .

5-مياه عذبة يكون التركيز الملحي (200-1000) ملغم/لتر وتشغل مساحة محدودة تقدر حوالي (76.3) كم² ونسبة (0.16) % .

جدول (6-6) نسب الاملاح ونوعية المياه الجوفية ومساحتها في بادية المثنى

النسبة %	المساحة كم ²	النوعية	مجموع الأملاح الذائبة ملغم/لتر
-	-	شديد الملوحة	>35000
0.15	68.9	مالح جداً	10000-35000
14.49	6614.5	مالح	3000-10000
64.07	29256.2	متوسط	2000-3000
21.12	9641.8	قليل	1000-2000
0.16	76.3	عذب	200-1000
-	-	عذب جداً	200
100	45657.7	المجموع	

المصادر: 1-klimentove, pp., 1983, General Hydrology, mir.publ. Moscow (English Translation) pp.239

2- Arc GIS 10.2.2 .

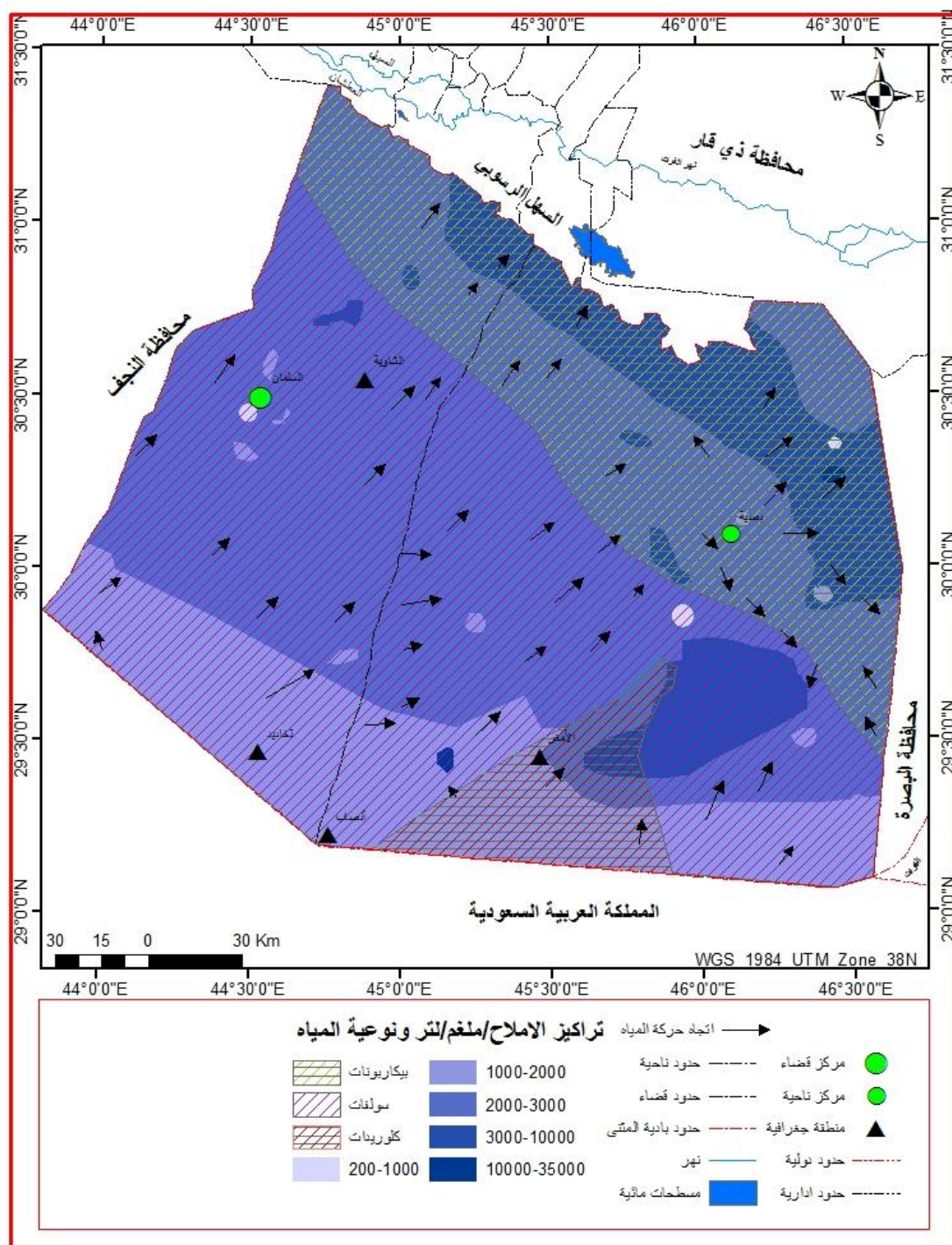
وتحتوي مياه منطقة الدراسة على عناصر البيكاربونات التي تتوزع في وسط وشرق البادية بمساحة ونسبة (14290.42) كم² - (31.31) %، فضلاً عن الكلوريدات بمساحة ونسبة (3025.84) كم² - (6.62) % على التوالي في الاقسام الجنوبية من بادية المثنى، وبلغت المساحة المشغولة للسلفات (28341.44) كم²، ونسبة (62.07) %، وهي اعلى مساحة مشغولة في بادية المثنى، يلاحظ جدول(6-7).

جدول(6-7) مساحات ونسب العناصر الكيميائية في المياه الجوفية في بادية المثنى

النسبة المئوية %	المساحة كم ²	العناصر
31.31	14290.42	بيكاربونات
6.62	3025.84	كلوريدات
62.07	28341.44	سلفات
100	45657.7	المجموع

المصدر: بالاعتماد على خريطة(4-6) وبرنامج Arc GIS 10.2.2

خريطة (4-6) اتجاه حركة وتركيز الاملاح ونوعية المياه الجوفية في بادية المثنى



المصادر: بالاعتماد على:

1-وزارة الصناعة والمعادن، الهيئة العامة للمسح الجيولوجي والتعدين، خريطة هيدروولوجية العراق ، بمقياس، 1:1000 000، بغداد ، 2013.

2-klimentove, pp., 1983, General Hydrology, mir.publ. Moscow (English Translation) pp.239

6-1-3-4-التوزيع المكاني للآبار والعيون المائية:

6-1-3-1-التوزيع المكاني للآبار: تعد الآبار هي المصدر الرئيس للتنمية الشاملة في منطقة الدراسة، فضلاً عن دورها الكبير في توسيع الغطاء الاخضر والمحافظة على التربة والتقليل من انجرافها، وتظهر العلاقة بين التوزيع المكاني للآبار والطبيعة الجيولوجية لمنطقة الدراسة، يلاحظ صورة(6-1)، فعند ملاحظة خريطة(6-5) تبين إن تركز الآبار وبكثافة عالية بموازة (فالق أبو جبر) حيث مصبات الوديان والترسبات الطينية المزيجية الصالحة للزراعة، وهذا ما تم ملاحظته في الخريطة الخاصة بـ (NDWI - NDVI)(5-3) و(5-4) و (5-5) في الفصل الخامس، إذ تركزت الاستثمارات الزراعية والصناعية في الاقسام الشمالية .

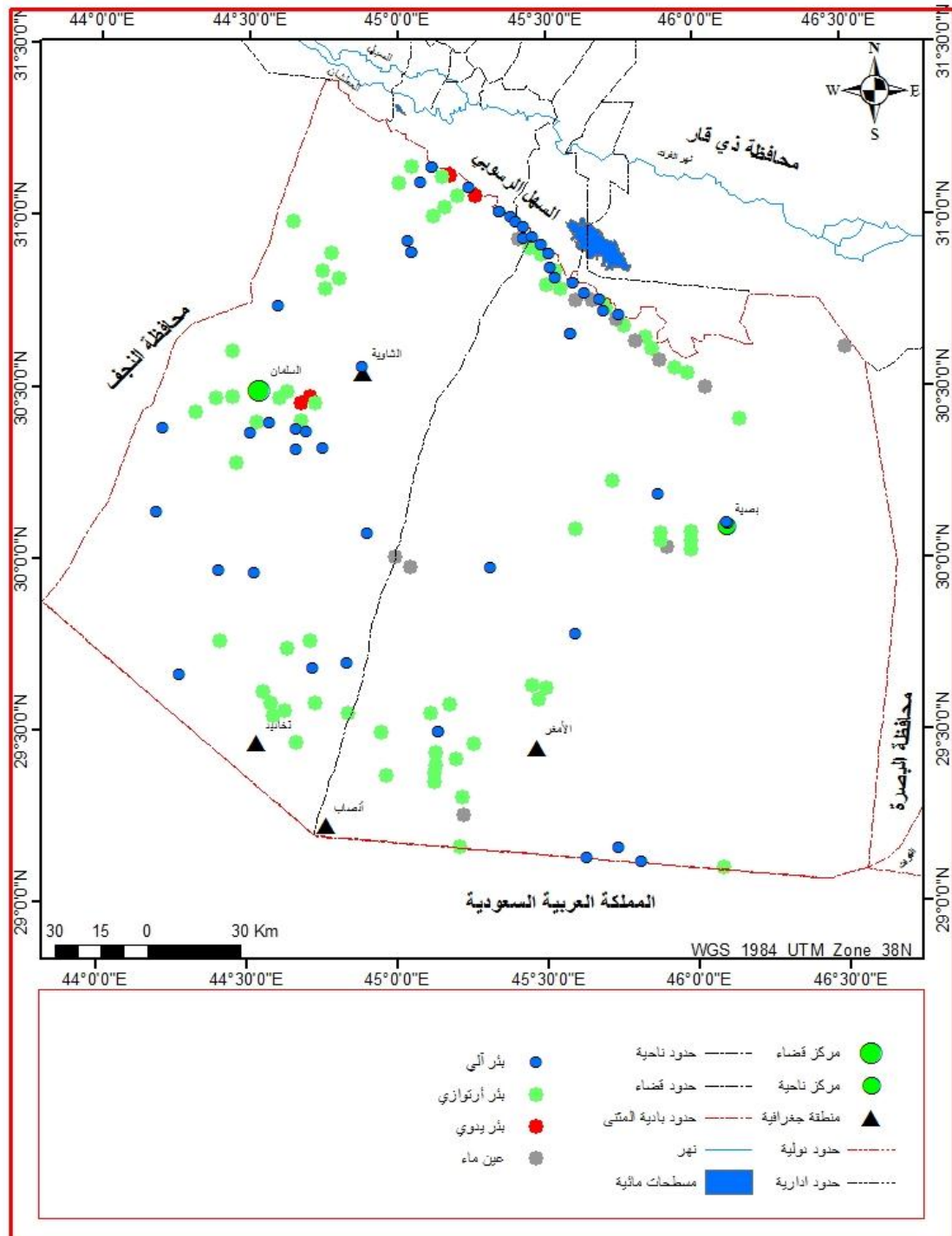
صورة(6-1) مناطق تم تهيئتها للزراعة اعتماداً على مياه الآبار بالقرب من (الدغير)



المصدر: الدراسة الميدانية بتاريخ(2022-1-21)

30° 46' 4.932" N 45° 32' 59.132" E

خريطة (5-6) التوزيع المكاني للآبار والعيون المائية



المصدر: بالاعتماد على:

1-وزارة الموارد المائية، مديرية الموارد المائية في المثنى، مديرية فرع المياه الجوفية في المثنى، بيانات غير منشورة ، 2022.

وتُقسم آبار بادية المثنى الى ثلاث أقسام وهي :الآبار الارتوازية(ذات التدفق الذاتي) والآبار الآلية التي تعتمد في انتاجيتها على المكنن، والآبار اليدوية التي تتوزع ضمن الاراضي

المنخفضة في نقرة السلمان، وتتراوح إنتاجية آبار منطقة الدراسة بين (8-25) لتر/ثا، ويبلغ عددها الكلي (1525) بئر⁽¹⁾.

6-1-3-4-2-التوزيع المكاني للعيون (الينابيع) المائية:

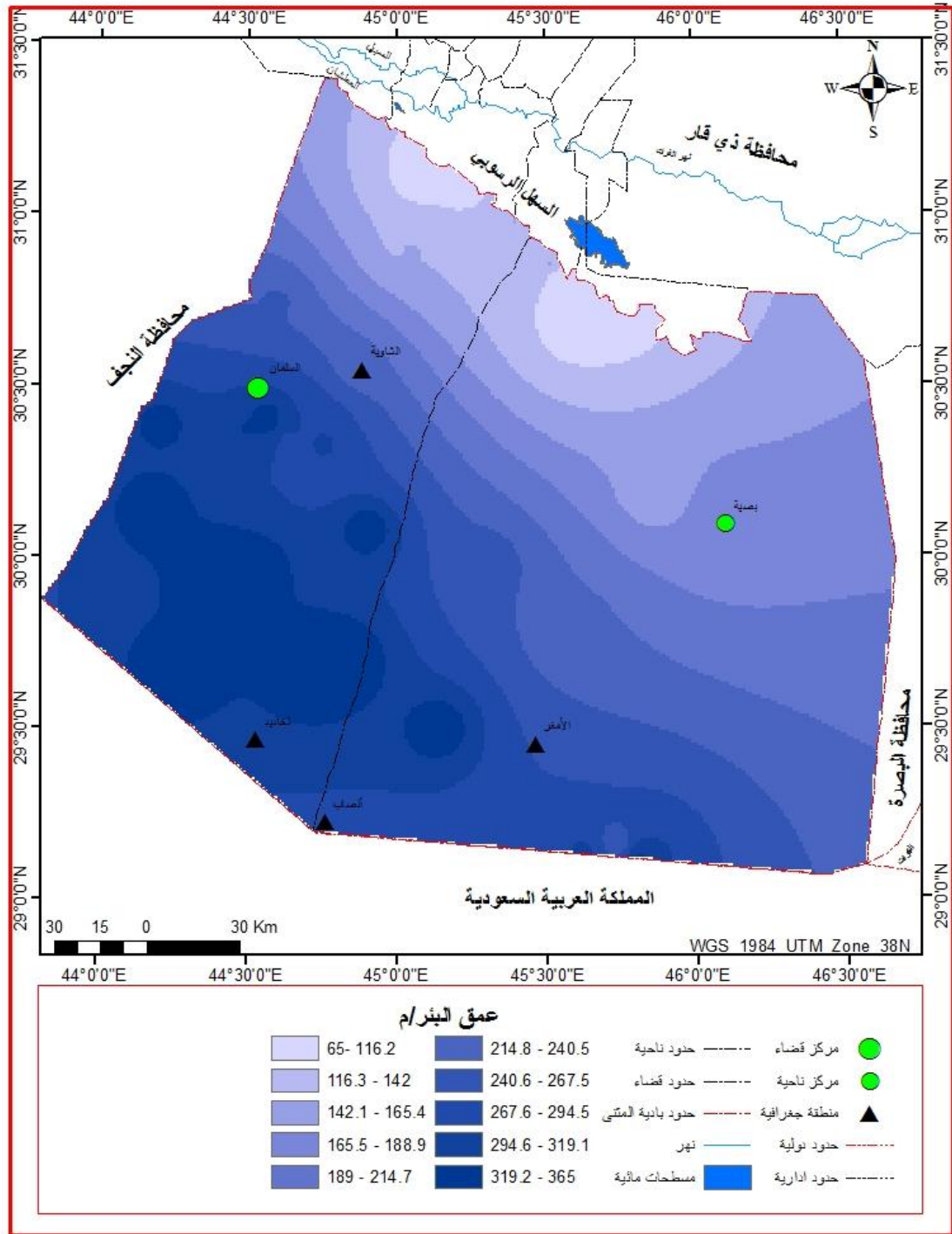
تتبع تلقائياً من خلال الشقوق والفواصل وتختلف اطوال المجاري المائية الناتجة عن هذا التدفق باختلاف كمية التصريف المائي لها، ويبلغ عددها (12) وتتراوح إنتاجيتها (7-3) لتر/ثا ، وتتركز هذه العيون في الحدود الشمالية التي تعد الحد الفاصل بين السهل الرسوبي ومنطقة الدراسة (صدع الفرات)، والظهرة و أم رملة، فضلاً عن بعض المناطق التي يقترب منسوب المياه من سطح الارض، وتتركز ايضاً العيون المائية إلى الجنوب من أم الخيلان ورجلة الضبعة وغدير صفاري وإلى الجنوب من الأمغر في الجريبيعيات غيرها من المناطق، وتعد عيون الوحشية والغضاري وآل بطاح وعساف وسيد محمد ومانع وصيد من اهم هذه العيون، يلاحظ خريطة (5-6).

6-1-3-4-3-اعماق الآبار في بادية المثنى:

تتأثر أعماق الآبار بالخصائص الجيولوجية والطوبوغرافية، وتتباين اعماقها بين (65.00-365.00)م، وتخفض في الأجزاء الشمالية وضمن تكوين الدببة ولاسيما في مناطق (الكصير، الدغير، أم بطة، الحسام، السلحوية، المزير، الثماد، أبو جلود) وغيرها من المناطق، وتتباين هذه الاعماق تبعاً لارتفاع السطح، وانسياب الوديان وتوجهها إلى المناطق المنخفضة لتغذية المياه الجوفية، وتزداد الآبار عمقاً كلما توجهنا جنوباً ضمن تكوين أرمضة لاسيما قرب الحدود العراقية مع المملكة العربية السعودية (الشريط الحدودي) في مناطق (الرواك، مجرون، العكراوي، الصبيان، الحكية، مديسيس، العيبة، عجلان) وغيرها، يلاحظ خريطة (6-6) وجدول (6-8)، ويرى الباحث إن هناك فرص لتوفر كميات غزيرة من المياه الجوفية في المناطق الجنوبية بسبب طبيعة سطح المنطقة الذي يتميز بوعورته ومن ثم احتجاز السيول لفترة اطول وتعزيز التسرب المائي في هذه المنطقة فضلاً عن دعم التدفق الارتوازي للأقسام الشمالية منه.

(¹) وزارة الموارد المائية ، الهيئة العامة للمياه الجوفية / محافظة المثنى ، قسم حفر الآبار ، بيانات غير منشورة ، 2022 .

خريطة (6-6) اعماق الآبار في بادية المثنى



المصدر: بالاعتماد على جدول (8-6)

جدول (6-8) مستويات اعماق الابار الارتوازية في بادية المثنى

النسبة %	المساحة/كم ²	مستوى العمق
5.049475	2305.474	10.32 - 82.76
9.111765	4160.222	82.76 - 100.86
13.6885	6249.856	100.86 - 116.56
19.07631	8709.804	116.56 - 129.84
18.14938	8286.587	129.84 - 143.12
19.4494	8880.149	143.12 - 157.60
8.201052	3744.412	157.60 - 173.30
5.327555	2432.439	173.30 - 193.82
1.735685	792.4737	193.82 - 234.86
0.210878	96.28185	234.86 - 318.16

المصدر: بالاعتماد على خريطة (6-6) وبرنامج Arc GIS10.2.2

ولمعرفة الامكانات المتاحة لاستثمار المياه الجوفية في المجالات الزراعية والمدنية والصناعية، ورسم خرائط التوزيعات المكانية للخصائص النوعية للمياه الجوفية، بالاعتماد على نتائج هذه التحليلات من خلال (Spatial Analysis Tools)، ينبغي معرفة الخصائص النوعية لمياه الآبار من خلال العينات التي جمعت في بادية المثنى والبالغه (52) عينة، يلاحظ جدول (6-9).

جدول (6-9) الخصائص النوعية لمياه الآبار في بادية المثنى

ت	y	X	العمق	الحرارة	Ec	TDS	Ph	Ca	Na	Mg	K	Cl	No ₃	So ₄	Hco ₃
1	31° 8' 38.299" N	45° 6' 57.200" E	70	20.8	1146.4	818.20	8	259	31	21	1.2	320	0.2	270	96
2	31° 5' 57.001" N	45° 4' 47.302" E	99	20.7	3330	2289	7.19	71	541	138	1.4	643	0.93	201	52
3	31° 5' 9.600" N	45° 14' 32.500" E	80	20.7	2860	1746	7.77	276	225	112	5	696	2	566	153
4	29° 8' 1.201" N	45° 37' 39.299" E	300	22.1	3500	2640	7.41	336	375	95	2	679	3	680	354
5	29° 9' 41.800" N	45° 44' 2.900" E	250	22.3	5230	3921	7.19	451	568	159	95	1059	3	1411	490
6	30° 59' 11.101" N	45° 24' 2.300" E	150	22.5	3640	2288	7.08	389	335	44	5.5	668	2.5	961	397
7	31° 0' 48.301" N	45° 20' 37.601" E	124	22.6	3610	2380	7.02	215	345	198	1.1	696	1.1	490	51
8	31° 8' 38.299" N	45° 6' 57.200" E	70	23.4	1760	1250	7.38	301	192	43	2	657	3	951	261
9	30° 53' 31.402" N	45° 30' 49.201" E	120	24.3	1188	801	7.08	93	410	50	4	580	1.3	712	162
10	30° 56' 25.699" N	45° 27' 26.100" E	140	24.3	1473	1008	7.66	308	73	67	8	496	0.4	600	455
11	30° 55' 2.701" N	45° 29' 6.202" E	133	24.3	4650	3223	7.5	190	510	123	4	530	1.1	614	480
12	29° 7' 19.200" N	45° 48' 39.701" E	320	24.6	6543	4602	7.43	217	92	121	4.7	493	0.7	807	492
13	30° 48' 28.390" N	45° 35' 40.548" E	80	24.7	7790	6000	7.5	102	998.1	0.2	30	470	2.3	653	322

								6					E	N	
238	1785.0	1	465	111.1	211	721	138	7.22	3929	5070	26.1	121	45° 20' 37.601" E	31° 0' 48.301" N	14
42	123.0	0.4	89.4	8	82	73	86	7.66	1008	1473	26.2	139	45° 25' 29.399" E	30° 58' 16.601" N	15
379	665	2.8	476	101	115	485	251	7.27	3273	4170	26.3	92	45° 34' 58.501" E	30° 39' 30.499" N	16
51	490	0.4	142	8	82	73	23	7.61	1008	1473	28	189	46° 6' 13.100" E	30° 6' 32.800" N	17
480	1180	2.1	456	44	87	591	67	7.27	1352	1989	28	159	46° 6' 33.199" E	30° 6' 14.101" N	18
42	395	1.2	651	6	149	720	110	7.17	3950	5550	28	98	45° 34' 58.501" E	30° 39' 30.499" N	19
822.9	1350	0.3	530	4	142	352	241	7.1	2800	4300	28.2	344	44° 54' 4.702" E	30° 4' 41.700" N	20
223	123	2.2	650	3.1	56	442	334	7.25	2852	4330	28.3	130	45° 2' 6.000" E	30° 55' 44.198" N	21
45	435	3	560	65	170	65	366	7.16	4048	5700	28.3	255	45° 18' 37.400" E	29° 58' 43.702" N	22
34.2	600	0.1	691	23	12	440	170	7.25	2309	3530	28.4	350	44° 16' 22.501" E	29° 40' 0.098" N	23
294	534	1.1	419	2.22	185	99	256	7.4	4665	6820	28.6	220	45° 35' 48.901" E	29° 47' 11.299" N	24
482	453	3.1	620	2.2	24	273	331	7.77	6000	7770	28.7	130	45° 2' 58.099" E	30° 53' 53.200" N	25
493	1237	3	475	91	159	87	300	7.36	2280	3232	28.7	66	45° 41' 5.302" E	30° 45' 32.900" N	26
270	1023	1.4	142	5	145	93	281	7.77	3250	4444	28.8	350	44° 31' 13.800" E	29° 57' 53.201" N	27

480	1269	2	321	5	245	460	95	7.1 7	3874	4570	28.8	99	45° 44' 47.800" E	30° 42' 44.302" N	28
78	452	0.5 5	542	111	138	412	319	7.1 8	1701	2323	29.1	350	44° 24' 0.601" E	29° 58' 8.198" N	29
460	1014	2	674	16	68	57	400	7.4	1900	2760	29.2	300	44° 45' 2.002" E	30° 19' 41.200" N	30
817	1584	0.2	809	4.23	145	98	112	7.2 5	1456	2342	29.3	65	45° 37' 59.652" E	30° 46' 33.325" N	31
89	230	4	88	22	33	85	262	7.7 1	1900	2670	29.6	276	44° 39' 30.499" E	30° 19' 26.501" N	32
392	430	4.2	470	4.4	110	350	120	7.8	2469	3770	29.6	135	45° 25' 42.389" E	30° 56' 16.494" N	33
516	1592	2.1	720	91	161	568	371	7.3 1	4140	5610	29.6	143	45° 52' 26.101" E	30° 11' 23.100" N	34
240	230	0.2 5	661	1.3	22	87	48	7.1 7	2301	3455	29.7	145	45° 2' 58.099" E	30° 53' 53.200" N	35
45	514	0.1 1	621	3.33	20	65	82	7.2	2299	3344	29.7	144	45° 30' 56.721" E	30° 51' 7.769" N	36
358	1080	7.4	668	7.1	159	383	214	7.1 9	3130	4430	29.8	333	45° 8' 16.001" E	29° 30' 0.299" N	37
48	321	0.5	650	6.4	25	540	564.9	7.3 5	1750	2866	29.8	340	45° 8' 16.001" E	29° 30' 0.299" N	38
50	1264	2.1 1	500	5.4	45	467	296	7.3 5	2160	3220	29.9	289	44° 41' 33.400" E	30° 22' 30.601" N	39
122	543	2.1	429	3	170	85	195	7.2 3	6445	9284. 0	29.9	348	44° 11' 38.800" E	30° 8' 17.801" N	40
122	600	1.1	400	43	100	45	91	7.7 7	3220	4970	29.9	144	45° 20' 37.601" E	31° 0' 48.301" N	41
98	567	0.6	89	88	67	95	281	7.0	1010	1477	30.1	321	44° 30' 23.000"	30° 22' 18.800"	42

الفصل السادس.....الموارد المائية في بادية المثنى ودورها في التنمية المستدامة

								2					E	N	
51	490	3	142	110.1	181	592	102	7.66	4210	5570	30.1	121	45° 22' 55.700" E	30° 59' 54.802" N	43
500	1550	0.24	880	9.4	115	35.8	191	7.77	3870	4560	30.2	300	44° 39' 39.499" E	30° 22' 48.202" N	44
460	1050	2.1	635	6.1	108	65	215	7.43	2930	4020	30.2	111	45° 32' 3.199" E	30° 49' 11.100" N	45
549	1413	8.3	681	11	244.8	779	338	7.22	6836.31	8600	31	350	44° 50' 2.000" E	29° 42' 9.299" N	46
423	306	1.4	660	3.5	85	98	75	7.4	810	1136	31	365	44° 43' 8.101" E	29° 41' 8.401" N	47
459	1150	3	1073.8	4	82	350	232	7.2	2290	3680	31.1	90	45° 41' 39.583" E	30° 43' 32.841" N	48
72	139	4	639	80	177	808	43	7.66	3889	5140	31.6	221	44° 52' 51.701" E	30° 33' 46.199" N	49
100	504	2.1	99	9	141	780	46	7.02	1437	2180	31.7	332	44° 12' 41.000" E	30° 22' 59.200" N	50
34	1123	3.1	666	25	211	441	98	7.66	4448	5880	33.5	243	44° 35' 54.398" E	30° 44' 32.399" N	51
481	1179	16.30	530	12.9	46	345	114	8.20	2800	4190	34.96	343	44° 34' 12.202" E	30° 23' 56.900" N	52
282.86	766.53	2.24	538.07	25.41	109.40	332.69	212.76	7.40	2853.86	3997.42	27.96				

المصادر: بالاعتماد على :

1-وزارة الموارد المائية، الهيئة العامة للمياه الجوفية، فرع الهيئة العامة للمياه الجوفية في المثنى، 2022.

2-الدراسة الميدانية في تاريخ (2022/2/25) و(2022-1-21) و(2022/3/1) و (2022/10/11).

ومن هذه الخصائص:

6-1-3-4- الخواص الفيزيائية لنماذج المياه الجوفية في بادية المثني Physical

Properties:

1-درجة الحرارة:Temperature

تتأثر درجة الحرارة بازدياد العمق وبشكل طردي بمقدار (2.9)م° لكل (100)م ، فضلاً عن دور التفاعلات الكيميائية والاحتكاك وتأثير العناصر المشعة⁽¹⁾، وتتنحصر قيم درجات الحرارة الآبار بين (20.71-34.96)م° أي انها ضمن المياه الدافئة نسبياً، وبمعدل (27.69) م°، ومن خلال خريطة (6-7) يمكن ملاحظة ارتفاع درجات الحرارة في الآبار العميقة بالقرب من مناطق (السعادة، عجلان، الدغير، الخديات ، أم قطع، الشاهوب) كما ان ارتفاع درجات الحرارة للمياه الجوفية يبدأ من الشرق باتجاه الغرب، بمعنى ان المياه الجوفية ضمن تكوين الدمام تشهد ارتفاع ملحوظ في درجات الحرارة من (30-34)م°، ويمكن تفسير ذلك إلى طبيعة التفاعلات الكيميائية وطبيعة العناصر الكيميائية لهذه المياه فضلاً عن طبيعة الصخور الجيرية القابلة للذوبان والمسامية التي تحدث اثناء علمية التكيف والنفاذية العالية في تلك المناطق.

2-اللون والطعم والرائحة:

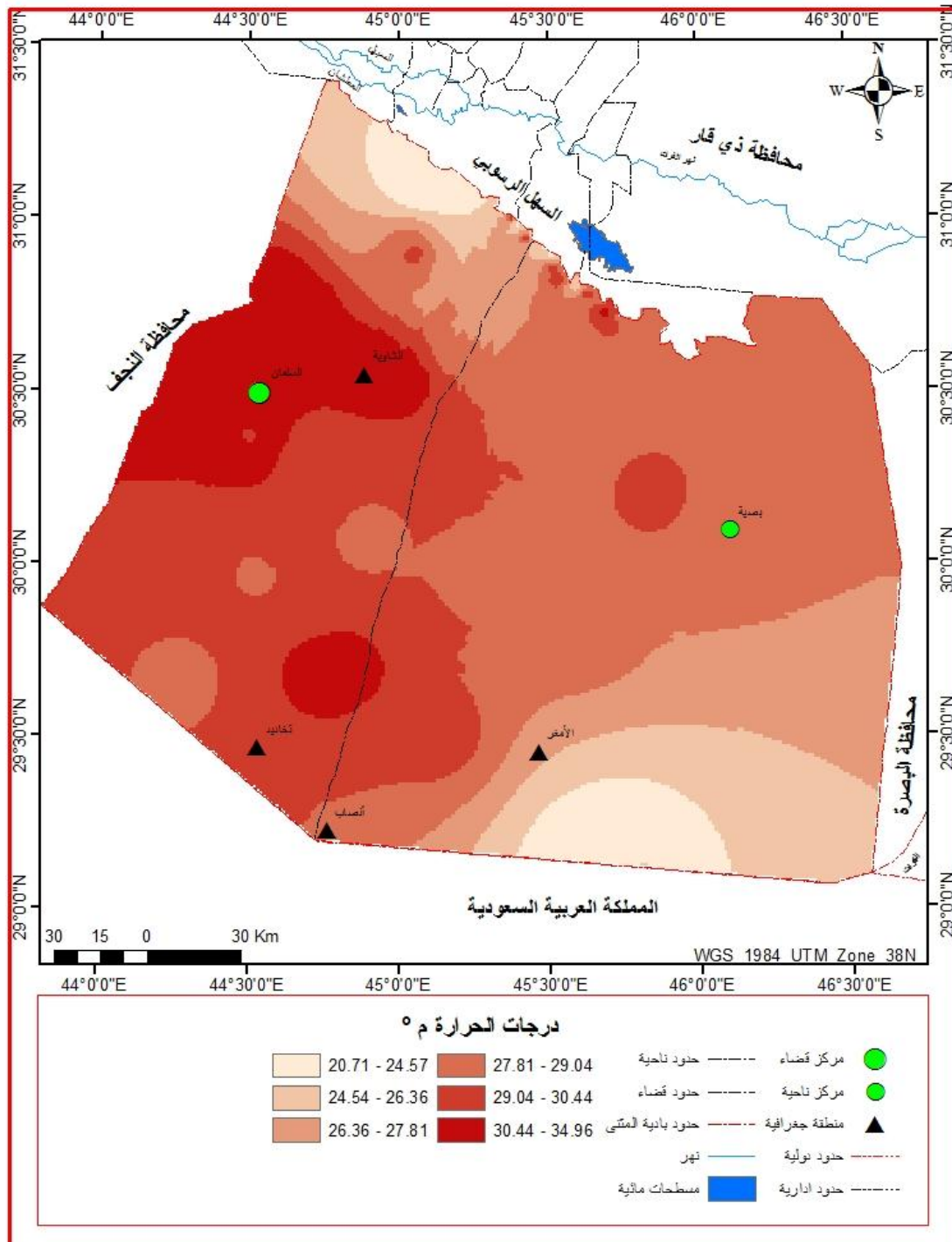
يرتبط لون المياه بوجود المواد العضوية او المعدنية، اما الطعم والرائحة فتكون بسبب الفطريات والمواد المتفسخة والمعدنية⁽²⁾، وتتميز مياه الآبار والعيون في بادية المثني بانعدام اللون بسبب طبيعة التكوينات الحاوية لها(الصخور الكلسية)، أما الطعم فهو مالح يميل إلى المُرورة بسبب ارتفاع تركيز كبريتات الصوديوم، اما الرائحة فتتسم بكونها خفيفة بسبب استخدام الاسمدة العضوية والمبيدات والترشيح التدريجي إلى الخزانات الجوفية في تلك المواقع⁽³⁾.

(1) تحسين عبد الرحيم عزيز، التباين المكاني لمياه الينابيع في محافظة السلبيمانية، أطروحة دكتوراه ، غير منشورة، كلية التربية، الجامعة المستنصرية، 2007، ص162-163.

(2) خليفة عبد الحافظ درادكة، المياه السطحية وهيدرولوجيا المياه الجوفية، ط1، دار حنين للنشر، عمان، الاردن، 2006، ص477.

(3) سيف مجيد حسين الخفاجي، المياه الجوفية وإمكانية استثمارها في منطقة الرحاب-محافظة المثني، رسالة ماجستير، غير منشورة، كلية الآداب، جامعة الكوفة، 2016، ص102.

خريطة (6-7) التوزيع المكاني لقيم درجات الحرارة لعينات الآبار في بادية المثنى



المصادر : بالاعتماد على جدول (6-9).

3- التوصيلة الكهربائية:(EC): يعبر عنها بقابلية (1)سم³ على توصيل الكهربائية عند درجة حرارة مقدارها (25)م°، وعلاقتها طردية مع زيادة درجة حرارة الماء والمواد الصلبة (T D S) (1)، وتتراوح قيمتها في مياه الأمطار (2-100) ميكروموز/سم وفي مياه البحر يمكن ان تصل الى اكثر من (50000) ميكروموز /سم وفي المياه الجوفية تتراوح نسبتهما بين(50-50000) ميكروموز/سم، وتعد الايونات التي تمتلك تأثيراً رئيساً في الـ(EC) هي (H، Na، K، Ca، Mg، Cl، SO₄، HCO₃) (2)، من خلال ملاحظة خريطة(6-8) والجدول(6-9) تبين إن معدل (EC) (3997.42) ميكروموز /سم، وتباين التوزيع المكاني لفئات التوصيلة الكهربائية، (3954.7-1146.4) ميكروموز /سم في (بصية، الشاهوب، تخايد، الرواك، الحرجية، رجلة، الساعة، الشفلحية، هداية، السلطان، الحسام، السلحوية، المزير، نفعات، أم بر، الثماد، أبو جلود)، وتعد ادنى قيم لها في منطقة الدراسة، أما المناطق التي شهدت ارتفاع في هذه النسبة فتتمثلت في (الشيخات، الغيسم، خشم المجدر، أبو الجد، لية، لويحظ، أم الخيلان، الخديات، أم القطع، الغرابي، أم حليب، غدير الصفاوي، رجلة الضبعة، الزفراوية) وغيرها من المناطق، وتراوحت هذه القيم ما بين(9284.2-4497.2) ميكروموز /سم، ويمكن تفسير سبب ارتفاع هذه القيم إلى زيادة تراكيز الأيونات السالبة وطبيعة التراكيب الصخرية والتكوينات الجيولوجية التي تسمح بتسرب المياه إلى الخزانات الجوفية بما تحتويه من املاح وتفاعل الصخور مع هذه المياه، فضلاً عن ان مصادر التغذية المائية تنحصر بالأمطار والسيول في الموسم المطير التي تتميز بشحنتها.

4-الاملاح الذائبة: Total Dissolved Solid:(T D S)

تعتمد هذه النسبة على نوع الصخور الملامسة والفترة الزمنية، وتمثل مجموع المواد الصلبة الذائبة في المحلول، ويعبر عنها بوحدة القياس ملغرام/لتر (ppm)(mg/L) (3)، ويتباين توزيع الاملاح بحسب التركيب الجيولوجي وطوبوغرافية السطح، ولمعدن الجبس الذي يلامس المياه الجوفية دور في رفع نسبة هذه الاملاح، فضلاً عن التباين في التغذية المتأثرة بحركة المياه

(1) شوان عثمان حسين، الخصائص النوعية للمياه الجوفية باستخدام نظم المعلومات الجغرافية GIS، ط1، دار

غيدان للنشر والتوزيع، الاردن، 2010، ص121.

(2) Radajevic M. and Bashkin, V. N, Practical Enviromental Analysis, The Royal Society of Chemistry, 2006, p469.

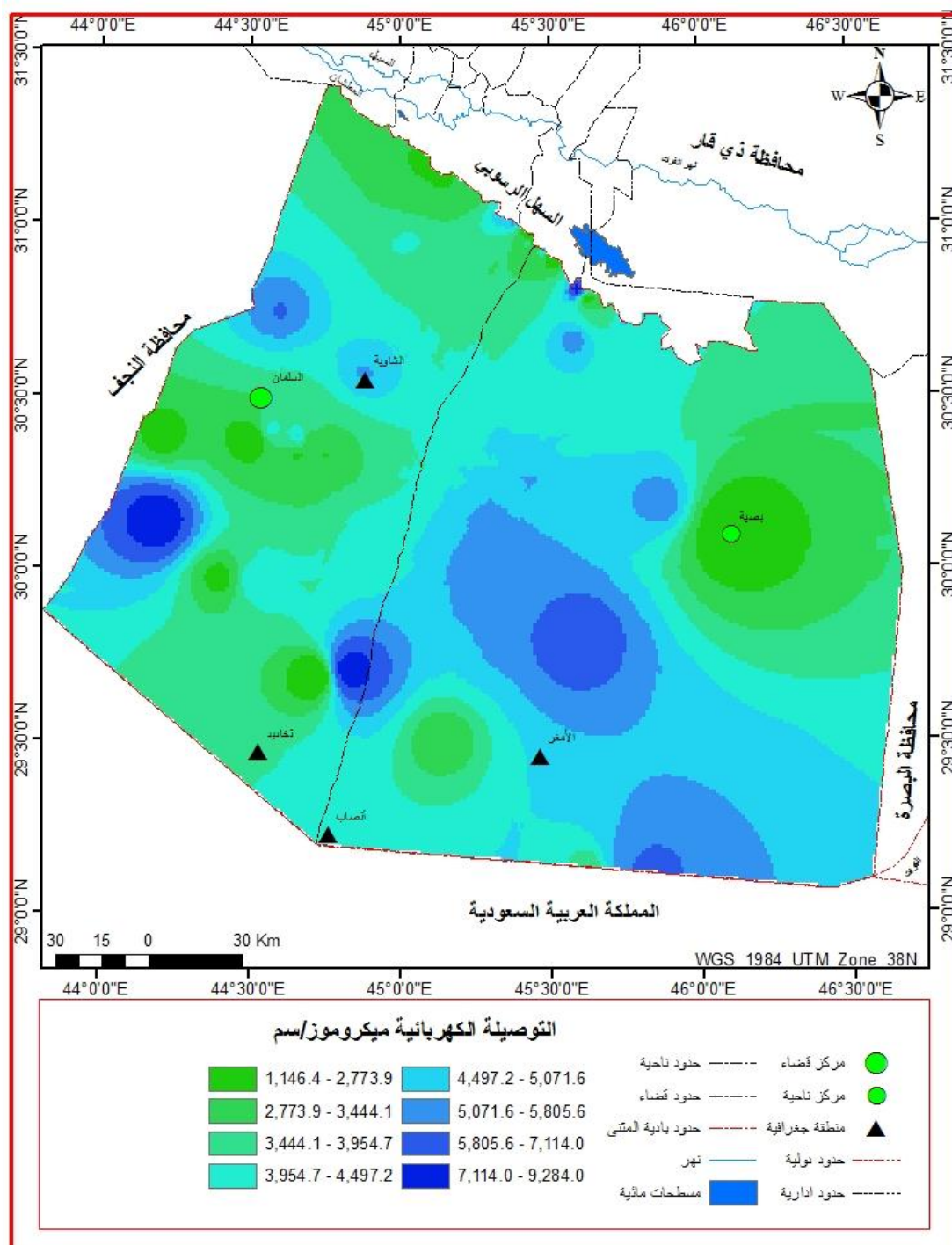
(3) Radajevic M. and Bashkin, V. N, Practical Enviromental Analysis, same source, p469.

الجوفية تؤدي إلى تغيرات في نسب الاملاح⁽¹⁾، ومن خلال ملاحظة خريطة (6-9) والجدول (9-6) يتضح إن هناك تقارب في اتجاهات التوزيع المكاني للأحلال الذائبة مع التوزيع المكاني للتوصيلة الكهربائية.

بلغ معدل (T D S) (2853.86) ملغرام/لتر، وتباين التوزيع المكاني لفئات الاحلال الذائبة، (818.20-3249.05) ملغرام/لتر في مناطق (بصية، أم حجل، الابطية، صالح، الوكر، أبو حياس، رجلة الضبعة، أم الخيلان، لويحظ، البويب، محجل، محفيرة، الأمغر، كراع، مشكك، الحفاير، جليب، الرمدة، كويني، نهيلان، أنصاب، الحكية، الصبيان، مديسيس، عجلان، الرغلة، الساعة، الشفلحية، هدانية، السلطان، الحسام) وغيرها من المناطق، وتعد ادنى قيم لها في منطقة الدراسة، أما المناطق التي شهدت ارتفاع في هذه النسبة فتتمثلت في مناطق (الشاهوب، الحريجة، غدير الصفاوي، أم ضليعي، الدغير، الشاوية، الداريات) وغيرها من المناطق، وتراوحت هذه القيم ما بين (3249.05-6836.31) ملغرام/لتر.

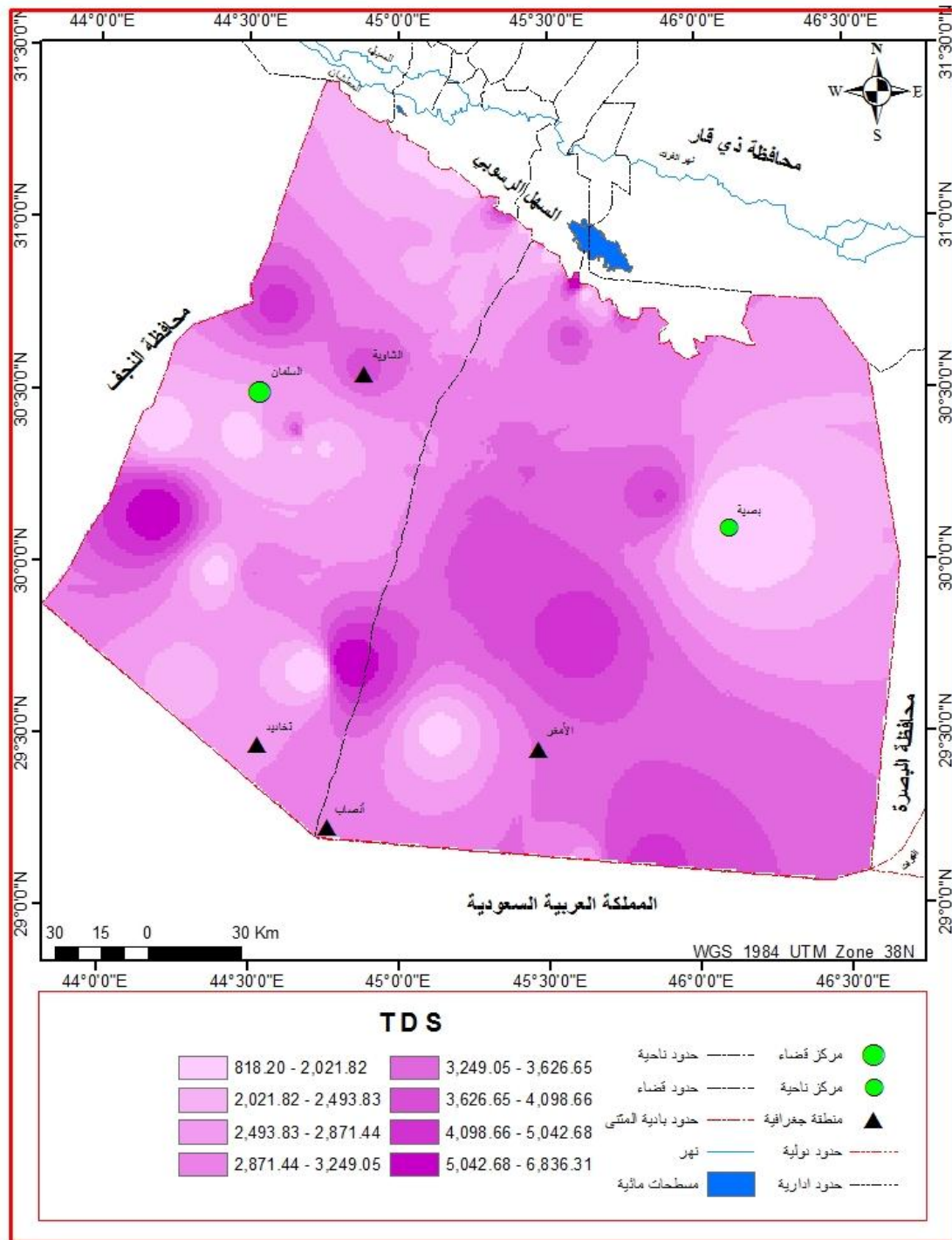
(1) سندس محمد علوان الزبيدي ، المياه الجوفية في قضاء المحمودية وسبل استثمارها،رسالة ماجستير ، غير منشورة، كلية التربية للبنات ، جامعة بغداد، 2011، ص 81 .

خريطة (6-8) التوزيع المكاني للتوصيلة الكهربائية في بادية المثنى



المصدر: بالاعتماد على جدول (6-9)

خريطة (6-9) التوزيع المكاني لقيم TDS في بادية المثنى



المصدر: بالاعتماد على جدول (6-9)

5-الأس الهيدروجيني(pH): Power of hydrogen

يعد مقياس لدرجة الحمضية والقاعدية وهو القيمة السالبة للوغاريتم تركيز أيون الهيدروجين الموجب في الماء، وتعد القيمة (7) اشد حالات التعادل وهي الحد الفاصل بين القاعدية والحمضية، فكلما زادت هذه القيمة كان التوجه قاعدي والعكس يكون الاتجاه حامضي⁽¹⁾، ويتأثر تركيز الأس الهيدروجيني أو درجة التفاعل (pH) بعدة عوامل، منها مياه الأمطار والسيول التي تذيب الملوثات الطبيعية ونوعية الصخور الحاضنة، فضلاً عن استخدام الاسمدة والمبيدات ضمن الفعاليات الزراعية ومخلفات المصانع.

بلغ معدل (pH) (7.40) ، وتراوحت فئات الأس الهيدروجيني في منطقة الدراسة بين (-7.0- 8.2)، يلاحظ جدول (6-9)، ويمكن ملاحظة ارتفاعها في (الشاوية ،السلمان ،الصبيان)، في حين تراوحت بقية المناطق ما بين(7.6-7.0)، يلاحظ خريطة(6-10)، وتبين من خلال ذلك عدم وجود فروق بين قيم الأس الهيدروجيني، وإن اغلب مواقع الآبار في منطقة الدراسة تميل إلى القاعدية بين (7.3-7.4)، والسبب في ذلك قلة النشاط الصناعي ومن ثم قلة الملوثات الناتجة عنه.

6-1-3-4-5-الخواص الكيميائية لنماذج المياه الجوفية في بادية المثنى

6-1-3-4-5-أيونات الكاتيون الرئيسية: Cation Major Ion: تضم مجموعة من الأيونات:

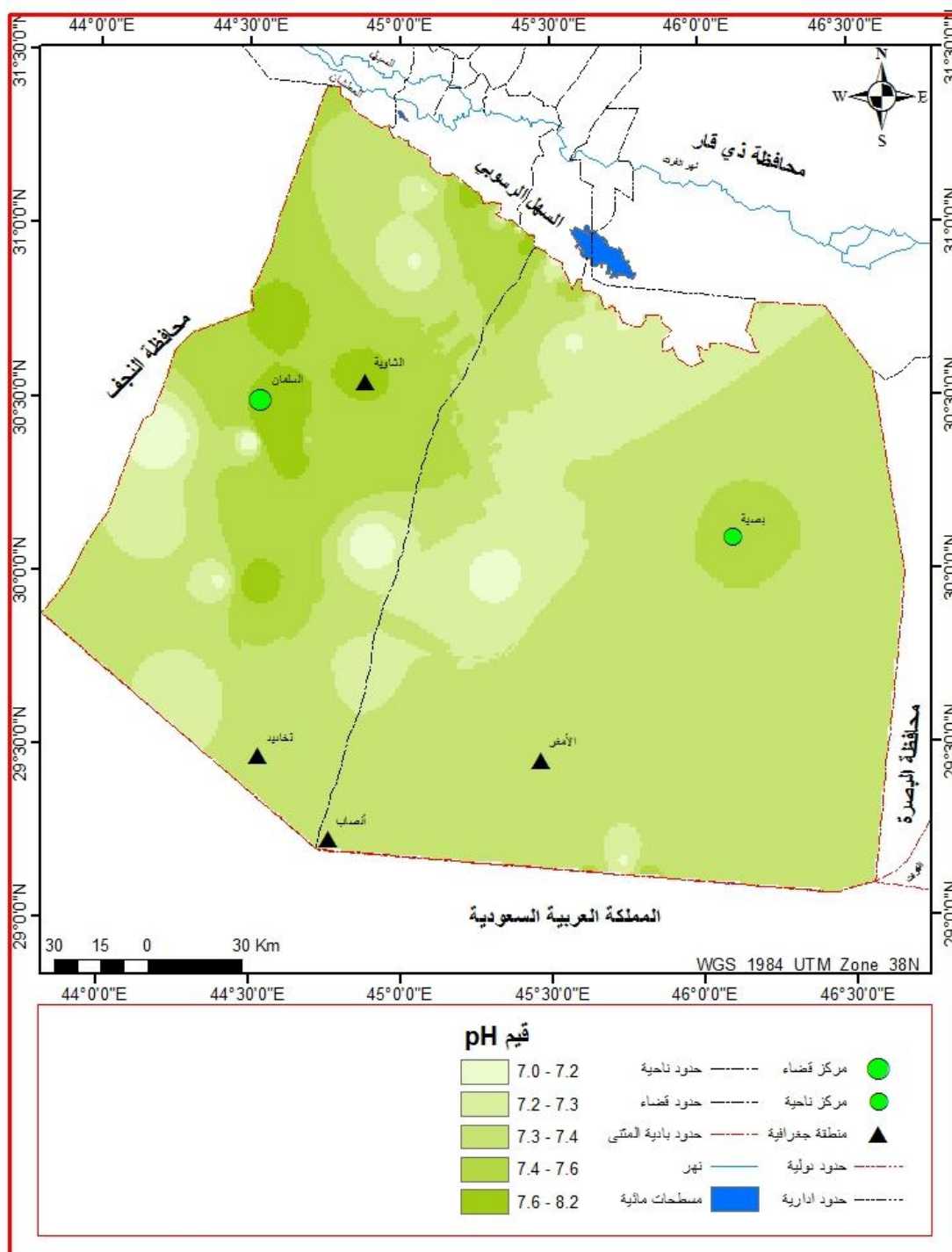
1-أيون الكالسيوم Ca^{2+} : ينتج هذا الأيون عن التجوية الكيميائية للصخور الرسوبية الكربونية، ويتواجد بنسب مختلفة في الصخور النارية والمتحولة، ويصل تركيزه في مياه الأمطار حوالي(80) مايكرو ملغم/لتر، وفي الانهار والمياه الجوفية إلى(50.15) ملغم/لتر على التوالي، وهو مسؤول عن تكون العسرة بشكل مؤقت في المياه نتيجة اتحاده مع البيكاربونات وتكوين بيكاربونات الكالسيوم، ويمتاز بسرعة تفاعله مع الماء وتكوين اوكسيد الكالسيوم⁽²⁾، ويتواجد في المعادن غير السيلكاتية والمعادن السيلكاتية ، وتزداد كميته في الماء بزيادة الضغط والحرارة⁽³⁾.

(1) Langmuir, D., Aqueous Environmental Geochemistry. Prentice Hall, USA ,1997, p600.

(2) شوان عثمان حسين ، الخصائص النوعية للمياه الجوفية باستخدام نظم المعلومات، مصدر سابق ، ص . 128.

(3) خليفة عبد الحافظ درادكة، المياه السطحية وهيدرولوجيا المياه الجوفية، مصدر سابق، ص487.

خريطة (6-10) التوزيع المكاني لقيم الأس الهيدروجيني (pH)



المصدر: بالاعتماد على جدول (6-9)

بلغ معدل (Ca^{2+}) (212.76) ملغم / لتر، وتراوحته فئاته بين (23.7-564.9)، ويمكن ملاحظة ارتفاعها في المنطقة المحصورة بين (الأمغر، أنصاب) (450.3-564.9) ملغم / لتر، في حين انخفضت ما بين (23.7-272.0) ملغم / لتر في مناطق (بصية، صالح، الابطية، أم حبول، أبو حياس، الوكر، خنكة، سديد، النخيل، الكصير، الغنامي، حمدة، أبو فجاجين، أم العكف، أم ضلعين، الغير، أم بطة، أم ضليعي، التويثة، الشاوية، السلطان، الداريات، نفعات، الزفراوية، أبو نفيلة، الحكية، أم مجرون) وغيرها من المناطق، يلاحظ خريطة (6-11) وجدول (6-9)، ويمكن تفسير سبب ارتفاع نسبة هذا الايون في الاقسام الجنوبية إلى وجود معدن الجبس في الطبقات تحت السطحية في الصخور الحاوية للمياه الجوفية فتزداد عملية الازابة، ويعد ذلك دليل لتواجد هذا المعدن والذي يمكن الاستفادة منه في المستقبل في انتاج المواد الانشائية.

2-أيون الصوديوم Na^{+} Sodium: تعد المعادن الطينية ومعدن (الهالايت) الموجود ضمن رسوبيات تكوين الدمام الاسفل والفرات والزمن الرباعي هي المصدر الرئيس لهذا الايون⁽¹⁾، ويؤثر هذا الايون بشكل سلبي على المياه ويحول التربة الى تربة قلوية ويقلل من نفاذيتها، ولا توجد مخاطر صحية في مياه الشرب الحاوية عليه⁽²⁾، وتعد الفعاليات البشرية مصدراً لزيادة تراكيز هذا الايون سواء في الاحتياجات المنزلية او الزراعية، وتصل نسبته في مياه الامطار إلى (1978) مايكروغرام/لتر ، ومياه الانهار والمياه الجوفية بنسبة (6.3-30) ملغم/لتر على التوالي⁽³⁾.

بلغ معدل (Na^{+}) (212.76) ملغم / لتر، وتراوحته فئات أيون الصوديوم (Na^{+}) بين (-35.8 998.1)، ويمكن ملاحظة ارتفاعها في المنطقة المحصورة بين (الأمغر وتخايد) وجنوب غرب السلطان وغرب بصية بين (375.4-998.1) ملغم / لتر، في حين انخفضت في بقية المناطق .

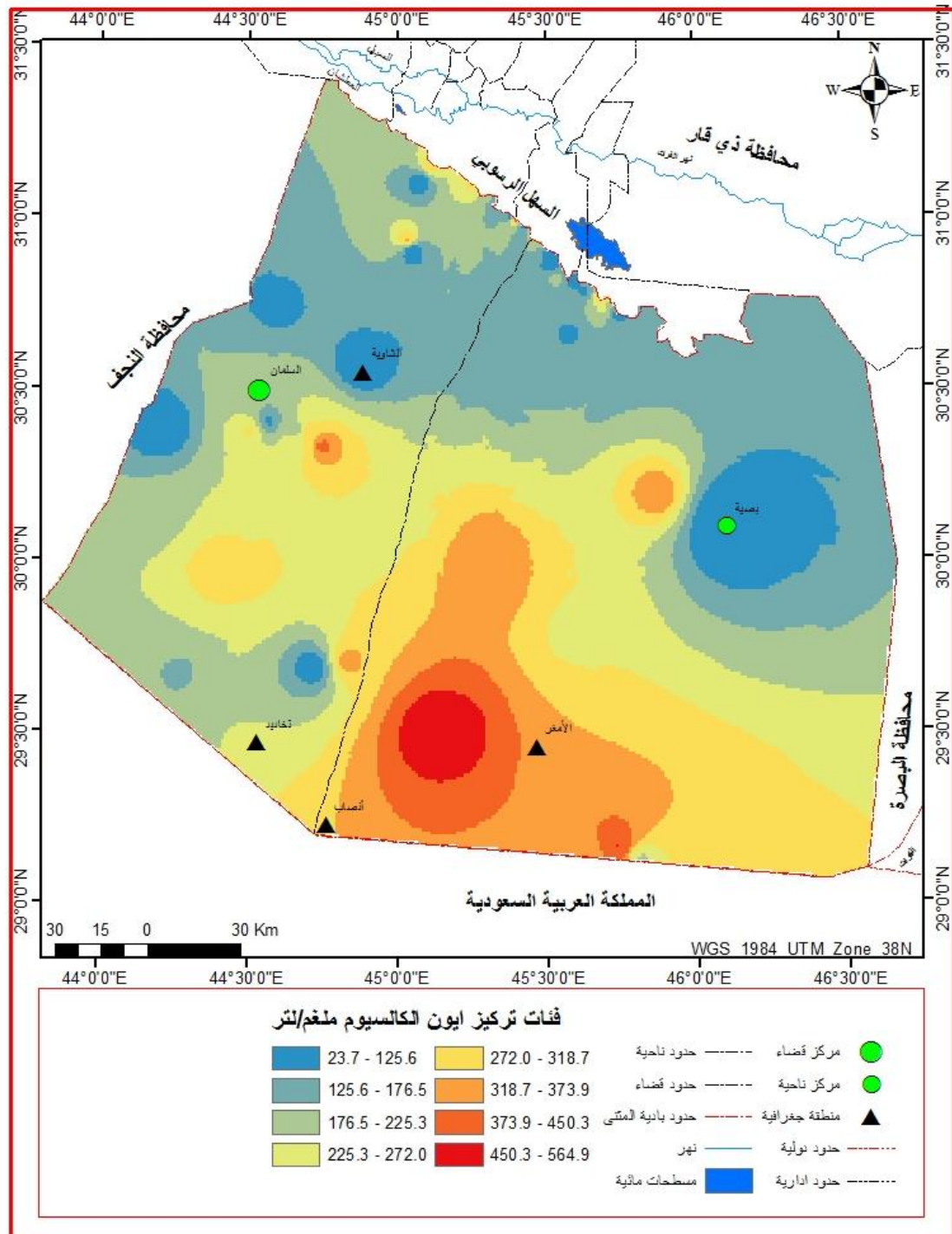
يلاحظ خريطة (6-12) وجدول (6-9)، ويمكن تفسير سبب ارتفاع نسبة هذا الايون في بعض الاقسام إلى وجود المعادن الطينية ومعدن (الهالايت) ضمن رسوبيات التكوينات الجيولوجية في الدمام الاسفل والفرات والزمن الرباعي.

(1) يحيى عباس حسين، الينابيع المائية بين كبيسة والسماعة واستثماراتها، أطروحة دكتوراه، غير منشورة، كلية الآداب، جامعة بغداد، 1989، ص156.

(2) عبد القادر عايد وآخرون، اساسيات علم البيئة، ط1، 2002، ص197.

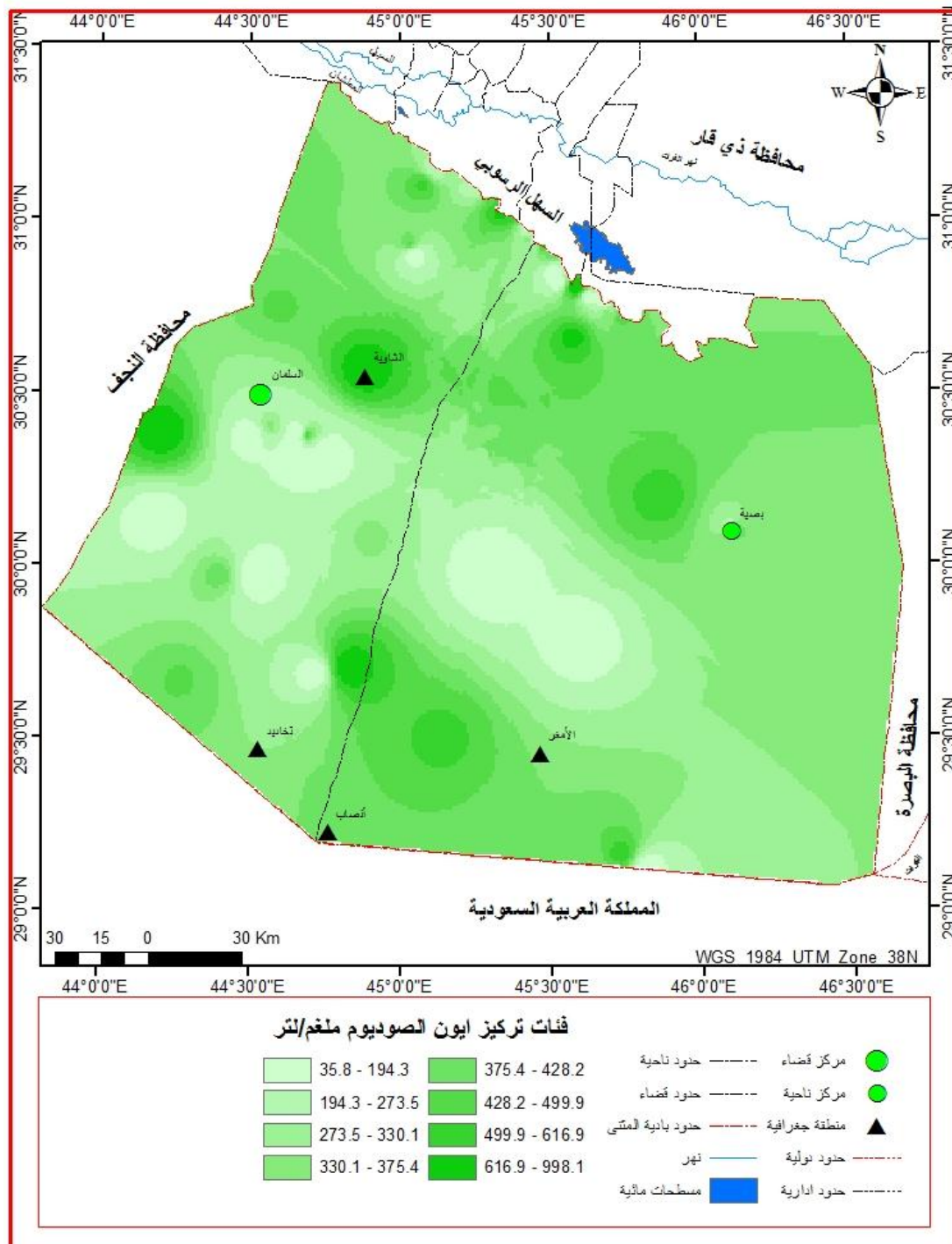
(3) عباس فالح حسن محمد، التحليل المكاني للمياه الجوفية في محافظة بابل واستثماراتها، رسالة ماجستير، غير منشورة، كلية التربية، ابن رشد، جامعة بغداد، 2017، ص107.

خريطة (6-11) التوزيع المكاني لفئات تركيز ايون الكالسيوم ملغم/لتر



المصدر: بالاعتماد على جدول (6-9)

خريطة (6-12) التوزيع المكاني لفئات تركيز ايون الصوديوم ملغم/لتر



المصدر: بالاعتماد على جدول (6-9)

3-أيون المغنسيوم Mg^{+2} : تعد الصخور الرسوبية لا سيما الدولمايت والحجر الجيري المصدر الرئيس لهذا الايون، وهو ضروري لنمو المادة الخضراء في النباتات، وزيادة تركيزه عن (125) ملغم/لتر في مياه الشرب يعد ضاراً لصحة الانسان، ولهذا الايون دور في تقليل اضرار زيادة تركيز ايون الصوديوم⁽¹⁾، وغاز (CO₂) المذاب في مياه الامطار دور في اذابة أيون المغنسيوم ورفع تركيزه في المياه الجوفية⁽²⁾، وتصل نسبة تركيزه في مياه الامطار إلى (288) مايكرو غرام/لتر، وفي مياه الانهار والمياه الجوفية (4.1-7) ملغم/لتر على التوالي⁽³⁾.

بلغ معدل (Mg^{+2}) (109.40) ملغم / لتر، وتراوحت فئات أيون المغنسيوم (Mg^{+2}) بين (-0.2-244.8)، ويمكن ملاحظة ارتفاعها في المنطقة المحصورة بين مناطق (رجلة الضبعة، الحريجة، عادن، الشاوية، الحويمي، الزفراوية، ابو نقيطة) بين (119.2-244.8) ملغم / لتر، فضلاً عن مناطق اخرى، في حين انخفضت ما بين (0.2-119.2) ملغم / لتر في مناطق (بصية، مشكك، الشاهوب، كراع، الحفاير، الرمدة، جليب، سديد، كويني، نهيلان، أم مجرون، العكراوي، البطن، الشفاحية، الساعة، رجلة، الشيخة، السلحوبية، الديب) وغيرها من المناطق، يلاحظ خريطة (-13 6) وجدول (6-9)، ويمكن تفسير سبب تركيز ارتفاع نسبة هذا الايون في الاقسام الوسطى إلى نوعية الصخور في تلك الاقسام (الدولمايت والحجر الجيري) إذ يعمل غاز (CO₂) الموجود في مياه الامطار على اذابة المغنسيوم وزيادة تراكيزه في المياه الجوفية عن طريق المياه المترشحة.

4-البوتاسيوم (K^{+}): تعد (الاورثوكلس، المايكا، السلفايت وصخور المتبخرات) والصخور السلكية (الفلسبار والمايكروكلين) فضلاً عن الصخور الرسوبية الحاوية على المعادن الطينية وصخور المتبخرات التي تحوي على معدن الكبريت من اهم مصادره، ويقترن وجوده مع ايون الصوديوم لكن تركيزه في المياه الطبيعية اقل من تركيز ايون الصوديوم، بسبب استقراره تجاه عوامل التجوية المختلفة، فضلاً عن سهولة امتصاص ايون البوتاسيوم من قبل المعادن الطينية، ويعد هذا الايون الاقل شيوعاً في مياه الطبيعة⁽⁴⁾.

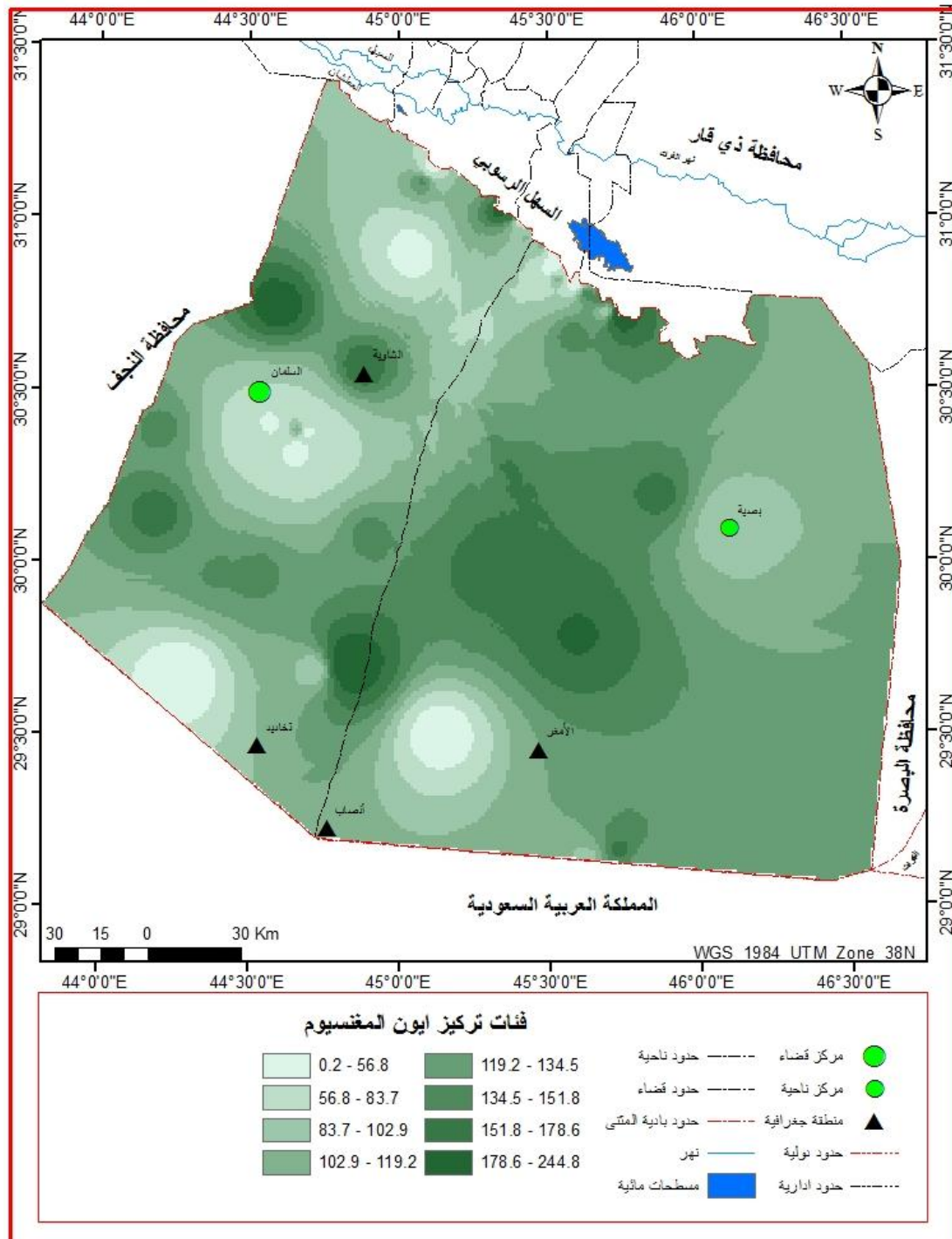
(1) خليفة عبد الحافظ درداكة، المياه السطحية وهيدرولوجية المياه الجوفية، مصدر سابق، 403.

(2) صفاء جاسم محمد و رافد موسى عبد وآخرون، النمذجة المكانية للخصائص النوعية للمياه الجوفية في بادية محافظة المثنى باستخدام نظم المعلومات الجغرافية، مجلة مداد الآداب، 2019 ص130.

(3) دعاء محمد طعمة بطان، التحليل الهيدرولوجي لتقييم نوعية المياه الجوفية لناحية الرحالية في محافظة الأنبار، رسالة ماجستير (غير منشورة)، كلية التربية الأساسية، الجامعة المستنصرية، 2021، 130.

(4) AL-Hamdani, J.A., Khorsheed, S.A., Nief, A.J. and Wely, H.A., op.cit, p135.

خريطة (6-13) التوزيع المكاني لفئات تركيز ايون المغنسيوم ملغم/لتر



المصدر: بالاعتماد على جدول (6-9)

وتصل نسبة تركيزه في مياه الامطار إلى (312) مايكرو غرام/لتر، وفي مياه الانهار والمياه الجوفية (2.3-3) ملغم/لتر على التوالي⁽¹⁾.

بلغ معدل (K^+) (25.41) ملغم / لتر، وتراوحت فئات أيون البوتاسيوم (K^+) بين (1.2-111.1)، ويمكن ملاحظة ارتفاعها في المنطقة المحصورة بين مناطق (خنكة، ارضيمة، أم خيلان، الشاوية، الشفلحية، الساعة، رجلة، العكراوي، حكي القصص، جريبيعيات) ما بين (40.1-111.1) ملغم / لتر، فضلاً عن مناطق أخرى، في حين انخفضت ما بين (1.2-40.1) ملغم / لتر في مناطق (أنصاب، تخاديد، السعادة، كراع، هداية، الثماد، أم جلود، الدغير، أم بطة) وغيرها من المناطق، يلاحظ خريطة (6-14) وجدول (6-9)، ويمكن تفسير سبب ارتفاع نسبة هذا الايون في بعض اجزاء منطقة الدراسة إلى انخفاض السطح وتبخر المياه، فضلاً عن استخدام الاسمدة الفوسفاتية في العمليات الزراعية في تلك المناطق، في حين نجد ان بقية المناطق التي تنخفض بها هذه النسب بسبب قلة استخدام الاسمدة الفوسفاتية، فضلاً عن امتصاصه من قبل المعادن الطينية.

6-1-3-4-5-2-ايونات السالبة Negative Ions:

1-ايون الكلوريد Cl^{-2} Chloride:

يتواجد في مياه البحر القديمة ومن ذوبان الصخور الملامسة للمياه الجوفية مثل (السلفايت)⁽²⁾، فضلاً عن تواجده ضمن الرسوبيات أو في الصخور المتبخرة الهالاييت الذي يعد مصدراً رئيساً له، أو من ذوبان املاح الكلوريد الملامس للمياه الجوفية⁽³⁾، وتعد الفضلات العضوية والسماد البوتاسي والفضلات الصناعية والعلف الحيواني ومياه الري مصدراً لها، ويؤدي استعمال الكلوريد في معالجة المياه إلى زيادة تراكيزه، ويرتبط وجوده مع أيونات $(K^+ - Ca^{2+} - Mg^{+2})$ ، وبعد وجوده بتركيز عالية مضر للنباتات⁽⁴⁾، وتصل نسبة تركيزه في مياه الامطار إلى (3198) مايكرو غرام/لتر، وفي مياه الانهار والمياه الجوفية (7/8-20) ملغم/لتر على التوالي⁽¹⁾.

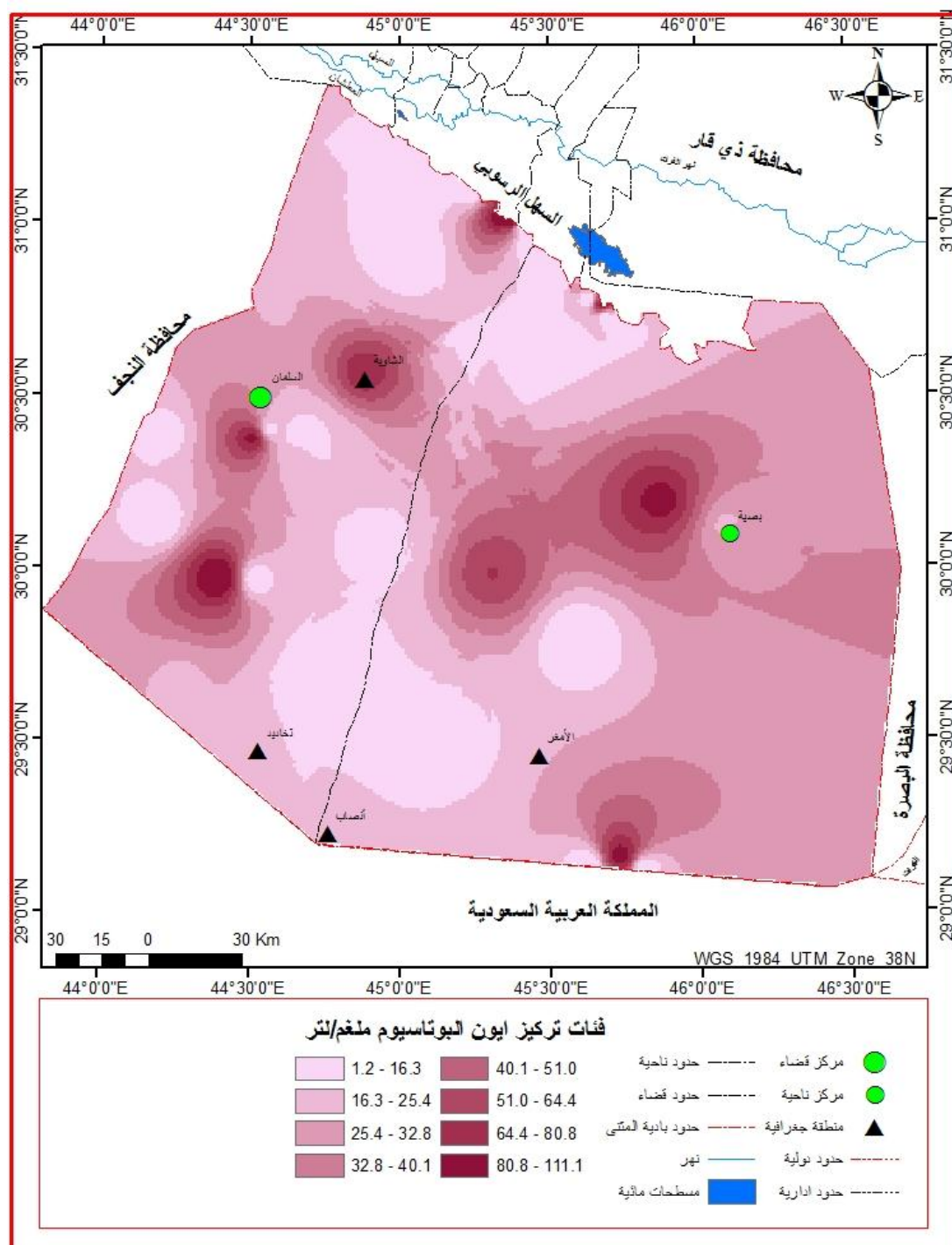
(1) دعاء محمد طعمة بطان ، التحليل الهيدروجي لتقييم نوعية المياه الجوفية لناحية الرحالية في محافظة الأنبار ، مصدر سابق ، 2021، 130.

(2) Davis,S.N.and Dewiest,R.J,Hydrogeology John and Sons Newyork, London: Sydney,1966, p463.

(3) نور حسون عليوي زبون ، المياه الجوفية وإمكانية التوسع في استثمارها في قضاء المدائن، رسالة ماجستير، غير منشورة،كلية الآداب ،جامعة بغداد، 2015، ص99.

(4) عباس فالح حسن محمد، التحليل المكاني للمياه الجوفية في محافظة بابل وأستثماراتها ، مصدر سابق ، ص11 .

خريطة (6-14) التوزيع المكاني لفئات تركيز ايون البوتاسيوم ملغم/لتر



المصدر: بالاعتماد على جدول (6-9)

(1) دعاء محمد طعمة بطان ، التحليل الهيدرولوجي لتقييم نوعية المياه الجوفية لناحية الرحالية في محافظة الأنبار ،مصدر سابق ،2021، 130.

بلغ معدل (CL^{-2}) (538.07) ملغم / لتر، وتراوحت فئات ايون الكلوريد (CL^{-2}) ما بين (-89.4-1073.8) ملغم / لتر، ويمكن ملاحظة ارتفاعها في بعض المناطق مثل (الأمغر، مشكك، جريبيعيات، الشاهوب، رجل الضبعة، غدير الصفاوي، أم الخيلان، لويحظ، أم مجرون، العكراوي) بين (-552.6-1073.8) ملغم / لتر، فضلاً عن مناطق أخرى، في حين انخفضت ما بين (-89.4-552.6) ملغم / لتر في مناطق (بصية، الخديات، أم قطع، الصبيان، مديسيس، الشفلحية، الساعة، رجلة، أم بطة) وغيرها من المناطق، يلاحظ خريطة (6-15) وجدول (6-9)، ويمكن تفسير سبب ارتفاع نسبة هذا الايون في العديد من اجزاء منطقة الدراسة إلى وجود المصدر الرئيس له (معدن الهاليت) ضمن رسوبيات الزمن الرباعي في تلك المناطق، فضلاً عن ان هذا الايون يكثر في المناطق الجافة.

2-أيون النترات (NO_3^-) Nitrate

يقل تركيز هذا الايون بزيادة عمق البئر بسبب البعد عن الملوثات العضوية في المناطق القريبة من السطح مثل (الفضلات العضوية للإنسان والحيوان، تفسخ الكائنات الحية، فضلاً عن الملوثات الصناعية واستعمال الاسمدة)⁽¹⁾، ومياه الامطار المتساقطة التي تحمل النتروجين، وتقوم بعض النباتات بتحويل النتروجين الجوي إلى نترات وتزود به التربة، ويزداد تراكيز هذا الايون في المناطق التي تقل فيها النباتات بسبب عدم استهلاكه، وتصل نسبة تركيزه في مياه الامطار ما بين (0.1-0.3) مايكرو غرام/لتر، ويكون تركيزه في المياه الجوفية كحد اقصى (0.1-10) غرام/لتر⁽²⁾.

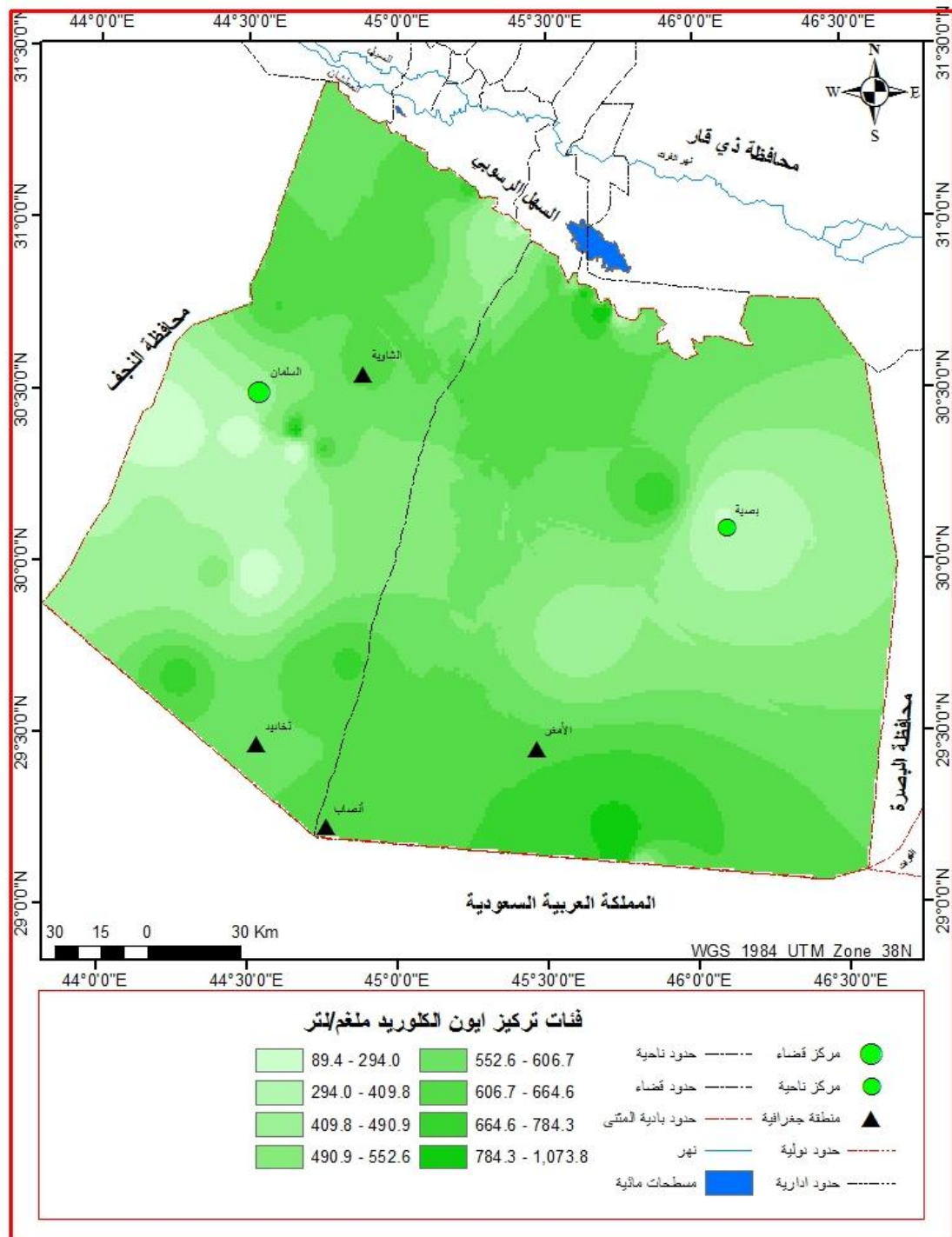
بلغ معدل (NO_3^-) (2.24) ملغم / لتر، وتراوحت فئات أيون النترات (NO_3^-) ما بين (-0.10-16.30) ملغم / لتر، ويمكن ملاحظة ارتفاعها في مناطق محدودة مثل (السلمان، الشاوية، الصبيان) ما بين (3.46-16.30) ملغم / لتر، فضلاً عن مناطق أخرى، في حين انخفضت كمياته ما بين (0.10-3.46) ملغم / لتر في أغلب المناطق، يلاحظ خريطة (6-16) وجدول (6-9)، ويمكن تفسير سبب ارتفاع نسبة هذا الايون في بعض اجزاء منطقة الدراسة إلى تسرب أو نفاذ مياه الأمطار المتساقطة بسبب السيول في بعض السنوات إلى المياه الجوفية.

(1) سعاد عبد عبادي، محمد سلمان حسن، الهندسة العلمية للبيئة، فحوصات الماء، دار الحكمة،

1990، ص147.

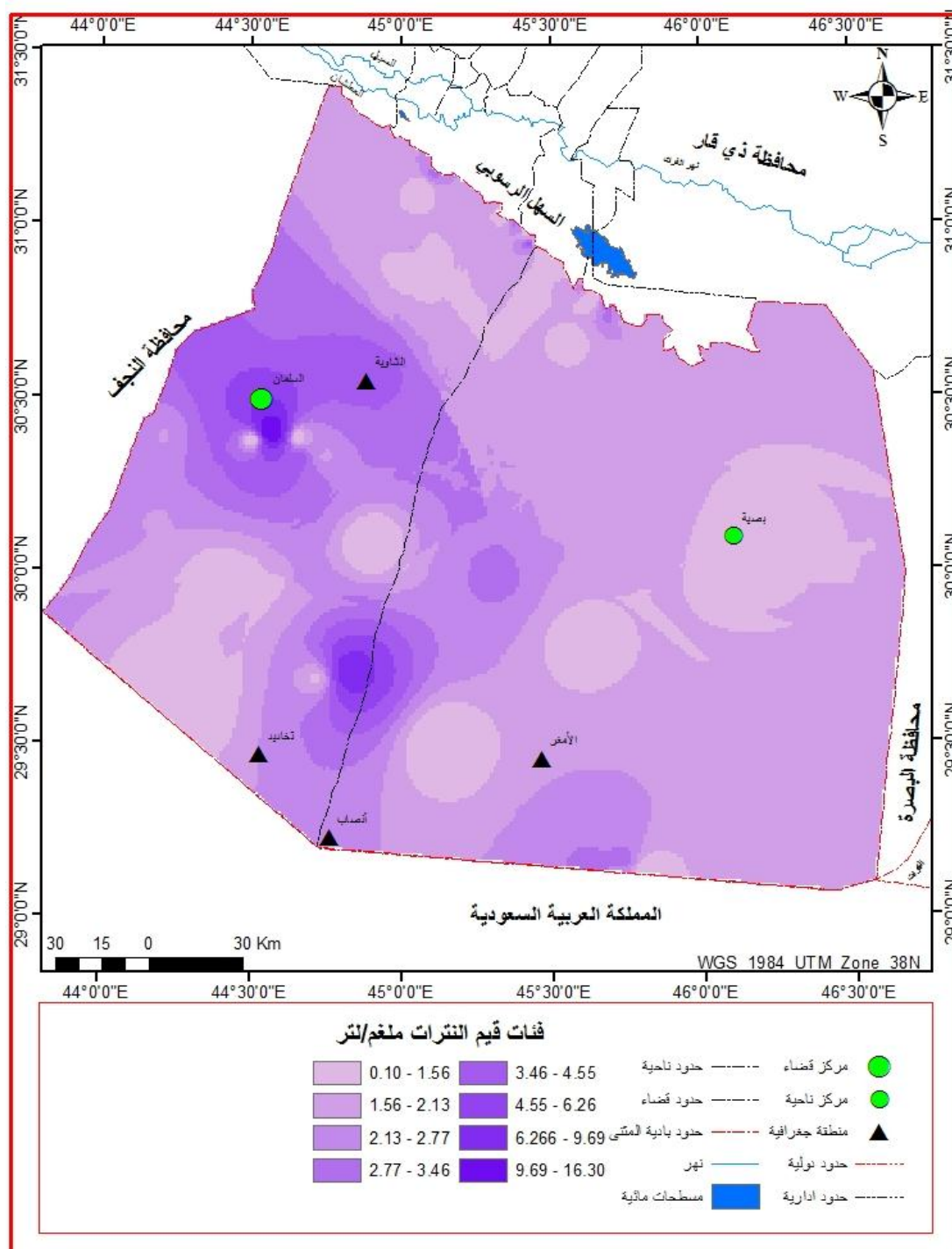
(2) سندس محمد الزبيدي، المياه الجوفية في المحمودية وسبل استثمارها، مصدر سابق، 2011، ص103.

خريطة (6-15) التوزيع المكاني لفئات تركيز ايون الكلوريد ملغم/لتر



المصدر: بالاعتماد على جدول (6-9)

خريطة (6-16) التوزيع المكاني لفئات تركيز ايون النترات ملغم/لتر



المصدر: بالاعتماد على جدول (9-6)

3-ايون الكبريتات $\text{SO}_4^{=}$ Sulfate

ينتج عن أكسدة خامات الكبريتات بفعل ذوبان بعض المتبخرات مثل الجبسوم ($\text{CaSO}_4 \cdot 2\text{H}_2\text{O}$) والانهيدرات (CaSO)، والطفل العضوي الذي يحتوي على تراكيز عالية منه نتيجة لأكسدة معادن الماركسايت والبايرايت، ونتيجة لتحلل الأسمدة الكيميائية واستخدام المبيدات التي تتسرب إلى المياه الجوفية⁽¹⁾، وفي حالة زيادة تركيزه فإنه يعطي للمياه طعم يميل إلى المرارة⁽²⁾، وتصل نسبة تركيزه في مياه الأمطار إلى (576) مايكرو غرام/لتر، وفي مياه الأنهار والمياه الجوفية (3.7-30) ملغم/لتر على التوالي⁽³⁾.

بلغ معدل $(\text{SO}_4^{=})$ (766.53) ملغم / لتر، وتراوحت فئات ايون الكبريتات ($\text{SO}_4^{=}$) ما بين (123.0-1785.0) ملغم / لتر، ويمكن ملاحظة ارتفاعها في بعض المناطق مثل مناطق (الزهرة، مشكك، أبو فجاجين، حمدة، الغانمي، القصير، أم بطة، نفعات، هداينة، الحويمي، الصبيان، الحريجية) ما بين (846.5-1785.0) ملغم / لتر، فضلاً عن مناطق أخرى، في حين انخفضت ما بين (123.0-864.5) ملغم / لتر في مناطق (الخديات، رضية، أم الطوب، الحفاير، الحريجية، الرواك، الرمدة، كويني، نهيلان، الرواك، أم مجرون، مديسيس، تخايد، عجلان، أبو نفيلة، الشاوية، الشیخة، الديب، المزير) وغيرها من المناطق، يلاحظ خريطة (17-6) وجدول (6-9)، ويمكن تفسير سبب تركيز ارتفاع نسبة هذا الايون في العديد من اجزاء منطقة الدراسة إلى وجود معدن الجبس ضمن الرسوبيات الذي يمد المياه المتسربة إلى المياه الجوفية بكميات كبيرة من هذا الايون.

(1) أمير جواد كاظم وعلي حسين علي، دراسة هيدروكيميائية لمنطقة الكفل (جنوب محافظة بابل/ العراق) ،

الهيئة العامة لاستثمار المياه الجوفية، 2010، ص15

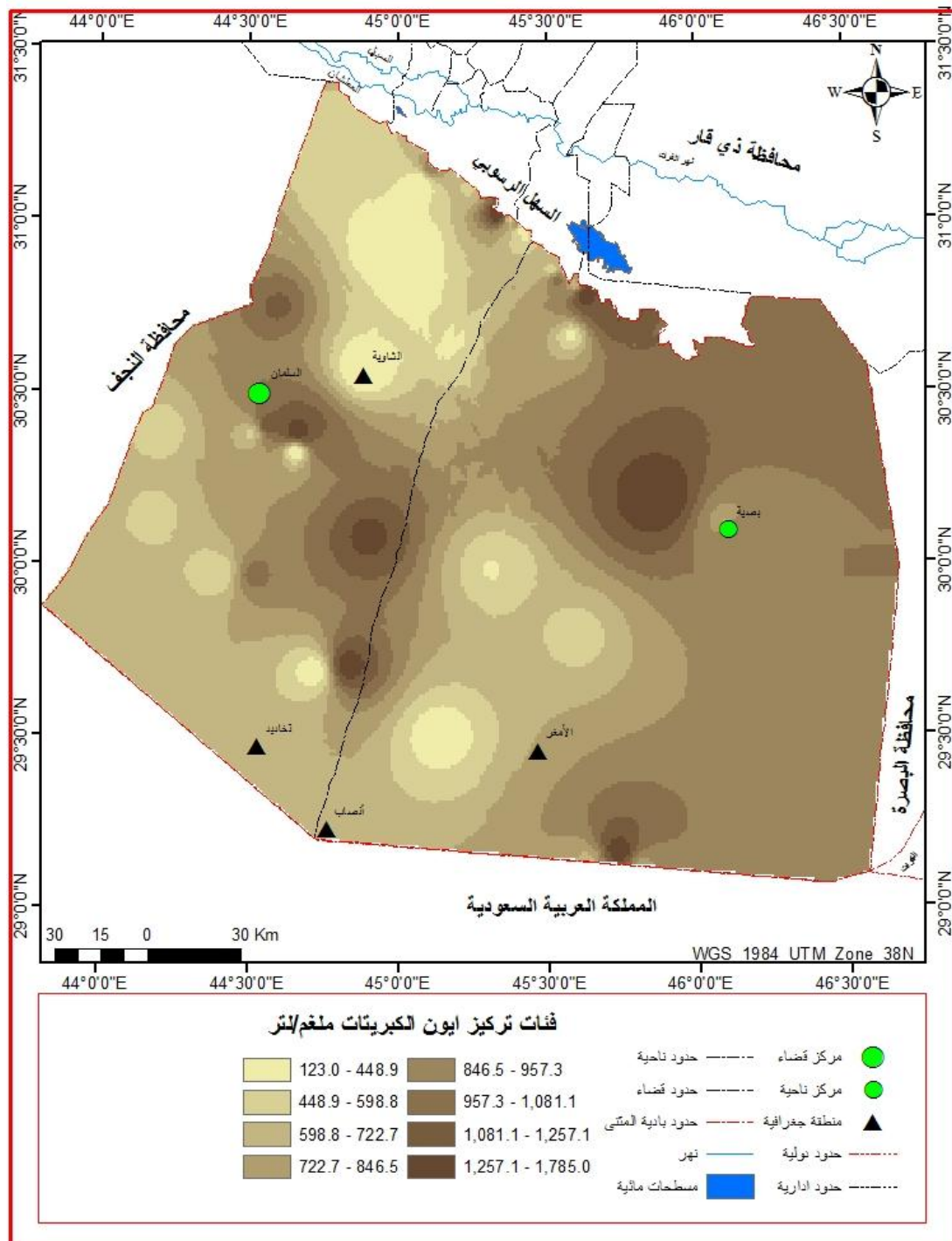
(2) محمد شيت محمد ، دراسة هيدروجيوكيميائية لأبار منتخبة في مدينة الموصل ، قسم الجيولوجيا ، جامعة

الموصل ، كلية العلوم ، 2000 ، ص44.

(3) سيف مجيد حسين الخفاجي، المياه الجوفية وإمكانية استثمارها في منطقة الرحاب-محافظة المثنى، مصدر

سابق، ص125.

خريطة (6-17) التوزيع المكاني لفئات تركيز ايون الكبريتات ملغم/لتر



المصدر: بالاعتماد على جدول (6-9)

4-أيون البيكربونات (HCO_3^-): Bicarbonate

ينتج عن اذابة الصخور الجيرية والترسبات الملحية واذابة غاز (CO_2) عند التساقط مكوناً حامض الكربونيك (H_2CO_3)، الذي يتفاعل مع (الهالايت، الصخور الجيرية التي تتكون أساساً من معدن الكالسيت، الدولومايت) ويعمل على زيادة معدلات الازابة للصخور الجيرية⁽¹⁾، ووجوده ضروري لعمليات الري الا في حالة تجاوز نسبته عن الحد المسموح به، إذ يعيق نمو النباتات من خلال زيادة نسبة (الصوديوم) الذي يعمل على تقليل مسامات التربة، ومن ثم يعيق قدرة النباتات على الامتصاص، وتصل نسبة تركيزه في مياه البحار إلى (140) غرام/لتر، وفي المياه بشكل عام (50-400) والمياه الجوفية (10-800) ملغم/لتر⁽²⁾.

بلغ معدل (HCO_3^-) (282.86) ملغم / لتر، وتراوحت فئات أيون البيكربونات (HCO_3^-) ما بين (34.2-822.9) ملغم / لتر، ويمكن ملاحظة ارتفاعها في بعض المناطق مثل مناطق (الزهرة، مشكك ، أبو فجاجين، حمدة، الغانمي، الكصير، أم بطة، نفعات، هداية، الحويمي، الصبيان، الحريجية، الشاهوب، خشم المجدر، الغيسم، الشياحات، ضليعة، محجول، محفيرة، السلطان، كليب، الرفاعية، أم طوب، الصبيبان، الحكية، الرواك، جليب، الرمدة، الحريجة ، الزهرة، أبو فجاجين، الدغير، الخنكة) ما بين (343.5-822.9) ملغم / لتر، فضلاً عن مناطق اخرى، في حين انخفضت ما بين (34.2-343.5) ملغم / لتر في مناطق (أم الرمل، الظهر، الغرابي، أم حليب، البدر، الحريجية، جليب، الرواك، كويني، نهيلان، الشاوية، الزفراوية، أبو نفيلة، عجلان، العيبة، مديسيس، العكراوي، حكي القصص) وغيرها من المناطق، يلاحظ خريطة (6-18) وجدول (6-9)، ويمكن تفسير سبب تركيز ارتفاع نسبة هذا الايون إلى دور حامض الكربونيك المخفف الناتج عن تفاعل المياه الجوفية مع مياه الامطار المحملة بغاز ثاني اوكسيد الكربون، ومن ثم زيادة تركيز البيكربونات في المياه الجوفية عن طريق تسرب هذه المحاليل إلى باطن الارض عن طريق التشققات الموجودة في اذابة الصخور.

(1) مها قحطان جبار السامرائي ، حوض تغذية نهر بأسره - دراسة في الجغرافية الطبيعية ، رسالة ماجستير)

غير منشورة) ،كلية الآداب ، جامعة بغداد ، 2007 ، ص157.

(2) سيف مجيد حسين الخفاجي، المياه الجوفية وإمكانية استثمارها في منطقة الرحاب-محافظة المثنى، مصدر

سابق، ص125.

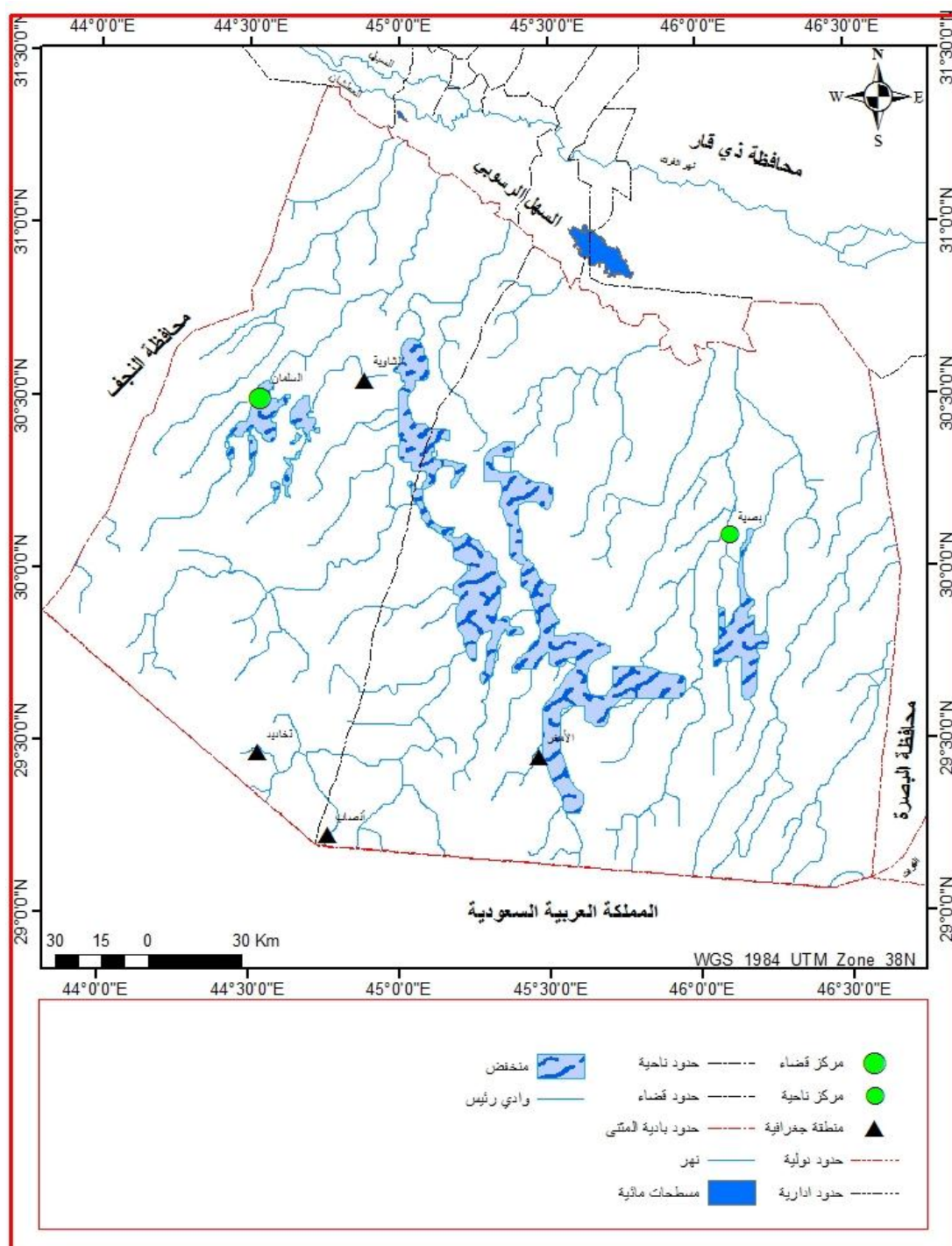


الايكولوجية بشكل عام، ونظراً لوقوع منطقة الدراسة ضمن الاقاليم الجافة، ولافتقار المنطقة للمصادر المائية الدائمة، والاقتصار على مياه الامطار والسيول والآبار، ونظراً لكون القطاع الزراعي هو الداعم للأنشطة البشرية، فضلاً عن اهميته في التقليل من عمليات التعرية الريحية والمائية وتثبيت التربة، فلا بد من التعامل بحكمة مع ما متوفر من امكانات، واجراء عمليات لاستثمار المياه السطحية والجوفية من خلال حساب مقدار الجريان السطحي واقامة سدود وتوجيه السيول للمنخفضات او الخزانات الجوفية لغرض حصاد المياه، فضلاً عن توفير المياه الصالحة للشرب عن طريق توفير محطات لتصفية المياه.

من هذا المنطلق تقترح الدراسة تعزيز دور الموارد المائية في التقليل من عمليات التعرية وتحقيق التنمية المستدامة من خلال اتباع طرائق الحصاد المائي:

1- المنخفضات الطبيعية: تعد هذه المنخفضات من اهم الخزانات الطبيعية التي يمكن الاستفادة منها في خزن المياه لغرض الاستخدام المستقبلي لقلّة تكاليفها وسهولة توجيه مياه السيل لها، فضلاً عن نوعية الرواسب الطينية المنقولة بوسطة المياه، ومن اهمها (أم سديرة، غدير صفاوي، أم القطع، البنت، الزهرة، رغلة، الكليب، الصبيان، الغرايبي، حمدة، الرفاعية، هدانية، الساعة، الشفلحية، أنكير، الغنامي، كويخة، أبو طلحة، أم الطوب، الرديفة، الزهرة، المنيشف) وغيرها من المنخفضات، ويتضح من خريطة (6-19) وجدول (6-10) وشكل (6-3) توفر منخفضات طبيعية يمكن الاستفادة منها لأغراض الحصاد المائي كخزانات طبيعية وبمساحات تتراوح من (17.1) كم² في منخفض الرفاعية، إلى (897.30) كم² في منخفض الرديفة.

خريطة (6-19) التوزيع المكاني للخزانات المائية المقترحة في بادية المثنى



المصادر: بالاعتماد على:

- 1-وزارة الموارد المائية، الهيئة العامة للمساحة، قسم انتاج الخرائط، الخطة الاستراتيجية لتنمية الصحراء الغربية، بمقياس، 1:1000 000، بغداد، 2009.

2-SRTM 1 Arc-Second Global,2014.

جدول(6-10) أهم المنخفضات ومساحتها ونسبتها المئوية في بادية المثنى

المنخفض	المساحة كم ²	النسبة المئوية %
أم سديرة	214.21	8.54
أم القطع	233.52	9.32
الزهرة	157.21	6.28
الكليب	212.83	8.48
الغرابي	154.31	6.17
الرفاعية	17.1	0.68
هدانية	57.41	2.29
الساعة	170.90	6.82
أنكيرة	44.61	1.77
كويخة	9.40	0.38
أبو طلحة	146.42	5.84
الرديفة	897.30	35.78
المنيشف	191.91	7.65
المجموع	2507.13	100

المصدر: بالاعتماد على برنامج Arc GIS 10.2.2 في حساب المساحات

2- استخدام السواتر الترابية: تتخذ اشكالاً دائرية او شبه دائرية وتبنى في بطون الوديان او في المناطق المنخفضة يتراوح ارتفاعها (2-5)م، والهدف من انشائها تركيز المياه والرواسب المحمولة التي يستفاد منها لاحقاً للأغراض الزراعية، وقد تحيط بالأراضي الزراعية لتقليل الفاقد المائي عن الري.

3-المتون الهلالية: هي حواجز من (صخور واطربة) وغيرها من المواد المتوفرة محلياً، تكون على شكل هلالى تواجه المنحدر بشكل مباشر على مسافة مناسبة لغرض استجماع مياه السيل، وتستخدم لبناء هذه الحواجز المواد المحلية المتوفرة، وتتراوح المسافة بين ذيلي الحاجز من (8-1)م ويبلغ ارتفاعه من (30-50)سم⁽¹⁾.

(1) ذيب عويس وآخرون ، حصاد المياه، تقانات تقليدية لتطوير البيئات الأكثر جفافاً، المركز الدولي للبحوث الزراعية في المناطق الجافة (إيكاردا)، 2002 ،ص11.

شكل (3-6) نماذج ثلاثية الابعاد (3D) لبعض منخفضات منطقة الدراسة



المصادر: بالاعتماد على:

1-برنامج Arc Scene 10.2.2 بنسبة مبالغة 1.0000

2-SRTM 1 Arc-Second Global,2014

4-حواجز تغذية المياه الجوفية: تعد احد الطرق المستخدمة لرفع منسوب المياه الجوفية من خلال انشاء حويز تعمل على توجيه مياه السيل لرفد المياه الجوفية عبر الابار او العيون المائية او التشققات.

5-شرائط الجريان السطحي: تقسم الاراضي الى قسمين، فالقسم العلوي يُستثمر لجمع المياه والجزء السفلي يُترك لزراعة المحاصيل الحقلية، ويُرى في هذه التقنية خطوط الكنتور لتحديد مواقع الاشرطة، ولا يتجاوز عرض الشريط المزروع (2)م مع عمل اخاديد عمودية داخل الشريط المزروع للمساعدة في التدفق السطحي داخل المسافة المستثمرة لضمان توزيع مائي عادل⁽¹⁾.

6-مدرجات المصاطب: يُطبق هذا النظام في بطون الاودية القليلة الانحدار ذات التربة العميقة لحجز المياه في منطقة محدودة، وتقام على شكل مدرجات تمتد لمسافة تتراوح بين (5-20)م ، على شكل حواجز ترابية على طول خط الكنتور، وتستخدم اعالي المتون للزراعة (1-2)م وتترك بقية المسافة كمستجمع مائي، ويمكن الاستفادة من الحجارة المتوفرة في تدعيم خطوط الكفاف للحد من انسياب المياه عليها التي قد تسبب انجراف المدرجات الموجودة اسفل المنحدر، وتقام هذه المدرجات بشكل متعامد على مجرى الوادي لحجز رواسب السيل الغنية بالطمى والمواد العضوية والرطوبة وتزداد هذه الترسبات بمرور الوقت وتستخدم لاحقاً للزراعة.

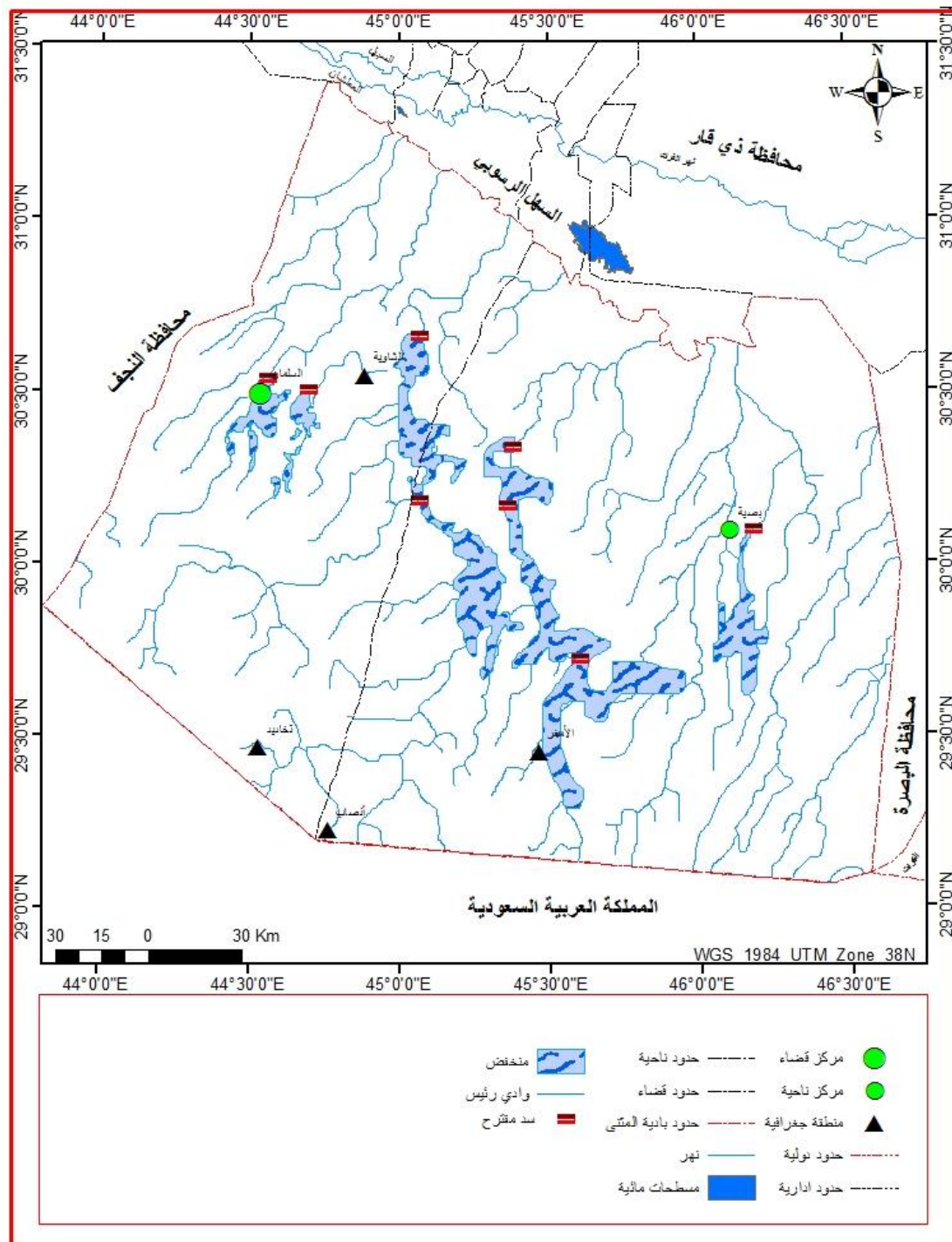
7- الحفائر (الاحواض الصغيرة): تتميز هذه الطريقة بالتكلفة المنخفضة وقلة المساحة السطحية ومن ثم قلة الفاقد المائي بالتبخر، وهي عبارة عن حوض او خزان وتجميع مياه الامطار وزيادة رطوبة التربة، ويراعى اختيار موقعها ضمن المسار المائي للوادي.

8-السدود الترابية: هي سدود تقام على عرض الوادي وفي اضيق المناطق وتستخدم لبنائها مواد اسمنتية او ترابية او حجرية، وتوجد في منطقة الدراسة العديد من الأودية الجافة تصبح خلال فترة التساقط مجاري لمياه السيول التي قد تكون مدمرة للمزروعات والمنشآت الحيوية فيما لو لم يتم التعامل بها بحكمة وتوجيهها لغرض الاستفادة منها.

وتقترح الدراسة تنظيم وتوجيه وتقليل مخاطر السيول عن طريق بناء سدود على هذه الاودية، يلاحظ خريطة(6-20) وجدول (6-11) وشكل (6-4-أ-ب) وبحسب مواضعها ضمن هذه الوديان، ويراعى في إقامة السدود جوانب عديدة منها جيولوجية وجيومورفولوجية وديان المنطقة وطبيعة انحداراتها وتريتها، ويعد وادي أبو حضير من الأودية الكبيرة، إذ يمكن بناء سدين على المنخفضين الواقعين ضمن حدود الوادي، ويعد وادي الكصير من المناطق الزراعية المهمة في بادية المثنى لذا تقترح الدراسة بناء سدين في هذه المنطقة للحفاظ على مياه السيول والاستفادة

(1) ذيب عويس واخرون ، حصاد المياه، مصدر سابق، ص11.

خريطة (6-20) مواضع السدود المقترحة في وديان بادية المثني



المصادر: بالاعتماد على:

1-وزارة الموارد المائية، الهيئة العامة للمساحة، قسم انتاج الخرائط، الخطة الاستراتيجية لتنمية الصحراء الغربية، بمقياس:1:1000 000، بغداد، 2009.

2-SRTM 1 Arc-Second Global,2014.

3- الدراسة الميدانية في (2022/2/25) و(2022-1-21) و(2022/3/1) و (2022/10/11).

الفصل السادس.....الموارد المائية في بادية المثنى ودورها في التنمية المستدامة

منها لاحقاً للاستخدامات المختلفة، وتقتصر الدراسة أيضاً ببناء سدين في وادي ابو غار، مع المحافظة على مواقع الآبار النفطية من وصول السيول اليها، وبناء سدين في وادي العاذر.

جدول (6-11) أعداد ومواقع السدود المقترحة على الوديان الرئيسية في بادية المثنى

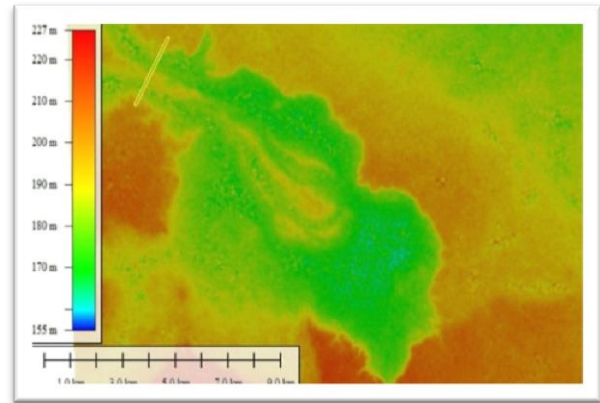
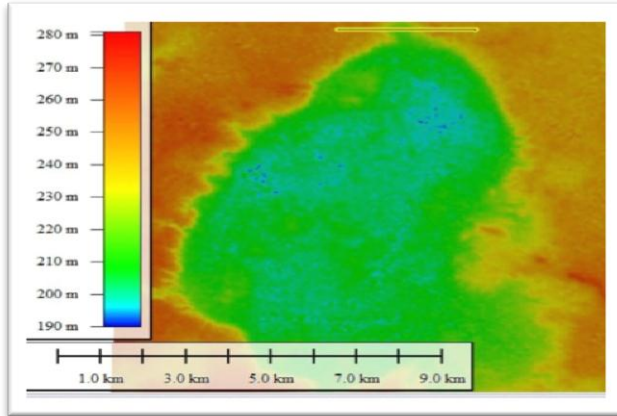
الإحداثيات	الطول م	عدد السدود المقترحة	أسم الوداي
Y	X		
30° 30' 10.031" N	44° 41' 53.660" E	2432	أبو حضير
30° 5' 45.782" N	46° 10' 58.585" E	2987.9	
30° 20' 18.981" N	45° 22' 55.201" E	44.5	الكصير
30° 9' 56.757" N	45° 21' 45.596" E	4365	
30° 11' 2.081" N	45° 4' 4.461" E	1980	أبو غار
30° 39' 32.236" N	45° 4' 5.047" E	1422.9	
29° 43' 14.704" N	45° 36' 16.548" E	3887.8	العاذر
30° 30' 10.031" N	44° 41' 53.660" E	699.8	
-	-	-	المجموع
		8	

المصدر: بالاعتماد على خريطة (6-20) وبرنامج Arc GIS 10.2.2.

شكل (6-4) نماذج لمواقع بعض السدود

ب- (منخفض الزهرة)

أ- (منخفض هدانية)



المصادر:

1- SRTM 1 Arc-Second Global, 2014.

2- برنامج Global Mapper v23

6-2-1- دور الاستشعار عن بعد ونظم المعلومات الجغرافية في حصاد المياه:

تعتمد طريقة رقم المنحنى (SCS-CN) على البيانات الفضائية التي يتم معالجتها وتحليلها ببرامج رقمية متخصصة لاستنتاج حلول مناسبة ضمن المناطق التي يصعب دراستها بشكل ميداني بسبب كبر مساحتها والوقت والجهد اللازم فضلاً عن التكاليف المادية الكبيرة التي يتطلبها هذا

النوع من الدراسة، ويعد استخدام تقنيات الاستشعار عن بعد ونظم المعلومات الجغرافية في التقدير الدقيق لمقدار الجريان السطحي بالغ الأهمية للإدارة السليمة لمستجمعات المياه، وهي وحدة مثالية لتخطيط وإدارة موارد الأراضي والمياه، ويعتمد الجريان السطحي المباشر في مستجمعات المياه على نوع التربة والغطاء الأرضي وهطول الأمطار، ومن بين العديد من الطرق المتاحة لتقدير الجريان السطحي من الأمطار، فإن طريقة رقم المنحنى (SCS-CN) مناسبة لدراسة هذا النوع من الجوانب التطبيقية، ويعتمد رقم المنحنى على خصائص استخدام الأرض والتربة.

6-2-1-1- تقدير حجم الجريان السطحي لبادية المثنى بطريقة (SCS)

يعد تقدير الجريان السطحي أحد الموضوعات الهامة وذات الصلة بالبحوث الهيدرولوجية والجيومورفولوجية، فمع بداية العاصفة المطرية تبدأ السيول بالجريان بعد أن تتشعب مسامات التربة بالكامل، وبسبب افتقار منطقة الدراسة للمحطات الهيدرولوجية لقياس الجريان السطحي لذا تم اعتماد النمذجة الهيدرولوجية، إذ يمكن تقدير حجم الجريان السطحي بالاعتماد على المرئيات الفضائية وانتاج طبقات ل (Q, Ia, S) فضلاً عن البيانات المناخية، وقد استخدمت طريقة رقم منحنى الجريان السطحي (Soil Conservation Service) (SCS) ومختصرها (SCS) بطريقة منحنى الجدولة (Curve Number) ومختصرها (CN)، والنمذجة ضمن بيئة نظم المعلومات الجغرافية والاستشعار عن بعد، وإنشاء الطبقات المطلوبة (نسجة التربة، الغطاءات الأرضية، استخدامات الأرض، ومجموعات التربة الهيدرولوجية).

يتم حساب الجريان السطحي بطريقة (SCS-CN) المعادلات الرياضية الآتية⁽¹⁾:

$$S = \frac{1000}{CN} - 10 \dots \dots \dots 1$$

ويتم تحويل الوحدات الى ملم توافق المقاييس المترية بالشكل الآتي:

$$S = \frac{25400}{CN} - 254$$

$$La = 0.25 \dots \dots \dots 2$$

$$Q = \frac{(P - Ia)^2}{P + 0.8S} \dots \dots \dots 3$$

$$Qv = (Q * A/1000) \dots \dots \dots 4$$

حيث ان:

(1) Sarita Gagbhia, Surface runoff estimation using remote sensing system and geographic information, International Journal of Electronic and Electronic Service, Science and Technology Volume 8, No. 4 (2015), P118.

La = الاعتراض الاولي قبل بدأ الجريان السطحي ويتمثل (النباتات، التبخر، التسرب) (ملم).

S = أقصى قدرة محتملة من الاحتفاظ بعد بداية الجريان (ملم).

Q = عمق الجريان السطحي (ملم).

P = الأمطار المتساقطة (ملم).

Qv = حجم الجريان السطحي (م³/سنة)

A = مساحة المنطقة كم²، ويستعاض عنها بـ (900)م²، وهي حجم الخلية من أجل حساب حجم الجريان السطحي على مستوى الخلية.

1000 = معامل التحويل لضمان النتائج النهائية بالمتر المكعب.

تُحسب المعادلات السابقة بعد انتاج طبقات لـ (Q, Ia, S) ضمن بيئة برنامج (GIS) Are GIS (10.2.2) وبصيغة (Raster)، من خلال الأداة (Raster Calculate) ضمن مجموعة التحليل المكاني (Spatial Analysis)، وتختار الطريقة المناسبة في عملية الحصاد المائي اعتماداً على طبيعية الانحدار وكمية المياه من خلال العلاقة بين مستوى الارتفاع (المنسوب) من خطوط الكنتور لاحتساب مستوى تجمع المياه، بعد إجراء العمليات يتم مطابقة الشبكة المائية مع المكان الذي يظهر فيه ارتفاع في حجم الجريان السطحي وتمثيلها خرائطياً.

تعتمد قيم الـ (CN) على (الغطاء الارضي، المجموعة الهيدرولوجية للتربة، الحالة المسبقة لرطوبة التربة)، وتبين هذه القيم مدى استجابة ونفاذية الترب للجريان، وتتراوح قيمته من (-100 0)، وكلما ارتفعت قيمته دل ذلك على امكانية زيادة الجريان السطحي وقلة نفاذيته، والعكس يدل على أن اسطح منطقة الدراسة اكثر نفاذية واقل قدرة على الاحتفاظ بالمياه .

ولحساب هذه القيم نتبع الخطوات الاتية:

1- تصنيف الغطاء الارضي: اشتق الغطاء الارضي بالاعتماد على المرئية الفضائية (Landsat 9) وبدقة (30)م بعد عمل (Mosaic) لكل حزمة على حدة ثم عمل (Cut) لحدود بادية المثنى وتجميع الحزم (4,5,7) على التوالي وتحليلها بالاعتماد على التصنيف الموجه (Classification Supervised)، فضلاً عن الدراسة الميدانية والعينات التي تم الحصول عليها، وبناءً على ذلك صنفت منطقة الدراسة إلى (4) أصناف، ومطابقتها مع الخرائط الطبوغرافية، وقد تم في (الفصل الرابع) اشتقاق مؤشر التغير الطبيعي للاخضرار (NDVI)

Normalize Difference Vegetation Index من المرئيات الفضائية للقمر الأمريكي (Landsat 9) من خلال المعادلة الآتية⁽¹⁾:

$$NDVI = \frac{\text{Band NIR} - \text{Band Red}}{\text{Band NIR} + \text{Band Red}}$$

حيث (NIR) هي (Band5) و (Red) هي (Band4) وتكون نتائج محصورة بين (1،-1) ، فكلما زادت قيمة النتائج الموجبة كان الغطاء النباتي أكثر كثافة، والعكس دليل على انخفاض تمثيل الغطاء النباتي، وقد مكن هذا المؤشر من الحصول على أصناف الغطاء الأرضي ومن ثم تصنيفها طبقاً لتصنيف أندرسون⁽²⁾، وإضافة النطاقات ضمن بيئة (Arc GIS 10.2.2.) واختيار الاداة (Band Collection Statistics) من صندوق أدوات البرنامج (Spatial Analysis Tools- Multivariate) ومن ثم تصنيفها بحسب الاصناف وتثبيت المعلومات الأساسية على الخريطة برمز لونية ملونة مع مراعاة استخدام عدد محدود من الألوان حتى يسهل إنتاج الخريطة⁽³⁾:

تبين من خلال التصنيف الموجه للغطاء الأرضي (Classification Supervised) ما يأتي، يلاحظ جدول (6-12) وشكل (6-5) وخريطة (6-21).

1-فئة المزارع: تتركز في شمال منطقة الدراسة، فضلاً عن مناطق مختلفة بمساحة (596.49) كم² ونسبة (1.31) %.

2-فئة النبات الطبيعي: تشغل المناطق المنخفضة وبطن الاودية التي تتجمع فيها مياه السيول حاملة معها الرواسب بمساحة (5220.22) كم² ونسبة (11.43) %، وتعد من أفضل المناطق الرعوية.

3-فئة التربة القاحلة: تشغل مساحة واسعة من المناطق المرتفعة نسبياً بمساحة (27809.14) كم² ونسبة (60.9) % .

(1) Prince SD, Becker-Reshef I, Rishmawi K Detection and mapping of long-term land degradation using local net production scaling: application to Zimbabwe. Remote Sens Environ 113:1046–1057, (2009).

(2) Anderson, J. R. & others, Land use and Land cover Classification System – use with Remote Sensor Data U.S. Geological Survey Professional Paper 964, 1976.

(3) فلاح شاكر اسود، علم الخرائط الموضوعية، دار الكتب للطباعة والنشر، جامعة الموصل، 1991، ص 98-97.

الفصل السادس.....الموارد المائية في بادية المثني ودورها في التنمية المستدامة

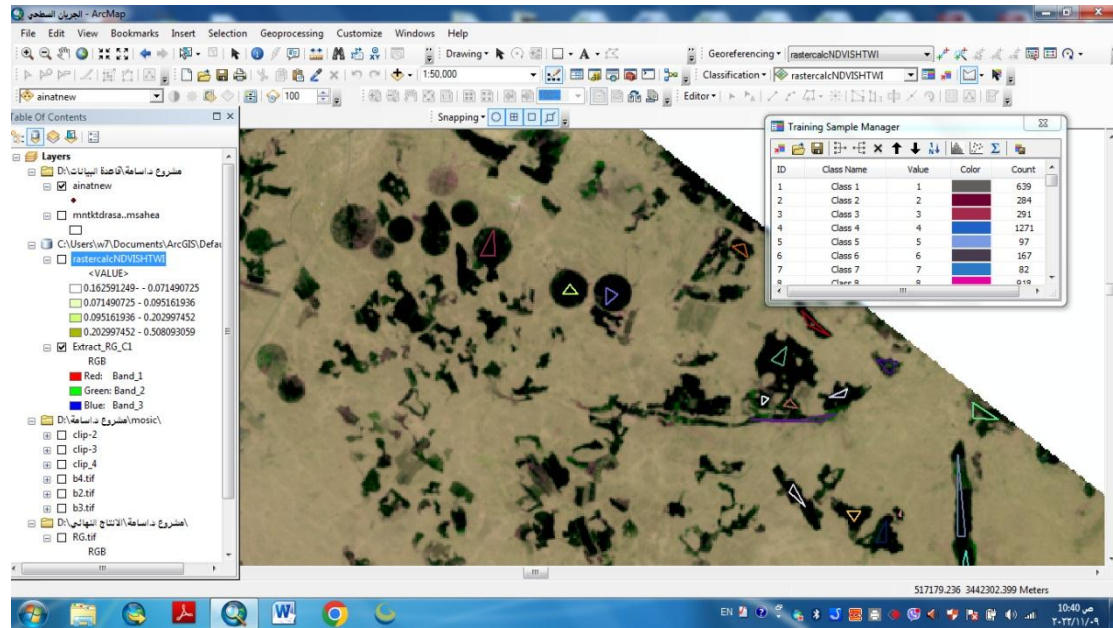
4- فئة الصخور: تتوزع هذه المكاشف الصخرية في العديد من أقسام منطقة الدراسة المرتفعة نسبياً بمساحة (12031.85) كم² ونسبة (26.36) % .

جدول (6-12) تصنيف الغطاء الارضي في بادية المثني

النسبة %	المساحة كم ²	التصنيف
1.31	596.49	المزارع
11.43	5220.22	النبات الطبيعي
60.9	27809.14	الترب القاحلة
26.36	12031.85	الصخور
100	45657.7	المجموع

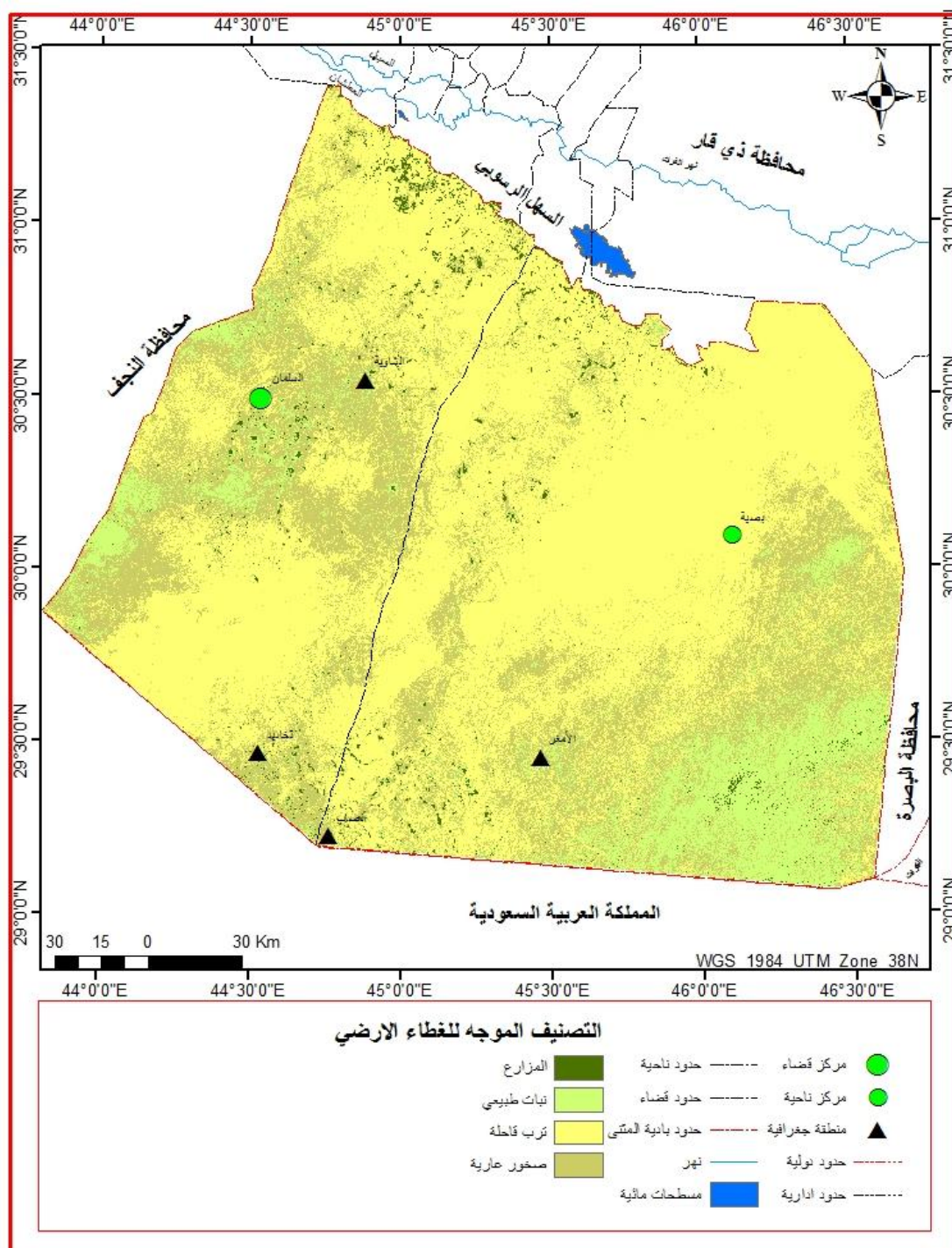
المصدر: بالاعتماد على خريطة (6-23) وبرنامج (Arc GIS 10.2.2.)

شكل (6-5) التصنيف الموجه للغطاء الارضي (Classification Supervised)



المصدر: باعتماد برنامج (Arc GIS 10.2.2.)

خريطة (6-21) التصنيف الموجه للغطاء الارضي (Classification Supervised)



المصادر: بالاعتماد على

- 1- القمر الامريكي Land Sat 9، مرئية OLI، دقة تمييزية 15م، الحزم 4-6-7، 2022.
- 2- برنامج (Arc GIS 10.2.2).
- 3- الدراسة الميدانية 21-1-2022.

2-تصنيف الترب بحسب المجاميع الهيدرولوجية:(Hydrologic Soil Groups HSG)

تعد الدراسة الميدانية جوهر الدراسات الجيومورفولوجية، فضلاً عن دور نظم المعلومات الجغرافية وتقنيات الاستشعار عن بعد في مراقبة رطوبة التربة من خلال الأقمار الصناعية، إذ توفر امكانية تحليل البيانات الضخمة، وتوفير فرصاً فريدة لتعزيز المعرفة بهيدرولوجيا التربة، وتعتمد صفات الترب الهيدرولوجية على نسيج التربة وهيكلها الذي يؤثر في قدرة هذه الترب على الاحتفاظ أو فقدان المياه، ووفقاً للتصنيف الذي حددته خدمات حفظ التربة الامريكية (SCS) تصنف الترب الى اربع مجاميع وفقاً لسرعة تدفق الماء في كل مجموعة وبحسب درجة نفاذيتها.

وتتم المعالجة في بيئة برنامج (Arc GIS 10.2.2)، عن طريق اداة معالج الإحصاء الجغرافي(Geostatistical Wizard) المنسدة من المحلل الجيو إحصائي (Geostatistical Analyst) ، من خلال خريطة (6-22) وجدول(6-13) تبين وجود أربع مجاميع من أصناف الترب الهيدرولوجية التي تم استخراجها باعتماد خريطة التربة (FAO) لاستخلاص الترب الهيدرولوجية وأصنافها في بادية المثني:

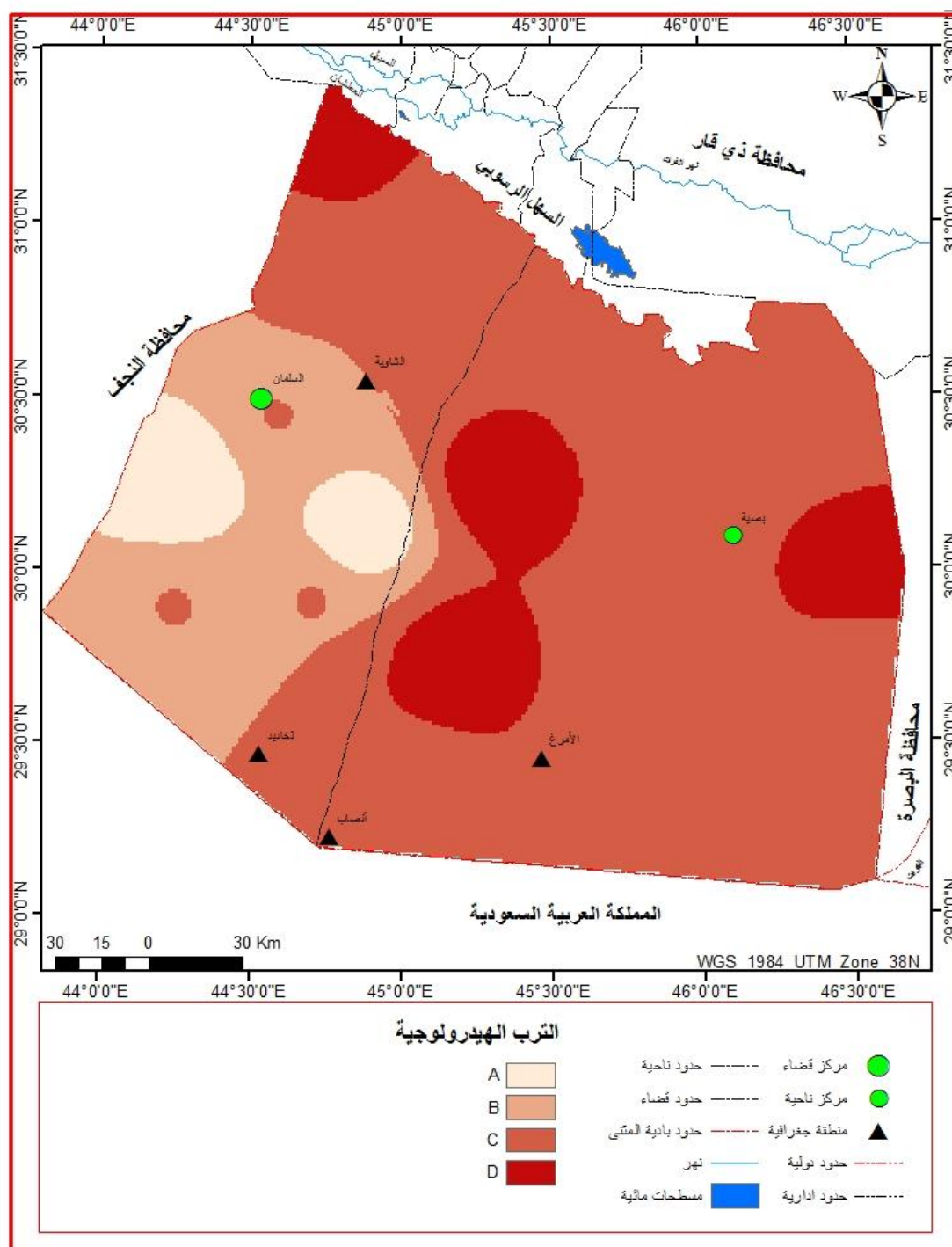
1-مجموعة الترب الهيدرولوجية (A) : وهذه المجموعة ذات نسجة رملية وترتفع فيها نسبة الرمل والحصى والجلاميد والصخور وتقل فيها الطين والغرين، وهي ترب متفككة بسبب قلة المواد اللاصقة وذات جريان قليل بسبب قدرتها على الاحتفاظ بالمياه واحتياجها لفترة طويلة حتى تنتشعب مساماتها بالمياه بسبب عمق طبقتها الرملية، وتتركز هذه الترب في المنطقة الواقعة الى الجنوب من السلطان وتمتد غرباً الى بادية النجف، وتشغل هذه الترب مساحة (2385.88) كم² ونسبة (5.22) %.

2-مجموعة الترب الهيدرولوجية (B) : تتصف هذه الترب بكون طبقتها الرملية أقل عمقاً من الفئة السابقة، وبمعدلات تسرب وجريان متوسطة عندما تكون رطبة تماماً، وتتوزع هذه الفئة ضمن بادية السلطان، وتشغل هذه الترب مساحة (7921.56) كم² ونسبة (17.35) %.

3-مجموعة الترب الهيدرولوجية (C) : تتصف بعمق فوق المتوسط وبمعدل ارتشاح دون الوسط قبل تشبع التربة فيها بعد سقوط الامطار بسبب وجود طبقة طينية محددة العمق، وتتوزع هذه الفئة في اغلب الجهات، وتشغل هذه الترب مساحة (29508.81) كم² ونسبة (64.63) %.

4-مجموعة الترب الهيدرولوجية (D) : تتصف بعمق وجريان عالي بسبب وجود طبقة طينية ذات نسبة انتفاخ عالية مع وجود طبقة ضحلة من ترب ناعمة في السطح، وتتوزع هذه الفئة في

خريطة (6-22) تصنيف الترب الهيدرولوجية (بادية المثنى)



المصادر: بالاعتماد على:

- 1- القمر الامريكي Land Sat 9، مرئية OLI، دقة تمييزية 15م، الحزم 4-3-2، 2022.
- 2- United States Department of Agriculture, Urban Hydrology for Small Watersheds, 2 Ed, 1986.

3- الدراسة الميدانية - 2022-1-21.

الفصل السادس.....الموارد المائية في بادية المثنى ودورها في التنمية المستدامة

المناطق الوسطى وامتداد مروحة الباطن وفي اقصى الشمال الشرقي، وتشغل هذه الترب مساحة (5841.45) كم² ونسبة (12.8) %.

وبذلك فان منطقة الدراسة تشتمل على الانواع الاربع من الترب وفقاً للتصنيف الذي حددته خدمات حفظ التربة الامريكية (SCS)، بسبب اتساع مساحة منطقة الدراسة والتباين المكاني للعمليات الجيومورفولوجية المؤثرة في ترب بادية المثنى، ومن ثم تعدد فرص الاستفادة من هذه الترب بحسب نوع الاستثمار.

جدول(6-13) اصناف الترب الهيدرولوجية في بادية المثنى وفقاً لطريقة(SCS)

المنطقة	العمق	صفات الترب	النفاذية والمسامية	الجريان	المساحة كم ²	النسبة %
A	عالي	طبقة رملية عميقة مع كمية قليلة من الطين والغرين	تربة ذات نفاذية ومسامية عالية	قليل	2385.88	5.22
B	فوق المتوسط	طبقة رملية أقل عمقاً من A بمعدل ارتشاح متوسط بعد الترطيب(مزيجية غرينية أو مزيجية)	تربة ذات نفاذية ومسامية متوسطة	متوسط	7921.56	17.35
C	متوسط	طبقة طينية محددة العمق بمعدل ارتشاح دون الوسط قبل تشبع التربة	تربة ذات نفاذية ومسامية قليلة	فوق المتوسط	29508.81	64.63
D	قليل	طبقة طينية ذات نسبة انتفاخ عالية مع وجود طبقة ضحلة من ترب ناعمة في السطح	تربة ذات نفاذية ومسامية ضعيفة	عالية	5841.45	12.8
المجموع					45657.7	100

USDA-SCS (1986) Urban Hydrology for Small Watersheds. Technical Release No. 55 (TR-55).
USDASCS, Washington DC

3- استخلاص منحني الجدولة (CN)(Curve Number) لبادية المثنى :

تتلخص طريقة (CN) في دمج الطبقتين الاخيرتين للغطاء الارضي والتربة لاستخلاص كل صنف ارضي وما يقابله من مجموعة هيدرولوجية، عن طريق اضافة النطاقات ضمن بيئة (Arc GIS 10.2.2.) واختيار الاداة (Combine) ضمن القائمة المنسدلة من (Local) من صندوق أدوات البرنامج (Spatial Analysis Tools)، لكي يتم مطابقة ودمج مكاني

للبكسلات (pixels) لكل مجموعة للترب الهيدرولوجية مع الغطاء الارضي بالاستعانة بالجدول (6-14) وتكوين جدول بصيغة (Raster) وسوف يتم اعتمادها في بقية الخطوات، ومنحنى الجدولة يعبر عن العلاقة بين الغطاء الأرضي والتربة ومقدار تسرب الماء من خلالها بمدى يتراوح بين (1-100) إذ تعبر عن الاستجابة المائية لمكونات السطح بين النفاذية العالية والمنخفضة، وتدل القيم نحو (100) على ان الترب قليلة النفاذية (ترب صخرية - صلبة) بينما يشير الاتجاه نحو الرقم (0) الى نفاذية عالية وتسرب⁽¹⁾، يلاحظ خريطة (6-23) وجدول (6-15) وقد حددت بطريقة (SCS-CN) وتبين ما يأتي:

1-الفئة الاولى(63): تعد هذه الفئة أقل الفئات استجابة لتوليد الجريان السطحي بسبب نفاذيتها العالية، وتتنوع في مناطق محدودة الى الجنوب من السلمان، وتشغل مساحة (627.52) كم² ونسبة(1.38)% من اجمالي منطقة الدراسة.

2-الفئة الثانية(63.1-77): تعد هذه الفئة أكثر استجابة لتوليد الجريان السطحي من الفئة السابقة بسبب طبيعة مسامية تربتها، وتتنوع في العديد من اقسام منطقة الدراسة إلى الجنوب من السلمان(السعادة، رغلة، عجلان)، فضلاً عن المناطق الجنوبية الشرقية (محجول، خشم المجدر، الشاهوب)، وتشغل مساحة (8335.36) كم² ونسبة(18.26)% .

3-الفئة الثالثة(77.1-85): تعد هذه الفئة أكثر استجابة لتوليد الجريان السطحي من الفئة السابقة بسبب انخفاض مسامية تربتها، وتتنوع الى الشرق من بصية(أم الخيلان، لويحظ)، وإلى الشمال من الشاوية (الثماد، أبو جلود)، وتشغل مساحة (386.23) كم² ونسبة(0.85)% .

4-الفئة الرابعة(85.1-86): يرتفع في هذه الفئة الاستجابة لتوليد الجريان السطحي بسبب قلة نفاذية التربة، وتتنوع في اغلب اقسام منطقة الدراسة، وتشغل أكبر مساحة (30039.88) كم² ونسبة(65.81)% .

5-الفئة الخامسة(86.1-91): تعد هذه الفئة أكثر الفئات استجابة لتوليد الجريان السطحي بسبب كونها مناطق صماء تنخفض فيها القابلية على نفاذ المياه، وتتنوع في العديد من اقسام منطقة الدراسة ضمن تكوين الدببة والدمام الاعلى، وتشغل مساحة (6268.71) كم² ونسبة(13.7)% من اجمالي منطقة الدراسة.

(1) سرى محسن حسين، جيومورفولوجية حوض وادي نيدوش، أطروحة دكتوراه، غير منشورة، كلية التربية

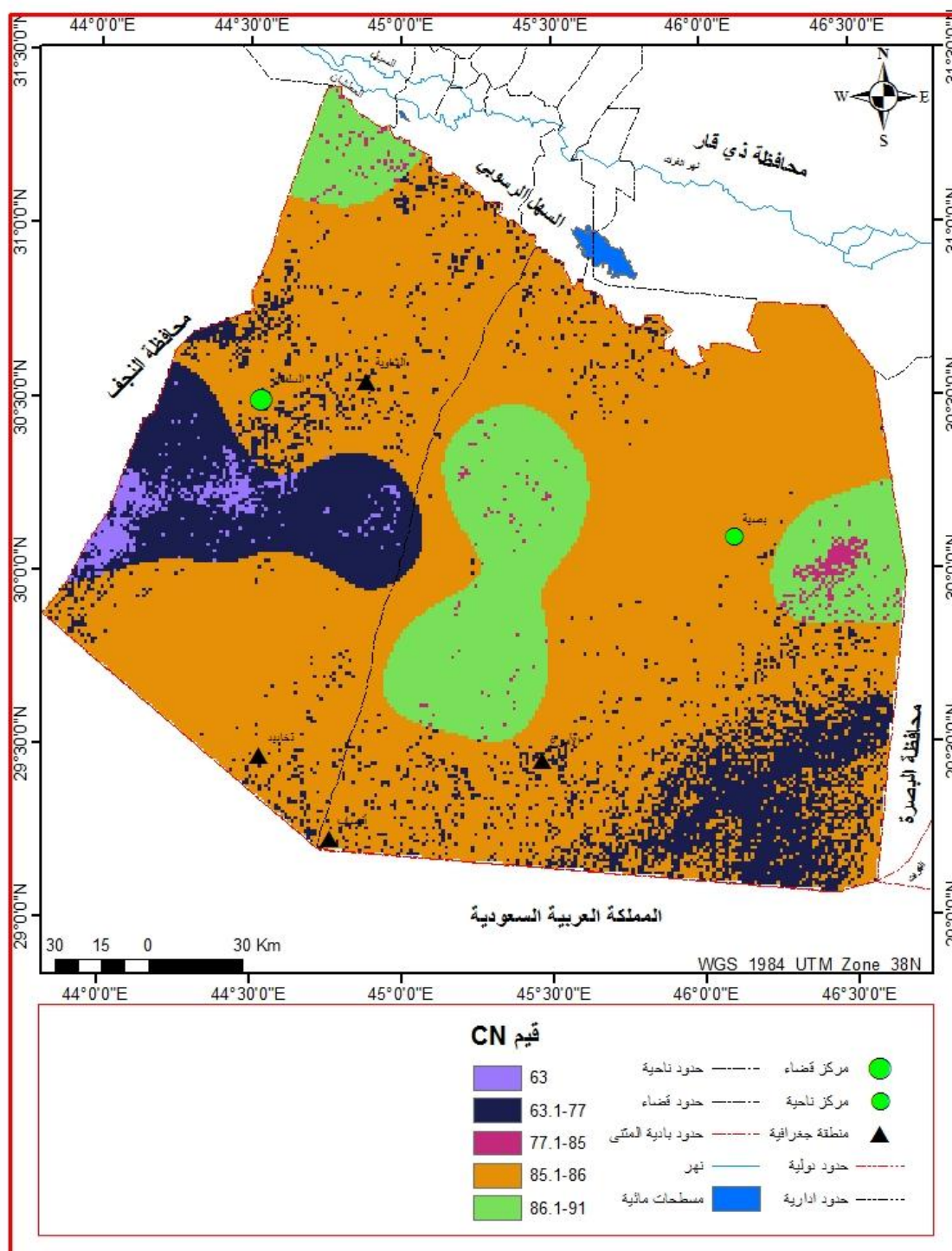
للبنات، جامعة بغداد، 2018، ص 165.

جدول(6-14) العلاقة بين الترب الهيدرولوجية والغطاء الارضي

استخدام الارضLand use		مجاميع الترب الهيدرولوجية			
		A	B	C	D
الأراضي المزروعة					
بدون معالجة حماية التربة		72	79	81	91
مع معالجة حماية التربة		62	71	78	81
أراضي المراعي الاصطناعية والمراعي الطبيعية					
ظروف فقيرة		68	79	86	94
ظروف غنية جداً		39	61	74	80
أراضي عشبية					
ظروف جيدة		30	58	69	80
أراضي الغابات					
جناح خفيف-غطاء قليل-لا امراض		45	66	77	83
غطاء سميك وغني		25	55	70	77
أراضي مفتوحة-أراضي عشبية-مسارات الغولف- المقابر					
ظروف جيدة: الغطاء العشبي 75% أو اكثر		39	61	74	80
ظروف متوسطة: الغطاء العشبي من 50-75%		49	69	79	87
المنطق التجارية والمهنية 85 % غير نفاذة		89	92	94	95
المقاطعات الصناعية 72% غير نفاذة					
أراضي سكنية					
معدل حجم القطعة	معدل غير النفاذ				
65	1-8 فأكثر	77	85	90	92
38	1-4 فأكثر	61	75	83	87
30	1-3 فأكثر	57	72	81	86
25	1-2 فأكثر	45	70	80	85
20	1 فأكثر	51	68	75	84
أراضي لوقوف السيارات معبدة-سطوح-ممرات..الخ					
الشوارع والطرق					
معبدة مع أرصفة ومجاري تصريف الانهار		98	98	98	100
طرق غير معبدة حصوية		76	85	89	91
طرق متروكة		72	82	87	89

Vijay p.Singh,Donald K. Frevert ,Watershed Models, CRC Press is an imprint of Taylor& Francis Group, 2006,p364.

خريطة (6-23) توزيع فئات قيم منحني الجدولة CN في بادية المثنى



المصادر بالاعتماد على:

1- الخريطة (6-21) و (6-22).

وبذلك فإن أغلب منطقة الدراسة تتميز بالاستجابة لتوليد الجريان السطحي بسبب قلة نفاذية التربة، ووجود المناطق الصماء ذات القابلية القليلة على نفاذ الماء خلالها، الأمر الذي يُمكن الاستفادة من الكثير من الأراضي التي تتواجد فيها ترب مناسبة في الاستثمار والتنمية الزراعية.

جدول(6-15)فئات(CN) ومساحتها ونسبها المئوية في بادية المثنى

النسبة %	المساحة كم ²	الفئات
1.38	627.52	63
18.26	8335.36	77
0.85	386.23	85
65.81	30039.88	86
13.7	6268.71	91
100	45657.7	المجموع

المصادر : بالاعتماد على خريطة(6-23) وبرنامج Arc GIS 10.2.2

4-معامل الإمكانية القصوى للاحتفاظ بالماء بعد بدء الجريان السطحي(Potential (S) Maximum Retention After Runoff):

يتم اشتقاق معامل(S) من خلال (Raster Calculate) ضمن (Analysis Tools) من صندوق أدوات برنامج.Arc GIS10.2.2 وبحسب المعادلة (1) ، ويشير الى أقصى احتمالية لاحتفاظ التربة بالماء، أي حالة تشبع التربة بالماء وتوقف عملية التسرب وبدء الجريان السطحي، ويتم التوصل إلى هذه القيم (S) من خلال قيم(CN) التي تعبر عن العلاقة بين نوع الترب والغطاء الأرضي، وتشير قيم (S) القريبة من (0) الى ضعف إمكانية الترب على الاحتفاظ بالماء بعد بدء عملية الجريان السطحي ومن ثم زيادة فرص توليد الجريان السطحي، ويتساوى معدل احتفاظ التربة بالماء مع كمية المياه الجارية اذا وصلت قيمة(S) إلى قيمة الوسيط (10) انج وتساوي (254)ملم بالنظام المتري، وتزداد احتمالية احتفاظ التربة بالماء عند زيادة قيمة (S) عن قيمة الوسيط، ومن ثم تدني فرص الجريان السطحي⁽¹⁾.

تشغل المناطق ذات القيم (25.12) مساحة (6268.72) كم² ونسبة(13.73) %، يلاحظ جدول(6-16)، وخريطة (6-24) وتزداد فيها فرص توليد الجريان السطحي بسبب ضعف إمكانية هذه الترب على الاحتفاظ بالماء بعد بدء عملية الجريان السطحي وانخفاض التسرب المائي ووجود الترب الصخرية وسرعة امتلاء المسامات والتشققات السطحية، وتتنوع في العديد من مناطق بادية المثنى، في حين تشغل القيمة (149.17) مساحة (627.51) كم² ونسبة(1.38) % وهي المناطق الأقل قدرة على توليد الجريان السطحي، وتشغل المناطق الغربية، وتشغل الفئة(41.34) أكبر مساحة بالقياس لبقية الفئات إذ شغلت (30039.88) كم² ونسبة(65.8) %، وتتنوع في أغلب جهات بادية المثنى، وعموماً تمتاز منطقة الدراسة بالقدرة على توليد الجريان السطحي بسبب ضعف قدرة التربة على الاحتفاظ بالمياه ووجود الترب

(1) USDA, Natural Resources Conservation Service, Hydrology National Engineering Handbook., 2010,p 12

الصخرية غير المسامية فضلاً عن وجود الترب الجرداء والاراضي الرملية الحصوية، اما المناطق التي تمتاز بزيادة قدرة التربة على الاحتفاظ بالماء ومن ثم ضعف الجريان السطحي فيعود إلى وجود النباتات العشبية وزيادة عمق التربة التي تعيق حركة المياه، فضلاً عن وجود الترب الرملية والكثبان التي تتميز بزيادة قدرتها على التسرب ومن ثم اعاقا حركة المياه.

جدول (6-16) المساحات والنسب المئوية لفئات (Ia-S) في بادية المثنى

النسبة %	المساحة كم ²	فئات قيم La	النسبة %	المساحة كم ²	فئات قيم S/ملم
13.8	6298.72	6.28	13.73	6268.72	25.12
65.75	30019.89	10.33	65.8	30039.88	41.34
0.82	376.25	11.20	0.84	386.24	44.82
18.28	8345.34	18.96	18.25	8335.35	75.87
1.35	617.5	37.29	1.38	627.51	149.17
100	45657.7		100	45657.7	المجموع

المصدر: بالاعتماد على الخريطين (6-24) و (6-25) وبرنامج Arc GIS10.2.2 في حساب المساحات

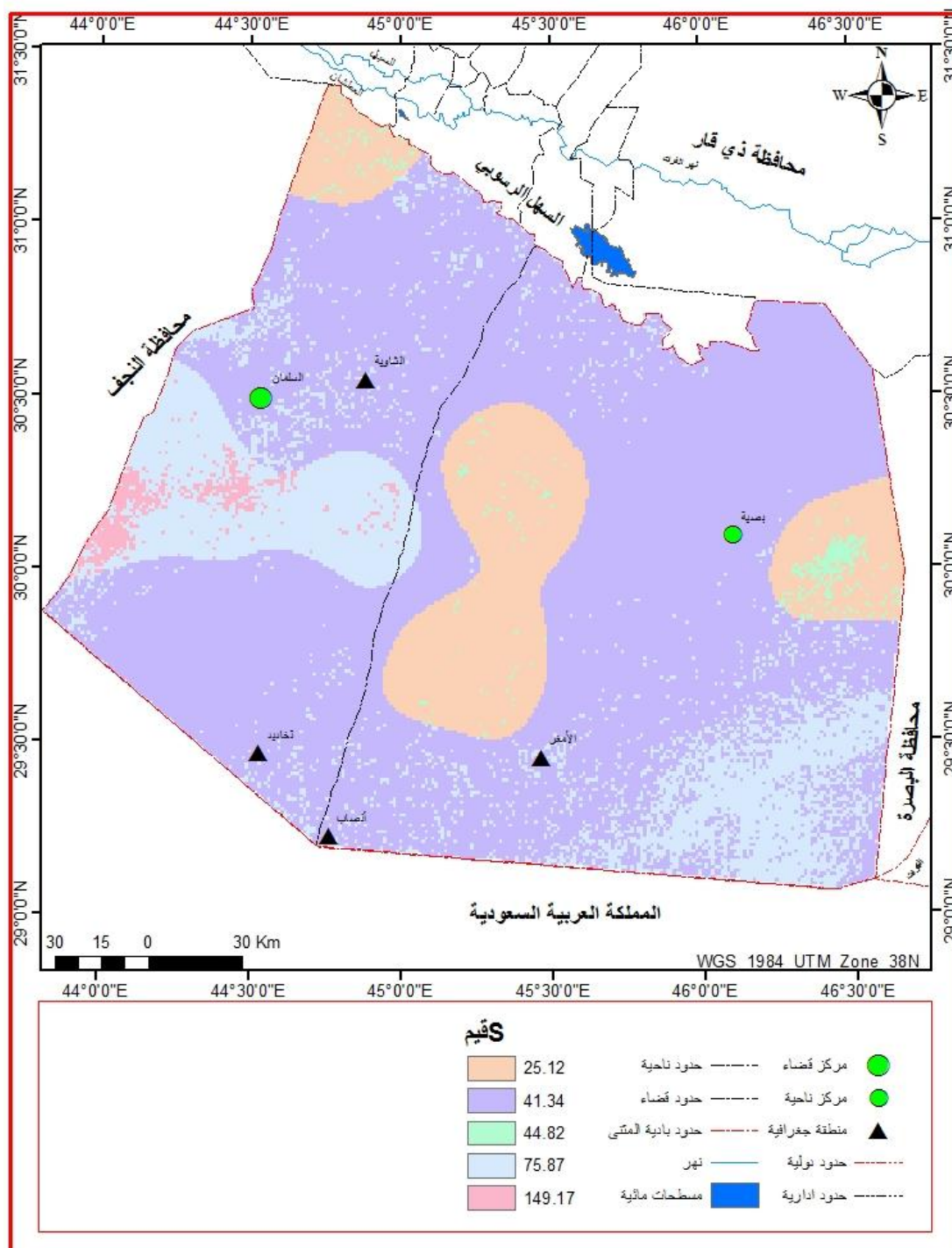
5- حساب معامل الاستخلاص الأولي (Initial abstraction):

يشير معامل الاستخلاص الأولي إلى مقدار مياه الأمطار المفقودة بالتبخر والتسرب والمعتزضة من قبل النباتات أو المياه السطحية قبل تحولها إلى الجريان السطحي، ويمثل (Ia) (0.25) من قيمة المعامل (S) ⁽¹⁾ ، وتبلغ قيمة الوسيط لهذا المعامل (2) انج التي تساوي (50.8) ملم في النظام المتري وهي (0.25) قيمة وسيط المعامل (S)، وكلما اقتربت قيم هذا المعامل من (0) قل الفاقد من مياه الامطار قبل بدء الجريان السطحي ومن ثم زيادة كميات المياه الجارية، ويتساوى معدل الاستخلاص الأولي مع معدل الجريان السطحي إذا ما بلغت قيمة (Ia) قيمة الوسيط (50.8) ملم، وتزداد كمية الفاقد من مياه الأمطار بارتفاع قيمة (Ia) عن قيمة الوسيط ومن ثم قلة الجريان السطحي ⁽²⁾، ويتم اشتقاق هذا المعامل بنفس الطريقة السابقة، من خلال (Raster Calculate) ضمن (Analysis Tools) من صندوق أدوات برنامج Arc GIS10.2.2. وبحسب المعادلة (2).

(1) USDA, ,Natural Resources Conservation Service, Hydrology, National, Engineering, Handbook, 2010, op cit,p13.

(2) Elena V. Brevnova, Green-Ampt Infiltration Model Parameter Determination Using, SCS Curve Number (CN) and Soil Texture Class, and Application to the SCS, Runoff Model, requirements for the degree of Master, College of Engineering and, Mineral Resources, at West Virginia University.,2001, p6.

خريطة (6-24) توزيع فئات قيمة (S) في بادية المثنى



المصادر: بالاعتماد على :

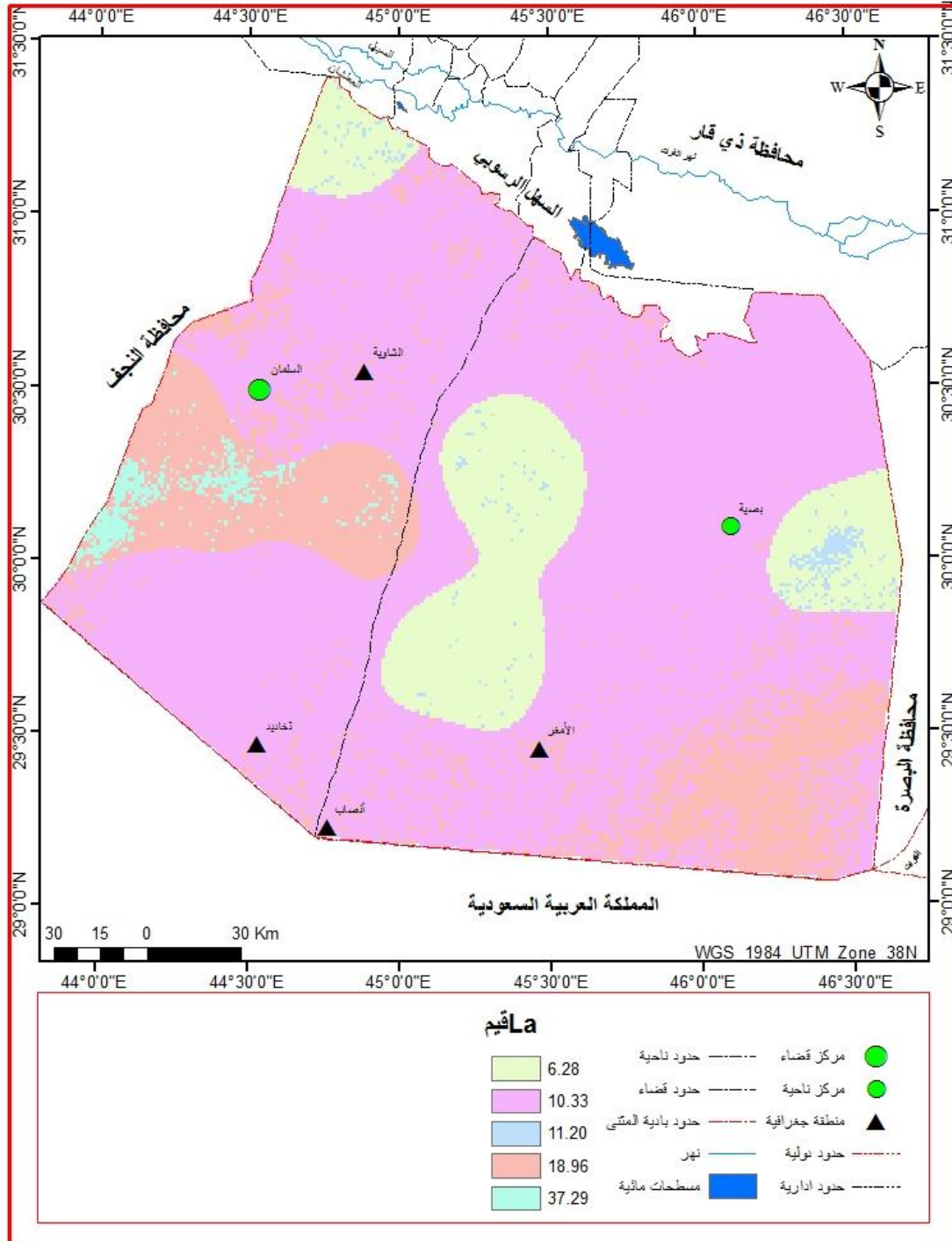
- 1- القمر الامريكي Land Sat 9، مرئية OLI، دقة تمييزية 15م، الحزم 4-3-2، 2022.
- 2- برنامج (Arc GIS 10.2.2).
- 3- المعادلة (1).

وتوزعت قيم هذا المعامل بما توضحه الخريطة (6-25) وجدول (6-16) بين (6.28) و (37.29)، وتوزعت قيم الفئة الاولى (6.28) بمساحة (6298.72) كم² ونسبة (13.8)% الى اقصى الشمال الشرقي ووسط وشرق منطقة الدراسة، وتشير هذه الفئة الى المناطق التي تتميز بقدرتها على توليد الجريان السطحي بسبب قلة الفاقد والتسرب وطبيعة الصخور الجرداء التي تغطي هذه المناطق، وتعد الفئة الثانية (10.33) من اكثر الفئات مساحةً وتوزعت في اغلب مناطق بادية المثنى إذ بلغت (30019.89) كم² ونسبة (65.75)%، وترتفع فيها القدرة على توليد الجريان السطحي، لكنها أقل قدرة من الفئة السابقة، اما الفئة الثالثة (11.20) فقد بلغت مساحتها (376.25) كم² ونسبة (0.82)%، وتعد من الفئات المتوسطة الجريان، وتتوزع في مناطق متفرقة من بادية المثنى، وتشغل هذه الفئة المناطق المنخفضة التي تتجمع فيها المياه، وشغلت الفئة الرابعة (18.96) مساحة (8345.34) كم² ونسبة (18.28)%، وتوزعت في العديد من اجزاء بادية المثنى وتزداد فيها القدرة على الاحتفاظ بالمياه ومن ثم تقل فيها القدرة على توليد الجريان السطحي واعاقة حركة المياه بسبب الترب العميقة والترب الرملية، اما الفئة الأخيرة (37.29) فشغلت مساحة (617.5) كم² ونسبة (1.35)%، وتشمل المناطق التي تزداد فيها قدرة التربة على الاحتفاظ بالمياه ومن ثم تقل القدرة على توليد الجريان السطحي، وتتوزع في مناطق متفرقة، وتشمل المنخفضات والمناطق التي يكثر بها النبات الطبيعي والمناطق الزراعية والترب الرملية العميقة، يلاحظ خريطة (6-25) وجدول (6-16).

6-تقدير عمق الجريان (Q)(Runoff Depth): احتسب عمق الجريان المائي اعتماداً على أعلى زخة مطرية خلال سنة واحدة، ويعبر عن عمق الجريان السطحي بأنه ذلك الجزء من التساقط المطري الذي يزيد من القدرة الامتصاصية للتربة نتيجة لزيادة معدلات التساقط المطري متخذاً لنفسه عدة مستويات حسب جيومورفولوجية منطقة الدراسة وانحدارها، ليحصل التجمع التدريجي ويصل الى المجاري المائية ليصبح جزءاً منها⁽¹⁾، ويعبر عمق الجريان السطحي عن مقدار ارتفاع قيمة المياه الجارية (ملم) الناتجة عن العاصفة المطرية، وتعتمد قيمة (Q) على كمية الامطار المتساقطة وطبيعة الغطاء الارضي.

(1) صهيب خضير حسن , بناء نموذج جغرافي في الجريان المائي السطحي في الجزء الشمالي منطقة الجزيرة ,العراق ,اطروحة دكتوراه(غير منشورة) ,جامعة الموصل ,كلية التربية، 2005، ص70.

خريطة (6-25) توزيع فئات قيمة (Ia) في بادية المثنى



المصادر: بالاعتماد على:

1- القمر الامريكي Land Sat 9، مرئية OLI، دقة تمييزية 15م، الحزم 4-3-2، 2022.

2- برنامج (Arc GIS 10.2.2).

3- المعادلة (2)

ولغرض احتساب هذه القيمة تم الاستعانة بالبيانات المناخية للمحطات المنتخبة في منطقة الدراسة الامطار (P) للمدة من (1992-2022) بالاعتماد على طريقة (Spline) لاشتقاق

مصفوفة المطر بصيغة (Raster)، ويتم تطبيق هذه المعادلة ضمن بيئة برنامج (GIS10.2.2. Arc)، ويعتمد حسابها على الخلية (Pixel)، ويستعاض عن مساحة منطقة الدراسة بـ(900م²، بدلاً منها لكي تُحسب هذه القيمة على أساس الخلية باستخدام المعادلة (3).

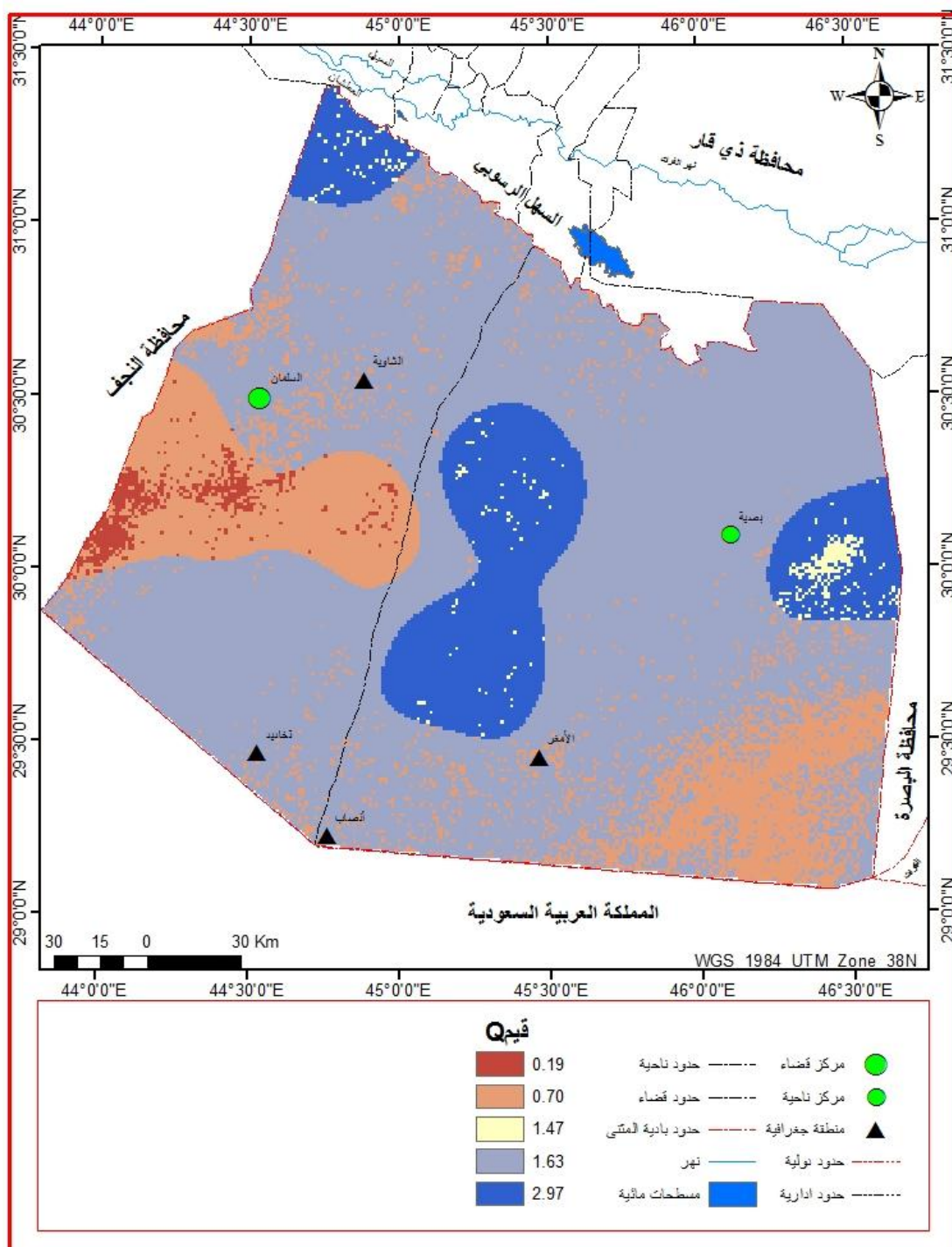
وعند تحليل جدول (6-17) وخريطة (6-26) يمكن ملاحظة ان قيم عمق الجريان تراوحت بين (0.19) و (2.97)، وتمثلت الفئة الاولى جنوب السلطان بمساحة (627.52) كم² ونسبة (1.37) %، وتمثل المناطق التي تتخفص فيها القدرة على اوصول المياه الى المسيلات المائية بسبب القدرة الامتصاصية للتربة، في حين بلغت مساحة الفئة الاخيرة (6268.72) كم² ونسبة (13.73) % توزعت في اقصى الشمال الغربي ووسط وشرق منطقة الدراسة، وتمثل المناطق الأكثر قدرة على توليد التجميع التدريجي للمياه في الرتب المائية المتدنية وصولاً لأعلى رتبة في الأحواض الرئيسة ليصبح جزءاً منها، وبلغت مساحة الفئة (0.70) (8335.35) كم² ونسبة (18.25) % وتوزعت إلى الجنوب من السلطان والجنوبي الشرقي والشمال الغربي، فضلاً عن مناطق متفرقة اخرى من منطقة الدراسة، وشغلت الفئة (1.47) مساحة (386.23) كم² ونسبة (0.85) % وهي اقل الفئات مساحة وتركزت الى الجنوب الغربي من بضية فضلاً عن العديد من اجزاء منطقة الدراسة، وشغلت الفئة (1.63) مساحة (30039.88) كم² ونسبة (65.8) % وتعد أكبر الفئات من حيث المساحة في بادية المثنى وتتوزع في اغلب المناطق، ومن خلال ما تقدم تبين ان المنطقة من المناطق الأكثر قدرة على اوصول مياه العاصفة المطرية من المراتب المتدنية وصولاً إلى اعلى مرتبة في الوديان الرئيسة، بنسبة (79.53) % والسبب في ذلك يرجع إلى طبيعة الغطاء الارضي وقلة العوائق.

جدول (6-17) فئات ومساحات والنسبة المئوية لـ (Q) في بادية المثنى

النسبة %	المساحة كم ²	فئات قيم (Q)
1.37	627.52	0.19
18.25	8335.35	0.70
0.85	386.23	1.47
65.8	30039.88	1.63
13.73	6268.72	2.97
100	45657.7	المجموع

المصدر: بالاعتماد على الخريطة (6-26) وبرنامج Arc GIS10.2.2 في حساب المساحات

خريطة (6-26) توزيع قيم عمق الجريان السطحي (Q)



المصادر: بالاعتماد على :

1- القمر الامريكي Land Sat 9، مرئية OLI، دقة تمييزية 15م، 2022.

2- برنامج (Arc GIS 10.2.2).

3- المعادلة (3)

7-تقدير حجم الجريان السطحي (Qv)(Runoff Rate) : يُشتق هذا المعامل من خلال (Raster Calculate) ضمن (Analysis Tools) من صندوق أدوات برنامج Arc GIS10.2.2 وبحسب المعادلة (4)، يلاحظ شكل(6-6)، ويتم احتساب قيمة(Qv)لكل بكسل، ويساعد تقدير حجم الجريان السطحي على تحديد مناطق تجمع المياه، ومن ثم تحديد أفضل المناطق لتخزين المياه وبناء السدود أو حفر الآبار، وعند تطبيق المعادلة(4)، يلاحظ جدول(6-18) وخريطة(6-27) نستنتج ما يأتي:

1-الفئة(1.17): شغلت هذه الفئة مساحة(627.51)كم² ونسبة(1.37)% وحجم جريان سنوي(0.172081)مليار/م³ وتأتي بالمرتبة الثانية من حيث المساحة المشغولة، وتوزعت في العجلان والعيبة.

2-الفئة(0.63): شغلت هذه الفئة مساحة(8335.36) كم²ونسبة(18.26)% وحجم جريان سنوي(0.630625)مليار/م³، وتوزعت إلى الجنوب الشرقي في مناطق (محول محيفيرة وضليعة والشياحات وخشم الجدر والشاهوب والأمر) فضلاً عن مناطق(هدانية والسعادة والشفلحية والزفراوية وأبو نفيلة) ومناطق أخرى متفرقة.

3-الفئة(1.32): شغلت هذه الفئة مساحة(386.24) كم²ونسبة(0.85)% وحجم جريان سنوي(1.323013)مليار/م³ وتعد أقل الفئات من حيث المساحة، وتوزعت في مناطق متفرقة من بادية المثنى، وتعد من المناطق المتوسطة من حيث حجم الجريان السطحي.

شكل(6-6)تقدير حجم الجريان السطحي (Qv)(Runoff Rate)

Rowid	VALUE	COUNT	perce	RE_LAND	LAND	CLASS	CN	AREA	CLASS_Soil	CNW	CN2	Q	QV
0	1	62	1	0	Farms	c	85	457	3	0.850763	0.708	1.470	1.323013
1	2	1604	4	3	Rocks	c	91	1826	3	3.836283	3.0208	2.972	2.875453
2	3	4320	10	2	Barren soil	c	91	4596	3	9.100189	7.553	2.972	2.875453
3	4	303	1	1	Natural plant	c	85	457	3	0.850763	0.708	1.470	1.323013
4	5	20459	47	2	Barren soil	b	86	21459	2	40.418625	33.54	1.630	1.467047
5	6	455	1	0	Farms	b	77	457	2	0.770691	0.6396	0.700	0.630625
6	7	4143	10	1	Natural plant	b	77	4596	2	7.700169	6.39	0.700	0.630625
7	8	7929	18	3	Rocks	b	86	8218	2	15.478832	12.84	1.630	1.467047
8	9	570	1	1	Natural plant	a	63	457	1	0.630566	0.52	0.191	0.172081
9	10	1782	4	3	Rocks	a	77	1826	1	3.078393	2.5558	0.700	0.630625
10	11	1467	3	2	Barren soil	a	77	1370	1	2.310369	1.9176	0.700	0.630625
11	12	23	0	0	Farms	a	63	0	1	0	0	0.191	0.172081

المصدر: باعتماد برنامج Arc GIS10.2.2

4-الفئة(1.46): شغلت هذه الفئة مساحة(30039.88)كم² ونسبة(65.79)% وحجم جريان سنوي(1.467047)مليار/م³ وتعد أكبر الفئات من حيث المساحة وتأتي بالمرتبة الثانية من حيث حجم الجريان السطحي، وتوزعت في أغلب المناطق في بادية المثنى.

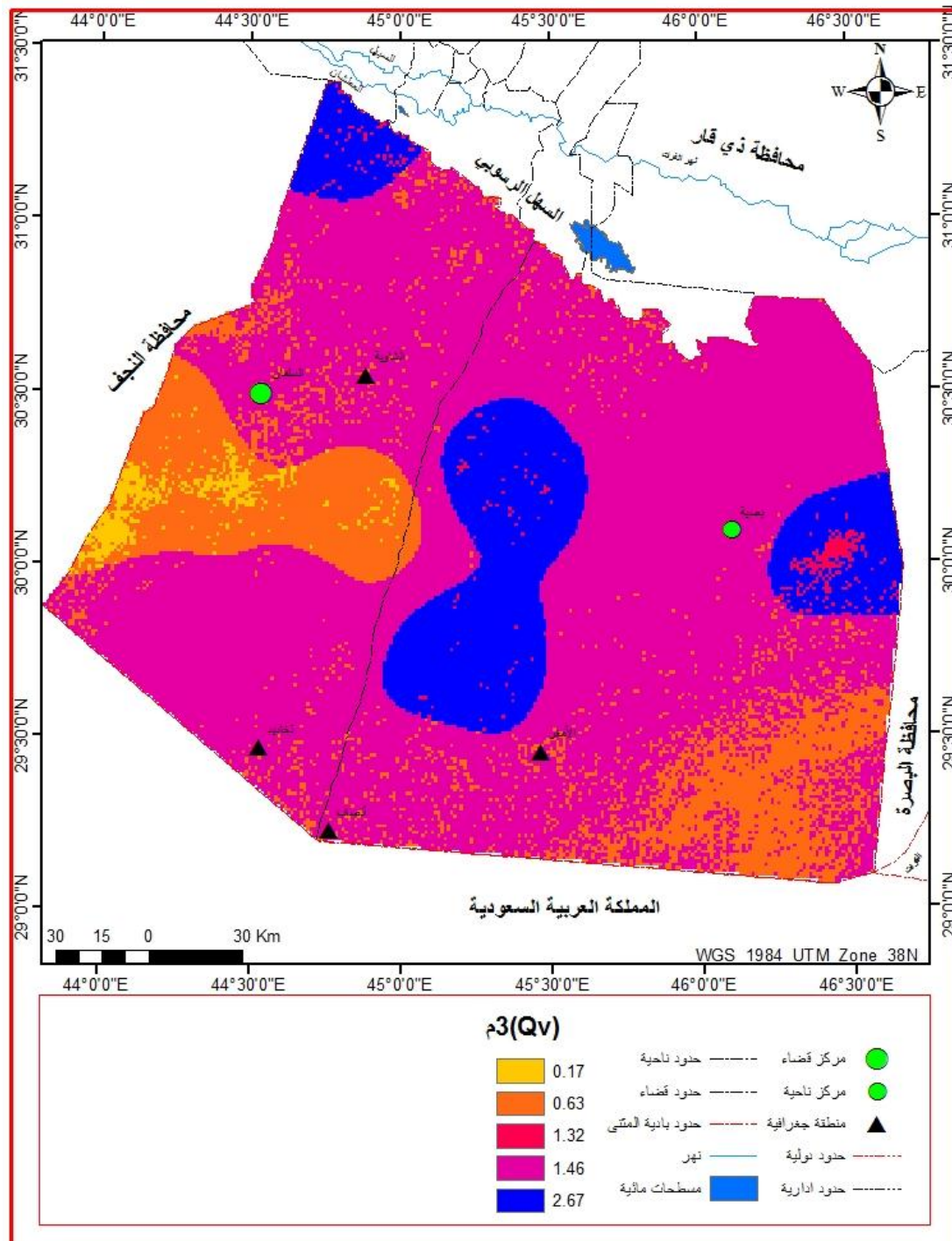
5-الفئة(2.67): شغلت هذه الفئة مساحة(6268.71) كم² ونسبة(13.73)% وحجم جريان سنوي(2.675453)مليار/م³ وتعد أكبر الفئات من حيث حجم الجريان السطحي، وتوزعت في العديد من اجزاء منطقة الدراسة، ولاسيما إلى الغرب من بضية في مناطق (الأبطية وصالح) ووسط منطقة الدراسة في مناطق(رضيمة وأم الطوب وأم قطع والغرابي وأم حليب) وأقصى الشمال الغربي ولا سيما في مناطق (الشماد وأبو جلود)، ويتضح من ذلك بأن اغلب جهات منطقة الدراسة تتمتع بحجم جريان سطحي مرتفع نسبياً، بسبب طبيعة الغطاء الأرضي لبادية المثنى، ومن ثم امكانية توجيه هذه المياه إلى المنخفضات الطبيعية لغرض الاستفادة منها في الاستخدامات المختلفة ومنها الزراعية، وتحقيق تنمية مستدامة للمنطقة فضلاً عن تثبيت التربة والتقليل من هدر هذا المورد، يلاحظ صورة(6-2).

جدول(6-18) حجم ومساحة والنسبة المئوية لحجم الجريان السنوي (Qv)م³

الفئات	المساحة كم ²	النسبة %	حجم الجريان السنوي (Qv)مليار/م ³
1.17	627.51	1.37	0.172081
0.63	8335.36	18.26	0.630625
1.32	386.24	0.85	1.323013
1.46	30039.88	65.79	1.467047
2.67	6268.71	13.73	2.675453
المجموع	45657.7	100	6.268219

المصدر: باعتماد الخريطة(6-27) وبرنامج Arc GIS10.2.2 في حساب المساحات

خريطة (6-27) توزيع قيم حجم الجريان السطحي (Qv) م3



المصادر: بالاعتماد على:

- 1- القمر الامريكي Land Sat 9، مرئية OLI، دقة تمييزية 15م، الحزم 4-3-2، 2022.
- 2- برنامج (Arc GIS 10.2.2).
- 3- المعادلة (4)

صورة(6-2) تمثل طبيعة الغطاء الأرضي في بادية المثنى



31° 2' 31.87" N 45° 18' 41.36" E

المصدر : الدراسة الميدانية 2022/2/25

6-3- دور نظم المعلومات الجغرافية والاستشعار عن بعد في الكشف عن مكامن المياه الجوفية

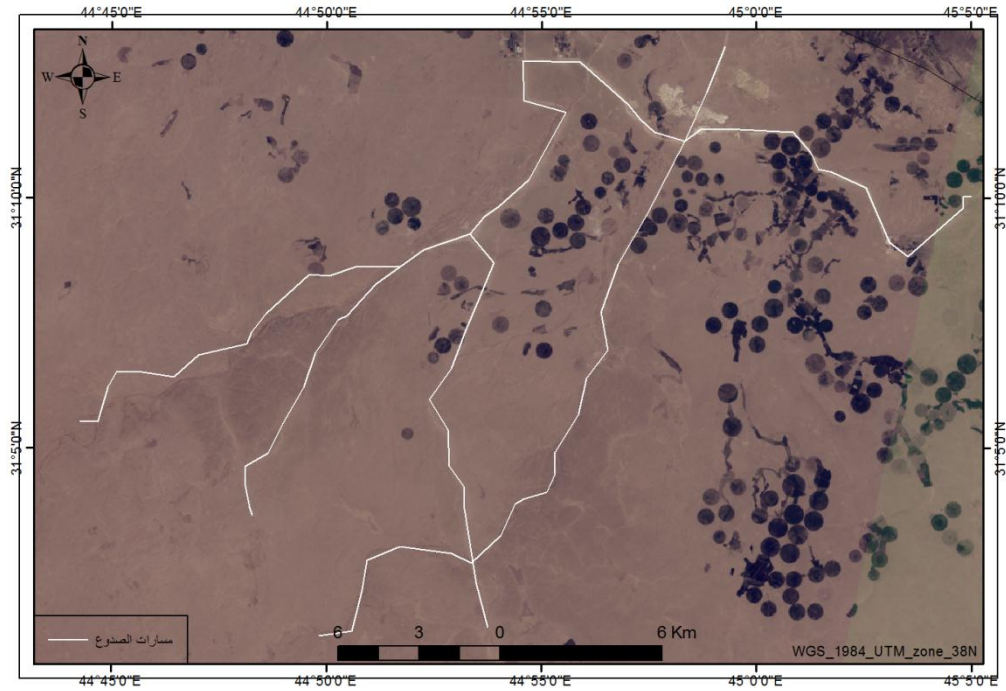
يعد استخدام نظم المعلومات الجغرافية والمرئيات الفضائية من انسب التقنيات المستخدمة في الكشف وبكلف واطئة عن احتمالية وجود المياه الجوفية وتحقيق الجدوى الاقتصادية من استثمارها، بسبب سهولة توفر المرئيات ولفترات مختلفة، مما يتيح فرصة لدراسة المجاري المائية وتحديد اماكن التجمع تحديداً دقيقاً من خلال تتبع الفوالق والقواطع والتراكيب الخطية، يلاحظ خريطة(6-28)، فضلاً عن الاراضي المنخفضة، يلاحظ شكل(6-3) واحواض التصريف والوديان والمجاري التي تكونت خلال الفترات المطيرة والعيون والسباخ التي يرتبط تواجدتها مع الفوالق والكسور، والقشرة الجبسية الصحراوية التي تكونت بفعل تراكم الاملاح الجبسية على السطح نتيجة لجفاف المناخ، واعتماد مؤشرات الادلة الرقمية مثل (NDW- NDVI) في المنطقة لدلالة على التوزيع المكاني للأراضي الزراعية، فضلاً عن انتشار الغطاء النباتي الذي يعد دلالة على قرب المياه الجوفية من السطح، ووجود التجمعات المائية خلال فترة فيضان الاودية.

6-4- دور الموارد المائية (المياه الجوفية) في التنمية المستدامة في بادية المثنى:

تعد الدراسات الجيومورفولوجية التي تناولت الموارد المائية من الدراسات التي لاقت اهتمام بالغ، لأن استثمار هذا المورد بصورة عقلانية واتباع الاساليب العلمية وتجنب الهدر يؤدي إلى المحافظة على التربة وتقليل أثر التعرية وفقدان التربة، ويتم تحديد دور الموارد المائية في التنمية

المستدامة في بادية المثنى عن طريق تقييم صلاحية المياه الجوفية وفقاً للمعايير العالمية والمحلية، لتسليط الضوء على الاستفادة من هذه المياه في المجالات المتعددة من أجل تحقيق التنمية المستدامة في المنطقة، فضلاً عن بناء قاعدة بيانات جغرافية يمكن الاستفادة منها لتقييم صلاحية المياه الجوفية باعتبارها من أهم مصادر المياه في منطقة الدراسة.

خريطة (6-28) دلائل وجود المياه الجوفية (الصدوع)



المصادر: بالاعتماد على:

- 1- القمر الأمريكي LandSat 9، مرئية OLI، دقة تمييزية 15م، الحزم 4-3-2، 2022.
- 2- برنامج (Arc GIS 10.2.2).

6-4-1- تقييم صلاحية المياه الجوفية لأغراض الاستخدام البشري (الشرب):

يعد الاستخدام البشري الأكثر تأثيراً من بين الاستخدامات الأخرى كونه على تماس مباشر بصحة الانسان، ويعد اللون والطعم والرائحة والخلو من العناصر المشعة من أهم معايير صلاحية المياه للاستخدام البشري، وتمثل المقاييس التي اتبعتها منظمة الصحة العالمية (WHO) والمواصفات المحلية (IQS) من أهم المقاييس المتبعة لتحديد مدى صلاحية المياه لأغراض الشرب، يلاحظ جدول (6-19).

جدول(6-19) صلاحية المياه للشرب وفقا (W.H.O) و(IQS)

العناصر ملغم/لتر	مواصفات (W.H.O)		مواصفات (IQS)	الآبار المطابقة
	الحد الأدنى	الحد الأعلى		
EC	-	1530	1500	7
TDS	500	1500	1500	11
Ph	6.5	8.5	8.5	مطابقة
Ca++	75	200	200	24
Na+	50	200	200	21
Mg++	50	150	150	38
K+	1.4	20.4	-	37
Cl-	200	600	600	27
No3-	11	80.2	50	مطابقة
So4--	200	400	400	10

المصادر: بالاعتماد على:

- 1-المواصفات القياسية العراقية، مسودة تحديث المواصفات القياسية المرقمة(424)، 2009، ص4-5.
- 2- world Health organization (WHO), Guidelines – for Drinking water Quality –Geneva , Switzerland , edition , 2004 , p488-493.

يتضح من مقارنة الخصائص الفيزيائية والكيميائية للجدولين (6-9) و(6-19) ما يأتي:

1-أن معدل قيم (EC) هو (3997.42) ميكروموز /سم، وكانت الآبار-17-15-10-9-1) (47-42 ضمن الحد المسموح به وحسب المواصفات العالمية والعراقية.

2-أن معدل قيم (TDS) هو (2853.86) ملغرام/لتر، وكانت الآبار-17-15-10-9-8-1) (50-47-42-31-18 ضمن الحد المسموح به في المواصفات العالمية العراقية.

3-أن معدل قيم (pH) هو (7.40) ويعد ضمن الحد المسموح به في المواصفات العالمية العراقية.

4-أن معدل قيم (Ca++) هو (212.76) ملغرام/لتر، وكانت الآبار-14-13-11-9-2) (51-50-49-47-44-43-41-40-36-35-33-31-28-23-19-18-17-15) (52) ضمن الحد المسموح به في المواصفات العالمية العراقية.

5-أن معدل قيم (Na+) هو (332.69) ملغرام/لتر، وكانت الآبار-17-15-12-10-8-1) (47-45-44-42-41-40-36-35-32-31-30-27-26-24-22) ضمن الحد المسموح به في المواصفات العالمية العراقية.

6-أن معدل قيم (Mg++) هو (109.40) ملغرام/لتر، وكانت الآبار-24-22-14-7-5) (51-49-46-43-40-37-34-28-26) خارج الحد المسموح به في المواصفات العالمية العراقية.

7- أن معدل قيم (K+) هو (25.41) ملغرام/لتر، وكانت الآبار-22-18-16-14-13-5
(51-49-43-42-41-32-29-26-23 خارج الحد المسموح به في المواصفات العالمية العراقية.

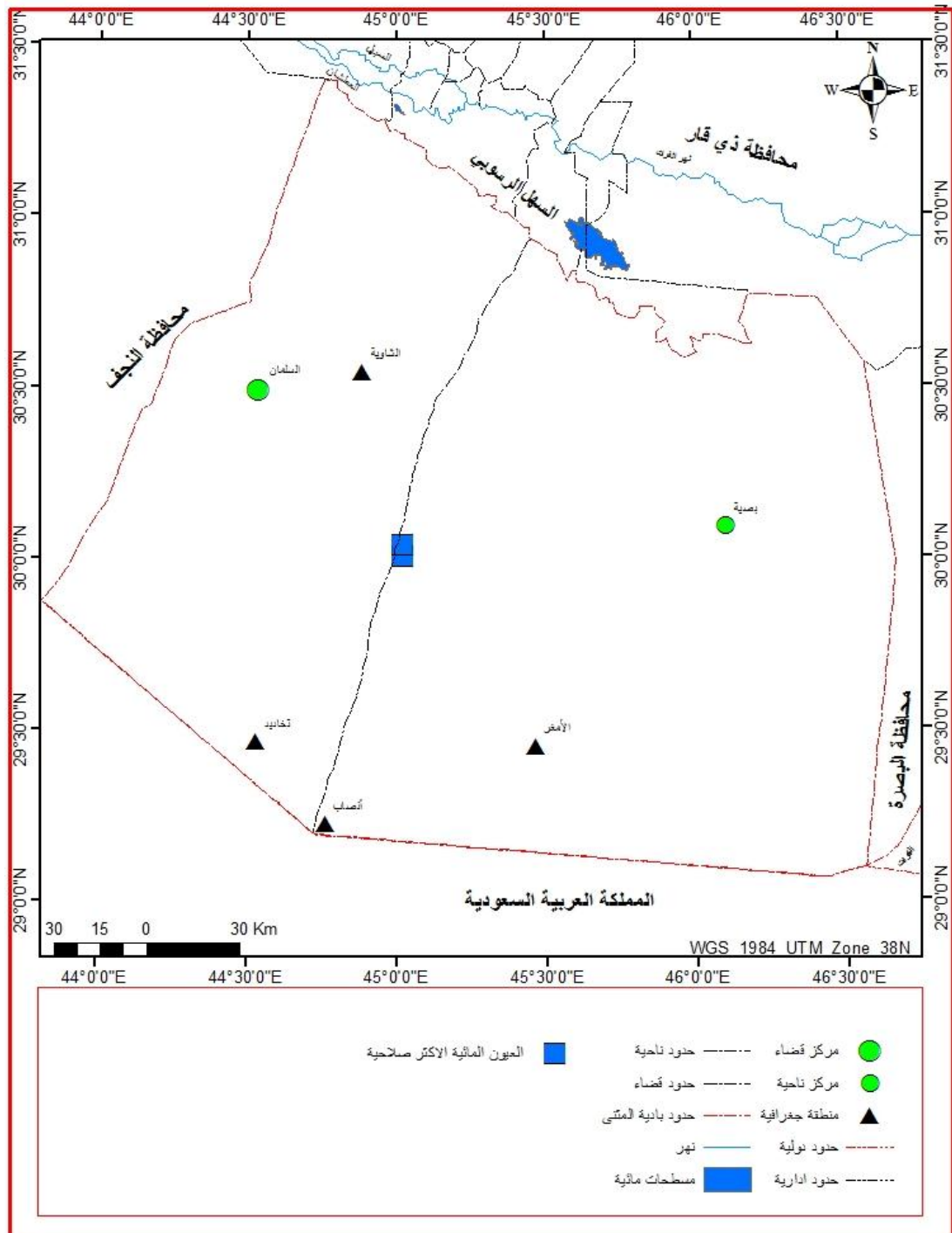
8- أن معدل قيم (Cl-) هو (538.07) ملغرام/لتر، وكانت الآبار-22-20-18-17-16
(52-50-43-42-41-40-39-33-32-29-28-27-26-24 ضمن الحد المسموح به في المواصفات العالمية العراقية.

9- أن معدل قيم (No3-) هو (2.24) ملغرام/لتر، ويعد ضمن الحد المسموح به في المواصفات العالمية العراقية.

10- أن معدل قيم (So4--) هو (766.53) ملغرام/لتر، وكانت الآبار-21-19-15-2-1
(49-47-38-35-32 ضمن الحد المسموح به في المواصفات العالمية العراقية.

يتبين من ذلك إن أكثر المواقع صلاحية ووفقاً (W.H.O) و(IQS) هي (11-17) يلاحظ خريطة(6-29)، لذا يرى الباحث أهمية نصب المحطات المائية الخاصة بالتحلية في هذه المواقع بسبب الملاءمة النسبية لنوعية المياه وحسب المواصفات المتبعة في الدراسة وتزويد المناطق القريبة بالمياه الصالحة للشرب، فضلاً عن بقية المواقع التي يمكن الاستفادة منها، يلاحظ صورة(6-3).

خريطة (6-29) المواقع الأكثر صلاحية لمياه الشرب وفقا (W.H.O) و(IQS)



المصادر: بالاعتماد على جدول(6-19)

صورة (6-3) تمثل إحدى المواقع المقترحة لنصب المحطات الخاصة بتحلية المياه



29° 53' 6.08" N 44° 33' 17.93" E

المصدر: الدراسة الميدانية (2021-1-21)

6-4-2-صلاحية المياه الجوفية للإرواء الزراعي:

للتوسع في الانتاج الزراعي وزيادة المساحات الخضراء دوراً مهماً في الحفاظ على التربة من التدهور والفقدان بسبب عوامل التعرية المختلفة، فضلاً عن أهمية الزراعة كونها من الأنشطة الاقتصادية التي ترتبط بشكل مباشر بتوفير المواد الغذائية والصناعية المختلفة وتحقيق الامن الغذائي، إن صلاحية المياه للإرواء الزراعي يعتمد بشكل رئيس على مدى تركيز ايون الصوديوم، كون هذا العنصر يؤثر في خواص التربة فضلاً عن تأثيره على نمو النباتات⁽¹⁾، وهناك العديد من المعايير المعتمدة التي يمكن من خلالها تقييم صلاحية المياه الجوفية للإرواء الزراعي:

6-4-2-1-نسبة امتزاز الصوديوم (SAR):

تؤدي زيادة هذه النسبة إلى تشتت التربة وتحطيمها وتحولها إلى تربة قلوية يصعب استصلاحها، وتحسب وفق المعادلة الآتية⁽²⁾:

$$SAR = Na / \sqrt{Ca + Mg} / 2$$

SAR=قيم امتزاز الصوديوم

Na = ملي مكافئ/لتر صوديوم

(1) محمد بهجت ثامر ، هيدرولوجية حوض بحر النجف باستخدام نظم المعلومات الجغرافية ، رسالة ماجستير

، غير منشورة ،كلية التربية، ابن رشد،جامعة بغداد ، 2007،ص136.

(2)D.k. Todd. Ground water hydrology, 2nd edition, John wiely and sons, Inc, Toppon printing company, Ltd. Newyork,1980.p.336

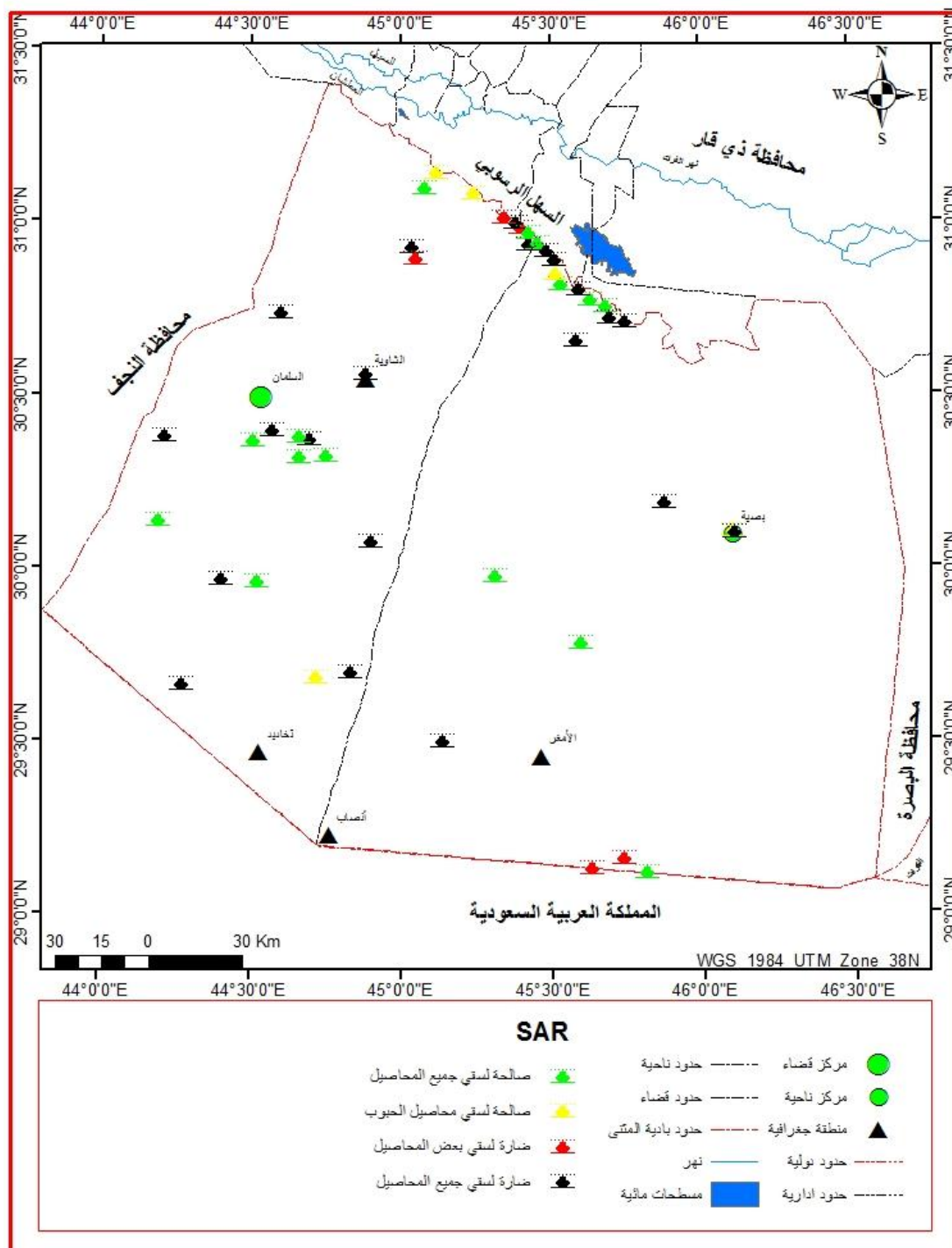
Ca= ملي مكافئ/لتر كالسيوم

Mg= ملي مكافئ/لتر مغنسيوم

وتتحدد صلاحية المياه للري على النحو الآتي:

- 1-أقل من 10 صالحة لسقي جميع المحاصيل.
 - 2-بين 10-18 صالحة لسقي محاصيل الحبوب بشكل خاص.
 - 3-بين 18-26 ضارة لسقي بعض المحاصيل.
 - 4-أكثر من 26 ضارة لسقي لجميع المحاصيل.
- يلاحظ عند تحليل خريطة(6-30) وجدول(6-20) إن هناك تباين في صلاحية مياه الآبار حسب هذه المعادلة لغرض الإرواء الزراعي، وإن هناك (17) بئر نسبة أمتراز الصوديوم أقل من (10) لذا فإن مياهه صالحة لسقي جميع المحاصيل الزراعية وتتنوع هذه الآبار في اغلب المناطق، وتركزت الآبار التي بلغت نسبة أمتراز الصوديوم بين(10-18) التي تكون مياهها صالحة لمحاصيل الحبوب بشكل خاص في الاقسام الشمالية، إذ إن هذه المياه لا يمكن استخدامها في الترب ذات النسجة الناعمة الا في حالة وجود الجبس فيها، في حين توزعت مياه الآبار بين (18-26) أو أكثر في العديد من جهات منطقة الدراسة.

خريطة (6-30) التوزيع المكاني لنسبة أمتزاز الصوديوم (SAR) لآبار بادية المثنى



المصادر: بالاعتماد على جدول (6-20)

جدول (6-20) صلاحية المياه الجوفية للأغراض الزراعية وفقاً لـ (SAR)

ت	Y	X	(SAR)	الصلاحية
1	31° 8' 38.299" N	45° 6' 57.200" E	2.619978	صالحة لسقي جميع المحاصيل
2	31° 5' 57.001" N	45° 4' 47.302" E	52.92235	ضارة لسقي جميع المحاصيل
3	31° 5' 9.600" N	45° 14' 32.500" E	16.15406	صالحة لسقي محاصيل الحبوب بشكل خاص
4	29° 8' 1.201" N	45° 37' 39.299" E	25.5451	ضارة لسقي بعض المحاصيل
5	29° 9' 41.800" N	45° 44' 2.900" E	32.52359	ضارة لسقي جميع المحاصيل
6	30° 59' 11.101" N	45° 24' 2.300" E	22.76753	ضارة لسقي بعض المحاصيل
7	31° 0' 48.301" N	45° 20' 37.601" E	24.00817	ضارة لسقي بعض المحاصيل
8	31° 8' 38.299" N	45° 6' 57.200" E	14.63986	صالحة لسقي محاصيل الحبوب بشكل خاص
9	30° 53' 31.402" N	45° 30' 49.201" E	48.48762	ضارة لسقي جميع المحاصيل
10	30° 56' 25.699" N	45° 27' 26.100" E	5.331166	صالحة لسقي جميع المحاصيل
11	30° 55' 2.701" N	45° 29' 6.202" E	40.7674	ضارة لسقي جميع المحاصيل
12	29° 7' 19.200" N	45° 48' 39.701" E	7.076923	صالحة لسقي جميع المحاصيل
13	30° 48' 28.390" N	45° 35' 40.548" E	140.028	ضارة لسقي جميع المحاصيل
14	31° 0' 48.301" N	45° 20' 37.601" E	54.5805	ضارة لسقي جميع المحاصيل
15	30° 58' 16.601" N	45° 25' 29.399" E	7.964953	صالحة لسقي جميع المحاصيل
16	30° 39' 30.499" N	45° 34' 58.501" E	35.85223	ضارة لسقي جميع المحاصيل
17	30° 6' 32.800" N	46° 6' 13.100" E	10.22204	صالحة لسقي محاصيل الحبوب بشكل خاص
18	30° 6' 14.101" N	46° 6' 33.199" E	67.3507	ضارة لسقي جميع المحاصيل
19	30° 39' 30.499" N	45° 34' 58.501" E	63.26997	ضارة لسقي جميع المحاصيل
20	30° 4' 41.700" N	44° 54' 4.702" E	25.43655	ضارة لسقي بعض المحاصيل
21	30° 55' 44.198" N	45° 2' 6.000" E	31.65228	ضارة لسقي جميع المحاصيل
22	29° 58' 43.702" N	45° 18' 37.400" E	3.970507	صالحة لسقي جميع المحاصيل
23	29° 40' 0.098" N	44° 16' 22.501" E	46.12453	ضارة لسقي جميع المحاصيل
24	29° 47' 11.299" N	45° 35' 48.901" E	6.667007	صالحة لسقي جميع المحاصيل
25	30° 53' 53.200" N	45° 2' 58.099" E	20.49101	ضارة لسقي بعض المحاصيل
26	30° 45' 32.900" N	45° 41' 5.302" E	5.742856	صالحة لسقي جميع المحاصيل
27	29° 57' 53.201" N	44° 31' 13.800" E	6.372255	صالحة لسقي جميع المحاصيل
28	30° 42' 44.302" N	45° 44' 47.800" E	35.28039	ضارة لسقي جميع المحاصيل

الفصل السادس.....الموارد المائية في بادية المثنى ودورها في التنمية المستدامة

ضارة لسقي جميع المحاصيل	27.2555	44° 24' 0.601" E	29° 58' 8.198" N	29
صالحة لسقي جميع المحاصيل	3.726207	44° 45' 2.002" E	30° 19' 41.200" N	30
صالحة لسقي جميع المحاصيل	8.645189	45° 37' 59.652" E	30° 46' 33.325" N	31
صالحة لسقي جميع المحاصيل	6.998789	44° 39' 30.499" E	30° 19' 26.501" N	32
ضارة لسقي جميع المحاصيل	32.63767	45° 25' 42.389" E	30° 56' 16.494" N	33
ضارة لسقي جميع المحاصيل	34.82631	45° 52' 26.101" E	30° 11' 23.100" N	34
صالحة لسقي محاصيل الحبوب بشكل خاص	14.70568	45° 2' 58.099" E	30° 53' 53.200" N	35
صالحة لسقي جميع المحاصيل	9.101821	45° 30' 56.721" E	30° 51' 7.769" N	36
ضارة لسقي جميع المحاصيل	28.04525	45° 8' 16.001" E	29° 30' 0.299" N	37
ضارة لسقي جميع المحاصيل	31.44002	45° 8' 16.001" E	29° 30' 0.299" N	38
ضارة لسقي جميع المحاصيل	35.76471	44° 41' 33.400" E	30° 22' 30.601" N	39
صالحة لسقي جميع المحاصيل	6.291982	44° 11' 38.800" E	30° 8' 17.801" N	40
صالحة لسقي جميع المحاصيل	4.604801	45° 20' 37.601" E	31° 0' 48.301" N	41
صالحة لسقي جميع المحاصيل	7.201931	44° 30' 23.000" E	30° 22' 18.800" N	42
ضارة لسقي جميع المحاصيل	49.76723	45° 22' 55.700" E	30° 59' 54.802" N	43
صالحة لسقي جميع المحاصيل	2.748737	44° 39' 39.499" E	30° 22' 48.202" N	44
صالحة لسقي جميع المحاصيل	5.114782	45° 32' 3.199" E	30° 49' 11.100" N	45
ضارة لسقي جميع المحاصيل	45.62661	44° 50' 2.000" E	29° 42' 9.299" N	46
صالحة لسقي محاصيل الحبوب بشكل خاص	10.95673	44° 43' 8.101" E	29° 41' 8.401" N	47
ضارة لسقي جميع المحاصيل	27.93304	45° 41' 39.583" E	30° 43' 32.841" N	48
ضارة لسقي جميع المحاصيل	77.03978	44° 52' 51.701" E	30° 33' 46.199" N	49
ضارة لسقي جميع المحاصيل	80.66568	44° 12' 41.000" E	30° 22' 59.200" N	50
ضارة لسقي جميع المحاصيل	35.47924	44° 35' 54.398" E	30° 44' 32.399" N	51
ضارة لسقي جميع المحاصيل	38.57217	44° 34' 12.202" E	30° 23' 56.900" N	52

المصدر: بالاعتماد على جدول (6-9)

6-4-2-2- النسبة المئوية للصوديوم (Na)%

يؤدي زيادة تركيز أيون الصوديوم إلى تقليل مسامية ونفاذية الترب ويزيد من صلابتها، ومن ثم يعيق قدرة النبات على مد جذوره، فضلاً عن سميته التي تؤثر على البكتريا النافعة في التربة، ويمكن حساب هذه النسبة من خلال المعادلة الآتية⁽¹⁾:

$$Na\% = (Na+K) / (Ca+Mg+Na+K) \times 100$$

إذ إن :

Na%=تركز أيون الصوديوم% في المياه

Na=تركز أيون الصوديوم في المياه

K=تركز أيون البوتاسيوم في المياه

Ca=تركز أيون الكالسيوم في المياه

Mg=تركز أيون المغنسيوم في المياه

وبناءً على ذلك فقد صنف (Todd) المياه وحسب الجدول (6-21)

جدول (6-21) تصنيف (Todd) للمياه وحسب النسبة المئوية للصوديوم (Na)

الصنف	Na%
ممتاز	أقل من 20%
جيد	20-40%
مسموح به	40-60%
مشكوك به	60-80%
غير صالح	أكثر من 80%

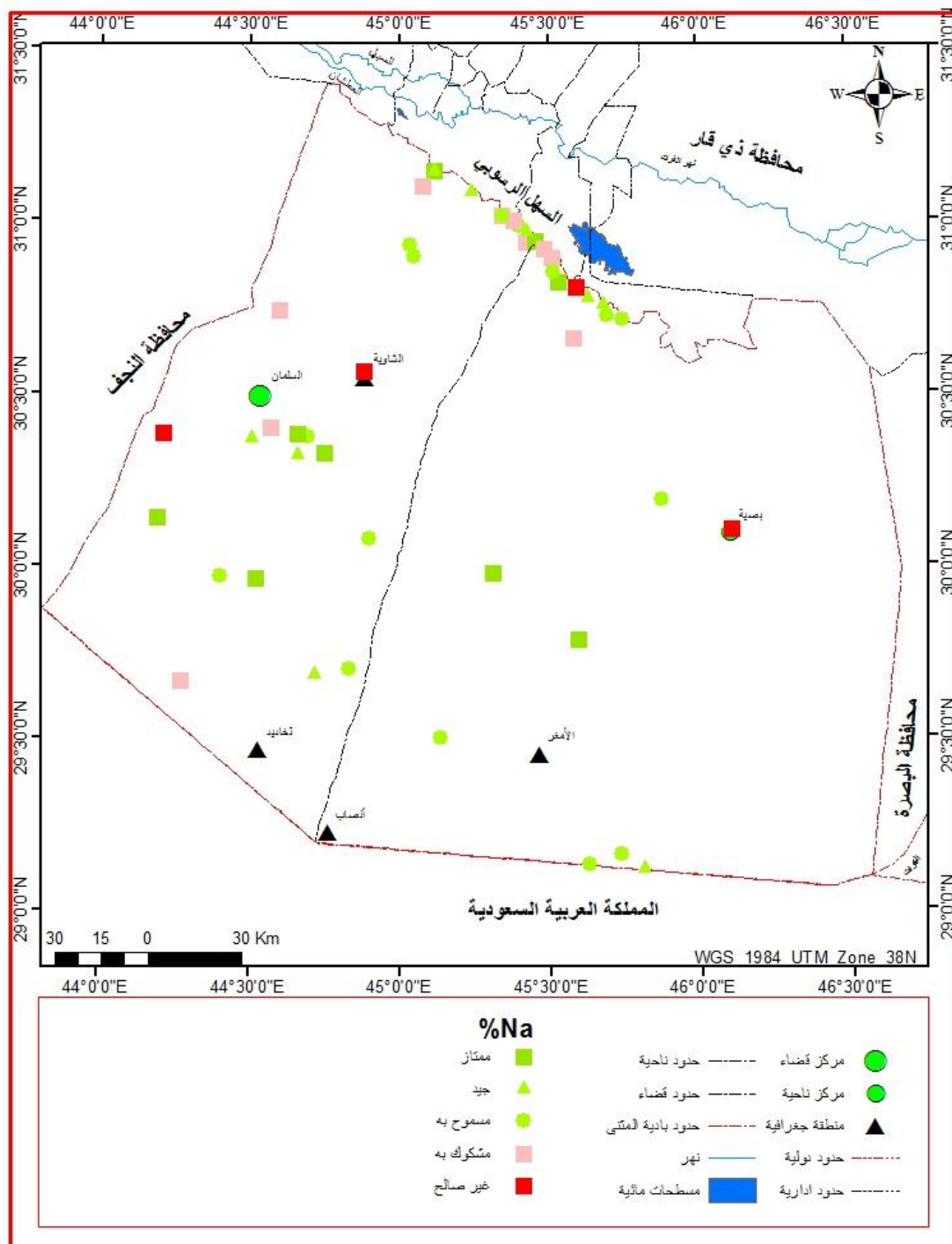
Source: D.k. Todd. Ground water hydrology, 2nd edition, John Wiley and sons, Inc, Toppon printing company, Ltd. Newyork, 1980.p.335.

عند تحليل خريطة (6-31) وجدول (6-22) تبين إن هناك تباين في التوزيع المكاني للآبار الصالحة للري وفق لقيمة (Na)% بالاعتماد على تصنيف (Todd) فقد اتضح أن الآبار (1-45-44-30-27-24-22-10) التي تتوزع إلى شمال منطقة الدراسة وبالقرب من السلمان فضلاً عن بادية بصرية ذات وصف ممتاز، أما الآبار ذات الوصف الجيد فهي (3-8-47-42-41-32-31-26-15-12) وتتوزع في العديد من اجزاء المنطقة.

(1) غفران عبد الكريم عيدان سحيب، النمذجة المكانية لخصائص المياه الجوفية في منطقة الكفل وسبل

أستثمارها، رسالة ماجستير ، غير منشورة، كلية التربية، الجامعة المستنصرية، 2022، ص118.

خريطة (6-31) النسبة المئوية لـ (Na) في مياه آبار بادية المثنى



المصدر: بالاعتماد على جدول (6-22)

اما الآبار المسموح بها حسب تصنيف (Todd) فهي (-28-25-21-20-17-7-6-5-4-29-34-35-36-37-38-39-46-48)، اما الآبار ذات الوصف المشكوك بها أو غير الصالحة فتتوزع في العديد من اجزاء منطقة الدراسة ويمكن الاستفادة منها في مجالات اخرى.

جدول(6-22) صلاحية المياه لأغراض الري وفقاً لقيمة(Na)%

الوصف	%Na	X	Y	ت	الوصف	%Na	X	Y	ت
ممتاز	18.7	44° 31' 13.800" E	29° 57' 53.201" N	27	ممتاز	10.14	45° 6' 57.200" E	31° 8' 38.299" N	1
مسموح به	57.76	45° 44' 47.800" E	30° 42' 44.302" N	28	مشكوك به	72.18	45° 4' 47.302" E	31° 5' 57.001" N	2
مسموح به	53.41	44° 24' 0.601" E	29° 58' 8.198" N	29	جيد	37.21	45° 14' 32.500" E	31° 5' 9.600" N	3
ممتاز	13.49	44° 45' 2.002" E	30° 19' 41.200" N	30	مسموح به	46.65	45° 37' 39.299" E	29° 8' 1.201" N	4
جيد	28.45	45° 37' 59.652" E	30° 46' 33.325" N	31	مسموح به	52.08	45° 44' 2.900" E	29° 9' 41.800" N	5
جيد	26.61	44° 39' 30.499" E	30° 19' 26.501" N	32	مسموح به	44.02	45° 24' 2.300" E	30° 59' 11.101" N	6
مشكوك به	60.64	45° 25' 42.389" E	30° 56' 16.494" N	33	مسموح به	45.58	45° 20' 37.601" E	31° 0' 48.301" N	7
مسموح به	55.33	45° 52' 26.101" E	30° 11' 23.100" N	34	جيد	36.06	45° 6' 57.200" E	31° 8' 38.299" N	8
مسموح به	55.72	45° 2' 58.099" E	30° 53' 53.200" N	35	مشكوك به	74.32	45° 30' 49.201" E	30° 53' 31.402" N	9
مسموح به	40.11	45° 30' 56.721" E	30° 51' 7.769" N	36	ممتاز	17.76	45° 27' 26.100" E	30° 56' 25.699" N	10
مسموح به	51.12	45° 8' 16.001" E	29° 30' 0.299" N	37	مشكوك به	62.15	45° 29' 6.202" E	30° 55' 2.701" N	11
مسموح به	48.08	45° 8' 16.001" E	29° 30' 0.299" N	38	جيد	22.24	45° 48' 39.701" E	29° 7' 19.200" N	12
مسموح به	58.07	44° 41' 33.400" E	30° 22' 30.601" N	39	غير صالح	90.98	45° 35' 40.548" E	30° 48' 28.390" N	13
ممتاز	19.42	44° 11' 38.800" E	30° 8' 17.801" N	40	مشكوك به	70.44	45° 20' 37.601" E	31° 0' 48.301" N	14
جيد	31.54	45° 20' 37.601" E	31° 0' 48.301" N	41	جيد	32.53	45° 25' 29.399" E	30° 58' 16.601" N	15
جيد	34.46	44° 30'	30° 22'	42	مشكوك به	61.55	45° 34'	30° 39'	16

الفصل السادس.....الموارد المائية في بادية المثنى ودورها في التنمية المستدامة

		23.000" E	18.800" N				58.501" E	30.499" N	
مشكوك به	71.32	45° 22' 55.700" E	30° 59' 54.802" N	43	مسموح به	44.26	46° 6' 13.100" E	30° 6' 32.800" N	17
ممتاز	12.42	44° 39' 39.499" E	30° 22' 48.202" N	44	غير صالح	80.48	46° 6' 33.199" E	30° 6' 14.101" N	18
ممتاز	18.04	45° 32' 3.199" E	30° 49' 11.100" N	45	مشكوك به	73.7	45° 34' 58.501" E	30° 39' 30.499" N	19
مسموح به	57.53	44° 50' 2.000" E	29° 42' 9.299" N	46	مسموح به	48.17	44° 54' 4.702" E	30° 4' 41.700" N	20
جيد	38.81	44° 43' 8.101" E	29° 41' 8.401" N	47	مسموح به	53.29	45° 2' 6.000" E	30° 55' 44.198" N	21
مسموح به	52.99	45° 41' 39.583" E	30° 43' 32.841" N	48	ممتاز	19.51	45° 18' 37.400" E	29° 58' 43.702" N	22
غير صالح	80.14	44° 52' 51.701" E	30° 33' 46.199" N	49	مشكوك به	71.78	44° 16' 22.501" E	29° 40' 0.098" N	23
غير صالح	80.84	44° 12' 41.000" E	30° 22' 59.200" N	50	ممتاز	18.66	45° 35' 48.901" E	29° 47' 11.299" N	24
مشكوك به	60.12	44° 35' 54.398" E	30° 44' 32.399" N	51	مسموح به	43.66	45° 2' 58.099" E	30° 53' 53.200" N	25
مشكوك به	69.1	44° 34' 12.202" E	30° 23' 56.900" N	52	جيد	27.94	45° 41' 5.302" E	30° 45' 32.900" N	26

المصدر: بالاعتماد على جدول (6-9)

3-2-4-6- تصنيف ريتشارد (Richard): يعد من التصنيف المهمة التي يمكن الاستفادة منها في تحديد مدى صلاحية المياه الجوفية لأغراض الري، ويعتمد على نسبة (SAR) وقيمة (Ec) كما في الجدول (6-23) و(6-24):

جدول (6-23) دليل المياه الجوفية وفقاً لـ (Richard)

SAR	الدليل	Ec	الدليل
> 10	S1	≤250	C1
< 10 - > 18	S2	>250-≤750	C2
< 18 - > 26	S3	>750-≤2250	C3
>26	S4	>2250	C4 C1

Richards, L.A., Diagnosis and Improvement of Saline and Alkali Soils, Agric. Hand book 60, U.S. Dept of Agric, Wishing ton, D.C. 1954.p.160 .

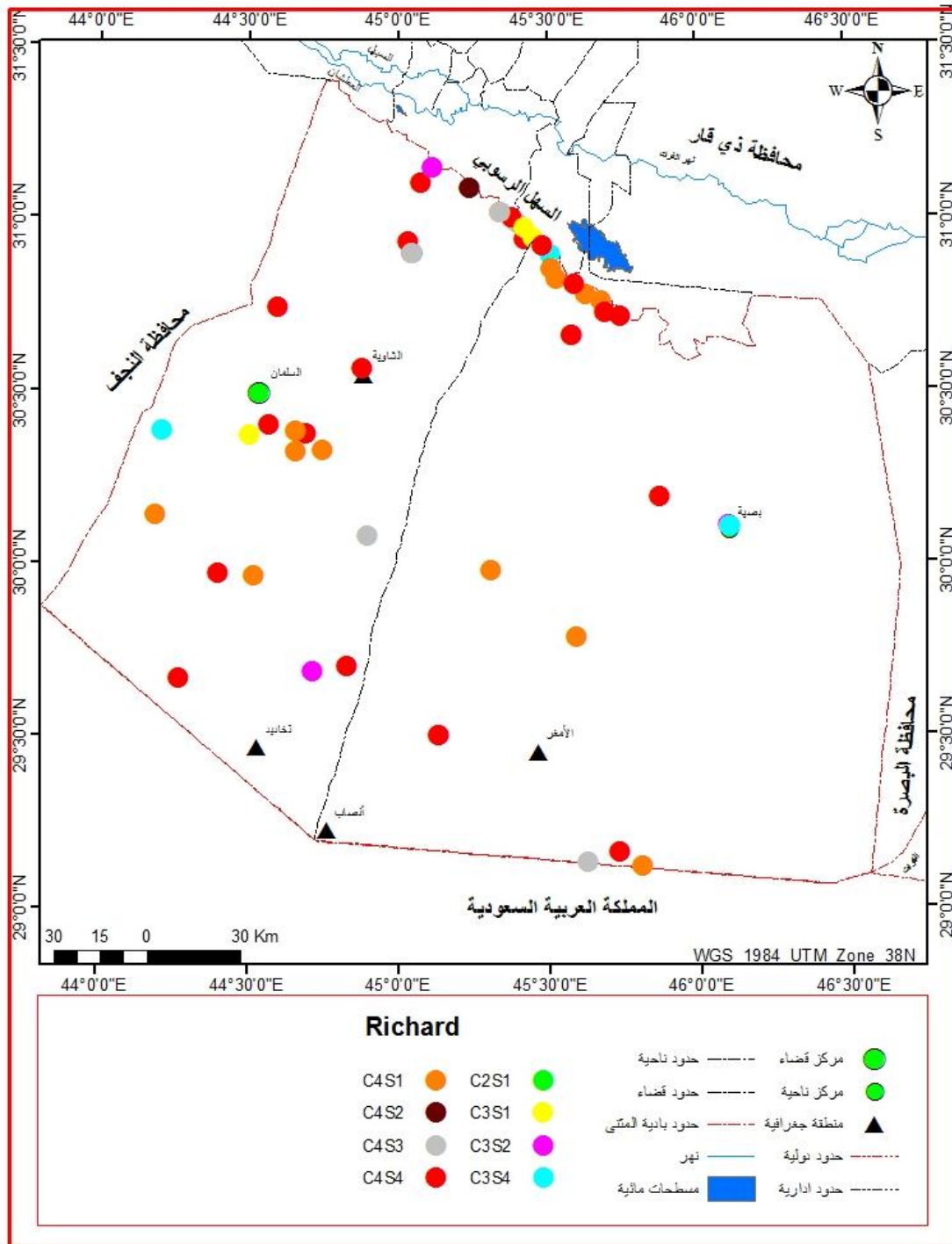
جدول (6-24) تصنيف المياه الجوفية وفقاً لـ (Richard)

صنف المياه Water Class	الرمز Index	صنف المياه Water Class	الرمز Index
Admissible مسموح به	C3S1	Excellent ممتاز	C1S1
Margional يمكن استخدامه	C3S2	Good جيد	C1 S2
Margional يمكن استخدامه	C3S3	Admissible مسموح به	C1S3
Poor رديء	C3S4	Poor رديء	C1S4
Poor رديء	C4S1	Good جيد	C2S1
Poor رديء	C4S2	Good جيد	C2S2
V Poor رديء جداً	C2S3		C2S3
V Poor رديء جداً	C2S4	Poor رديء	C2S4

Richards, L.A., Diagnosis and Improvement of Saline and Alkali Soils, Agric. Hand book 60, U.S. Dept of Agric, Wishing ton, D.C. 1954.p.160

تبين من خلال تحليل خريطة (6-32) وجدول (6-25) ان مياه البئر (1) صنفت حسب (Richard) بجيد (Good) ويقع في شمال منطقة الدراسة وإن البئر (8) الواقع قرب مديسيس وبئر (17) شمال الأمغر وبئر (47) قرب أم ضليعي يمكن استخدامه (Margional) وإن البئر (42) الواقع قرب الدغير وبئر (15) إلى الجنوب من الشاهوب في منطقة الحدود العراقية السعودية وبئر (10) قرب هداية مسموح به (Admissible) إما بقية الآبار فكانت بين الوصف رديء (Poor) ورديء جداً (V Poor) حسب تصنيف ريتشارد (Richard) بسبب ارتفاع قيمة التوصيلة الكهربائية (Ec)، ويتضح من ذلك إمكانية استثمار وتنمية مياه الآبار المذكورة لغرض الإرواء الزراعي، إذ بلغت (7) آبار.

خريطة (6-32) التوزيع المكاني لصلاحية مياه الآبار حسب تصنيف Richard



المصادر: بالاعتماد على:

1- بيانات جدول (6-24).

2- برنامج ArcGIS 10.2.2.

جدول(6-25) صلاحية المياه الجوفية لأغراض الإرواء الزراعي وفقاً لتصنيف (Richard)

ن	Y	X	Ec	(SAR)	الدليل	الوصف
1	31° 8' 38.299" N	45° 6' 57.200" E	388	2.619978	C2S1	Good جيد
2	31° 5' 57.001" N	45° 4' 47.302" E	3330	52.92235	C4S4	V Poor جداً رديء
3	31° 5' 9.600" N	45° 14' 32.500" E	2860	16.15406	C4S2	Poor رديء
4	29° 8' 1.201" N	45° 37' 39.299" E	3500	25.5451	C4S3	V Poor جداً رديء
5	29° 9' 41.800" N	45° 44' 2.900" E	5230	32.52359	C4S4	V Poor جداً رديء
6	30° 59' 11.101" N	45° 24' 2.300" E	3640	22.76753	C4S3	V Poor جداً رديء
7	31° 0' 48.301" N	45° 20' 37.601" E	3610	24.00817	C4S3	V Poor جداً رديء
8	31° 8' 38.299" N	45° 6' 57.200" E	1760	14.63986	C3S2	Margional يمكن استخدامه
9	30° 53' 31.402" N	45° 30' 49.201" E	1188	48.48762	C3S4	Poor رديء
10	30° 56' 25.699" N	45° 27' 26.100" E	1473	5.331166	C3S1	Admissible به مسموح
11	30° 55' 2.701" N	45° 29' 6.202" E	4650	40.7674	C4S4	V Poor جداً رديء
12	29° 7' 19.200" N	45° 48' 39.701" E	6543	7.076923	C4S1	Poor رديء
13	30° 48' 28.390" N	45° 35' 40.548" E	7790	140.028	C4S4	V Poor جداً رديء
14	31° 0' 48.301" N	45° 20' 37.601" E	5070	54.5805	C4S4	V Poor جداً رديء
15	30° 58' 16.601" N	45° 25' 29.399" E	1473	7.964953	C3S1	Admissible به مسموح
16	30° 39' 30.499" N	45° 34' 58.501" E	4170	35.85223	C4S4	V Poor جداً رديء
17	30° 6' 32.800" N	46° 6' 13.100" E	1473	10.22204	C3S2	Margional يمكن استخدامه
18	30° 6' 14.101" N	46° 6' 33.199" E	1989	67.3507	C3S4	Poor رديء
19	30° 39' 30.499" N	45° 34' 58.501" E	5550	63.26997	C4S4	V Poor جداً رديء
20	30° 4' 41.700" N	44° 54' 4.702" E	4300	25.43655	C4S3	V Poor جداً رديء
21	30° 55' 44.198" N	45° 2' 6.000" E	4330	31.65228	C4S4	V Poor جداً رديء
22	29° 58' 43.702" N	45° 18' 37.400" E	5700	3.970507	C4S1	Poor رديء
23	29° 40' 0.098" N	44° 16' 22.501" E	3530	46.12453	C4S4	V Poor جداً رديء
24	29° 47' 11.299" N	45° 35' 48.901" E	6820	6.667007	C4S1	Poor رديء
25	30° 53' 53.200" N	45° 2' 58.099" E	7770	20.49101	C4S3	V Poor جداً رديء
26	30° 45' 32.900" N	45° 41' 5.302" E	3232	5.742856	C4S1	Poor رديء

الفصل السادس.....الموارد المائية في بادية المثنى ودورها في التنمية المستدامة

Poor رديء	C4S1	6.372255	4444	44° 31' 13.800" E	29° 57' 53.201" N	27
V Poor جدا رديء	C4S4	35.28039	4570	45° 44' 47.800" E	30° 42' 44.302" N	28
V Poor جدا رديء	C4S4	27.2555	2323	44° 24' 0.601" E	29° 58' 8.198" N	29
Poor رديء	C4S1	3.726207	2760	44° 45' 2.002" E	30° 19' 41.200" N	30
Poor رديء	C4S1	8.645189	2342	45° 37' 59.652" E	30° 46' 33.325" N	31
Poor رديء	C4S1	6.998789	2670	44° 39' 30.499" E	30° 19' 26.501" N	32
V Poor جدا رديء	C4S4	32.63767	3770	45° 25' 42.389" E	30° 56' 16.494" N	33
V Poor جدا رديء	C4S4	34.82631	5610	45° 52' 26.101" E	30° 11' 23.100" N	34
Poor رديء	C4S2	14.70568	3455	45° 2' 58.099" E	30° 53' 53.200" N	35
Poor رديء	C4S1	9.101821	3344	45° 30' 56.721" E	30° 51' 7.769" N	36
V Poor جدا رديء	C4S4	28.04525	4430	45° 8' 16.001" E	29° 30' 0.299" N	37
V Poor جدا رديء	C4S4	31.44002	2866	45° 8' 16.001" E	29° 30' 0.299" N	38
V Poor جدا رديء	C4S4	35.76471	3220	44° 41' 33.400" E	30° 22' 30.601" N	39
Poor رديء	C4S1	6.291982	9290	44° 11' 38.800" E	30° 8' 17.801" N	40
Poor رديء	C4S1	4.604801	4970	45° 20' 37.601" E	31° 0' 48.301" N	41
Admissible به مسموح	C3S1	7.201931	1477	44° 30' 23.000" E	30° 22' 18.800" N	42
V Poor جدا رديء	C4S4	49.76723	5570	45° 22' 55.700" E	30° 59' 54.802" N	43
Poor رديء	C4S1	2.748737	4560	44° 39' 39.499" E	30° 22' 48.202" N	44
Poor رديء	C4S1	5.114782	4020	45° 32' 3.199" E	30° 49' 11.100" N	45
V Poor جدا رديء	C4S4	45.62661	8600	44° 50' 2.000" E	29° 42' 9.299" N	46
Margional يمكن استخدامه	C3S2	10.95673	1136	44° 43' 8.101" E	29° 41' 8.401" N	47
V Poor جدا رديء	C4S4	27.93304	3680	45° 41' 39.583" E	30° 43' 32.841" N	48
V Poor جدا رديء	C4S4	77.03978	5140	44° 52' 51.701" E	30° 33' 46.199" N	49
Poor رديء	C3S4	80.66568	2180	44° 12' 41.000" E	30° 22' 59.200" N	50
V Poor جدا رديء	C4S4	35.47924	5880	44° 35' 54.398" E	30° 44' 32.399" N	51
V Poor جدا رديء	C4S4	38.57217	4190	44° 34' 12.202" E	30° 23' 56.900" N	52

المصدر: بالاعتماد على جدول (9-6) و (20-6) و (24-6)

6-4-3- صلاحية المياه الجوفية لأغراض الاستهلاك الحيواني:

تعد بادية المثنى من أهم المناطق الرعوية في العراق، ويعد تنظيم الجانب الرعوي وتحقيق التوازن بين أعداد المواشي وما هو متوفر من علف مستساغ ومياه صالحة لشرب الحيوانات والحد من الرعي الجائر من أولويات المحافظة على التربة من التعرية، وقد تم اعتماد تصنيفين لبيان مدى صلاحية المياه لشرب الحيوانات.

6-4-3-1- تصنيف منظمة الأغذية والزراعة العالمية (FAO): إذ تم تصنيف صلاحية المياه حسب تركيز قيمة العناصر وكما في جدول (6-26):

جدول (6-26) المواصفات القياسية لمنظمة الأغذية والزراعة العالمية (FAO) لصلاحية المياه لأغراض الاستهلاك الحيواني (الشرب)

العناصر					تركيز الأيونات في المياه
EC	TDS	CL	Ca	Na	
3000	3000	900	350	800	جيدة جداً
5000	5000	2000	700	1500	جيدة
7000	7000	3000	800	2000	مسموح بها
10000	10000	4000	900	2500	يمكن استخدامها
15000	15000	6000	1000	4000	الحد الأقصى
9290	6840	1096	565	1000	الحد الأقصى للعينات

Altoviski, M.E, Hand book of hydrogeology, Gosgeolizdat Moscow, USSR (in Russian), 1962

يلاحظ عند المقارنة بين جدول (6-9) و جدول (6-26) إن قيمة (Na) في أغلب الآبار تقع ضمن الفئة (جيدة جداً) عدا (13-49) فتقع ضمن الفئة (جيدة)، وإن قيمة (Ca) في أغلب الآبار تقع ضمن الفئة (جيدة جداً-جيدة)، وإن قيمة (CL) في أغلب الآبار تقع ضمن الفئة (جيدة جداً) عدا (5-48) فتقع ضمن الفئة (جيدة)، وإن قيمة (TDS) في أغلب الآبار لم تتجاوز الحد الأقصى وفقاً للمواصفات القياسية لمنظمة الأغذية والزراعة العالمية (FAO) لصلاحية المياه لأغراض الاستهلاك الحيواني (الشرب).

6-4-3-2- ملائمة المياه لشرب الحيوانات وفقاً لتصنيف Ayers and Westcot 1989

يعتمد تقييم المياه لشرب الحيوانات وفقاً لهذا التصنيف على قيمة التوصيلة الكهربائية التي تكون تراكيزها معتمدة على تواجد الأملاح والشوائب التي تزيد من قيمها، وعند مقارنة المعايير في جدول (6-27) مع قيم (EC) تبين إن (1-9-10-15-17-42-47) تصنف على أنها (ممتاز) ويمكن استعمالها لجميع المواشي، وصنفت مياه الآبار بصنف (مقبول) للمواشي وغير

مقبولة للدواجن فهي (51-49-43-34-25-24-22-19-14-13-12-5)، وصنفت الآبار (40-46) على أنها (محدودة الاستعمال للمواشي وغير مقبولة بالنسبة للدواجن)، وصنفت بقية الآبار على أنها مقبولة جداً وتستعمل لجميع المواشي وغير صالحة للدواجن، أما بقية الفئات فلا توجد ضمن منطقة الدراسة.

جدول (6-27) صلاحية المياه الجوفية للاستهلاك الحيواني (الشرب) وفقاً لـ

(Ayers and Westcot 1989)

الملاحظات	صنف الماء	قيمة (EC) مايكروموز/سم
يستعمل لجميع المواشي والدواجن	ممتاز	أقل من 1500
يستعمل لجميع المواشي وغير صالح للدواجن	مقبول جداً	1500 – 5000
مقبولة للمواشي وغير مقبول للدواجن	مقبول	5000 – 8000
محدود استعماله للمواشي وغير مقبول للدواجن	محدود استعماله	8000 – 10000
غير مقبول للمواشي والدواجن	محدود الاستعمال جداً	11000 – 16000
لا يوصى باستعمالها لوجود خطورة	لا يوصى باستخدامه	أكثر من 16000

Ayers R.S., and Westcot D. W, quality for agriculture Irrigation and Drainage, paper 29, Rev 1, FAO, Rome, Italy, 1989, p174.

6-4-4- صلاحية المياه الجوفية للأغراض الصناعية:

تتباين كميات ومواصفات المياه المستخدمة في الصناعات المختلفة حسب نوع الصناعة، وترتبط صلاحية المياه المستخدمة في العديد من الصناعات بكمية الأملاح الذائبة الذي يؤدي في كثير من الأحيان إلى فقدان صلاحية هذه المياه، وتعد مشكلة زيادة تركيز الأملاح في هذه المياه من المشاكل التي تواجه الصناعات التي تستخدم المياه في عملية التبريد بسبب تكلس الأملاح وتآكل الانابيب واجزاء المحركات وتكوين طبقات ملحية، مما يؤدي إلى كثرة الاعطال ومن ثم تأخر الانتاج وزيادة تكاليفه، ومنطقة الدراسة من المناطق التي يكثر فيها النشاط الصناعي، إذ توجد فيها العديد من معامل الاسمنت والجص ومعامل أنتاج الملح، يلاحظ صورة (6-4)، وقد اعتمد تصنيف (Salvato 1982) لتحديد صلاحية المياه للأغراض الصناعية، يلاحظ جدول (6-28).

صورة(6-4) أحد معامل الجص (شمال وادي أبو جلود)



المصدر: باعتماد الدراسة الميدانية بتاريخ(2022-2-25) 44° 46' 27.544" E 31° 19' 5.166" N

أتضح عند المقارنة ما يأتي:

- 1-(pH): إن مياه منطقة الدراسة صالحة لقيام الصناعات المذكورة.
- 2-(Cl⁻): غير صالح لقيام الصناعات المذكورة بسبب ارتفاع قيمه.
- 3-(So₄⁻): غير صالح لقيام الصناعات المذكورة بسبب ارتفاع قيمه.
- 4- (Ca⁺⁺): غير صالح لقيام الصناعات المذكورة بسبب ارتفاع قيمه.
- 5- (Mg⁺): غير صالح لقيام الصناعات المذكورة بسبب ارتفاع قيمه.

جدول (6-28)صلاحية المياه الجوفية للأغراض الصناعية- تصنيف(Salvato1982)

نوع الصناعة	pH	Cl ⁻ مكافئ/ملي لتر	So ₄ ⁻ مكافئ/ملي لتر	Ca ⁺⁺ مكافئ/ملي لتر	Mg ⁺ مكافئ/ملي لتر
معامل تعليب المواد الغذائية	8.5-6.5	8.462	5.205	5.988	8.226
الصناعات الكيماوية	9-6	14.103	17.697	9.980	-
معامل الإسمنت	8.5-6.5	7.052	5.205	-	-
مصافي النفط	9-6	45.130	11.867	10.978	6.992
صناعة الورق	9-6	5.641	-	0.998	0.987

P. E. Salvate, Environmental Engineering and Sanitation New York, U.S.A., 1982, p 163.

تبين من خلال تقييم صلاحية المياه الجوفية للأغراض الصناعية حسب تصنيف(Salvato1982)، إن هذه المياه يمكن استخدامها بعد إجراء بعض المعالجات لغرض استخدامها في الصناعات المذكورة.

6-4-5- صلاحية المياه الجوفية لأغراض البناء والإنشاءات:

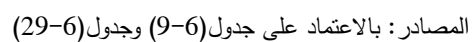
يعد تصنيف التوفيسكي (Altoviske1962) إحدى التصنيفات التي تستخدم لبيان مدى ملائمة المياه لأغراض البناء والإنشاءات، يلاحظ جدول(6-29):

جدول(6-29) صلاحية المياه الجوفية لأغراض البناء والإنشاءات وفق(Altoviske1962)

الأيونات الموجبة	التركيز ملغم / لتر	الأيونات السالبة	التركيز ملغم / لتر
Na	1160	Cl	2187
Ca	437	So4	1460
Mg	271		

M.E,Altoviski, Handbook of Hydrology, Gosgoelitzdat, Moscow, 1962 , P 614.

تبين من خلال مقارنة جدول(6-9) مع جدول(6-29) إن الأيونات الموجبة (Na- Ca- Mg) في جميع الآبار صالحة لأغراض البناء والإنشاءات، في ما عدا عينة الـ(Ca) رقم (38-5)، وإن الأيونات السالبة(Cl-So4) صالحة فيما عدا عينات الـ(So4) رقم(44-34-31-14) وفق (Altoviske1962)، يلاحظ خريطة(6-33).



الخلاصة

تتناول الفصل السادس بعض المعايير الهيدرولوجية لواديان المنطقة، وتبين ان المعدل العام لشدة الصرف (0.59) كم / كم 2، وبلغ المعدل العام لمعامل الفيضان (0.056106) (مجرى/كم)، وبلغ المعدل العام لزمن التركيز (13.55) م/ساعة، وبلغ المعدل العام لسرعة الجريان (13.18) كم/ساعة، وتبين إن مجموع الأمطار السنوي قد بلغ (76.7، 89.5، 85.1، 125.6) ملم في محطات النجف والساوة ورفحاء والبصرة على التوالي، وباستخدام معادلة ديمارتون تبين أن أغلب الاشهر هي جافة، أما الأشهر التي تعدّ شبه جافة هي (كانون الاول، شباط، تشرين الثاني، كانون الاول)، حيث بلغ فيها معامل الجفاف (7.33-5.38 - 6.06 - 6.43) لمحطة النجف على التوالي، وبلغ (6.45-5.43- 6.79-6.19) لمحطة الساوة للأشهر (شباط، آذار، تشرين الثاني، كانون الاول) على التوالي، ولمحطة رفحاء (آذار وتشرين الثاني وكانون الاول) تعتبر شبه جافة (5.70 - 4.96 - 2.05) على التوالي واخيراً (8.28- 7.93- 7.15) لمحطة البصرة (شباط، آذار، تشرين الثاني) على التوالي، ويعد شهر كانون الثاني هو الشهر الوحيد الذي كان رطباً فهو في محطات (الساوة، البصرة) بمعامل جفاف بلغ (10.24 - 13.95) على التوالي، وقد استخدم الباحث طريقة ايفانوف في حساب الموازنة المائية المناخية، وتبين إن هناك عجز مائي في كل أشهر السنة وعدم وجود فائض، عدا بعض الأيام خلال فصل الشتاء والربيع التي تسقط فيها أمطار غزيرة تؤدي إلى حدوث سيول جارفة تساهم في تعزيز رطوبة التربة ولا سيما في شهر كانون الأول في محطتي الساوة والبصرة الذي يعد من الأشهر الرطبة، فضلاً عن الأشهر شبه جافة المتمثلة بـ (شباط وآذار وتشرين الثاني وكانون الاول)، ويعد مكن الدمام من اهم خزانات المياه الجوفية في منطقة الدراسة لمساحته الكبيرة ضمن حدود منطقة الدراسة (23274.7) كم²، وتم التعرف على بعض الخصائص النوعية لمياه الآبار من خلال العينات التي جمعت في بادية المثنى والبالغة (52) عينة، وقد اقترحت الدراسة تعزيز دور الموارد المائية في التقليل من عمليات التعرية وتحقيق التنمية المستدامة من خلال اتباع طرائق الحصاد المائي في بادية المثنى في المنخفضات الطبيعية، وتبين من تطبيق المعادلة (4) لتقدير حجم الجريان السطحي (Runoff Rate)(Qv) وحسب الفئات الاتية: الفئة (1.17): شغلت هذه الفئة مساحة (627.51) كم² ونسبة (1.37)% وحجم جريان سنوي (0.172081) مليار/م³ وتأتي بالمرتبة الثانية من حيث المساحة المشغولة، والفئة (0.63): شغلت هذه الفئة مساحة (8335.36) كم² ونسبة (18.26)% وحجم جريان سنوي (0.630625) مليار/م³، والفئة (1.32) شغلت هذه الفئة مساحة (386.24) كم² ونسبة (0.85)% وحجم جريان سنوي (1.323013) مليار/م³ وتعد أقل الفئات من حيث المساحة،

والفئة(1.46): شغلت هذه الفئة مساحة(30039.88)كم² ونسبة(65.79)% وحجم جريان سنوي(1.467047)مليار/م³ وتعد أكبر الفئات من حيث المساحة وتأتي بالمرتبة الثانية من حيث حجم الجريان السطحي، والفئة(2.67) شغلت هذه الفئة مساحة(6268.71)كم² ونسبة(13.73)% وحجم جريان سنوي(2.675453)مليار/م³ وتعد أكبر الفئات من حيث حجم الجريان السطحي، وتبين من خلال تقييم صلاحية المياه الجوفية لأغراض الاستخدام البشري(الشرب) إن العينتين(11-17) هي الأكثر صلاحية، وتم اعتماد معيار نسبة امتزاز الصوديوم (SAR) تبين إن هناك (17) بئر نسبة أمتزاز الصوديوم أقل من (10) لذا فإن مياهه صالحة لسقي جمع المحاصيل الزراعية، وتركزت الآبار التي بلغت نسبة أمتزاز الصوديوم بين(10-18) التي تكون مياهها صالحة لمحاصيل الحبوب بشكل خاص في الاقسام الشمالية من منطقة الدراسة، وتبين إن هناك تباين في التوزيع المكاني للآبار الصالحة للري وفق لقيمة(Na)% بالاعتماد على تصنيف (Todd) فقد اتضح أن الآبار(-1-10-22-24-27-31-32-38-41-42-47) التي تتوزع إلى شمال منطقة الدراسة وبالقرب من السلمان فضلاً عن بادية بصية ذات وصف ممتاز، اما الآبار ذات الوصف الجيد فهي(-3-8-12-15-26-31-32-38-41-42-47) وتتوزع في العديد من اجزاء منطقة الدراسة، وتبين ان مياه البئر (1) صنف حسب (Richard) بجيد(Good) ويقع في شمال منطقة الدراسة وإن البئر(8) الواقع قرب مديسيس وبئر(17) شمال الأمغر وبئر(47) قرب أم ضليعي يمكن استخدامه (Margional) وإن البئر(42) الواقع قرب الدغير وبئر(15) إلى الجنوب من الشاهوب في منطقة الحدود العراقية السعودية وبئر(10) قرب هداينة مسموح به(Admissible) إما بقية الآبار فكانت بين الوصف رديء(Poor) ورديء جداً(V Poor) حسب تصنيف ريتشارد (Richard)، وتم تحديد صلاحية المياه الجوفية لأغراض الاستهلاك الحيواني حسب تصنيف منظمة الأغذية والزراعة العالمية(FAO) إذ يلاحظ إن قيمة(Na) في أغلب الآبار تقع ضمن الفئة (جيدة جداً) عدا(13-49) فتقع ضمن الفئة (جيدة)، وإن قيمة(Ca) في أغلب الآبار تقع ضمن الفئة (جيدة جداً-جيدة)، وإن قيمة(CL) في أغلب الآبار تقع ضمن الفئة (جيدة جداً) عدا(5-48) فتقع ضمن الفئة (جيدة)، وإن قيمة(TDS) في أغلب الآبار لم تتجاوز الحد الأقصى وفقاً لهذا المعيار، وتم تحديد ملائمة المياه لشرب الحيوانات وفقاً لتصنيف Ayers and Westcot 1989 ، وعند مقارنة معايير هذا التصنيف مع قيم (EC) تبين إن(1-9-10-15-17-42-47) تصنف على انها (ممتاز) ويمكن استعمالها لجميع المواشي، وصنفت مياه الآبار بصنف (مقبول) للمواشي وغير مقبولة للدواجن فهي(-5-12-13-14-19-22-24-25-34-43-49-51)، وصنفت الآبار(40-46) على انها(محدودة الاستعمال للمواشي وغير مقبولة بالنسبة

للدواجن)، وصنفت بقية الآبار على إنها مقبولة جداً وتستعمل لجميع المواشي وغير صالحة للدواجن، اما بقية الفئات فلا توجد ضمن منطقة الدراسة.

وتبين من خلال تصنيف (Salvato1982) ان المياه صالحة لقيام العديد من الصناعات ، ويمكن الاستفادة منها بعد اجراء بعض المعالجات، وتم تحديد صلاحية المياه لأغراض البناء والإنشاءات باعتماد تصنيف التوفيسكي (Altoviske1962)، وتبين إن الأيونات الموجبة (Na- Ca- Mg) في جميع الآبار صالحة لأغراض البناء والإنشاءات، في ماعدا عينة الـ(Ca) رقم (5-38)، وإن الأيونات السالبة (So4-CL) صالحة فيما عدا عينات الـ(So4) رقم (44-34-31-14)، وتم توضيح دور نظم المعلومات الجغرافية والاستشعار عن بعد في الكشف عن مكامن المياه الجوفية من خلال تتبع الفوالق والقواطع والتركيب الخطية فضلاً عن الاراضي المنخفضة والسباخ التي يرتبط تواجدها مع الفوالق والكسور، واعتماد مؤشرات الادلة الرقمية مثل (NDWI- NDVI) في المنطقة لدلالة على التوزيع المكاني للأراضي الزراعية، فضلاً عن انتشار الغطاء النباتي الذي يعد دلالة على قرب المياه الجوفية من السطح، ووجود التجمعات المائية خلال فترة فيضان الاودية، بسبب سهولة توفر المرثيات ولفترات مختلفة، مما يتيح فرصة لدراسة المجاري المائية وتحديد اماكن التجمع تحديداً دقيقاً.

أشكال سطح الأرض وخصائصه في بادية المثني ودورها في التنمية المستدامة تمهيد

7-1- الخصائص الانحدارية والتضاريسية العامة:

7-1-1- الخصائص الانحدارية:

7-1-2- الخصائص التضاريسية:

7-2- الأشكال الجيومورفولوجية السائدة في بادية المثني:

7-3- دور أشكال سطح الأرض وخصائصه في التنمية المستدامة في بادية المثني:

7-3-1- دور أشكال سطح الأرض وخصائصه في التنمية السياحية المستدامة في بادية المثني:

7-3-2- دور أشكال سطح الأرض وخصائصه في التنمية العمرانية المستدامة في بادية المثني:

7-3-3- دور أشكال سطح الأرض وخصائصه في التنمية الزراعية المستدامة في بادية المثني:

7-3-4- دور أشكال سطح الأرض وخصائصه في التنمية الصناعية المستدامة في بادية المثني:

7-3-5- دور أشكال سطح الأرض وخصائصه في شبكات البنية الأساسية:
الخلاصة:

أشكال السطح الأرض وخصائصه ودورها في التنمية المستدامة في بادية المثني

تمهيد:

تتباين أشكال سطح الأرض وخصائصه تبعاً لتباين البنية الجيولوجية والمناخ والتربة والموارد المائية والنبات الطبيعي ودرجة فعل عمليات التجوية والتعرية، وتعد هذه الدراسات مرتكز مهم في تحديد الطرق المثلى لاستغلال البيئة الطبيعية ومن ثم تسليط الضوء على دورها في التنمية المستدامة في بادية المثني، ولمعرفة أشكال سطح الأرض وخصائصه ودورها في التنمية المستدامة في المنطقة، يمكن دراستها كما يأتي:

7-1- الخصائص الانحدارية والتضاريسية العامة:

7-1-1- الخصائص الانحدارية .

اصبحت الدراسات الجيومورفولوجية الحديثة للمنحدرات تعتمد على القوانين الرياضية، ونظراً لأهمية الدور الذي يمكن ان تلعبه المنحدرات في التنمية المستدامة في بادية المثني يتوجب فهم الميكانيكيات الهندسية الخاصة بها التيقن من استقرارها قبل بدأ أي مشروع هندسي⁽¹⁾، وسوف يتم خلال البحث الاستفادة من نماذج الارتفاع الرقمي (DEM) في اعداد خرائط الانحدارات والاشكال الارضية وانحداراتها الجانبية، وكما يأتي:

7-1-1-1- ظل التلال : hill Shad:

تعد هذه الخرائط من تقنيات برنامج (Arc GIS) التي تستخدم في تمثيل التضاريس، ويمكن من خلالها تحديد افضل الاماكن لاستغلال الطاقة الشمسية وتحديد السفوح التي تتعرض للتجوية الفيزيائية، فضلاً عن اهميتها في الجانب العمراني، إذ يمكن تحدد الخلايا الواقعة تحت تأثير ظل خلية اخرى وتحديد الخلية التي حصلت على اناة وكمية اشعاع اكبر لنفس اليوم، وتحديد انسب الاماكن السياحية والترفيهية، فضلاً عن تحديد مناطق انشاء الغابات الاصطناعية التي لا تحتاج إلى اشعة الشمس طيلة فترة شروقها⁽²⁾.

(¹) سرحان نعيم الخفاجي ، الجيومورفولوجيا، اشكال سطح الارض، عمان ، دار المنهج، الطبعة الاولى، 2018، ص109.

(²) علي عبد عباس العزاوي ، احمد حامد العبيدي ، اشتقاق المعلومات الجيومورفولوجية من البيانات الرادارية باستخدام نظم المعلومات الجغرافية -الموصل دراسة حالة-مجلة جامعة تكريت، المجلد 14، العدد 10، 2007.

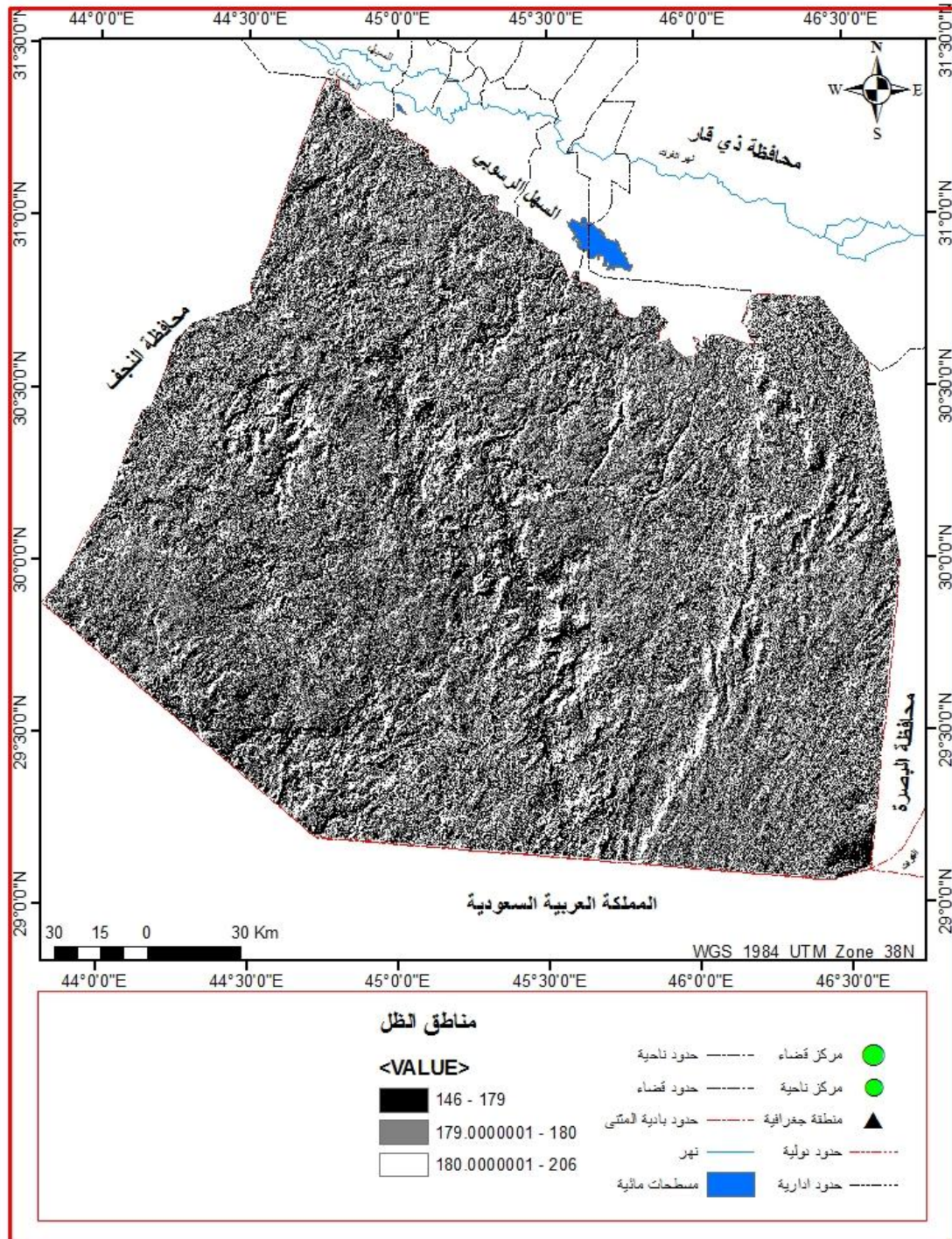
وعند التطبيق يلاحظ خريطة (1-7) وجدول (1-7)، تبين ان منطقة الدراسة تنقسم إلى ثلاثة اقسام:

1-كثيرة الظل (179 – 146): تنتشر هذه المناطق في العديد من المناطق، وهي المناطق غير المواجهة للإشعاع الشمسي، وتبلغ مساحتها (14442.1) كم² ونسبة (31.63)%.

2-متوسطة الظل (180 – 179.0000001): تتواجد هذه المناطق في اغلب مناطق البادية، وتتركز وسط السلطان وهدانية ورغلة وعجلان وشرق تخايد والحكية وكويني ورضيمة، فضلاً عن بقية المناطق الاخرى، وهي مناطق متوسطة المواجهة لأشعة الشمس، وتبلغ مساحتها (21463.86) كم² ونسبة (47.02)%.

3-قليلة الظل (206 – 180.0000001): تتوزع هذه المناطق في العديد من اقسام منطقة الدراسة، ومن خلال تحليل خريطة (1-7)، وتبين امتداد هذه المناطق في المرتفعات التي لا تواجه اشعة الشمس، وتمتد بشكل طولي في العديد من اجزاء منطقة الدراسة ابتداءً من اقصى شمال شرق بادية المثنى (منطقة الكتبان الرملية) مروراً ببصية وتتجه جنوباً لتخترق الحدود السياسية للمملكة العربية السعودية، فضلاً عن توزيعها في بقية أجزاء بادية المثنى، وهي المناطق قليلة المواجهة للإشعاع الشمسي، تبلغ مساحتها (9751.739) كم² ونسبة (21.35)%.

خريطة (1-7) التوزيع المكاني لمناطق الظل في بادية المثنى



المصادر: بالاعتماد على:

1- SRTM 1 Arc-Second Global, 2014.

2- برنامج Arc GIS 10.2.2.

جدول (7-1) مساحات ونسب المناطق بحسب شدة الظل

شدة الظل	الدرجة	المساحة/كم ²	النسبة %
كثيرة الظل	146 – 179	14442.1	31.63
متوسطة الظل	179.0000001 - 180	21463.86	47.02
قليلة الظل	180.0000001 - 206	9751.739	21.35
المجموع		45657.7	100

المصدر: بالاعتماد على ملف DEM، وبرنامج Arc GIS 10.2.2 في حساب المساحات والنسب

ومن خلال تحليل خريطة الظل يتبين إن ما يقارب النصف من المساحات تقع ضمن المناطق المتوسطة الظل التي تحتل وسط المنطقة، في حين تقاسمت المناطق الكثيرة الظل والقليلة النصف الآخر.

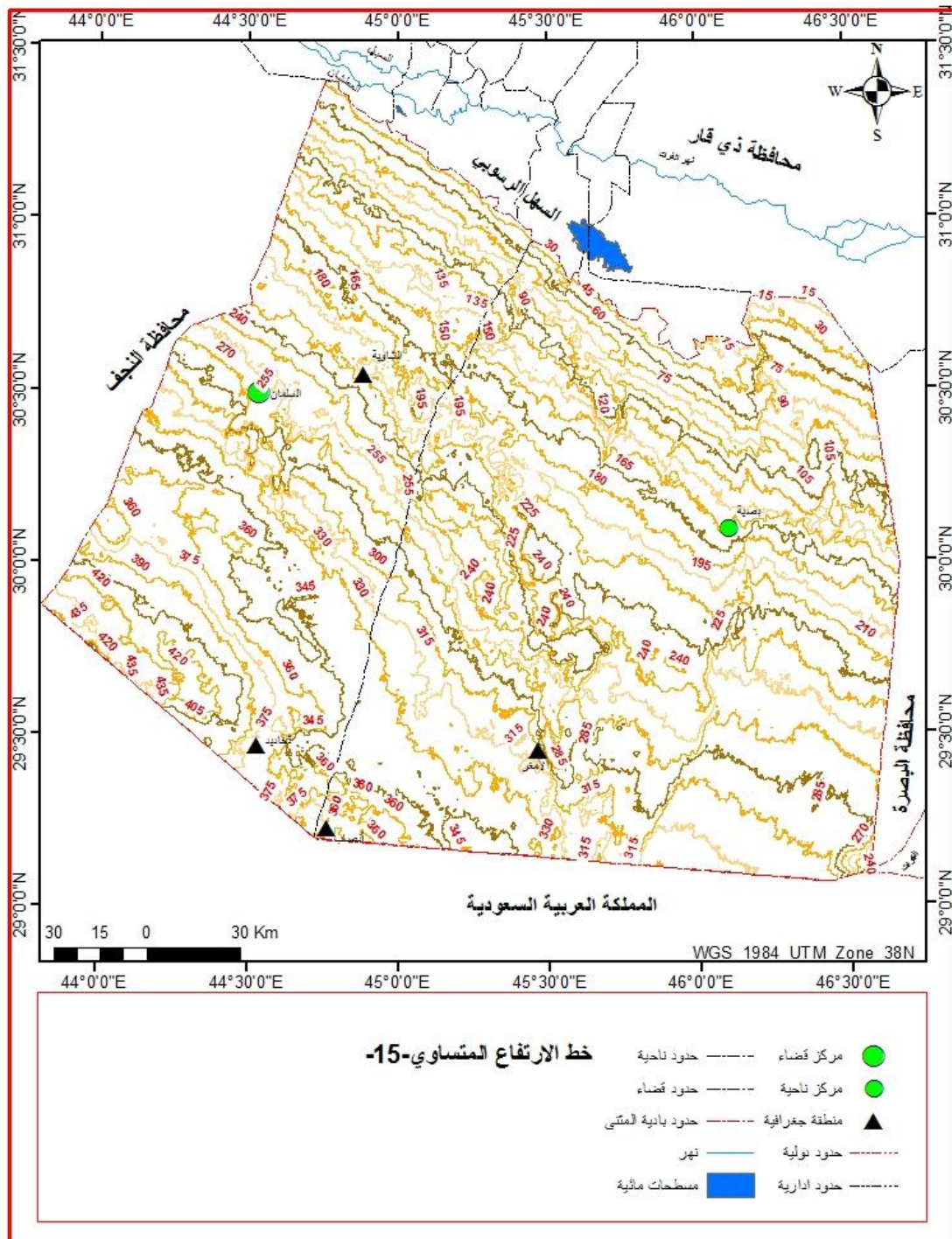
7-1-1-2- تحليل الخرائط الرقمية التضاريسية:

7-1-1-2-1- الخريطة الكنتورية:

تعد الخريطة الكنتورية احدى الوسائل المهمة في دراسة اشكال سطح الارض، كونها تمثل ابعاد المسافة والارتفاع والانحدار الذي يعد لب الدراسات الجيومورفولوجية، وتبين من خلال تحليل خريطة (7-2) أن خطوط الكنتور تراوحت بارتفاعها من (15-435)م فوق مستوى سطح البحر، وان ادنى ارتفاع لها في الاقسام الشمالية والشمالية الشرقية، وبالرغم من تعرض هذه المنطقة إلى كثرة وتنوع الترسبات التي جلبتها السيول خلال الزمن الرباعي ولحد الان الا انها مازالت منطقة منخفضة، ويمكن تفسير ذلك إلى استمرار هبوط صدع الفرات بالرغم من كثرة الارسابات التي تتوجه إلى تلك المنطقة، في حين يتسارع خط الكنتور بالارتفاع كلما اتجهنا جنوباً، بسبب صلابة المكونات الجيولوجية في هذه المناطق بالرغم من استمرار تعرضها لمختلف عمليات التعرية والتجوية، فضلاً عن قلة تأثير الفواصل والصدوع فيها التي اقتصر تأثيرها على تكوين بعض الفيضانات التي تنتشر بين الفواصل الكنتورية.

الفصل السابع... أشكال سطح الأرض وخصائصه في بادية المثنى ودورها في التنمية المستدامة

خريطة (2-7) خطوط الارتفاعات المتساوية (بادية المثنى)



المصادر: بالاعتماد على:

1-SRTM 1 Arc-Second Global,2014.

2-برنامج Arc GIS 10.2.2.

ويمكن تلخيص خصائص الانحدار العام للمنطقة:

1- خطوط قليلة الاستواء ومتعرجة ومتقاربة: تظهر بتعرجات متوسطة الى خفيفة كلما اتجهنا شمالاً وترتفع القيم الكنتورية وتزداد تقارباً كلما اتجهنا نحو الجنوب الغربي، وتنتشر في المنخفضات والتلال التي قطعها الاودية .

2- خطوط مغلقة: تكون على شكل خطوط مغلقة متحدة المركز مع قيم متناقصة نحو المركز المتمثلة بالتلال التي يرجع نشوئها إلى تباين استجابة الصخور لعمليات التعرية (الريحية، المائية)، وتنتشر في العديد من مناطق بادية المثنى.

3- خطوط مستوية وقليلة التعرج ومتباعدة : تشير إلى المناطق ذات الانحدار الخفيف والمنتظم، وخلوها نسبياً من الأشكال الارضية المتضرسة عدا بعض حافات الاودية مثل (أبو حضير وأبو مريس وقرين الثماد) وتتمثل هذه الخطوط في الاقسام الشمالية من بادية المثنى وتشير إلى الانحدار التدريجي في هذه المناطق بالقياس لبقية اقسام منطقة الدراسة.

4- خطوط ذات شكل (V): تشير إلى الاراضي المرتفعة عن الوادي، وتظهر هذه الخطوط في العديد من اجزاء الوديان الرئيسة إلى الشمال من بصية، وتحديداً ضمن شعيب أبو غار.

نستخلص من ذلك إن بادية المثنى تتميز بانسباط سطحها التدريجي كلما اتجهنا شمالاً بسبب استمرار عمليات الترسيب الذي ساعد على تكوين مناطق تصلح لمختلف الأنشطة البشرية ولا سيما الزراعية والرعية بسبب توفر الترب الصالحة للإنبات في المنخفضات وبطون الوديان، ويقل استواء الخطوط الكنتورية وتزداد تعرجاً وتقارباً نحو الجنوب والجنوب الغربي، وهذا دليل على وجود تكوينات جيولوجية صلبة قاومت العوامل والعمليات الجيومورفولوجية، ومن ثم توفر فرص للتنمية المستدامة ولا سيما في الجانب الصناعي والسياحي، فضلاً دورها في حجز مياه السيول ومن ثم رفع منسوب المياه الجوفية، لذا يرى الباحث إن هذه المناطق تتمتع بمخزون مائي جيد بسبب تضرس المنطقة مما يعطي فرصة أكبر لتغلغل المياه فيها.

7-1-1-2- الأقسام التضاريسية:

يمكن تقسيم منطقة الدراسة إلى ثلاث اقسام تضاريسية، يلاحظ خريطة (7-3) وجدول (7-2):

1- المنطقة السهلية (5-156.76م): Plain Area: تشمل المناطق الشمالية من المنطقة، وتمتد هذه المنطقة من بصية شرقاً إلى شمال الشاوية وتخترق الحدود الادارية لمحافظة المثنى،

وتشغل مساحة (10979.4) كم² ونسبة (24.05) %، ويزداد انخفاض هذه المنطقة كلما توجهنا شمالاً، وتبرز أهمية هذه المنطقة من خلال صلاحيتها لمختلف النشاطات البشرية بسبب استواء سطحها، فضلاً عن سمك تربتها وخصوبتها وكثرة الرواسب الحديثة، وهي منطقة المصب للوديان الرئيسية في البادية، وتعد منطقة تجمع وفرز الرواسب المحمولة، الأمر الذي عزز فرص الاستثمار في المجال الزراعي.

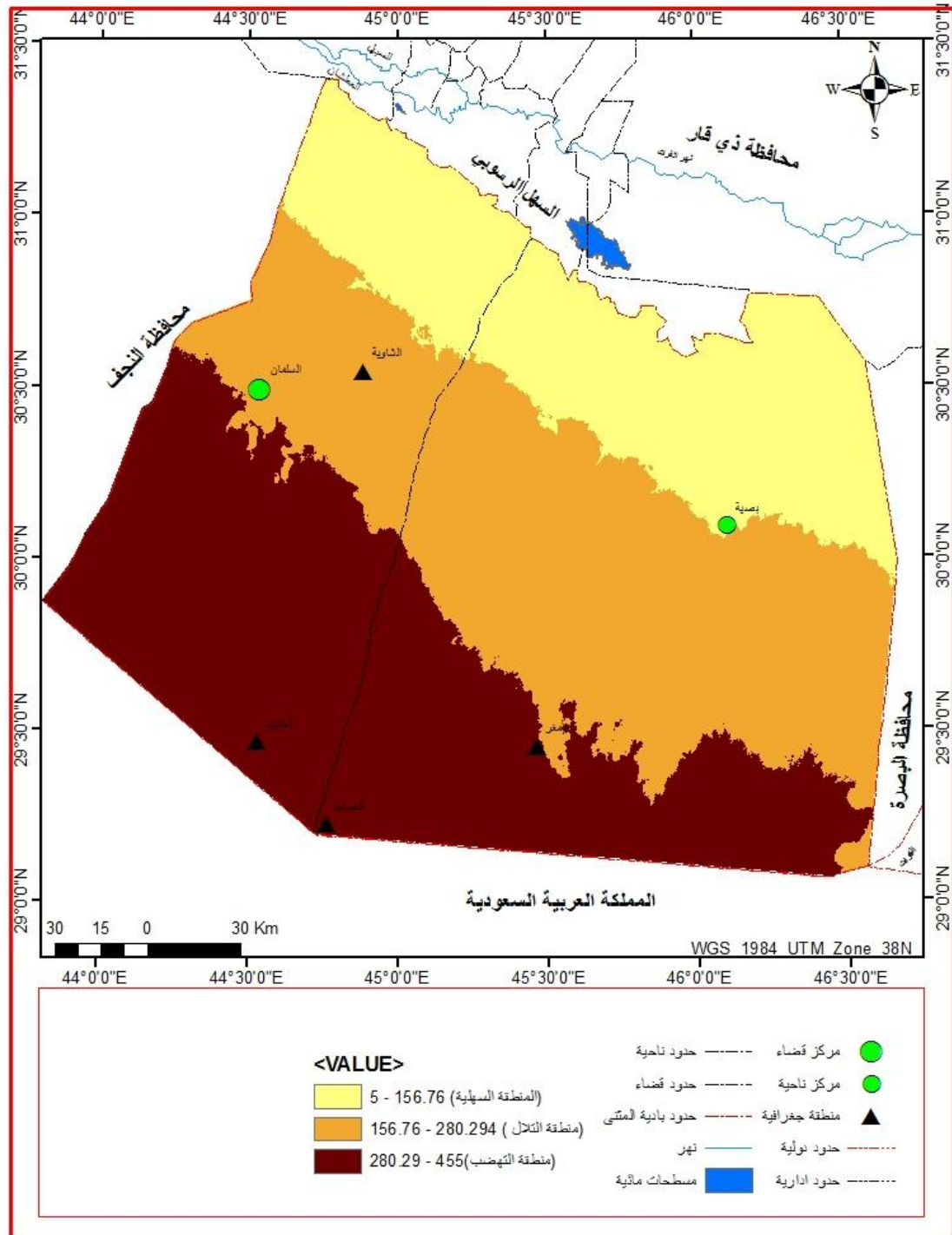
2-منطقة التلال (156.76-280.29) م Hills Area: تنتشر هذه المنطقة شمال منطقة الهضبة، وجنوب المنطقة السهلية لتشمل منطقة الأمغر والسلمان والشاوية، وتشغل مساحة (17423.2) كم² ونسبة (38.16) %، وتشمل العديد من التلال مثل تل الكراثة إلى الجنوب من بصية ، والمغزلية وتل العطشانة وسلسلة تلال شليهبات الحصاني وتل الضبع شرق بصية ⁽¹⁾، وتبرز أهمية هذه المنطقة من خلال توفر العديد من الأشكال الأرضية التي يمكن الاستفادة منها في دعم النشاط السياحي الترفيهي والعلمي.

3-منطقة التهضب (280.29 - 455) م: Plateau Area: تقع هذه المنطقة إلى الجنوب والجنوب الغربي، وتبلغ مساحتها (17255.1) كم² ونسبة (37.79) %، وتمتاز بوعورتها لا سيما في الأجزاء الجنوبية والجنوبية الغربية منها، وتمتد سلسلة من التهضبات لأكثر من (150) كم مثل سلسلة هضبة الحنية والعفايف، وتكثر في هذه المناطق الحيوانات المفترسة مثل الذئاب، وتبرز أهمية هذه المنطقة كونها تمثل احتياطي هائل من أنواع الصخور التي يمكن استخدامها في النشاطات الصناعية المختلفة ولا سيما الصناعات الانشائية.

(¹) احمد حمدان الجشعمي ، بصية الق الصحراء-رقافية الشعراء ،دار العلوم، 2010، الطبعة الاولى،

الفصل السابع... أشكال سطح الأرض وخصائصه في بادية المثنى ودورها في التنمية المستدامة

خريطة (7-3) اقسام السطح (بادية المثنى)



المصادر: بالاعتماد على:

1-SRTM 1 Arc-Second Global,2014.

2-برنامج Arc GIS 10.2.2.

جدول (7-2) أقسام التضاريس ومساحتها (بأدلة المثلث)

النسبة %	المساحة كم2	أقسام التضاريس
24.05	10979.4	المنطقة السهلية
38.16	17423.2	منطقة التلال
37.79	17255.1	لمنطقة التهضب
100	45657.7	المجموع

المصادر بالاعتماد على: باعتماد ملف DEM، وبرنامج Arc GIS 10.2.2 في حساب المساحات والنسب

7-1-1-2-3- تصنيف المنحدرات:

يمكن تصنيف المنحدرات في المنطقة على اساسين هما الشكل ودرجة الانحدار وكما يأتي:

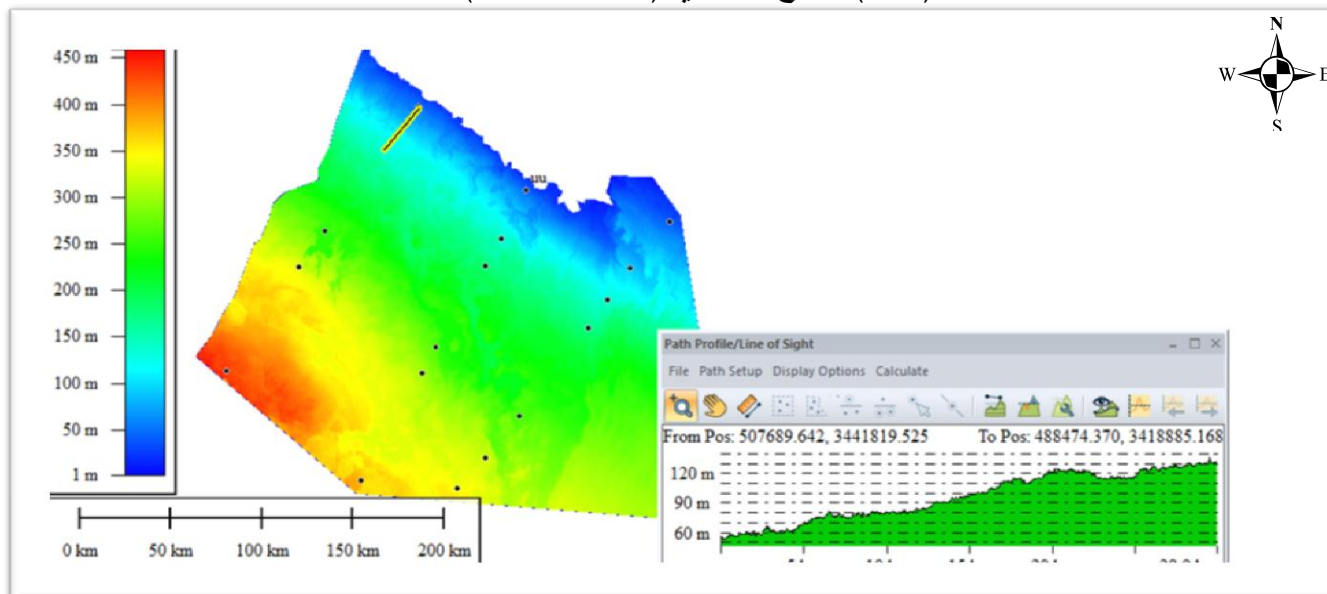
7-1-1-2-3-1- تصنيف المنحدرات حسب الشكل:

7-1-1-2-3-1-1-المحدرات المنتظمة: يكون السطح منتظماً مستوياً على وتيرة واحدة، أي يقل فيه التفاوت في الارتفاع أو الانخفاض ⁽¹⁾، ويتوزع في العديد من المناطق ولا سيما في (المنطقة السهلية) ضمن الجهات الشمالية يلاحظ شكل(7-1)، وتحديداً في مناطق (المزير والحسام والسلحوبية)، بسبب الطبيعة الارسابية لهذه المنطقة التي تعمل على تسوية المنخفضات وبشكل دوري، وطبيعة الصخور المتجانسة المقاومة لعمليات التعرية المائية والريحية، وارتفاع نسبة الرطوبة الارضية بسبب استقبال هذه المنطقة للسيول وتوفر النبات الطبيعي في الموسم المطير، فضلاً عن تواجد العديد من المزارع المستثمرة مما يؤدي إلى تثبيت التربة، وتبرز أهميتها من خلال تكوين أشكال جيومورفولوجية تساهم في دعم المناظر الطبيعية وتشجيع الجانب السياحي، فضلاً عن سهولة استثمارها، يلاحظ صورة(7-1).

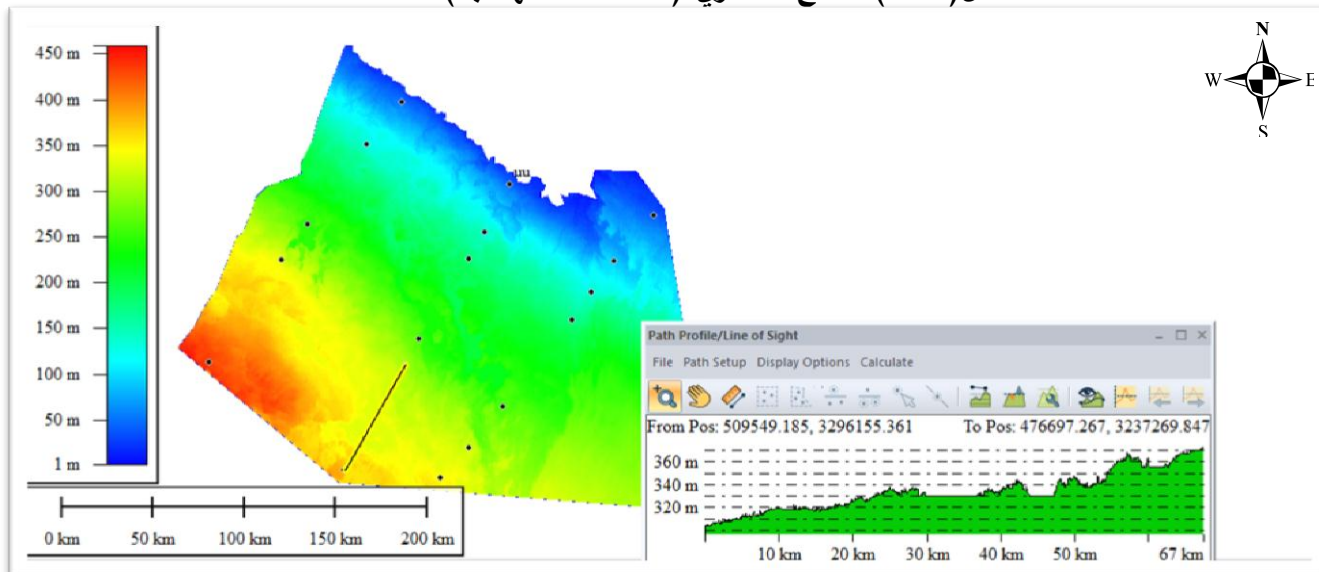
(¹) سرحان نعيم الخفاجي، الجيومورفولوجيا، اشكال سطح الأرض ، مصدر سابق ،ص13.

الفصل السابع... أشكال سطح الأرض وخصائصه في بادية المثنى ودورها في التنمية المستدامة

شكل (7-1) مقطع انحداري (المنطقة السهلية)



شكل (7-2) مقطع انحداري (المنطقة المتهضبة)



المصادر: بالاعتماد على:

1-SRTM 1 Arc-Second Global,2014.

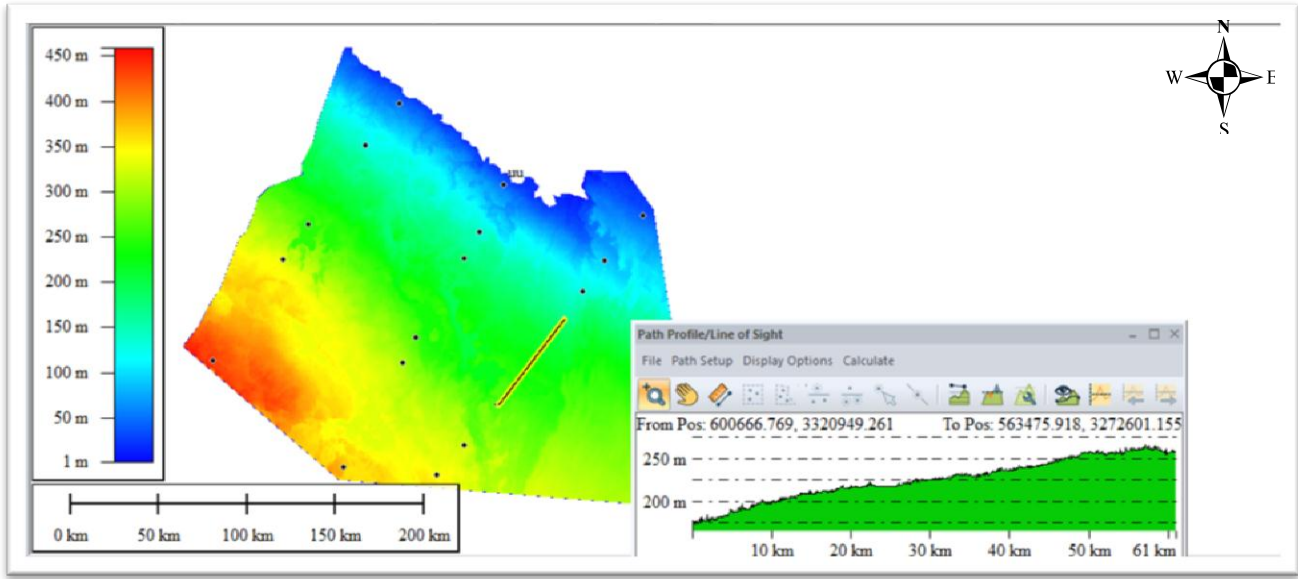
2-برنامج Global Mapper Pro 23.1.0

7-1-1-2-3-1-3- المنحدرات المحدبة: تكون المنحدرات بشكل يقترب من القبيبي، إذ تكون خطوط الكنتور منتظمة في القمة ثم تتقارب هذه الخطوط جانبياً، ويزداد هذا التقارب كلما اشتد الانحدار، تكثر هذه المنحدرات إلى الجنوب من بصية (المنطقة المتهضبة)، وتتأثر هذه المنطقة بطبيعة التكوينات الجيولوجية وعملية زحف التربة في فترة السيل فضلاً عن تأثير الامطار الفجائية على التربة العارية لاسيما في بدايات الموسم المطير، يلاحظ شكل (7-3).

الفصل السابع... أشكال سطح الأرض وخصائصه في بادية المثنى ودورها في التنمية المستدامة

7-1-1-2-3-4- المنحدرات المقعرة: يكون توزيع خطوط الكنتور في هذا النوع من المنحدرات عكس النوع السابق، إذ تتباعد خطوط الكنتور في منتصف المنحدر، ويزداد التزاحم إلى الاطراف تبعاً لشدة الانحدار، وتتمثل في العديد من المناطق ولاسيما (المنطقة المتهضبة)، والسبب في ذلك خشونة المواد الارسابية، وقد تتطور هذه المنحدرات المقعرة إلى معتدلة مع تقدم الدورة الحثية، وتأتي أهميتها في عملية الحصاد المائي كخزانات طبيعية، يلاحظ شكل (7-4).

شكل (7-3) مقطع انحداري (المنطقة المتهضبة)



المصادر: بالاعتماد على:

1-SRTM 1 Arc-Second Global,2014.

2-برنامج Global Mapper Pro 23.1.0

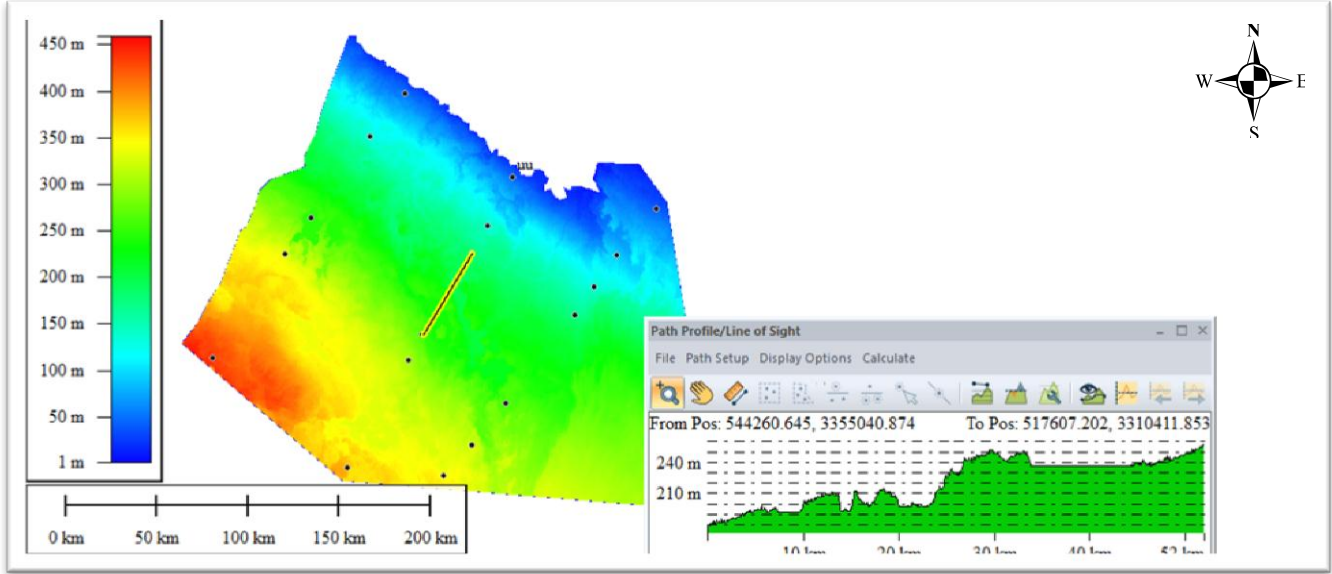
يتبين من ذلك إن منطقة الدراسة تتمتع بتنوع أصناف المنحدرات بسبب تباين الخصائص الجيولوجية ومن ثم تنوع صخور التي يمكن الاستفادة منها لمختلف النشاطات البشرية الصناعية والترفيهية، فضلاً عن امكانية التوسع في مختلف النشاطات الزراعية، ولا سيما في الفيضات وبطون الوديان.

7-1-2- الخصائص التضاريسية:

7-1-2-1- المقاطع الطولية العامة في بادية المثنى:

تعد دراسة المقاطع الطولية العامة لبادية المثنى انعكاساً لنوعية الصخور إذ يزداد انحدار القطاع في مناطق الصخور الصلبة ويقل الانحدار في المناطق الصخور اللينة، ولحركات البنائية والظروف المناخية السائدة والفعل الحثي للمياه الجارية من نحت وإرساب وسرعة واتجاه الرياح

شكل (4-7) مقطع انحداري (المنطقة المتهضبة)



المصدر: بالاعتماد على:

1-SRTM 1 Arc-Second Global,2014.

2-برنامج Global Mapper Pro 23.1.0

وتأثيرهما على عمليات النحت والارساب، وقد أُعتمد نموذج الارتفاع الرقمي (DEM)، والاستعانة ببرنامج (Global Mapper Pro 23.1.0) في هذه الدراسة، وتحدد المقاطع الطولية المرحلة التي تمر بها منطقة الدراسة (الشباب، النضج، الشيخوخة) حيث تدل المقاطع المحدبة على مرحلة الشباب والمنتظمة على مرحلة النضج وتدل المقعرة على مرحلة الشيخوخة⁽¹⁾، كما ان لكل مرحلة من هذه المراحل مظاهر جيومورفولوجية خاصة بها، إذ تسود المظاهر الحتية ضمن مرحلة الشباب والمظاهر الارسابية ضمن مرحلة الشيخوخة، وتتبادل في مرحلة النضج عوامل النحت والارساب⁽²⁾.

المقطع العام الاول: أُخذَ هذا المقطع عند أقصى الجنوب من الجهة الغربية وبارتفاع 420 م عن مستوى سطح البحر، عند إحداثيات (29° 38' 42.46" N) و (44° 08' 24.81" E)، وأقصى شمال منطقة الدراسة عن إحداثيات (31° 12' 43.18" N) و (45° 3' 58.26" E)، وبارتفاع (28) م عن مستوى سطح البحر، ومن خلال شكل (5-7) يمكن ملاحظة ان الانحدار

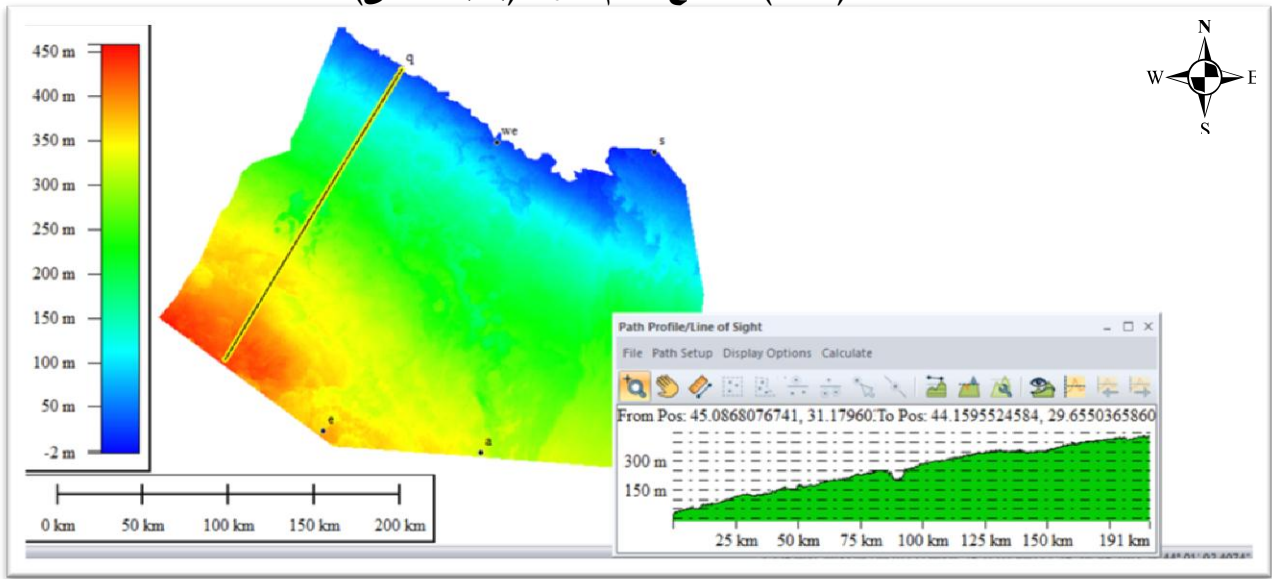
(¹) احمد علي حسن البيواتي، التحليل الكمي لخصائص الشبكة النهرية لحوض وادي الثرثار، دراسة في الجيومورفولوجيا التطبيقية، مجلة الجمعية الجغرافية العراقية، العدد 45، بغداد، 2000، ص 142.

(²) Alan H. Straler، Arthur N. Stvabler، Modern Physical Geography Fourth Edition، John Wiley and Sons، Inc، 1988، p 330 – 333.

الفصل السابع... أشكال سطح الأرض وخصائصه في بادية المثنى ودورها في التنمية المستدامة

العام للمقطع هو من النوع المحدب وهذا دليل ان هذا المقطع يمر بمرحلة الشباب المتأخر القريب من الشكل المنتظم، مع وجود نقاط للتجديد نتيجة تباين استجابة الصخور للعمليات الجيومورفولوجية وازدياد العمليات الحتية والتعرؤية ولاسيما اوقات السيول والفيضانات، وقد تم ملاحظة ذلك من ميدانياً من وجود الاخاديد وشدة الانحدارات الجانبية في جروف الوديان الرئيسية، يلاحظ صورة(2-7) ويمكن ملاحظة تراكم الرواسب في اجزاءه الوسطى والدنيا (منطقة المصب) بسبب انخفاض سرعة التيار والتحول من النحت إلى الارساب.

شكل(5-7) المقطع العام الاول (بادية المثنى)



المصادر: بالاعتماد على:

1-SRTM 1 Arc-Second Global,2014.

2-برنامج Global Mapper Pro 23.1.0

صورة(2-7) تمثل جرف وادي رئيس (أبو حضير) بالقرب من منطقة الشاوية



المصدر: بالاعتماد على الدراسة الميدانية بتاريخ (2022-1-21). 30° 32' 45.65" N 44° 53' 16.39" E

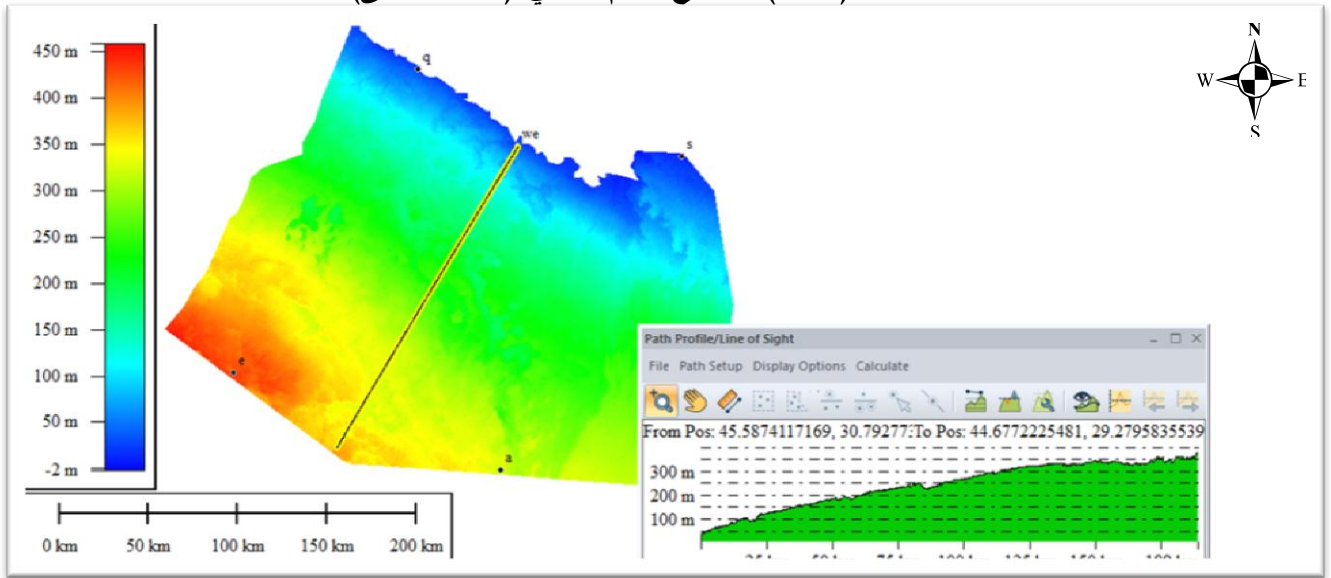
المقطع العام الثاني: أُخِذَ هذا المقطع في وسط منطقة الدراسة، من اقصى الجنوب وبارتفاع 377م عند احداثيات (29° 16' 14.10" N) و (44° 39' 37.53" E)، و (30° 47' 30" N) و (45° 34' 33.52" E) وبارتفاع (40)م، من خلال تحليل شكل (6-7) تبين انتظام المقطع العرضي ومرور هذا المقطع بمرحلة الشباب المتأخر وسيادة مظاهر جيومورفولوجية خاصة، إذ تتعادل في هذه المرحلة عوامل النحت والارساب، مع وجود بعض نقاط التجديد المتمثلة بالمنخفضات والاوودية التي تستلم كميات كبيرة من السيول تزيد من شدة عمليات التعرية المائية في موسم المطر محلياً.

المقطع العام الثالث: أُخِذَ هذا المقطع عند اقصى الجنوب وبارتفاع (322)م عند احداثيات (29° 09' 59.56" N) و (45° 29' 33.89" E)، وبارتفاع 7م (30° 45' 23.52" N) و (46° 23' 52.43" E)، من خلال شكل (7-7) يمكن ملاحظة ان هذا المقطع هو مقطع منتظم قليل التحدب بسبب انتشار الترسبات التي تحملها السيول، وهذا دليل على ان هذا المقطع يمر بمرحلة الشباب المتأخر وسيادة المظاهر الحثية، ويبدأ هذا المقطع بمنطقة وعرة ويزداد بها الانحدار بسبب صلابه صخور هذه المنطقة، وتكثر فيها المكاشف الصخرية ضمن تكوينات الدببة، فضلاً عن وجود بعض المنخفضات والفيضات، وتتباين ترسباتها بحسب الانحدار المحلي، وتقل وعورة هذا المقطع تدريجياً كلما اتجهنا نحو الشمال بسبب ازدياد معدلات الترسيب وتسوية المنخفضات وحسب الناتج الرسوبي، مع وجود بعض نقاط التجديد المتمثلة بالمنخفضات والفيضات.

يتبين من ذلك ان هناك تنوع في طبيعة صخور منطقة الدراسة، إذ ان المناطق الجنوبية والجنوبية الغربية تتميز بصخور صلبة، وإن صلابه الصخور تقل كلما توجهنا شمالاً، كما ان المناطق الشمالية تتميز بطبيعة ارسابية مما عزز امكانية التوسع في النشاط الزراعي بسبب زيادة سمك التربة، فضلاً عن امكانية التوسع في النشاط الصناعية، ولا سيما المواد الانشائية، لذا فإن هناك تنوع في الامكانيات المتاحة للتنمية المستدامة.

الفصل السابع... أشكال سطح الأرض وخصائصه في بادية المثني ودورها في التنمية المستدامة

شكل (7-6) المقطع العام الثاني (بادية المثني)

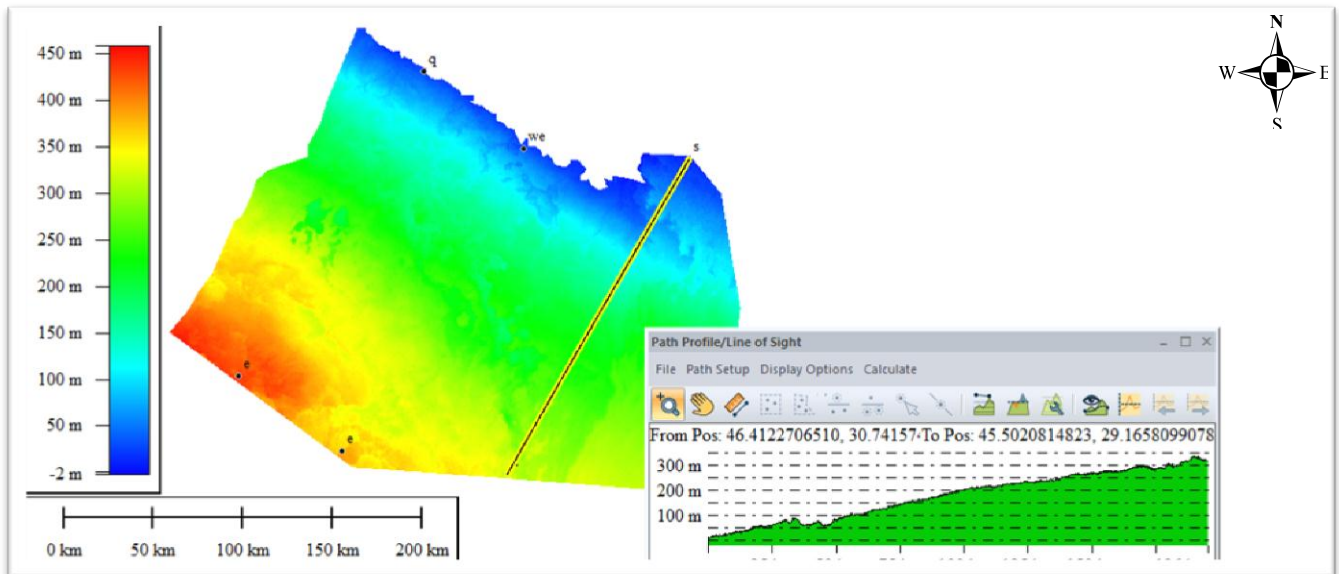


المصادر: بالاعتماد على:

1-SRTM 1 Arc-Second Global,2014.

2-برنامج Global Mapper Pro 23.1.0

شكل (7-7)المقطع العام الثالث (بادية المثني)



المصادر: بالاعتماد على:

1-SRTM 1 Arc-Second Global,2014.

2-برنامج Global Mapper Pro 23.1.0

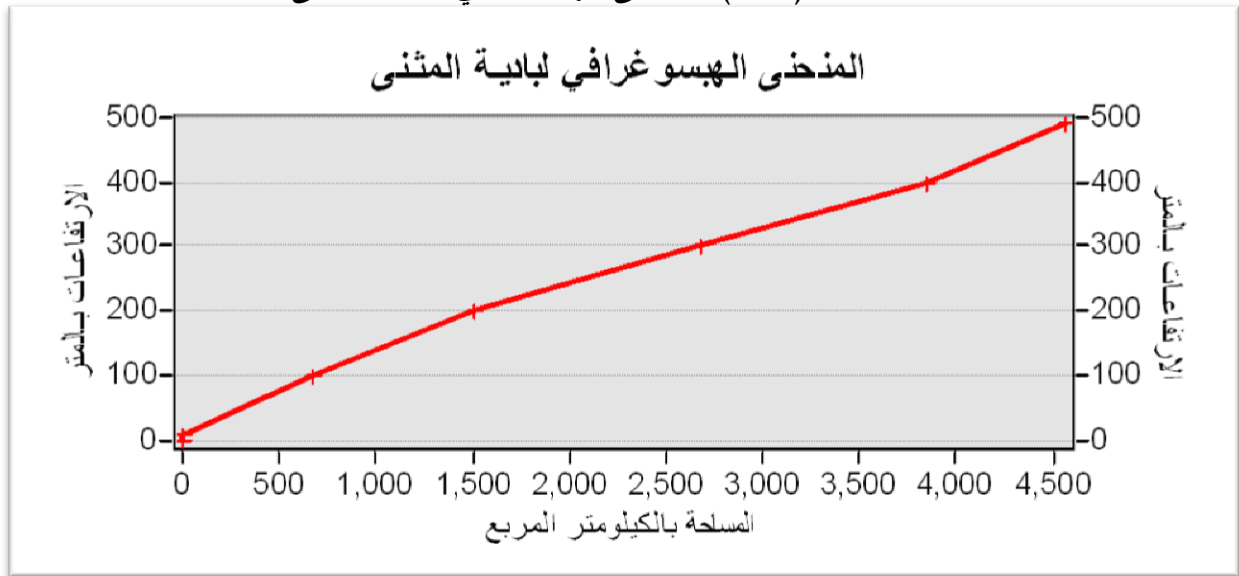
الفصل السابع... أشكال سطح الأرض وخصائصه في بادية المثنى ودورها في التنمية المستدامة

ويمكن الاستفادة من نظم المعلومات الجغرافية والاستشعار عن بعد للتوصل إلى المرحلة التي تمر بها منطقة الدراسة وبشكل عام عن طريق تمثيل المنحنى الهيسوغرافي:

7-1-2-2- المنحنى الهيسوغرافي:

هو منحنى تكراري متجمع يوضح العلاقة بين ظاهرتين متغيرتين (الارتفاع، المساحة)، ويعد احد الطرق المورفومترية التي تعطي فكرة شاملة عن السطح وخصائصه، ويعد الاستشعار عن بعد وبرنامج نظم المعلومات الجغرافية من اهم طرق تمثيله وادقها، وعند تمثيل المنحنى الهيسوغرافي تبين ان المنطقة تمر بمرحلة الشباب المتأخر والقريبة من النضج، أي إن المنطقة تمر بمرحلة انتقالية بين العمليات الحثية وتعادل عوامل النحت والارساب بسبب قرب المنحنى من الخط المستقيم، يلاحظ شكل (7-8).

شكل (7-8) المنحنى الهيسوغرافي لبادية المثنى



المصدر: بالاعتماد على نموذج الارتفاع الرقمي (DEM) وبرنامج الارك ماب

ومن خلال الدراسة الميدانية والمرئيات الفضائية تبين إن منطقة الدراسة ذات انحدار تدريجي شمالي وشمالي شرقي باتجاه السهل الرسوبي، وان المناطق الشديدة التضرس غير منتظمة تتوزع في المناطق الجنوبية والجنوبية الغربية وحتى المناطق الوسطى من منطقة الدراسة بسبب طبيعة التكوينات الجيولوجية الغير متجانسة، ولا تقتصر هذه المناطق الشديدة التضرس على هذه المناطق بل امتدت إلى منطقة التلال والمنطقة السهلية في قيعان الاودية والسفوح المعتدلة الانحدار بسبب انتشار العديد من الوديان التي تتخللها الرخاب والفيضات التي ساعد على تكوينها شدة التعرية المائية خلال موسم سقوط الامطار والسيول، ويتضح إن منطقة الدراسة ذات

اهمية كبيرة في تنفيذ المشاريع والأنشطة التنموية المختلفة، ولا سيما في مجال استعمالات الأراضي، إذ تحدد العلاقة بين الارتفاع والمساحة مدى ملائمة منطقة الدراسة لمختلف الأنشطة البشرية، وتعد منطقة الدراسة من المناطق التي تصلح لمعظم النشاطات البشرية ولا سيما في وسط وشمال منطقة الدراسة، بسبب طبيعة الانحدار التدريجي الذي يمتد لمسافات كبيرة.

7-1-2-3- المقاطع العرضية العامة في بادية المثنى:

يتكون المقطع العرضي للحوض النهري من خط يصل بين نقطتين تقعان على طرفي الحوض، أو أقصى نقطتين تقعان على خط التقسيم⁽¹⁾، وتعكس هذه المقاطع الخصائص الانحدارية لجوانب الأودية الرئيسية، وهي مؤشر لنتوع العمليات الجيومورفولوجية (تجوية، انزلاقات أرضية، تساقط صخري، انجراف تربة) فضلاً عن زيادة الرواسب التي تنقلها وديان منطقة الدراسة، وتتخذ هذه المقاطع في الغالب بشكل منتظم، ويراعى أن تكون المسافة بينهما متساوية جهد الامكان، وكلما قلت هذه المسافة كان بالإمكان الحصول على مؤشرات واضحة للتغيرات الحاصلة بمرور الزمن، ويستفاد من هذه المقاطع في التعرف على المناطق التي تتركز فيها التعرية والتجوية والارساب، أي توضيح مواضع الضعف والقوة في ضفاف الانهار والاودية⁽²⁾.

المقطع العام الاول: أُخذَ هذا المقطع عند شمال منطقة الدراسة وبارتفاع (60.20)م عند إحداثيات (31° 17' 30.87" N) و(44° 43' 21.56" E)، وبارتفاع (113.32)م، عند إحداثيات (30° 8' 52.46" N) و(46° 37' 52.43" E).

من خلال هذا المقطع يمكن استنتاج أن هناك تباين في ارتفاع السطح إذ يكون من الغرب (60.20)م ويزداد الارتفاع بالاتجاه الشرقي ليصل إلى (113.32)م، ويمكن ملاحظة التباين في الارتفاعات والانخفاضات في أجزاء المقطع ووضوح التضرس، بسبب طبيعة الترسبات الهشة وتباين مقاومتها للعمليات الجيومورفولوجية، وتقارب مسارات الوديان الرئيسية باتجاه منطقة المصب وتفاوت استجابة ترب هذه المنطقة للتعرية المائية لجوانب الأودية الرئيسية، ويزداد تأثير الأقسام الشمالية الشرقية بالتعرية الريحية فضلاً عن التعرية المائية بسبب ارتفاع المنطقة النسبي وكثرة الترسبات الريحية (الكتبان الرملية) ذات الطبيعة الهشة التي تتأثر سريعاً، في حين يمكن

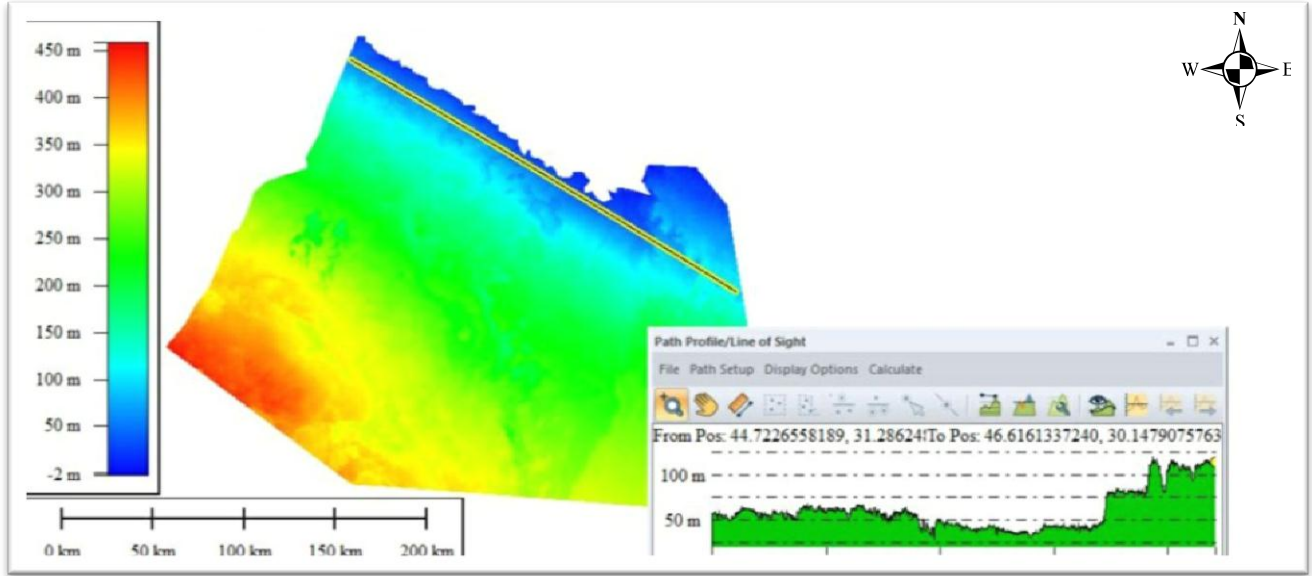
(¹) سفير جاسم حسين، اسامة فالح عبد الحسن المكتوب، الخصائص الهيدرولوجية لمترية لحوض وادي أم فارس في بادية المثنى باستخدام نظم المعلومات الجغرافية، مجلة اوروك، العدد الثاني، المجلد الرابع عشر، 2021، ص1272.

(²) خلف حسين على الدليمي، الجيومورفولوجية التطبيقية، مصدر سابق، ص89-88.

الفصل السابع... أشكال سطح الأرض وخصائصه في بادية المثنى ودورها في التنمية المستدامة

ملاحظة التجانس النسبي لبقية القطاع بسبب تجانس ترسبات ملء الوديان وثبات تربتها بسبب الرطوبة الناتجة عن تركيز الاراضي الزراعية فيها، وكونها مناطق منخفضة وتوجه اغلب الوديان الرئيسة اليها ثم إلى منخفض الصليبات بسبب طبيعة الانحدار، واستمرار الترسيب للمفتتات الناعمة وطبيعة الترسيبات الموجودة (ترسبات ملء الوديان) ، يلاحظ شكل (7-9).

شكل (7-9) المقطع العرضي العام الاول (بادية المثنى)



المصادر: بالاعتماد على:

1-SRTM 1 Arc-Second Global,2014.

2-برنامج Global Mapper Pro 23.1.0

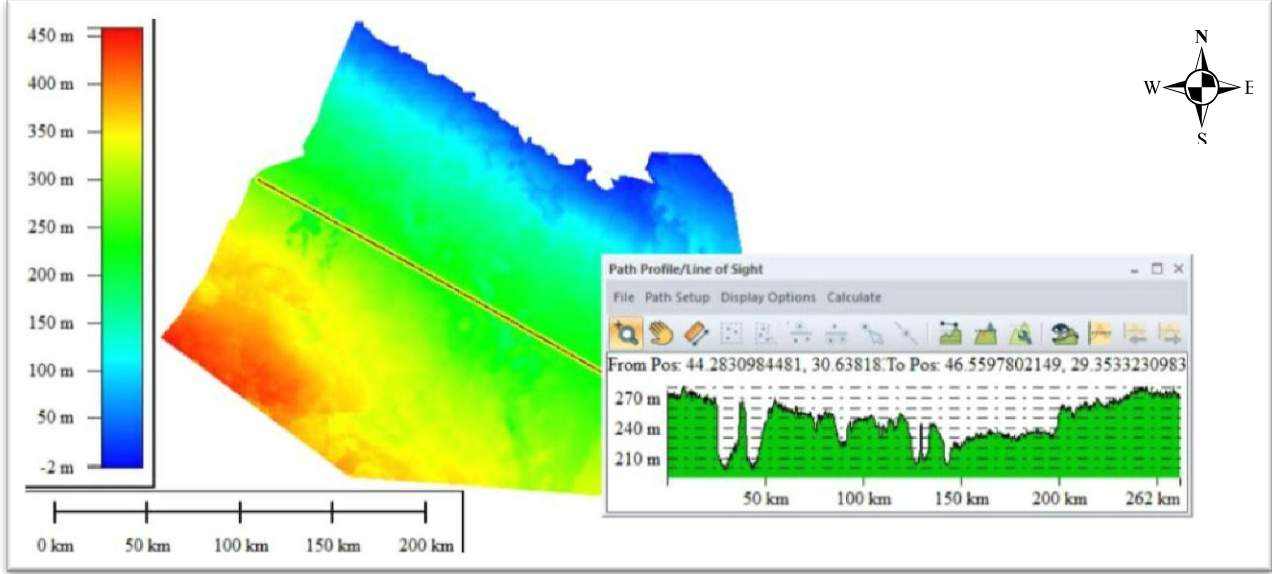
المقطع العام الثاني: أُخذَ هذا المقطع عند أقصى الوسط الغربي وبارتفاع (276)م عند إحداثيات (29° 09' 59.56" N) و(45° 29' 33.89" E)، وبارتفاع (272)م (30° 45' 23.52" N) و(46° 23' 52.43" E).

من خلال هذا المقطع يمكن ملاحظة تقارب نقاط الارتفاع عن حافتي المقطع بسبب طبيعة التكوينات الجيولوجية التي يمر بها هذا القطاع، إذ تكون بداية هذا القطاع من الجهة الشرقية عند تكوينات الدببة التي تتكون من صخور فتاتية خشنة بسبب الانخفاض التدريجي لطاقة النهر مما يؤدي إلى التخلص التدريجي من الحمولة النهرية التي تتكون من ترسبات الرمل والرمل الحصوي وقليل من ترسبات الحجر الجيري الرمل والمارل وقليل من الطين والغرين، فضلاً عن كونها من مواد معدنية غير قابلة للذوبان في الماء كالكوارتز والمايكا، في حين تكون الحافة الغربية لهذا المقطع عن تكوين الدمام الأوسط الذي يتألف من حجر الكلس الدولوميتي الطباشيري، ويمكن ملاحظة شدة التضرس في هذا القطاع بسبب إن المجرى المائي للأودية يمر

الفصل السابع... أشكال سطح الأرض وخصائصه في بادية المثنى ودورها في التنمية المستدامة

في تكوينات متباينة، إذ تتركز التعرية في المناطق الضعيفة وتتنخفض في المناطق الصلبة، ومن ثم يتسع المجرى تارة ويضيق تارة أخرى، إذ إن المناطق التي يمر بها هذا القطاع ذات التكوينات الجيرية والطباشيرية، مما يؤدي إلى اتساع المجاري المائية فيها ونشاط عمليات التعرية والتجوية، يلاحظ شكل (7-10).

شكل (7-10) المقطع العرضي العام الثاني (بادية المثنى)



المصادر: بالاعتماد على:

1-SRTM 1 Arc-Second Global,2014.

2-برنامج Global Mapper Pro 23.1.0

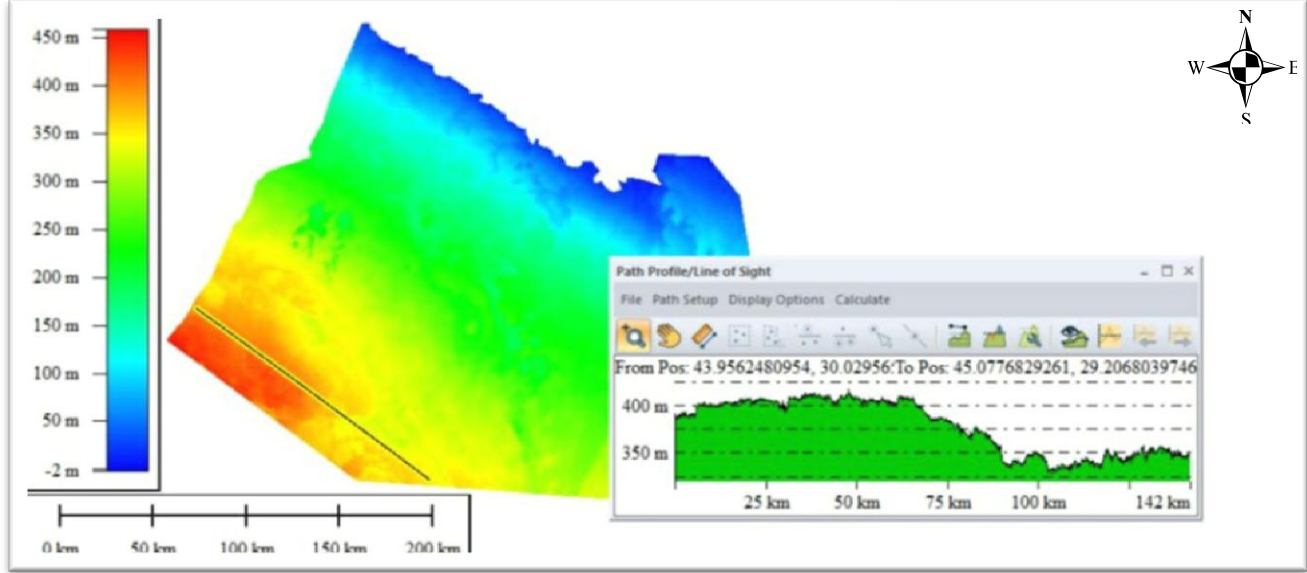
المقطع العام الثالث: أُخذَ هذا المقطع عند أقصى الجنوب والجنوب الغربي وبارتفاع (395)م عند احداثيات (29° 09' 59.56" N) و(45° 29' 33.89" E)، وبارتفاع (346)م (30° 45' 23.52" N و(46° 23' 52.43" E).

ويمكن ملاحظة تباين الارتفاع عند حافتي المقطع العرضي الثالث بحدود (50)م بين طرفي المقطع، بسبب الانحدار العام للمنطقة من الجهة الجنوبية الغربية إلى الشمال والشرق باتجاه صدع الفرات، وقد سار هذا القطاع ضمن التكوينات الجيولوجية لأُم أرضمة بالقرب من منطقة انصاب والدمام الاسفل، وتتميز هذه البيئة ببيئة ترسيبية بحرية متأثرة ببعض الظروف اللاغونية، ويتكون من حجر كلسي دولومايتي وحجر جيري دولومايتي عالي التبلور مع وجود انهادرايت وحجر الصوان في اجزائه العليا الذي يتميز بصلابته كونه يتكون من بلورات الكوارتز ذات مكسر محاري وغير قابلة للذوبان في المياه، وبذلك يمكن تفسير مقاومة الاقسام الجنوبية الغربية للتعرية المائية، في حين يكون الطرف الاخر للمقطع العرضي ضمن تكوين الدمام الأسفل الذي يتكون من حجر جيري طباشيري جيد التطبيق وحجر جيري دولومايتي وحجر

الفصل السابع... أشكال سطح الأرض وخصائصه في بادية المثنى ودورها في التنمية المستدامة

جير رمادي ودولومايت وحجر كلسي، وهذا يفسر تأثير الطرف الشرقي بالتعرية المائية يلاحظ شكل(7-11).

شكل(7-11) المقطع العرضي العام الثالث (بادية المثنى)



المصادر: بالاعتماد على:

1-SRTM 1 Arc-Second Global,2014.

2-برنامج Global Mapper Pro 23.1.0

نستنتج من ذلك ان منطقة الدراسة تزداد ارتفاعاً في الجهات الجنوبية والجنوبية الغربية، ويقل بشكل تدريجي كلما اتجهنا إلى الشمال والشمال الشرقي، ومن ثم زيادة معدلات الترسيب في المناطق الشمالية، الأمر الذي يؤدي وبشكل تدريجي إلى زيادة سمك الترب وتحسين نوعيتها وتحويل الصخور الاصلية غير العضوية إلى ترب زراعية نشيطة، ويتخلل السطح العديد المنخفضات والودية المنحدرة نحو الشمال التي ساعدت على تجمع المياه فضلاً عن استمرار عمليات الترسيب، إذ تعد هذه المناطق ذات اهمية بالغة في المجال الزراعي والرعي، ومن خلال هذه المقاطع تبين انحدار بادية المثنى هو انحدار تدريجي من الجنوب الغربي نحو الشمال الشرقي بمعدل (1م-2)كم، وإن هذا الانحدار التدريجي عامل مهم في امكانية اقامة مختلف الأنشطة البشرية فيها، وان اعلى ارتفاع سجل ضمن المقطع الثالث(395)م وادنى ارتفاع ضمن القطاع الاول (60.20)م، لذا فان التفاوت بسيط بسبب طول المسافة، ومن خلال هذه المقاطع تبين ان المنطقة الوسطى تتميز بشدة التضرر بسبب طبيعة المكونات الصخرية والتراكيب الخطية فضلاً عن دور مجاري الودية مما عزز امكانية توفر الترب الصالحة للزراعة في بطون الأودية، وزيادة معدلات تغلغل المياه إلى باطن الأرض لتغذية الخزانات الجوفية، في حين كان المقطع الاول ضمن البيئة الترسيبية تتخللها الكثير من الودية، وكان الانحدار في المقطع الثالث

الفصل السابع... أشكال سطح الأرض وخصائصه في بادية المثني ودورها في التنمية المستدامة

مؤشر لتنوع العمليات الجيومورفولوجية من تجوية وانزلاقات أرضية وتساقط صخري فضلاً عن انجراف تربة، وتكوين مظاهر جيومورفولوجية يمكن الاستفادة منها لمختلف النشاطات السياحية العلمية والترفيهية، فضلاً عن توفر الصخور الصلبة التي يمكن الاستفادة منها لدعم الأنشطة الصناعية ولا سيما الانتشائية منها، ومن خلال ما سبق من ذلك صلاحية منطقة الدراسة لمختلف النشاطات البشرية، ولا سيما الزراعية والصناعية والسياحية والرعية.

7-1-1-2-3-2-1-2 تصنيف المنحدرات في بادية المثني (حسب الدرجة) Zink

بشكل عام تمتاز منطقة الدراسة بميلان تدريجي كلما اتجهنا شمالاً باتجاه صدع الفرات، وتتباين المنحدرات من حيث درجة انحدارها من منحدرات ذات انحدارات هينة إلى شديدة، وتم تصنيف منحدرات منطقة الدراسة بحسب تصنيف Zink، ضمن بيئة برنامج Arc GIS في القائمة المنسدلة من Spatial Analysis Tools، ومن أداة Slope ضمن أدوات Surface، يلاحظ جدول (7-3) وخريطة (7-4).

جدول (7-3) تصنيف المنحدرات حسب الدرجة (Zink)

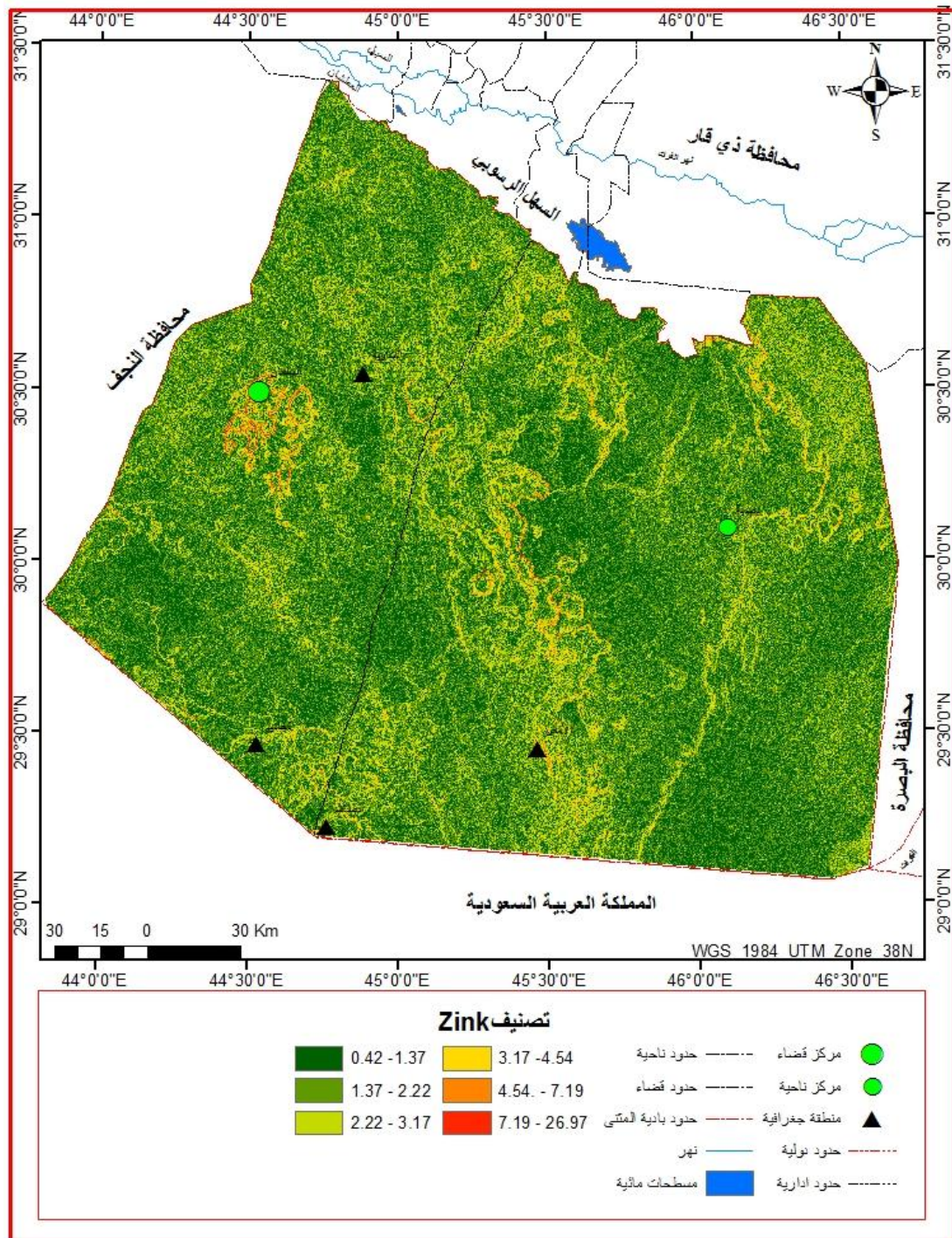
الفئات	المساحة كم ²	النسبة %	الشكل	التصنيف
0.42-1.37	17673.38	38.7	مسطح	سهل ، وادي
1.37-2.22	18309.55	40.1	مسطح خفيف	سهل ، وادي
2.22-3.17	7525.61	16.49	تموج خفيف	سهول تحاتية نهريّة عليا، سفوح اقدام
3.17-4.54	1804.37	3.96	تموج خفيف	سهول تحاتية نهريّة عليا، سفوح اقدام
4.54-7.19	294.16	0.64	تموج خفيف	سهول تحاتية نهريّة عليا، سفوح اقدام
7.19-26.97	50.63	0.11	متموج	تلال منخفضة
	45657.7	100		

المصدر: باعتماد ملف DEM، وتصنيف Zink وبرنامج Arc GIS

وعند تحليل جدول (7-3) نجد ان اغلب الأراضي هي متسطة إلى متسطة تسطح خفيف، سهلية تخترقها وديان جافة ساهمت في تغيرات انحدارية محلية، وإن درجة انحدار المنطقة تتراوح بين الانحدار البسيط غير المحسوس المتمثل بالمناطق السهلية إلى سهول تحاتية نهريّة وسفوح اقدام انحدار متموج تتمثل بالتلال، لذا فإن البادية لا تتضمن معوقات انحدارية تفرض على المخططين متطلبات خاصة للتأكد من استقرارية سطح بادية المثني خلال فترة البناء أو في المراحل اللاحقة تسبب اعاقا مشاريع التنمية المستدامة.

الفصل السابع... أشكال سطح الأرض وخصائصه في بادية المثنى ودورها في التنمية المستدامة

خريطة (4-7) تصنيف المنحدرات حسب الدرجة (تصنيف Zink)



المصادر: بالاعتماد على:

1-SRTM 1 Arc-Second Global,2014.

2-برنامج Arc GIS 10.2.2.

ويمكن تصنيف المنحدرات حسب الدرجة (Zink) إلى ست فئات:

الفئة الاولى (1.37-0.42): تشغل هذه الفئة الاقسام الشمالية من بادية المثنى، بمساحة (17673.38) كم² ونسبة (38.7) %، وهي اراضي مسطحة تخترقها الوديان وتتوزع فيها الفيضات، وتصلح لخزن مياه السيول والامطار، وتعد هذه المنطقة من المقومات الطبيعية للتنمية المستدامة في بادية المثنى التي يمكن استغلالها اقتصاديا لا سيما في الجانب الزراعي والمحافظة على التربة من فقدان والتقليل من التعرية، لما تمتلكه من امكانات طبيعية مثل التربة وتوفر المياه السطحية وقت التساقط من خلال الوديان التي تخترقها والفيضات، وتوفر المياه الجوفية في بقية شهور السنة، فضلاً عن امكانية استغلالها لرعي الحيوانات.

الفئة الثانية (2.22-1.37): هي اراضٍ منبسطة تصنف ضمن الشكل المسطح الخفيف، تخترقها بعض الوديان الرئيسية، وتشغل مساحة (18309.55) كم² ونسبة (40.1) %، ويمكن استغلال المناطق الواقعة ضمن هذه الفئة كمحميات طبيعية وللرعي على ان يكون هناك تناسب بين أعداد الحيوانات وكثافة الغطاء النباتي للمحافظة على التربة من فقدان، فضلاً عن الزراعة اعتماداً على المياه الجوفية.

الفئة الثالثة (3.17-2.22): تشغل مساحة (7525.61) كم² ونسبة (16.49) %، وهي منطقة تموج بسيط حسب تصنيف (Zink)، وتخترقها المراتب النهرية للوديان الرئيسية بكثافة، وتنتشر في هذه المناطق ترسبات ترب بطون الوديان التي تعد من أهم الترب الصالحة للإنتاج الزراعية اعتماداً على المياه الجوفية.

الفئة الرابعة (4.54-3.17): تشغل مساحة (1804.37) كم² ونسبة (3.96) %، وهي منطقة متموجة تموج خفيف وتلي الفئة السابقة من حيث درجة التموج وتتخللها السهول والوديان ذات انحدارات واضحة، عملت الوديان على تقطيعها وتطوير اشكالها الارضية، ويمكن استغلال هذه المناطق لأغراض الرعي.

الفئة الخامسة (7.19-4.54): تشغل مساحة (294.16) كم² ونسبة (0.64) %، وهي اراضٍ تلي الفئة السابقة من حيث درجة التموج وتتخللها بعض الفيضات وهي مناطق صالحة للرعي، ويمكن استغلالها لأغراض صناعية.

الفئة السادسة (26.97-7.19): تشغل مساحة (50.63) كم² ونسبة (0.11) %، وهي اراضٍ متموجة ذات انحدار واضح بسبب عدم تجانس تكويناتها وتباين درجة استجابتها لعوامل التعرية،

الفصل السابع... أشكال سطح الأرض وخصائصه في بادية المثنى ودورها في التنمية المستدامة

تنتشر فيها الفيضانات وتعد من المناطق المناسبة لعمل السدود ورفع منسوب المياه الجوفية، ويمكن استغلال صخورها في الصناعات الانشائية، فضلاً عن أهميتها للجانب الرعوي .

يتبين من ذلك تعدد الامكانيات المتاحة للتنمية المستدامة في بادية المثنى، ولا سيما الزراعية التي تساهم في الحد من التعرية وتثبيت التربة، فضلاً عن الجانب الرعوي بشرط تناسب اعداد الحيوانات مع الغطاء النباتي المتغير وحسب المواسم، والجانب الصناعي الذي يتمثل بتوفر المواد الاولية اللازمة لقيام العديد من الصناعات ولا سيما الانشائية.

7-1-1-2-4- اتجاه الانحدار لبادية المثنى:

تبرز أهمية دراسة اتجاه الانحدار من خلال تأثيره في تباين درجات الحرارة والامطار والتبخر والتعرية، إذ ان الانحدارات التي تواجه أشعة الشمس والامطار تتأثر أكثر من بقية المناطق، إذ تتعرض المنحدرات التي تواجه اشعة الشمس إلى الجفاف ومن ثم تكون أكثر عرضة للتجوية الميكانيكية، ويزداد تأثير التعرية المائية للسفوح المواجهة للتساقط المطر بعكس الجهة التي تقع في ظل المطر، وقد تم معالجة نموذج الارتفاع الرقمي (DEM) ضمن بيئة برنامج Arc GIS في القائمة المنسدلة من Spatial Analysis Tools، ومن أداة Aspect ضمن أدوات .Surface

عند تحليل جدول (4-7) وخريطة (5-7) نجد ان أكبر مساحة سجلت كانت للاتجاه المسطح بدرجة(1-) ومساحة(7692.09) كم² وبنسبة(16.85)% في حين كان الاتجاه الشمالي والشمالي الشرقي والشمالي الغربي والشمالي، بدرجة-0- 67.5-22.5 -360-337.5) 22.5) بمساحة(3362.6- 5352.14- 4969.85- 1727.77) كم²، وبنسبة(7.36- 11.72-10.88-3.78)% على التوالي .

وكان الاتجاه الشرقي والغربي بدرجة(67.5-112.5- 247.5-292.5) وبمساحة(4375.8-5079.19) كم² وبنسبة(9.58-11.13)% على التوالي، في حين كان الاتجاه الجنوبي الشرقي والجنوبي الغربي بدرجة(157.5-112.5- 202.5-247.5) بمساحة(4145.7- 4150.63- 4801.93) كم² وبنسبة (9.07-9.11-10.52)% على التوالي.

يتبين من خلال ما سبق أن الانحدارات الجنوبية الشرقية والجنوبية والغربية هي أكثر تعرضاً لعمليات التجوية الميكانيكية في الموسم الجاف والتعرية المائية عند التساقط والسيول أكثر

الفصل السابع... أشكال سطح الأرض وخصائصه في بادية المثنى ودورها في التنمية المستدامة

من الاراضي المستوية لاسيما في المناطق الاشد انحداراً ، بسبب جفافها بسرعة اكبر لمواجهتها لأشعة الشمس ومن ثم تتخفف فيها المادة العضوية وتكون عرضة للتفكك اكثر من المناطق المواجهة للشمال، ويكون سرعة الجريان منخفض ولكنها اكثر عرضة للتعرية بسبب هشاشة تربتها، وتعد هذه المنحدرات مثالية لأغراض توليد الطاقة الكهربائية عن طريق الخلايا الشمسية، في حين تكون الانحدارات الشمالية والشمالية الشرقية والشمالية الغربية اقل عرضة للتبخر والجفاف بسبب استلام كمية اقل من الاشعاع الشمسي ومن ثم تكون تربتها اقل عرضة للتفكك وعمليات التعرية والتجوية الميكانيكية، ومن ثم يمكن التوسع في النشاط الزراعي والرعي في هذه المناطق.

جدول (4-7) اتجاهات الانحدار بحسب الدائرة الاتجاهية في بادية المثنى

زاوية الانحدار واتجاهه	المساحة كم ²	النسبة المئوية%
Flat (-1)	7692.09	16.85
North (0-22.5)	3362.6	7.36
Northeast (22.5-67.5)	5352.14	11.72
East (67.5-112.5)	5079.19	11.13
Southeast (112.5-157.5)	4801.93	10.52
South (157.5-202.5)	4150.63	9.11
Southwest (202.5-247.5)	4145.7	9.07
West (247.5-292.5)	4375.8	9.58
Northwest (292.5-337.5)	4969.85	10.88
North (337.5-360)	1727.77	3.78
المجموع	45657.7	100

المصدر: بالاعتماد على خريطة (5-7)



1-SRTM 1 Arc-Second Global,2014.

2-برنامج Arc GIS 10.2.2.

7-2- الأشكال الجيومورفولوجية السائدة في بادية المثني.

يعد تصنيف الأشكال الأرضية وفق نظام (I.T.C) العالمي الصادر من مركز بحوث الفضاء في هولندا من افضل الانظمة التي اعتمدت في اقسام الجغرافية والجيولوجيا، ويستند هذا التصنيف إلى طبيعة العوامل والعمليات الجيومورفولوجية المسؤولة عن تشكيل الظواهر، وعلى هذا الاساس قسمت الأشكال الأرضية في منطقة الدراسة إلى الاشكال الآتية، يلاحظ خريطة (6-7):

7-2-1- الأشكال الأرضية ذات الاصل البنيوي - الحتي .

7-2-2- الأشكال الأرضية ذات الاصل التعروي .

7-2-3- الأشكال الأرضية ذات الاصل الارسابي .

7-2-4- الأشكال الأرضية الناتجة عن حركة المواد.

7-2-1- الأشكال الأرضية ذات الاصل البنيوي - الحتي : هي الاشكال التي تكونت نتيجة لعمليات الضغط والشد على الطبقات الصخرية ومنها :

7-2-1-1- الهضاب (Plateaus): مساحة مرتفعة من الارض ذات أسطح شبه مستوية وجوانب شديدة الانحدار⁽¹⁾، وتتميز هضاب بادية المثني بصغر مساحتها وتقطيعها بواسطة مجاري الوديان، ويمكن تفسير نشأة هذه الهضاب إلى عملية رفع وحت، ساهمت الاولى في تكوين مناطق منبسطة واسعة، اعقبها عمليات تقطيع مما ادى إلى احاطت هذه المناطق المنبسطة بحافات انحدارية خارجية، ويرى الباحث ان تكوين هذه الهضاب خلال فترات سابقة لاسيما في عصر البلايوسين تحت تأثير ظروف خاصة من التصريف المائي، يلاحظ صورة (7-3)، ويبلغ طول هذه الهضاب حوالي (1000) م وعرضها حوالي (500) م وبارتفاع يتراوح ما بين (10-20) م عن مستوى السطح، وتنتشر الهضاب في أجزاء مختلفة من بادية المثني، ومن خلال الدراسة الميدانية ونماذج الارتفاع الرقمي يمكن ملاحظة تقطع الهضاب وشدة الانحدار ضمن تكوين الدمام وأرمضة في حين تقل شدة هذه الانحدارات كلما اتجهنا شمالاً.

(1) Strahlar, Physical Geography, john Wiley & sons. United states of America. 1975.p478.

صورة (7-3) جانب من هضاب منطقة (كويني)



المصدر: بالاعتماد على الدراسة الميدانية بتاريخ 2022/1/21 44° 43' 46.58" E 29° 16' 57.24" N

2-1-1-2-7- الموائد الصخرية (الميزا) Mesa:

تُشكل بفعل تقطيع الهضاب إلى مساحات صغيرة متباعدة بسبب نشاط عمليات التجوية (الفيزيائية، الكيميائية) وعمليات الحت (المائي، الريحي)، ويختلف شكل قمم هذه الموائد إلى الشكل المستطيل وقد تكون ذات قمم مستديرة، ويرجع هذا الاختلاف في الشكل إلى تنوع المكونات الصخرية ومن ثم اختلاف معامل تمدد كل منها ومدى صلابتها، فضلاً عن طبيعة امتداد مناطق الضعف (الشقوق والصدوع)، يلاحظ صورة (7-4)، تتوزع هذه الظاهرة في العديد من أجزاء منطقة الدراسة، وتحديداً في الأجزاء الجنوبية الغربية.

صورة (7-4) أحد الموائد الصخرية منطقة (مديسيس)



المصدر: بالاعتماد على الدراسة الميدانية بتاريخ 2022/1/21 44° 29' 50.56" E 29° 54' 45.06" N

7-2-1-1-3-Cliffs Scarpment: الجروف الصخرية

هي امتداد ارضي للسطح يكون بشكل رأسي او شبه رأسي وتزيد درجة انحداره عن (40)⁽¹⁾، وتتميز صخورها بالصلابة ويتراوح انحدارها ما بين (20-60)، في حين يتراوح ارتفاعاتها ما بين (2-17) م، وتتشترك في تكوينها عمليات التجوية الكيميائية والفيزيائية، وتظهر بوضوح في منطقة الدراسة على حافات الاودية الرئيسة، يلاحظ صورة (5-7) .

7-2-1-1-4-Buttet: البيوتات

تظهر البيوتات بسبب تراجع حافات الموائد الصخرية وقد يستمر نشاط عمليات التعرية لتصل الحافات مرحلة يكون ارتفاعها اعظم من امتداد سطحها لتشهد ما يسمى (البيوت)⁽²⁾، وتفقد الصخور في النهاية توازنها وتقع بسبب التأثير الانتقائي لعمليات التجوية والتعرية المختلفة بسبب عدم التجانس في صلابة المكونات الصخرية، ويمكن تفسير سبب بطء التطور الجيومورفولوجي للميزا (Mesa) إلى بيوت (Butte)، إلى طبيعة الصخور الجيرية المكونة لها التي تكون اقل تأثراً بعوامل التعرية باستثناء الطبقة العليا لها، فضلاً عن أن جدران الميسا محمية بالمواد المتساقطة اسفل المنحدر، وتتباين ارتفاعات هذه الاشكال وتوزع في العديد من اجزاء منطقة الدراسة لاسيما في الاقسام الوسطى والجنوبية من بادية المثنى.

صورة (5-7) جانب من الجروف الصخرية منطقة(كراع)



المصدر بالاعتماد على الدراسة الميدانية بتاريخ 2022/10/11 45° 18' 41.19" E 29° 34' 34.84" N

(1) حسن سيد احمد ابو العنين، اصول الجيومورفولوجيا، دراسة الاشكال التضاريسية لسطح الارض، مؤسسة الثقافة الجامعية ، الاسكندرية ، ط(11)، 1995، ص326.

(2) Charles C. Plummer, David McGeary & Diane H. Carlson Physical Geology, McGraw Hill Higher Education New York, 2001, p321 .

7-2-1-1-5 Hills: التلال

تشكل هذه التلال اطراف الأراضي التي تشرف على أحواض الأودية الرئيسية، وهي نتيجة لتطور (البيوت) بعد ازالة الطبقة الصخرية العليا بفعل عمليات التعرية، وتتميز عن أشكال (الميزا والبيوتا) بكونها ذات قمم محدبة⁽¹⁾، وتعلو هذه الكتل رواسب فتاتية قليلة الارتفاع تتحدر بشكل تدريجي، وقد يكون سبب تكونها هو الشواهد الصخرية التي تعرضت إلى تعرية تفاضلية شديدة وتقطع وتجزئة متعاقبة ومقاومة الكتل صخرية صلبة، وهي تلال صخرية قليلة الارتفاع يتراوح ارتفاعها من (5-6) م، وتتوزع التلال بشكل منفرد في العديد من اجزاء منطقة الدراسة ولاسيما قرب بصرية والسلمان والأمغر وتخايد، يلاحظ صورة (7-6).

7-2-1-1-6 Questa: الكوستا

يتألف الشكل العام للكوستا (Questa) من انحدار شديد في اتجاه عكسي لميل الطبقات ويسمى هذا الانحدار بالحافة، ويميل سطحها ببطء شديد مع اتجاه ميل الطبقات ويسمى بظهر الكوستا⁽²⁾، وتتكون هذه الظاهرة في منطقة الدراسة في المناطق الصخرية المائلة وغير المتجانسة التي يتعاقب فيها المارل والصخور الفتاتية والحجر الجيري في التكوينات الجيولوجية لمنطقة الدراسة يلاحظ صورة (7-7).

صورة (7-6) توضح ظاهرة التلال منطقة (الحفاير)



30° 17' 48.53" N

44° 58' 22.07" E

المصدر: بالاعتماد على الدراسة الميدانية بتاريخ 2022/12/2

(1) A.S. Goudie , Encyclopedia of Geomorphology , Routledge Ltd , USA , 2004 , P 516 .

(2) حسن سيد احمد ابو العنين ، اصول الجيومورفولوجيا ، مصدر سابق ، ص183.

صورة (7-7) توضح الكوستا منطقة (النفقات)



30° 44' 17.15" N

44° 48' 29.45" E

المصدر: بالاعتماد على الدراسة بتاريخ 2022/1/21

7-2-2- الأشكال الأرضية ذات الاصل التعروي :

وتقسم إلى قسمين هما:

7-2-2-1- الأشكال الارضية الناتجة عن التعرية المائية .

7-2-2-2- الأشكال الارضية الناتجة عن التعرية الريحية .

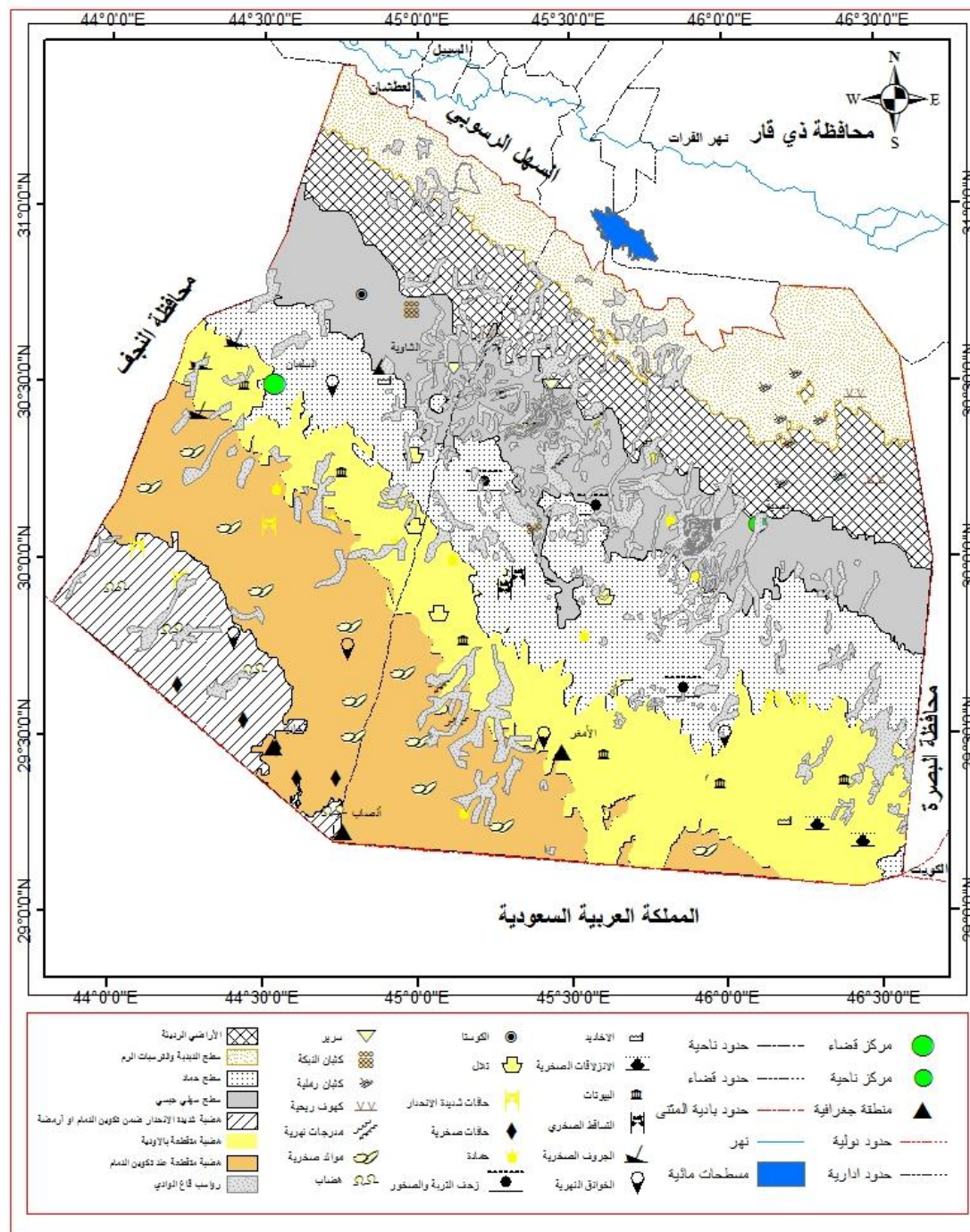
7-2-2-1- الأشكال الارضية الناتجة عن التعرية المائية .

تتنوع الاشكال الارضية تبعاً لطبيعة المناخ السائد والمياه الجارية والطاقة التعروية، التي تتمثل بـ (كمية التصريف، درجة الانحدار، سرعة الجريان، الحركات التكتونية، نوع الصخور، الغطاء النباتي، نفاذية التربة، فضلاً عن كمية ونوعية المياه المتساقطة)، وتتفق معظم الدراسات الحديثة على أن الحد الأدنى من الامطار اللازم لبدء الجريان في التوالد والوجود هو (1سم/ دقيقة، وبمجموع حوالي (10)سم وخلال العاصفة الواحدة⁽¹⁾.

(¹) احمد سالم صالح ، السيول في الصحراء العربية نظرياً وعملياً ،دار الكتاب الحديث ، جامعة الزقازيق، مصر، 1991، ص21.

الفصل السابع... أشكال سطح الأرض وخصائصه في بادية المثنى ودورها في التنمية المستدامة

خريطة (6-7) الخريطة الجيومورفولوجية (بادية المثني)



المصادر: بالاعتماد على:

- 1-SRTM 1 Arc-Second Global,2014.
- 2- الدراسة الميدانية في (2022/1-21-2022/2/25-2022/3/1-2022/10/11-2022/12/2).
- 3-بشار فؤاد عباس معروف، الأشكال الأرضية لحوض وادي أبو حضير في بادية السلمان جنوب غرب العراق، مصدر سابق، 2015،ص219.
- 4- جاسب كاظم عبد الحسين ، الأشكال الأرضية لأحواض الوديان الجافة في منطقة بصية- باستخدام نظم المعلومات الجغرافية، مصدر سابق،ص265.
- 5-حسن قاسم اوحيد الزيدي، أشكال سطح الأرض في حوض وادي الأشعلي باستخدام نظم المعلومات الجغرافية، مصدر سابق،ص160.

ومن اهم الأشكال الجيومورفولوجية التي تنتج بفعل التعرية المائية في بادية المثنى هي:

7-2-2-1-1-الوديان الجافة :

يعد اختلاف الطبقات الصخرية سبب مباشر في تكوينها، إذ إن جريانها ضمن التكوينات الجيرية الغير مقاومة لعمليات التعرية دور مباشر في تطورها وزيادة اعماقها ومراتبها⁽¹⁾، وتعد هذه الوديان من اهم المظاهر الجيومورفولوجية في منطقة الدراسة، وتكونت هذه الوديان الجافة خلال العصور المطيرة، وما زالت السيول تشق طريقها خلال سطح الارض لتشكل وديان رئيسة وفرعية في مناطق الضعف والفواصل الصخرية وتعمل السيول على تسوية وتعرية سطح هذه الشقوق وتكوين شبكة اودية ومسيلات مائية، يلاحظ صورة(7-8)، وقد تم تناول هذه الظاهرة ضمن الفصل السادس.

صورة(7-8)التعرية المائية(مسيل مائي) منطقة(رجلة الضبعة)



30° 8' 58.93" N

46° 1' 49.26" E

المصدر: بالاعتماد على الدراسة بتاريخ 2022/3/15

7-2-2-1-2-الخوانق النهرية River gorges:

هي فتحة(هوة) عميقة وضيقة بين جوانب شديدة الانحدار، ذات جرفين متقابلين ويساهم السيل في توسع هذه الخوانق افقياً وعمودياً⁽²⁾، ولاختلاف المكونات الصخرية دور في شدة التعرية

(¹) عبد الرحمن حسن عودة ، التقرير الجيولوجي لمنطقة هيت، ج2، وزارة الصناعة والمعادن ، هيئة المسح الجيولوجي، 1989، ص18.

(²) غازي عبد الفتاح سفاريني ، عبد القادر عابد ، اساسيات علم الأرض ، عمان دار الفكر، الطبعة الاولى، 2012، ص147.

المائية، إذ تكون جوانب الوديان العميقة والأخاديد من صخور مقاومة، ومن ثم لا تبتعد كثيراً عن بعضها، وللواصل والشقوق والانكسارات دور في تسهيل تعميق الوادي، وتكثر هذه الظاهرة الجيومورفولوجية في المناطق الجافة وشبه الجافة (منطقة الدراسة)، وتكونت الخوانق النهرية في بادية المثني بسبب تساقط المطر الفجائي فضلاً عن السيول القادمة من خارج حدود البادية، مما أدى إلى نشاط عمليات الحت المائي والتجوية الميكانيكية والكيميائية اللذان يعملان على اضعاف واذابة اللوالم الصخرية واضعاف تماسك هذه الصخور وتفتتها لتقوم المياه الجارية بنقلها وتستخدم المفتتات الخشنة كمعاول لزيادة عمق وطول الوادي، ويكثر وجودها في بادية المثني في الوديان الفتية التي تخترق بعض الصخور، وتوجد هذه الخوانق عند المكاشف الصخرية الصلبة في العديد من اجزاء منطقة الدراسة.

7-2-2-3-1-الأخاديد: Tributaries

تتكون بفعل تطور الجداول الصغيرة بسبب شدة التعرية المائية وزيادة عمق واتساع الخوانق فتتحول إلى أخاديد⁽¹⁾، ويمكن ملاحظة هذه الظاهرة في البادية إذ تبدو ضيقة وواضحة ومتميزة عبر مناطق الضعف الصخري، وهي أكثر تطوراً من المسيلات إذ حفر لها مجاري عميقة ومتوازية وتمتلئ هذه الأخاديد بالماء خلال فترة التساقط الغزير، وتنتشر هذه الظاهرة عند سفوح الهضاب والموائد الصخرية والبيوت والتلال ومنابع الأحواض، وفي الأحواض المائية عند أطرافها الخارجية، ويمكن تحليل ذلك بالزيادة بالسرعة والتركيز في الجريان النهرية بسبب شدة العاصفة وزيادة معدلات الانحدار المحلي، ومن ثم زيادة معدلات التعرية في مناطق الضعف الجيولوجي، وزيادة الصرف المائي وزيادة الناتج الرسوبي وتعرية المنحدرات لاسيما عند أقدام المنحدرات، يلاحظ صورة (7-9).

(¹) سعد عجبل الدراجي ، اساسيات علم اشكال الارض(الجيومورفولوجيا)،جامعة عمر المختار، كلية الآداب والعلوم قسم العلوم الاجتماعية، الطبعة الاولى، 2010، ص120.

صورة (7-9) الاخاديد منطقة (الشاوية)



30° 30' 4.181" N

44° 53' 37.311" E

المصدر: بالاعتماد على الدراسة بتاريخ 2022/1/21

7-2-2-1-4- المדרجات النهرية River Terraces :

هي بقايا السهول الفيضية القديمة في بادية المثنى التي قطعها الواديان في مناطق التجديد وزيادة عمليات النحت الرأسي للمجرى للوصول إلى مستوى القاعدة، وقد تأثرت منطقة الدراسة بالذبذبات المناخية في عصر البلايوسين، التي أدت إلى تنشيط عمليات الحت المائي الرأسي والجانبية، وتنتشر المדרجات النهرية على جانبي الواديان الرئيسة وبشكل أزواج متقابلة، وتمثل الحافات العليا للمدرجات النهرية المستويات القديمة للمنسوب المائي والمدرجات الواطئة تمثل المستويات الأحدث، وتكون أشكال المדרجات النهرية في المنطقة على شكل مصاطب صخرية صلبة مكشوفة تكونت بفعل عمليات تعرية أزلت التربة التي تعلوها، والبعض الآخر على شكل فتات صخري متنوع من ترسبات حملتها الاودية في وقت الفيضان، وتظهر المصاطب الصخرية في محيط وجروف الواديان الرئيسة وفي المناطق الوسطى منها.

7-2-2-1-5- الأراضي المضروسة (الريثة) (Bad Lands)

تنشأ هذه الأراضي في المناطق الجافة وشبه الجافة بسبب شدة العاصفة المطرية التي سرعان ما تتحول إلى سيول جارفة تنحت التربة تفاضلياً وتحول السطح إلى شبكة من المييلات والخنادق يكون خطوط تقاسيمها على شكل جروف حادة يصعب عبورها بسهولة واستثمارها كما يصعب نمو النبات فيها، وتغطي الأراضي الريثة طبقة من الصخور مختلفة الأحجام وتنتشر

في الأجزاء الجنوبية وفي قنوات الوديان الرئيسة وبعض مناطق المراتب النهرية، يلاحظ صورة (7-10).

صورة (7-10) الأراضي الرديئة منطقة (الخديات)



29° 56' 15.64" N

45° 33' 18.93" E

المصدر: بالاعتماد على الدراسة بتاريخ 2022/1/21

7-2-2-6- الثنيات النهرية: Rivers Meandares

هي عبارة عن ثنيات أو تقوسات تحدث في مجرى الوادي، وتسود بكثرة في مجاري الوديان، وقد يرجع سبب تكون بعض هذه الثنيات إلى الانكسارات الصخرية التي نتجت عن حركات تكتونية.

7-2-2-7- الأشكال الأرضية الناتجة عن التعرية الريحية:

تعد شدة وسرعة الرياح واتجاهها وتباين التكوينات الجيولوجية فضلاً عن المحتوى الرطوبي سبب في تباين عمليات التذرية (التفريغ) والنحت (الصقل)، وهناك عدة أشكال أرضية في المنطقة تكونت بفعل عامل الرياح وكما يأتي:

7-2-2-7- الحمادة Hamada:

هضاب صحراوية صخرية أو مغطاة بالكتل الصخرية الكبيرة الحجم قليلة الانحدار بسبب الإزالة المستمرة للحبيبات الرملية والمفتتات الحصوية بواسطة الرياح⁽¹⁾، وتعد الحمادة من أفقر المناطق من حيث المحتوى العضوي، وتأخذ عدة أشكال منها قبابية عريضة مسطحة أو هضاب صخرية

(¹) حسن سيد احمد ابو العنين ، اصول الجيومورفولوجيا ، مصدر سابق ،، ص 635 .

الفصل السابع... أشكال سطح الأرض وخصائصه في بادية المثنى ودورها في التنمية المستدامة

مرتفعة مرصوفة بكتل صخرية، ويتباين تكوين هذه السطوح بحسب الطبقات الصخرية واستجابتها لعمليات التجوية الميكانيكية وشدة الرياح وقدرتها على نقل المفتتات الدقيقة الحجم، ويمكن ملاحظة أجزاء من أرض الحمادة في العديد من الجهات وتحديداً في الاقسام الوسطى والجنوبية من بادية المثنى، يلاحظ صورة (7-11).

7-2-2-2-2-الكهوف الريحية Wind Caves

هي ثقوب او فتحات في المناطق الهشة من السفح التي تتأثر باتجاه الرياح السائد وتتسع تدريجياً لتصل إلى الجانب الآخر، وتكثر هذه الظاهرة في الصخور الرملية بسبب استمرار الصقل وندرة رواسب قاعدتها بفعل التفريغ، وترتبط هذه الظاهرة في منطقة الدراسة بالأساس بالأحجار الرملية والجيرية والمناطق التي تفتقر للغطاء النباتي، إذ أن تعاقب الطبقات الصخرية الصلبة الجيرية والطبقات الرملية في بعض مناطق بادية المثنى وطبيعة المناخ الجاف ونشاط عمليات التعرية الريحية، أدى إلى ظهور الكهوف الريحية في الجروف الصخرية وحافات الوديان الرئيسة التي تواجه الرياح (الشمالية الغربية) السائدة.

صورة (7-11) جانب من ارض الحمادة منطقة (غدير الصفاوي)



30° 9' 4.47" N

45° 48' 38.10" E

المصدر: بالاعتماد على الدراسة بتاريخ 2022/1/21

وتتراوح ابعاد هذه الكهوف طولا من (5-25) م ويضع ستنمترات عرضاً، وتنتشر في الأجزاء الوسطى والشمالية الشرقية من منطقة الدراسة.

7-2-2-3-2-3-2-7 (Desert Pavements) الارصفة الصحراوية او السرير

يعد السرير من نواتج عملية التذرية لمكونات السطح، وتعمل الرياح على حمل الرواسب الأقل حجماً التي يسهل حملها تاركة وراءها المفتتات الصخرية الحصوية التي يصعب حملها على شكل اسطح صخرية مفتتة⁽¹⁾، وتتوزع الارصفة الصحراوية في بادية المثنى ما بين وديان الأحواض والسهول الصحراوية، فالسفوح السريرية في بطون الوديان الرئيسية تتكون من رواسب كبيرة الحجم التي نقلتها المياه بالتدحرج او الانزلاق، وعند جفافها تتعرض الرواسب الصغيرة الحجم للتذرية والتفريغ، تاركةً وراءها القطع الصخرية والحصى المرصوفة تفرش المنطقة، وتنتشر في الأجزاء الوسطى الشمالية من بادية المثنى يلاحظ صورة (7-12).

صورة (7-12) توضح جانب من الارصفة الصحراوية منطقة (أم العف)



30° 31' 23.18" N

45° 26' 4.05" E

المصدر: بالاعتماد على الدراسة بتاريخ 2022/1/21

7-2-3-3-2-3-2-7 الأشكال الأرضية ذات الاصل الارسابي .

هي الاشكال الناتجة عن العمليات الارسابية (البنائية) التي تؤدي إلى تطوير أشكال تتميز بخصائص طبيعية متباينة، وتنقسم هذه الاشكال بحسب نوع الطاقة المساهمة إلى أشكال ارسابية مائية وريحية وكما يأتي:

(1) سيد احمد ابو العينين، اصول الجيومورفولوجيا، مصدر سابق، ص 631.

7-2-3-1- الأشكال الأرسابية المائية:

هي الاشكال الناتجة عن ترسبات مائية لمواد محمولة او قافزة او ذائبة جيدة الفرز، إذ تترسب الاحجار الكبيرة أولاً ثم المتوسطة ثم الناعمة (الرمل والطين والغرين)، وتترسب هذه المواد عندما تضعف القوة الحاملة لها عن نقلها لمسافات ابعد لتباًطاً الجريان النهري لأسباب مختلفة منها وجود التواءات أرضية وتعرج نهري، وجود عقبات تعود إلى وجود حواجز سببتها الانزلاقات الأرضية، وتناقص في كمية المياه بسبب التغيرات المناخية وعدم وجود مصدر مائي دائم في منطقة الدراسة، وتحويل المجاري المائية نتيجة الأسر النهري، ومن اهم الأشكال الأرضية الارسابية في بادية المثنى هي:

7-2-3-1-1- رواسب قاع الوادي Valley Fill Deposits

هي ترسبات متبقية في قيعان الوديان بعد نفاذ المياه، وتتكون بشكل أساس من (الغرين، الرمل، الحصى)، وقد لوحظ من خلال الدراسة الميدانية لطبيعة التدرج الحجمي لهذه الرواسب في المنطقة، أن حجم هذه الرواسب يصغر باتجاه المصب وازدياد المراتب النهرية، وتزداد هذه الرواسب خشونة كلما توجهنا نحو المنابع، والسبب في ذلك هو ضعف قدرة المياه الجارية على حمل الرواسب الخشنة فتعمل على ترسيبها، وتندرج هذه المكونات في الغالب من الحصى نصف المصقول ونسبة من الرمل والقليل من المواد الصلصالية إلى أن تصل إلى بيئة المصب، وتنتشر في الأجزاء الوسطى والشمالية من الاودية الرئيسية في المنطقة يلاحظ صورة(7-13) .

صورة (7-13) ترسبات قاع الوادي في الجزء الاسفل (وادي الكصير)



30° 38' 26.36" N

45° 48' 52.69" E

المصدر: بالاعتماد على الدراسة بتاريخ 2022/1/21

7-2-1-3-2-7 سهول الأودية (Alluvial Plains)

تحتل هذه السهول المناطق المنخفضة من الاحواض وتغطيها رواسب طموية خلال فترات السيول والفيضانات وتتكون من (الغرين، الطين، الرمل، الحصى الصغيرة)، ويتباين اتساع هذه السهول بسبب عدم تساوي قدرة مقاومة صخور وجروف الوادي ونسبة التقطيع فضلاً عن حجم القناة، وعموماً يتراوح اتساعها في اجزاء الوديان الرئيسة ما بين (1-1.5) كم²، ومن خلال الدراسة الميدانية تم ملاحظة أن هذه السهول تتواجد بالقرب من منطقة المصب في الوديان الرئيسة لعدم قدرة الجريان النهري على حمل هذه الرواسب بسبب قلة الفاصل الرأسى ودرجة انحدار المجرى واستهلاك الطاقة النهرية نتيجة الاحتكاك وشكل القناة النهرية، وبسبب طول التلامس بين الماء الجاري والقاع، وقلة التصريف المائي بسبب ضعف الواردات المائية، ويتحول النهر من النقل إلى الترسيب، وتنتشر في اجزاء مختلفة من الاحواض الرئيسة من منطقة الدراسة صورة (7-14).

صورة (7-14) جانب من سهول الاودية منطقة (أم الحباري)



30° 43' 52.50" N

45° 37' 18.98" E

المصدر : بالاعتماد على الدراسة بتاريخ 2022/1/21

7-2-1-3-2-7 : الفيضات

وهي أراضٍ منخفضة نسبياً عما يجاورها تتكون طبقتها السطحية من ترسبات فيضية مزيجية من الرمل والغرين والصلصال وتتعدد أشكالها ومساحتها، ويقع البعض منها على الفوالق او بالقرب منها، او عند نهايات الوديان او عند النقاء المراتب النهرية، وتعد عمليات الاذابة التي تحصل في الصخور الكلسية والجبسية في التكوينات الجيولوجية في منطقة الدراسة دور في تكوين هذه

الفيضات، فضلاً عن دور التعرية الريحية، وتظهر هذه الفيضات في العديد من اجزاء منطقة الدراسة ضمن تكوين الدمام وأم أرمضة والزهرة والدمام الاوسط ، وقد تم تناول هذا الموضوع في الفصل الخامس، يلاحظ خريطة (2-5).

7-2-3-2- الأشكال الأرسابية الريحية:

تعد الاشكال الارسابية الريحية احد مظاهر سطح الارض الرئيسة في البيئات الجافة وشبه الجافة، وتكونت بفعل تكرار مواسم الجفاف، وارتفاع درجة حرارة سطح الأرض، ونشاط عمليات التعرية الريحية من نقل وترسيب ومن ثم تكون العديد من المظاهر الجيومورفولوجية، وهناك تشابه من حيث الاسباب بين هذه الاشكال والاشكال الارسابية المائية، إذ إن سبب تكونها يرجع إلى ضعف سرعة الرياح ومن ثم الترسيب التدريجي وحسب خشونة المواد، لكنها تختلف من حيث طبيعة الفرز الغير جيد للمواد الارسابية، ومن اهم الأشكال الارسابية الريحية في المنطقة هي:

7-2-3-2-1- الكثبان الرملية: Sand dunes

تنشأ هذه الظاهرة بسبب سيادة التجوية الفيزيائية طوال فصل الجفاف وارتفاع درجات الحرارة، وهي ظاهرة طوبوغرافية ذات منشأ هوائي تكون على شكل هضاب صغيرة دائرية او طولية او غير منتظمة الشكل، وتنشط هذه الكثبان (تتحرك) عندما تكون خالية من العوارض الطبيعية او البشرية كالنباتات او المواد التي يضيفها الانسان لغرض تثبيتها، وتكون غير نشطة (ثابتة) في حالة وجود العوارض الطبيعية والبشرية.

ومورفولوجياً إن لهذه الظاهرة منحدر مواجه للرياح ويكون اقل انحداراً، واخر في الجهة المقابلة ويكون اكثر انحداراً يطلق عليها وجه الانزلاق، وتتكون هذه الكثبان عندما ينخفض المنحدر الضغطي او عند وجود عائق يؤدي إلى انخفاض سرعة الرياح بشكل مفاجئ او قد يكون تدريجياً، وتظهر الكثبان الرملية في الأجزاء الشمالية الشرقية من بادية المثني، وتتراوح ارتفاعات هذه الكثبان في منطقة الدراسة ما بين (1-3)م.

7-2-3-2- Nabka النبكة

النباك مصطلح عربي يطلق على التراكمات الرملية التي تظهر بشكل مثلث قاعدته مثبتة بالنبتة وتقع في مهب الرياح، في حين يتجه رأسه ليمتد مع اتجاه الرياح السائدة⁽¹⁾.

وترتبط هذه الظاهرة بوجود أي عائق يعمل على ترسيب الحمولة، وقد يكون هذا العائق طبيعياً (النباتات)، إذ تعمل هذه النباتات كعائق يقوم بعملية ترسيب حمولة الرياح وتجمعها على شكل كتبان صغيرة الحجم تحيط بالحاجز النباتي، يعمل على تثبيت هذه الرواسب والحد من حركتها، ويعتمد حجم النبكة على حجم النبتة أو العائق من جهة وكمية الرمال المتراكمة من جهة أخرى، فالنبات يعمل عمل المصيدة يتبعها ترسبات أخرى، وتزداد معدلات الترسيب بارتفاع سطح الرمال المتجمعة وحمولة الرياح وقد تصل إلى مرحلة تختفي النبتة بالكامل بالرواسب الرملية فيما لو كانت صغيرة الحجم، وتتباين النباك في أحجامها ودرجة تطورها من مكان إلى آخر، بسبب المتغيرات المحلية المرتبطة بنظام هبوب الرياح وكمية الرمال المتوفرة فضلاً عن مورفولوجية النباتات الموجودة، وتنتشر هذه الظاهرة حول بعض النباتات المحلية مثل العرفج والرمث في الأجزاء الوسطى من الحوض، وهي من النوع المتوسط حجماً، إذ يتراوح ارتفاعها بين (0.5-2.5)، يلاحظ صورة (7-15).

صورة (7-15) احد كتبان النباك منطقة (سديد)



30° 26' 32.30" N

46° 0' 45.90" E

المصدر: بالاعتماد على الدراسة بتاريخ 2022/1/21

(¹) رأفت فهمي ميساك وآخرون ، البيئة الصحراوية بدولة الكويت ، مركز البحوث والدراسات الكويتية ، 2003، ص63.

7-2-4- الأشكال الأرضية الناتجة عن حركة المواد:

تعكس هذه الاشكال حركة الصخور والمفتتات الصخرية اسفل المنحدر بتأثير قوة الجاذبية الأرضية كعامل رئيس، فضلاً عن عمليات التجوية والتعرية وعناصر المناخ مثل المدى الحراري، التي تُسهل تكوين الشقوق والفواصل بسبب اختلاف معامل التمدد الحراري للمكونات الصخرية فضلاً عن الرطوبة التي تساهم في تكوين المواد المزلقة، وعند التساقط الصخري تساهم قوة الدفع الناتجة عن اصطدام الجزيئات الصخرية المتساقطة أثناء حركتها أسفل المنحدر في تحريك بقية الصخور غير المتموضعة، وتتمثل هذه الاشكال بزحف التربة والصخور والانزلاقات الصخرية والتساقط الصخري، وتختلف نواتج هذه الاشكال والمواد الصخرية والفتاتية في أشكالها وأحجامها، وتواجهها حسب طبيعة المنحدر وشكله ودرجة انحداره فضلاً عن المرحلة الجيومورفولوجية التي يمر بها.

ومن أهم الأشكال الأرضية الناتجة عن حركة المواد في منطقة الدراسة هي:

7-2-4-1- زحف التربة والصخور Creeping soil and rock

هي الحركة البطيئة وغير المحسوسة للتربة والمفتتات الصخرية على سطوح ومنحدرات التلال وجروف الوديان، إذ يؤدي تشبع المواد الطينية بالمياه عند التساقط الشديد إلى تحرك هذه التربة تحت اجهادات جانبية متأثرة بالانحدار .

اما حركة زحف الصخور (Rock creep) فهي حركة القطع الصخرية الجافة باتجاه المنحدر⁽¹⁾، بسبب تعاقب التمدد والانكماش وارتفاع المدى الحراري اليومي والفصلي، وقوى الجاذبية التي تعمل على تحرك هذه المواد الصخرية أسفل السفح، ويساعد تجمد قطرات مياه الامطار والسيول بين حبيبات التربة على تفكيكها وزحفه، وتظهر هذه الحركات باتجاه المنحدر في الأشكال المرتفعة كالتلال والموائد الصخرية وجروف الوديان، وتختلف الصخور والمفتتات الصخرية في اشكالها واحجامها، من الجلاميد الصخرية الخشنة والمتوسطة الحجم، وتنتشر في الأجزاء الوسطى والجنوبية.

(1) William D.thornbury, principles of geomorphology, second edition, john Wiley and sons,inc,newyork,1969,p46

7-2-4-2- الانزلاقات الصخرية (Rock Slides)

هي سقوط كتل صخرية كبيرة على طول السفح، ويعد المدى الحراري المرتفع وكثرة الفواصل والشقوق والانحدار الشديد ووعورة السطح وقلة الغطاء النباتي دور كبير في جعل هذه الصخور عرضة للانزلاق، وتكثر في الأجزاء الوسطى من الأحواض الرئيسية في بادية المثنى.

7-2-4-3- التساقط الصخري (Rock fall)

تساعد عمليات التجوية في المنكشافات الصخرية على تكسر الصخور مما يحفز مواد صخرية جديدة للانزلاق أو السقوط في حضيض المنحدر⁽¹⁾، وعندما تفقد كتل صخرية كبيرة الحجم نسبياً توازنها يؤدي ذلك إلى سقوطها وبسرعة هائلة من حافة رأسية أو سفح ينحدر بدرجة (90) ° بفعل الجاذبية، أو عند تركيز طبقة صخرية صلبة فوق أخرى أقل صلابة مما يؤدي إلى اختلاف في استجابة هذه الطبقات إلى العمليات الجيومورفولوجية ومن ثم حدوث خلل في توازن الصخور، فضلاً عن وجود الشقوق والفواصل وعامل الحت الرأسي للأنهار، وتظهر هذه الظاهرة في كافة المناطق المرتفعة ذات الانحدارات الشديدة نسبياً بسبب عامل الحت النهري ومناطق تعاقب التكوينات الصخرية الصلبة واللينية، ولا سيما في مناطق الجروف ذات الانحدارات المتوسطة والحادة.

7-3- دور أشكال سطح الأرض وخصائصه في التنمية المستدامة في بادية المثنى.

إن لأشكال السطح في بادية المثنى دوراً في توسيع الأنشطة الاقتصادية، وسوف يتم تناول دور هذه الأشكال في زيادة الفرص الاستثمارية وتنميتها تنمية مستدامة.

7-3-1- دور أشكال سطح الأرض وخصائصه في التنمية السياحية المستدامة في بادية المثنى:

إن لتنوع أشكال سطح الأرض في بادية المثنى دوراً في جذب السياح لا سيما الظواهر الجيومورفولوجية المتميزة التي ترتبط مكانياً بالظروف الطبيعية في بادية المثنى، إذ يمكن ملاحظة تنوع أشكال السطح ذات الأصل البنيوي - الحتي والتعروي والارسابي والبنيوي - الحتي.

(¹) Eduard A. Koster , The Physical Geography of western Europe , Oxford University press , 2005 , p365.-

الفصل السابع... أشكال سطح الأرض وخصائصه في بادية المثني ودورها في التنمية المستدامة

وتتميز هضاب المنطقة بصغر مساحتها وتقطيعها بواسطة مجاري الوديان، فضلاً عن الموائد الصخرية (الميزا) التي تشكلت بفعل نشاط عمليات التجوية والحت (المائي ، الريحي) التي قطعت الهضاب إلى مساحات صغيرة متباعدة، ذات قمم مستطيلة ومستديرة، وتظهر في مواقع مختلفة منها البيوتات التي تكونت بفعل تراجع حافات الموائد الصخرية ووجود التلال والكويستا، وتعد الوديان الجافة من أهم المظاهر الجيومورفولوجية التعرؤية التي تكونت خلال العصور المطيرة والخوانق النهرية التي نتجت بفعل اختلاف المكونات الصخرية، والأخاديد التي تكونت بفعل تطور الجداول الصغيرة والمدرجات النهرية، والأراضي المزرسة (الردئية) التي نشأت هذه الأراضي في المناطق الجافة وشبه الجافة، فضلاً عن التثنيات النهرية التي تسود بكثرة في مجاري الوديان.

وهناك أشكال ناتجة عن التعرية الريحية مثل الحمادة والكهوف الريحية والسرير فضلاً عن الأشكال الأرضية الأرسابية المائية مثل الفيضات، والريحية التي تتمثل بالكثبان الرملية، والأشكال الأرضية الناتجة عن حركة المواد التي تعكس حركة الصخور والمفتتات الصخرية أسفل المنحدر بتأثير قوة الجاذبية الأرضية كعامل رئيس .

ويتمتع العديد من السياح إلى البادية في الوقت الحالي لغرض التمتع بالمناظر الطبيعية الساحرة بعد تساقط الأمطار وانتشار العشب، ولا سيما في الفيضات القريبة من السلطان ومن أهمها (الشفلحية، الساعة، هدانية)، فضلاً عن بقية الفيضات المنتشرة في بادية المثني، يلاحظ صورة(7-16) .

صورة(7-16) فيضة هدانية (بادية السلطان)



30° 25' 40.53" N

44° 40' 34.90" E

المصدر: بالاعتماد على الدراسة بتاريخ 2022/3/15

ومن خلال هذا الاستعراض يتبين توفر فرص للتنمية السياحية المستدامة، إذ تعد هذه الظواهر الجيومورفولوجية ذات جمالية يمكن استثمارها في مجال التنمية السياحية المستدامة، فضلاً عن أهميتها في السياحة العلمية لطلبة الدراسات الأولية والعليا، إذ وفرت هذه الأشكال الأرضية مظاهر الجذب السياحي، وأنماط متنوعة فيها ومن ثم اشباع ميول السائحين، ولعل أهم ما يميز منطقة الدراسة تعدد وتنوع هذه الظواهر بشكل يندر أن يتكرر في مناطق أخرى، فضلاً عن أنماط سياحية متنوعة منها السياحة العلمية والسياحة الترويحية، وتجدر الإشارة إلى ضرورة إشراك سكان منطقة الدراسة كمرشدين سياحيين كونهم ادرى الناس بمناطقهم بهدف احياء التراث البدوي، ويقترح الباحث استكمال وتأهيل الطرق المنجرة والمقترحة وتوفير الخدمات لسكان منطقة الدراسة فضلاً عن الخدمات السياحية والاستفادة من محطات الطاقة المتجددة المقترحة لتزويد المنشأة السياحية بالطاقة اللازمة.

7-3-2- دور أشكال سطح الأرض وخصائصه في التنمية العمرانية المستدامة:

يفسر الوضع الحالي للتوزيع العمراني في منطقة الدراسة الدور الذي تلعبه مظاهر سطح الأرض وخصائصه في تحديد الكثافة العمرانية، فمن خلال الدراسة الميدانية والمرئيات الفضائية تبين إن هناك تركيز عمراني في شمال منطقة الدراسة على طول فائق الفرات بسبب المساحات الزراعية المستثمرة فضلاً عن ناحية بصرية وقضاء السلمان، وتتسم بقية المناطق بالتوزيع العشوائي والمتغير تبعاً لحركة مواسم الرعي، ويتبين من ذلك ان التركيز العمراني يتجه نحو الاراضي ذات المناسيب الأقل وشبه المستوية نسبياً والبعيدة عن المناطق المرتفعة في الجنوب والجنوب الغربي من بادية المثنى بسبب سهولة الحركة والقرب من مركز المحافظة وانتشار المزارع المستثمرة وتوفر طرق النقل وتقل الكثافة العمرانية كلما اتجهنا جنوباً، وقد اتبع الباحث منهجية التحليل المكاني لتحديد درجات الملاءمة العمرانية في منطقة الدراسة وفقاً للأشكال الجيومورفولوجية السائدة وخصائص السطح وكما يأتي:

- صياغة معايير نموذج التحليل المكاني Spatial Analysis Model

يتضمن هذا النموذج أربع مراحل رئيسية :

- 1-تحديد مجموعة المعايير الخاصة لاختيار المنطقة الأمثل للتنمية العمرانية المستدامة، وتضمنت (الظلال، درجة الانحدار، مسارات السيول).
- 2-تقسيم منطقة الدراسة إلى نطاقات Buffers ذات امتدادات متساوية، وحسب الأوزان النسبية لكل نطاق.

الفصل السابع... أشكال سطح الأرض وخصائصه في بادية المثنى ودورها في التنمية المستدامة

3- تصنيف الخرائط الناتجة من خلال أمر Reclassify ، لإمكانية إعطاء الأوزان النسبية لكل نطاق منها.

4- تحديد الأوزان النسبية للمعايير المقترحة (الظلال، درجة الانحدار، مسارات السيول)، إذ تم اقتراح (30-35-35)% على التوالي.

بعد تطبيق النموذج السابق تم تقسيم المنطقة إلى عشر فئات تصاعدياً وحسب الوزن النسبي لكل منها بما يوضحه جدول (5-7) وخريطة (7-7)، ومن خلال تحليل هذه الخريطة تبين أن أكثر المناطق ملائمة للتنمية العمرانية المستدامة هي المنطقة الواقعة شرق بصية والمناطق الواقعة في السلمان وإلى الجنوب منها، بسبب بُعد هذه المناطق عن مسارات السيول وملاءمة درجة الانحدار الهينة فيها، فضلاً عن اعتدال التعرض لأشعة الشمس، وأن هناك مناطق أخرى حازت على درجة ملائمة مناسبة إلى الشرق وإلى الجنوب الغربي من بصية، أما المناطق التي سجلت أدنى درجات الملاءمة فشغلت المناطق التي تتعرض لمسارات السيول والمناطق ذات الانحدارات الشديدة، التي يمكن أن ينتج عنها مخاطر جيومورفولوجية، فضلاً عن قلة الظلال فيها وتضم الفئات من (10-20) .

جدول (5-7) مساحات ونسب درجات الملاءمة العمرانية المستدامة حسب المعايير المختارة

درجة الملاءمة	النسبة المئوية للملاءمة %	المساحة كم ²	النسبة المئوية %
1	10	6695.1	14.66
2	20	7283.1	15.95
3	30	6682.2	14.63
4	40	6393.1	14.01
5	50	5502.1	12.05
6	60	4914	10.76
7	70	3120.1	6.83
8	80	2379	5.22
9	90	1615	3.54
10	100	1074	2.35
		45657.7	100

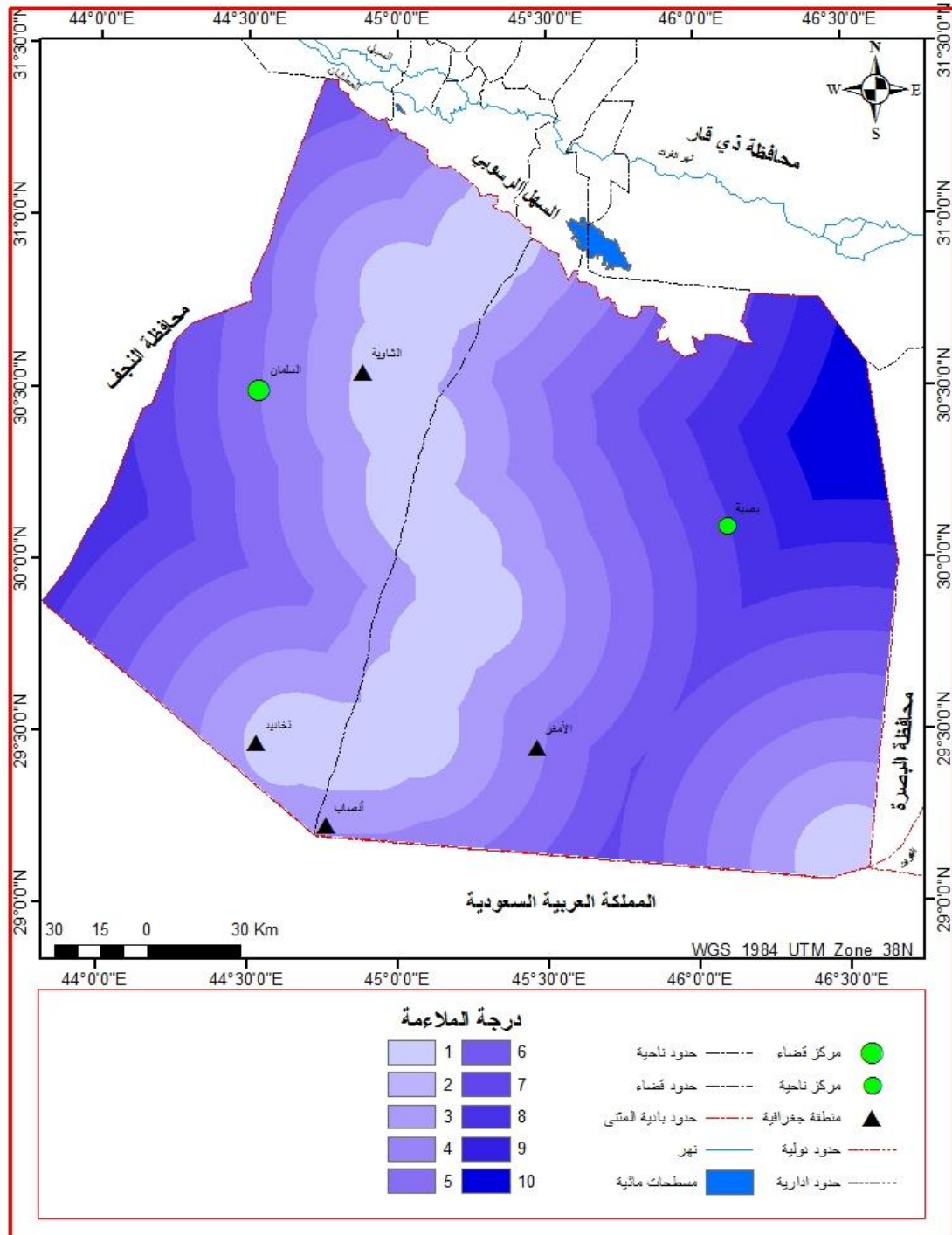
المصادر بالاعتماد على:

1-خريطة (7-7)

2-برنامج Arc GIS 10.2.2 في حساب المساحات.

من خلال حساب المساحات التي تشغلها كل فئة، تبين أن أكثر الفئات ملائمة للتنمية العمرانية المستدامة هي التي تشغل المساحات الأقل، إذ شغلت مساحة الملاءمة (100)% مساحة (1074) كم² ونسبة (2.35) %، بينما تشغل فئات الملاءمة الأقل المساحات الأوسع، إذ شغلت مساحة ملائمة التنمية العمرانية المستدامة (10)% مساحة (6695) كم² ونسبة (14.66) %.

خريطة (7-7) الملاحة المكانية العمرانية



المصادر: بالاعتماد على:

- 1-SRTM 1 Arc-Second Global,2014.

- 2- خريطة (6-19)، (7-1)، (7-4).

- ### 3-برنامج Arc GIS 10.2.2 في حساب المساحات.

وعند جمع المساحات الخاصة بدرجة الملاءمة للتنمية العمرانية المستدامة نجدها (13102.1) كم² ونسبة (28.7)%.

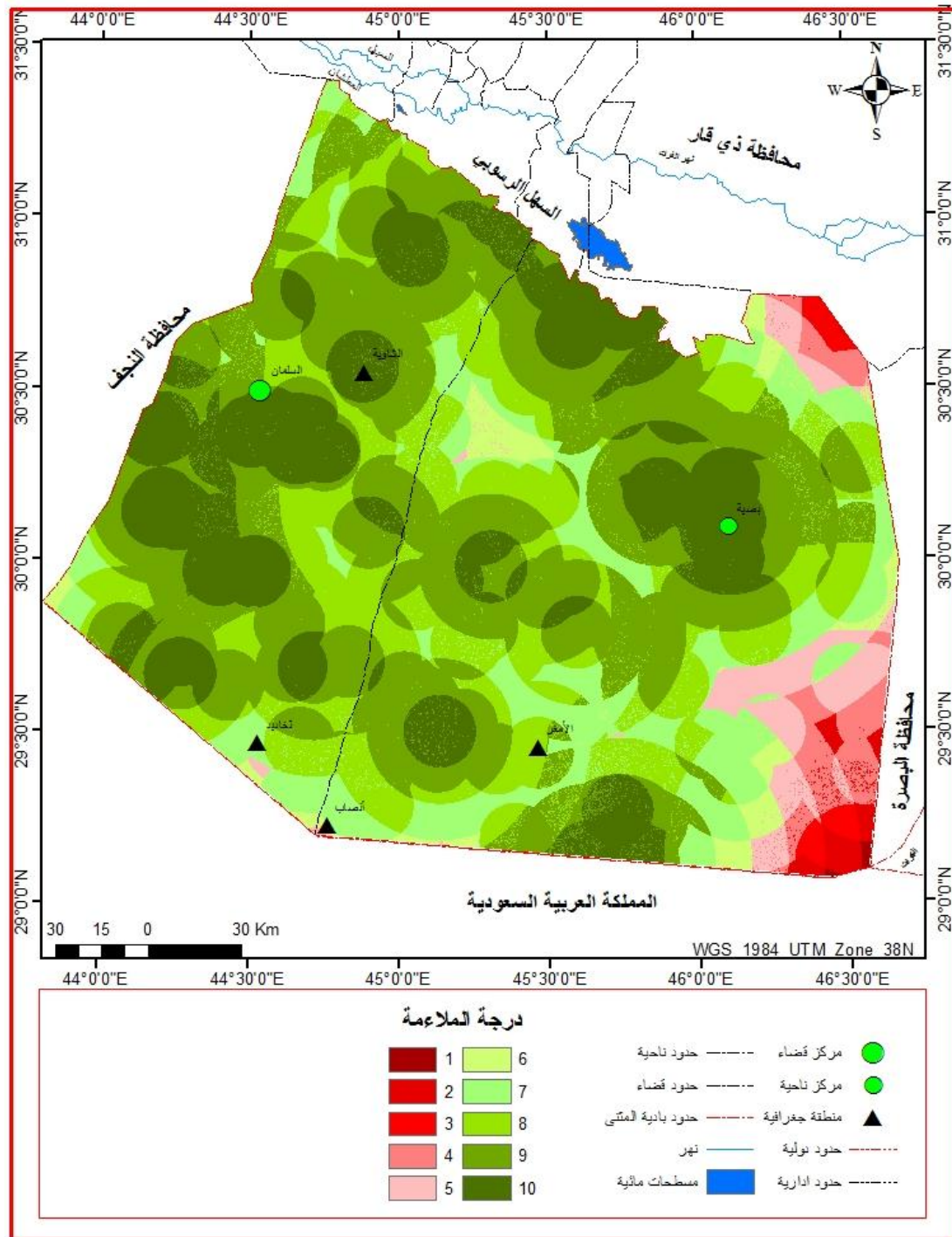
7-3-3 دور أشكال سطح الأرض وخصائصه في التنمية الزراعية المستدامة:

تعد التنمية الزراعية المستدامة من اهم الطرق التي يمكن من خلالها المحافظة على التربة من فقدان وتثبيتها والوقوف بوجه عمليات التعرية والتجوية المختلفة، وتعد المناطق السهلية والمنخفضة أكثر ملاءمة للتنمية الزراعية المستدامة في البادية، وتتميز بادية المثني بترب صالحة للزراعة في الفيضات وبطون الاودية الجافة التي تشكل مسارات مائية تحمل ترسبات سرعان ما تترسب، ومن خلال اختيار عدة معايير (درجة الانحدار، البعد عن مسارات السيول، القرب من الفيضات، القرب من مصادر المياه الجوفية)، وتحديد الأوزان النسبية للمعايير المقترحة (10-10-40-40)% على التوالي، ومن خلالها تم تحديد درجات الملاءمة للتوسع الزراعي يلاحظ خريطة (7-8) وجدول (6-7).

وتم تقسيم درجات الملاءمة إلى عشر درجات، وعند تحليل مخرجات التطبيق اتضح أن المناطق التي كانت نسبة صلاحيتها (100)% شغلت مساحة (9711.84) كم² ونسبة (21.28)% حسب المعايير المختارة، في حين كانت المناطق التي ثبت عدم صلاحيتها للتنمية الزراعية مساحة (33.32) كم² ونسبة (0.07)% بسبب عدم ملائمتها للمعايير المعتمدة، ومن خلال خريطة (7-8) يمكن ملاحظة قلة المناطق الغير صالحة للتنمية الزراعية وحسب المعايير المختارة، إذ احتلت هذه المناطق اقصى الشمال الشرقي والجنوب الشرقي، فضلاً عن المنطقة التي تتوسط المسافة بين بصية والسلمان، والسبب في ذلك يعود إلى بعد هذه المناطق عن الفيضات التي تتميز بترب مناسبة للأغراض الزراعية وبعدها عن الآبار المتاحة وطبيعة تضاريسها، فضلاً عن قربها من مسارات السيول، في حين يمكن ملاحظة ان اغلب اجزاء منطقة الدراسة هي مناطق ملائمة للإنتاج الزراعي وبنسب مختلفة، إذ بلغت المناطق الصالحة للتنمية الزراعية المستدامة من نسبة (50)% إلى نسبة (100)% مساحة (43784.98) كم² (95.9) %، والسبب في ذلك انخفاض درجة الانحدار والبعد عن مسارات السيول والقرب من الفيضات، فضلاً عن توفر المياه في الخزانات الارضية، ويقترح الباحث ضرورة الاستثمار الامثل للإمكانات المتاحة في بادية المثني من خلال التوسع بحفر الآبار مع مراعاة الترشيح بالمياه والتحول لزراعة المحاصيل الزراعية التي لا تستهلك كميات كبيرة من الماء مع اختيار

الفصل السابع... أشكال سطح الأرض وخصائصه في بادية المثنى ودورها في التنمية المستدامة

خريطة (7-8) الملازمة المكانية الزراعية



المصادر: بالاعتماد على:

1-SRTM 1 Arc-Second Global,2014.

2- خريطة (1-6)، (4-6).

3-برنامج Arc GIS 10.2.2 في حساب المساحات.

الوسائل الحديثة في الحراثة والري من اجل المحافظة على التربة من عمليات التعرية والتجوية المختلفة، وعدم الاقتصار على المناطق المستثمرة حاليا في الجانب الزراعي، التي تقع اغلبها

الفصل السابع... أشكال سطح الأرض وخصائصه في بادية المثني ودورها في التنمية المستدامة

في شمال منطقة الدراسة بسبب التوسع في حفر الآبار والقرب من المدن والاستفادة من شبكة الطرق الحالية والمقترحة.

جدول (6-7) مساحات ونسب درجات الملاءمة الزراعية المستدامة حسب المعايير المختارة

درجة الملاءمة	النسبة المئوية للملاءمة %	المساحة كم2	النسبة المئوية %
1	10	33.32	0.07
2	20	361.02	0.80
3	30	374.95	0.82
4	40	1103.43	2.41
5	50	1729.09	3.79
6	60	1187.69	2.6
7	70	5850.02	12.81
8	80	8480.9	18.57
9	90	16825.44	36.85
10	100	9711.84	21.28
		45657.7	100

المصدر بالاعتماد على: (7-8)، وبرنامج Arc GIS 10.2.2 في حساب المساحات..

ويتضح من ذلك أهمية نظم المعلومات الجغرافية والاستشعار عن بعد، والدور الذي يمكن أن تلعبه هذه التقنيات الحديثة في إثبات وتوضيح دور أشكال سطح الأرض وخصائصه في التنمية الزراعية المستدامة والخروج بنتائج دقيقة، يمكن من خلالها تثبيت التربة والمحافظة عليها فضلاً عن الاستفادة من هذه المشاريع في تشغيل الأيدي العاملة وتقليل الاعتماد على السوق الإقليمية والعالمية.

7-3-4 دور أشكال السطح وخصائصه في التنمية الصناعية المستدامة:

للمعاملات الجيومورفولوجية دور في الكشف وفرز المواد الأولية اللازمة لقيام الصناعات المختلفة، وترتبط أشكال السطح وخصائصه بالتنمية الصناعية المستدامة من خلال دورها في التوطن الصناعي واختيار المواقع الصناعية المناسبة، القريبة من المادة الأولية وإنشاء المصانع في مكان مستو بعيداً عن الاخطار الجيومورفولوجية سواء الحالية او المحتملة ولا سيما السيول ومخاطر المنحدرات، وقد تم تناول الامكانات المتاحة والمقترحة لاستثمار التربة الصناعية في الفصل الرابع، ويمكن الاستفادة من نموذج الملاءمة المكانية العمرانية، يلاحظ خريطة (7-7) في تحديد المناطق المناسبة لإقامة الصناعات المختلفة والبعيدة عن مخاطر السيول والمنحدرات، ومن خلال الدراسة الميدانية تبين وجود العديد من المصانع للأغراض الانشائية.

7-3-5 دور أشكال سطح الأرض وخصائصه في شبكات البنية الأساسية:

تعد هذه الشبكات بمثابة شرايين الحياة لقيام أي مشروع تنموي، ولأشكال سطح الأرض وخصائصه في بادية المثني دور مهم في تنظيم شبكات البنية الأساسية، إذ إن هناك العديد من العوامل التي تعمل على تخفيض تكاليف مد هذه الشبكات الحيوية (طرق النقل، توزيع الكهرباء، مياه الشرب، والصرف الصحي، الاتصالات)، وتمتاز منطقة الدراسة باستواء سطحها النسبي، وانحداراتها الهينة وتركز الكثبان الرملية في شمال شرق منطقة الدراسة، التي يمكن معالجة زحفها وتثبيت رمالها، وصلابة تكويناتها وقلة السبخات فيها.

الخلاصة:

من خلال تحليل خريطة الظل يتبين إن ما يقارب نصف مساحة بادية المثني تقع ضمن المناطق المتوسطة الظل التي تحتل وسط المنطقة، في حين تقاسمت المناطق الكثيرة الظل والقليلة النصف الآخر، وتراوح ارتفاع السطح من (15-435)م فوق مستوى سطح البحر، وأن أدنى ارتفاع لها في الأقسام الشمالية والشمالية الشرقية، ومن خلال تصنيف المنحدرات على أساس الشكل ودرجة الانحدار تبين أن هناك تباين في اصنافها بين منحدرات منتظمة ضمن الفئة الأولى والثانية والثالثة والرابعة (المنطقة السهلية)، وغير منتظمة ضمن الفئة السابعة والثامنة والتاسعة والعاشر (المنطقة المتهضبة)، ومنحدرات محدبة إلى الجنوب من بصية ضمن الفئة الخامسة والسادسة والسابعة (المنطقة المتهضبة)، ومنحدرات مقعرة تتمثل ضمن الفئة الرابعة والخامسة والسادسة والسابعة (المنطقة المتهضبة)، وتبين أن المنحدرات المحدبة تقع ضمن المقطع العام للانحدار في أقصى الجنوب من الجهة الغربية، في حين يمكن ملاحظة الانحدار المنتظم قليل التحذب ضمن المقطع العام الثالث، بسبب انتشار الترسبات التي تحملها السيول، وتبين أن منطقة الدراسة ذات انحدار تدريجي شمالي وشمالي شرقي باتجاه السهل الرسوبي، وأن المناطق الشديدة التضرس الغير منتظمة تتوزع في المناطق الجنوبية والجنوبية الغربية وحتى المناطق الوسطى من منطقة الدراسة، ومن خلال تمثيل المنحنى الهيسوغرافي تبين أن المنطقة تمر بمرحلة الشباب المتأخر والقريبة من النضج بسبب قرب المنحنى من الخط المستقيم وسيادة المظاهر الحتية.

ومن خلال دراسة المقاطع العرضية نستنتج أن منطقة الدراسة تزداد ارتفاعاً في الجهات الجنوبية والجنوبية الغربية، ويقل الارتفاع بشكل تدريجي كلما اتجهنا إلى الشمال والشمال الشرقي، ويتخللها العديد من المنخفضات والوديان المنحدرة نحو الشمال، وأن أعلى ارتفاع سجل

ضمن المقطع الثالث (395)م وادنى ارتفاع ضمن القطاع الاول (60.2)م، وتبين ان المنطقة الوسطى من بادية المثني تتميز بشدة التضرس، في حين كان المقطع الاول ضمن البيئة الترسيبية تتخللها الكثير من الاودية، وكان الانحدار منتظم في المقطع الثالث.

وحسب تصنيف Zink نجد ان اغلب الأراضي متسطة إلى متسطة تسطح خفيف، سهلية تخترقها وديان جافة ساهمت بتغيرات انحدارية محلية، وتبين أن الانحدارات الجنوبية الشرقية والجنوبية والجنوبية الغربية هي اكثر تعرضاً لعمليات التجوية الميكانيكية في الموسم الجاف والتعرية المائية عند التساقط والسيول اكثر من الاراضي المستوية لاسيما في المناطق الاشد انحداراً، بسبب جفافها بسرعة اكبر لمواجهتها لأشعة الشمس ومن ثم تنخفض فيها المادة العضوية وتكون عرضة للتفكك اكثر من المناطق المواجهة للشمال، وتكون سرعة الجريان منخفضة ولكنها اكثر عرضة للتعرية بسبب هشاشة تربتها، في حين تكون الانحدارات الشمالية والشمالية الشرقية والشمالية الغربية اقل عرضة للتبخر والجفاف بسبب استلام كمية اقل من الاشعاع الشمسي ومن ثم تكون تربتها اقل عرضة للتفكك وعمليات التعرية والتجوية الميكانيكية.

وتبين إن هناك تنوع في الأشكال الأرضية، منها ذات الأصل البنيوي - الحثي والتعريوي والارسابي والأشكال الأرضية الناتجة عن حركة المواد، وان هناك دور لأشكال سطح الأرض وخصائصه في التنمية المستدامة في بادية المثني (السياحية، العمرانية، الزراعية، الصناعية) وقد تم التوصل إلى نتائج رقمية من خلال الاستعانة بنظم المعلومات الجغرافية والاستشعار عن بعد عن طريق صياغة معايير نموذج التحليل المكاني (Spatial Analysis Model) وتحديد الأوزان النسبية للمعايير المقترحة ورسم خرائط الملاءمة المكانية العمرانية فضلاً عن الملاءمة المكانية الزراعية وتنميتها تنمية مستدامة من اجل الحفاظ على هذه الثروة من الانجراف واستخدام افضل المعالجات الحديثة وتحديد المساحات لكل جزء منها، وتبين من خلال الدراسة دور أشكال سطح الأرض وخصائصه في شبكات البنية الأساسية في تخفيض تكاليف مد هذه الشبكات الحيوية (طرق النقل، توزيع الكهرباء، مياه الشرب، والصرف الصحي، الاتصالات)، إذ تمتاز منطقة الدراسة باستواء سطحها النسبي، وانحداراتها الهينة وتركز الكثبان الرملية في شمال شرق منطقة الدراسة، التي يمكن معالجة زحفها وتثبيت رمالها، وصلابة تكويناتها وقلة السبخات فيها.

النتائج:

- 1-تضم منطقة الدراسة العديد من أصناف الثروة المعدنية، فضلاً عن الاحتياطيات الوفيرة ولاسيما المعادن اللافلزية، التي تعد مرتكزات للتنمية المستدامة والتوطن الصناعي في بادية المثنى، ومن أهم أنواعها (حجر الكلس والدولمايت والرمل والحصى والاطيان والجبس) فضلاً عن النفط.
- 2-تبين من خلال دراسة الخصائص المناخية ان بادية المثنى تتميز بكونها منطقة مناسبة للاستثمار في مجال الطاقة المتجددة، ولا سيما في فصل الصيف الذي يتزامن مع زيادة معدلات الاشعة الشمسية وسرعة الرياح.
- 3-توصلت الدراسة الى امكانية زراعية اشجار النخيل والزيتون في منطقة الدراسة لملاءمة الظروف المناخية لإنباتها.
- 4-تبين من خلال تحليل نتائج مؤشر NDSDI الخاص بالكثبان الرملية والترب القاحلة إلى تزايد مساحة هذه الترب من (17311.92) كم² عام 2013، وبنسبة (37.91)% إلى (23049.95) كم²، وبنسبة (50.49)% عام 2022.
- 5-تواجد العديد من المقالع للتراب والرمل واطيان الاسمنت واطيان الطابوق، ومقالع حجر الكلس، وتتميز المواد الانشائية في منطقة الدراسة بنقائها من الشوائب في الفتات الصخري او عروق معدنية غريبة.
- 6-ان اغلب طرق النقل المتوفرة في منطقة الدراسة هي طرق انشأت في فترات سابقة ولا تتناسب مع ضرورة النهوض بواقع بادية المثنى لكي يتناسب الوضع مع حجم الاستثمارات الحالية والمقترحة .
- 7-تبين من خلال الدراسة ملاءمة ترب منطقة الدراسة لزراعية العديد من الاصناف النباتية ومنها زراعة التين الشوكي.
- 8-تبين من خلال نتائج مؤشر (NDVI) و (NDWI) و (IPVI) و (SAVI) ان منطقة الدراسة تتميز بتوفر الغطاء النباتي والعديد من اصناف النباتات الطبيعية بعد فصل التساقط(الشتاء)، إذ يزداد نموها بشكل كثيف ومن ثم دعم مربى الاغنام والابل.

9-تبيين من خلال الدراسة اهمية الاستخدامات الطبية للنباتات الطبيعية مثل الخباز الحرمل والحميض والشيح وغيرها، إذ كانت هذه النباتات من اهم المرتكزات العلاجية التي لا غنى عنها في الماضي، واستمرت الحاجة لها إلى الوقت الحالي.

10-تشكل النباتات الطبيعية مصدراً مهماً من مصادر العلف الحيواني لرعاة محافظة المثنى، إذ ان النبات الطبيعي يغطي مساحة (29181.58) كم² بنسبة (63.91)% وحسب المؤشرات الرقمية المستخدمة في الدراسة.

11-توفر الكمأ بكميات كبيرة جداً، ولا سيما في السنوات المطيرة، ويعد احد أهم الموارد الطبيعية التي لها دور كبير في التنمية المستدامة في بادية المثنى، إذ يتميز بقيمته المادية والغذائية العالية، فضلاً عن دوره في توفير فرص العمل.

12-تبيين من خلال النتائج ان المعدل العام لشدة الصرف (0.59) كم / كم²، وأن المعدل العام لمعامل الفيضان (0.056106) (مجرى/كم)، وان المعدل العام لزمن التركيز (14.00435) م/ساعة، وان المعدل العام لسرعة الجريان (12.0836) كم/ساعة، وان مجموع الأمطار السنوي بلغ(76.7 ، 89.5 ، 58.1 ، 125.6) ملم في محطات النجف والسماوة ورفحاء والبصرة على التوالي.

13-يعد مكن الدمام من اهم خزانات المياه الجوفية في منطقة الدراسة لاتساع مساحته ووفرة مياهه، ويبلغ مساحة هذا المكن ضمن حدود منطقة الدراسة(23274.7) كم².

14-قُدر الجريان السطحي في منطقة الدراسة بطريقة(SCS)تقدير حجم الجريان السطحي (Runoff Rate)(Qv) ويتضح من ذلك بأن اغلب جهات منطقة الدراسة تتمتع بحجم جريان سطحي مرتفع نسبياً.

15-يتبين من خلال تطبيق المعايير الخاصة باستخدامات مياه الآبار وللأغراض المختلفة، صلاحية معظم مياهها وأن البعض منها يمكن استخدامه بعد اجراء المعالجات اللازمة.

16-إن منطقة الدراسة تتميز بانبساط سطحها التدريجي كلما اتجهنا شمالاً بسبب استمرار عمليات الترسيب.

17-تتمتع بادية المثنى بتنوع أصناف المنحدرات بسبب تباين الخصائص الجيولوجية ومن ثم تنوع صخور.

18- تتميز المناطق الجنوبية والجنوبية الغربية بصخور صلبة، وإن صلابة الصخور تقل كلما توجهنا شمالاً.

19- تبين من خلال الدراسة ان المنطقة تمر بمرحلة الشباب المتأخر والقريبة من النضج، أي إن المنطقة تمر بمرحلة انتقالية بين العمليات الحثية وتعادل عوامل النحت والارساب.

20- إن الانحدارات الجنوبية الشرقية والجنوبية والجنوبية الغربية هي أكثر تعرضاً لعمليات التجوية الميكانيكية في الموسم الجاف والتعرية المائية عند التساقط والسيول أكثر من الأراضي المستوية لاسيما في المناطق الأشد انحداراً، في حين تكون الانحدارات الشمالية والشمالية الشرقية والشمالية الغربية أقل عرضة للتبخّر والجفاف بسبب استلام كمية أقل من الإشعاع الشمسي.

21- إن لتنوع أشكال سطح الأرض في بادية المثنى ذات الأصل البنيوي الحثي والتعريوي والارسابي والنااتج عن حركة المواد دوراً في جذب السياح.

22- تبين من خلال تطبيقات نظم المعلومات الجغرافية، ان أكثر المناطق ملائمة للتنمية العمرانية المستدامة هي المنطقة الواقعة شرق بصرية والمناطق الواقعة في السلطان وإلى الجنوب منها، وان هناك مناطق أخرى حازت على درجة ملائمة مناسبة إلى الشرق وإلى الجنوب الغربي من بصرية.

23- اتضح أن المناطق التي كانت نسبة صلاحيتها للتنمية الزراعية (100%) شغلت مساحة (1074) كم² حسب المعايير المختارة في الدراسة، في حين كانت المناطق التي ثبت عدم صلاحيتها للتنمية الزراعية مساحة (6695) كم² ونسبة (14.66%) بسبب عدم ملائمتها للمعايير المعتمدة.

24- أهمية نظم المعلومات الجغرافية والاستشعار عن بعد في الدراسات الجغرافية الطبيعية، والدور الذي يمكن أن تلعبه هذه التقنيات الحديثة في إثبات وتوضيح دور المقومات الجيومورفولوجية في التنمية المستدامة في بادية المثنى، والخروج بنتائج دقيقة.

المقترحات:

1- يرى الباحث من الضروري شق شبكة من الطرق المعبدة التي توفر سهولة الاتصال بالمناطق المجاورة، وتكون هذه الطرق في مناطق ذات تربة خشنة ، وان يتم مراعاة أماكن حركة الكثبان الرملية من خلال تثبيتها.

2- إقامة شبكة من الطرق تقوم بمهمة ربط المواقع الصناعية المقترحة بطرق ثانوية وربطها بالطرق الرئيسية من أجل تقليل تكاليف الانتاج وتسهيل توفير السلع للأسواق المحلية من خلال انشاء خط بري يربط المقالع المقترحة شمال بصرية-بالخط الذي يربط السلطان بالملحة بطول (133.3) كم ويعرض (8) م، إذ يوفر هذا الطريق مرونة كبيرة في نقل المواد الأولية من المقالع (المقترحة) إلى الطريق الذي يربط طريق(الملحة-السلطان).

3- بسبب انخفاض تكاليف النقل السككي، وكبر حجم وقلة الأسعار نسبياً للمواد الانشائية، يقترح الباحث اضافة خط سككي يربط هذه المقالع بالخط السككي الرئيس بطول(142.7) كم، وبذلك توفر هذه الخطوط مرونة عالية في نقل المواد الأولية من مصادرها إلى الاسواق.

4- نظراً للدور المهم والاساسي لعناصر المناخ في جميع الانشطة البشرية لذا يقترح الباحث أنشاء محطة مناخية جديدة لعدم وجود محطات مناخية في قضاء السلطان منذ(1990) وفي ناحية بصرية منذ(2003)، وأنشاء محطات مطرية على خطوط الارتفاع على غرار ما موجود في اقليم كردستان العراق.

5- نظراً لأهمية التنمية الصناعية المستدامة لبادية المثنى، فان المنطقة بحاجة إلى تخطيط وبرامج استكشافية، ووضع افضل واقصر الطرق للنهوض بالواقع الصناعي، وعرض هذه الفرص الاستثمارية على شركات محلية أو عالمية رصينة(مع وضع شرط تشغيل الأيدي العاملة المحلية).

6- استغلال المنطقة الواقعة شمال الشحيات التي تبعد (18) كم عن مركز القضاء (السلطان) بالقرب من موقع مطار السلطان العسكري سابقاً لإقامة مشاريع توليد الطاقة الكهربائية عن طريق الخلايا الشمسية، إذ يخدم هذا الموقع سكان مركز القضاء والمناطق المجاورة باتجاه ناحية بصرية.

7- يقترح الباحث انشاء مزارع الرياح شمال غرب ناحية بصرية، كون هذه المنطقة مفتوحة ومرتفعة نسبياً قياسياً بالأراضي المطلة على السهل الرسوبي والنشاط الريحي لها، فضلاً عن قربها من

الطريق الذي يربط ناحية بصية بقضائي الخضر والسماوة، ومن ثم خدمة المناطق المحيطة وتعزيز انتاج الطاقة الكهربائية الوطنية.

8-بناء معامل للإسمنت بالقرب من المقالع لتقليل كلف النقل، فضلاً عن ضرورة التوسع في استغلال أحجار الكلس كونها تتوفر وعلى مساحات واسعة ضمن حدود منطقة الدراسة وذلك من خلال بناء (10) مقالع جديدة.

9-تقترح الدراسة التوسع بإنتاج الطابوق المحلي والتقليل من استيراد هذا المنتج بسبب توفر الاطيان التي تستخدم في إنتاجه ببناء (2) مقلع لأطيان الطابوق.

10- بسبب توفر مادة الحصى والرمل في المنخفضات والوديان يقترح الباحث بناء (15) مقلعاً للرمل الخابط، واستغلال توفر الكثبان الرملية شرق منطقة الدراسة وبناء (15) مقلعاً للرمل .

12-تشديد نواة مدينة تقع بالقرب من مواقع معامل الاسمنت المقترحة شمال الشاوية لسكن عوائل العاملين في هذه المعامل على غرار المساكن التي اقيمت في السابق بالقرب من معامل الاسمنت المقامة لكي تكون نواة لمدينة صناعية.

13-زراعة اشجار النخيل والزيتون في بطون الاودية والمناطق المنخفضة والفيضات لما لها من دور في تثبيت التربة ومنع انجرافها، فضلاً عن المردودات المالية التي تدعم ايرادات المحافظة.

14-ضرورة تغيير نمط الزراعة في أذهان المزارعين، والتوجه نحو المحاصيل ذات القيمة الاقتصادية التي تناسب منطقة الدراسة مثل زراعة التين الشوكي، إذ يمتاز هذا المحصول بملائمته لبيئة بادية المثلى فضلاً عن القيمة المادية له.

15-ضرورة تحديد الاماكن الرعوية ضمن فئة الغطاء القليل والمتوسط على ان تتناسب اعداد الحيوانات الرعوية مع حجم المتوفر من الغطاء النباتي، وإن يكون للمؤشرات الرقمية المستخدمة في الكشف عن الغطاء النباتي(NDVI) دور كبير في الكشف عن هذه الامكانات وسبل تنميتها المستدامة.

16-إيجاد حيازات زراعية ورعوية باستخدام الاساليب الحديثة في الري كما هو الحال في استراليا.

17- دعم الصناعات التقليدية من خلال فتح ورش لهذه الصناعات في مركز القضاء والناحية واستقطاب الايدي العاملة التي تتوفر لديها الخبرة في الصناعات الحرفية، واقامة بعض المهرجانات وتسليط الضوء عليها من قبل وسائل الاعلام، وتوفير اسواق لتسويق هذه المنتجات الفلكلورية.

18- تقديم تسهيلات للمستثمرين وتشجيع القطاع الخاص بما يمتلك من رؤوس الاموال اللازمة للتنمية المستدامة للنشاط السياحي في بادية المثنى، والاستفادة من مخرجات اقسام الجغرافية ونظم المعلومات الجغرافية والاستشعار عن بعد في عملية التنمية المستدامة في بادية المثنى.

19- دعم سكان المنطقة من خلال الاستعانة بهم كمرشدين للمناطق السياحية، وتشكيل جهات متخصصة بالأمن السياحي.

20- عقد ندوات خاصة لتسليط الضوء على اهم المناطق السياحية وسبل العناية بها بهدف تشجيع السياحة البيئية دون الحاق ضرر، وتوعية المواطنين بأهمية الحفاظ على البيئة، وتوفير الخدمات والبنى التحتية والخدمات اللازمة لإقامة هذا المشروع التنموي .

21- يقترح الباحث موقعين للسياحة البيئية، يقع الاول منه إلى الشرق من ناحية بضية بالقرب من فيضة (الابضية)، والآخر يقع إلى الشمال الغربي من قضاء السلمان بالقرب من فيضة (الزفراوية)، بسبب الكثافة المتوسطة للغطاء النباتي في هاتين المنطقتين ووجود بعض الظواهر الجيومورفولوجية الناتجة عن التعرية المائية والهوائية، فضلاً عن قربهما من طرق النقل.

22- يقترح الباحث تخصيص منطقتين للسياحة الرياضية، تقع الاولى إلى الشرق من فيضة (الخديات) والآخرى إلى الشمال من فيضة (أم مجرون).

23- تخصيص منطقتين للسياحة العلاجية، تقع الاولى إلى الشرق من فيضة (صالح) والآخرى إلى الشمال من فيضة (عجلان) لما تتميز به هذه المناطق من كثافة متوسطة للغطاء النباتي وجمال الطبيعة، فضلاً عن تمتعها بالهدوء وقربها من طرق النقل.

24- يرى الباحث إن هناك فرص لتوفر كميات غزيرة من المياه الجوفية في المناطق الجنوبية بسبب طبيعة سطح المنطقة الذي يتميز بوعورته ومن ثم احتجاز السيول لفترة اطول وتعزيز التسرب المائي في هذه المنطقة فضلاً عن دعم التدفق الارتوازي للأقسام الشمالية منه.

25- أهمية نصب المحطات المائية الخاصة بالتحلية في منطقة الدراسة، وتزويد هذه المناطق بالمياه الصالحة للشرب.

26-التوسع بحفر الآبار مع مراعاة الترشيح بالمياه والتحول لزراعة المحاصيل الزراعية التي لا تستهلك كميات كبيرة من الماء مع اختيار الوسائل الحديثة في الحراثة والري من أجل المحافظة على التربة من عمليات التعرية والتجوية المختلفة، وعدم الاقتصار على المناطق المستثمرة حالياً في الجانب الزراعي التي تقع أغلبها في شمال منطقة الدراسة بسبب التوسع في حفر الآبار والقرب من المدن والاستفادة من شبكة الطرق الحالية والمقترحة.

القرآن الكريم.

أولاً: الكتب:

- 1- أبو العطا، فهمي، الطقس والمناخ دراسة في طبيعة الجو وجغرافية المناخ ، دار المعرفة الجامعية، الإسكندرية، 1985.
- 2- أبو العينين، حسن سيد احمد ، اصول الجغرافيا المناخية ، الطبعة الثالثة ، دار النهضة العربية ، بيروت ، 1985 .
- 4- أبو العينين، سيد احمد ، اصول الجيومورفولوجيا، دراسة الاشكال التضاريسية لسطح الارض ، مؤسسة الثقافة الجامعية ، الاسكندرية ، ط(11)، 1995.
- 5- أسود، فلاح شاكِر، علم الخرائط، نشأته وتطوره ومبادئه، دار الكتب للطباعة الأولى، دار أسامة للنشر والتوزيع، عمان، الأردن، 1989
- 5- أسود، فلاح شاكِر، علم الخرائط الموضوعية، دار الكتب للطباعة والنشر، جامعة الموصل، 1991.
- 6- الاشعب، خالص حسني، انور مهدي صالح ، الموارد الطبيعية وصيانتها ، جامعة بغداد ، 1988 .
- 7- أمين، أ زاد محمد ، تغلب جرجيس داود، جغرافية الموارد الطبيعية، مطابع دار الحكمة، 1990.
- 8- تسكايا، أ . ي . فوربو ، كيمياء التربة ، الطبعة الثالثة المنقحة تحت إشراف البروفسور د . ل. أسكينازي ، ترجمة ، احمد حيدر الزبيدي ، قسم التربة ، كلية الزراعة ، جامعة بغداد ، دار النشر (فيشا شكولا) ، موسكو 1968 ، طبع على نفقة دار الحرية للطباعة ، بغداد ، 1977 .
- 9- الجشعبي، احمد حمدان ، ثقافة الرمال، الطبعة الاولى ، مطبعة اديان لخدمات التصميم والطباعة والنشر ، المثني، 2018 .
- 10- الجشعبي، احمد حمدان، بصرية الق الصحراء-وقافية الشعراء ،دار العلوم، 2010، الطبعة الاولى.
- 11- جيمنز وآر، دي . دبيلو ، جي . هانكز وجي . جي . جوريناك ، الجديد عن التربة المروية ، جامعة يوتا الرسمية ، أمريكا ، 1982 ، ترجمة ، مهدي إبراهيم عودة ، كلية الزراعة ، جامعة البصرة ، مطبعة جامعة البصرة ، 1982 .
- 12- حسن، عبد اللطيف رحيم واخرون ، الفاكهة المستديمة الخضرة ، الموصل، دار الكتب للطباعة والنشر بجامعة الموصل، 1990.

- 13-حسون، لؤي عدنان، التحليل البصري والآلي للصور الجوية والمرئيات الفضائية، مجلة كلية التربية الأساسية، المجلد 23، العدد 99، 2017.
- 14-حسين، شوان عثمان، الخصائص النوعية للمياه الجوفية باستخدام نظم المعلومات الجغرافية GIS، ط1، دار غيدان للنشر والتوزيع، الاردن، 2010.
- 15-الخطيب، محمد محي الدين، المراعي الصحراوية في العراق، وزارة الزراعة ، مطبعة السلام ، بغداد ، 1976.
- 16-الخفاجي، سرحان نعيم، الجيومورفولوجيا، اشكال سطح الارض، عمان ، دار المنهج، الطبعة الاولى، 2018.
- 17-الداغستاني، نبيل صبحي، الاستشعار عن بعد ، الاساسيات والتطبيقات ، ط1،، دار المناهج للنشر والتوزيع ، عمان ، الاردن، 2003.
- 18-داود، جمعة محمد، أسس التحليل المكاني في إطار نظم المعلومات الجغرافية (GIS)، النسخة الأولى، 2012.
- 19- داود، جمعة محمد، أسس وتطبيقات الاستشعار عن بعد ،القاهرة، جمهورية مصر العربية، 2015.
- 20-داود، جمعة محمد، مبادئ علم نظم المعلومات الجغرافية GIS Science ،الطبعة الاولى ،مكة المكرمة ، المملكة العربية السعودية ، 2014 .
- 21-الدراجي، سعد عجيل، اساسيات علم اشكال الارض(الجيومورفولوجيا)،جامعة عمر المختار، كلية الآداب والعلوم قسم العلوم الاجتماعية، الطبعة الاولى، 2010.
- 22-درادكة، خليفة عبد الحافظ، المياه السطحية وهيدرولوجيا المياه الجوفية، ط1، دار حنين للنشر، عمان، الاردن، 2006.
- 23-الدليمي، خلف حسين علي، علم أشكال الارض التطبيقي (الجيومورفولوجيا التطبيقية)، ط1، 2012، دار صفاء .
- 24-الدهوي، علي ، موسوعة النباتات الطبية والعطرية، المكتبة الزراعية، مكتبة مدبولي في القاهرة، 1996.
- 25-الراوي، عادل سعيد وقصي عبد المجيد السامرائي ، المناخ التطبيقي، جامعة بغداد ، 1990.
- 26-الزبيدي، نجيب عبد الرحمن، نظم المعلومات الجغرافية GIS،(متوفر على شبكة الانترنت) <http://alexir.org>، السنة بلا.

- 27-زيتوني، محمد بدر الدين ، الطب الشعبي و التداوي بالأعشاب، دار الايمان للنشر، دمشق، 1984.
- 28-السامرائي، قصي عبد المجيد ، عبد مخور الريحاني، جغرافية الأراضي الجافة، جامعة بغداد، مطبعة دار الحكمة، 1990 .
- 29-سفاريني، غازي عبد الفتاح، عبد القادر عابد ، اساسيات علم الأرض ،عمان دار الفكر، الطبعة الاولى.
- 30-السماك، محمد ازهر، باسم عبد العزيز الساعاتي ، جغرافية الموارد الطبيعية ،الموصل ، جامعة الموصل ,1988.
- 31-سهاونة، فوزي ، وآخرون، مدخل إلى الجغرافية، مطبعة الأردن، الطبعة الأولى، 2002.
- 32-السياب، عبد الله وآخرون، جيولوجيا العراق، جامعة الموصل ، مديرية دار الكتب للطباعة والنشر،1982.
- 33-صالح، احمد سالم، السيول في الصحراء العربية نظرياً وعملياً ،دار الكتاب الحديث ، جامعة الزقازيق، مصر ،1991.
- 34-الصائغ، رافد عبد النبي، المناخ العسكري ، جامعة المثنى -كلية التربية للعلوم الانسانية ،العالمية للطباعة ، النجف الاشرف، 2019.
- 35-الطعاني أيمن عبد الكريم، مدخل إلى علم الاستشعار عن بعد والصور الجوية، جامعة الملك فيصل، كلية الآداب، 2013.
- 36-العاني، عبد الفتاح ، أساسيات علم التربة ، عبد الفتاح العاني ، أساسيات علم التربة ، بغداد ، مؤسسة المعاهد الفنية ، 1984 .
- 37-عايد، عبد القادر وآخرون، اساسيات علم البيئة، ط1، 2002.
- 38-عبادي، سعاد عبد، محمد سلمان حسن، الهندسة العلمية للبيئة، فحوصات الماء، دار الحكمة، 1990.
- 39-عباس، محمد خضر، نشوء ومورفولوجيا التربة ، الموصل ، مديرية دار الكتب للطباعة والنشر، جامعة الموصل، 1989.
- 40-عبد الحسين، علي ، افات النخيل والتمور وطرق مكافحتها في العراق، مطبعة الادارة المحلية، جامعة بغداد، كلية الزراعة، 1963 .
- 41-عبد الحسين، علي، النخيل والتمور وأفاتها ، البصرة ، مطبعة جامعة البصرة ، 1985.

- 42- **عبد القادر**، حليمي، النباتات الطبية، الجمهورية الجزائرية الديمقراطية الشعبية، وزارة الفلاحة والصيد البحري، الوكالة الوطنية لحفظ الطبيعة A.A.N، الاتحاد العالمي لحفظ الطبيعة I.U.C.N، 1997.
- 43- **عبدة**، وسام الدين محمد، مقدمة في الاستشعار عن بعد وتطبيقاته، ط1، مكتبة المتنبي، السعودية، 2013.
- 44- **العزاوي**، ثائر مظهر فهمي، مدخل الى نظم المعلومات الجغرافية وبياناتها مع تطبيقات لبرنامج (ARCVIEW GIS)، الطبعة الاولى، دار الحامد للنشر والتوزيع، عمان، 2008.
- 45- **عزيز**، محمد الخزامي، نظم المعلومات الجغرافية- أساسيات وتطبيقات للجغرافيين، قسم الجغرافية، كلية الآداب، جامعة الملك سعود، نشر المعارف، الاسكندرية، 1998.
- 46- **عقيل**، محسن، العلاج بالأعشاب، ط 2، مؤسسة الأعلى للمطبوعات، بيروت، 2006.
- 47- **علي**، مقداد حسين وآخرون، الجيولوجيا الهندسية، دار الكتب للطباعة والنشر، جامعة الموصل، الموصل، 1991.
- 48- **عودة**، سميح احمد محمود، اساسيات نظم المعلومات الجغرافية وتطبيقاتها في رؤية جغرافية، دار المسيرة، عمان، الطبعة الاولى، 2005..
- 49- **الغريبي**، عبد العباس فضيح، سعاد عاكول الصالحي، البيئة والمياه، دار الصفاء للنشر والتوزيع، عمان، 2008..
- 50- **قاضي**، طلال مصطفى، المعادن والصخور الصناعية، كلية علوم الارض، جامعة الملك عبد العزيز، بحث منشور 2010.
- 51- **قبيسي**، حسان، معجم الاعشاب والنباتات الطبية، ط 6، دار الكتب العلمية للنشر، بيروت، 2004.
- 52- **كتاب جماعي**، المركز الديمقراطي العربي للدراسات الاستراتيجية والسياسية والاقتصادية، المانيا، توظيف نظم المعلومات الجغرافية والاستشعار عن بعد في الدراسات المجالية، ط1، 2021.
- 53- **كربل**، عبد الاله رزوقي، وماجد السيد ولي محمد، علم الطقس والمناخ، جامعة البصرة، كلية الآداب، مطبعة جامعة البصرة، 1986.
- 54- **المحمودي**، محمد سرحان علي، منهاج البحث العلمي، دار الكتب، ط3، الجمهورية اليمنية، صنعاء، 2019.
- 55- **مرعي**، مخلف شلال وابراهيم حسون، الجغرافية الزراعية، الموصل، 1996.

- 56-مهدي، فؤاد طه ، زراعة الزيتون عالي الزيت ،وزارة الزراعة ،الشركة العامة للبستنة والغابات ، شركة الدايني اخوان للطباعة والنشر المحدودة ، 2004.
- 57-ميساك، رأفت فهمي وآخرون ، البيئة الصحراوية بدولة الكويت ، مركز البحوث والدراسات الكويتية، 2003.
- 58-هيكل، محمد السيد وعبد الله عبد الرزاق عمر ، النباتات الطبية والعطرية كيمياؤها - انتاجها-فوائدها، 1988.
- 59-الوحش، مي محمد، موسوعة الاعشاب والنباتات الطبية، دار دجلة ، عمان، 2014.
- ثانياً: الرسائل والاطاريح:
- 1-أحمد، حمدي صادق، تأثير العوامل المناخية في المناطق الصحراوية على التشكيل المعماري للمسكن الإسلامي وأثره في تشكيل المسكن الصحراوي المعاصر في شمال أفريقيا، أطروحة دكتوراه(غير منشورة) قسم العمارة، كلية الهندسة والتكنولوجيا، جامعة حلوان، المطرية، القاهرة، 1994.
- 2-الأسدي، كاظم عبد الوهاب، تكرار المنخفضات الجوية واثرها على طقس العراق ومناخه ،رسالة ماجستير ، (غير منشورة) ، كلية الآداب، جامعة البصرة ، 1991.
- 3-الأسدي، ولاء كامل صبري ، اثر المناخ في تشكيل مظاهر سطح الارض والبيئة النباتية في بادية المثلى، اطروحة دكتوراه ، كلية الآداب ، جامعة بغداد ، 2016.
- 4-البدران، جواد صندل، زراعة النخيل وانتاج التمور في محافظة البصرة للفترة (1950-1980) دراسة في جغرافية الزراعة ، رسالة ماجستير غير منشورة ، قسم الجغرافية ، كلية التربية ، جامعة البصرة ، 1988.
- 5-بطان، دعاء محمد طعمة ، التحليل الهيدرولوجي لتقييم نوعية المياه الجوفية لناحية الرحالية في محافظة الأنبار ، رسالة ماجستير (غير منشورة)،كلية التربية الأساسية، الجامعة المستنصرية ، 2021 .
- 6-ثامر، محمد بهجت ، هيدرولوجية حوض بحر النجف باستخدام نظم المعلومات الجغرافية ، رسالة ماجستير ،غير منشورة ،كلية التربية، ابن رشد،جامعة بغداد ، 2007.
- 7-جاء الله، حسام محمد، الاخطار الجيومورفولوجية الرئيسة في وادي النيل فيما بين مدينتي اسوان وادفو باستخدام الاستشعار عن بعد ونظم المعلومات الجغرافية ، رسالة ماجستير غير منشورة ، جامعة عين شمس ، كلية الآداب، القاهرة، 2011.
- 8- الجياشي، جاسم وحواح شاتي، التحليل المكاني للموارد المائية والرسوبيات في بادية المثلى واستثماراتها، رسالة ماجستير(غير منشورة) كلية التربية ، جامعة المثلى، 2017.

- 9-الجنابي، محمد فليح عواد ،** اثر الموارد المائية في انتاجية بعض الاراضي الزراعية في قضاء السلمان (محافظة المثنى – العراق)، رسالة ماجستير ، (غير منشورة) ، كلية الآداب، جامعة البصرة ، 1991.
- 10-الجوهر، جاسب كاظم عبد الحسين ،** الاشكال الارضية لأحواض الوديان الجافة في منطقة بصبية باستخدام نظم المعلومات الجغرافية GIS، اطروحة دكتوراه (غير منشورة) كلية الآداب ، جامعة البصرة ، 2011.
- 11-الحجامي، باسم عباس جودة،** التقييم الجيومورفولوجي لأحواض وديان أم رحل غرب العراق وآثارها في التنمية المستدامة، رسالة ماجستير(غير منشورة) كلية التربية للعلوم الانسانية، جامعة المثنى، 2020.
- 12-الحجيمي، علي علي حسن ،** الحوادث المرورية في محافظة ذي قار للمدة من -2012 2006 دراسة في جغرافية النقل ، رسالة ماجستير ، كلية الآداب ، جامعة ذي قار ، 2014.
- 13-حسن، صهيب خضير ،**بناء نموذج جغرافي في الجريان المائي السطحي في الجزء الشمالي منطقة الجزيرة ،العراق ،اطروحة دكتوراه(غير منشورة)،جامعة الموصل ،كلية التربية، 2005.
- 14-حسون، إيمان شهاب،** هايدرووجيومورفولوجية حوض وادي ابو مريس في محافظة المثنى وأثره في التنمية الاقتصادية، أطروحة دكتوراه(غير منشورة)، كلية الآداب، جامعة بغداد، 2016.
- 15-حسين، سرى محسن،** جيومورفولوجية حوض وادي نيدوش، أطروحة دكتوراه، غير منشورة، كلية التربية للبنات، جامعة بغداد، 2018.
- 16-حسين، سفير جاسم،** جيومورفولوجية مجرى نهر الغراف ،اطروحة دكتوراه ،(غير منشورة)، كلية الآداب ، جامعة بغداد ، 2007.
- 17-حسين، يحيى عباس،** الينابيع المائية بين كبيسة والسماوة واستثماراتها، أطروحة دكتوراه، غير منشورة، كلية الآداب، جامعة بغداد، 1989.
- 18-الحسيناوي، علياء عبد الله عبد،** هيدرولوجية سيول الأمطار لحوض وادي أبو حضير في الهضبة العراق الجنوبية دراسة في تنمية الموارد المائية، أطروحة دكتوراه(غير منشورة)، كلية الآداب، جامعة ذي قار، 2022.
- 19-خضر، سالار علي ،** دور العوامل الجغرافية في تكوين التربة وتغير صفاتها في ناحيتي الراشدية والزهور ، رسالة ماجستير (غير منشورة) ، جامعة بغداد ، 2001.
- 20-الخفاجي، سرحان نعيم،**هيدرولوجيومورفولوجية نهر الفرات بين قضائي الخضر والقرنة ، اطروحة دكتوراه ، (غير منشورة) ، كلية الآداب ، جامعة بغداد ، 2008.

- 21-**الخفاجي**، سيف مجيد حسين، المياه الجوفية وإمكانية استثمارها في منطقة الرحاب- محافظة المثنى، رسالة ماجستير، غير منشورة، كلية الآداب، جامعة الكوفة، 2016.
- 22-**زبون**، نور حسون عليوي ، المياه الجوفية وإمكانية التوسع في استثمارها في قضاء المدائن، رسالة ماجستير، غير منشورة، كلية الآداب، جامعة بغداد، 2015 .
- 23-**الزبيدي**، سندس محمد علوان ، المياه الجوفية في قضاء المحمودية وسبل استثمارها، رسالة ماجستير ، غير منشورة، كلية التربية للبنات ، جامعة بغداد، 2011.
- 24-**الزرفي**، نادية قاسم محمد، التقييم الهيدرولوجي لإمكانية حصاد المياه في بادية المثنى(وادي الغضاري-دراسة تطبيقية)، رسالة ماجستير،(غير منشورة)، كلية التربية للعلوم الإنسانية، جامعة المثنى، 2021.
- 25-**الزيادي**، إيهاب عزيز درفش، التمثيل الخرائطي والتحليل الجيومورفولوجي للانحدارات الارضية في قضاء سلمان جنوب محافظة المثنى باستخدام المرئيات الفضائية ونظم المعلومات الجغرافية، اطروحة دكتوراه(غير منشورة)، كلية التربية للعلوم الانسانية، جامعة البصرة، 2022.
- 26-**الزيادي**، باسم رزاق عبد سوادى ، تغير استعمالات الأرض الزراعية وعلاقته بالموارد المائية في محافظة المثنى ، رسالة ماجستير ، كلية التربية ، جامعة واسط ، 2013 .
- 27-**الزبيدي**، حسن قاسم اوحيد، أشكال سطح الأرض في حوض وادي الأشعلي باستخدام نظم المعلومات الجغرافية، رسالة ماجستير (غير منشورة) كلية التربية، الجامعة المستنصرية، 2014.
- 28-**الزبيدي**، ولاء كامل الأسدي، الكثبان الرملية في محافظة المثنى(دراسة جيومورفولوجية تطبيقية)، رسالة ماجستير (غير منشورة) كلية الآداب، جامعة بغداد، 2011.
- 29-**الساعدي**، حسن كريم حمد، هيدرولوجية احوار الدلمج والشويجة والسعدية وبيئاتها الحيوية (دراسة مقارنة)، اطروحة دكتوراه، جامعة بغداد ، كلية الآداب، 2014.
- 30-**السامرائي**، صباح حمود غفار، التباين المكاني للرواسب الحصوية في مجرى نهر دجلة بين بيجي وبلد واستثمارها ، رسالة ماجستير (غير منشورة) ، كلية التربية ابن رشد ، جامعة بغداد ، 2005.
- 31-**السامرائي**، مها قحطان جبار، حوض تغذية نهر بأسره - دراسة في الجغرافية الطبيعية ، رسالة ماجستير (غير منشورة) ، كلية الآداب ، جامعة بغداد ، 2007 .
- 32-**سحيب**، غفران عبد الكريم عيدان، النمذجة المكانية لخصائص المياه الجوفية في منطقة الكفل وسبل استثمارها، رسالة ماجستير ، غير منشورة، كلية التربية، الجامعة المستنصرية، 2022.

- 33- شنون، فلاح حسن ، دراسة جيومورفولوجية تلال الطار، رسالة ماجستير غير منشورة، كلية التربية (ابن رشد)، جامعة بغداد، 1988.
 - 34- الطائي، عدنان عودة فليح ، هيدر ومناخية حوض الفرات وأثره في تحديد الوارد المائي للعراق، أطروحة دكتوراه (غير منشورة) كلية التربية-ابن رشد، جامعة بغداد 2012.
 - 35- عبد الامير، كواكب ، التحري عن بعض النباتات العراقية الحاوية على مواد سامة او جاذبة او طاردة للحشرات، رسالة ماجستير ،غير منشورة ،كلية الزراعة ،جامعة بغداد، 1981.
 - 36- عبد فارس، علي حاكم، أشكال سطح الأرض في منطقة الرحاب غرب محافظة المثنى، رسالة ماجستير (غير منشورة) كلية التربية ابن رشد ، جامعة بغداد، 2014.
 - 37- عزيز، تحسين عبد الرحيم، التباين المكاني لمياه الينابيع في محافظة السليمانية، أطروحة دكتوراه ، غير منشورة، كلية التربية، الجامعة المستنصرية، 2007.
 - 38- محمد، عباس فالح حسن ،التحليل المكاني للمياه الجوفية في محافظة بابل واستثماراتها، رسالة ماجستير ، غير منشورة، كلية التربية ،ابن رشد، جامعة بغداد ، 2017.
 - 39- المكتوب، أسامة فالح عبد الحسن، جيومورفولوجية حوض وادي الضباع غرب ناحية بصية واستثماراته - باستخدام نظم المعلومات الجغرافية (GIS)، رسالة ماجستير، غير منشورة، كلية التربية للعلوم الانسانية، جامعة المثنى، 2018.
 - 40- الموسوي، آلاء ابراهيم حسين، هيدروجيومورفولوجية وادي الكصير في قضاء سلمان ، اطروحة دكتوراه (غير منشورة) كلية الآداب ، جامعة الكوفة، 2015.
 - 41- المولى، طارق جمعة علي، التمثيل الخرائطي لتغيرات الغطاء الأرضي في محافظة البصرة باستخدام تقنيتي الاستشعار ع بعد ونظم المعلومات الجغرافية للمدة 1973-2013، اطروحة دكتوراه، غير منشورة، كلية التربية للعلوم الانسانية، الجامعة المستنصرية، 2014.
 - 42- الهريود، حسين عذاب خليف ، دراسة اشكال سطح الارض في منطقة سلمان جنوب غربي العراق اطروحة دكتوراه (غير منشورة) كلية التربية ، الجامعة المستنصرية ، 2006.
- ثالثاً: الوزارات والدوائر الحكومية:**
- 1- اسماعيل، سالم خليل، تقرير عن المياه الجوفية في محافظة البصرة ، وزارة الري، الشركة العامة لحفر الآبار المائية، 2000.
 - 2- البصراوي، نصير حسن، دراسة هيدرولوجية وهيدروكيميائية للوحة الناصرية، NH 3-38، مقياس 1:250000 ، 2000 .
 - 3- البنك الدولي، 2006، 3 .

- 4- **الجبوري** ، سامي حسن، الوضع الفني لطاقة الرياح، الأمانة العامة لمجالس البحث العلمي العربية، بغداد. ، 1993 .
- 5- **حسن** ، كريم محمد وآخرون، التقرير الجيولوجي لرقعة السلطان لوحة (جي ام) 36 مقياس 1:250000، المنشأة - العامة للمسح الجيولوجي والتعدين، 1995 .
- 6- **حسن**، كريم محمد ، صباح يوسف يعقوب ، التقرير الجيولوجي لرقعة السلطان ، لوحة-NH (638, GM36) ، مقياس 1 : 2500000، تعريب ازهار علي غالب، المنشأة العامة للمسح الجيولوجي والتعدين 1996.
- 7- **الدباج**، عبد العالي عبد الحسين حنتوش ، شهلة نجم الدين عبد الله الخشاب دراسة ، -NH) 83- وهيدروكيميائية لمنطقة السلطان اللوحة (6-83-NH) تقرير الشركة العامة للمسح الجيولوجي والتعدين، 2001.
- 8- **ديكران**، دريد بهجت ، عبد الحق إبراهيم مهدي ، التقرير الجيولوجي لمنطقة الناصرية ، اللوحة (3-38-NH) مقياس 1: 2500000 ، ترجمة ندى عبد الكريم محمد ، الشركة العامة للمسح الجيولوجي والتعدين ، 1993.
- 9- **ديكران**، دريد بهجت، ازهار علي غالي ، التقرير الجيولوجي لرقعة الرخيمية (11-38-NH)، بغداد ، 1995.
- 10- **ديكران**، دريد بهجت، ازهار علي غالي ، التقرير الجيولوجي لرقعة سوق الشيوخ ، المنشأة العامة للمسح الجيولوجي والتعدين ، قسم المسح الجيولوجي والتعدين ، بغداد ، 1997.
- 11- **سعود** ، قيس جواد و رضا أحمد محمد، تقرير عن هيدروجيمورفولوجية وهيدروكيميائية بادية المثني، وزارة الصناعة والمعادن، الهيئة العامة للمسح الجيولوجي والتعدين، بغداد، 2007 .
- 12- **عبد الكريم**، طلال عبد الحسين ، رواسب الحصى والرمل في العراق ، الشركة العامة للمسح الجيولوجي والتعدين ، بغداد ، رقم التصنيف 1979.
- 13- **عجر**، ضياء الدين كاظم ، تقرير عن جيولوجية وهيدرولوجية بادية المثني، هيئة المسح الجيولوجي العراقي، 2014 .
- 14- **عودة**، عبد الرحمن حسن، التقرير الجيولوجي لمنطقة هيت، ج2، وزارة الصناعة والمعادن ، هيئة المسح الجيولوجي، 1989.
- 15- **كاظم** ، ماجد عبد الأمير وآخرون، تقرير فني عن مسح لمكونات التربة والطبقات الجيولوجية في محافظة المثني، تقرير - الشركة العامة للمسح الجيولوجي والتعدين، قسم الجيولوجيا، شعبة المسح الجيولوجي، بغداد، 2011 .

- 16-كاظم، ماجد عبد الامير وآخرون ، تقرير فني عن مسح لمكونات التربة والطبقات الجيولوجية في محافظة المثنى ، تقرير الشركة العامة للمسح الجيولوجي والتعدين ، قسم الجيولوجيا ، شعبة المسح الجيولوجي ، حزيران ، 2011.
- 17-الهيئة العامة للأرصاد وحماية البيئة ، البيانات المفتوحة ، مكتبة البيانات المفتوحة ، إدارة تلبية الطلبات المعلوماتية ، 2021
- 18-وزارة الصناعة والمعادن ، الشركة العامة للمسح الجيولوجي والتعدين ،خريطة العراق الجيولوجية والاقتصادية بمقياس 1:1000 000 ، بغداد ، 2018.
- رابعاً: المجالات والبحوث العلمية:
- 1-أبو حصيرة، يحيى محمود سعيد، تطبيق نظم المعلومات الجغرافية في دراسة الخصائص المورفومترية لحوض نهر العوجاء، 2013.
- 2-أبو رمان، الصيدلي ابراهيم علي ، وزارة الصحة <http://www.alrai.com>
- 3-أبو غزالة، ميخائيل وآخرون ، التراث النباتي في فلسطين ، سلسلة دراسات الوعي البيئي ، معهد الابحاث التطبيقية ، المجلد السابع ، مؤسسة ابو زيان ، القدس 1992.
- 4-الأسدي ، كامل حمزه فليفل ، عايد جاسم حسين الزامل، تباين خصائص المياه الجوفية في الهضبة الغربية لمحافظة النجف باستخدام نظم المعلومات الجغرافية.، 2014.
- 5-اسماعيل، عدنان ، دور العوامل البيئية في زراعة الزيتون في العراق وفاق تطورها، مجلة الاستاذ، العدد 2، مطبعة الارشاد، بغداد، 1988.
- 6-الببواتي، احمد علي حسن ، التحليل الكمي لخصائص الشبكة النهرية لحوض وادي الثرثار ، دراسة في الجيومورفولوجيا التطبيقية ، مجلة الجمعية الجغرافية العراقية ، العدد 45 ، بغداد ، 2000.
- 7- الحسيني، قصي فاضل، اسامة فالح عبد الحسن المكتوب، التكيف للتغيرات المناخية في مجال الموارد المائية في العراق، بحث منشور في مجلة (e International Journal for Environment & Global Climate Change ISSN 2310-6743)، ص 88، 2021.
- 8-جامعة الدول العربية، المنظمة العربية للتنمية الزراعية، النباتات الطبية والعطرية والسامة في الوطن العربي، الخرطوم، 1988.
- 9-الجبوري، سلام هاتف احمد، علم المناخ التطبيقي ،كلية التربية / ابن رشد للعلوم الانسانية ، قسم الجغرافية / جامعة بغداد ، الطبعة الاولى ، 2014 .

- 10-**الجنابي**، عبد الزهرة علي، دور النقل في تحديد مواقع صناعة السمنت(تطبيقات على معامل سمنت الجنوبية)، مجلة المخطط والتنمية، مركز التخطيط الحضري والاقليمي للدراسات العليا، جامعة بغداد، العدد 10، 2001.
- 11-**الحسني**، فاضل باقر ، تطور مناخ العراق عبر الازمنة الجيولوجية والعصور التاريخية ، مجلة الجمعية الجغرافية العراقية ، 1964 ، ص 381 .
- 12- **حسين**، سفير جاسم، اسامة فالح عبد الحسن المكتوب، الخصائص الهيدرومورفومترية لحوض وادي أم فارس في بادية المثنى باستخدام نظم المعلومات الجغرافية، مجلة اوروك، العدد الثاني، المجلد الرابع عشر، 2021 .
- 13-**الخاقاني**، ابتهاج تقي حسن، استخدام الادلة (NDWI),(NDBI),(NDVI) ، لكشف التغيرات في غطاء الارض لمناطق مختارة من محافظة النجف للحقبة بين (2001-2006) باستخدام بيانات الاستشعار عن بعد ، مجلة الكوفة للفيزياء ، المجلد6،العدد2،2014.
- 14-**الخفاجي**، سرحان نعيم، اسامة فالح عبد الحسن المكتوب، الخصائص الهيدرومورفومترية لحوض وادي جدعة غرب ناحية بصية، مجلة القادسية في الآداب والعلوم التربوية، العدد(1)،2020.
- 15-**الخفاجي**، سرحان نعيم، الخصائص المورفومترية لحوض وادي قرين الثماد في بادية العراق الجنوبية - بادية النجف ، كلية التربية الاساسية ، جامعة بابل العدد 23، 2015.
- 16-**الربيعي**، داود جاسم ، محافظة البصرة دراسة في الجغرافية القديمة ، مجلة كلية الآداب، جامعة البصرة ، مطبعة دار الحكمة في البصرة ، العدد/22 ، 1991.
- 17-**الشمري**، رضا عبد الجبار ورحمن الإدامي ، الطاقة الشمسية في الوطن العربي بين محفزات الاستثمار ومعوقاته ، مجلة البحوث الجغرافية، كلية التربية للبنات، جامعة الكوفة ، العدد ، 7، 2007.
- 16- **الصائغ** ، رافد عبد النبي، اسامة فالح عبد الحسن المكتوب، أثر الخصائص المورفومناخية في التوزيع المكاني للترب الصحراوية في الهضبة الغربية(2007-2017)، مجلة اوروك، العدد3،ج2،المجلد الخامس عشر، 2022 .
- 17- **الطائي**، عدنان عودة، الخصائص الكمية والنوعية للمياه الجوفية في بادية العراق الجنوبية، مجلة كلية التربية، العدد 42، ج2، شباط، جامعة واسط، 2021.

- 18-عباس وآخرون (وليد س ، جبار ف ، وائل ع) القابلية التطفيرية والمضادة لتطهير المستخلص المائي لنبات الخبيزة *Malva parviflora* باستخدام نظام بكتيري ، المجلد (8) ، 2011.
- 19-العبدان، رحيم حميد عبد ثامر ، التعرية المطرية لسفوح تلال حميرين باستخدام تقنية نظم المعلومات الجغرافية ، مجلة كلية الآداب ، 2008 ، العدد 81، ص30. الانترنت <https://www.academia.edu>
- 20-عبود، عبد الله صبار، حسام كنعان وحيد ، اهمية النباتات الطبية في الحضارات القديمة، مجلة الآداب، جامعة بغداد، العدد 123، كانون الاول، 2017.
- 21-العزاوي، علي عبد عباس، احمد حامد العبيدي ، اشتقاق المعلومات الجيومورفولوجية من البيانات الرادارية باستخدام نظم المعلومات الجغرافية -الموصل دراسة حالة-مجلة جامعة تكريت، المجلد 14، العدد 10، 2007.
- 22-عويس، ذيب وآخرون ، حصاد المياه، تقانات تقليدية لتطوير البيئات الأكثر جفافاً، المركز الدولي للبحوث الزراعية في المناطق الجافة (إيكاردا)، 2002 .
- 23-القاضي، سمر محمود عبد العظيم، دراسة الجدوى الاقتصادية لإنتاج التين الشوكي في الاراضي الصحراوية(دراسة حالة في محافظة مطروح) مجلة الاقتصاد الزراعي والعلوم الاجتماعية ، المجلد 13 ، (2) : 47-52-2022.
- 24- كاظم، أمير جواد وعلي حسين علي، دراسة هيدروكيميائية لمنطقة الكفل (جنوب محافظة بابل/ العراق) ، الهيئة العامة لاستثمار المياه الجوفية، 2010.
- 25-المالكي، عبد الله سالم، عبد الامام نصار ديري ، تقدير الموازنة المائية المناخية في العراق - دراسة في المناخ التطبيقي ، مجلة آداب البصرة ، العدد 38، 2005.
- 26-محسن، ثامر عبد الشهيد، مقالة بعنوان(زراعة فطر الكما Truffles) ، قسم علوم الحياة/ كلية التربية للعلوم الصرفة /إبن الهيثم، 2019.
- 27-محمد، صفاء جاسم و رافد موسى عبد وآخرون ، النمذجة المكانية للخصائص النوعية للمياه الجوفية في بادية محافظة المثنى باستخدام نظم المعلومات الجغرافية ، مجلة مداد الآداب ، 2019 .

- 28- محمد، محمد شيت ، دراسة هيدروجيوكيميائية لآبار منتخبة في مدينة الموصل ، قسم الجيولوجيا ، جامعة الموصل ، كلية العلوم ، 2000 .
- 29- المكتوب ،أسامة فالح عبد الحسن، سرحان نعيم الخفاجي، الخصائص المورفومترية لحوض وادي الضباع باستخدام نظم المعلومات الجغرافية (GIS)، مجلة اوروك، العدد الاول، المجلد الثاني عشر، 2019.

خامساً: المصادر الانكليزية:

- 1- A.S. Goudie , Encyclopedia of Geomorphology , Routledge Ltd , USA , 2004.
- 2- Ajar et.al, 2012: 36 Ajar et.al, Ministry of Industry , Minerals Geological Survey and Mining, Geological Report, the Geology of Karbala ,scale 1:250 000, Baghdad, 1992..
- 3- Alan H.Straler ، Arthur .N.Stvahler ، Modern Phsycal Geography Forth Edition ، Johawiley and Sons ، Inc ، 1988.
- 4- AL-Hamdani, J.A. ,Khorsheed, S.A. ,Nief, A.J. and Wely, H.A.,op.cit,
- 5- Altoviski, M.E, Hand book of hydrogeology, Gosgeolitzdat Moscow, USSR (inRussian), 1962.
- 6- Anderson, J. R. & others, Land use and Land cover Classification System use with Remote Sensor Data U.S. Geological Survey Professional Paper 964, 1976.
- 7- Anwar M. Barwary & Naseira A. Slewa (1993) , The Ggeology of Al-Ma'aniya , State Establishment of Geological Survey and Mining , Baghdad,B8 .
- 8- Ayers R.S., and Westcot D. W, quaility for agriculture Irrigation and Drainage, paper 29, Rev 1, FAO, Rome, Italy, 1989.
- 9- C.Plumer.DavidMcgeary&DianeH.CarlsonPhysicalGeology,MCGrawHill Higher Education New York ,2001.
- 10- Charles Strahlar, Physical Geography, john Wiley &sons. United states of America,1975.
- 11- D.k. Todd. Ground water hydrology, 2nd edition, John wiely and sons, Inc, Toppon printing company, Ltd. Newyork,1980.
- 12- Davis,S.N.and Dewiest,R.J,Hydrogeology John and Sons Newyork, London: Sydney,1966.
- 13- Dixon and Fallon, The Concept of Sustainability: Origins Extensions, and Usefulness for Policy Washingto , DC:TheWorld Bank. Environment Department, Division Working Paper No.1989-1.

- 14- Duraid B. Deikran (1994) ,Ministry of Industry ,Minerals Geological Survey and Mining, Geological Report,The Geology of Ansab, scale 1:250 000, Baghdad.:9.
- 15- Duraid B. Deikran (1995) Ministry of Industry , Minerals Geological Survey and Mining, Geological Report,The Geology of Suq Al—Shyukh, scale 1:250 000, Baghdad:14 .
- 16- Duraid B. Deikran ,(3) Ministry of Industry , Minerals Geological Survey and Mining, Geological Report,The Geology of Ansab, scale 1:250000, Baghdad.,1994: 8.
- 17- Eduard A. Koster , The Physical Geography of western Europe , Oxford University press , 2005 .
- 18- FAO, Report Regional seminar on methods of Amelioration of salin and water Logged soils in Baghdad – Iraq ,1971.
- 19- Flayeh Hassan Al-Taie Soil and Soil As sociations Map of Iraq Scale 1:1000 000, Baghdad 1968.
- 20- Gao, B.-C. 1996. NDWI - A normalized difference water index for remote sensing of vegetation liquid water from space. Remote Sensing of Environment 58: 257-266. Hanqiu X. ,Modification of normalized difference water index (NDWI) to enhance open water features in remotely sensed imagery. International Journal of Remote Sensing. Vol. 27, No. 14,(2006).
- 21- H. Svatonova ,ANALYSIS OF VISUAL INTERPRETATION OF SATELLITE DATA,The International Archives of the Photogrammetry, Remote Sensing and Spatial Information Sciences, Volume XLI-B2, XXIII ISPRS Congress, Prague, Czech Republic, 2016.
- 22- Huete, A. R) Soil Adjusted Vegetation Index, (SAVI).Remote Sensing of Environment 25,(1988).
- 23- James H.Johnson . urban Geography , second edition.the pergamon textbook inspection copy service .1977.
- 24- Jatou. J.F.(1980)Hydrologic Dec reface (lere parties) Emolument .De surface ET debits Cruse .E Cole poly Technique .instate Institute De Genuine Rural, Lausanne, 1980.
- 25- Kaushik Gupta.et. al, An index for discrimination of mangroves from non-mangroves using LANDSAT 8 OLI imagery, imagery, Method Article, Elsevier, 2018.
- 26- Khaldoun A. Ma'ala Geomorphology,Iraqi Bulletin Geology andMining No.2,p40, 2009.
- 27- -klimentove, pp, General Hydrology, mir.publ. Moscow (English Translation), 1983.

- 28- klimentove, pp., General Hydrology, mir.publ. Moscow (English Translation), 1983.
- 29- Langmuir, D., Aqueous Environmental Geochemistry. Prentice Hall, USA ,1997.
- 30- M.E,Altoviski, Handbook of Hydrology, Gosgoelitzdat, Moscow, 1962 .
- 31- MARTINY, N.; CAMBERLIN, P.; RICHARD, Y.; PHILIPPON, N. Compared regimes of NDVI and rainfall in semiarid regions of Africa. International Journal of Remote Sensing, 27,2006.
- 32- Meera Gandhi alt.(2015) NDVI Vegetation Change Detection using Remote Sensing and GIS-A case study of Vellore District Procedia Computer Science 57 , Elsevier,2015.
- 33- Ministry of Industry, Anwar M.Barwary & Nasira A.Selwa, Minerals Geological Survey and Mining, Geological Report, the Geology of Samawa ,scale 1:250 000, Baghdad,2012.
- 34- Modher H.Abd et.al, Using Vegetation Indices(NDVI, RVI, IPVI, And DVI) to Detect Physical and Chemical Parameters from Landsat-8(Oli) Image when Pixel Mixing Soil, Vegetation, and Water, Scholars Journal of Engineering and Technology (SJET), No 5(11) 2017.
- 35- P. Buringh, Exploratory Soil Map of Iraq Scale1: 1000 000, Baghdad,1960.
- 36- P. E. Salvate, Environmental Engineering and Sanitation New York, U.S.A., 1982.
- 37- Prince SD, Becker-Reshef I, Rishmawi K Detection and mapping of long-term land degradation using local net production scaling: application to Zimbabwe. Remote Sens Environ 113:1046–1057, (2009).
- 38- Radajevic M. and Bashkin, V. N, Practical Enviromental Analysis, The Royal Society of Chemistry,2006.
- 39- Ralph M. Feather Jr, Dinah Zike, Earth Materials and Processes, United States of America, The McGraw-Hill Companies, 2005.
- 40- Richards, L.A., Diagnosis and Improvement of Saline and Alkali Soils, Agric. Hand book 60, U.S. Dept of Agric, Wishing ton, D.C. 1954.
- 41- Sarita Gagbhia Surface runoff estimation using remote sensing system and geographic information, International Journal of Electronic and Electronic Service, Science and Technology Volume 8, No. 4 (2015).

- 42- Sissakian et.al , Al-Batin Alluvial Fan, Southern Iraq, ScientificResearch , Vol.6,2014.
- 43- Soill,P,and C, Gration, , An efficient algorithm for drainage network extraction on DEMs .Journal of Visual Communication and Image representation ,5(2), 1994.
- 44- Source: D.k. Todd. Ground water hydrology, 2nd edition, John wiely and sons, Inc, Toppon printing company, Ltd. Newyork,1980.
- 45- Steph,A,s, Hydrology for water management ,A,A, Balkema,Rotterdam , Brookfield ,1999.
- 46- Teillet ,P.M;Staenx,K.and Williamas,D.j, ,Effects of spectral,spatial,and radiometric characteristics on remote sensing vegetation indices of forested regions Remote Sensing of Environment,61,1997.
- 47- Thiago P. de Araujo, Fernando Machado de Mello, Essaid Bilal. Comparison between IHS-RGB transformations and ratio bands methods from LANDSAT imagery in the Rio de Janeiro region, Brazil. Carpathian Journal of Earth and Environmental Sciences, North University Center of Baia Mare, Romania, 2013.
- 48- Un ited States'Departmen t of Agriculture' Urban Hydrology for Small Watersheds'2 Ed'1986.
- 49- USDA, Natural Resources Conservation Service, Hydrology National Engineering Handbook., 2010.
- 50- USDA-SCS (1986) Urban Hydrology for Small Watersheds. Technical Release No. 55 (TR-55). USDASCS, Washington DC,Washington D,C.1986.
- 51- VICENTE-SERRANO, S.; CUADRAT-PRATS, J. M.; ROMO, A. Early prediction of crop productivity using drought indices at different time scales and remote sensing data: application in the Ebro valley (north east Spain). International Journal of Remote Sensing, 27, 2006.
- 52- Vijay p.Singh,Donald K. Frevert ,Watershed Models, CRC Press is an imprint of Taylor& Francis Group, 2006.
- 53- William D.thornbury, principles of geomorphology, second edition, john Wiley and sons,inc,newyork,1969
- 54- world Health organization (WHO), Guidelines – for Drinking water Quality –Geneva , Switzerland , edition , 2004.

سادساً: المقابلات الشخصية:

1- منهي، حازم كريم، مدير فرع الهيئة العامة للمياه الجوفية في المثنى 2022/9/2.

2- عبد الحميد، كزار محمد، صاحب مزرعة في منطقة الرحاب، 2022/10/11

3- عودة، عامر جبار، مدير زراعة المثنى، بتاريخ 2023/1/3.

سابعاً: مواقع الانترنت:

- 1- <http://landsat.usgs.gov/index.php>
- 2- <https://www.usgs.gov/faqs/what-are-band-designations-landsat-satellites>

Abstract

The study of geomorphological components is one of the studies that have an effective contribution to sustainable development as a basic goal in the development policies of developed countries, and remote sensing and geographic information systems are among the most important scientific foundations to achieve this goal by activating the applied side and using modern technologies in geographical scientific research.

The study aims to take advantage of the geomorphological elements in AL- Muthanna Badia in order to achieve sustainable development and highlight the methods through which the study area can be developed for sustainable development.

The first chapter dealt with the theoretical framework and an explanation of some of the concepts mentioned in the study, some practical applications, digital treatments for satellite visuals, the importance of geographic information systems in geomorphological studies, as well as work steps to build a geographical database for geomorphological components.

Then, in the second chapter, the study examined the role of geological factors in sustainable development in the fields (industrial, urban, transportation, agricultural, groundwater, as well as sustainable tourism development).

In the third chapter, the study dealt with the role of the climatic components of Al-Muthanna Badia in (energy and production) and the sustainable development of the aspects (urban, transportation, and agriculture, especially palm and olive cultivation, as well as the sustainable development of groundwater and tourism).

In the fourth chapter, the study dealt with the concept of soil and its classification according to Bjornak and Al-Ta'i. Then the study produced a map of soil classification according to its composition factors, using modern visuals, field studies, and topographical maps to determine its types and spatial distribution, and drawing a map of soils in Al-Muthanna Badia in preparation for its sustainable development in the industrial, urban, transportation, and agricultural fields. The study suggested agriculture. Prickly pear due to its suitability to the conditions of the study area and its economic value. Then the study looked at the role of soils in the sustainable development of groundwater and tourism.

The fifth chapter included the classification of natural plants and the use of the most important plant indicators to detect vegetation, including (NDVI-NDWI-IPVI-SAVI), as well as the role of natural plants in sustainable development in the medical, pastoral, industrial and energy fields, as well as sustainable food and tourism development.

The sixth chapter classified water resources into surface and groundwater resources, and (13) dry valleys were extracted and mapped, in addition to

dealing with some hydrological criteria and the water-climatic balance, and mapping the spatial distribution of aquifers, depths, and qualitative characteristics of groundwater in the wells of the study area. Remote sensing and geographic information systems in detecting groundwater aquifers, water harvesting, estimating surface runoff using the (SCS) method, and evaluating the suitability of groundwater for human, agricultural, animal and industrial consumption, and building and construction.

In the seventh chapter, the study dealt with surface shapes and characteristics, mapping hill shadows, contour maps, terrain sections, classification of slopes according to shape and degree (Zink), drawing longitudinal and transverse sections, the hypsographic curve, drawing a map of the direction of slopes, drawing a geomorphological map of Al-Muthanna Badia in preparation for its sustainable development in the tourism fields, and formulating an analysis model. Spatial research to suggest the best areas for sustainable agricultural and urban development. In this chapter, the role of surface shapes and their characteristics in industrial development and infrastructure networks is highlighted.

Many results have been reached, including the possibility of expanding the investment of mineral wealth and construction resources that are characterized by their purity from impurities and limitless possibilities in the field of renewable energy, and great opportunities for the cultivation of many varieties of crops, including palm, olive and prickly pear, as well as the expansion of strategic crops, It provides many varieties of natural plants that can be used in many aspects, especially supporting sheep and camel breeders, and provides an area of ((29181.58 km² at a rate of 63.91))% that can be used in sustainable agricultural, pastoral and medical development, and the wells of the study area are characterized by the validity of most of their water For different uses, and it turned out that most of the regions enjoy a relatively high surface runoff volume and the possibility of directing it to the available natural depressions. Through the study, the diversity of surface shapes was shown, which provides the possibility of tourism investment

**Ministry of Higher Education & Scientific Research
Muthanna University
College of Education for Human Sciences
Department of Geography**



Geomorphological components of sustainable development in Al-Muthanna Badia using geographic information systems and remote

sensing

**Dissertation Submitted By
Osama Faleh Abdel- Hassan Al-Maktoub**

**To the Council of the College of Education for Human
Sciences - Al-Muthanna University, which is part of the
requirements for obtaining a PhD in Philosophy in Natural
Geography**

**Supervised by
prof. Dr. Sarhan Na'am AL- Khafaji**

1445 A.H

2023 A.D